

# ELECTRONICA ANALOGICA

---

**Ing. José María Virgili**

Profesor Titular Ordinario de Electrónica  
Aplicada I de la Facultad Regional Buenos Aires  
de la Universidad Tecnológica Nacional  
Profesor Titular Interino de Electrónica  
Aplicada I de la Facultad Regional Avellaneda  
de la Universidad Tecnológica Nacional  
Profesor Titular de Electrónica II de la  
E.N.E.T. N°28 - C.O.N.E.T.

**Ing. Juan Molnar**

Profesor Adjunto Interino de Electrónica  
Aplicada I de la Facultad Regional Buenos Aires  
de la Universidad Tecnológica Nacional



**G.Y.V.E.**

---

## CAPITULO 1

## AMPLIFICADORES MONOETAPAS CON TRANSISTORES BIPOLARES

## SEÑALES GRANDES

## 1.1. INTRODUCCION:

Se supone un conocimiento previo adecuado de TEORIA DE LOS CIRCUITOS y de FISICA DEL ESTADO SOLIDO.

## 1.2. DIODO DE JUNTURA:

En la FIGURA 1.1.(a) el diodo está sometido a polarización directa.  
En la FIGURA 1.1.(b) se aplica polarización inversa.

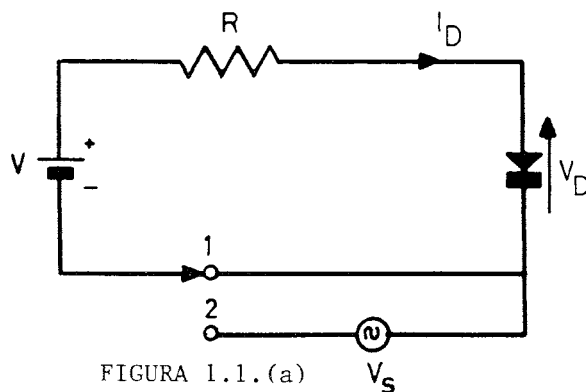


FIGURA 1.1.(a)

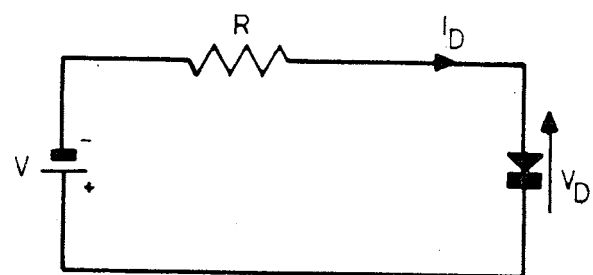


FIGURA 1.1.(b)

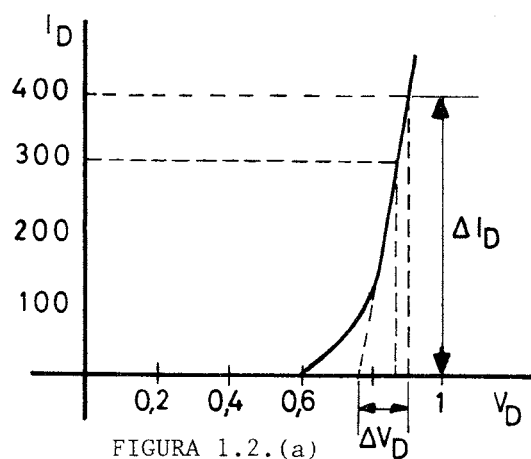


FIGURA 1.2.(a)

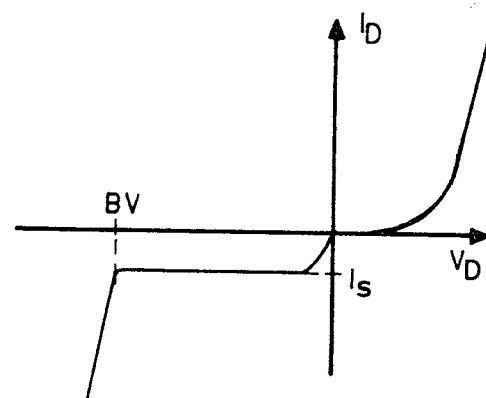


FIGURA 1.2.(b)



Variando  $V$  se puede obtener la curva estática del diodo, tal como se observa en las FIGURAS 1.2.(a) y 1.2.(b).

Para polarización directa y para corrientes de hasta 10 mA, la curva del diodo responde a:

$$I_D = I_S \left( e^{\frac{V_D}{m V_T}} - 1 \right)$$

donde:

$I_S$  es la corriente de saturación inversa (del orden del nA para el silicio) como se observa en la FIGURA 1.2.(b).

$m$  es una constante empírica comprendida entre 1 y 2.

$$V_T = \frac{K \cdot T}{q} \quad \text{siendo:}$$

$q$  la carga del electrón.

$K$  la constante de Boltzman.

$T$  la temperatura absoluta.

$V_T = 25$  ó  $26$  mV para temperatura ambiente de  $25$  °C.

Para corrientes superiores a 100 mA la característica estática del diodo tiende a una recta.

Para polarización inversa, FIGURA 1.1.(b) y 1.2.(b), se observa la corriente de saturación inversa  $I_S$  y cuando la tensión negativa  $V_D$  se hace lo suficientemente grande se observa la tensión de ruptura  $B_V$ . Alcanzada la tensión  $B_V$  la juntura se deteriora.

Los diodos adecuadamente diseñados (diodos ZENER) operan en la región de ruptura.

### 1.2.1. PUNTO DE OPERACION ESTÁTICO:

Si en la FIGURA 1.1.(a), la llave está colocada en el terminal 1, el diodo está sólo sometido a señales estáticas.

Para corrientes pequeñas comprendidas entre 1 y 10 mA, la tensión  $V_D$  está comprendida entre 0,6 y 0,7 V.

Si  $V = 10$  V y  $R = 2$  K $\Omega$  se tiene:

$$I_D = \frac{V - V_D}{R} = \frac{10 - 0,6}{2 \times 10^3} = 4,7 \text{ mA}$$

Es decir que el diodo trabaja con un punto de operación estático Q determinado por una corriente  $I_D = 4,7$  mA y una tensión entre bornes  $V_D \approx 0,6$  V.

De la FIGURA 1.2.(a), se observa que para  $I_D = 300$  mA se obtiene  $V_D \approx 0,87$  V.

$$R = \frac{V - V_D}{I_D} = \frac{10 - 0,87}{0,3} \approx 30 \Omega$$

Con un valor de  $R = 30 \Omega$  y conservando  $V = 10$  V se obtiene el punto Q determinado por  $I_D = 300$  mA y  $V_D = 0,87$  V.

### 1.2.2. RESISTENCIA ESTATICA:

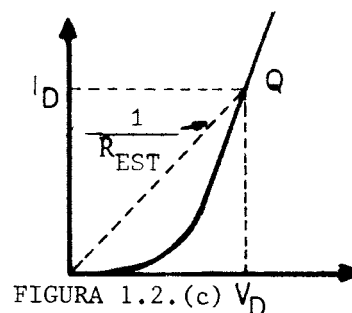
Es el cociente entre la tensión de continua ( $V_D$ ) entre bornes del diodo y la corriente de continua ( $I_D$ ) que por él circula. FIGURA 1.2.(c).

$$R_{EST} = \frac{V_D}{I_D}$$

Siendo  $V_D$  e  $I_D$  los que corresponden al punto Q

$$Q \begin{cases} I_D = 4,7 \text{ mA} \\ V_D = 0,6 \text{ V} \end{cases} \quad R_{EST} = \frac{0,6 \text{ V}}{4,7 \text{ mA}} = 127 \Omega$$

$$Q \begin{cases} I_D = 300 \text{ mA} \\ V_D = 0,87 \text{ V} \end{cases} \quad R_{EST} = \frac{0,87 \text{ V}}{0,3 \text{ A}} = 2,9 \Omega$$

FIGURA 1.2.(c)  $V_D$ 

En un diodo de alto nivel (2º caso), la resistencia estática tiende a ser muy pequeña comparada con la resistencia estática de bajo nivel.

### 1.2.3. RESISTENCIA DINAMICA:

Si en la FIGURA 1.1.(a), la llave está en la posición 2, se tiene en el circuito la superposición de los efectos causados por dos fuentes: la estática y la dinámica.

Aplicando el principio de superposición consideremos primero la acción de la fuente estática  $V$  suponiendo en corto la fuente dinámica. Esto fue analizado en la sección 1.2.1. y permite la determinación del punto Q.

Luego supongamos en corto la fuente estática y analicemos el circuito bajo la acción de la fuente dinámica senoidal.

$$v_s = V_s \cdot \cos \omega t$$

Para ello veamos que conductancia dinámica presenta el diodo en el punto Q.

Sea:  $Q \begin{cases} I_D = 4,7 \text{ mA} \\ V_D = 0,6 \text{ V} \end{cases}$  Como:  $I_D \approx I_S \cdot e^{\frac{V_D}{m V_T}}$  se tiene que:

$$g_u = \left. \frac{d I_D}{d V_D} \right|_Q = I_S \frac{d}{d V_D} e^{\frac{V_D}{m V_T}} = \frac{I_S}{m V_T} e^{\frac{V_D}{m V_T}} \quad \therefore g_u = \frac{I_D}{m V_T}$$

La resistencia dinámica es:  $r_u = \frac{m \cdot V_T}{I_D}$

Donde con  $r_u$  designamos la resistencia dinámica de la unión PN.

$$r_u = \frac{1,4 \cdot 25 \cdot 10^{-3}}{4,7 \cdot 10^{-3}} = 7,45 \Omega \quad \text{para } m = 1,4$$

La resistencia dinámica  $r_d$  posee dos componentes:

- resistencia del material del cuerpo del diodo que llamaremos  $r_b$
- resistencia de la unión PN que llamaremos  $r_u$

Para bajos niveles de corriente predomina  $r_u$  ( $< 10 \text{ mA}$ )

Para altos niveles de corriente predomina  $r_b$  ( $> 100 \text{ mA}$ )

Para  $Q \begin{cases} I_D = 300 \text{ mA} \\ V_D = 0,87 \text{ V} \end{cases}$

Se tiene, del gráfico 1.2.(a).

$$r_d = \frac{\Delta V_d}{\Delta I_d} = \frac{0,12 \text{ V}}{0,4 \text{ A}} = 0,3 \Omega$$

Si calculamos  $r_u$  para este punto Q se tiene:

$$r_u = \frac{m V_T}{I_D} = \frac{1,4 \cdot 25 \text{ mV}}{300 \text{ mA}} = 0,12 \Omega$$

Vemos que predomina el efecto de  $r_b$ .

#### 1.2.4. CIRCUITO DINAMICO:

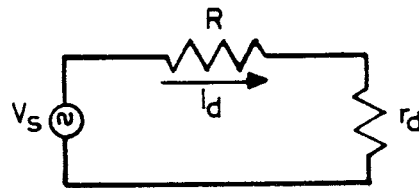
Para

$$Q \begin{cases} I_D = 4,7 \text{ mA} \\ V_D = 0,6 \text{ V} \end{cases}$$

Se tiene  $R = 2 \text{ k}\Omega$

y si  $V_S = 1 \text{ V}$

$$I_d = \frac{V_S}{R + r_d} \approx \frac{1}{2 \cdot 10^3} = 0,5 \text{ mA (Valor pico)}$$



#### 1.2.5. CORRIENTE TOTAL:

Superponemos los efectos.

$$i_D = I_D + I_d \cos \omega t = 4,7 \text{ mA} + 0,5 \text{ mA} \cos \omega t$$

### 1.3. TRANSISTORES BIPOLARES:

Para operar en la zona activa la unión E-B debe estar polarizada en sentido directo y la unión B-C en sentido inverso.

Si ambas uniones están polarizadas en sentido directo se tiene el transistor en saturación.

Si ambas uniones están polarizadas en sentido inverso se tiene el transistor en el corte.

#### 1.3.1. TRANSISTOR PNP:

En la FIGURA 1.3.(a), las polaridades son las adecuadas para trabajar en la zona activa.

En dicha FIGURA los sentidos de las corrientes son los reales.

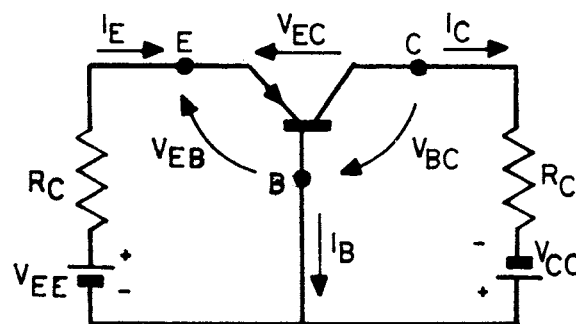


FIGURA 1.3.(a)

La corriente de colector está dada por:

$$I_C = \alpha \cdot I_E + I_{CBO} \quad \{1.1.\}$$

donde  $\alpha$  es del orden de 0,95 a 0,999 e  $I_{CBO}$  es la corriente de portadores minori-

tarios (origen térmico).

Para el Silicio y a temperatura ambiente  $I_{CBO}$  es muy pequeño.

Podríamos poner:

$$I_C \approx \alpha \cdot I_E \quad \therefore \quad \alpha = \frac{I_C}{I_E}$$

siendo  $\alpha$  la ganancia estática de la corriente de colector respecto de la de emisor.

En los manuales el parámetro que se encuentra es  $h_{FB}$  en lugar de  $\alpha$ .

Buscaremos ahora una relación entre la corriente de colector y la de base.

$$I_E = I_B + I_C \quad \{1.2.\}$$

Sustituyendo {1.2.} en {1.1.} se tiene:

$$I_C = \alpha \cdot I_C + \alpha \cdot I_B + I_{CBO} \quad \therefore \quad I_C = \frac{\alpha}{1 - \alpha} I_B + \frac{1}{1 - \alpha} I_{CBO} \quad \{1.3.\}$$

Haciendo

$$\beta = \frac{\alpha}{1 - \alpha} \quad \{1.4.\} \quad \text{Resulta} \quad 1 + \beta = \frac{1}{1 - \alpha} \quad \{1.5.\}$$

Reemplazando {1.4.} y {1.5.} en {1.3.} se tiene:

$$I_C = \beta \cdot I_B + (1 + \beta) \cdot I_{CBO} \quad \{1.6.\}$$

Despreciando el término que contiene a  $I_{CBO}$  se obtiene:

$$\beta = \frac{I_C}{I_B} \quad \text{Siendo } \beta \text{ la ganancia estática de la corriente de colector respecto de la de base.}$$

En los manuales en lugar de  $\beta$  se encuentra  $h_{FE}$ .

La expresión {1.6.} vale para cualquier configuración: BC, EC, CC.

En la hoja de datos del BC327 encontramos:

$$- I_C = 100 \text{ mA} \quad - V_{CE} = 1 \text{ V} \quad h_{FE} = 100 \text{ a } 600$$

En los manuales cuando la corriente es saliente se la toma como negativa, ya que por convención se toma a las corrientes entrantes como positivas. Ver FIGURA 1.3.

$- V_{CE} = 1 \text{ V}$  indica que el potencial del E es 1 Volt superior al del colector, es decir:  $V_{EC} = 1 \text{ V}$ .

Hay que tener en cuenta la gran dispersión del parámetro  $h_{FE}$  (100 a 600) y su influencia en la polarización.

En la FIGURA 1.3.(a), se tiene un PNP en la configuración de base común (BC) con las polaridades adecuadas para funcionar en la zona activa.

En la FIGURA 1.3.(b), se tiene el PNP en la configuración de EC.

En la FIGURA 1.3.(c), se tiene el PNP en la configuración de CC.

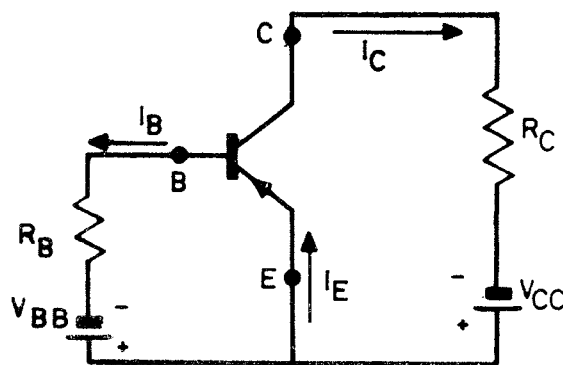


FIGURA 1.3.(b)

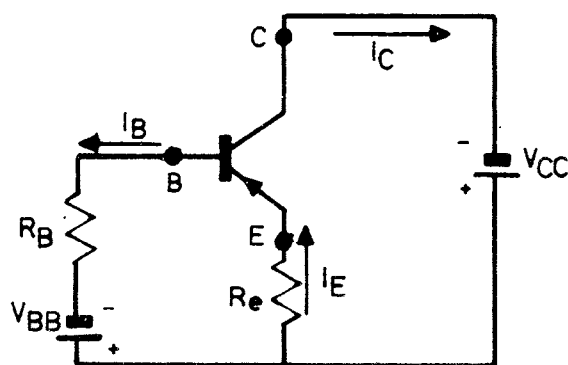


FIGURA 1.3.(c)

Como el transistor es un dispositivo de tres terminales, tiene un terminal que es común a las mallas de entrada y de salida.  
De acuerdo con el terminal común se define la configuración (BC, EC, CC).

### 1.3.2. TRANSISTOR NPN:

Para el NPN deben invertirse todas las fuentes de alimentación en las figuras 1.3.(a), 1.3.(b) y 1.3.(c).  
Veamos para la FIGURA 1.3.(a)

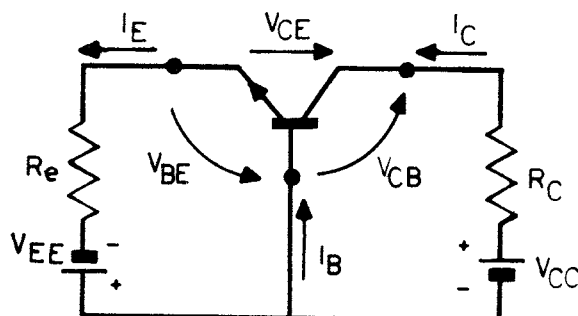


FIGURA 1.4.

En forma similar se procede para las FIGURAS 1.3.(b) y 1.3.(c).

### 1.3.3. DEPENDENCIA DE $h_{FE}$ CON $I_C$ :

En la FIGURA 1.5. vemos tres regiones definidas:  
La región I es la de bajo  $I_C$ , donde  $h_{FE}$  decrece al decrecer  $I_C$ .  
La región II se caracteriza porque en ella  $h_{FE}$  es aproximadamente constante.  
En la región III, de alto  $I_C$ ,  $h_{FE}$  decrece.

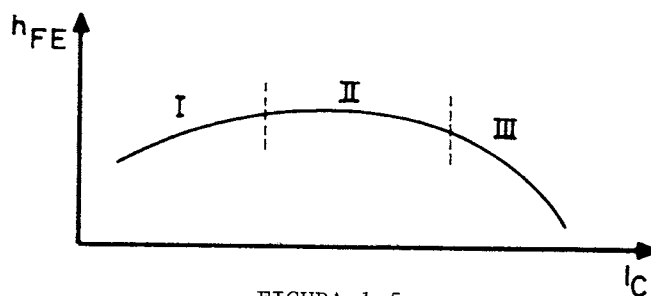
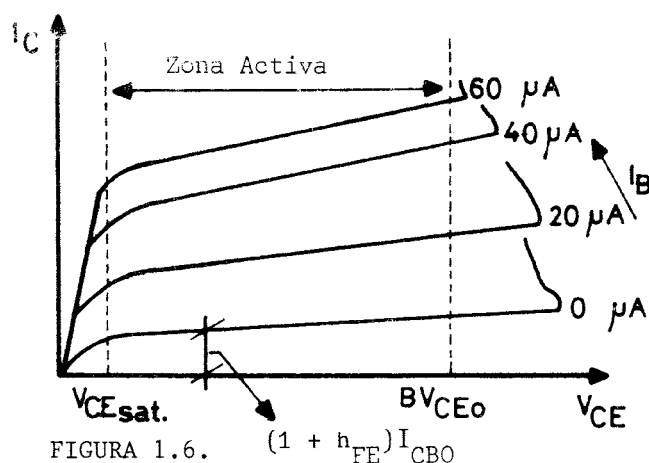


FIGURA 1.5.

### 1.3.4. CARACTERÍSTICAS DE EMISOR COMUN:

En la FIGURA 1.6., se muestra una característica de salida típica correspondiente a esta configuración.  
Entre la ordenada y la vertical trazada por  $V_{CE_{SAT}}$  se tiene la zona de saturación. En ella el transistor conduce una corriente apreciable prácticamente sin caída en colector-emisor.  
Para valores apreciables de  $V_{CE}$  tiene lugar una ruptura por avalancha que deteriora el dispositivo.  
La zona situada entre la de saturación y la de ruptura se llama zona activa y en ella se cumple que:

$$I_C = h_{FE} \cdot I_B + (1 + h_{FE}) I_{CBO}$$

FIGURA 1.6.  $(1 + h_{FE}) I_{CBO}$ 

La zona activa corresponde al funcionamiento lineal y tiene no solamente un límite de tensión (la de ruptura) sino también uno de corriente que corresponde a la máxima corriente de colector que soporta el dispositivo antes de deteriorarse. Hay un límite inferior de corriente que es la corriente de corte, por debajo de la cual se considera que no circula corriente.

En la zona de saturación  $h_{FE}$  tiene valores muy inferiores a los correspondientes a la zona activa. FIGURA 1.5.

Como se ve en la FIGURA 1.7. las curvas de salida tienen una cierta pendiente positiva, lo cual implica la existencia de una resistencia de salida finita dada por

$$r_o = \frac{\Delta V_{CE}}{\Delta I_C}$$

Pero los valores de  $\Delta I_C$  son tan pequeños que pueden a veces despreciarse considerando a la resistencia de salida como infinita.

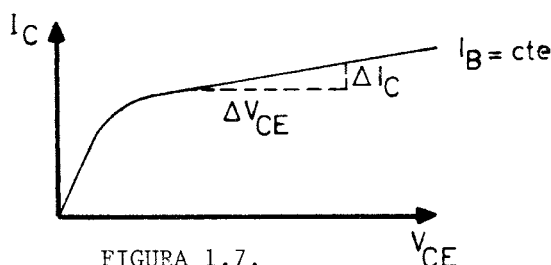


FIGURA 1.7.

Entonces se convierte al transistor en un generador de corriente ideal (sin tener en cuenta las zonas de saturación y de ruptura).

La característica de generador ideal de corriente es sólo válida en la región activa.

Además se observa una separación no constante entre curvas correspondientes a saltos de  $I_B$  fijos. Eso se debe a que  $h_{FE}$  es una función de  $I_C$ . Para grandes excursiones de señal ello lleva a la deformación de las ondas de salida (distorsión).

Las características de salida que dan los fabricantes de transistores en sus manuales son de tipo estadístico.

El transistor que nosotros usemos tendrá, por lo tanto, una característica distinta a la que muestra el manual.

Los transistores de silicio tienen una importante variación en cuanto a su parámetro  $h_{FE}$ . Las hojas de datos muestran variaciones de  $h_{FE}$  del orden de 1 a 3 o más entre  $h_{FE}$  y  $h_{FEM}$ . Es decir, que los transistores de silicio se fabrican con una dispersión del parámetro  $h_{FE}$  de ese orden.

Sabemos que:

$$I_C = h_{FE} I_B + (1 + h_{FE}) I_{CBO}$$

siendo  $I_{CBO}$  la corriente de portadores minoritarios entre colector y base con el emisor abierto.

Podemos trazar las características de salida ideales, haciendo

$$I_C = h_{FE} \cdot I_B$$

vale decir despreciando el término que contiene a  $I_{CBO}$ , ya que éste es sumamente pequeño a 25 °C.

Además, para trazar las características ideales de salida supondremos que  $h_{FE}$  no depende de  $I_C$ .

Las características ideales tienen la forma que se ve en la FIGURA 1.8.

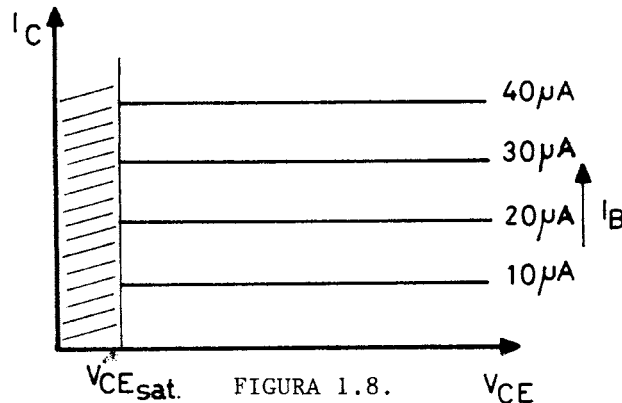


FIGURA 1.8.

#### 1.4. DETERMINACION DEL PUNTO DE OPERACION ESTADICO Q:

Estas características ideales son importantes para comprender la determinación del punto de operación Q y los problemas que surgen si el transistor no está bien polarizado.

Supongamos que el transistor que se estudia tiene un

$$h_{FE} = 100 \text{ entonces: } I_C = 100 I_B$$

quiere decir que para  $I_B = 10 \mu A$  se tiene  $I_C = 1 \text{ mA}$

para  $I_B = 20 \mu A$  se obtiene

$I_C = 2 \text{ mA}$ , y así sucesivamente.

La FIGURA 1.10. muestra las características ideales de salida obtenidas por medio de  $I_C = h_{FE} I_B$

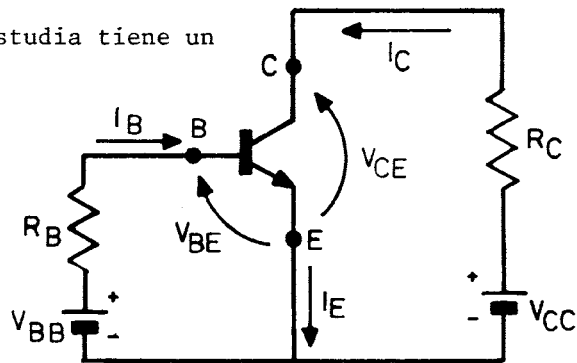


FIGURA 1.9.

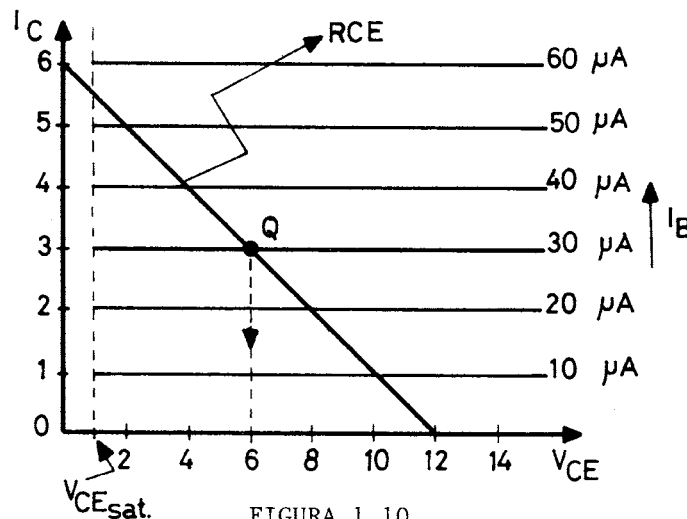


FIGURA 1.10.

De la malla de salida de la FIGURA 1.9. se obtiene:

$$I_C \cdot R_C + V_{CE} - V_{CC} = 0 \quad \therefore \quad I_C = \frac{V_{CC} - V_{CE}}{R_C} \quad \{1.7.\}$$

que es la ecuación de la recta de carga estática.

La ecuación {1.7.} vincula el comportamiento del circuito externo del transistor a través de  $V_{CC}$  y  $R_C$  y el del dispositivo activo mediante  $I_C$  y  $V_{CE}$ .

Esta recta, dada por la ecuación {1.7.}, se traza por medio de dos puntos situados sobre los ejes de ordenadas y abscisas. Hacemos:

$$\begin{aligned} 1^\circ) \quad I_C = 0 \quad \therefore \quad V_{CE} &= V_{CC} \quad \rightarrow \quad \text{punto } (0, V_{CC}) \\ 2^\circ) \quad V_{CE} = 0 \quad \therefore \quad I_C &= \frac{V_{CC}}{R_C} \quad \rightarrow \quad \text{punto } \left( \frac{V_{CC}}{R_C}, 0 \right) \end{aligned}$$

Ejemplo:  $V_{BB} = 3,7V \quad R_B = 100K\Omega \quad V_{CC} = 12V \quad R_C = 2K\Omega$

De la ecuación {1.7.} se obtienen los puntos

$$\begin{aligned} (0, 12) \\ \left( \frac{12}{2000}, 0 \right) = (6 \text{ mA}, 0) \end{aligned}$$

Esos puntos están representados en la FIGURA 1.10. y la recta que los une también. La pendiente de la recta definida por la ecuación {1.7.} es:

$$\frac{d I_C}{d V_{CE}} = - \frac{1}{R_C} \quad \{1.8.\} \quad \text{que es la pendiente de la recta de carga estática (RCE)}$$

De la malla de entrada de la FIGURA 1.9. se obtiene:

$$V_{BE} - V_{BB} + I_B R_B = 0 \quad \therefore \quad I_B = \frac{V_{BB} - V_{BE}}{R_B} \quad \{1.9.\}$$

la  $V_{BE}$  debe tomarse como 0,2 V para el Germanio y 0,7 V para el silicio (valores estadísticos).

La juntura B-E está polarizada en forma directa y por lo tanto para que el transistor funcione en forma correcta hay que trabajar con corrientes de base que permitan obtener  $V_{BE}$  del orden citado, es decir que estén por encima del umbral de conducción.

Tomando para el silicio una  $V_{BE} = 0,7 V$  se obtiene de la ecuación {1.9.}

$$I_B = \frac{V_{BB} - V_{BE}}{R_B} = \frac{3,7 - 0,7}{100 \cdot 10^3} = 30 \mu A$$

Es decir que tenemos una  $I_B = \text{cte} = 30 \mu A$  impuesta por la malla de entrada (corresponde a la recta marcada en forma más intensa en la FIGURA 1.10).

La intersección de la RCE y la de  $I_{BQ} = \text{cte}$ , nos da el punto Q de operación estático que satisface al mismo tiempo las necesidades de las mallas de entrada y salida. FIGURA 1.10.

Para el punto Q se obtienen los valores estáticos de funcionamiento del transistor.

$$Q \quad \left| \begin{array}{l} I_{CQ} = 3 \text{ mA} \\ V_{CEQ} = 6 \text{ V} \end{array} \right.$$

La  $V_{CEQ}$  se puede obtener gráficamente, FIGURA 1.10. o bien analíticamente:

$$V_{CEQ} = V_{CC} - I_{CQ} R_C = 12 - 3 \cdot 10^{-3} \cdot 2 \cdot 10^3 = 6V$$

Analicemos la característica de entrada, que puede apreciarse en la FIGURA 1.11.



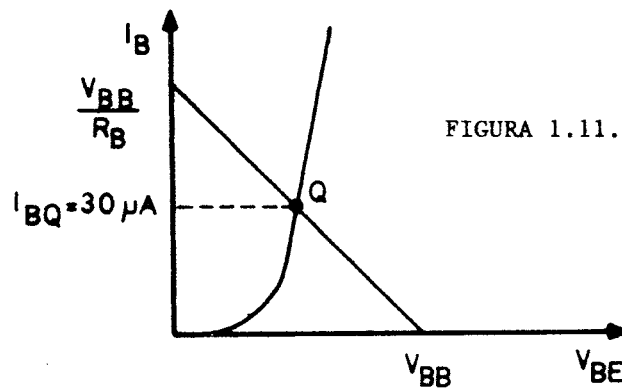


FIGURA 1.11.

El diodo emisor-base presenta una función del tipo:

$$I_C = I_S \cdot e^{\frac{V_{BE}}{m V_T}}$$

donde  $I_S$  es una constante que describe la característica de transferencia del transistor en la región activa. Como:

$$I_B = \frac{I_C}{h_{FE}}$$

resulta:

$$I_B = \frac{I_S}{h_{FE}} e^{\frac{V_{BE}}{m V_T}}$$

Por lo tanto:

$$\frac{d I_B}{d V_{BE}} = \frac{1}{m V_T} \cdot \frac{I_S}{h_{FE}} \cdot e^{\frac{V_{BE}}{m V_T}}$$

La resistencia de entrada entre B y E es:

$$\frac{d V_{BE}}{d I_B} = \frac{m V_T}{I_B} \quad \text{y en el punto Q} \quad R_i \Big|_Q = \frac{d V_{BE}}{d I_B} \Big|_Q = \frac{m V_T}{I_{BQ}} \quad \{1.10.\}$$

Acotación: Podría ocurrir que la malla de salida contuviera más de una resistencia.

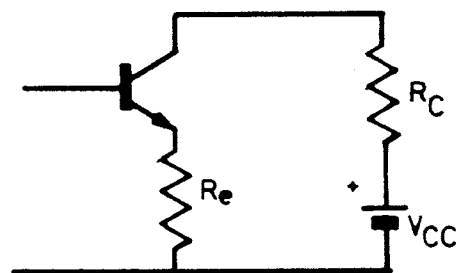
$$V_{CC} = I_C R_C + R_e I_C + V_{CE}$$

$$\therefore I_C = \frac{V_{CC} - V_{CE}}{R_C + R_e}$$

Generalizando la resistencia estática es:

$$R_{EST} = R_C + R_e$$

$$\therefore I_C = \frac{V_{CC} - V_{CE}}{R_{EST}}$$



"La resistencia estática es toda la resistencia en serie con el transistor y la fuente  $V_{CC}$ "

#### 1.4.1. INYECCION DE SEÑAL:

En la FIGURA 1.12. se ha incluido un generador ideal de señal:

$$v_b = V_b \sin \omega t$$

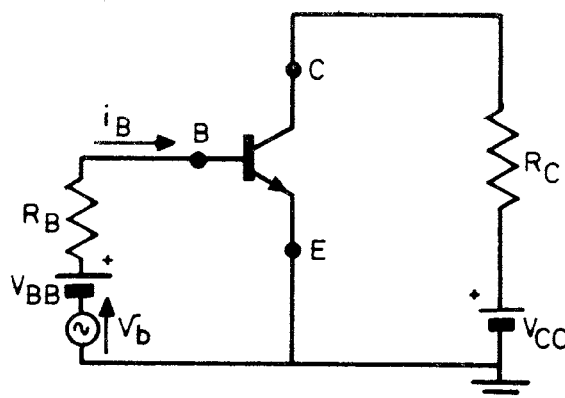


FIGURA 1.12.

La polaridad indicada de  $V_B$  corresponde al semiciclo positivo de la señal. En la base circula un corriente  $i_B$  superposición de una corriente continua  $I_{BQ}$  y de una alterna  $i_b$ .

Si se aplica el principio de superposición y se anula primero la alterna ( $v_D = 0$ ) queda la malla de entrada de la FIGURA 1.9. de la cual se obtuvo la ecuación 1

$$I_{BQ} = \frac{V_{BB} - V_{BE}}{R_B} = \text{cte.}$$

Luego, anulando  $V_{BB}$  se obtiene la FIGURA 1.13.

Ya hemos visto que existe una resistencia dinámica de entrada entre B-E dada por la {1.10.} Como  $R_i \ll R_B$  podemos considerar un corto la entrada dinámica del transistor (recordar que  $R_B = 100k\Omega$ ) La corriente dinámica  $i_b$  se calcula así:

$$i_b \approx \frac{v_b}{R_B} = \frac{v_b \sin \omega t}{R_B} \quad \text{si} \quad V_b = 2V, \text{ se tiene}$$

$$i_b = \frac{2}{100 \cdot 10^3} \quad \text{sen } \omega t = 20 \mu\text{A} \quad \text{sen } \omega t = I_b \quad \text{sen } \omega t$$

Es decir:

$$i_b = I_b \sin \omega t, \text{ con } I_b = 20 \mu A$$

La corriente total de base es:

$$i_B = I_{BQ} + i_b = 30\mu A + 20\mu A \text{ sen } \omega t$$

La corriente de señal la superponemos a la  $I_{B0}$  como se ve en la FIGURA 1.14.

La salida del transistor ve una resistencia de carga dinámica igual a la estática (es decir, la única que hay en la malla de salida, que es  $R_C$ ). Es un caso particular.

En este caso coincide la recta de carga dinámica (RCD) con la estática (RCE).

Al inyectar señal la operación dinámica se desplaza desde Q hasta M, desde M a N, desde N a M, etc.

La proyección de los puntos M y N nos dan

$$i_c = f(t)$$

$$V_{CF} = f(t)$$

En forma analítica:  $i_C = I_{C0} + i_c$  siendo,  $i_c$  la alterna

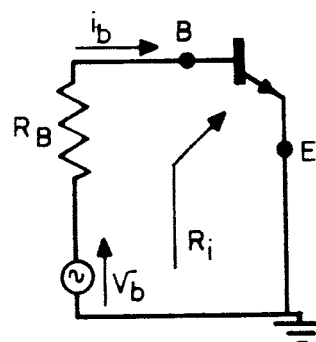


FIGURA 1.13.

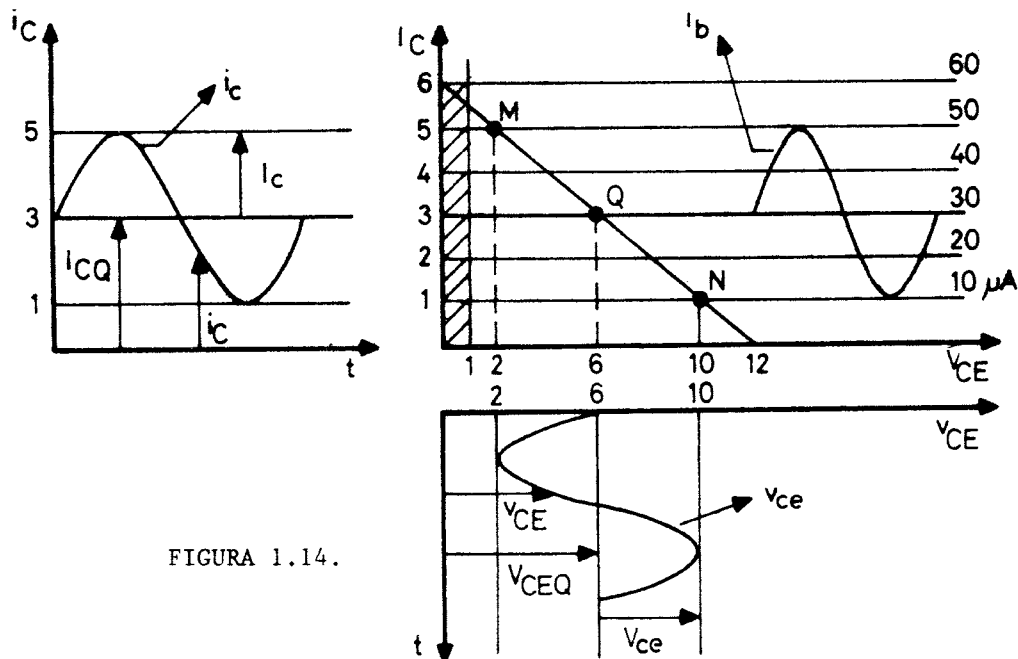


FIGURA 1.14.

Como  $h_{FE}$  (estático) y  $h_{fe}$  (dinámico) tienen valores similares, se puede poner:

$$i_C = h_{FE} \cdot i_B = h_{FE} (I_{BQ} + i_b) = h_{FE} I_{BQ} + h_{FE} i_b$$

$$I_{CQ} = h_{FE} \cdot I_{BQ} = 100 \cdot 30\mu A = 3mA$$

$$i_c = h_{FE} \cdot i_b = h_{FE} \cdot I_b \sin \omega t = I_c \sin \omega t$$

$$I_c = h_{FE} \cdot I_b = 100 \cdot 20 \cdot 10^{-6} = 2mA$$

$$i_C = I_{CQ} + I_c \sin \omega t = 3mA + 2mA \sin \omega t \quad \text{FIGURA 1.14.}$$

FIGURA 1.15.

La tensión total entre C-E es:  $v_{CE} = V_{CEQ} + v_{ce}$

$V_{CEQ}$  es conocida e igual a 6V.

Para determinar la  $v_{ce}$  recurrimos a la FIGURA 1.15.

$$v_{ce} = -i_c \cdot R_C = -R_C \cdot I_c \sin \omega t$$

Haciendo:

$$V_{ce} = R_C \cdot I_c \quad \text{queda} \quad v_{ce} = -V_{ce} \sin \omega t$$

$$V_{ce} = R_C \cdot I_c = 2 \cdot 10^3 \cdot 2 \cdot 10^{-3} = 4V$$

Resultado total, (ver FIGURA 1.14.):  $v_{CE} = V_{CEQ} + v_{ce} = 6 - 4 \sin \omega t$

Se puede analizar también la  $v_{BE}$ , para ello recurrimos a la FIGURA 1.16.

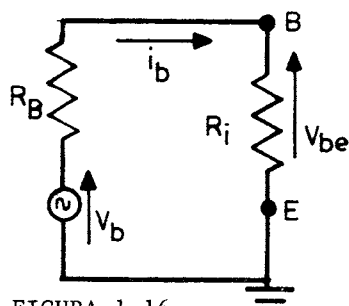


FIGURA 1.16.

$$v_{BE} = V_{BEQ} + v_{be}$$

$$v_{BE} = V_{BEQ} + V_{be} \sin \omega t$$

$$V_{be} = I_b \cdot R_i$$

$$R_i \approx 1K\Omega$$

$$V_{be} = I_b \cdot R_i = 20 \cdot 10^{-6} \cdot 10^3 = 20 \cdot 10^{-3}V$$

Se ve que la tensión  $V_{be}$  es positiva respecto de tierra mientras que la  $V_{ce}$  es negativa respecto de tierra (ver FIGURAS 1.14., 1.15. y 1.16.) (Defasaje de  $180^\circ$  en la configuración de EC).

Se puede ver que la amplificación vale:

$$A_v = \frac{v_{ce}}{v_{be}} = - \frac{V_{ce} \sin \omega t}{V_{be} \sin \omega t} = - \frac{V_{ce}}{V_{be}} = \frac{-4}{20 \cdot 10^{-3}} = -200$$

Tenemos una amplificación de tensión cuyo módulo vale 200 y que tiene un defasaje de  $180^\circ$  entre la salida y la entrada.

#### 1.4.2. DESPLAZAMIENTO DEL PUNTO Q POR DISPERSION DE $h_{FE}$ :

Supongamos que en el circuito antes analizado deba reemplazarse el transistor, (por deterioro, por ejemplo).

Tomamos otro transistor de la misma nomenclatura pero por dispersión de fabricación ya mencionada tiene un  $h_{FE} = 150$ .

La nueva característica de salida se ve en la FIGURA 1.17., donde se tiene en cuenta la RCE,  $I_{BQ} = \text{cte}$ , el nuevo punto Q y el recorte de corriente y tensión de colector.

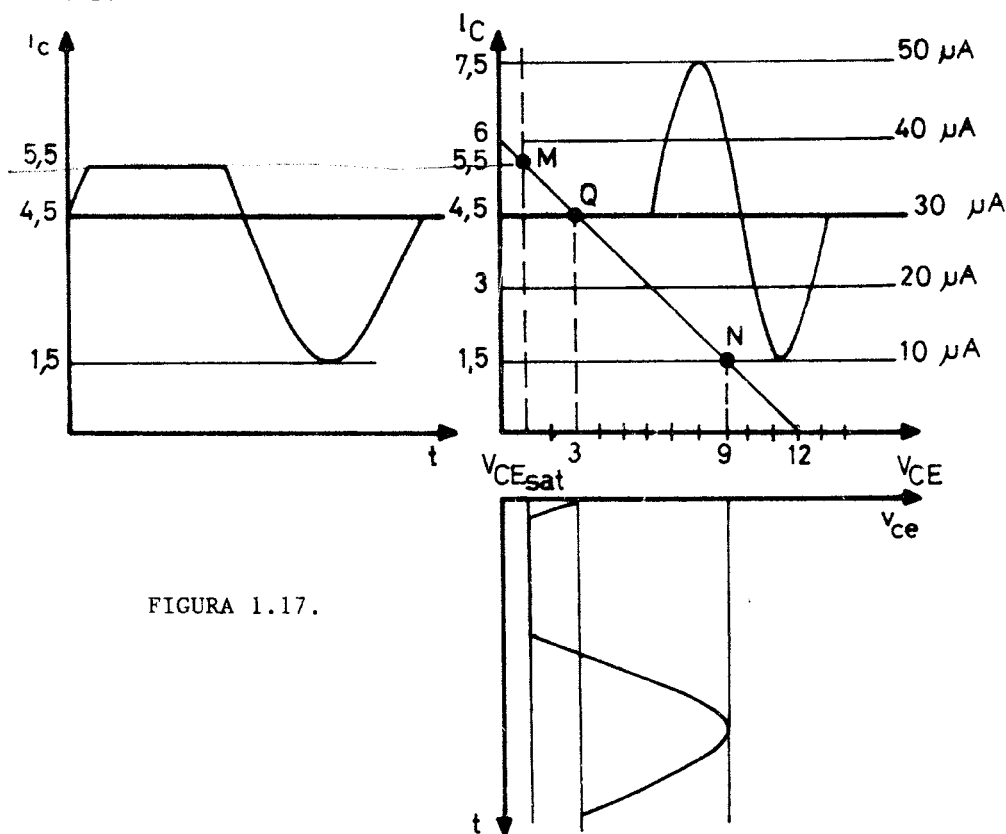


FIGURA 1.17.

Se observa que al reemplazar el transistor se obtienen señales de salida con deformación enorme como resultado de que para la misma inyección de señal se ha pasado a trabajar, durante un lapso, en la zona de saturación.

Ello ocurrió porque al ser  $h_{FE}$  mayor se pasó de un punto Q situado en la mitad de la RCD a otra posición de Q que está más cerca de la saturación que del corte.

Es decir que el desplazamiento del punto Q origina los recortes ya vistos.

Debemos buscar un circuito de polarización en el cual aunque varíe  $h_{FE}$  la corriente  $I_{CQ} = \text{cte}$  y no como en el visto en que se tenía  $I_{BQ} = \text{cte}$  (incorrecto).

1.4.3. CIRCUITO BASICO PARA  $I_{CQ}$  cte:

Para que  $Q$  no se mueva debemos polarizar de tal forma que  $I_{CQ} \approx \text{cte}$  aunque tengamos dispersión de  $h_{FE}$ . El circuito que lo permite es el de la FIGURA 1.18.

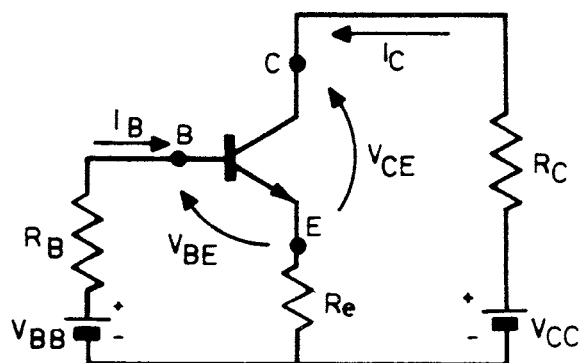


FIGURA 1.18.

Para la malla de entrada:

$$V_{BB} \approx I_B R_B + V_{BE} + I_C R_e$$

Como

$$I_B = \frac{I_C}{h_{FE}}$$

$$V_{BB} = \frac{I_{CQ}}{h_{FE}} + V_{BE} + I_C R_e$$

$$\therefore I_{CQ} = \frac{V_{BB} - V_{BE}}{R_e + \frac{R_B}{h_{FE}}}$$

Para que  $I_{CQ} = \text{cte}$  basta hacer:

$$R_e \gg \frac{R_B}{h_{FE_m}}$$

Se toma el  $h_{FE_m}$  porque hace:

$$\frac{R_B}{h_{FE_m}} \text{ máximo}$$

Aunque cambie  $h_{FE}$  resulta así  $I_{CQ} = \text{cte}$ .

Conviene hacer

$$R_e = 10 \frac{R_B}{h_{FE_m}} \quad \{1.12.\}$$

## 1.4.4. CIRCUITO DE POLARIZACION CON UNA SOLA FUENTE

Suele ser antieconómico usar dos fuentes distintas para la base y el colector. En la FIGURA 1.19. se ve un circuito con una única fuente que cumple satisfactoriamente con los requisitos de  $I_{CQ} = \text{cte}$ .

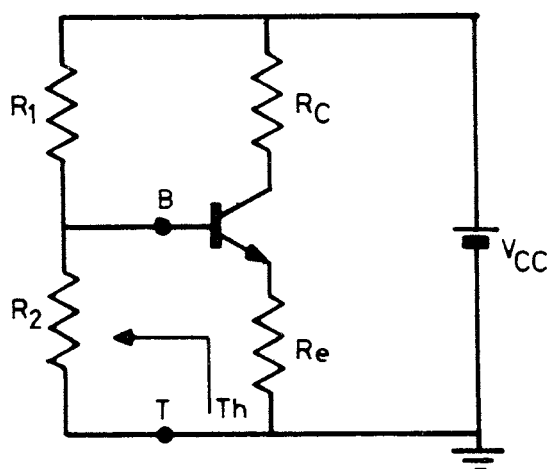


FIGURA 1.19.

Este circuito (aplicando Thevenin entre los puntos B y T) nos lleva al circuito de la FIGURA 1.18.

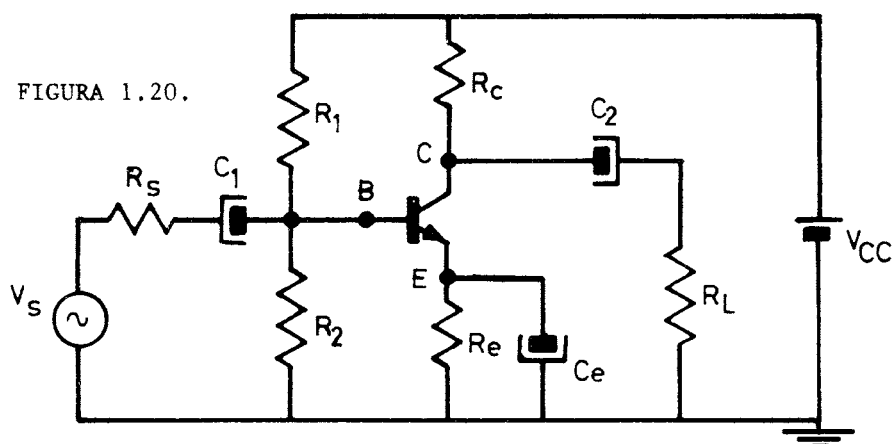
La fuente y la resistencia del generador valen:

$$V_{BB} = V_{CC} \frac{R_2}{R_1 + R_2} \quad \{1.13.\}$$

$$R_B = \frac{R_1 \cdot R_2}{R_1 + R_2} \quad \{1.14.\}$$

Aplicación:

Sea el circuito de la FIGURA 1.20.



Para resolver este circuito aplicamos superposición :

1°) Suponemos  $V_S = 0$  y  $f = 0$  ( continua )

$$X = \frac{1}{j\omega C} = \infty$$

Queda el circuito de la FIGURA 1.19., que luego de transformarlo en el de la FIGURA 1.18., nos permitirá hallar el punto Q.

$$I_{CQ} = \frac{V_{BB} - V_{BE}}{R_e + \frac{R_B}{h_{FET}}} \quad \text{y} \quad V_{CEQ} = V_{CC} - I_{CQ} (R_C + R_e)$$

La resistencia estática en el circuito de la FIGURA 1.18., es:

$$R_{EST} = (R_C + R_e)$$

Se puede trazar la RCE por medio de dos puntos:

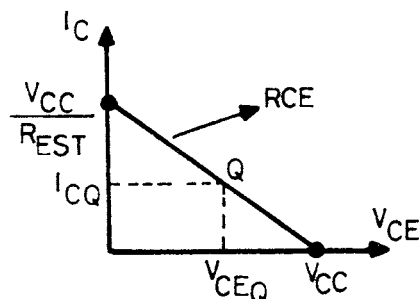
$$(0, V_{CC}) \quad \text{y} \quad \left( \frac{V_{CC}}{R_{EST}}, 0 \right)$$

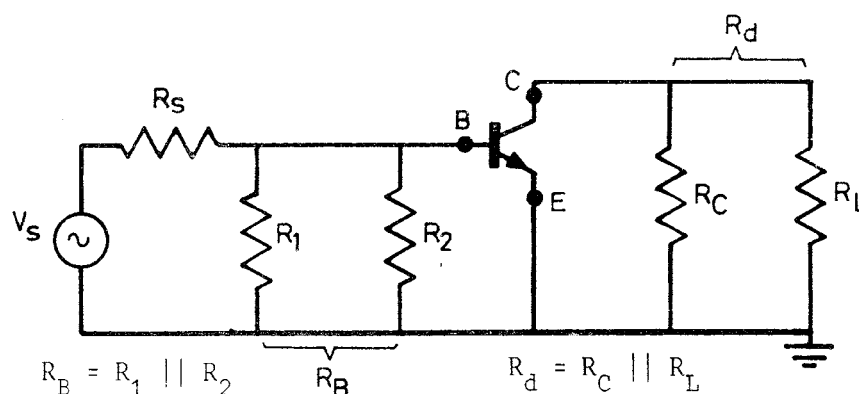
La  $R_{EST}$  es la suma de todas las resistencias conectadas en serie en la malla de salida de continua FIGURA 1.18.

2°) Análisis dinámico:

$$\text{Suponemos una frecuencia tal que } X = \frac{1}{j\omega C} \rightarrow 0$$

y suponemos en corto las fuentes de continua (no son variables con el tiempo). Tendremos pues el siguiente circuito equivalente:





$R_d$  es la resistencia dinámica, vale decir es la resistencia que ve la salida del transistor.

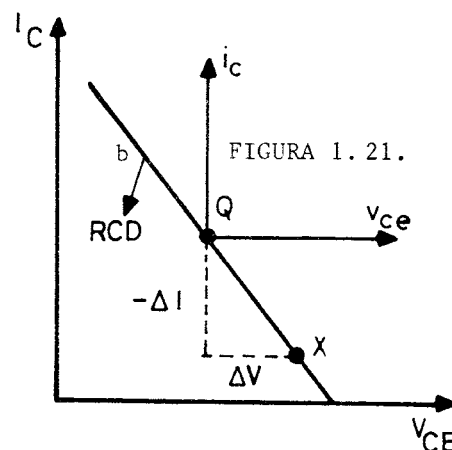
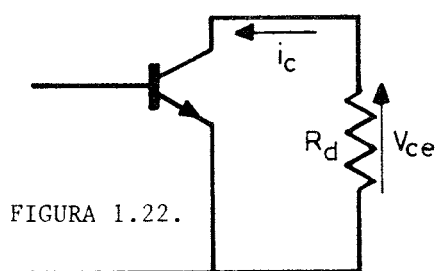
Veamos el trazado de la RCD:

Adoptamos otros ejes que tienen como origen el punto Q: FIGURA 1.21.

Luego como  $v_{ce} = -i_c \cdot R_d$  FIGURA 1.22.

Se puede hacer:

$$\Delta V = -\Delta I \cdot R_d$$



Adoptamos un valor de  $(-\Delta I)$  y como conocemos  $R_d$  podemos calcular  $\Delta V$  (Obtenemos el punto X).

Uniendo X con Q tenemos la RCD.

La señal de salida está dada por

$$i_c = I_C \cdot \sin \omega t$$

y cuando ésta se anula sólo queda

$$i_C = I_{CQ} + i_c = I_{CQ}$$

es decir, el valor de continua.

Por lo tanto el punto Q forma parte de la RCD ya que es el punto dinámico para señal nula.

#### Problema:

El circuito es el de la FIGURA 1.20.

DATOS:	$R_1 = 56 \text{ k}\Omega$	$V_{CC} = 20 \text{ V}$
	$R_2 = 5,6 \text{ K}$	$h_{FE_m} = 50$
	$R_e = 1 \text{ K}$	$h_{FE_T} = 100$
	$R_C = R_L = 10 \text{ K}$	$h_{FE_M} = 150$

Para la continua se tiene el circuito de la FIGURA 1.19. Aplicando Thevenin:

$$V_{BB} = V_{CC} \frac{R_2}{R_1 + R_2} = 20 \frac{5,6 \cdot 10^3}{61,6 \cdot 10^3} \approx 1,82 \text{ V}$$

$$R_B = \frac{R_1 \cdot R_2}{R_1 + R_2} = \frac{5,6 \cdot 10^3 \cdot 56 \cdot 10^3}{61,6 \cdot 10^3} \approx 5,1 \text{ K}\Omega$$

$$I_{CQ} = \frac{V_{BB} - V_{BE}}{R_e + \frac{R_B}{h_{FE_T}}} = \frac{1,82 - 0,7}{1000 + \frac{5100}{100}} = \frac{1,12}{1000 + 51} = \frac{1,12}{1,051} \cdot 10^{-3} \approx 1,057 \text{ mA}$$

$$\therefore I_{CQ} \approx 1 \text{ mA}$$

$$V_{CEQ} = V_{CC} - I_{CQ} \cdot (R_C + R_e) = 20 - 10^{-3} \cdot (10 + 1) \cdot 10^3 = 9 \text{ V}$$

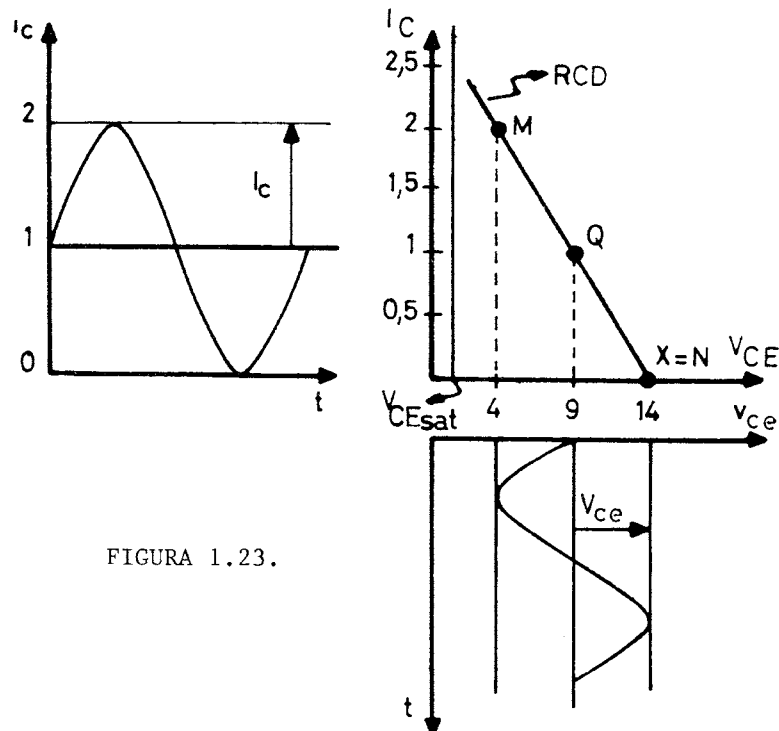


FIGURA 1.23.

$$R_d = R_C // R_L = 5 \text{ K}\Omega$$

$$\Delta I = -I_{CQ} = -1 \text{ mA}$$

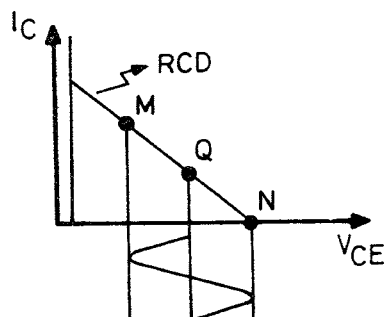
$$\Delta V = -\Delta I \cdot R_d = 10^{-3} \cdot 5 \cdot 10^3 = 5 \text{ V}$$

$$\text{De 1a FIGURA 1.23.} \quad \begin{aligned} I_c &= 1 \text{ mA} \\ V_{ce} &= 5 \text{ V} \end{aligned}$$

$$\frac{R_e}{\frac{R_B}{h_{FE_m}}} = \frac{1000}{\frac{5100}{50}} = \frac{1000 \cdot 50}{510} = \frac{5000}{510} \approx 9,8 \quad \therefore R_e = 9,8 \frac{R_B}{h_{FE_m}}$$



La máxima excursión sin recorte corresponde a los puntos M y N de la FIGURA 1.23. Si ubicamos a M más cerca de la saturación (sobreeexcitando), tendríamos recorte en la zona inferior, es decir en la de corte.



1.4.5. DADO Q DETERMINAR  $R_1$  Y  $R_2$ :

DADO:  $Q \begin{cases} I_{CQ} \\ V_{CEQ} \end{cases}$  Se puede plantear:

$$V_{BB} = V_{CC} \frac{R_2}{R_1 + R_2} \quad R_B = \frac{R_1 \cdot R_2}{R_1 + R_2}$$

Multiplicando la expresión de  $V_{BB}$  por  $R_1$  se tiene:

$$V_{BB} \cdot R_1 = V_{CC} \frac{R_2 \cdot R_1}{R_2 + R_1} = V_{CC} R_B \quad \therefore R_1 = \frac{V_{CC}}{V_{BB}} \cdot R_B \quad \{1.15.\}$$

Y de la expresión de  $R_B$  se deduce:

$$R_2 = \frac{R_1 \cdot R_B}{R_1 - R_B} \quad \{1.16.\}$$

Problema:

Circuito de la FIGURA 1.20.

	$I_{CQ} = 2,5 \text{ mA}$	$R_L = 200 \text{ K}\Omega$
DATOS :	$V_{CEQ} = 3 \text{ V}$	$R_e = 2,8 \text{ K}\Omega$
	$V_{CC} = 15 \text{ V}$	$h_{FE_T} = 200$
		$h_{FE_m} = 100$

De la malla de salida de continua se obtiene:

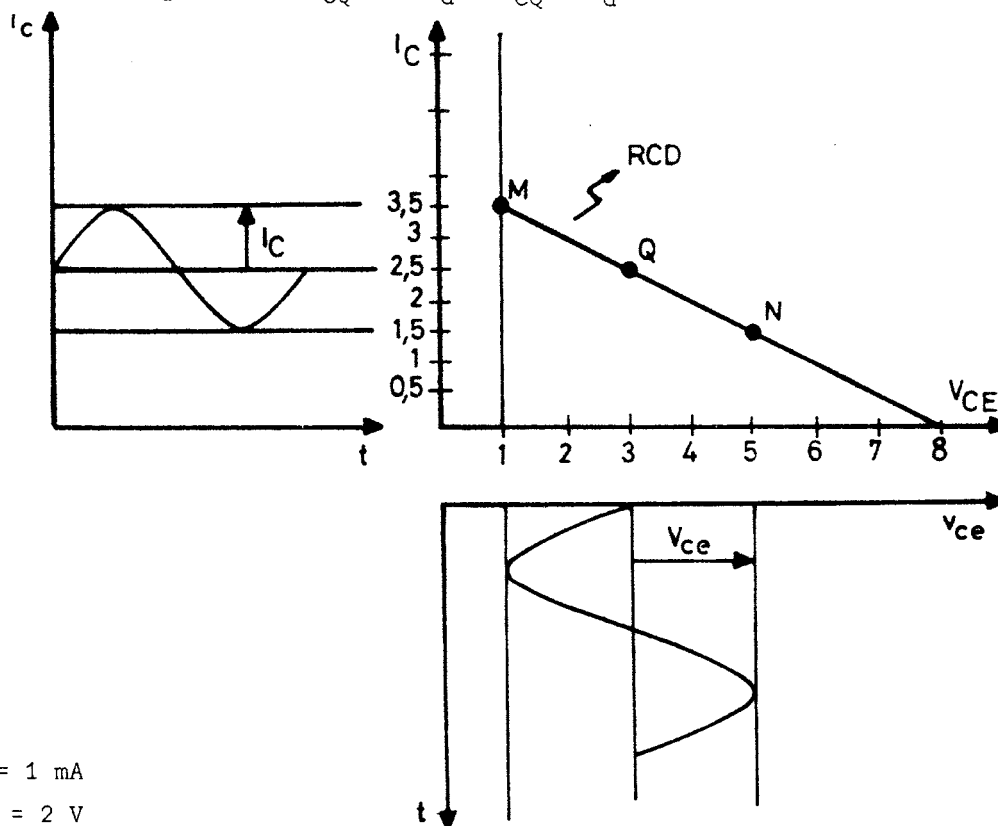
$$V_{CC} \approx I_{CQ} \cdot R_C + V_{CEQ} + I_{CQ} \cdot R_e \quad \therefore$$

$$R_C = \frac{V_{CC} - V_{CEQ} - I_{CQ} \cdot R_e}{I_{CQ}} = \frac{15 - 3 - 2,5 \cdot 10^{-3} \cdot 2,8 \cdot 10^3}{2,5 \cdot 10^{-3}} =$$

$$R_C = \frac{15 - 3 - 7}{2,5 \cdot 10^{-3}} = 2 \text{ K}\Omega$$

$$R_d = R_C \parallel R_L = 2 \text{ K}\Omega \parallel 200 \text{ K}\Omega \approx 2 \text{ K}\Omega$$

$$\Delta V = -\Delta I \cdot R_d = -(-I_{CQ}) \cdot R_d = I_{CQ} \cdot R_d = 2,5 \cdot 10^{-3} \cdot 2 \cdot 10^3 = 5V$$



$$I_C = 1 \text{ mA}$$

$$V_{ce} = 2 \text{ V}$$

Son las máximas excursiones sin recortes.  
Como conviene hacer:

$$R_e = 10 \frac{R_B}{h_{FE_m}} \therefore R_B = \frac{R_e \cdot h_{FE_m}}{10} = \frac{2,8 \cdot 10^3 \cdot 100}{10} = 28 \text{ k}\Omega$$

De la malla de entrada:

$$V_{BB} \approx R_B \cdot I_{BQ} + V_{BE} + I_{CQ} \cdot R_e$$

$$V_{BB} = R_B \cdot \frac{I_{CQ}}{h_{FE_T}} + V_{BE} + I_{CQ} \cdot R_e$$

$$V_{BB} = \frac{28 \cdot 10^3 \cdot 2,5 \cdot 10^{-3}}{200} + 0,7 + 2,5 \cdot 10^{-3} \cdot 2,8 \cdot 10^3$$

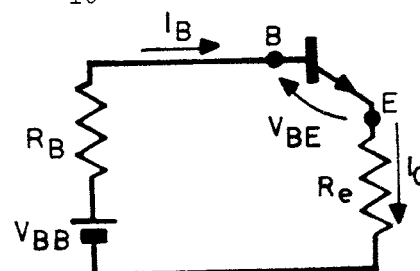
$$V_{BB} = 0,35 + 0,7 + 7 = 8,05 \text{ V}$$

$$R_1 = \frac{V_{CC}}{V_{BB}} R_B = \frac{15 \cdot 28 \cdot 10^3}{8,05} \approx 52 \text{ k}\Omega$$

$$R_2 = \frac{R_1 \cdot R_B}{R_1 - R_B} = \frac{52 \cdot 10^3 \cdot 28 \cdot 10^3}{(52 - 28) \cdot 10^3} = \frac{52 \cdot 28 \cdot 10^3}{24} \approx 61 \text{ k}\Omega$$

Adoptando valores normalizados:  $R_1 = 56 \text{ k}\Omega$   $R_2 = 68 \text{ k}\Omega$

Podemos verificar ahora el circuito para ver si mantiene el punto Q prefijado, ob



tenemos:

$$R_B = 31 \text{ K}\Omega \quad V_{BB} = 8,22 \text{ V} \quad I_{CQ} = 2,54 \text{ mA} \quad V_{CEQ} = 2,8 \text{ V}$$

Verificamos además:

$$\frac{R_e}{\frac{R_B}{h_{FE_m}}} = 9,03$$

De haber adoptado:

$$R_1 = 47 \text{ K}\Omega \quad R_2 = 56 \text{ K}\Omega \quad \text{hubiésemos tenido:}$$

$$R_B = 25,5 \text{ K}\Omega \quad V_{BB} = 8,15 \text{ V} \quad I_{CQ} = 2,55 \text{ mA} \quad V_{CEQ} = 2,76 \text{ V}$$

$$\frac{R_e}{\frac{R_B}{h_{FE_m}}} = 10,98$$

#### 1.4.6. UBICACION DE Q SOBRE RCD PARA MAXIMA EXCURSION DE SEÑAL:

Sabemos que:  $i_c = \frac{-v_{ce}}{R_d}$  referido a los ejes  $i_c, v_{ce}$

Buscamos los valores óptimos de  $I_{CQ}$  y de  $V_{CEQ}$ , en el sentido de tener máxima excursión simétrica.

Gráficamente, apelando a la FIGURA 1.24., el análisis es el siguiente:

La ecuación de la RCD referida a los ejes totales es:

$$I_C - I_{CQ} = \frac{V_{CE} - V_{CEQ}}{-R_d} = \therefore I_C = I_{CQ} - \frac{V_{CE} - V_{CEQ}}{R_d}$$

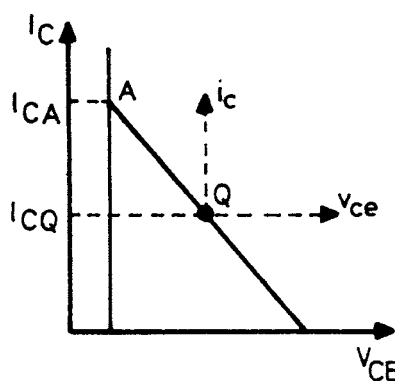


FIGURA 1.24.

Para el punto A se tiene:

$$I_C = I_{CA} \quad \text{y} \quad V_{CE} = V_{CE_{SAT}} \quad \text{y por lo tanto}$$

$$I_{CA} = I_{CQ} + \frac{V_{CE_{SAT}} - V_{CEQ}}{-R_d} = 2 I_{CQ} \quad \text{para excursion simétrica.}$$

$$\therefore I_{CQ} = \frac{V_{CEQ} - V_{CE_{SAT}}}{R_d} \quad \{1.17.\}$$

Recta que pasa por  $(0, V_{CE_{SAT}})$  y tiene pendiente igual a  $\frac{1}{R_d}$

Entonces se traza 1°) la RCE y 2°) la recta de ecuación {1.17.}. La intersección da el punto Q simétrico.

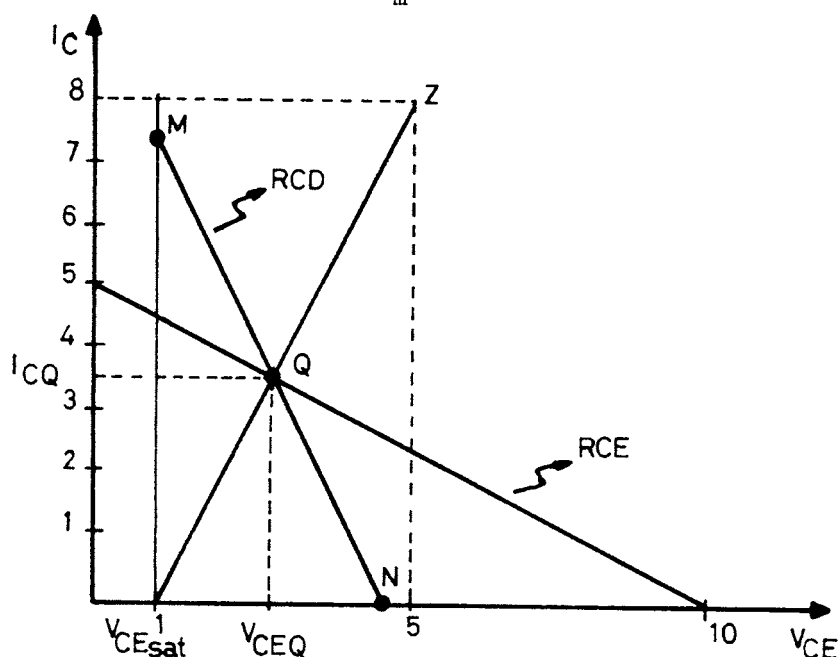
Ejemplo:

$$V_{CC} = 10 \text{ V}$$

$$R_C = R_L = R_e = 1 \text{ k}\Omega$$

$$V_{CE_{SAT}} = 1 \text{ V}$$

$$R_e \gg \frac{R_B}{h_{FE_m}}$$



$$1^\circ) \text{ RCE: } (0, V_{CC}) = (0, 10)$$

$$\left( \frac{V_{CC}}{R_e + R_C}, 0 \right) = (5 \text{ mA}, 0)$$

$$2^\circ) R_d = R_C // R_L = 500 \Omega$$

$$\Delta V = \Delta I \cdot R_d \quad \text{Adoptamos: } \Delta V = 4 \text{ V} \quad \therefore \Delta I = \frac{\Delta V}{R_d} = \frac{4}{500} = 8 \text{ mA}$$

Desde  $V_{CE_{SAT}} = 1 \text{ V}$  trazamos la ecuación {1.17.} tomando  $\Delta V = 4 \text{ V}$  y luego

$\Delta I = 8 \text{ mA}$ . Se obtiene el punto Z.

Unimos Z con  $V_{CE_{SAT}}$ . La intersección con la RCE nos da el punto Q.

Luego por el punto Q se traza la recta de carga dinámica de pendiente  $-1/R_d$ .

La RCD queda dividida en dos partes iguales:

$$\overline{MQ} = \overline{QN}$$

### 1.5. POTENCIA:

La potencia de continua entregada por la fuente se disipa en los resistores y en el dispositivo activo.

A su vez, la energía de continua es modificada por el elemento activo al mismo ritmo que impone la excitación. Es por ello que resulta posible obtener una potencia de salida amplificada. Interesa calcular el rendimiento de la conversión CC a CA.

La potencia media desarrollada o entregada por un elemento cualquiera es:

$$P = \frac{1}{T} \int_0^T V \cdot I \cdot dt \quad \{1.18.\}$$

Donde  $V$  e  $I$  son las corrientes y tensiones totales dadas por:

$$I = I_{AV} + i \quad \text{y} \quad V = V_{AV} + v$$

Con el subíndice AV se indicaron valores medios y con minúsculas las componentes alternas de valor medio nulo.

### 1.5.1. POTENCIA ENTREGADA POR LA FUENTE:

Los desarrollos de los puntos anteriores, corresponden a excitación senoidal y a forma de ondas de salida sin distorsión.

En este caso:

$$V = V_{CC} \quad \text{e} \quad I = I_{CQ} + i_c = I_{CQ} + I_c \cdot \cos \omega t$$

$$P_{CC} = \frac{1}{T} \int_0^T V_{CC} (I_{CQ} + I_c \cdot \cos \omega t) dt$$

$$P_{CC} = \frac{1}{T} V_{CC} \cdot I_{CQ} \int_0^T dt + 0 = \frac{1}{T} V_{CC} \cdot I_{CQ} \cdot T = V_{CC} \cdot I_{CQ}$$

En realidad esta sería la potencia que entrega la fuente sin tener en cuenta la red de polarización.

En la FIGURA 1.25. vemos esa situación:

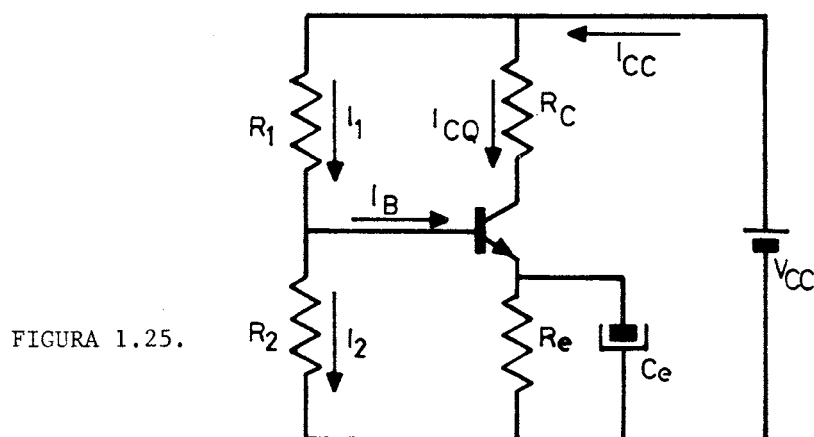


FIGURA 1.25.

$$I_2 = \frac{V_{BT}}{R_2} = \frac{V_{BE} + R_e \cdot I_{CQ}}{R_2}$$

$$I_1 = I_2 + I_B$$

$$I_{CC} = I_1 + I_{CQ}$$

$$P_{CC} = V_{CC} \cdot I_{CC} \quad \{1.19.\}$$

$$P_{CC} = V_{CC} (I_1 + I_{CQ})$$

$$P_{CC} = V_{CC} (I_2 + I_B + I_{CQ}) \quad \{1.20.\}$$

## 1.5.2. POTENCIA DISIPADA EN LA CARGA:

La potencia disipada en la carga  $R_C$  es la potencia eficaz:

$$P_S = \frac{I_c}{\sqrt{2}} \cdot \frac{V_{ce}}{\sqrt{2}} = \frac{V_{ce} \cdot I_c}{2}$$

Siendo  $I_c$  y  $V_{ce}$  las amplitudes de las ondas de alterna.

## 1.5.3. POTENCIA DISIPADA EN COLECTOR:

La potencia media de continua entregada por la fuente se disipa en potencia media de continua en los resistores  $R_C$  y  $R_e$  y en potencia eficaz en la resistencia  $R_C$ . El resto de potencia que corresponde al balance energético se disipa en el transistor.

$$V_{CC} \cdot I_{CQ} = (R_C + R_e) \cdot I_{CQ}^2 + R_C \frac{I_c^2}{2} + P_{dT}$$

$$\therefore P_{dT} = V_{CC} \cdot I_{CQ} - (R_C + R_e) I_{CQ}^2 - R_C \frac{I_c^2}{2}$$

Se ve que la  $P_{dT}$  es máxima cuando no hay señal aplicada ( $i_c = 0$ ).

$$P_{dM} = V_{CC} \cdot I_{CQ} - (R_C + R_e) I_{CQ}^2$$

$$P_{dM} = I_{CQ} \cdot (V_{CC} - (R_C + R_e) I_{CQ}) = I_{CQ} \cdot V_{CEQ} \quad \{1.21.\}$$

La  $P_{dM}$  se obtiene multiplicando los valores de continua correspondientes al punto Q: ( $I_{CQ}$  y  $V_{CEQ}$ ).

## 1.5.4. RENDIMIENTO DE CONVERSION:

Es el porcentaje de energía útil recogida en la salida respecto de la energía entregada por la fuente.

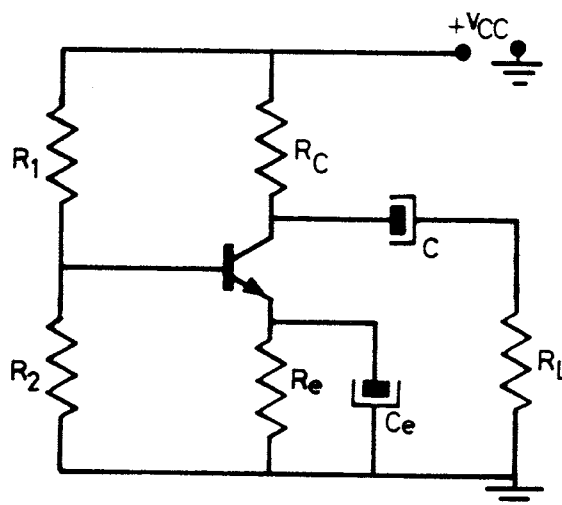
$$\eta_{\%} = \frac{P_S}{P_{CC}} \cdot 100 \quad \{1.22.\}$$

El rendimiento teórico máximo obtenible es del 50% cuando la corriente de colector circula durante  $360^\circ$ .

## 1.5.5. ETAPA ACOPLADA A R-C:

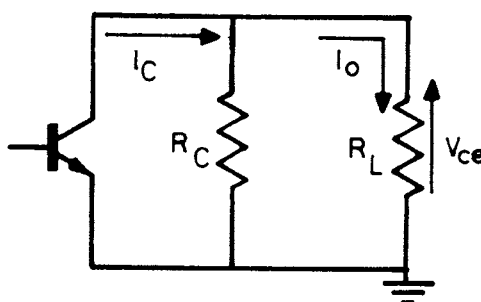
Sea el circuito de la FIGURA 1.26.

FIGURA 1.26.



El circuito de continua es el mismo de la FIGURA 1.25.  
El circuito de alterna se ve en la FIGURA 1.27.

FIGURA 1.27.



$$I_0 = I_c \frac{R_C}{R_C + R_L}$$

La potencia eficaz sobre la carga  $R_L$  es:

$$P_L = \frac{I_0 \cdot V_{ce}}{2} = \frac{V_{ce}}{2} \cdot I_c \cdot \frac{R_C}{R_C + R_L}$$

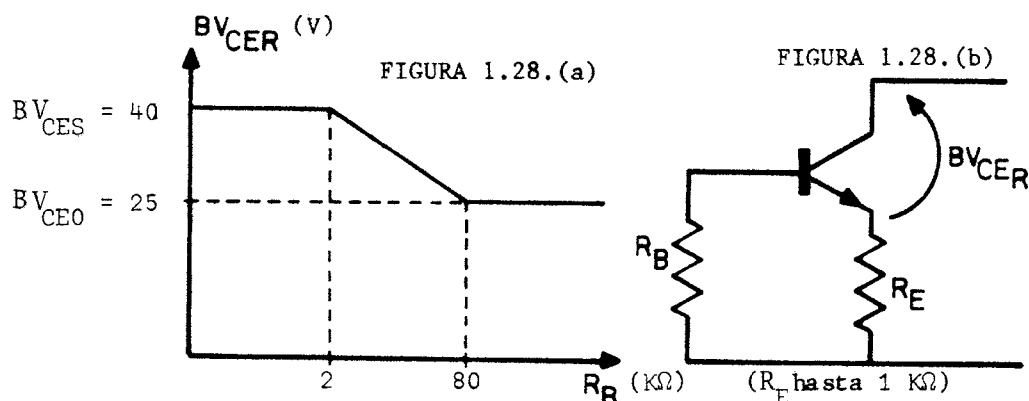
Como:

$$P_S = \frac{V_{ce} \cdot I_c}{2} \qquad P_L = P_S \cdot \frac{R_C}{R_C + R_L} \quad \{1.23.\}$$

## 1.6. CARACTERÍSTICAS DEL TRANSISTOR:

### 1.6.1. REGIMEN DE TENSIONES:

Para obtener elevadas potencias de salida conviene que  $V_{CC}$  sea elevada. Pero, por otra parte, se sabe que el transistor tiene un valor máximo admisible de  $V_{CE}$  (llamado  $BV_{CER}$ : tensión de ruptura colector-emisor), a partir del cual el dispositivo se deteriora permanentemente. En el manual de transistores de Si "SOT 54", para el transistor BF 199 se tienen los gráficos de las FIGURAS 1.28.(a) y 1.28.(b) en los cuales se tiene la  $V_{CER\text{máx}}$  (igual que  $BV_{CER}$ ) en función de  $R_B$ .



La tensión de ruptura de 25 V corresponde a la condición de base abierta ( $R_B = \infty$ ) Es decir  $BV_{CEO} = V_{CES_{m\acute{a}x}} = 25$  V.

La tensión de ruptura de 40 V corresponde a la condición de base en corto circuito ( $BV_{CES}$ ).  $BV_{CES} = V_{CES_{m\acute{a}x}} = 40$  V para el BF 199.

Se puede demostrar que :  $BV_{CES} \approx BV_{CBO}$  siendo  $BV_{CBO}$  la máxima tensión inversa colector-base antes de llegar a la ruptura. (Producida por la multiplicación en avalancha de la corriente  $I_{CBO}$  que pasa por la unión).

Para el transistor BC 337 o el BC 338 no hay un gráfico similar al de la FIGURA 1.28.(a), pero sí se especifican los valores de  $BV_{CES}$  y  $BV_{CEO}$ .

Para el BC 337 se tiene  $BV_{CES} = 50$  V y  $BV_{CEO} = 45$  V.

Para el BC 338 se tiene  $BV_{CES} = 30$  V y  $BV_{CEO} = 25$  V.

#### 1.6.2. RELACION ENTRE LA TENSION DE ALIMENTACION Y LA TENSION DE RUPTURA:

Debido a los transitorios producidos en el encendido de la fuente conviene que:

$$V_{CC} \leq 0,75 BV_{CEO} \quad \text{para carga resistiva y algo menor para carga inductiva.}$$

#### 1.6.3. REGIMENES DE CORRIENTE:

El fabricante especifica dos límites máximos: uno corresponde a la máxima corriente de colector media y otro a la máxima corriente de pico que puede soportar en lapsos breves el transistor.

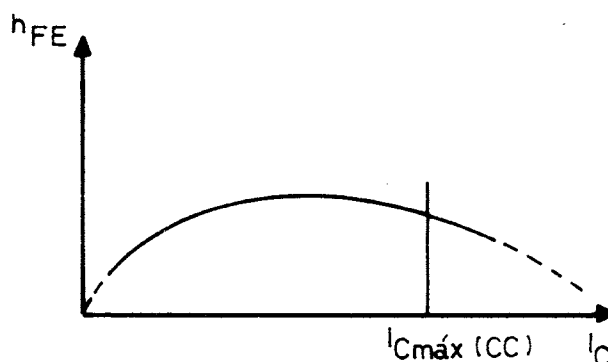
Por ejemplo, en el manual ya citado, se tiene para los transistores BC 547 a 549 las siguientes especificaciones:

$$\text{Corriente de colector (CC)} \quad I_{C_{m\acute{a}x}} = 100 \text{ mA}$$

$$\text{Corriente de colector (valor pico)} \quad I_{C_{M_{m\acute{a}x}}} = 200 \text{ mA}$$

La especificación de máxima corriente no siempre es de índole destructiva. Puede ser destructiva o para que el  $h_{FE}$  no disminuya demasiado.





#### 1.6.4. REGIMENES DE TEMPERATURA:

Una causa importante de variación del punto Q es la temperatura de trabajo del transistor.

La corriente de saturación inversa de la juntura C-B la llamamos  $I_{CBO}$ . A 25°C para el Ge esta corriente es del orden de los  $\mu A$  y para el Si del orden de los  $nA$ . La variación de  $I_{CBO}$  con la temperatura es prácticamente igual para el Ge y el Si. Pero debido al menor valor absoluto de  $I_{CBO}$ , el Si se usa hasta unos 200°C, mientras que el Ge sólo hasta 100°C.

Si para 25 °C hacemos  $I_{CBO} = I_{CBO1}$  y para una temperatura final mayor hacemos  $I_{CBO} = I_{CBO2}$  se tiene:

$$I_{CBO2} = I_{CBO1} \cdot \{ e^{K' \cdot (T_2 - T_1)} \} = I_{CBO1} \cdot e^{K' \cdot \Delta T} \quad \{1.25.\}$$

donde:  $K' \approx 0,07 \text{ (1/°C)}$

Si no se trabaja con temperaturas muy elevadas,  $I_{CBO}$  se duplica aproximadamente cada 10 °C.

Si  $I_{CBO1} = 10 \text{ nA}$  para 25 °C, podemos evaluar  $I_{CBO2}$  así:

T (°C)	$I_{CBO}$ (nA)
25	10 $\Rightarrow I_{CBO1}$
35	20
45	40
55	80
65	160 $\Rightarrow I_{CBO2}$

$$\Delta I_{CBO} = I_{CBO2} - I_{CBO1} = 160 - 10 = 150 \text{ nA}$$

El aumento de  $I_{CBO}$  produce un aumento de  $I_{CQ}$ .

$$I_{CQ}^{\uparrow} = h_{FE} \cdot I_B + (1 + h_{FE}) \cdot I_{CBO}^{\uparrow} \quad \text{donde } h_{FE} \approx \beta$$

Otro parámetro que varía con la temperatura es la tensión B-E ( $V_{BE}$ ).

La tensión  $V_{BE}$  disminuye linealmente con la temperatura de acuerdo con la relación:

$$\Delta V_{BE} = V_{BE2} - V_{BE1} = -K (T_2 - T_1) \quad \{1.26.\}$$

donde  $T_2 > T_1$   $K$  varía entre 1,5 y 2,5 mV/°C.

Se usa el valor de:

$2,5 \frac{\text{mV}}{^{\circ}\text{C}}$  para colocarse en la situación más desfavorable.

Si  $\Delta T = 40^{\circ}\text{C}$  y si  $K = 2,5 \frac{\text{mV}}{^{\circ}\text{C}}$  se tiene:

$$\Delta V_{BE} = -K \cdot \Delta T = -2,5 \frac{\text{mV}}{^{\circ}\text{C}} \cdot 40^{\circ}\text{C} = -100 \text{ mV} = -0,1 \text{ V}$$

$$\left. \begin{array}{l} V_{BE} = 0,7 \text{ V } (25^{\circ}\text{C}) \\ V_{BE} = 0,6 \text{ V } (65^{\circ}\text{C}) \end{array} \right\} \Delta T = 40^{\circ}\text{C}$$

Este efecto de la variación de  $V_{BE}$  con la temperatura también produce un aumento de  $I_{CQ}$ . Recordemos que de la FIGURA 1.18.

$$I_{CQ} = \frac{V_{BB} - V_{BE}}{R_e + \frac{R_B}{h_{FE}}}$$

Si  $V_{BE}$  disminuye, la  $I_{CQ}$  aumenta.

En el Si es más importante el efecto de aumento de  $I_{CQ}$  por disminución de  $V_{BE}$  que por aumento de  $I_{CBO}$ . En el Germanio ocurre lo contrario.

$h_{FE}$  aumenta también con la temperatura sobre todo en el Si.

El aumento de  $h_{FE}$  puede ser del orden del 50 % para incrementos de temperatura de 40 a 50  $^{\circ}\text{C}$ .

$$I_{CQ} = h_{FE} \cdot I_B + (1 + h_{FE}) \cdot I_{CBO}$$

Produce también un aumento de  $I_{CQ}$ .

Este efecto ya hemos visto se apantalla haciendo:  $R_e \approx 10 \frac{R_B}{h_{FE_m}}$

#### 1.6.5. REGIMENES DE DISIPACION:

Los fabricantes de transistores especifican que la juntura colectora puede soportar hasta una cierta temperatura (llamada temperatura máxima de la juntura:  $T_{j_{\text{máx}}}$ ), a partir de la cual se deteriora.

Para el BC 327 se tiene: temperatura  $T_{j_{\text{máx}}} = 150^{\circ}\text{C}$ .

$T_j$  depende de las corrientes y tensiones a través de la juntura, es decir, de la potencia que disipa la unión.

La temperatura de la juntura, en ausencia de corriente, debe ser igual a  $T_a$  (temperatura ambiente del recinto donde está ubicado el transistor).

Al existir conducción de corriente al valor de  $T_a$  se le suma una cantidad proporcional a la potencia que disipa el transistor. Es decir:

$$T_j = T_a + \theta_{ja} \cdot P_d \quad \therefore \quad P_d = \frac{T_j - T_a}{\theta_{ja}} \quad \{1.27.\}$$

donde la cte de proporcionalidad  $\theta_{ja}$  es la resistencia térmica entre juntura y medio ambiente, cuya unidad es:  $(^{\circ}\text{C}/\text{W})$

Para el BC 337 la resistencia térmica desde la juntura al ambiente al aire libre es:

$$\theta_{ja} = R_{th\ ja} = 0,2^{\circ}\text{C}/\text{mW} = 200^{\circ}\text{C}/\text{W}$$

Cuanto menor sea  $\theta_{ja}$ , mayor será la capacidad de disipación del transistor.

Puede hacerse una analogía eléctrica para estudiar estos problemas térmicos. Se

puede considerar a  $P_d$  como un generador de corriente constante, al efecto del calor retenido por la juntura como una capacitancia  $C$  y a la oposición de la transferencia de ese calor al medio ambiente como una resistencia eléctrica  $\theta_{ja}$ . Lo que puede apreciarse en la FIGURA 1.29.

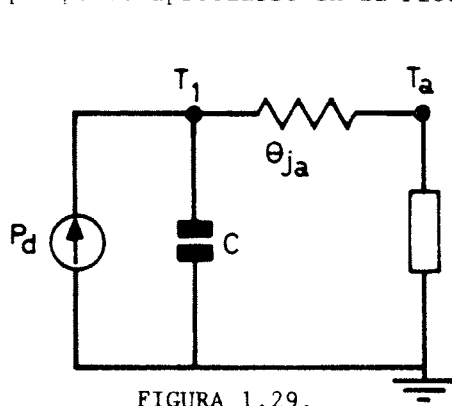


FIGURA 1.29.

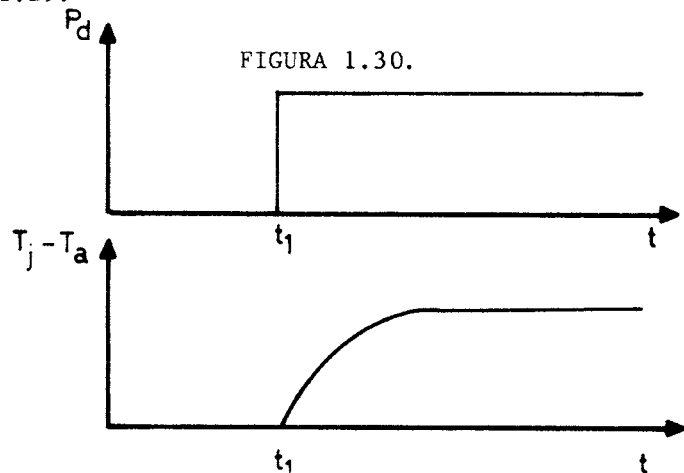


FIGURA 1.30.

Las temperaturas  $T_j$  y  $T_a$  se consideran como potenciales eléctricos respecto de la temperatura cero (masa).

Si se aplica un régimen de potencia  $P_d$  por medio de un escalón, la diferencia de potencial  $T_j - T_a$  crecerá gradualmente siguiendo la ley exponencial de los circuitos eléctricos. FIGURA 1.30.

$$T_j - T_a = \theta_{ja} \cdot P_d \cdot \left( 1 - e^{-\frac{t - t_1}{\theta_{ja} \cdot C}} \right) \quad \{1.28.\}$$

Para  $t \rightarrow \infty$  (régimen permanente), se obtiene:

$$T_j - T_a = \theta_{ja} \cdot P_d \quad \text{que coincide con la ecuación } \{1.27.\}$$

En el manual de Fapesa vemos que para los transistores BD 135, 137 y 139 se especifica la resistencia térmica:

Desde la juntura al ambiente, al aire libre :  $\theta_{ja} = 100 \text{ } ^\circ\text{C/W}$

Desde la juntura a la base de montaje :  $\theta_{jc} = 10 \text{ } ^\circ\text{C/W}$

El subíndice "c" corresponde a carcasa.

$$\theta_{ja} = \theta_{jc} + \theta_{ca}$$

Como vimos arriba  $\theta_{jc}$  viene especificado por el fabricante y puede variar entre  $50 \text{ } ^\circ\text{C/W}$  a  $1 \text{ } ^\circ\text{C/W}$  para transistores de potencia y de  $50 \text{ } ^\circ\text{C/W}$  a  $700 \text{ } ^\circ\text{C/W}$  para transistores de bajo nivel. Los valores de  $\theta_{ca}$  dependen de la cápsula usada.

Incorporando la carcasa y en régimen permanente, tenemos el circuito de la FIGURA 1.31. (para el BD 135).

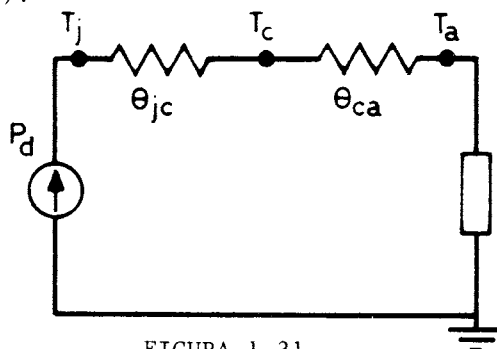


FIGURA 1.31.

$$\theta_{jc} = 10 \text{ }^{\circ}\text{C/W}$$

$$\theta_{ca} = 90 \text{ }^{\circ}\text{C/W}$$

En el manual mencionado se tiene disipación total de potencia hasta:

$$T_{mb} = T_C = 70 \text{ }^{\circ}\text{C} \longrightarrow P_{d\text{máx}} = 8 \text{ W} \text{ y } T_{j\text{máx}} = 150 \text{ }^{\circ}\text{C}$$

Verifiquemos:

$$P_d = \frac{T_{j\text{máx}} - T_C}{\theta_{jc}} = \frac{150 \text{ }^{\circ}\text{C} - 70 \text{ }^{\circ}\text{C}}{10 \text{ }^{\circ}\text{C/W}} = \frac{80}{10} = 8 \text{ W}$$

Pero supongamos ahora que  $T_a = 50 \text{ }^{\circ}\text{C}$ .

$$P_d = \frac{T_j - T_a}{\theta_{ja}} = \frac{T_j - T_a}{\theta_{jc} + \theta_{ca}} = \frac{150 - 50}{100} \text{ W} = 1 \text{ W}$$

Sólo puede disipar 1 W respecto a los 8 W que especificaba el fabricante. Pero esa especificación era válida para  $T_C = 70 \text{ }^{\circ}\text{C}$ .

Veamos cuánto vale  $T_C$  para  $T_a = 50 \text{ }^{\circ}\text{C}$ .

$$T_j - T_C = \theta_{jc} \cdot P_d \therefore T_C = T_j - \theta_{jc} \cdot P_d = 150 - 10 \cdot 1 = 140 \text{ }^{\circ}\text{C}$$

La temperatura de la carcasa es de  $140 \text{ }^{\circ}\text{C}$  y no de  $70 \text{ }^{\circ}\text{C}$ .

Vemos que el alto valor de  $\theta_{ca}$  respecto de  $\theta_{jc}$  invalida el uso del dispositivo. Para solucionar el problema colocamos una resistencia baja en paralelo con  $\theta_{ca}$ . Esa baja resistencia se obtiene usando un disipador.

Si el colector está conectado a la base de montaje y ésta debe estar eléctricamente aislada del disipador, se debe colocar por ejemplo mica entre éstos para tal fin. Además conviene agregar grasa siliconada para aumentar la superficie de contacto. Todo esto configura una cierta resistencia térmica (entre carcasa y disipador), y en serie con esa resistencia térmica se tiene la del disipador, según puede observarse en la FIGURA 1.32.

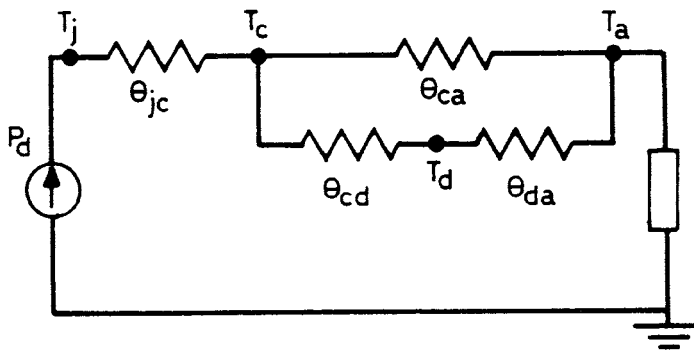


FIGURA 1.32.

Como  $\theta_{ca} \gg \theta_{cd} + \theta_{da}$ , se desprecia la acción de  $\theta_{ca}$ .

Queda prácticamente un circuito con tres resistencias en serie:  $\theta_{jc}$ ,  $\theta_{cd}$  y  $\theta_{da}$ .

Generalmente  $\theta_{cd}$  se aproxima a  $3 \text{ }^{\circ}\text{C/W}$  y si  $\theta_{da}$  se construye de manera que

$\theta_{da} = 7 \text{ }^{\circ}\text{C/W}$ , se tiene para el BD 135:

$$\theta_{ja} = \theta_{jc} + \theta_{cd} + \theta_{da} = 10 \text{ }^{\circ}\text{C/W} + 3 \text{ }^{\circ}\text{C/W} + 7 \text{ }^{\circ}\text{C/W} = 20 \text{ }^{\circ}\text{C/W}$$

La potencia máxima que se puede disipar con el BD 135 es:

$$P_{dM} = \frac{T_{jM} - T_a}{\theta_{ja}} = \frac{150 \text{ }^{\circ}\text{C} - 50 \text{ }^{\circ}\text{C}}{20 \text{ }^{\circ}\text{C/W}} = 5 \text{ W}$$

para  $T_a = 50 \text{ }^{\circ}\text{C}$  y el disipador mencionado.

El diseño del disipador se puede realizar con la ayuda de ábacos.

1.6.6. RELACION ENTRE  $V_{CEQ}$  y  $V_{CC}$ :

Para evitar el corrimiento o embalamiento térmico se puede demostrar que es condición suficiente que se cumpla:

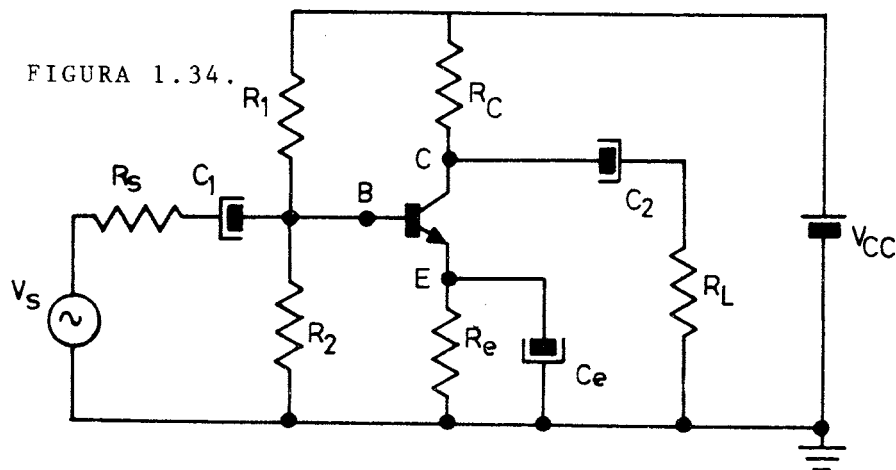
$$V_{CEQ} \leq \frac{V_{CC}}{2} \quad \{1.29.\}$$

Esta condición no puede cumplirse si la carga es un transformador o la  $R_{EST}$  es de bajo valor.

Es imprescindible entonces mantener pequeños los factores de estabilidad (discutidos luego), para que  $I_{CQ} \approx \text{cte.}$

## 1.6.7. ANALISIS DE UNA ETAPA CON SEÑALES FUERTES:

Sea el circuito de la FIGURA 1.34.



$R_1 = 2200 \, \Omega$	$R_L = 100 \, \Omega$
$R_2 = 270 \, \Omega$	$V_{CC} = 32 \, V$
$R_C = 390 \, \Omega$	$T_a = 45 \, ^\circ C$
$R_e = 50 \, \Omega$	BC 337

a)

$$\frac{V_{CC}}{BV_{CEO}} = \frac{32}{45} = 0,71 \quad \text{Correcto, ya que } V_{CC} \approx 0,65 \text{ a } 0,75 \, BV_{CEO}$$

b)

$$V_{PB} = V_{CC} \frac{R_2}{R_1 + R_2} = 32 \frac{270}{270 + 2200} = \frac{32 \cdot 270}{2470} \approx 3,5 \, V$$

$$R_B = \frac{R_1 \cdot R_2}{R_1 + R_2} = \frac{270 \cdot 2200}{2470} = 240 \, \Omega$$

c) Determinación de  $Q$  a  $25 \, ^\circ C$ :

$$I_{CQ} = \frac{V_{PB} - V_{BE}}{R_B + \frac{R_e}{h_{FE_T}}} = \frac{3,5 - 0,7}{50 + \frac{240}{170}} = \frac{2,8}{51,4} \approx 55 \, \text{mA}$$

$h_{FE_T}$  se obtiene examinando el gráfico en el manual correspondiente.

$$V_{CEQ} = V_{CC} - I_{CQ} (R_C + R_e) = 32 - 55 \cdot 10^{-3} (390 + 50) \approx 8 \text{ V}$$

$$\frac{R_e}{R_B / h_{FE_m}} = \frac{50}{240 / 100} = \frac{50 \cdot 100}{240} = \frac{5000}{240} \approx 21$$

Correcto para apantallar los cambios de  $h_{FE}$

d)  $P_{d_M} = I_{CQ} \cdot V_{CEQ} = 55 \cdot 10^{-3} \cdot 8 = 440 \text{ mW}$

La potencia que puede disipar el transistor es:

$$P_{dT} = \frac{T_{jM} - T_a}{\theta_{ja}} = \frac{150 - 45}{0,2} = 525 \text{ mW}$$

Resultado:  $P_{d_M} < P_{dT}$ , correcto.

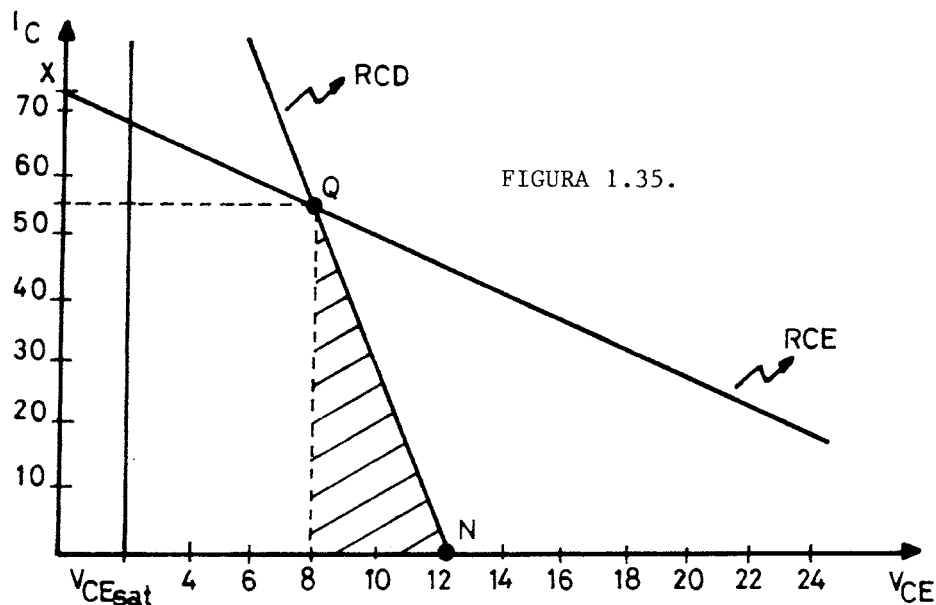
e) Tomamos, por razones de seguridad, una  $V_{CESAT} = 2 \text{ V} \gg 0,7 \text{ V}$   
(especificación del fabricante)

f)

$$R_d = \frac{R_C \cdot R_L}{R_C + R_L} = \frac{390 \cdot 100}{490} \approx 80 \Omega, \quad \Delta V = - \Delta I \cdot R_d$$

$$\Delta V = - (-55 \cdot 10^{-3}) \cdot 80 = 4,4 \text{ V}$$

g) Trazamos la RCE, la RCD, ubicamos los puntos de máxima excursión de señal sin recorte M y N y calculamos la potencia de salida sobre  $R_d$



Para determinar la RCE podemos hallar:

$$\frac{V_{CC}}{R_C + R_e} = \frac{32}{440} \approx 73 \text{ mA} \quad (\text{ punto X }). \quad \text{Uniendo X con Q se tiene la RCE.}$$

$$P_S = \text{superficie del triángulo sombreado} = \frac{55 \cdot 10^{-3} \cdot 4,4}{2} = 121 \text{ mW}$$

h) Potencia desarrollada por  $R_L$

$$P_L = P_S \frac{R_C}{R_C + R_L} = 121 \text{ mW} \frac{390}{490} \approx 96 \text{ mW}$$

i) Cálculo de la corriente  $I_1$ ;

Suponiendo despreciable la corriente de base :

$$I_1 = \frac{V_{CC}}{R_1 + R_2} = \frac{32}{2470} = 13 \text{ mA}$$

Verifiquemos que la corriente de base se puede despreciar:

$$I_{BM} = \frac{I_{CQ}}{h_{FE_m}} = \frac{55 \cdot 10^{-3}}{100} = 550 \text{ } \mu\text{A}$$

j) Cálculo de la potencia continua entregada por la fuente:

$$P_{CC} = V_{CC} (I_{CQ} + I_1) = 32 \cdot (55 \cdot 10^{-3} + 13 \cdot 10^{-3}) \approx 2,2 \text{ W}$$

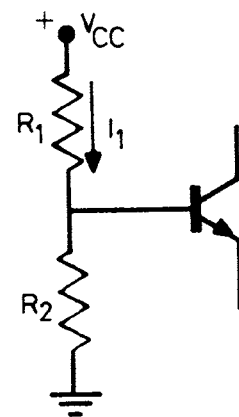
k) Rendimiento de la conversión continua - carga útil:

$$\eta \% = \frac{P_L}{P_{CC}} \cdot 100 = \frac{96 \cdot 10^{-3}}{2,2} \cdot 100 = \frac{9,6}{2,2} \approx 4,35\%$$

i) Rendimiento de la conversión continua - potencia de salida:

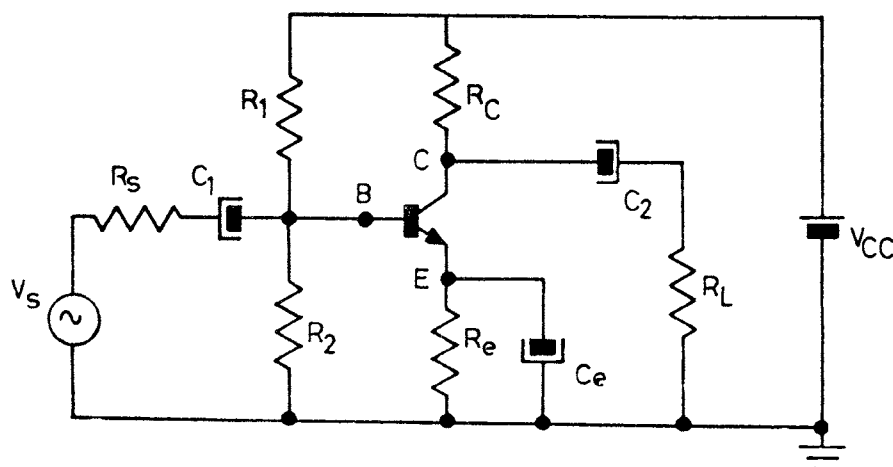
$$\eta \% = \frac{P_S}{P_{CC}} \cdot 100 = \frac{121 \cdot 10^{-3}}{2,2} \cdot 100 = \frac{12,1}{2,2} = 5,5\%$$

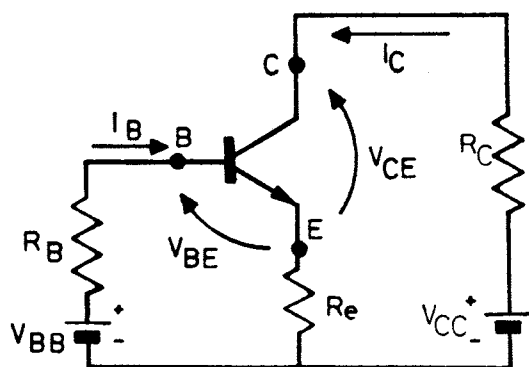
FIGURA 1.36.



#### 1.6.8. CALCULO DE UN DISIPADOR:

DATOS :	$R_1 = 330 \text{ } \Omega$	$R_2 = 220 \text{ } \Omega$	$R_e = 22 \text{ } \Omega$	$R_C = 15 \text{ } \Omega$
	$T_a = 70 \text{ } ^\circ\text{C}$	$V_{CC} = 24 \text{ V}$	BD 137	





Análisis de continua:

$$R_B = R_1 \parallel R_2 = 330\Omega \parallel 220\Omega = 132\Omega$$

$$V_{BB} = V_{CC} \cdot \frac{R_2}{R_1 + R_2}$$

$$V_{BB} = 24 \cdot \frac{220}{220 + 320} = 9,6 \text{ V}$$

$$I_{CQ} = \frac{V_{BB} - V_{BE}}{R_e} = \frac{9,6 - 0,7}{22} = 0,4 \text{ A} \quad (\text{Del manual } h_{FE} (400\text{mA}) \approx 80)$$

$$\therefore I_{CQ} = \frac{V_{BB} - V_{BE}}{R_e + \frac{R_B}{h_{FE}}} = \frac{9,6 - 0,7}{22 + \frac{132}{80}} = 376 \text{ mA} \quad (h_{FE} (380\text{mA}) \approx 80)$$

$$\therefore V_{CE} = V_{CC} - V_{CQ} (R_C + R_e) = 24 - 376 \cdot 10^{-3} (15 + 22) = 10 \text{ V}$$

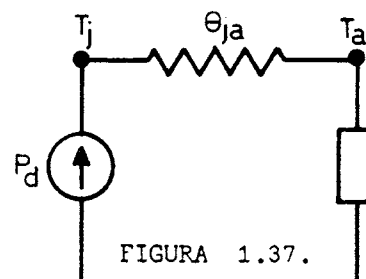
Potencia máxima que debe disipar el transistor:

$$P_{dT} = I_{CQ} \cdot V_{CEQ} = 0,376 \text{ A} \cdot 10 \text{ V} = 3,76 \text{ W}$$

Potencia máxima que puede disipar el transistor:

$$\begin{array}{l} \text{Del manual} \\ \left| \begin{array}{l} T_{j\text{MAX}} = 150^\circ\text{C} \\ \theta_{ja} = 100^\circ\text{C/W} \end{array} \right. \end{array}$$

$$P_d = \frac{T_j - T_a}{\theta_{ja}} = \frac{(150 - 70)^\circ\text{C}}{100^\circ\text{C/W}} = 800 \text{ mW}$$

Como :  $P_{dT} > P_d$ , debo USAR DISIPADOR, de modo tal que puedan disiparse 4 W.

$$\text{Del manual } \theta_{jc} = 10^\circ\text{C/W}$$

$$\text{Adoptamos } \theta_{cd} = 2^\circ\text{C/W}$$

$$\theta_{da} = \frac{T_j - T_a}{P_d} - (\theta_{jc} + \theta_{cd})$$

$$\theta_{da} = \frac{150^\circ\text{C} - 70^\circ\text{C}}{4 \text{ W}} - (10 + 2)^\circ\text{C/W} = 8^\circ\text{C/W}$$

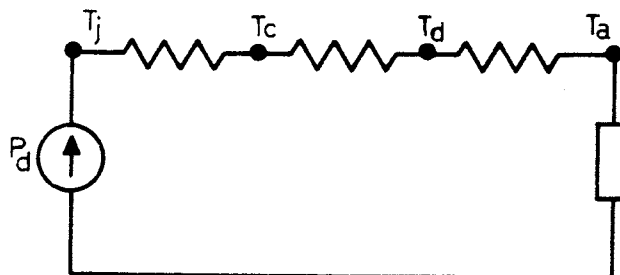


FIGURA 1.38.



Del gráfico de disipador , obtenemos:

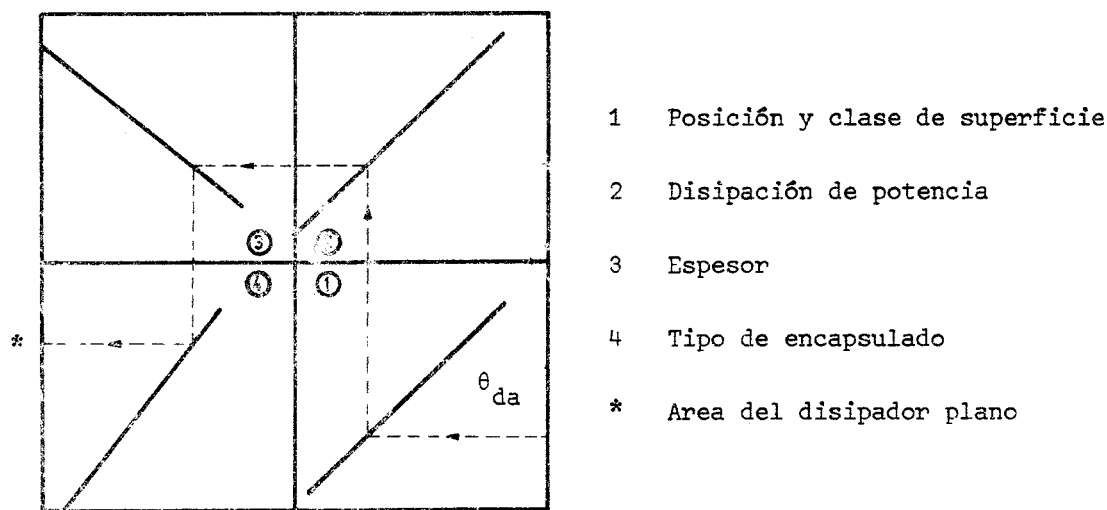


FIGURA 1.39.

Para un disipador : PLANO ; BRILLANTE HORIZONTAL ; ESPESOR (2 mm) ;  
ENCAPSULADO SOT 32

AREA DEL DISIPADOR = 90 Cm<sup>2</sup>

### 1.7. FACTORES DE ESTABILIZACION:

Para evaluar y comparar las propiedades de cada circuito, en cuanto a estabilidad de la polarización, se definen factores de estabilidad S para cada parámetro del sistema.

Como:  $I_{CQ} = f ( I_{CBO} , V_{BE} , h_{FE} , \dots )$

Su diferencial es:  $d I_{CQ} = \left( \frac{\partial I_{CQ}}{\partial I_{CBO}} \right) d I_{CBO} + \left( \frac{\partial I_{CQ}}{\partial V_{BE}} \right) d V_{BE} + \left( \frac{\partial I_{CQ}}{\partial h_{FE}} \right) d h_{FE}$

{1.30.}

Si los cambios son pequeños, podemos reemplazar los diferenciales por incrementos. Además, en este caso, se puede suponer que el sistema se comporta linealmente y por lo tanto se aplica el principio de superposición.

Se definen los factores de estabilidad como:

$$S_I = \frac{\partial I_{CQ}}{\partial I_{CBO}} = \frac{\Delta I_{CQ}}{\Delta I_{CBO}} , S_V = \frac{\partial I_{CQ}}{\partial V_{BE}} = \frac{\Delta I_{CQ}}{\Delta V_{BE}} , S_{h_{FE}} = \frac{\partial I_{CQ}}{\partial h_{FE}} = \frac{\Delta I_{CQ}}{\Delta h_{FE}}$$

$$\Delta I_{CQ} = S_I \cdot \Delta I_{CBO} + S_V \cdot \Delta V_{BE} + S_{h_{FE}} \cdot \Delta h_{FE} + \dots \quad \{1.31.\}$$

Como:  $I_C = h_{FE} \cdot I_B + (1 + h_{FE}) I_{CBO}$

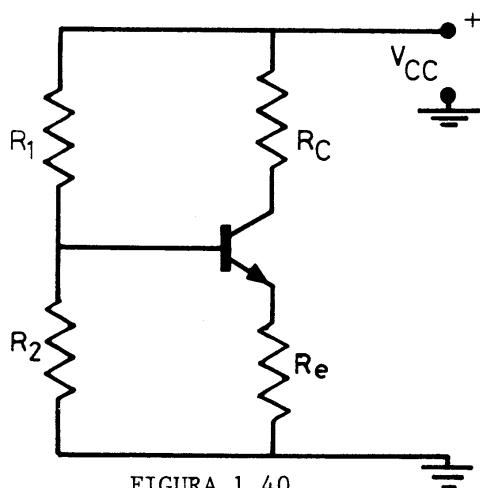
al considerar variable a  $I_{CBO}$  y constantes a los demás parámetros ( $V_{BE} , h_{FE} , \dots$ ) , se tiene:

$$\frac{\Delta I_C}{\Delta I_{CB0}} = h_{FE} \frac{\Delta I_B}{\Delta I_{CB0}} + (1 + h_{FE}) = h_{FE} \frac{\Delta I_B}{\Delta I_C} \cdot \frac{\Delta I_C}{\Delta I_{CB0}} + (1 + h_{FE})$$

$$\frac{\Delta I_C}{\Delta I_{CB0}} \cdot (1 - h_{FE} \frac{\Delta I_B}{\Delta I_C}) = (1 + h_{FE}) \quad \therefore \quad \frac{\Delta I_C}{\Delta I_{CB0}} = \frac{1 + h_{FE}}{1 - h_{FE} \frac{\Delta I_B}{\Delta I_C}}$$

$$S_I = \frac{1 + h_{FE}}{1 - h_{FE} \frac{\Delta I_B}{\Delta I_C}} \quad \{1.32.\}$$

### 1.7.1. POLARIZACION POR DIVISOR Y $R_e$ :



Aplicando Thevenin

$$V_{BB} = V_{CC} \frac{R_2}{R_1 + R_2} \quad \text{y} \quad R_B = R_1 || R_2$$

En la malla de entrada:

$$V_{BB} = R_B I_B + R_e (I_B + I_C) + V_{BE}$$

$$V_{BB} = (R_B + R_e) I_B + R_e I_C + V_{BE}$$

$$I_B = \frac{V_{BB} - V_{BE} - R_e I_C}{R_B + R_e}$$

$$\therefore \frac{\Delta I_B}{\Delta I_C} = - \frac{R_e}{R_B + R_e} \quad \{1.33.\}$$

FIGURA 1.40.

Reemplazando en la ecuación {1.32.} se tiene:

$$S_I = \frac{1 + h_{FE}}{1 + h_{FE} \frac{R_e}{R_B + R_e}} \quad \{1.34.\}$$

Recordemos que para el circuito de la FIGURA 1.40. se obtuvo:

$$I_{CQ} = \frac{V_{BB} - V_{BE}}{R_e + \frac{R_B}{h_{FE}}}$$

Si queremos hallar  $S_V$ , el parámetro variable es  $V_{BE}$  y los parámetros  $I_{CB0}$  y  $h_{FE}$  permanecerán constantes.

Llamamos:

$$D = R_e + \frac{R_B}{h_{FE}}$$

Con lo cual:

$$S_V = \frac{\Delta I_{CQ}}{\Delta V_{BE}} = - \frac{1}{D} \quad \{1.35.\}$$

Se puede calcular que:

$$S_{h_{FE}} = \frac{\Delta I_{CQ}}{\Delta h_{FE}} = \frac{I_{CQ1}}{h_{FE1}} \cdot \frac{R_B + R_e}{R_B + h_{FE2} \cdot R_e} \quad \{1.36.\}$$

donde el subíndice 1 corresponde a 25 °C o bien al  $h_{FE_m}$  y el subíndice 2 corresponde al  $h_{FE2}$  dependiente de la temperatura ambiente final o bien del  $h_{FE_M}$ .

#### 1.7.2. ANALISIS DE VARIACIONES DE $I_{CQ}$ POR TEMPERATURA:

$$\Delta I_{CQ} = S_I \cdot \Delta I_{CB0} + S_V \cdot \Delta V_{BE} + S_{h_{FE}} \cdot \Delta h_{FE}$$

Ya hemos visto como se calculan  $\Delta I_{CB0}$  y  $\Delta V_{BE}$ .

$\Delta h_{FE}$  en función de la temperatura se puede obtener considerando un incremento de  $h_{FE2}$  respecto de  $h_{FE1}$  para un  $\Delta T$  del orden de 50 °C.

Es decir:

$$\Delta h_{FE2} = 1,5 h_{FE1} \quad \therefore \quad h_{FE} = h_{FE2} - h_{FE1} = 1,5 h_{FE1} - h_{FE1} = 0,5 h_{FE1}$$

Es decir que al pasar la T desde 25 °C a 75 °C el  $h_{FE}$  se incrementa en un 50 %.

$$\Delta I_{CQ} = \Delta I_{CQ} \Big|_{I_{CB0}} + \Delta I_{CQ} \Big|_{V_{BE}} + \Delta I_{CQ} \Big|_{h_{FE}} \quad \{1.37.\}$$

donde:

$$\Delta I_{CQ} \Big|_{I_{CB0}} = S_I \cdot \Delta I_{CB0}, \quad \Delta I_{CQ} \Big|_{V_{BE}} = S_V \cdot \Delta V_{BE}, \quad \Delta I_{CQ} \Big|_{h_{FE}} = S_{h_{FE}} \cdot \Delta h_{FE} \quad \{1.38.\}$$

#### 1.7.3. ANALISIS DE LA VARIACION DE $I_{CQ}$ POR INCORRECTA REGULACION DE LA FUENTE DE ALIMENTACION:

$$S_{V_{CC}} = \frac{\Delta I_{CQ}}{\Delta V_{CC}}, \quad I_{CQ} = \frac{V_{BB} - V_{BE}}{D} = \frac{V_{CC} \frac{R_2}{R_1 + R_2} - V_{BE}}{D}$$

$$S_{V_{CC}} = \frac{1}{D} \cdot \frac{R_2}{R_1 + R_2} \quad \{1.39.\}, \quad \Delta I_{CQ} \Big|_{V_{CC}} = S_{V_{CC}} \cdot \Delta V_{CC}$$

Siendo  $\Delta V_{CC}$  la variación de la tensión de salida de la fuente de alimentación respecto de la nominal.

#### 1.7.4. ANALISIS DE VARIACIONES DE Q DEBIDO A LA TOLERANCIA DE $R_e$ :

$\Delta R_e$  es la variación de  $R_e$  debido a su tolerancia.

Como:

$$I_{CQ} = \frac{V_{BB} - V_{BE}}{R_e + \frac{R_B}{h_{FE}}} \quad \therefore \quad S_{R_e} = \frac{\Delta I_{CQ}}{\Delta R_e} = \frac{-(V_{BB} - V_{BE})}{\left(R_e + \frac{R_B}{h_{FE}}\right)^2}$$

$$S_{R_e} = \frac{-(V_{BB} - V_{BE})}{D^2}, \quad \Delta I_{CQ} \bigg|_{R_e} = S_{R_e} \cdot \Delta R_e$$

{1.40.}

{1.41.}

### 1.7.5. DETERMINACION SOBRE LA RECTA DE CARGA ESTATICA DE LOS PUNTOS EXTREMOS $Q_1$ y $Q_2$ :

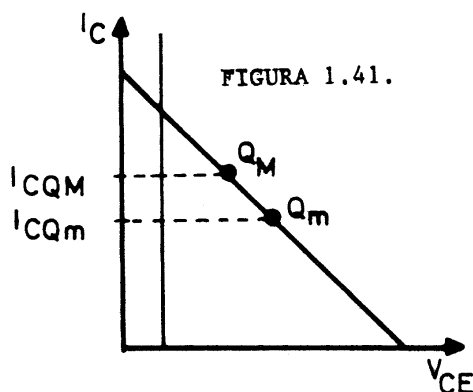
$Q_1$  es el punto Q más cercano al eje de abscisas.

$Q_2$  es el punto Q más cercano al eje de saturación.

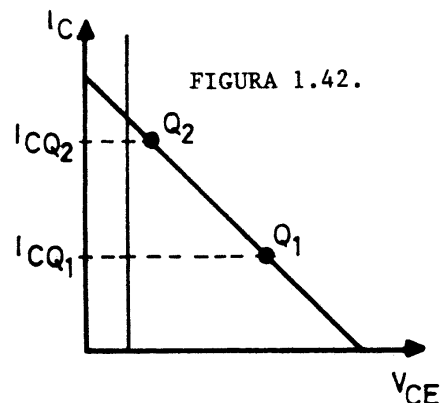
Para llegar a ubicar a  $Q_1$  y  $Q_2$ , previamente vamos a ubicar los puntos  $Q_m$  y  $Q_M$  que corresponden a  $h_{FE_m}$  y  $h_{FE_M}$ .

Es decir que se trabaja con la variación de  $I_{CQ}$  respecto de  $h_{FE}$  ocasionada por dispersión de fabricación y no con la variación de  $h_{FE}$  por temperatura.

La primera variación es superior a la segunda. Esta es la razón.



$$I_{CQ_M} = \frac{V_{BB} - V_{BE}}{R_e + \frac{R_B}{h_{FE_M}}} \quad \{1.42.\}$$



$$I_{CQ_m} = \frac{V_{BB} - V_{BE}}{R_e + \frac{R_B}{h_{FE_m}}} \quad \{1.43.\}$$

$\Delta I_{CQ} \big|_{I_{CB0}}$  y  $\Delta I_{CQ} \big|_{V_{BE}}$  ocasionan desplazamientos hacia arriba de los puntos  $Q_m$  y  $Q_M$ , si son variaciones originadas por aumentos de la temperatura.

$\Delta I_{CQ} \big|_{V_{CC}}$  y  $\Delta I_{CQ} \big|_{R_e}$  ocasionan desplazamientos de  $Q_m$  y  $Q_M$  tanto hacia arriba como hacia abajo ya que  $\Delta V_{CC}$  y

$\Delta R_e$  pueden tener variaciones positivas o negativas.

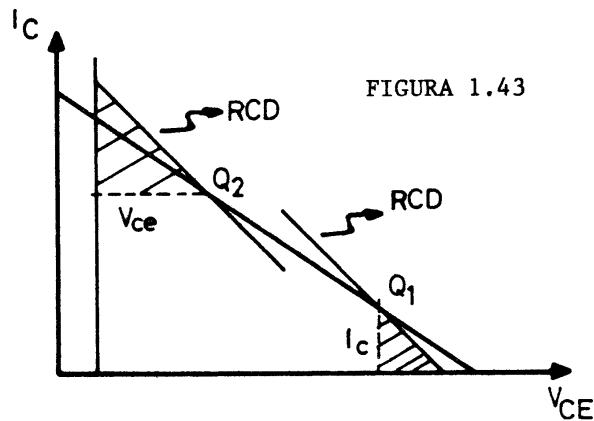
Para ubicar la posición más desfavorable de  $Q_1$  se tiene:

$$I_{CQ_1} = I_{CQ_m} + \Delta I_{CQ} \big|_{I_{CB0}} + \Delta I_{CQ} \big|_{V_{BE}} - \Delta I_{CQ} \big|_{V_{CC}} - \Delta I_{CQ} \big|_{R_e} \quad \{1.44.\}$$

El punto más desfavorable para  $Q_2$  es:

$$I_{CQ2} = I_{CQM} + \Delta I_{CQ} \left| I_{CBO} \right| V_{BE} + \Delta I_{CQ} \left| V_{CC} \right| R_e \quad \{1.45.\}$$

#### 1.7.6. DETERMINACION DE LA UBICACION EXTREMA DE $Q_1$ Y $Q_2$ PARA OBTENER UNA $P_L$ DADA:



Se ve que la ubicación de  $Q_1$  y  $Q_2$  define la  $P_S$  que se obtien (ver triángulos sombreados de la FIGURA 1.43).

Recordemos que:

$$P_L = P_S \frac{R_C}{R_C + R_L} \quad \therefore \quad P_S = P_L \frac{R_C + R_L}{R_C} \quad (\text{superficie triángulos})$$

$$P_S = \frac{I_c^2 \cdot R_d}{2} \quad \therefore \quad I_c = \sqrt{2 \frac{P_S}{R_d}} \quad \{1.46.\}$$

Es decir que  $I_{CQ1} \geq I_c \quad \{1.47.\}$

Por otra parte:

$$P_S = \frac{V_{ce}^2}{2 R_d} \quad \therefore \quad V_{ce} = \sqrt{2 P_S R_d} \quad \{1.48.\}$$

Es decir que:

$$V_{ce2} \geq V_{CEQ2} - V_{SAT}$$

#### 1.7.7. FACTORES DE ESTABILIDAD CORRESPONDIENTES A POLARIZACION $I_B$ CONSTANTE:

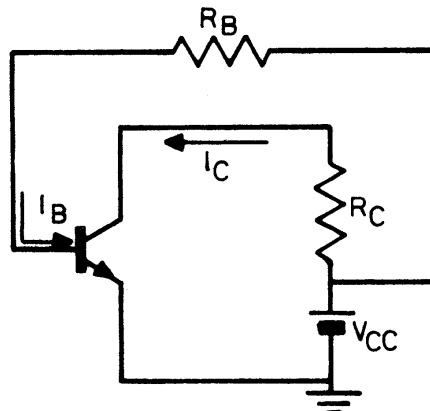


FIGURA 1.44.

Como  $I_B = \text{constante}$ , resulta:

$$\frac{\Delta I_B}{\Delta I_C} = 0$$

Reemplazando en la ecuación {1.32.}, se obtiene:

$$S_I = 1 + h_{FE} \approx h_{FE} \quad \{1.49.\} \quad , \quad \Delta I_{CQ} \bigg|_{I_{CB0}} = S_I \cdot \Delta I_{CB0} = h_{FE} \cdot \Delta I_{CB0}$$

Las variaciones de  $\Delta I_{CQ} \bigg|_{I_{CB0}}$  son grandes.

Para el circuito polarizado por medio de un divisor de tensión teníamos:

$$S_I = \frac{1 + h_{FE}}{1 + h_{FE} \frac{R_e}{R_B + R_e}} \quad \{1.34.\}$$

Como conviene que los factores de estabilización sean chicos para que varíe poco el  $I_{CQ}$ , se tiene que el circuito de la FIGURA 1.44. estabiliza menos que el circuito de la FIGURA 1.40.

Los factores  $S$  permiten comparar circuitos de polarización entre sí.  
De la FIGURA 1.44.:

$$I_B = \frac{V_{CC} - V_{BE}}{R_B} \quad , \quad I_{CQ} = h_{FE_T} \cdot I_B = \frac{V_{CC} - V_{BE}}{\left( \frac{R_B}{h_{FE_T}} \right)}$$

Haciendo:

$$D = \frac{R_B}{h_{FE_T}} \quad \{1.50.\} \quad \text{se tiene:}$$

$$I_{CQ} = \frac{V_{CC} - V_{BE}}{D} \quad \text{y} \quad S_V = \frac{\Delta I_{CQ}}{\Delta V_{BE}} = - \frac{1}{D} \quad \text{igual formalmente a la ecuación \{1.35.\} pero con distinto valor de } D.$$

Además:

$$I_{CQM} = \frac{V_{CC} - V_{BE}}{\left( \frac{R_B}{h_{FEM}} \right)} \quad \text{e} \quad I_{CQm} = \frac{V_{CC} - V_{BE}}{\left( \frac{R_B}{h_{FE_m}} \right)}$$

$$\Delta I_{CQ} \bigg|_{h_{FE}} = I_{CQM} - I_{CQm} = \frac{V_{CC} - V_{BE}}{R_B} (h_{FEM} - h_{FE_m}) = \frac{V_{CC} - V_{BE}}{R_B} \cdot \Delta h_{FE}$$

Es decir que

$$S_{h_{FE}} = \frac{V_{CC} - V_{BE}}{R_B} \quad \{1.51.\}$$

#### 1.7.8. FACTORES DE ESTABILIZACION PARA CIRCUITOS POLARIZADOS CON RESISTENCIA ENTRE C y B:

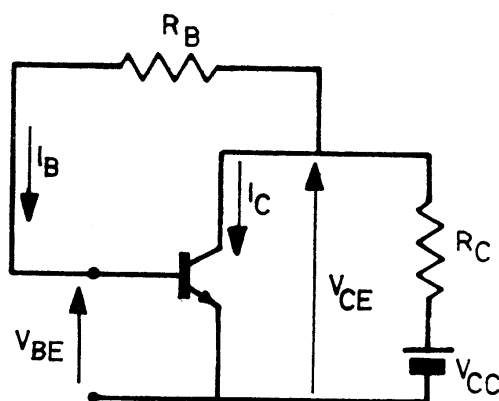


FIGURA 1.45.

$$I_B = \frac{V_{CE} - V_{BE}}{R_B} = \frac{V_{CC} - (I_C + I_B) R_C - V_{BE}}{R_B} = \frac{V_{CC} - I_C R_C - V_{BE}}{R_B + R_C}$$

$$\frac{\Delta I_B}{\Delta I_C} = - \frac{R_C}{R_B + R_C}$$

Reemplazando en la ecuación {1.39.} se obtiene:

$$S_I = \frac{1 + h_{FE}}{R_C} \quad \{1.52.\}$$

De la FIGURA 1.45. se obtiene:

$$I_{CQ} = \frac{V_{CC} - V_{BE}}{R_C + \frac{R_B}{h_{FE}}} \quad \{1.53.\}$$

Hacemos:

$$D = R_C + \frac{R_B}{h_{FE}} \quad \{1.54.\} \quad \therefore \quad I_{CQ} = \frac{V_{CC} - V_{BE}}{D} \quad \text{y} \quad S_V = \frac{\Delta I_{CQ}}{\Delta V_{BE}} = - \frac{1}{D}$$

Conviene que D sea grande para que  $S_V$  sea chico.

Partiendo de la ecuación {1.53.} se llega a una expresión similar a la {1.36.} para  $S_{h_{FE}}$ . En lugar de  $R_e$  se debe colocar  $R_C$ .

La expresión es:

$$S_{h_{FE}} = \frac{\Delta I_{CQ}}{\Delta h_{FE}} = \frac{I_{CQ1}}{h_{FE1}} \cdot \frac{R_B + R_C}{R_B + h_{FE2} R_C} \quad \{1.55.\}$$

Se obtienen valores más bajos de S para el circuito polarizado con divisor de tensión y  $R_e$ .

### 1.7.9. DETERMINACION DE $S_{V_{CC}}$ y $S_{R_B}$ EN EL CIRCUITO DE POLARIZACIÓN

FIJA:

El circuito de la FIGURA 1.44. posee:

$$I_{CQ} = \frac{V_{CC} - V_{BE}}{\frac{R_B}{h_{FE}}} = \frac{V_{CC} - V_{BE}}{D}, \quad S_{V_{CC}} = \frac{\Delta I_{CQ}}{\Delta V_{CC}} = \frac{1}{D}$$

{1.56.} ( este factor puede ser muy importante).

También se puede poner:

$$I_{CQ} = h_{FE} \frac{V_{CC} - V_{BE}}{R_B}$$

$$S_{R_B} = \frac{\Delta I_{CQ}}{\Delta R_B} = - h_{FE} ( V_{CC} - V_{BE} ) \cdot \frac{1}{R_B^2} \quad \{1.57.\}$$

#### 1.7.10. DETERMINACION DE $S_{V_{CC}}$ y $S_{R_C}$ PARA POLARIZACIÓN CON RESISTENCIAS ENTRE C y B :

Para el circuito de la FIGURA 1.45. se tiene:

$$I_{CQ} = \frac{V_{CC} - V_{BE}}{D} \quad \therefore \quad S_{V_{CC}} = \frac{\Delta I_{CQ}}{\Delta V_{CC}} = \frac{1}{D} \quad \text{con} \quad D = R_C + \frac{R_B}{h_{FE}}$$

Además:

$$S_{R_C} = \frac{\Delta I_{CQ}}{\Delta R_C} = - \frac{V_{CC} - V_{BE}}{D^2}$$

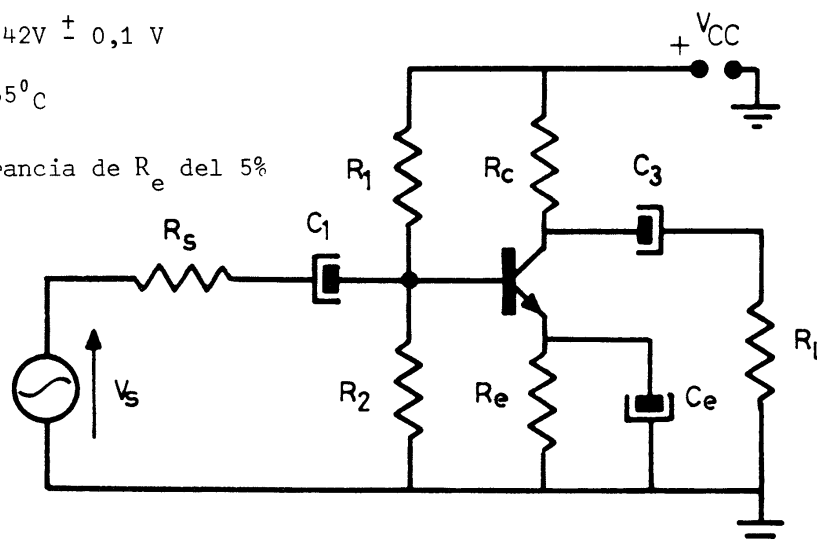
Y finalmente:

$$\Delta I_{CQ} \Big|_{V_{CC}} = S_{V_{CC}} \cdot \Delta V_{CC} \quad \text{y} \quad \Delta I_{CQ} \Big|_{R_C} = S_{R_C} \cdot \Delta R_C$$

Ejemplo:

Dado el siguiente circuito determinar el punto de trabajo Q, los factores de estabilización y las potencias en juego.

- $R_1 = 510\Omega$      $T_R) \text{ BD } 137$   
 $R_2 = 68\Omega$      $V_{CC} = 42V \pm 0,1 V$   
 $R_C = 68\Omega$      $T_a = 65^\circ C$   
 $R_e = 12\Omega$     Tolerancia de  $R_e$  del 5%  
 $R_L = 100\Omega$





Determinación del punto Q de trabajo a 25 °C.

$$V_{BB} = V_{CC} \frac{R_2}{R_1 + R_2} = 42 \frac{68}{68 + 510} = 4,94 \text{ V}$$

$$R_B = \frac{R_1 \cdot R_2}{R_1 + R_2} = 60\Omega$$

$$I_{CQ} = \frac{V_{BB} - V_{BE}}{R_e + \frac{60}{h_{FE}}} = \frac{4,94 - 0,7}{12 + \frac{60}{h_{FE}}}$$

Suponemos primero nulo el término que contiene a  $h_{FE}$ :

$$I_{CQ} = \frac{4,94 - 0,7}{12} = 353\text{mA}$$

Con el valor de esta corriente se entra en el manual y usando el gráfico de  $h_{FE} = f(I_C)$  se obtiene  $h_{FE} \approx 80$ .

Recalculamos  $I_{CQ}$ :

$$I_{CQ} = \frac{4,94 - 0,7}{12 + \frac{60}{80}} = 332\text{mA}$$

Volviendo a usar el gráfico ya mencionado se obtiene:  $h_{FE} \approx 85$ .

Recalculamos  $I_{CQ}$  con el nuevo valor de  $h_{FE}$

Prácticamente no cambia el valor de  $I_{CQ}$  y por consiguiente no seguimos iterando.

$$V_{CEQ} = V_{CC} - I_{CQ} (R_e + R_C) = 42 - 0,332 (12 + 68) = 15,44 \text{ V}$$

$$Q \begin{cases} 332 \text{ mA} \\ 15,44 \text{ V} \end{cases}$$

Se verifica que  $V_{CC} \leq 0,75 \text{ BV}_{CEO} (60 \text{ V})$

Se verifica que  $V_{CEQ} < \frac{V_{CC}}{2} \quad V_{CEQ} < 21\text{V}$

Determinación de los factores de estabilización:

$$S_I = \frac{1 + h_{FE}}{1 + \frac{h_{FE} R_e}{R_e + R_B}} = \frac{1 + 85}{1 + \frac{85 \cdot 12}{12 \cdot 60}} = 5,67$$

$$S_V = - \frac{1}{D} = - \frac{1}{R_e + \frac{R_B}{h_{FE_T}}} = - \frac{1}{12 + \frac{60}{85}} = - 0,078 \text{ V}$$

El fabricante suministra la siguiente información:

Para  $I_C = 150 \text{ mA}$  el  $h_{FE_m} = 40$  y el  $h_{FE_M} = 160$

Usando el gráfico de  $h_{FE} = f(I_C)$  se obtiene:

Para  $I_C = 150 \text{ mA}$  un  $h_{FE_T} = 95$ .

Para el punto Q con que trabajamos recordemos que:  $h_{FE_T} = 85$

Se puede determinar la siguiente relación:

$$\frac{h_{FE_T} (332\text{mA})}{h_{FE_T} (150\text{mA})} = \frac{85}{95}$$

y por medio de esa relación los valores de  $h_{FE_M}$  y  $h_{FE_m}$  que corresponden a 332 mA.

$$h_{FE_M} (332\text{mA}) = h_{FE_M} (150\text{mA}) \cdot \frac{85}{95} = 160 \cdot \frac{85}{95} = 143$$

$$h_{FE_m} (332\text{mA}) = h_{FE_m} (150\text{mA}) \cdot \frac{85}{95} = 40 \cdot \frac{85}{95} = 35$$

Las ecuaciones de arriba corresponden a la aplicación de una regla de tres simple. Estas dispersiones del  $h_{FE}$  originan desplazamientos del punto Q.

$$I_{CQM} = \frac{V_{BB} - V_{BE}}{R_e + \frac{R_B}{h_{FE_M}}} = \frac{4,24}{12 + \frac{60}{143}} = 341\text{mA}$$

$$I_{CQm} = \frac{V_{BB} - V_{BE}}{R_e + \frac{R_B}{h_{FE_m}}} = \frac{4,24}{12 + \frac{60}{35}} = 310\text{mA}$$

Se opta por considerar la variación de  $I_{CQ}$  debido a la dispersión de  $h_{FE}$  en lugar de la variación de  $I_{CQ}$  debido a la variación térmica de  $h_{FE}$ .

$$S_{V_{CC}} = \frac{1}{D} \cdot \frac{R_2}{R_1 + R_2} = \frac{1}{12 + \frac{60}{85}} \cdot \frac{68}{68 + 510} = 0,0092 \text{ V}$$

$$S_{R_e} = - \frac{V_{BB} - V_{BE}}{D^2} = - \frac{4,24}{(12,7)^2} = - 0,026 \text{ A}/\Omega$$

Cálculo de  $\Delta I_{CBO}$ :

Para 25 °C se tiene  $I_{CBO1} = 100 \text{ nA}$  (manual)

Para 35 °C se tiene 200 nA, para 45 °C se tiene 400 nA, para 55 °C se tiene 800 nA y para 65 °C se tiene  $I_{CBO2} = 1,6 \mu\text{A}$ .

Por lo tanto:

$$\Delta I_{CBO} = I_{CBO2} - I_{CBO1} = 1,6 \mu\text{A} - 0,1 \mu\text{A} = 1,5 \mu\text{A}$$

Cálculo de  $\Delta V_{BE}$ :

$$\Delta V_{BE} = -K \cdot \Delta T = -2,5 \text{ mV}/^\circ\text{C} \cdot 40^\circ\text{C} = -100\text{mV} = -0,1 \text{ V}$$

Por otra parte es dato

$$\Delta V_{CC} = \pm 0,1 \text{ V}$$

Cálculo de  $\Delta R_e$ :

$$\Delta R_e = \pm 5\% \cdot R_e = \pm \frac{5}{100} \cdot 12 = \pm 0,6 \Omega$$

Cálculo de los  $\Delta I_{CQ}$  debidos a  $I_{CBO}$ ,  $\Delta V_{BE}$ ,  $\Delta V_{CC}$  y  $\Delta R_e$ .

$$\Delta I_{CQ} \Big|_{I_{CBO}} = S_I \cdot \Delta I_{CBO} = 5,67 \cdot 1,5 \mu\text{A} = 8,5 \mu\text{A}$$

Por ser el transistor de Si, esta variación es muy pequeña y en lo sucesivo la despreciamos.

$$\Delta I_{CQ} \Big|_{V_{BE}} = S_V \cdot \Delta V_{BE} = -0,078 \text{ V} \cdot (-100\text{mV}) = 7,8 \text{ mA}$$

$$\Delta I_{CQ} \Big|_{V_{CC}} = S_{V_{CC}} \cdot \Delta V_{CC} = 0,0092 \text{ V} \cdot 0,1 \text{ V} = 0,92 \text{ mA}$$

$$\Delta I_{CQ} \Big|_{R_e} = S_{R_e} \cdot \Delta R_e = -0,026 \text{ A}/\Omega \cdot (-0,6 \Omega) = 15,6 \text{ mA}$$

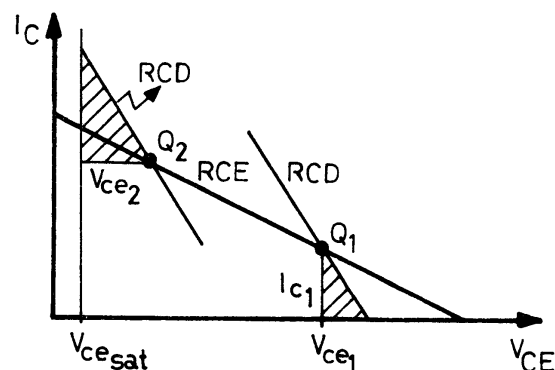
Determinación de  $I_{CQ1}$  e  $I_{CQ2}$  :

$$I_{CQ1} = I_{CQM} + \Delta I_{CQ} \Big|_{I_{CB0}} + \Delta I_{CQ} \Big|_{V_{BE}} - \Delta I_{CQ} \Big|_{V_{CC}} - \Delta I_{CQ} \Big|_{R_e}$$

$$I_{CQ1} = 310 \text{ mA} + 0 + 7,8 \text{ mA} + (-0,92 \text{ mA} - 15,6 \text{ mA}) = 301 \text{ mA}$$

$$I_{CQ2} = I_{CQM} + \Delta I_{CQ} \Big|_{I_{CB0}} + \Delta I_{CQ} \Big|_{V_{BE}} + \Delta I_{CQ} \Big|_{V_{CC}} + \Delta I_{CQ} \Big|_{R_e}$$

$$I_{CQ2} = 341 \text{ mA} + 0 + 7,8 \text{ mA} + 0,92 \text{ mA} + 15,6 \text{ mA} = 365 \text{ mA}$$



Para  $Q_1$  se obtiene :  $I_{C1} = I_{CQ1} = 301 \text{ mA}$  ,  $R_d = R_C \parallel R_L \approx 40 \Omega$

$$P_{S1} = \frac{I_{C1}^2 \cdot R_d}{2} = \frac{(0,301)^2 \cdot 40}{2} = 1,8 \text{ W}$$

$$P_{L1} = P_{S1} \cdot \frac{R_C}{R_C + R_L} = 1,8 \cdot \frac{68}{68 + 100} = 728 \text{ mW}$$

Para  $Q_2$  se obtiene:

$$V_{CEQ2} = V_{CC} - I_{CQ2} (R_C + R_e) = 42 - 365 \cdot 10^{-3} (12 + 68) = 12,8 \text{ V}$$

Suponiendo una  $V_{CESAT} \approx 1 \text{ V}$  se tiene:

$$V_{ce2} = V_{CEQ2} - V_{CESAT} = 12,8 - 1 = 11,8 \text{ V} , \quad P_{S2} = \frac{V_{ce2}^2}{2 R_d} = \frac{(11,8)^2}{2 \cdot 40} = 1,74 \text{ W}$$

$$P_{L2} = P_{S2} \cdot \frac{R_C}{R_C + R_L} = 1,74 \cdot \frac{68}{68 + 100} = 704 \text{ mW}$$

Se puede calcular  $V_{CEQ1}$  :

$$V_{CEQ1} = V_{CC} - I_{CQ1} (R_C + R_e)$$

$$V_{CEQ1} = 42 - 0,301 \cdot 80 = 17,92 \text{ V}$$

Calculo de la potencia disipada:

$$P_{dQ1} = I_{CQ1} \cdot V_{CEQ1}$$

$$P_{dQ1} = 0,301 \cdot 17,92 = 5,39 \text{ W}$$

$$P_{dQ2} = I_{CQ2} \cdot V_{CEQ2}$$

$$P_{dQ2} = 0,365 \cdot 12,8 = 4,67 \text{ W}$$

Si hacemos :

$$\theta_{cd} + \theta_{da} \approx 4 \text{ } ^\circ\text{C/W}$$

Entonces :

$$P_d = \frac{T_{jM} - T_a}{\theta_{ja}} = \frac{150 - 65}{14} = 6,2 \text{ W} > 5,39 \text{ W}$$

Calculo de la potencia de entrada :

$$P_{CC} = V_{CC} (I_{CQ2} + I_1)$$

$$I_1 = \frac{V_{CC}}{R_1 + R_2} = \frac{42}{510 + 68} = 72 \text{ mA}$$

$$P_{CC} = 42 (0,365 + 0,072) = 18 \text{ W}$$

$$\eta_m \% = \frac{P_{S2}}{P_{CC}} \cdot 100$$

$$\eta_m \% = \frac{1,74}{18} \cdot 100 = 9,7 \%$$

### 1.8. CORRIDA TERMICA :

Como consecuencia de la potencia  $P_d$  disipada por la juntura B - C, aumenta la temperatura de dicha juntura ( $T_j$ ). Un aumento de  $T_j$  causa un desplazamiento del punto Q en el sentido de aumentar la corriente de colector ( $I_C$ ). El aumento de  $I_C$  origina un aumento de la potencia disipada en la juntura (fundamentalmente si  $V_{CE}$  cambia poco al aumentar  $I_C$ ). Este aumento de  $P_d$  origina un aumento de  $I_C$  y así sucesivamente.

Si este proceso llamado de corrida térmica continúa puede deteriorarse permanentemente el transistor.

Vamos a analizar como evitar que dicho proceso continúe.

Recordemos que en régimen permanente.

$$P_d = \frac{T_j - T_a}{\theta_{ja}} \quad \{1.58.\}$$

Derivamos  $P_d$  respecto de  $T_j$  :

$$v = \frac{\partial P_d}{\partial T_j} = \frac{1}{\theta_{ja}} \quad \{1.59.\}$$

donde  $v$  es la velocidad con la cual se disipa el calor de la juntura B - C en régimen permanente.

La velocidad de disipación del calor de la juntura es inversamente proporcional a la resistencia térmica  $\theta_{ja}$ .

$$\theta_{ja} = \theta_{jc} + \theta_{cd} + \theta_{da}$$

Se entiende que para  $T_a = \text{cte}$ , se genera calor en la juntura B - C debido a la circulación de la corriente  $I_C$  y a la tensión  $V_{CB} \approx V_{CE}$

Entonces para dicha juntura existe una

$$P_{dT} = I_C \cdot V_{CE}$$

Se debe cumplir que la velocidad  $v'$  con que se genera calor en la juntura debido a la acción de la  $P_{dT}$  sea menor que la velocidad de disipación de la juntura dada por la ecuación {1.59.}

Es decir :

$$v' < v \quad \therefore \quad \left( v' = \frac{\partial P_{dT}}{\partial T_j} \right) < v \quad \{1.60.\}$$

Es decir :

$$\frac{\partial P_{dT}}{\partial T_j} < \frac{1}{\theta_{ja}} \quad \{1.61.\} , \quad \frac{\partial P_{dT}}{\partial I_C} \cdot \frac{\partial I_C}{\partial T_j} < \frac{1}{\theta_{ja}} \quad \{1.62.\}$$

Como  $\frac{\partial I_C}{\partial T_j}$  y  $\frac{1}{\theta_{ja}}$  son positivas, para asegurar la desigualdad {1.62.} basta que  $\frac{\partial P_{dT}}{\partial I_C}$  sea negativa. Esta condición es suficiente pero no necesaria (no es imprescindible).

Supongamos que trabajamos con un circuito que posee resistencia de emisor:

$$P_{dT} = I_C \cdot V_{CB} \approx I_C \cdot V_{CE} , \quad P_{dT} = I_C \cdot (V_{CC} - I_C \cdot R_{EST})$$

donde  $R_{EST} = R_C + R_e$  y si no existe  $R_e$  es  $R_{EST} = R_C$

$$P_{dT} = I_C \cdot V_{CC} - I_C^2 R_{EST} , \quad \frac{\partial P_{dT}}{\partial I_C} = V_{CC} - 2 I_C R_{EST} \quad \{1.63.\}$$

Como  $I_C \cdot R_{EST} = V_{CC} - V_{CE}$  reemplazando en {1.63.} se tiene:

$$\frac{\partial P_{dT}}{\partial I_C} = V_{CC} - 2(V_{CC} - V_{CE}) \quad \{1.64.\}$$

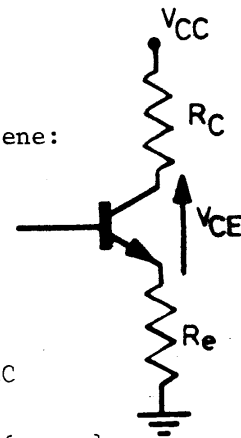
Para que la ecuación {1.64.} sea negativa :

$$V_{CC} < 2(V_{CC} - V_{CE})$$

$$V_{CC} + 2V_{CE} < 2V_{CC}$$

$$2V_{CE} < V_{CC}$$

$$V_{CE} < \frac{V_{CC}}{2} \quad \{1.65.\}$$



Condición suficiente pero no necesaria para evitar la corrida térmica. Volvemos a la ecuación {1.62.} para tratarla en forma general.

$$\frac{\partial P_{dT}}{\partial I_C} \cdot \frac{\partial I_C}{\partial T_j} < \frac{1}{\theta_{ja}} \quad \{1.62.\}$$

Se ha visto que la variación de  $I_C$  se puede expresar como :

$$dI_C = S_I dI_{CB0} + S_V dV_{BE} + S_{h_{FE}} dh_{FE}$$

Derivando respecto de  $T_j$  se tiene :

$$\frac{\partial I_C}{\partial T_j} = S_I \cdot \frac{\partial I_{CB0}}{\partial T_j} + S_V \frac{\partial V_{BE}}{\partial T_j} + S_{h_{FE}} \frac{\partial h_{FE}}{\partial T_j} \quad \{1.66.\}$$

Reemplazando {1.63.} y {1.66.} en {1.62.} se tiene:

$$(V_{CC} - 2I_C R_{EST}) \left( S_I \frac{\partial I_{CB0}}{\partial T_j} + S_V \frac{\partial V_{BE}}{\partial T_j} + S_{h_{FE}} \frac{\partial h_{FE}}{\partial T_j} \right) < \frac{1}{\theta_{ja}}$$

En lugar de las derivadas parciales usaremos incrementos y en lugar de  $I_C$  colocamos la corriente de colector del punto Q

Además como

$$\Delta T = \Delta T_j \quad \text{se tiene :}$$

$$(V_{CC} - 2I_{CQ} R_{EST}) \left( S_I \frac{\Delta I_{CB0}}{\Delta T} + S_V \frac{\Delta V_{BE}}{\Delta T} + S_{h_{FE}} \frac{\Delta h_{FE}}{\Delta T} \right) < \frac{1}{\theta_{ja}} \quad \{1.67.\}$$

Esta es la ecuación que hay que satisfacer necesariamente para evitar la corrida térmica.

### Ejemplo:

Amplificador acoplado a la carga con transformador. FIGURA 1.46.

DATOS :

$$R_1 = 510 \, \Omega$$

$$R_b = 8 \, \Omega \rightarrow$$

resistencia estática del bobinado primario del transformador.

$$R_2 = 27 \, \Omega$$

$$R_d = 260 \, \Omega \rightarrow$$

resistencia dinámica que se "ve" desde el primario del transformador

$$R_e = 12 \, \Omega$$

$$TR) \text{ BD } 137$$

$$V_{CC} = 42 \, V$$

$$T_a = 65 \, ^\circ C$$

Determinación de Q :

$$V_{BB} = \frac{R_2}{R_1 + R_2} \cdot V_{CC} = \frac{27}{27 + 510} \cdot 42 = 2,11 \text{ V}, R_B = R_1 || R_2 = 25,6 \Omega$$

Adoptando un  $h_{FE} = 95$  se obtiene:

$$I_{CQ} = \frac{2,11 - 0,7}{12 + \frac{25,6}{95}} \approx 115 \text{ mA}$$

$$V_{CEQ} = V_{CC} - I_{CQ} (R_e + R_b) = 42 - 0,115 (12 + 8) = 39,7 \text{ V}$$

No se cumple que

$$V_{CEQ} < \frac{V_{CC}}{2}$$

Debe analizarse :

$$(V_{CC} - 2 I_{CQ} R_{EST}) \left( S_I \frac{\Delta I_{CBO}}{\Delta T} + S_V \frac{\Delta V_{BE}}{\Delta T} + S_{h_{FE}} \frac{\Delta h_{FE}}{\Delta T} \right) < \frac{1}{\theta_{ja}}$$

$$V_{CC} - 2 I_{CQ} R_{EST} = 42 - 2 \cdot 0,115 \cdot 20 = 37,4 \text{ V.}$$

El término que contiene  $\Delta I_{CBO}$  puede despreciarse ya que  $\Delta I_{CBO}$  es del orden de los  $\mu\text{A}$ .

$$S_V = - \frac{1}{D} = - \frac{1}{R_e + \frac{R_B}{h_{FE}}} = - \frac{1}{12 + \frac{25,6}{95}} = - \frac{1}{12,27} = - 0,08 \text{ V}$$

$$S_{h_{FE}} = \frac{I_{CQ1}}{h_{FE1}} \frac{R_B + R_e}{R_B + h_{FE2} R_e}$$

Suponemos que un  $\Delta T = 40 \text{ } ^\circ\text{C} = (65 \text{ } ^\circ\text{C} - 25 \text{ } ^\circ\text{C})$  eleva el valor de  $h_{FE}$  desde 95 hasta 135. Entonces:

$$h_{FE1} = 95$$

$$h_{FE2} = 135$$

$$S_{h_{FE}} = \frac{115 \text{ mA}}{95} \cdot \frac{25,6 + 12}{25,6 + 135 \cdot 12} \approx 0,028 \text{ mA}$$

$$\frac{\Delta V_{BE}}{\Delta T} = - 2,5 \frac{\text{mV}}{^\circ\text{C}}$$

$$\Delta h_{FE} = h_{FE2} - h_{FE1} = 40$$

Reemplazando:

~~$$37,4 \text{ V} \cdot \left( 5,6 \frac{1,5 \cdot 10^{-6}}{40} \text{ A}/^\circ\text{C} + 0,080 \text{ V} \cdot 2,5 \cdot 10^{-3} \text{ V}/^\circ\text{C} + \right. \\ \left. + 0,028 \cdot 10^{-3} \cdot \frac{40}{40} \text{ A}/^\circ\text{C} \right) < \frac{1}{\theta_{ja}}$$~~

~~$$37,4 \text{ V} \cdot \left( 0,2 \cdot 10^{-6} \text{ A}/^\circ\text{C} + 0,2 \cdot 10^{-3} \text{ A}/^\circ\text{C} + 0,028 \cdot 10^{-3} \text{ A}/^\circ\text{C} \right) < \frac{1}{\theta_{ja}}$$~~

El término que contiene  $S_I$  es despreciable.

$$7,84 \cdot 10^{-3} \text{ W}/^\circ\text{C} + 1,05 \cdot 10^{-3} \text{ W}/^\circ\text{C} < \frac{1}{\theta_{ja}}$$

$$8,53 \cdot 10^{-3} \text{ W}/^\circ\text{C} < \frac{1}{\theta_{ja}}$$

$$\theta_{ja} < \frac{1}{8,53 \cdot 10^{-3}} \text{ } ^\circ\text{C/W} , \quad \theta_{ja} < \frac{1000}{8,53} \text{ } ^\circ\text{C/W} , \quad \theta_{ja} < 117 \text{ } ^\circ\text{C/W}$$

Valor fácilmente obtenible con el transistor del ejemplo.

Por lo tanto no hay corrida térmica a pesar de que no se cumple que

$$V_{CEQ} < \frac{V_{CC}}{2}$$

Potencia disipada a 25 °C:

$$P_d = I_{CQ} V_{CEQ} = 0,115 \cdot 39,7 = 4,56 \text{ W} , \quad I_1 = \frac{V_{CC}}{R_1 + R_2} = \frac{42}{537} = 79 \mu\text{A}$$

$$P_{CC} = V_{CC} (I_1 + I_{CQ}) = 42 (79 + 115) \cdot 10^{-3} = 8,1 \text{ W}$$

$$V_{ce} = I_c \cdot R_d = 0,115 \cdot 260 \approx 30 \text{ V}$$

$$P_S = \frac{I_c \cdot V_{ce}}{2} = \frac{0,115 \cdot 30}{2} = 0,115 \cdot 15 = 1,72 \text{ W}$$

$$\eta \% = \frac{P_S}{P_{CC}} \cdot 100 = \frac{1,72 \text{ W}}{8,1 \text{ W}} \cdot 100 = 21\%$$

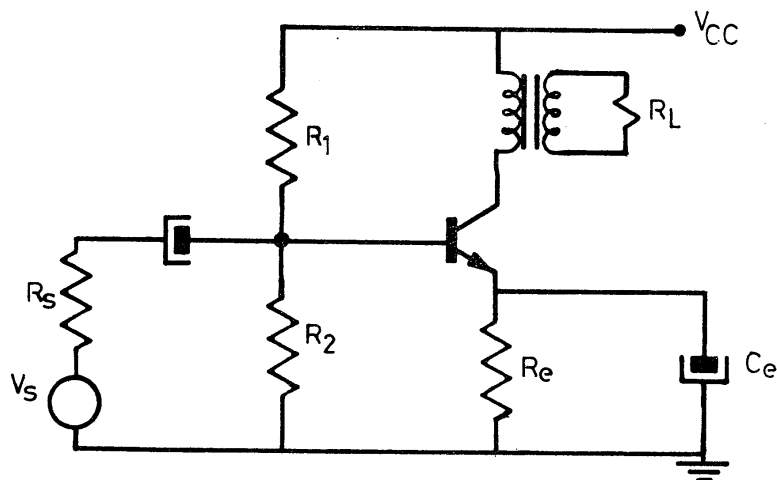
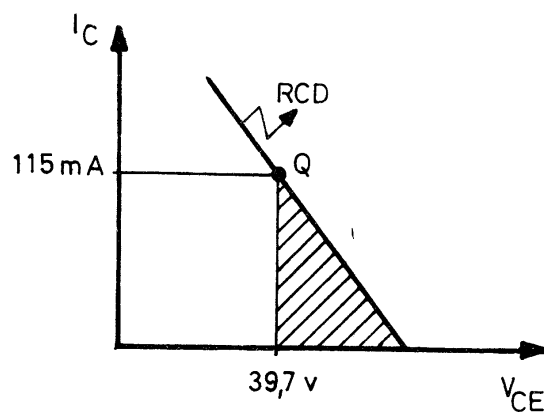


FIGURA 1.46.





ad 2

## CAPITULO 2

## AMPLIFICADORES MONOETAPAS CON TRANSISTORES BIPOLARES

### SEÑALES DEBILES

## 2.1. INTRODUCCION:

Cuando trabajamos con señales fuertes se usan los métodos gráficos vistos anteriormente.

Los circuitos analógicos operan generalmente con señales débiles (excursiones muy pequeñas de señal) comparados con los valores de tensiones y corrientes de polarización (Q).

Cuando trabajamos con señales débiles los métodos gráficos no pueden aplicarse ya que en la escala del gráfico una excursión pequeña da lugar a un error gráfico grande, o simplemente porque dicha excursión pequeña no puede representarse. Además, si la excursión de señal es muy pequeña, podemos considerar que la misma es de características lineales y por lo tanto podemos reemplazar al transistor por un circuito incremental o equivalente constituido por parámetros lineales.

## 2.2. MODELO DEL TRANSISTOR BIPOLAR PARA SEÑALES DEBILES:

Del análisis físico del transistor se puede obtener el siguiente modelo incremental para bajas frecuencias.

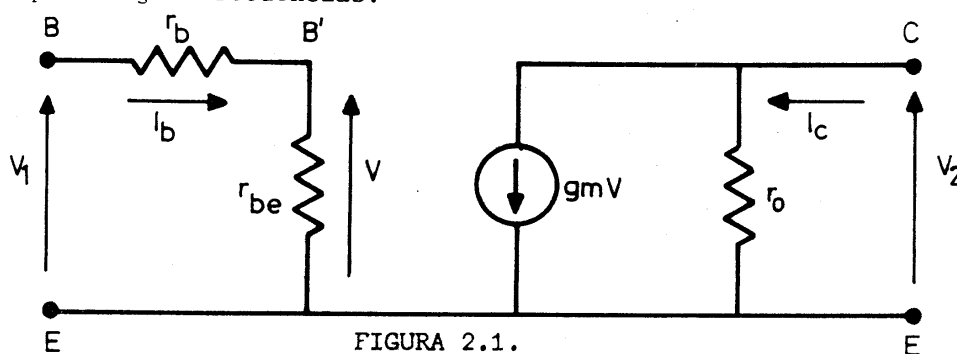


FIGURA 2.1.

$r_b$  es la resistencia de extensión de base (puede variar entre  $10\Omega$  y  $500\Omega$ ).

$r_{be}$  es la resistencia de la juntura base - emisor.

B' es un punto interno del transistor que corresponde a la región activa de la base.

$r_o$  es la resistencia de salida del transistor.

$g_m$  es la transconductancia del transistor. Cuando  $V_2 = 0$  (salida incremental en corto - circuito).

Se tiene que:

$$I_c = g_m \cdot V \quad \dots \quad g_m = \left. \frac{I_c}{V} \right|_{V_2 = 0}$$

se puede demostrar que :

$$g_m = \frac{I_{CQ}}{m V_T} \quad \{2.1.\}$$

Se ve que  $g_m$  aumenta linealmente con la corriente de polarización  $I_{CQ}$ .

Si  $m=1$  e  $I_{CQ}=1\text{mA}$  y  $T_a=25^\circ\text{C}$  resulta, tomando a  $V_T=26\text{mV}$ ,  $g_m=38\text{mS}$ .

En vez de un generador de corriente controlado por tensión, podemos usar un generador de corriente controlado por corriente, como se ve en la figura 2.2.

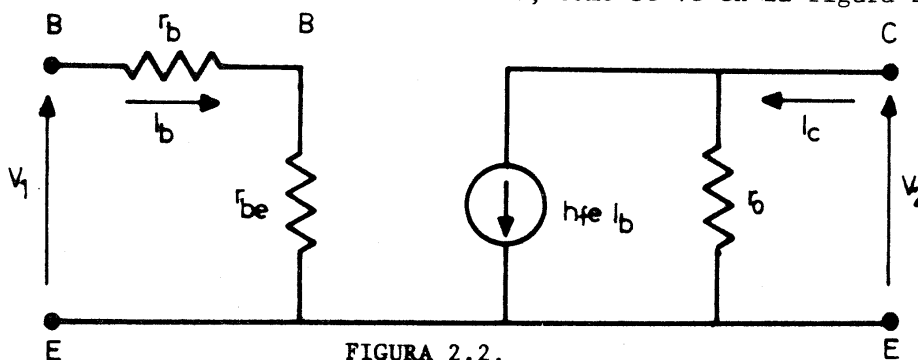


FIGURA 2.2.

Para que los circuitos de las figuras 2.1. y 2.2. sean equivalentes debe cumplirse que:

$$g_m \cdot V = h_{fe} \cdot I_b$$

donde  $h_{fe}$  es la ganancia de corriente para señales débiles del transistor con la salida en corto - circuito. ( $V_2 = 0$ )

Como  $V = I_b \cdot r_{be}$  resulta  $g_m \cdot I_b \cdot r_{be} = h_{fe} \cdot I_b$

Simplificando:

$$r_{be} = \frac{h_{fe}}{g_m} \quad \{2.2.\}$$

Donde  $r_{be}$  es la resistencia de la juntura base-emisor.

Si en la hoja de datos no se tiene el valor de  $h_{fe}$  se puede el mismo aproximar al valor estático  $h_{FE}$ .

Como se ve  $r_{be}$  es inversamente proporcional a  $I_{CQ}$ .

Como se analizó en el capítulo 1, si despreciamos  $r_b$  frente a  $r_{be}$  se puede hacer:

$$r_{be} \approx R_i \bigg|_Q = \frac{m \cdot V_T}{I_{BQ}} \quad \{2.3.\}$$

$r_o$  es la resistencia de salida del transistor; se define a  $r_o$  como:

$$r_o = \frac{\Delta V_{CE}}{\Delta I_C} = \frac{V_A}{I_C} \quad \{2.4.\}$$

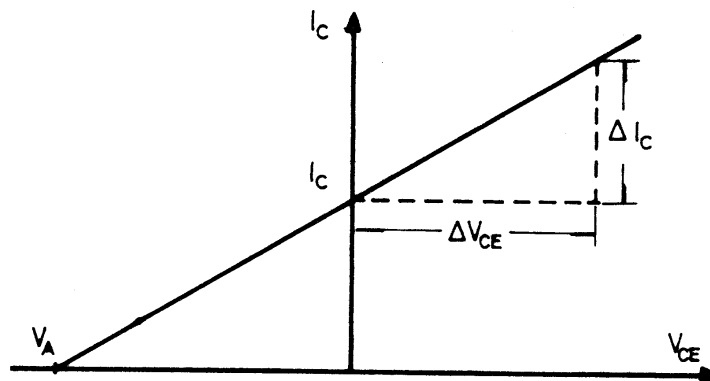


FIGURA 2.3.

Siendo  $V_A$  la tensión de EARLY.

$V_A$  varía entre 50 y 100 Volts para  $I_C = 1\text{mA}$ . Por lo tanto  $r_o$  varía entre 50 y 100  $\text{k}\Omega$ .

$r_o$  es inversamente proporcional a  $I_C$ . Se hace:

$$h_{ie} = r_b + r_{be} \quad \{2.5.\}$$

Donde  $h_{ie}$  es la resistencia de entrada del transistor con la salida en cortocircuito ( $V_2 = 0$ ), de acuerdo con la teoría de cuadripolos híbridos.

Se obtiene así la FIGURA 2.4.

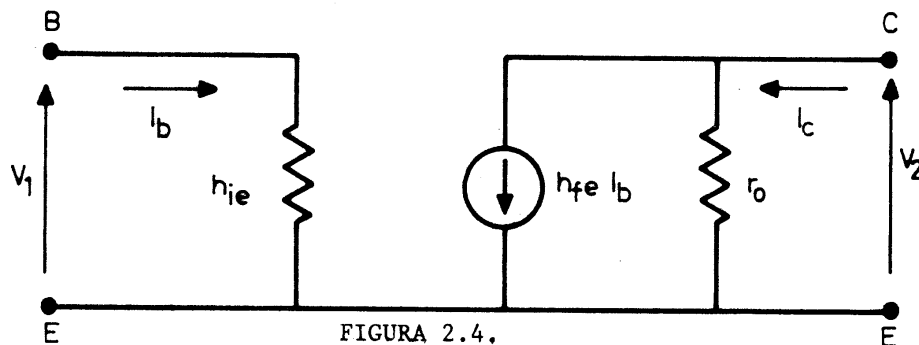


FIGURA 2.4.

### 2.3. AMPLIFICADOR MONOETAPA DE EMISOR COMUN PARA SEÑALES DEBILES CON EXCITACION DE TENSION:

En la FIGURA 2.5. se tiene el circuito:

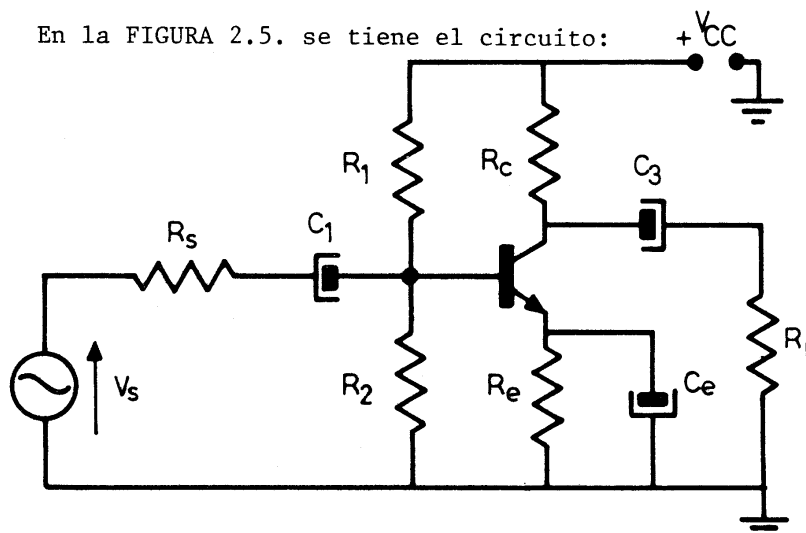
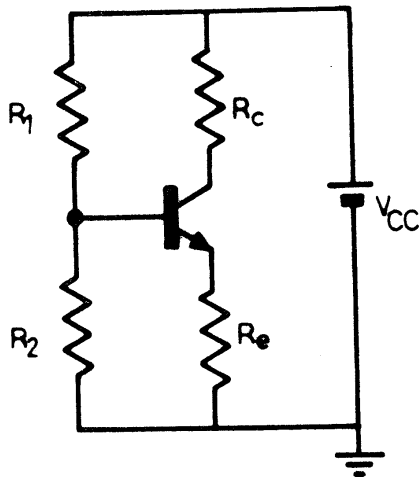


FIGURA 2.5.

Veamos el análisis de esta etapa:

a ) Se verifica la tensión de ruptura  $V_{CE0_{MAX}}$ .

b ) Se aplica el principio de superposición y se hace el circuito de continua para hallar el punto Q, la  $P_{dT}$  y para determinar si se evita el embalamiento térmico. Para hacer el circuito de continua se hace  $V_S=0$  (se anula la excitación) y como  $f=0$  resulta  $X_C=\infty$  (reactancias capacitivas infinitas). Queda:



Este circuito ya ha sido estudiado y permite que hallemos el punto Q, la  $P_{dT}$  y verificar el embalamiento térmico.

c ) Se aplica nuevamente el principio de superposición para hallar ahora, el circuito dinámico. Para ello se hace la frecuencia  $f$  lo suficientemente alta como para poder considerar  $X_C=0$  (reactancias capacitivas nulas). Además se considera que  $V_{CC}=V_{BB}=0$  (ya que son tensiones estáticas y por lo tanto no cambian con el tiempo). Queda el circuito de la FIGURA 2.6.(a).

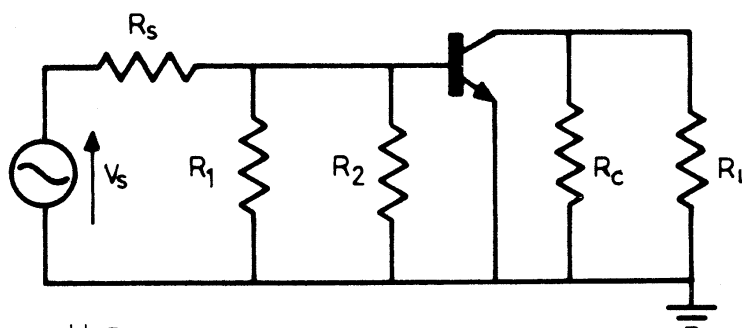


FIGURA 2.6.(a)

Se hace  $R_B = R_1 || R_2$

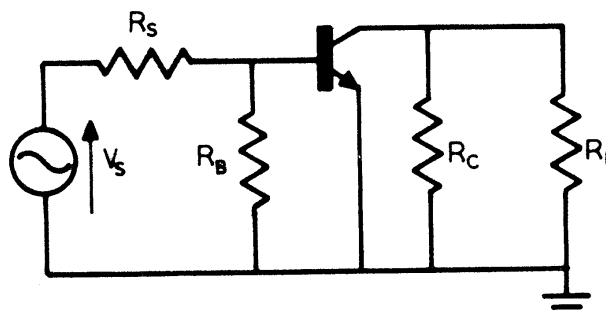


FIGURA 2.6.(b)

Reemplazando al transistor por el circuito incremental:

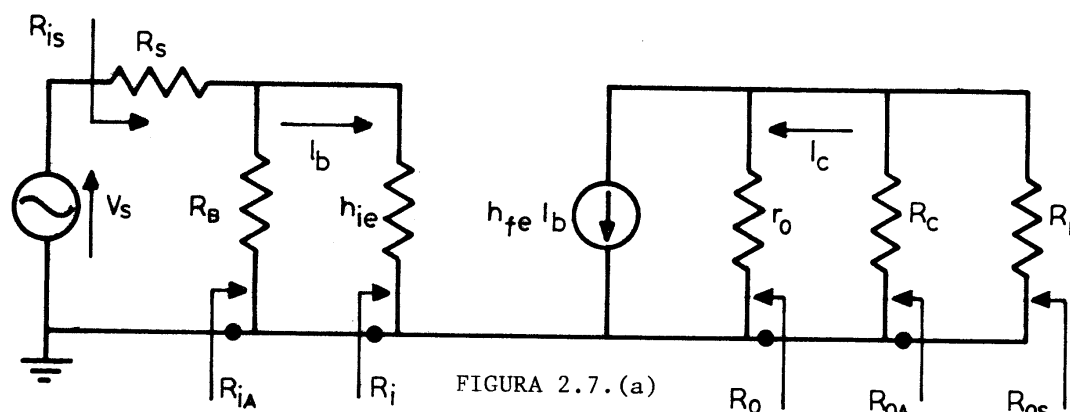


FIGURA 2.7.(a)

$R_i$  es la resistencia de entrada del transistor (para E-C resulta  $R_i = h_{ie}$ ).  
 $R_{iA}$  es la resistencia de entrada de la etapa amplificadora.  
 $R_{iA} = R_i \parallel R_B$  siendo  $R_B$  la resistencia de polarización.  
 $R_{is}$  es la resistencia de entrada del sistema.  $R_{is} = R_s + R_{iA}$ .  
 $R_o$  es la resistencia de salida del transistor.

En general:

$$R_o \approx r_o = \frac{1}{h_{oe}}$$

siendo  $h_{oe}$  la conductancia de salida del transistor.

$R_{oA}$  es la resistencia de salida del amplificador.  $R_{oA} = R_o \parallel R_C$ .

Si  $r_o \gg R_d$  se puede despreciar  $r_o$  ( $r_o = \infty$ ) y queda  $R_{oA} \approx R_C$ .

$R_{os}$  es la resistencia de salida del sistema.  $R_{os} = R_{oA} \parallel R_L$ .

### 2.3.1. GANANCIA DE CORRIENTE DEL TRANSISTOR CARGADO CON $R_L$ :

Supongamos  $r_o = \infty$  ( $r_o \gg R_d$ )

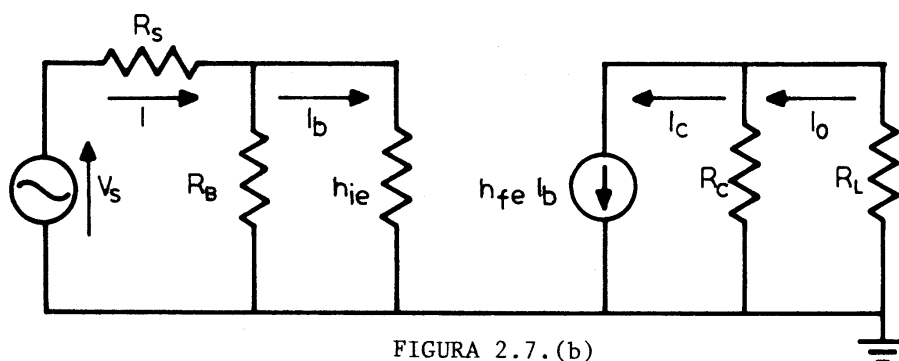


FIGURA 2.7.(b)

Definimos dicha ganancia como :

$$A_I = \frac{I_o}{I_b} \quad \{2.6.\}$$

De la malla de salida de la FIGURA 2.7.(b) se obtiene:

$$I_o = I_c \cdot \frac{R_C}{R_C + R_L} = h_{fe} \cdot I_b \cdot \frac{R_C}{R_C + R_L}$$

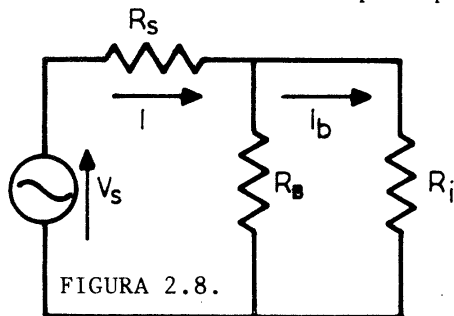
$$\therefore A_I = \frac{I_o}{I_b} = h_{fe} \cdot \frac{R_C}{R_C + R_L} \quad \{2.7.\}$$

## 2.3.2. GANANCIA DE CORRIENTE DEL SISTEMA:

Se define como:

$$A_{IS} = \frac{I_0}{I} \quad \{2.8.\}$$

Se hace la FIGURA 2.8. para presentar la entrada del sistema:



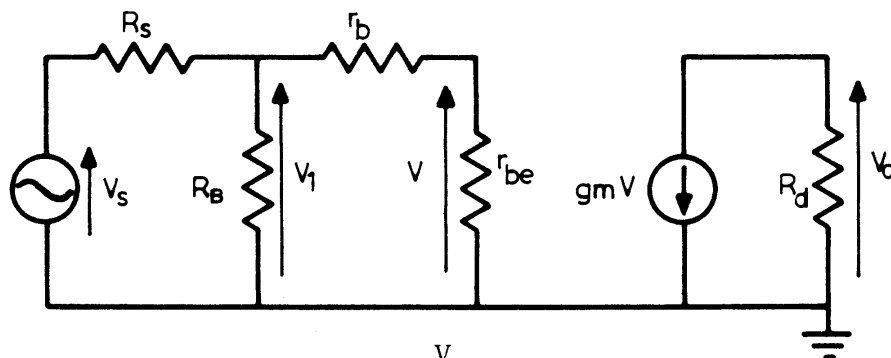
$$A_{IS} = \frac{I_0}{I} = \frac{I_0}{I_b} \cdot \frac{I_b}{I}$$

$$\frac{I_b}{I} = \frac{R_B}{R_B + R_i}$$

$$\therefore A_{IS} = A_I \cdot \frac{R_B}{R_B + R_i} \quad \{2.9.\}$$

## 2.3.3. GANANCIA DE TENSION DEL TRANSISTOR:

Haciendo  $R_d = R_C \parallel R_L$  se llega a la FIGURA 2.9.



$$V_0 = -g_m \cdot V \cdot R_d \quad \therefore \frac{V_0}{V} = -g_m \cdot R_d$$

Definimos la ganancia de tensión del transistor como:

$$A_V = \frac{V_0}{V_1} \quad \{2.10.\} \text{ se hace: } A_V = \frac{V_0}{V} \cdot \frac{V}{V_1}$$

y como  $\frac{V}{V_1}$  corresponde a un divisor de tensión, se tiene:

$$\frac{V}{V_1} = \frac{r_{be}}{r_b + r_{be}} \quad \text{por lo tanto: } A_V = -g_m \cdot R_d \cdot \frac{r_{be}}{r_b + r_{be}} \quad \{2.11.\}$$

## 2.3.4. GANANCIA DE TENSION DEL SISTEMA:

El generador de excitación ve la resistencia de entrada del amplificador  $R_{iA}$ . Por lo tanto; nos queda el circuito de la FIGURA 2.10.

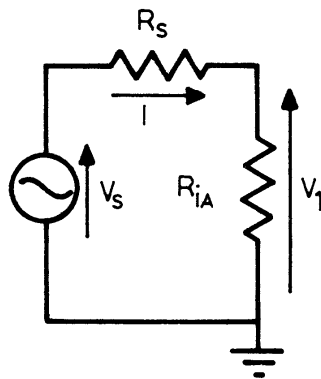


FIGURA 2.10.

Definición de ganancia de tensión del sistema:  $A_{VS} = \frac{V_0}{V_S}$

$$A_{VS} = \frac{V_0}{V_1} \cdot \frac{V_1}{V_S} = -g_m \cdot R_d \cdot \frac{r_{be}}{r_b + r_{be}} \cdot \frac{R_{iA}}{R_{iA} + R_S}$$

o también :

$$A_{VS} = A_V \cdot \frac{R_{iA}}{R_{iA} + R_S} \quad \{2.12.\}$$

### 2.3.5. CALCULO DE OTRAS TRANSFERENCIAS CONOCIENDO $A_{VS}$ :

Modificando la FIGURA 2.9. se tiene:

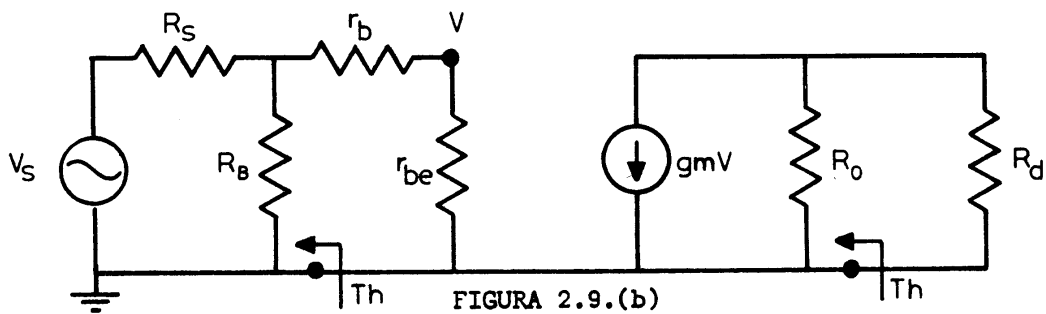


FIGURA 2.9.(b)

Aplicando THEVENIN en los lugares señalados se tiene :

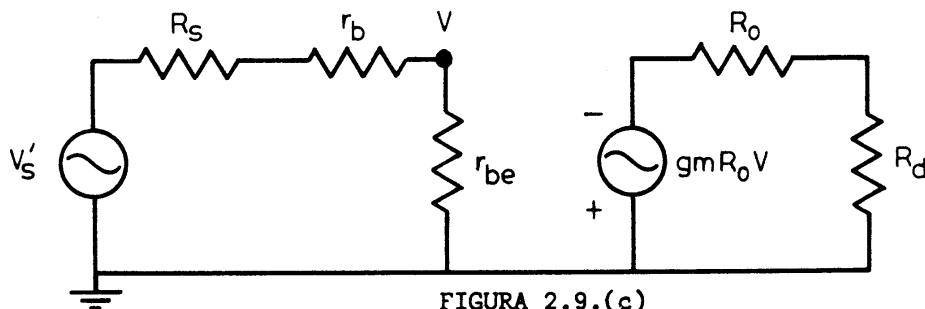


FIGURA 2.9.(c)

Generalizando el circuito anterior :

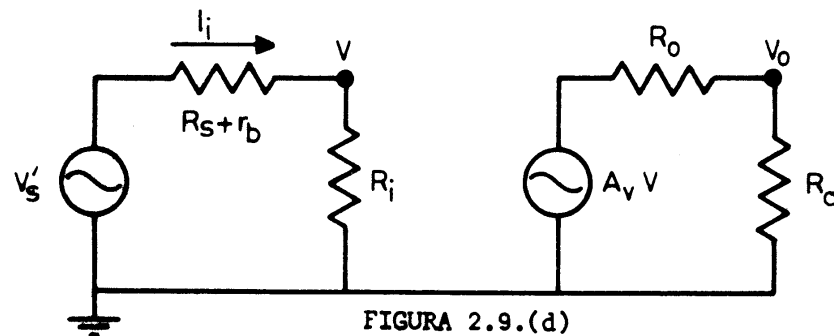


FIGURA 2.9.(d)

$$A'_{VS} = \frac{V_0}{V'_S} = \frac{V_0}{V} \cdot \frac{V}{V'_S} = A_V \frac{R_d}{R_o + R_d} \cdot \frac{R_i}{R_i + (R'_S + r_b)}$$

Despreciando  $r_b$  se tiene :

$$A'_{VS} = A_V \frac{R_d}{R_o + R_d} \cdot \frac{R_i}{R_i + R'_S}$$

Conociendo  $A_{VS}$  se calcula  $A'_{VS}$ . Se sabe que :

$$V'_S = V_S \frac{R_B}{R_B + R_S}$$

$$A'_{VS} = \frac{V_0}{V'_S} = \frac{V_0}{V_S} \cdot \frac{R_B + R_S}{R_B}$$

Por lo tanto :

$$A'_{VS} = A_{VS} \frac{R_B + R_S}{R_B}$$

### 2.3.6. CALCULO DE LA TRANSCONDUCTANCIA :

Se define como :

$$G'_{MS} = \frac{I_c}{V'_S}$$

$$G'_{MS} = \frac{V_0 / R_d}{V'_S}$$

$$\therefore G'_{MS} = \frac{A'_{VS}}{R_d}$$

### 2.3.7. CALCULO DE LA TRANSRESISTENCIA :

Se define como:

$$R'_{MS} = \frac{V_0}{I_i}$$

$$R'_{MS} = \frac{V_0 (R'_S + R_i)}{V'_S}$$

$$\therefore R'_{MS} = A'_{VS} (R'_S + R_i)$$

### 2.3.8. CALCULO DE LA GANANCIA DE CORRIENTE :

Se define como :



$$A'_{IS} = \frac{I_c}{I_i}$$

$$A'_{IS} = \frac{V_o (R'_S + R_i)}{R_d \cdot V'_S}$$

$$\therefore A'_{IS} = A'_{VS} \frac{R'_S + R_i}{R_d}$$

### 2.3.9. AMPLIFICADOR IDEAL DE TENSION :

Sea  $R_i = \infty$  y  $R_o = 0$  Resulta :  $A'_{VS} = A_V$

Transferencia que no depende de  $R_S$  ni de  $R_d$ .

$$G'_{MS} = \frac{A_V}{R_d}, \quad R'_{MS} = A_V (R'_S + R_i), \quad A'_{IS} = A_V \frac{R'_S + R_i}{R_d}$$

Las otras tres transferencias dependen de  $R_d$  y/o  $R_S$ .

### 2.3.10. GANANCIA DE POTENCIA DEL TRANSISTOR:

Definición:  $A_P = \left| \frac{P_L}{P_1} \right|$

$$A_P = \left| \frac{V_o \times I_o}{V_1 \times I_b} \right| = |A_V \times A_I| \quad \{2.13.\}$$

### 2.3.6. GANANCIA DE POTENCIA DEL SISTEMA:

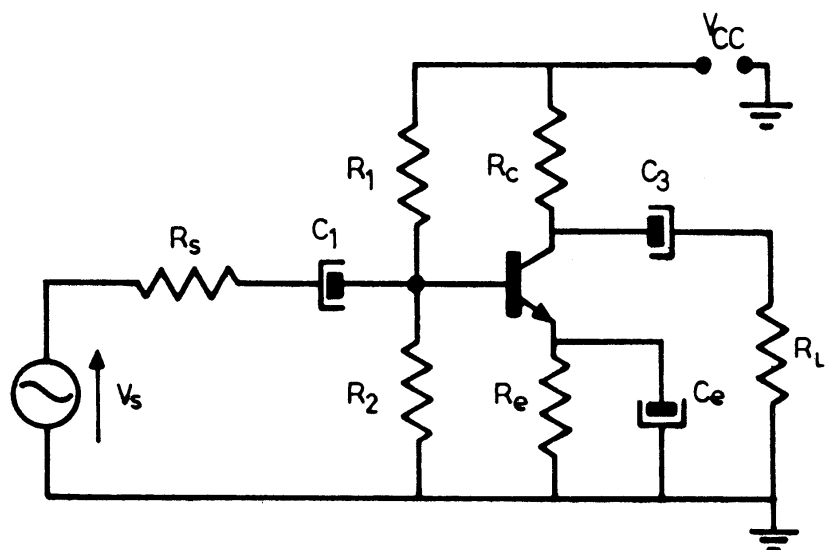
Definición:  $A_{PS} = \left| \frac{P_L}{P_S} \right|$

$$A_{PS} = \left| \frac{V_o \times I_o}{V_S \times I} \right| = |A_{VS} \times A_{IS}| \quad \{2.14.\}$$

Ejemplo :

DATOS :

$V_{CC} = 12 \text{ V}$   
 $R_1 = 100 \text{ K}\Omega$   
 $R_2 = 47 \text{ K}\Omega$   
 $R_e = 1,5 \text{ K}\Omega$   
 $R_c = 2,2 \text{ K}\Omega$   
 $R_S = 10 \text{ K}\Omega$   
 $R_L = 1 \text{ K}\Omega$   
 $BC 549 \text{ B}$   
 $T_a = 65 \text{ }^\circ\text{C}$



a) 
$$\frac{V_{CC}}{V_{CE0\text{MAX}}} = \frac{12}{20} = 0,6 < 0,75$$

b) Circuito de continua :

$$V_{BB} = \frac{R_2}{R_1 + R_2} V_{CC} = \frac{47}{100 + 47} 12 = 3,84 \text{ V}$$

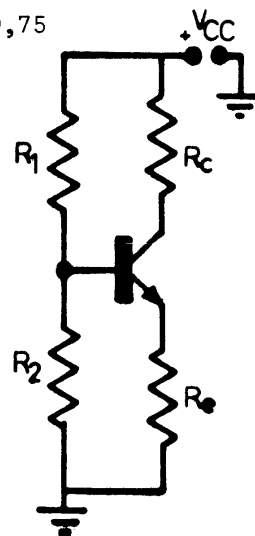
$$R_B = R_1 \parallel R_2 = 100 \parallel 47 = 31,97 \text{ k}\Omega$$

$$I_{CQ} \approx \frac{V_{BB} - V_{BE}}{R_e}$$

$$I_{CQ} = \frac{3,84 - 0,7}{1,5 \cdot 10^3} = 2,09 \text{ mA}$$

Para  $I_{CQ} = 2\text{mA}$ , en el manual se obtiene  $h_{FE} \approx 530$ .

$$I_{CQ} = \frac{V_{BB} - V_{BE}}{R_e + \frac{R_B}{h_{FE}}} = \frac{3,84 - 0,7}{1,5 \cdot 10^3 + \frac{31,97}{530}} = \frac{3,14}{1,56 \cdot 10^3} = 2,09 \text{ mA}$$



Tomamos entonces  $I_{CQ} = 2\text{mA}$  y calculamos  $V_{CEQ}$

$$V_{CEQ} = V_{CC} - I_{CQ} (R_C + R_e) = 12 - 2 (1,5 + 2,2) \cdot 10^3 = 4,6 \text{ V}$$

$$P_{dT} = I_{CQ} \cdot V_{CEQ} \approx 2\text{mA} \cdot 4,6 \text{ V} = 9,2 \text{ mW}$$

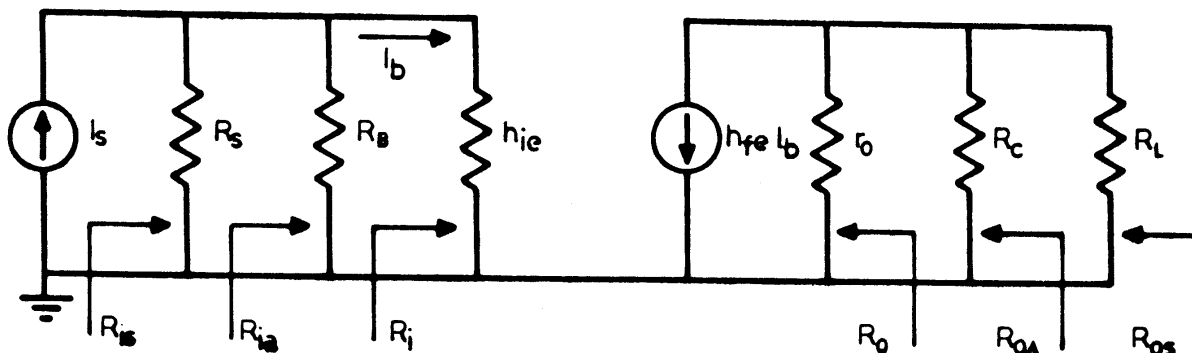
El BC 549 admite una potencia disipada de 300mW hasta una temperatura ambiente  $T_a = 75^\circ\text{C}$  (manual).

Corrida térmica:

Debe ser

$$V_{CEQ} < \frac{V_{CC}}{2}, \quad V_{CEQ} = 4.6 \text{ V}, \quad \text{como} \quad \frac{V_{CC}}{2} = \frac{12}{2} = 6\text{V}, \text{Se cumple.}$$

c) Circuito dinámico:



En los gráficos correspondientes del manual se obtiene:

$$h_{ie} = 8,5 \text{ K}\Omega \quad h_{fe} = 600 \quad h_{oe} = 60 \text{ }\mu\text{V}$$

$$r_o \approx \frac{1}{h_{oe}} = \frac{1}{60 \text{ }\mu\text{V}} \approx 16,5 \text{ K}\Omega$$

$$R_i = h_{ie} = 8,5 \text{ K}\Omega \quad R_{iA} = R_B \parallel R_i = 31,97 \text{ K}\Omega \parallel 8,5 \text{ K}\Omega = 7 \text{ K}\Omega$$

$$R_{iS} = R_S + R_{iA} = 10 \text{ K}\Omega + 7 \text{ K}\Omega = 17 \text{ K}\Omega$$

$$R_O = r_o = 16,5 \text{ K}\Omega$$

$$R_{OA} = R_O \parallel R_C = 16,5 \text{ K}\Omega \parallel 2,2 \text{ K}\Omega \approx 2 \text{ K}\Omega$$

$$R_{OS} = R_{OA} \parallel R_L = 2 \text{ K}\Omega \parallel 2 \text{ K}\Omega = 1 \text{ K}\Omega$$

Ganancias del transistor :

$$A_I = h_{fe} \frac{R_C}{R_C + R_L} = 600 \frac{2,2}{2,2 + 2} = 314$$

$$R_d = R_C \parallel R_L = 2,2 \text{ K}\Omega \parallel 2 \text{ K}\Omega \approx 1 \text{ K}\Omega$$

$$g_m = \frac{h_{fe}}{r_{be}} \approx \frac{h_{fe}}{h_{ie}} \quad \text{ya que } r_b \ll r_{be}$$

$$g_m = \frac{600}{8500} = 0,07 \text{ S} = 70 \text{ mS}$$

$$A_V = - g_m \cdot R_d \frac{r_{be}}{r_b + r_{be}} \quad \text{haciendo } \frac{r_{be}}{r_b + r_{be}} \approx 1$$

$$A_V = - g_m \cdot R_d = - 70 \cdot 10^{-3} \cdot 1 \cdot 10^3 = - 70$$

$$A_P = |A_I \cdot A_V| = |314 \cdot 70| \approx 22.000$$

Ganancias del sistema :

$$A_{IS} = A_I \frac{R_B}{R_B + R_i} = 314 \frac{31,97}{31,97 + 8,5} = 259$$

$$A_{VS} = A_V \frac{R_{iA}}{R_S + R_{iA}} = 70 \frac{7}{10 + 7} = 29$$

$$A_{PS} = |A_{VS} \cdot A_{IS}| = |259 \cdot 29| \approx 7500$$

$$A'_{VS} = A_{VS} \frac{R_B + R_S}{R_B} \quad (\text{Despreciando } r_b)$$

$$A'_{VS} = 29 \frac{31,97 + 10}{31,97} = 38$$

$$G'_{MS} = \frac{A' V_S}{R_d} = \frac{38}{1 \cdot 10^3} = 38 \text{ mU}$$

$$R'_{MS} = A' V_S \{ (R_S \parallel R_B) + R_i \}$$

$$R'_{MS} = 38 \{ (10 \parallel 31,97) + 8,5 \text{ K}\Omega \} = 38 (8 + 8,5)$$

$$R'_{MS} = 627 \text{ K}\Omega$$

#### 2.4. EMISOR COMUN CON EXCITACION DE CORRIENTE :

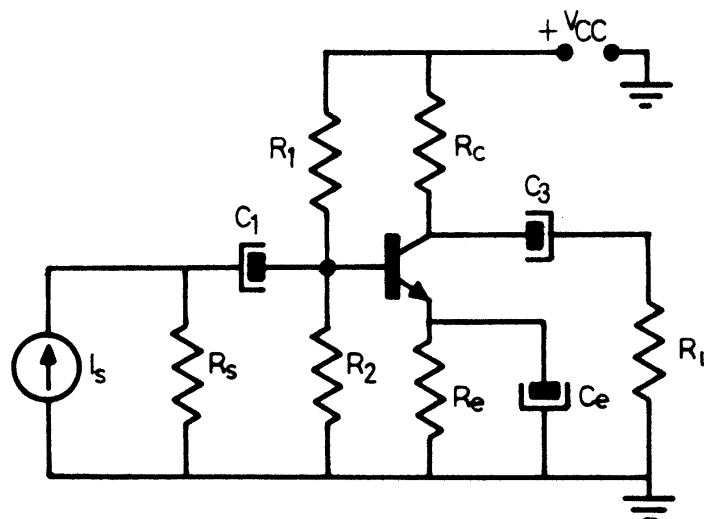


FIGURA 2.11.

Reemplazando el transistor por su modelo incremental se tiene :  
(Suponemos  $r_o \gg R_C$ )

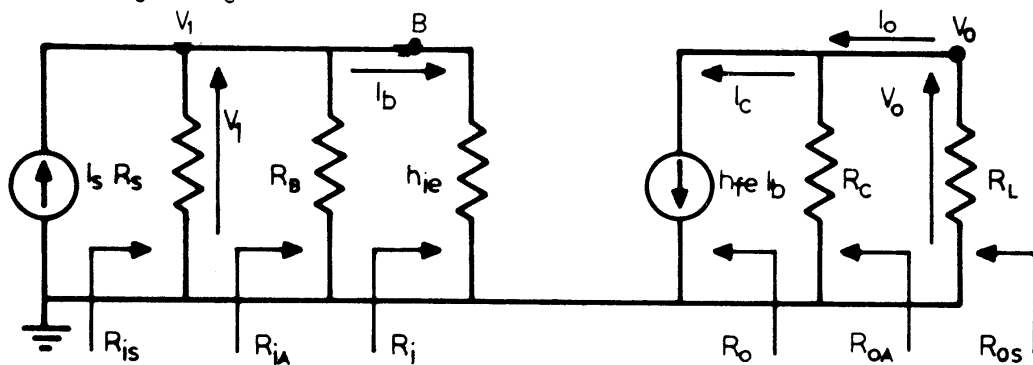


FIGURA 2.12.

Solo cambia  $R_{iS}$ , con respecto al circuito excitado por tensión :

$$R_{iS} = R_S \parallel R_{iA}$$

Las ganancias correspondientes al transistor no se alteran ya que no dependen del tipo de excitación.

#### 2.4.1. GANANCIA DE CORRIENTE DEL SISTEMA :

$$A_{IS} = \frac{I_O}{I_S} = \frac{I_O}{I_b} \cdot \frac{I_b}{I_S} = A_I \frac{R}{R + R_i} \quad \{2.15.\}$$

Donde :

$$R = R_S \parallel R_b$$

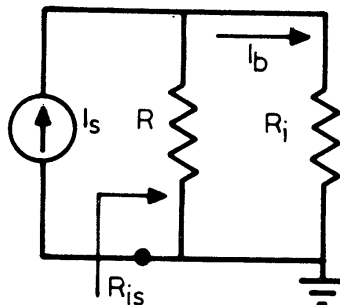


FIGURA 2.13.

#### 2.4.2. GANANCIA DE TENSION DEL SISTEMA :

$$A_{VS} = \frac{V_O}{V_1} = A_V \quad \{2.16.\}$$

#### 2.4.3. CALCULO DE OTRAS TRANSFERENCIAS CONOCIENDO $A_{IS}$ ;

Generalizando la FIGURA 2.12. se tiene :

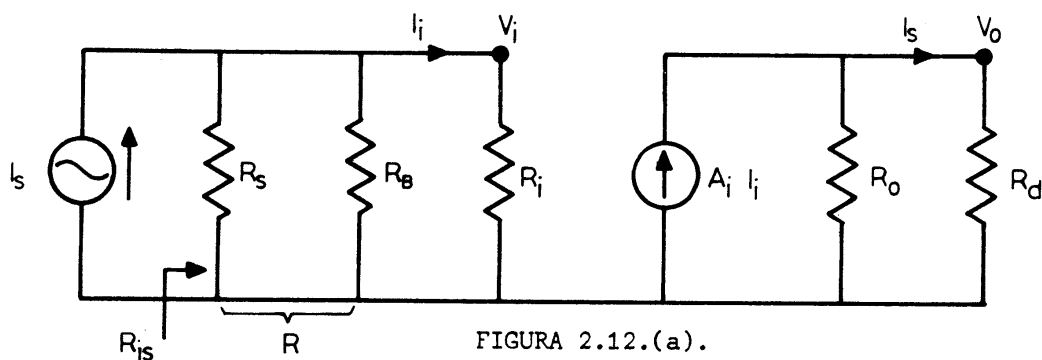


FIGURA 2.12.(a).

De la FIGURA 2.12.(a) :

$$I_c = A_i I_i \frac{R_o}{R_o + R_d} , A_I = \frac{I_c}{I_i} = A_i \frac{R_o}{R_o + R_d}$$

donde  $A_i = A_I$  para  $R_d = 0$

La ganancia de corriente del sistema es :

$$A_{IS} = \frac{I_c}{I_S} = \frac{I_c}{I_i} \cdot \frac{I_i}{I_S} = A_i \frac{R_o}{R_o + R_d} \cdot \frac{R}{R + R_i}$$

#### 2.4.3. CALCULO DE LA TRANSRESISTENCIA :

Se define como :  $R_{MS} = V_o / I_S$

$$R_{MS} = \frac{V_o}{I_S} = \frac{I_c \cdot R_d}{I_S} = A_{IS} \cdot R_d$$

$$R_{MS} = A_{IS} \cdot R_d$$

#### 2.4.4. CALCULO DE LA TRANSCONDUCTANCIA :

Se define como :  $G_{MS} = I_c / V_i$

$$G_{MS} = \frac{A_{IS} \cdot I_S}{R_{iS} \cdot I_S} = \frac{A_{IS}}{R_{iS}}$$

$$G_{MS} = \frac{A_{IS}}{R_{iS}}$$

#### 2.4.5. CALCULO DE LA GANANCIA DE TENSION :

$$A_{VS} = \frac{V_o}{V_i} = \frac{I_c \cdot R_d}{R_{iS} \cdot I_S} = \frac{A_{IS} I_S R_d}{R_{iS} I_S}$$

$$A_{VS} = A_{IS} \frac{R_d}{R_{iS}}$$

## 2.4.6. AMPLIFICADOR IDEAL DE CORRIENTE :

Sea  $R_i = 0$  y  $R_o = \infty$

$$A_{IS} = A_i = \frac{I_c}{I_s}$$

Hay que destacar que en el amplificador ideal de corriente no cambia la transferencia de corriente al variar  $R_S$  y/o  $R_d$ .

Veamos como quedan las otras transferencias:

$$R_{MS} = A_{IS} \cdot R_d = A_i \cdot R_d$$

Se ve que cambia  $R_{MS}$  con la variación de  $R_d$ .

$$G_{MS} = A_{IS} / R_{iS} \quad \therefore \quad G_{MS} = \frac{A_i}{R_{iS}}$$

Se ve que cambia con  $R_S$ .

$$A_{VS} = A_{IS} \cdot \frac{R_d}{R_{iS}} = A_i \cdot \frac{R_d}{R_{iS}}$$

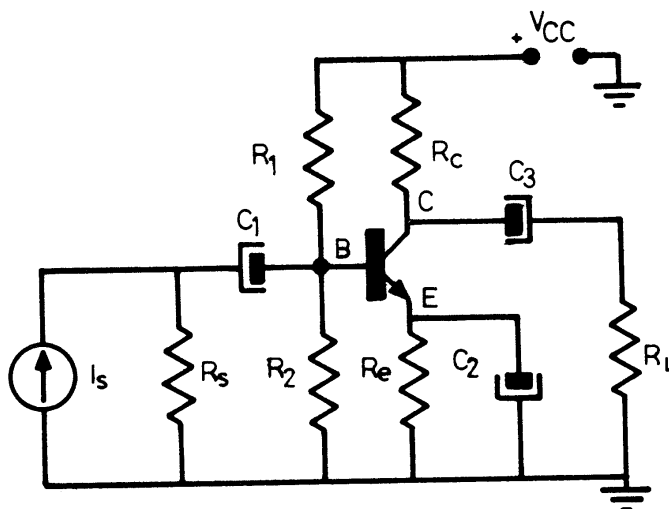
Se ve que esta transferencia cambia con  $R_d$  y  $R_{iS}$ .

## 2.4.7. GANANCIA DE POTENCIA DEL SISTEMA:

$$A_{PS} = \left| \frac{P_L}{P_S} \right| = \frac{V_o \times I_o}{V_1 \times I_S} = \left| A_{VS} \times A_{IS} \right|$$

Ejemplo

DATOS:	$R_S = 10K\Omega$	$V_{CC} = 24V$	$R_C = 3,9K\Omega$
	$R_2 = 22K\Omega$	$T_a = 65^\circ C$	$R_L = 1K\Omega$
	$R_e = 2,2K\Omega$	$R_1 = 51K\Omega$	BC 547 A



$$a) \quad \frac{V_{CC}}{V_{CE0MAX}} = \frac{24}{45} = 0,53 < 0,75$$

b) Circuito de continua:

$$V_{BB} = V_{CC} \frac{R_2}{R_1 + R_2} = 24 \frac{22}{22 + 51} = 7,23 \text{ V}$$

$$R_B = R_1 || R_2 = \frac{22 \cdot 51}{22 + 51} = 15,37 \text{ K}\Omega$$

$$I_{CQ} = \frac{V_{BB} - V_{BE}}{R_e} = \frac{7,23 - 0,7}{2,2 \cdot 10^3} = 2,97 \text{ mA}$$

Para  $I_{CQ} \approx 3 \text{ mA}$ , en el manual se obtiene  $h_{FE} = 200$ .

$$I_{CQ} = \frac{V_{BB} - V_{BE}}{R_e + \frac{R_B}{h_{FE}}} = \frac{7,23 - 0,7}{2,2 \cdot 10^3 + \frac{15,37 \cdot 10^3}{200}} = 2,88 \text{ mA}$$

Tomamos entonces  $I_{CQ} \approx 3 \text{ mA}$  y calculamos  $V_{CEQ}$

$$V_{CEQ} = V_{CC} - I_{CQ}(R_C + R_e) = 24 - 3 \cdot 10^{-3} \cdot 6,1 \cdot 10^3 = 5,7 \text{ V}$$

$$P_{dT} = I_{CQ} \cdot V_{CEQ} = 3 \text{ mA} \cdot 5,7 \text{ V} \approx 17 \text{ mW}$$

El BC 547 admite una potencia disipada de 300mW hasta una temperatura ambiente  $T_a = 75^\circ\text{C}$  (manual).

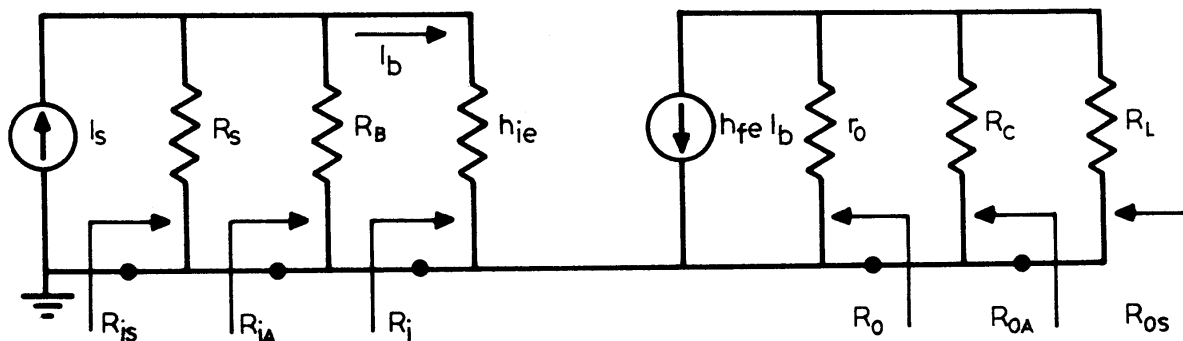
Corrida térmica:

$$\text{Debe ser } V_{CEQ} < \frac{V_{CC}}{2}$$

$$V_{CEQ} = 5,7 \text{ V}$$

$$\frac{V_{CC}}{2} = \frac{24}{2} = 12 \text{ V} \quad (\text{Se cumple})$$

c) Circuito dinámico:



En los gráficos correspondientes al manual se obtiene:

$$h_{ie} = 2 \text{ K}\Omega \quad h_{fe} = 220 \quad h_{oe} = 20 \text{ }\mu\text{S}$$



$$r_o \approx \frac{1}{h_{oe}} = \frac{1}{20 \mu S} = 50 K\Omega$$

$$R_i = h_{ie} = 2 K\Omega$$

$$R_{iA} = R_B || R_i = 15,37 K\Omega || 2 K\Omega = 1769 \Omega$$

$$R_{iS} = R_S || R_{iA} = 10 K\Omega || 1,77 K\Omega = 1,5 K\Omega$$

$$R_o = r_o = 50 K\Omega \quad R_{oA} = R_o || R_C = 50 K\Omega || 3,9 K\Omega = 3,6 K\Omega$$

Como  $r_o$  afecta poco el valor de  $R_{oA}$  se puede considerar  $r_o \rightarrow \infty$  y  $R_{oA} = R_C = 3,9 K$

$$R_{oS} = R_{oA} || R_L = 3,6 K\Omega || 1 K\Omega = 782 \Omega$$

Si consideramos a  $r_o = \infty$  se tiene ;  $R_{oS} = R_{oA} || R_L = 3,9 K\Omega || 1 K\Omega = 796 \Omega$

Ganancia del transistor:

$$A_I = h_{fe} \frac{R_C}{R_C + R_L} = 220 \frac{3,9}{3,9 + 1} = 175$$

$$R_d = R_C || R_L = 3,9 K\Omega || 1 K\Omega = 796 \Omega$$

$$g_m = \frac{h_{fe}}{r_{be}} \approx \frac{h_{fe}}{h_{ie}} \text{ ya que } r_b \ll r_{be}$$

$$g_m = \frac{220}{2000} = 0,1 \text{ S} = 100 \text{ mS}$$

$$A_V = -g_m \cdot R_d \frac{r_{be}}{r_b + r_{be}}$$

Haciendo:  $\frac{r_{be}}{r_b + r_{be}} \approx 1$  se tiene :

$$A_V = -g_m \cdot R_d = -0,1 \cdot 796 = -79,6$$

$$A_P = |A_I \cdot A_V| = |175 \cdot 79,6| \approx 14000$$

Ganancias del sistema :

$$R = r_S || R_B = 10 K\Omega || 15,37 K\Omega \approx 6 K\Omega$$

$$A_{VS} = A_V = -79,6$$

$$A_{IS} = A_I \frac{R}{R + R_i} = 175 \frac{6}{6 + 2} \approx 130$$

$$A_{VS} = A_{IS} \frac{R_d}{R_{iS}} = \frac{796}{1,5 \cdot 10^3} \cdot 130 = 79,6$$

$$R_{MS} = A_{IS} \cdot R_d = 130 \cdot 796 = 103,5 K\Omega$$

$$G_{MS} = \frac{A_{IS}}{R_{iS}} = \frac{130}{1,5 \cdot 10^3} = 86,6 \text{ mS}$$

$$A_{PS} = |A_{VS} \cdot A_{IS}| = |79,6 \cdot 130| \approx 10300$$

La configuración de EC presenta altas ganancias de tensión y corriente y por consiguiente alta ganancia de potencia. Su resistencia de entrada posee un valor medio (2 K $\Omega$ ). La señal de salida está invertida respecto de la señal de entrada.

## 2.5. BASE COMUN CON EXCITACION DE TENSION :

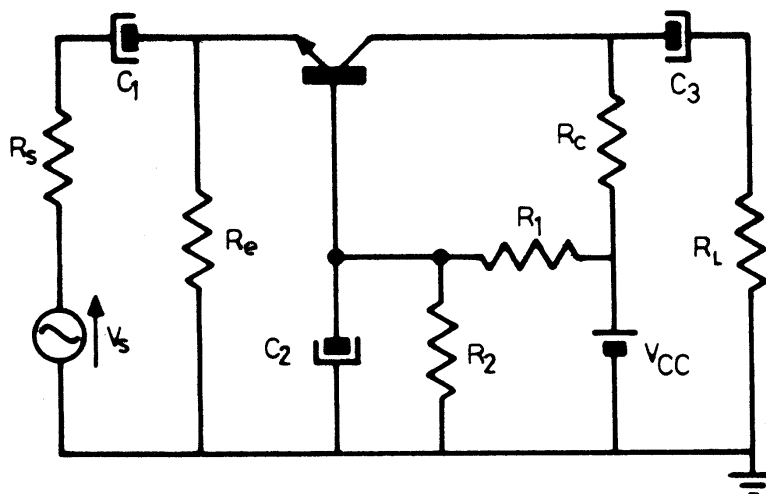


FIGURA 2.14.

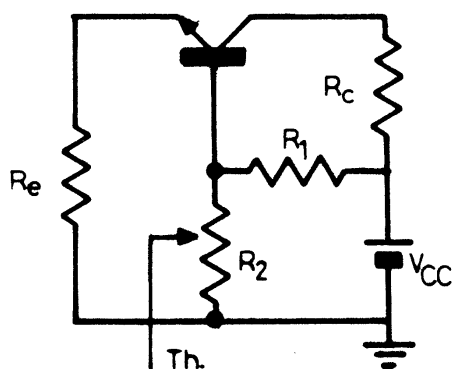
a) Verificar  $V_{CEO_{MAX}}$ b) Hacer circuito de continua y determinar  $Q$ ,  $P_{dT}$  y verificar corrida térmica.Para  $f = 0$  es  $X_C = \infty$  Queda :

FIGURA 2.15.(a)

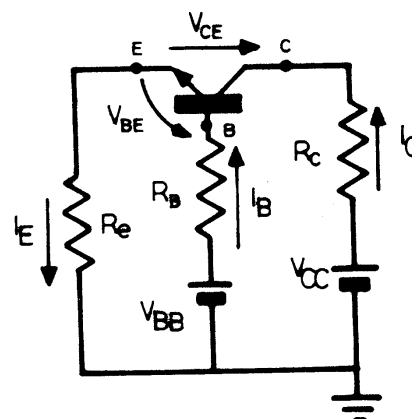


FIGURA 2.15.(b)

Aplicando THEVENIN se obtiene:

$$V_{BB} = V_{CC} \frac{R_2}{R_1 + R_2}$$

$$R_B = R_1 || R_2$$

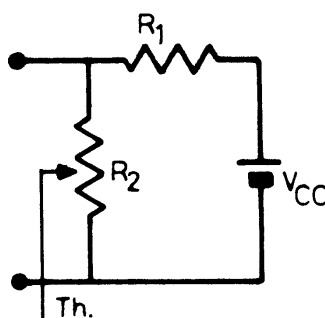


FIGURA 2.15.(c)

En la malla de entrada de la FIGURA 2.15.(b) se tiene:

$$V_{BB} = I_B \cdot R_B + V_{BE} + I_E \cdot R_e \approx \frac{I_C}{h_{FE}} + V_{BE} + I_C \cdot R_e$$

Haciendo :  $I_C = I_E$ 

Por lo tanto :

$$I_C = \frac{V_{BB} - V_{BE}}{R_e + \frac{R_B}{h_{FE}}} = I_{CQ}$$

De la malla externa de la FIGURA 2.15.(b), se obtiene:

$$V_{CC} = I_{CQ} \cdot R_C + V_{CEQ} + R_e \cdot I_{CQ} \quad \therefore V_{CEQ} = V_{CC} - I_{CQ} (R_C + R_e)$$

$$V_{CBQ} = V_{CEQ} - V_{BEQ}$$

Queda determinado el punto Q.

$$P_{dT} = V_{CBQ} \cdot I_{CQ} \quad \left( \begin{array}{c} I_{CQ} \\ V_{CBQ} \end{array} \right) \quad \text{(Verificar que sea menor que } P_d \text{ admisible)}$$

$$V_{CEQ} < \frac{V_{CC}}{2} \quad \text{(Verificar)}$$

c) Circuito dinámico:

Se hace  $X_C = 0$ ,  $V_{CC} = V_{BB} = 0$ . Queda :

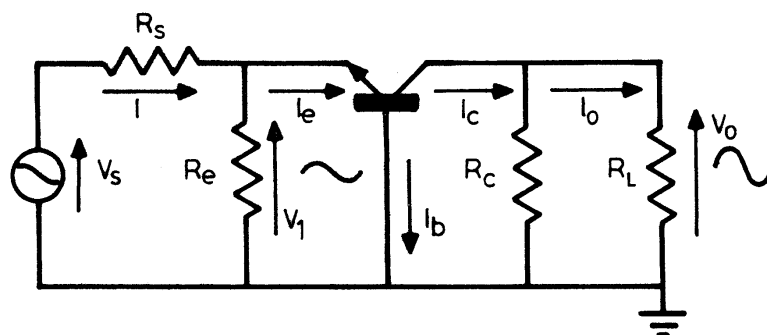


FIGURA 2.16.

Por inspección de la FIGURA 2.16. se ve que la salida y la excitación del BC están en fase.

En la FIGURA 2.17. se tiene el modelo incremental del transistor para BC :

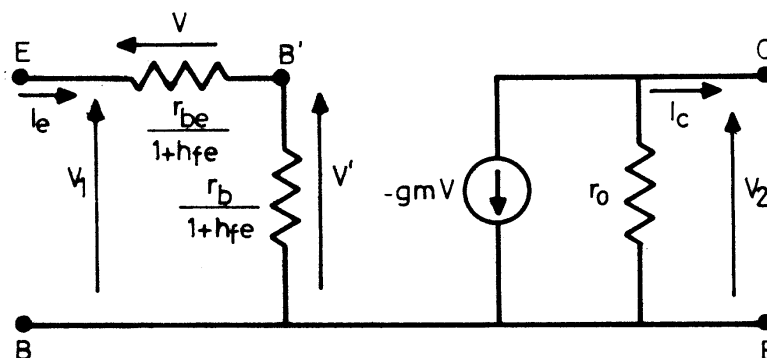


FIGURA 2.17.

$V_1 = V + V'$ . Tanto para EC como para BC se supone que se excita con la misma tensión  $V_1$ . Entonces, para EC se tenía que :

$$V_1 = r_{be} \cdot I_b + r_b \cdot I_b = V + V'$$

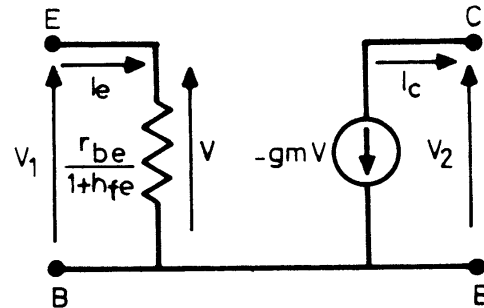
Para BC se tiene que la corriente de entrada es :

$$I_e = (1 + h_{fe}) I_b$$

Por lo tanto para mantener constantes las caídas de tensión en la juntura ( $V$ ) y en el material de la base ( $V'$ ) deben dividirse las resistencias por  $(1 + h_{fe})$ .

Teniendo en cuenta que  $r_b$  tiene un valor pequeño podemos despreciar  $V'$  frente a  $V$ . Por otra parte las características de salida del BC son mucho más horizontales que las de EC, lo cual nos indica que  $r_o$  para BC es mucho mayor que para EC. De acuerdo a lo anterior pasamos al circuito de la FIGURA 2.18. despreciando :

$$\frac{r_b}{1 + h_{fe}} \quad \text{y} \quad r_o$$



Recordemos que  $g_m$  se define para  $V_2 = 0$

FIGURA 2.18.

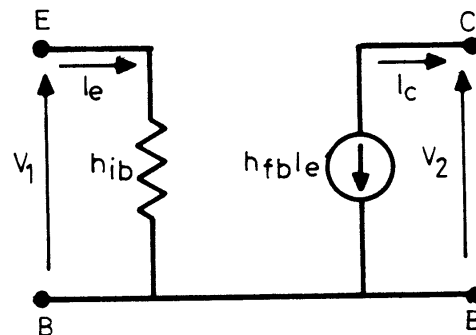
De la FIGURA 2.18., entonces :  $I_c = -g_m \cdot V$

donde el signo menos indica que en realidad la corriente de colector es opuesta a la corriente que entrega el generador controlado.

Siendo  $h_{ib}$  el parámetro híbrido que indica la resistencia de entrada del BC para  $V_2 = 0$ , resulta :

$$h_{ib} = \frac{r_{be} + r_b}{1 + h_{fe}} = \frac{h_{ie}}{1 + h_{fe}} \quad \{2.17.\}$$

Podemos hacer un circuito incremental usando un generador de corriente controlado por corriente como en la FIGURA 2.19.



Comparando las FIGURAS 2.18. y 2.19. se tiene:

FIGURA 2.19.

$$-g_m \cdot V = h_{fb} \cdot I_e \quad V = I_e \cdot \frac{r_{be}}{1 + h_{fe}}$$

$$-g_m \cdot I_e \cdot \frac{r_{be}}{1 + h_{fe}} = h_{fb} \cdot I_e$$

Como  $h_{fe} = g_m \cdot r_{be}$  queda :

$$-\frac{h_{fe}}{1 + h_{fe}} = h_{fb} \quad \{2.18.\}$$

Se puede demostrar que para BC :

$$r_o \approx \frac{1}{h_{ob}}$$

donde: 
$$h_{ob} = \frac{h_{oe}}{1 + h_{fe}} \quad \{2.19.\}$$
 Como  $h_{fe}$  es grande, resulta  $h_{ob}$  chica y el  $r_o$  de BC muy grande.

En los circuitos equivalentes se puede suponer por lo tanto :

$$r_o = \infty$$

Tomamos un BC 548 A para  $I_{CQ} = 2 \text{ mA}$ .

Se tiene en la hoja de datos:

$$h_{ie} = 2700 \, \Omega \quad h_{oe} = 18 \, \mu\text{S} \quad h_{fe} = 220$$

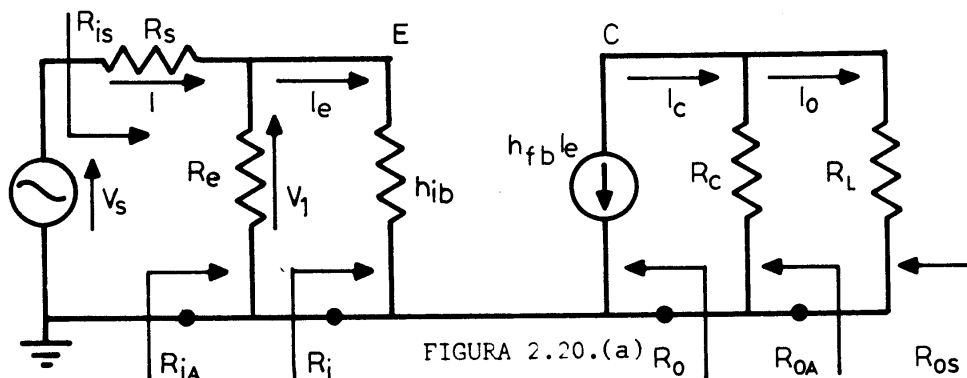
$$\therefore h_{ib} = \frac{h_{ie}}{1 + h_{fe}} = \frac{2700}{221} = 12,2 \, \Omega$$

$$h_{ob} = \frac{18 \cdot 10^{-6}}{221} = 81 \cdot 10^{-9} \, \text{S}$$

$$r_o = \frac{1}{h_{ob}} = \frac{1}{81 \cdot 10^{-9}} \approx 12 \, \text{M}\Omega$$

$$h_{fb} = -\frac{h_{fe}}{1 + h_{fe}} = -\frac{220}{221} = -0,995 \approx -1$$

Reemplazando la FIGURA 2.19. en la FIGURA 2.16. se tiene:



$$R_i = h_{ib} \quad \{2.20.\}$$

$$R_i = \frac{h_{ie}}{1 + h_{fe}} \approx \frac{r_{be}}{1 + h_{fe}} \approx \frac{r_{be}}{h_{fe}} = \frac{1}{g_m} \quad \{2.21.\}$$

$$R_{iA} = R_e \parallel R_i$$

Como  $R_e \gg h_{ib}$ , generalmente ocurre que  $R_{iA} \approx h_{ib} = \frac{1}{g_m}$

$$R_o \text{ prácticamente es } \infty \quad R_o = \infty$$

$$R_{OA} = R_o \parallel R_c \approx R_c \quad R_{OS} = R_{OA} \parallel R_L = R_c \parallel R_L = R_d$$

Ganancia de corriente del transistor :

$$A_I = \frac{I_o}{I_e}$$

De la malla de salida de la FIGURA 2.20. se obtiene:

$$\frac{I_0}{I_c} = \frac{R_C}{R_C + R_L} \quad (\text{divisor de corriente})$$

Reemplazando  $I_c$  por  $(-h_{fb} \cdot I_e)$  se obtiene :

$$I_0 = -h_{fb} \cdot I_e \frac{R_C}{R_C + R_L} \quad \therefore \quad \frac{I_0}{I_e} = -h_{fb} \frac{R_C}{R_C + R_L}$$

$$A_I = -h_{fb} \frac{R_C}{R_C + R_L} \quad \{2.22.\}$$

En realidad, como  $(-h_{fb}) \approx 1$  resulta que  $A_I < 1$ , es decir que en BC no hay ganancia de corriente.

Ganancia de tensión del transistor :

Usamos el circuito con el generador  $g_m$  :

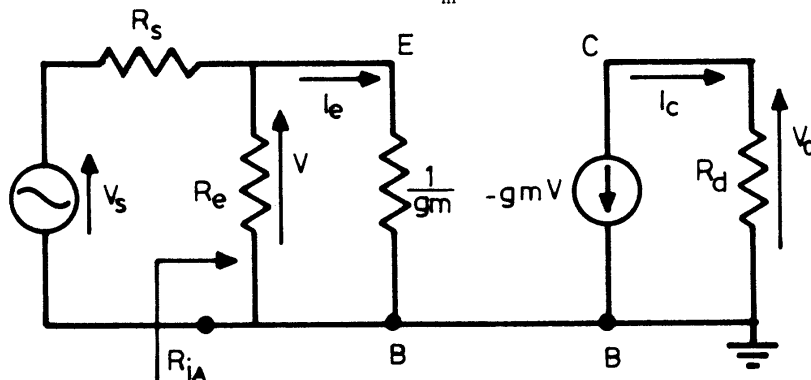


FIGURA 2.20.(b)

Se hace :  $R_d = R_C \parallel R_L$  y en lugar de  $h_{ib}$  se usa  $\frac{1}{g_m}$

$$A_V = \frac{V_0}{V}$$

$$V_0 = +g_m \cdot V \cdot R_d \quad \therefore \quad A_V = \frac{V_0}{V} = g_m \cdot R_d \quad \{2.23.\}$$

Ganancia de potencia del transistor :

$$A_P = \frac{P_0}{P} \quad A_P = \frac{V_0 \cdot I_0}{V \cdot I_e} = A_V \cdot A_I$$

Ganancia de corriente del sistema : FIGURA 2.20.(a) :

$$A_{IS} = \frac{I_0}{I} \quad A_{IS} = \frac{I_0}{I_e} \cdot \frac{I_e}{I} = A_I \cdot \frac{R_e}{R_e + R_i} \quad \{2.24.\}$$

Donde :

$$R_i = h_{ib} = \frac{1}{g_m}$$

Ganancia de tensión del sistema :

$$A_{VS} = \frac{V_0}{V_S} \quad A_{VS} = \frac{V_0}{V} \cdot \frac{V}{V_S} = A_V \cdot \frac{R_{iA}}{R_{iA} + R_S} \quad \{2.25.\}$$

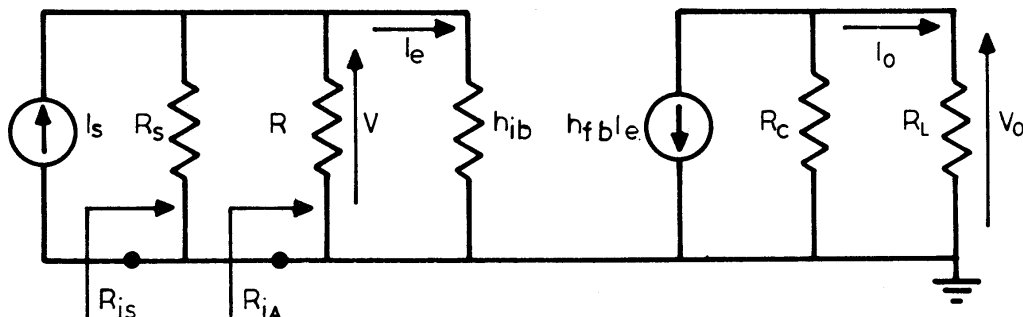
Donde:

$$R_{iA} = R_e \parallel h_{ib} = R_e \parallel \frac{1}{g_m}$$

Ganancia de potencia del sistema :

$$A_{PS} = \frac{P_O}{P_S} \quad A_{PS} = \frac{V_O \cdot I_O}{V_S \cdot I} = A_{VS} \cdot A_{IS}$$

## 2.6. BASE COMUN CON EXCITACION DE CORRIENTE :



La única resistencia que cambia es  $R_{iS}$

FIGURA 2.20. (c)

$$R_{iS} = R_S \parallel R_{iA} \quad \text{donde} \quad R_{iA} = R_e \parallel R_i$$

Las ganancias del transistor no cambian respecto de excitación con generador de tensión.

Cambian las ganancias del sistema.

Ganancia de corriente del sistema : FIGURA 2.21.

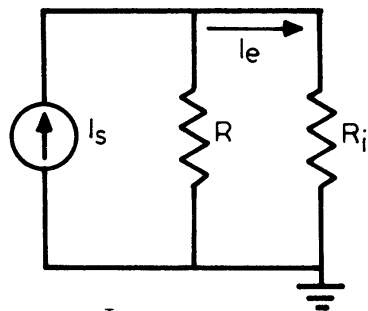


FIGURA 2.21.

$$A_{IS} = \frac{I_O}{I_S} \quad A_{IS} = \frac{I_O}{I_e} \cdot \frac{I_e}{I_S} = A_I \cdot \frac{R}{R + R_i} \quad \{2.26.\}$$

Ganancia de tensión del sistema :

$$A_{VS} = \frac{V_O}{V} = A_V \quad \{2.27.\}$$

Ganancia de potencia del sistema :

$$A_{PS} = \frac{P_O}{P_S} \quad A_{PS} = \frac{V_O \cdot I_O}{V \cdot I_S} = A_{VS} \cdot A_{IS}$$

Ejemplo de Base Común :

DATOS :

$$R_e = 470 \, \Omega$$

$$R_S = 10 \, \Omega$$

$$R_1 = 33 \, \text{k}\Omega$$

$$R_2 = 5,6 \, \text{k}\Omega$$

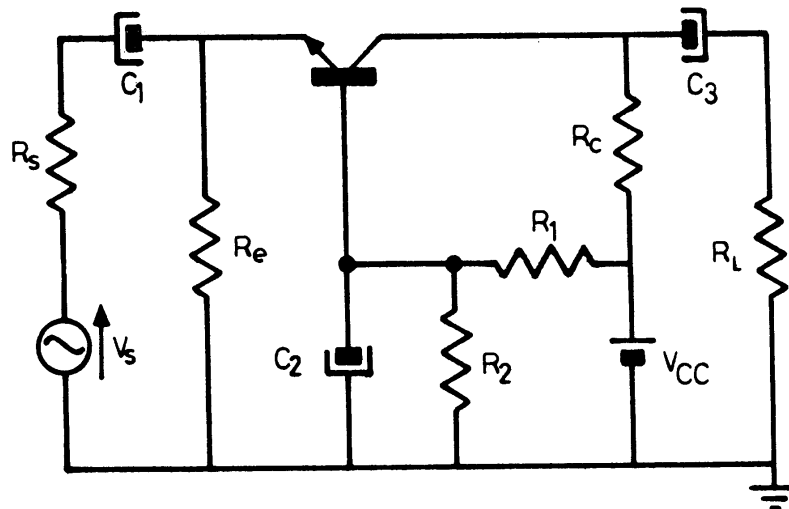
$$R_C = 3,3 \, \text{k}\Omega$$

$$R_L = 10 \, \text{k}\Omega$$

$$V_{CC} = 12 \, \text{V}$$

$$\beta = 548$$

$$T_a = 75 \, ^\circ\text{C}$$



$$a) \quad V_{CC} \leq V_{CEQ_{MAX}} \cdot 0,75 \quad 12 \leq 20 \cdot 0,75$$

$$12 \leq 15 \quad (\text{Se cumple}).$$

b) Punto Q :

$$V_{BB} = V_{CC} \frac{R_2}{R_1 + R_2} = 12 \frac{5,6}{5,6 + 33} = 1,74 \, \text{V}$$

$$R_B = R_1 \parallel R_2 = 5,6 \, \text{k}\Omega \parallel 33 \, \text{k}\Omega = 4,79 \, \text{k}\Omega$$

$$I_{CQ} = \frac{V_{BB} - V_{BE}}{R_e + \frac{R_B}{h_{FE_T}}} = \frac{1,74 - 0,7}{470 + \frac{4790}{180}} \approx \frac{1,04}{497} \approx 2 \, \text{mA}$$

$$V_{CEQ} = V_{CC} - I_{CQ} (R_e + R_C) = 12 - 2 \cdot 10^{-3} \cdot 3,77 \cdot 10^3 = 4,46 \, \text{V}$$

$$P_{dT} = I_{CQ} \cdot V_{CEQ} = 2 \, \text{mA} \cdot 4,46 \, \text{V} = 8,92 \, \text{mW} < 300 \, \text{mW}$$

c) Parte dinámica :

$$R_i = \frac{h_{ie}}{1 + h_{fe}} = h_{ib}$$

Del manual:

$$h_{ie} = 2700 \, \Omega \quad y \quad h_{fe} = 220$$

$$R_i = \frac{2700}{221} = 12,2 \, \Omega$$

Si no existen datos de  $h_{ie}$  y  $h_{fe}$  se puede hacer :

$$R_i = \frac{1}{g_m} = \frac{m \cdot V_T}{I_{CQ}} = \frac{25 \cdot 10^{-3}}{2 \cdot 10^{-3}} = 12,5 \, \Omega \quad \text{para } m=1$$



$V_T$  se toma indistintamente como  $25 \cdot 10^{-3}$  ó como  $26 \cdot 10^{-3}$  V.

$$h_{fb} = - \frac{h_{fe}}{1 + h_{fe}} \approx -1$$

$$A_I = -h_{fb} \frac{R_C}{R_C + R_L} = (+1) \frac{3,3}{3,3 + 10} \approx 0,25$$

$$R_{iA} = R_i \parallel R_e = 12,2 \parallel 470 \approx 12 \Omega$$

$$R_{iS} = R_{iA} + R_S = 12 + 10 = 22 \Omega$$

$$R_{OA} = R_C = 3,3 \text{ k}\Omega \quad R_{OS} = R_d = R_C \parallel R_L = 2,48 \text{ k}\Omega$$

$$A_V = g_m \cdot R_d = 40 \text{ (1/V)} \cdot I_{CQ} \cdot R_d = 198,4$$

$$A_P = A_V \cdot A_I = 198,4 \cdot 0,25 = 49,6$$

$$A_{IS} = A_I \frac{R_e}{R_e + h_{ib}} = 0,25 \frac{470}{470 + 12,2} = 0,243$$

$$A_{VS} = A_V \frac{R_{iA}}{R_{iA} + R_S} = 198,4 \frac{12}{12 + 10} = 108,2$$

$$A_{PS} = A_{VS} \cdot A_{IS} = 108,2 \cdot 0,243 = 26,3$$

## 2.7. COLECTOR COMUN CON EXCITACION DE TENSION :

El CC se puede polarizar de acuerdo con la FIGURA 2.22.(a) ó la FIGURA 2.22.(b).

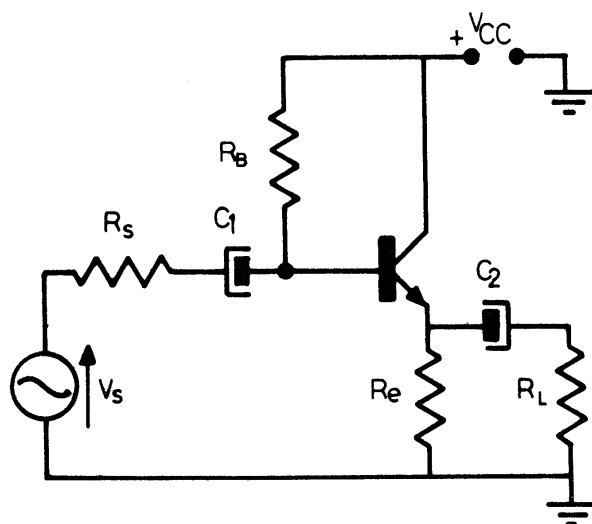


FIGURA 2.22.(b)

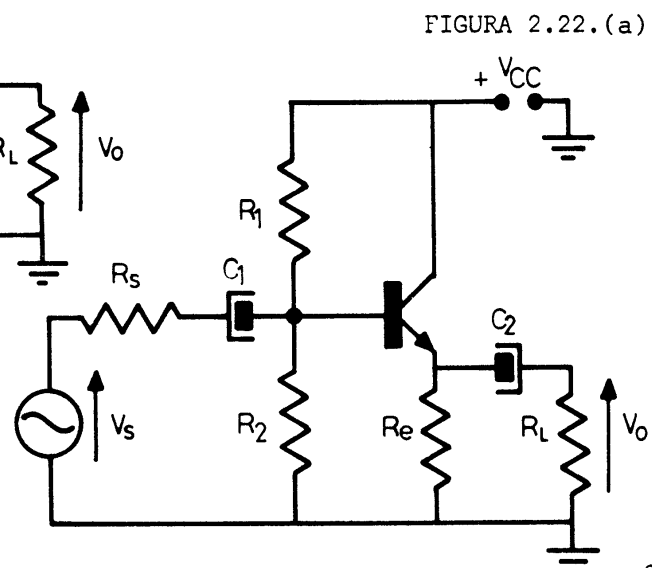


FIGURA 2.22.(a)

Para el circuito de la FIGURA 2.22.(a) se obtiene el siguiente circuito para la continúa : FIGURA 2.23.(a).

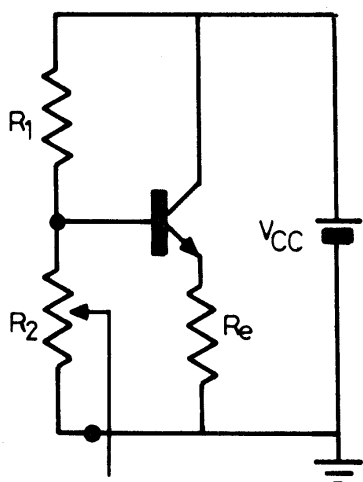


FIGURA 2.23.(a)

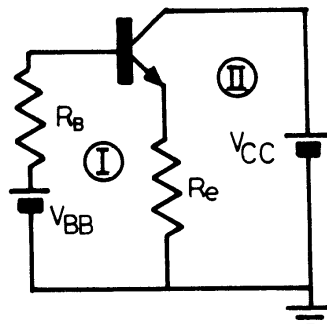


FIGURA 2.23.(b)

Aplicando THEVENIN a la FIGURA 2.23.(a) se obtiene la FIGURA 2.23.(b) donde:

$$V_{BB} = V_{CC} \frac{R_2}{R_1 + R_2} \quad \text{y} \quad R_B = R_1 || R_2$$

De la malla I de la FIGURA 2.23.(b) se obtiene :

$$I_{CQ} = \frac{V_{BB} - V_{BE}}{R_e + \frac{R_B}{h_{FE_T}}}$$

Y de la malla II se obtiene:

$$V_{CEQ} = V_{CC} - I_{CQ} \cdot R_e$$

Para el circuito de la FIGURA 2.22.(b) se obtiene el siguiente circuito para la continúa: FIGURA 2.24.(a).

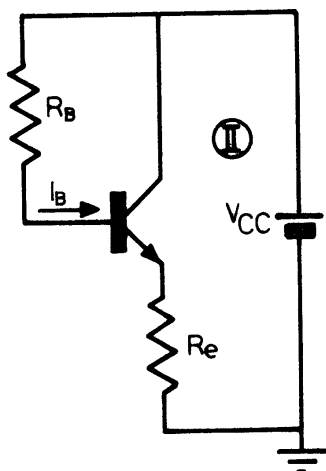


FIGURA 2.24.(a)

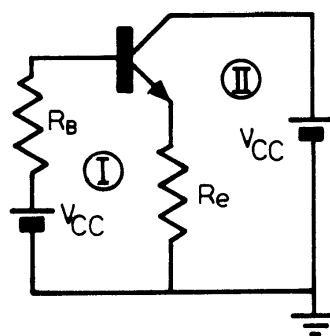


FIGURA 2.24.(b)

Una de las mallas de la FIGURA 2.24.(a) está formada por  $V_{CC}$ ,  $R_B$ , la juntura BE y  $R_e$ . Esta malla coincide con la malla I de la FIGURA 2.24.(b). De la malla I se obtiene:

$$I_{CQ} = \frac{V_{CC} - V_{BE}}{R_e + \frac{R_B}{h_{FE_T}}}$$

De la malla II se obtiene :

$$V_{CEQ} = V_{CC} - I_{CQ} \cdot R_e$$

Con el circuito de la FIGURA 2.24.(a) se consigue una  $R_B$  mucho más elevada que la  $R_B$  ( $R_1 \parallel R_2$ ) correspondiente al circuito de la FIGURA 2.23.(a). Esto es importante si se quiere obtener  $R_{iA}$  elevadas ( $R_B \parallel R_i$ ). Por otra parte el circuito de la FIGURA 2.23.(a) tiene el punto Q más estable. Para señales muy débiles se puede usar el circuito de la FIGURA 2.24.(a) ya que por más que se desplace el punto Q la señal superpuesta a la continua es lo suficientemente pequeña como para no tener recortes.

### 2.7.1. CIRCUITO DINAMICO :

Se obtiene en la FIGURA 2.25. y corresponde tanto al circuito de la FIGURA 2.23.(a) como al de la FIGURA 2.24.(a).

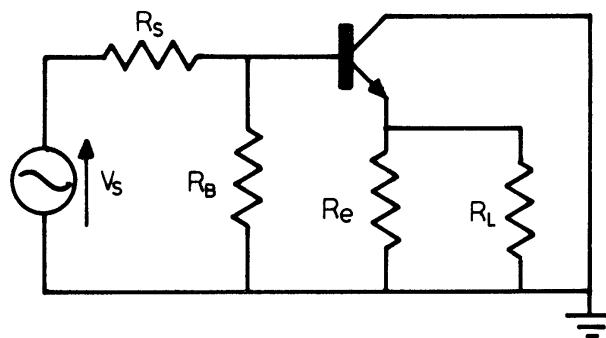


FIGURA 2.25.

Reemplazamos el transistor por el circuito híbrido simplificado. Obtenemos la FIGURA 2.26.

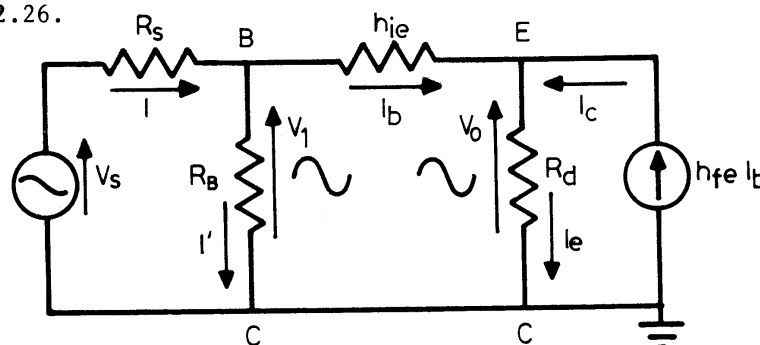


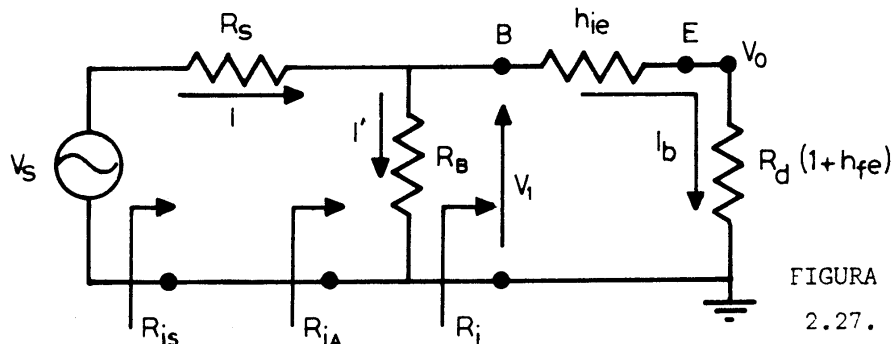
FIGURA 2.26.

Entre B y E se tiene  $h_{ie} = r_b + r_{be}$  y entre C y E el generador controlado  $h_{fe} \cdot I_b$ . Se observa que la salida  $V_0$  y la entrada  $V_s$  están en fase. En la FIGURA 2.26.  $I$ ,  $I'$ , e  $I_b$  son del orden de magnitud de la corriente de base  $I_b$  (varios  $\mu A$ ), mientras que la corriente que circula por  $R_d$  ( $R_e \parallel R_L$ ), es del orden de magnitud de los mA ( $I_e$ ). La caída en  $R_d$  vale :

$$V_0 = R_d \cdot I_e \quad \text{y como} \quad I_e = (1 + h_{fe}) I_b \quad \text{Resulta :}$$

$$V_0 = R_d (1 + h_{fe}) I_b$$

Podemos así introducir una resistencia de valor  $R_d (1 + h_{fe})$  por la cual sólo circula  $I_b$ . (Se mantiene inalterable el valor numérico de la caída  $V_0$ ). Lo anterior puede verse en la FIGURA 2.27. (circuito a nivel de  $I_b$ ).

FIGURA  
2.27.

Resistencia de entrada del transistor :

$$R_i = h_{ie} + R_d (1 + h_{fe}) \quad \{2.28.\}$$

Se obtiene un valor alto de  $R_i$  usando un transistor de alto  $h_{fe}$ . Es la configuración que da el mayor valor de  $R_i$ .

Resistencia de entrada del amplificador :

$$R_{iA} = R_B \parallel R_i$$

Para que  $R_{iA}$  sea grande, debe serlo  $R_B$ .

Resistencia de entrada del sistema :

$$R_{iS} = R_S + R_{iA}$$

Ganancia de tensión del transistor :

$$A_V = \frac{V_0}{V_1}$$

De la FIGURA 2.27. se obtiene:

$$A_V = \frac{R_d (1 + h_{fe})}{h_{ie} + R_d (1 + h_{fe})} \quad \{2.29.\}$$

Generalmente  $h_{ie} \ll R_d (1 + h_{fe})$  con lo cual  $A_V \rightarrow 1$

No hay ganancia de tensión en CC.

Ganancia de tensión del sistema :

$$A_{VS} = \frac{V_0}{V_S}$$

De la FIGURA 2.27. se tiene :

$$A_{VS} = \frac{V_0}{V_1} \cdot \frac{V_1}{V_S} = A_V \frac{R_{iA}}{R_{iA} + R_S} \quad \{2.30.\}$$

Para hallar la ganancia de corriente se puede desdoblar  $R_d$  en la FIGURA 2.26. Ver FIGURA 2.28.

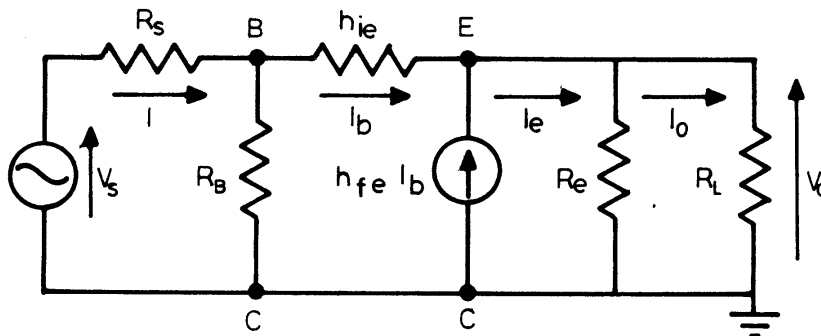


FIGURA 2.28.

Ganancia de corriente del transistor :

$$A_I = \frac{I_O}{I_b}$$

$$I_O = I_e \frac{R_e}{R_e + R_L} \quad (\text{divisor de corriente})$$

Como:  $I_e = (1 + h_{fe}) I_b$  reemplazando se tiene :

$$I_O = (1 + h_{fe}) I_b \frac{R_e}{R_e + R_L} \quad \therefore$$

$$A_I = (1 + h_{fe}) \frac{R_e}{R_e + R_L} \quad \{2.31.\}$$

Ganancia de corriente del sistema :

$$A_{IS} = \frac{I_O}{I}$$

$$A_{IS} = \frac{I_O}{I_b} \cdot \frac{I_b}{I} = A_I \frac{R_B}{R_B + R_i} \quad \{2.32.\}$$

de acuerdo a la FIGURA 2.29.

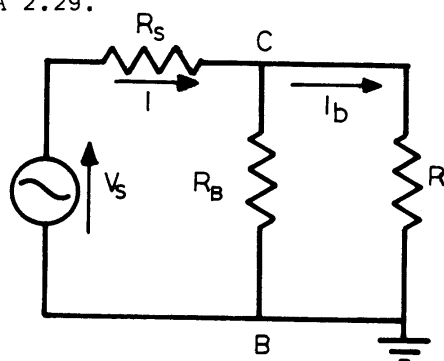


FIGURA 2.29.

Ganancia de potencia del transistor :

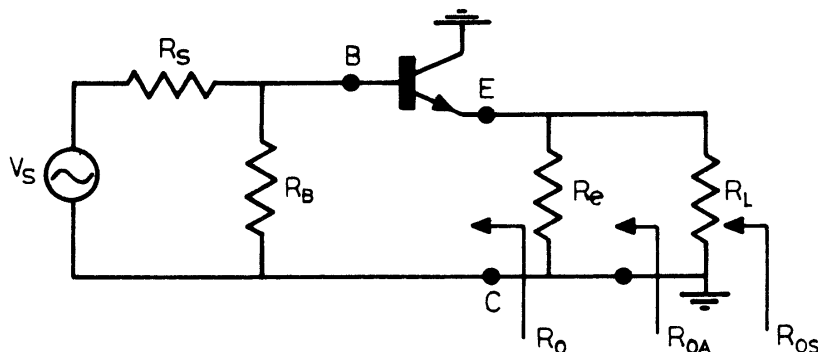
$$A_P = A_I \cdot A_V$$

Ganancia de potencia del sistema :

$$A_{PS} = A_{IS} \cdot A_{VS}$$

### 2.7.2. RESISTENCIA DE SALIDA DE CC :

En la FIGURA 2.30. están indicadas las resistencias de salida :



$R_O$  es la resistencia de salida del transistor en la configuración de CC.

$R_{OA}$  es la resistencia de salida del amplificador :

$$R_{OA} = R_O \parallel R_E \quad \text{y} \quad R_{OS} = R_{OA} \parallel R_L \quad \text{es la resistencia de salida del sistema.}$$

Reproducimos la FIGURA 2.27. cuyo nivel era  $I_b$  :

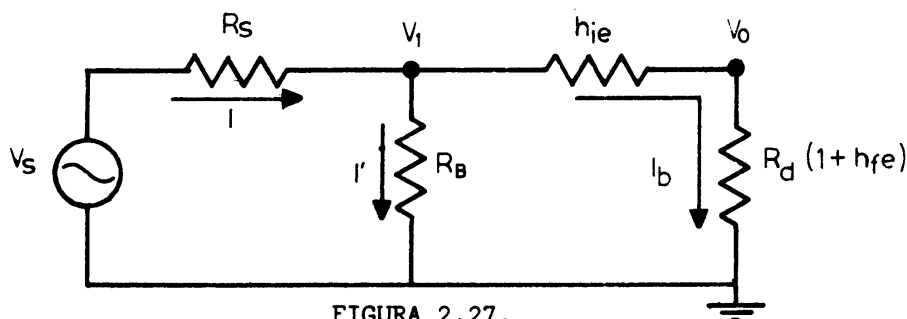


FIGURA 2.27.

Para pasar a un circuito cuyo nivel de corriente corresponda al orden de magnitud de  $I_e$  hay que hacer lo siguiente :

Multiplicar  $I$ ,  $I'$ , e  $I_b$  por  $(1 + h_{fe})$

Dividir  $R_S$ ,  $R_B$ ,  $h_{ie}$  y  $R_d(1 + h_{fe})$  por  $(1 + h_{fe})$

De esta forma mantenemos constante la tensión en cada rama. Además, cada rama tiene una corriente cuyo nivel es  $I_e$ . Ver FIGURA 2.31.

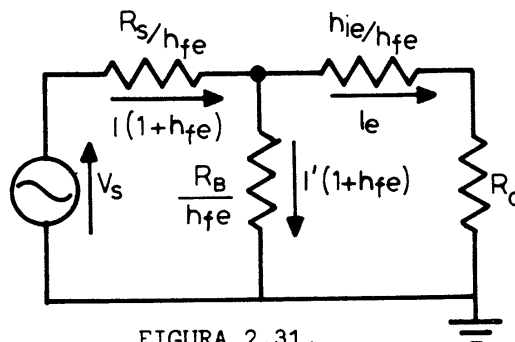


FIGURA 2.31.

Veamos la FIGURA 2.32.

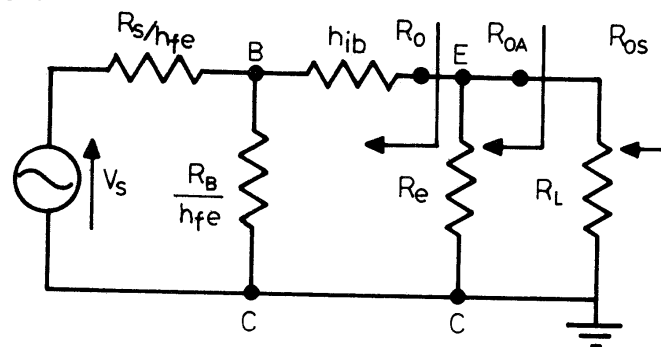


FIGURA 2.32.

Para hallar  $R_0$  ponemos en corto  $V_S$  y desconectamos  $R_e$  y  $R_L$ .  
Por lo tanto:

$$R_0 = h_{ib} + \left( \frac{R_B}{h_{fe}} \parallel \frac{R_S}{h_{fe}} \right) = h_{ib} + \frac{R}{h_{fe}} \quad \{2.33.\}$$

donde:

$$R = R_S \parallel R_B$$

Al ser  $h_{ib}$  chico y  $h_{fe}$  alto resulta  $R_0$  chico.

Colector común es la configuración que presenta menor resistencia de salida. (No se puede considerar  $R_0 = \infty$ ).

## 2.8. COLECTOR COMÚN CON EXCITACION DE CORRIENTE :

Ganancia de tensión del sistema. Ver FIGURA 2.33.

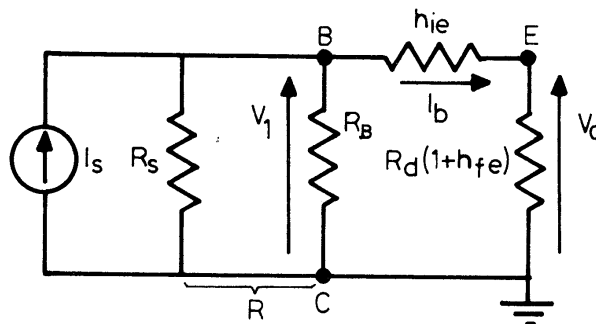


FIGURA 2.33.

$$A_{VS} = \frac{V_0}{V_1} = A_V$$

Ganancia de corriente del sistema . Ver FIGURA 2.34.

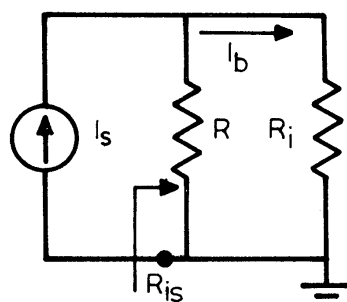


FIGURA 2.34.

$$A_{IS} = \frac{I_O}{I_S} = \frac{I_O}{I_b} \cdot \frac{I_b}{I_S} \quad \therefore \quad A_{IS} = A_I \frac{R}{R + R_i}$$

Resistencia de entrada del sistema :

$$R_{iS} = R \parallel R_i \quad \text{donde :} \quad R = R_S \parallel R_B$$

Ganancia de potencia del sistema :

$$A_{PS} = A_{VS} \cdot A_{IS}$$

Partiendo de la FIGURA 2.33. haremos el circuito que corresponde a nivel  $I_e$ . FIGURA 2.35.

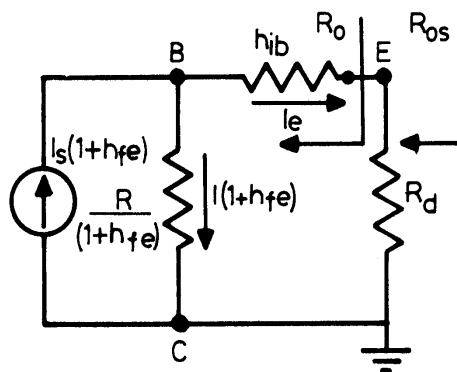


FIGURA 2.35.

$I$  es la corriente que circulaba por  $R$  en el nivel  $I_b$ .

$I_S$  en la FIGURA 2.33. es una corriente cuyo orden de magnitud concuerda con el de  $I_b$ .

Al multiplicarse  $I$  e  $I_b$  por  $(1 + h_{fe})$  lo mismo debe hacerse con  $I_S$  ya que las corrientes  $(1 + h_{fe}) I$  e  $I_e$  son proporcionadas por la fuente función de  $I_S$ .

Problemas :

DATOS :

BC 549 C

$R_1 = 560 \text{ K}\Omega$

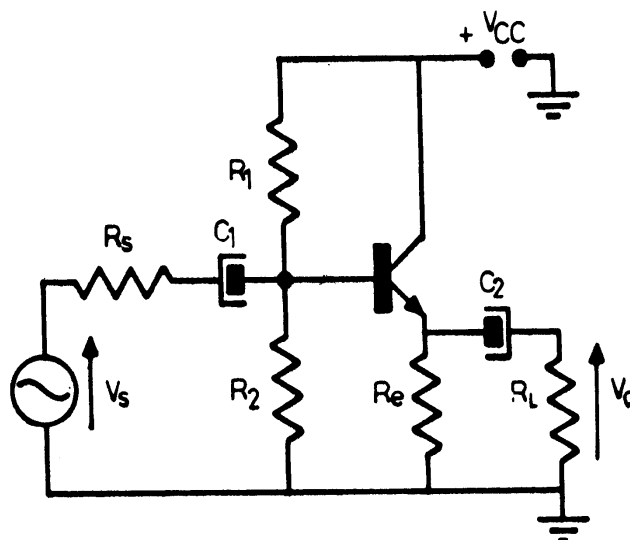
$R_2 = 150 \text{ K}\Omega$

$R_L = R_e = 1 \text{ K}\Omega$

$V_{CC} = 10 \text{ V}$

$T_a = 65 \text{ }^\circ\text{C}$

$R_S = 500 \text{ K}\Omega$



a)  $V_{CC} \leq 0,75 \cdot V_{CE0_{MAX}} \quad 10 \leq 0,75 \cdot 20 \quad 10 \leq 15 \text{ V}$

b) Punto Q :



$$V_{BB} = V_{CC} \frac{R_2}{R_1 + R_2} = 10 \frac{150 \text{ K}\Omega}{150 \text{ K}\Omega + 560 \text{ K}\Omega} = 2,1 \text{ V}$$

$$R_B = R_1 \parallel R_2 = 560 \text{ K}\Omega \parallel 150 \text{ K}\Omega = 118 \text{ K}\Omega$$

$$I_{CQ} = \frac{V_{BB} - V_{BE}}{R_e + \frac{R_B}{h_{FE_T}}} = \frac{2,1 - 0,7}{1000 + \frac{118000}{500}} \approx 1,1 \text{ mA}$$

$$V_{CEQ} = V_{CC} - I_{CQ} \cdot R_e = 10 - 1,1 \cdot 10^{-3} \cdot 10^3 = 8,9 \text{ V}$$

c) No se cumple que  $V_{CEQ} \leq \frac{V_{CC}}{2}$  (corrida térmica)

Si se analiza la corrida térmica con la ecuación {1.67.} se verifica que ésta no existe.

d)

$$\frac{\frac{R_e}{R_B}}{h_{FE_m}} = \frac{10^3}{\frac{118 \cdot 10^3}{400}} = 3,4$$

Indica una buena estabilidad del punto Q respecto de la dispersión de  $h_{FE}$  para señales débiles.

En los gráficos correspondientes a la hoja de datos para el punto Q hallado se obtiene :

$$h_{ie} \approx 18 \text{ K}\Omega \quad h_{fe} \approx 650$$

e)

$$R_i = h_{ie} + h_{fe} \cdot R_d = 18000 + 650 \cdot 500 = 343 \text{ K}\Omega$$

$$R_{iA} = R_i \parallel R_B = 343 \text{ K}\Omega \parallel 118 \text{ K}\Omega = 87,7 \text{ K}\Omega$$

Se ve que  $R_B$  apantalla la resistencia de entrada del transistor con lo cual disminuye la resistencia de entrada del amplificador.

De una  $R_i = 343 \text{ K}\Omega$  pasamos a una  $R_{iA} = 87,7 \text{ K}\Omega$

$$R_{iS} = R_S + R_{iA} = 500 \text{ K}\Omega + 87,7 \text{ K}\Omega = 587,7 \text{ K}\Omega$$

$$R_O = h_{ib} + \frac{R}{h_{fe}} \quad \text{donde :} \quad R = R_S \parallel R_B = 95,4 \text{ K}\Omega \quad \text{y :}$$

$$h_{ib} \approx \frac{h_{ie}}{h_{fe}} = \frac{18000}{650} \approx 28 \text{ }\Omega$$

$$R_O = 28 + \frac{95400}{650} \approx 175 \text{ }\Omega$$

$$R_{OA} = R_e \parallel R_O = 1000 \text{ }\Omega \parallel 175 \text{ }\Omega \approx 150 \text{ }\Omega$$

$$R_{OS} = R_{OA} \parallel R_L = 150 \text{ }\Omega \parallel 1000 \text{ }\Omega \approx 130 \text{ }\Omega$$

$$A_V = \frac{h_{fe} \cdot R_d}{h_{ie} + h_{fe} \cdot R_d} = \frac{650 \cdot 500}{18 \text{ K}\Omega + 650 \cdot 0,5 \text{ K}\Omega} = \frac{325 \text{ K}\Omega}{343 \text{ K}\Omega} = 0,947$$

$$A_{VS} = A_V \frac{R_{iA}}{R_{iA} + R_S} = 0,947 \frac{87,7 \text{ K}\Omega}{(500 + 87,7) \text{ K}\Omega} \approx 0,15$$

La ganancia de tensión del sistema es baja ya que  $R_{iA} \ll R_S$

$$A_I = h_{fe} \frac{R_e}{R_e + R_L} = 650 \frac{1 \text{ K}\Omega}{2 \text{ K}\Omega} = 325$$

$$A_{IS} = A_I \frac{R_B}{R_B + R_i} = 325 \frac{118 \text{ K}\Omega}{(118 + 343) \text{ K}\Omega} = 83$$

$A_{IS}$  disminuye mucho respecto de  $A_I$  por ser  $R_B < R_i$

**Problema :** SE analiza un circuito polarizado de manera de evitar el efecto de apantallamiento de  $R_B$  sobre  $R_i$ .

DATOS :

$$R_S = 750 \text{ K}\Omega$$

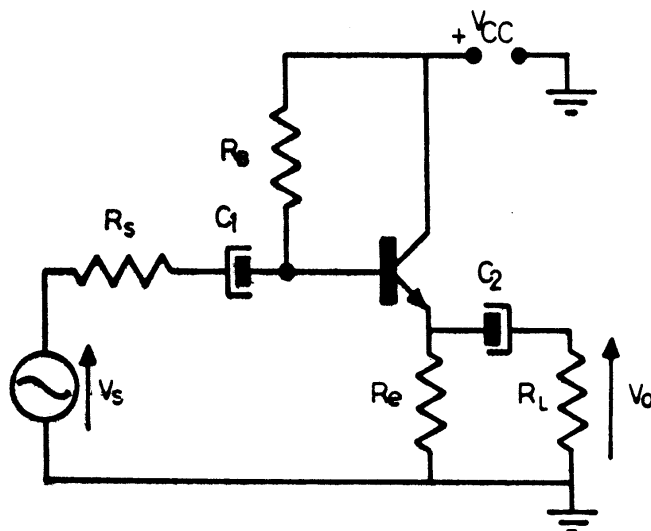
$$R_B = 3,9 \text{ M}\Omega$$

$$R_e = 10 \text{ K}\Omega$$

$$R_L = 50 \text{ K}\Omega$$

$$V_{CC} = 15 \text{ V}$$

$$\text{BC } 549 \text{ C}$$



a)  $V_{CC} \leq 0,75 \cdot V_{CEO_{MAX}} \quad 15 = 0,75 \cdot 20 = 15 \text{ V}$

b) Punto Q :

$$I_{CQ} = \frac{V_{CC} - V_{BE}}{R_e + \frac{R_B}{h_{FE_T}}} \quad I_{CQ} = \frac{15 - 0,7}{10 \cdot 10^3} = 1,4 \text{ mA} \quad \left( \text{Hemos despreciado } \frac{R_B}{h_{FE_T}} \right)$$

Entrando en la hoja de datos con 1,4 mA se obtiene :

$$h_{FE_T} = 500$$

$$I_{CQ} = \frac{15 - 0,7}{10 \cdot 10^3 + \frac{3,9 \cdot 10^6}{500}} = 0,8 \text{ mA}$$

$$V_{CEQ} = V_{CC} - I_{CQ} \cdot R_e = 15 - 0,8 \cdot 10 = 7 \text{ V}$$

De la hoja de datos :

$$h_{ie} = 18 \text{ K}\Omega$$

$$h_{fe} = 600$$

c) Se cumple que

$$V_{CEQ} < \frac{V_{CC}}{2}$$

d)

$$\frac{\frac{R_e}{R_B}}{h_{FE_T}} = \frac{\frac{10 \cdot 10^3}{3,9 \cdot 10^6}}{400} \approx 1$$

No estabiliza adecuadamente el punto Q. Pero en una etapa de entrada se puede usar ya que la señal de excitación es muy pequeña y no llega a tenerse recorte.

d)

$$R_i = h_{ie} + R_d \cdot h_{fe} \quad \text{donde: } R_d = R_e \parallel R_L = 10 \text{ K}\Omega \parallel 50 \text{ K}\Omega = 8,3 \text{ K}\Omega$$

$$R_i = 18 \text{ K}\Omega + 8,3 \text{ K}\Omega \cdot 600 \approx 5 \text{ M}\Omega$$

$$R_{iA} = R_B \parallel R_i = 3,9 \text{ M}\Omega \parallel 5 \text{ M}\Omega \approx 2,2 \text{ M}\Omega$$

$$R_{iS} = R_S + R_{iA} = 750 \text{ K}\Omega + 2,2 \text{ M}\Omega = 2,95 \text{ M}\Omega$$

$R_{iA}$  tiene un valor alto comparado con  $R_S$ . Es decir que el amplificador tomará una buena señal del excitador.

$$R_0 = h_{ib} + \frac{R}{h_{fe}} \quad \text{donde: } R = R_S \parallel R_B = 0,75 \text{ M}\Omega \parallel 3,9 \text{ M}\Omega = 629 \text{ K}\Omega$$

$$R_0 = \frac{18000}{600} + \frac{629000}{600} \approx 1080 \text{ }\Omega$$

$$R_{0A} = R_0 \parallel R_e \approx 1,08 \text{ K}\Omega \parallel 10 \text{ K}\Omega \approx 970 \text{ }\Omega$$

$$R_{0S} = R_{0A} \parallel R_L = 970 \text{ }\Omega \parallel 50 \text{ K}\Omega \approx 970 \text{ }\Omega$$

$$A_V = \frac{h_{fe} \cdot R_d}{h_{ie} + h_{fe} \cdot R_d} = \frac{600 \cdot 8,3 \text{ K}\Omega}{18 \text{ K}\Omega + 600 \cdot 8,3 \text{ K}\Omega} = 0,996 \approx 1$$

$$A_{VS} = A_V \frac{R_{iA}}{R_{iA} + R_S} = 1 \frac{2,2 \text{ M}\Omega}{(2,2 + 0,75) \text{ M}\Omega} = 0,745$$

La ganancia de tensión del sistema es alta ya que  $R_{iA} > R_S$

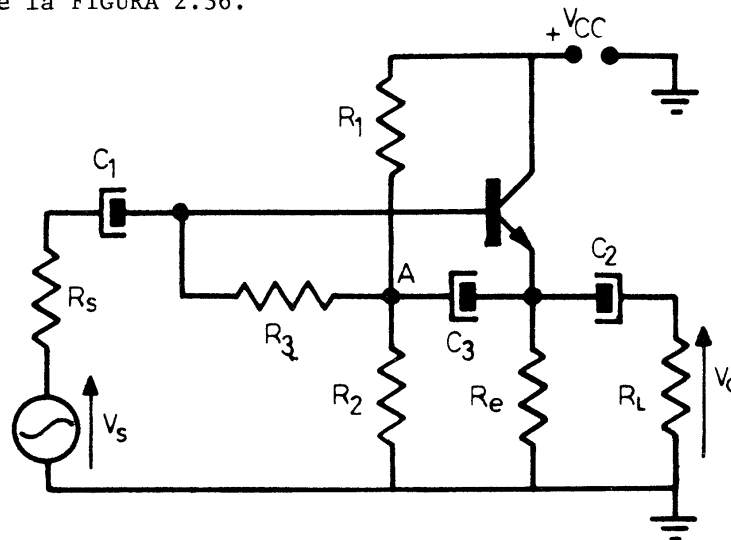
$$A_I = h_{fe} \frac{R_e}{R_e + R_L} = 600 \frac{10 \text{ K}\Omega}{(10 + 50) \text{ K}\Omega} = 100$$

$$A_{IS} = A_I \frac{R_B}{R_B + R_i} = 100 \frac{3,9 \text{ M}\Omega}{(3,9 + 5) \text{ M}\Omega} = 44$$

## 2.9 MODIFICACION DE LA RED DE ENTRADA CIRCUITO AUTOELEVADOR (BOOTSTRAP)

Como se ha visto, la resistencia de entrada del amplificador con configuración de CC ( $R_{iA}$ ) está limitada por  $R_B$ . Si se desea un valor elevado de  $R_{iA}$ ,  $R_B$  deberá ser alta, lo cual atenta con respecto a la estabilidad del punto Q. Para obtener ambas cosas, es decir,  $R_{iA}$  elevada y buena estabilidad del punto Q recurrimos al circuito de la FIGURA 2.36.

FIGURA 2.36.



Para la continua ( $f = 0$ ,  $X = \infty$ ) se tiene: FIGURA 2.37.

FIGURA 2.37.

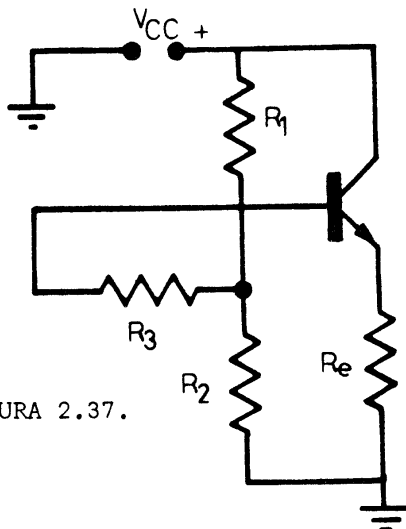
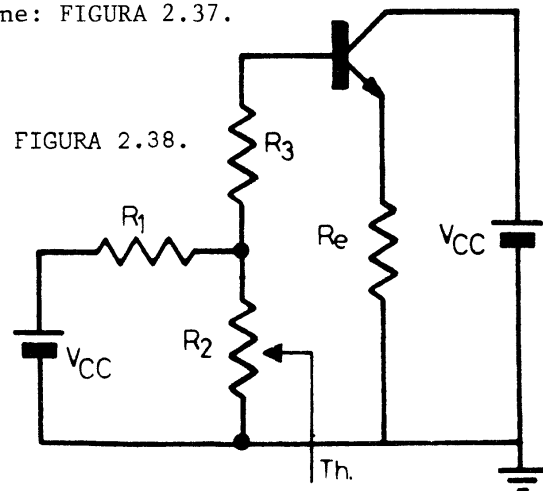


FIGURA 2.38.



Aplicamos THEVENIN sobre  $R_2$ . Para lo cual desconectamos la carga, es decir abrimos la base del transistor. FIGURA 2.39.

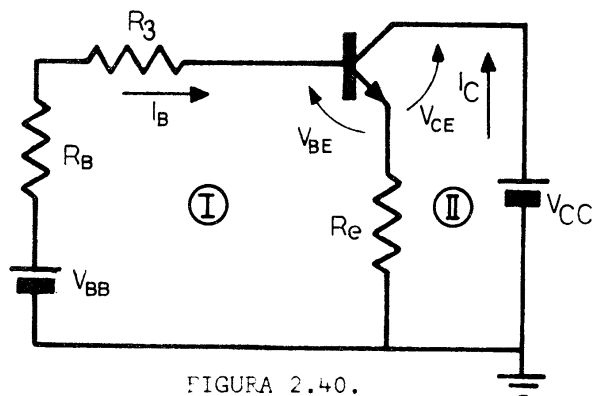
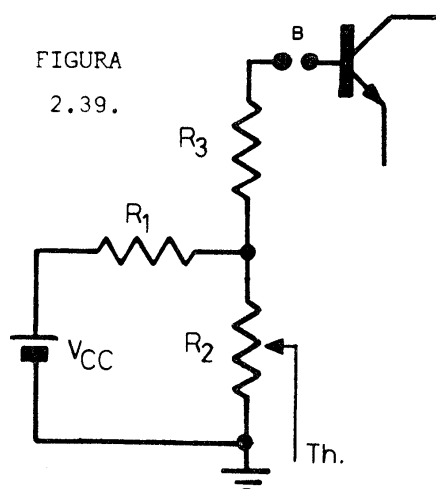
Entonces :

$$V_{BB} = V_{CC} \frac{R_2}{R_1 + R_2} \quad \text{y} \quad R_B = R_1 \parallel R_2$$

Reemplazando  $V_{BB}$  y  $R_B$  en la FIGURA 2.38. se obtiene la FIGURA 2.40.

De la malla I de dicha figura se obtiene:

$$I_{CQ} = \frac{V_{BB} - V_{BE}}{R_e + \frac{R_B + R_3}{h_{FE_T}}} \quad \{2.34.\}$$



De la malla II de la FIGURA 2.40. se obtiene:

$$V_{CEQ} = V_{CC} - I_{CQ} \cdot R_e$$

Se tiene así determinado el punto Q.

La estabilidad de Q se consigue haciendo :

$$R_e \gg \frac{R_B + R_3}{h_{FE_m}}$$

Circuito dinámico ( $V_{BB} = V_{CC} = 0$  ,  $X = 0$  )

El circuito dinámico se tiene en la FIGURA 2.41.

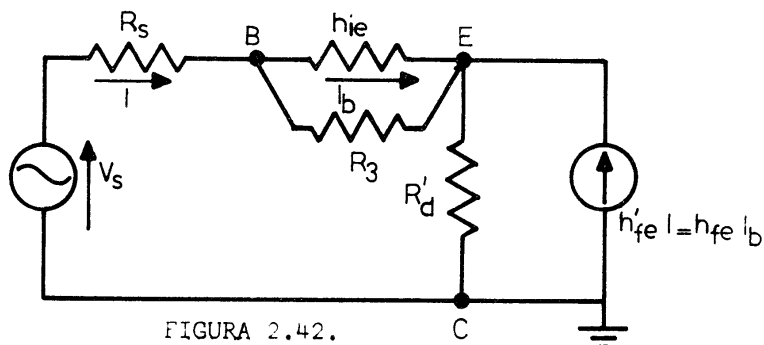
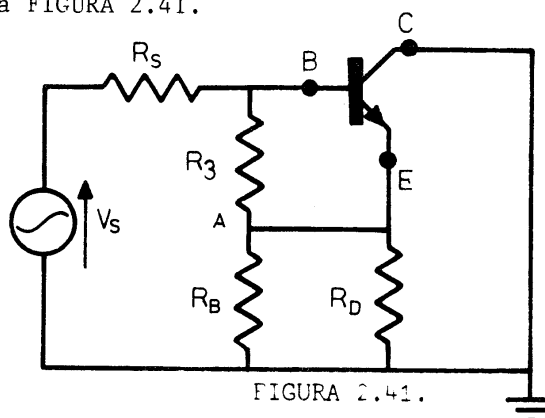
$$R_d = R_e \parallel R_L$$

$$R_B = R_1 \parallel R_2$$

Llamamos :

$$R'_d = R_B \parallel R_d \quad \{2.35.\}$$

Reemplazamos el transistor por su circuito equivalente :



El resultado se observa en la FIGURA 2.42.

$$I_b = I \frac{R_3}{R_3 + h_{ie}} \quad \text{por divisor de corriente}$$

$$\therefore h_{fe} \cdot I_b = h_{fe} \cdot I \frac{R_3}{R_3 + h_{ie}} \quad \{2.36.\}$$

Llamamos

$$h'_{fe} = h_{fe} \frac{R_3}{R_3 + h_{ie}} \quad \{2.37.\}$$

$$h'_{ie} = h_{ie} \parallel R_3 \quad \{2.38.\}$$

Reemplazando {2.37.} en {2.36.} se tiene :

$$h_{fe} \cdot I_b = h'_{fe} \cdot I \quad \{2.39.\}$$

Esta igualdad se traslada a la FIGURA 2.42.

Teniendo en cuenta las ecuaciones {2.38.} y {2.39.} se obtiene la FIGURA 2.43.

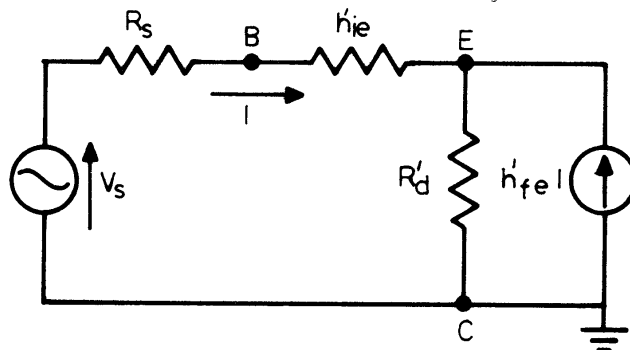


FIGURA 2.43.

Absorbiendo el generador (nivel de corriente I). Se obtiene :

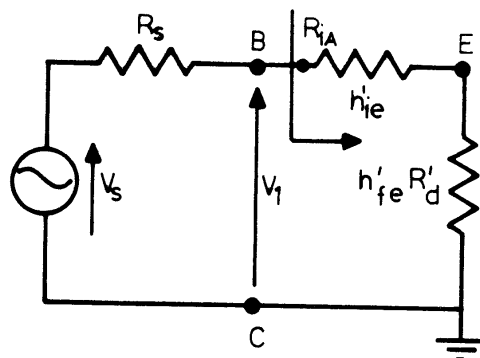


FIGURA 2.44.

$$R_{iA} = h'_{ie} + R'_d \cdot h'_{fe} \quad \{2.40.\}$$

$$R_{iA} = (h_{ie} \parallel R_3) + (R_B \parallel R_d) \frac{R_3}{h_{ie} + R_3} h_{fe} \quad \{2.41.\}$$

Recordar que para un CC era :

$$R_i = h_{ie} + R_d \cdot h_{fe}$$

$R_{iA}$  es menor que  $R_i$  ya que aparece  $R_3$  en paralelo con  $h_{ie}$  y fundamentalmente por

que en la ecuación {2.41.} influye el cociente  $\frac{R_3}{R_3 + h_{ie}}$  y el paralelo de  $R_B$  con  $R_d$ .

Para que  $R_{iA}$  sea parecida a  $R_i$  debe cumplirse con :

$$R_3 \gg h_{ie} \quad \text{y} \quad R_B \gg R_d \quad \{2.42.\}$$

con el objeto de que  $h'_{fe}$  se convierta en  $h_{fe}$  y  $R'_d$  en  $R_d$ .

De la FIGURA 2.44. surge que :

$$A_V = \frac{V_0}{V_1} = \frac{R'_d \cdot h'_{fe}}{h'_{ie} + R'_d \cdot h'_{fe}} \quad \{2.43.\}$$

$$A_{VS} = \frac{V_0}{V_S} = A_V \frac{R_{iA}}{R_{iA} + R_S} \quad \{2.44.\}$$

Por lo visto en las ecuaciones {2.42.} conviene que  $R_3$  y  $R_B$  sean grandes.

Por otra parte sabemos que para que Q sea estable respecto de la dispersión de  $h_{FE}$  debe cumplirse :

$$R_e = 10 \frac{R_3 + R_B}{h_{FE_m}} \quad \therefore \quad R_3 + R_B = h_{FE_m} \frac{R_e}{10} \quad \{2.45.\}$$

Conviene usar un transistor con  $h_{FE}$  grande para poder conseguir que  $R_3 + R_B$  sea grande, según se ve en la ecuación {2.45.}

#### Problema:

DATOS :

BC 549 C

$V_S = 750 \text{ mV}$

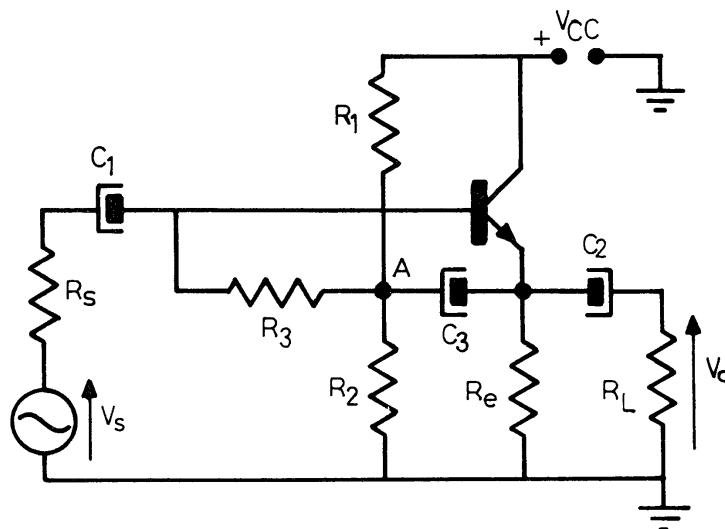
$R_S = 750 \text{ K}\Omega$

$R_e = 6,2 \text{ K}\Omega$

$V_{CC} = 12 \text{ V}$

$R_L = 5 \text{ K}\Omega$

Q  $\begin{cases} I_{CQ} = 1 \text{ mA} \\ V_{CEQ} = 5,8 \text{ V} \end{cases}$



De acuerdo con {2.45.} se tiene :

$$R_3 + R_B = h_{FE_m} \frac{R_e}{10} \quad \{2.45.\}$$

Cálculo de  $h_{FE_m}$  :

Para el punto Q del fabricante ( 2 mA , 5 V ) se tiene  $h_{FE_T} = 520$  y  $h_{FE_m} = 420$

Del gráfico de  $h_{FE} = f(I_C)$  surge que para  $I_{CQ} = 1$  mA el  $h_{FE_T} = 490$

Planteamos una regla de tres simple (solución aproximada):

$$\begin{array}{rcl} 520 & \text{-----} & 490 \\ 420 & \text{-----} & X \end{array} \quad \therefore \quad X = 395 = h_{FE_m}$$

Reemplazamos  $h_{FE_m}$  y  $R_e$  en la ecuación {2.45.}

$$R_3 + R_B = \frac{6,2 \cdot 10^3}{10} \cdot 395 = 240 \text{ K}\Omega$$

De acuerdo con las ecuaciones {2.42.} debe cumplirse que :

$$R_3 \gg h_{ie} \quad R_B \gg R_d$$

$$R_d = R_e \parallel R_L = 6,2 \text{ K}\Omega \parallel 5 \text{ K}\Omega = 2,77 \text{ K}\Omega$$

De la hoja de datos se obtiene  $h_{ie} = 15 \text{ K}\Omega$  y  $h_{fe} = 600$

Se hace, por ejemplo,  $R_3 = 10 \cdot h_{ie} = 150 \text{ K}\Omega$   $\therefore$

$$R_B = 240 \text{ K}\Omega - R_3 = 240 \text{ K}\Omega - 150 \text{ K}\Omega = 90 \text{ K}\Omega$$

$$h'_{ie} = h_{ie} \parallel R_3 = 15 \text{ K}\Omega \parallel 150 \text{ K}\Omega \approx 13,6 \text{ K}\Omega$$

$$R'_d = R_d \parallel R_B = 2,77 \text{ K}\Omega \parallel 90 \text{ K}\Omega = 2,69 \text{ K}\Omega$$

$$h'_{fe} = h_{fe} \frac{R_3}{R_3 + h_{ie}} = 600 \frac{150}{150 + 15} = 546$$

$$R'_d \cdot h'_{fe} = 546 \cdot 2,69 \text{ K}\Omega = 1,469 \text{ M}\Omega$$

$$R_{iA} = h'_{ie} + R'_d \cdot h'_{fe} = 13,6 \text{ K}\Omega + 1,469 \text{ M}\Omega \approx 1,48 \text{ M}\Omega$$

$$R_{iS} = R_S + R_{iA} = 1,48 \text{ M}\Omega + 0,75 \text{ M}\Omega = 2,23 \text{ M}\Omega$$

$$A_V = \frac{V_0}{V_1} = \frac{R'_d \cdot h'_{fe}}{h'_{ie} + R'_d \cdot h'_{fe}} = 0,993 \approx 1$$

$$A_{VS} = A_V \frac{R_{iA}}{R_{iA} + R_S} = 1 \frac{1,48}{1,48 + 0,75} = \frac{1,48}{2,23} = 0,66$$



$$R_i = h_{ie} + R_d \cdot h_{fe} = 15 \cdot 10^3 + 2,77 \cdot 10^3 \cdot 600 = 1,67 \text{ M}\Omega$$

$R_{iA}$  disminuye poco respecto de  $R_i$  y es lo que se buscaba.

## 2.10. CIRCUITO CON $R_e$ SIN PUENTEAR :

Sea la FIGURA 2.45.

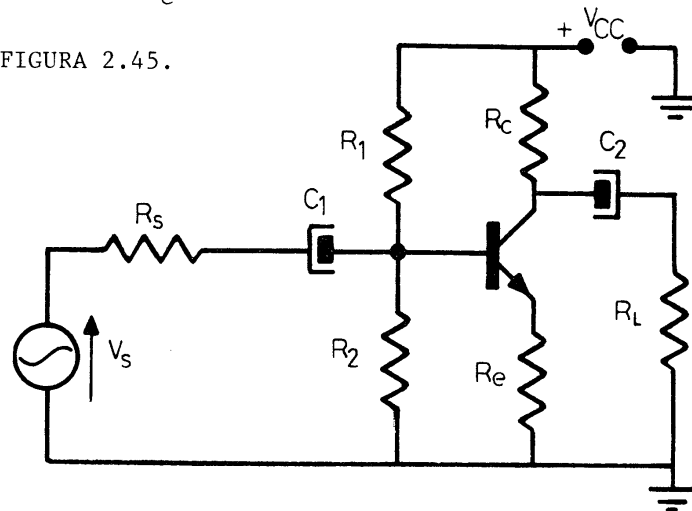


FIGURA 2.45.

Circuito de continúa: Se halla haciendo  $X = \infty$  y  $V_S = 0$

Se obtiene un circuito ya analizado que nos permite hallar el punto Q.

Circuito dinámico: Se halla haciendo  $X = 0$  y  $V_{CC} = 0$

Se obtiene la FIGURA 2.46.

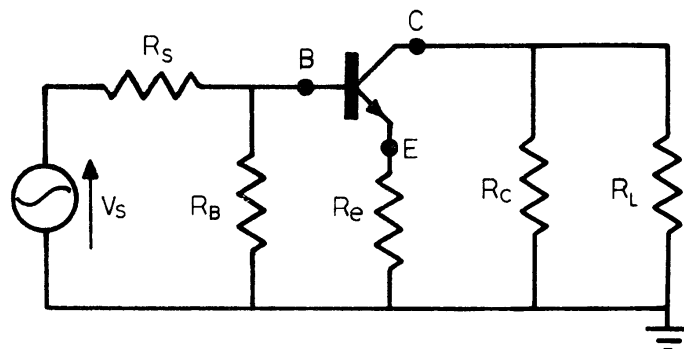


FIGURA 2.46.

Reemplazando el transistor por su circuito incremental:

Se obtiene la FIGURA 2.47.

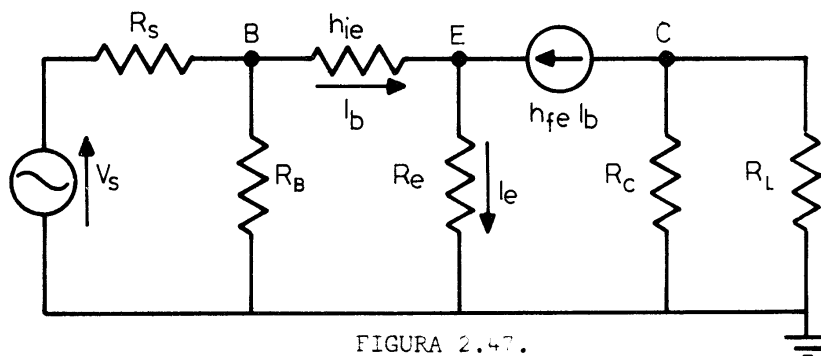


FIGURA 2.47.

A continuación subdividimos el generador controlado en dos generadores, como se observa en la FIGURA 2.48.

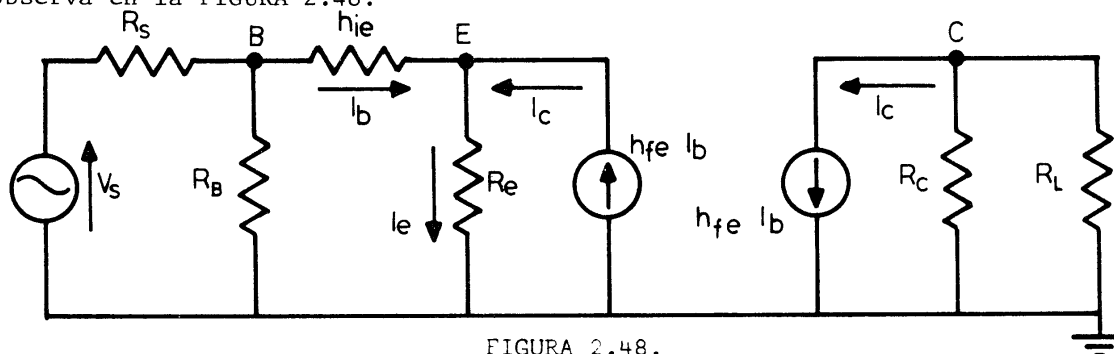


FIGURA 2.48.

El artificio mostrado en la FIGURA 2.48. es correcto ya que no se ha modificado= Ver FIGURA 2.47. las corrientes de los nodos E, C y masa.

Se ha aislado así el circuito original en dos partes: una de entrada y la otra de salida.

La primera se identifica con un CC y la segunda se asemeja a la malla de salida de un EC.

De esta forma se obtendrá una  $R_i$  de entrada mayor que la de un EC y se obtendrá ganancia de tensión ( $A_{V_S}$ ) que no se obtenía en CC.

Ahora, se absorbe el primer generador controlado.

Se ve en la FIGURA 2.49.

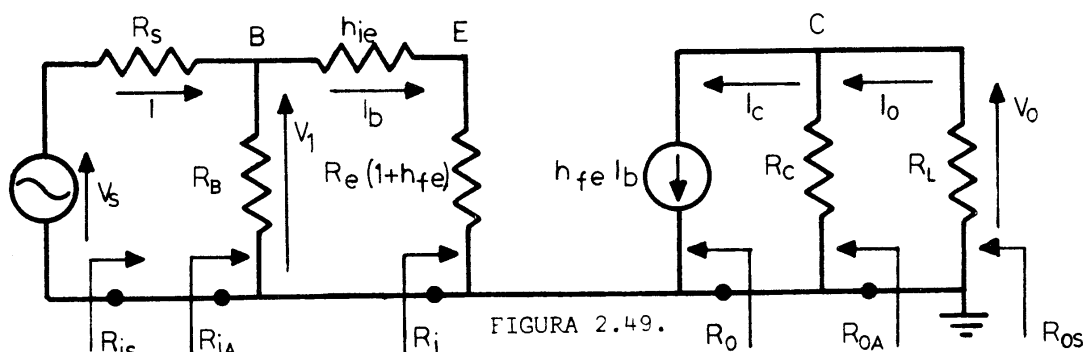


FIGURA 2.49.

$$R_i = h_{ie} + R_e (1 + h_{fe}) \quad \{2.46.\}$$

$$R_{iA} = R_B \parallel R_i \quad R_{iS} = R_{iA} + R_S$$

$$R_o = \infty \quad R_{oA} = R_C$$

$$R_{oS} = R_C \parallel R_L = R_d$$

Como se ve en la ecuación {2.46.} se obtiene un  $R_i$  mayor que el  $R_i$  de EC ( $h_{ie}$ ).

Veamos la ganancia de tensión del transistor.

$$A_V = \frac{V_o}{V_1}$$

$$V_o = - h_{fe} \cdot I_b \cdot R_d$$

$$V_1 = I_b \cdot R_i$$

$$A_V = \frac{V_0}{V_1} = - h_{fe} \frac{R_d}{R_i} \quad \{2.47.\}$$

Como  $h_{fe} = g_m \cdot r_{be}$  se obtiene :

$$A_V = - g_m \cdot R_d \frac{r_{be}}{R_i}$$

$$A_V \approx - g_m \cdot R_d \frac{h_{ie}}{R_i} \quad \{2.48.\}$$

La ganancia  $A_V$  en este caso es menor que para EC. Recordemos que para EC era:

$$- g_m \cdot R_d$$

Si queremos que exista una ganancia  $A_V$  no puede ser  $R_i \gg h_{ie}$ , según se ve en la ecuación {2.48.}

Y de acuerdo con la ecuación {2.46.} no puede tener  $R_e$  un valor excesivamente alto.

Ganancia de tensión del sistema :

$$A_{VS} = \frac{V_0}{V_S} = \frac{V_0}{V_1} \cdot \frac{V_1}{V_S} = A_V \frac{R_{iA}}{R_{iA} + R_S} \quad \{2.49.\}$$

Ganancia de corriente del transistor :

$$A_I = \frac{I_0}{I_b}$$

$$I_0 = I_c \frac{R_C}{R_C + R_L} = h_{fe} \cdot I_b \frac{R_C}{R_C + R_L}$$

$$A_I = h_{fe} \frac{R_C}{R_C + R_L} \quad \{2.50\}$$

Esta ganancia concuerda con la de EC.

Ganancia de corriente del sistema :

$$A_{IS} = \frac{I_0}{I} = \frac{I_0}{I_b} \cdot \frac{I_b}{I} = A_I \frac{R_B}{R_B + R_i} \quad \{2.51.\}$$

La ganancia de corriente del sistema es menor que en EC ya que  $R_i > h_{ie}$ .

Ganancia de potencia :

$$A_P = \left| A_V \cdot A_I \right|$$

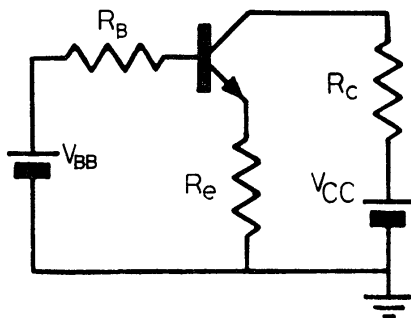
$$A_{PS} = \left| A_{VS} \cdot A_{IS} \right|$$

Problema :

El circuito es el de la FIGURA 2.45.

DATOS :	$R_e = 1 \text{ k}\Omega$	BC 548 B
	$R_C = 10 \text{ k}\Omega$	$V_{CC} = 15 \text{ V}$
	$R_L = 50 \text{ k}\Omega$	Q con $I_{CQ} = 1 \text{ mA}$
	$R_S = 15 \text{ k}\Omega$	

Para la polarización actuamos sobre el circuito de abajo :



De

$$R_e = 10 \frac{R_B}{h_{FE_m}} \quad \text{obtenemos :} \quad R_B = \frac{R_e \cdot h_{FE_m}}{10}$$

En la hoja de datos  $h_{FE_m} = 200$ 

$$R_B = \frac{1 \text{ k}\Omega \cdot 200}{10} = 20 \text{ k}\Omega$$

De la malla I se obtiene:

$$V_{BB} = \frac{I_{CQ}}{h_{FE_T}} \cdot R_B + V_{BE} + I_{CQ} \cdot R_e$$

$$V_{BB} = \frac{1 \cdot 10^{-3} \cdot 20 \cdot 10^3}{270} + 0,7 + 1 = 1,774 \text{ V}$$

$$R_1 = \frac{V_{CC}}{V_{BB}} \quad R_B = \frac{15}{1,774} 20 \text{ k}\Omega = 169 \text{ k}\Omega$$

$$R_2 = \frac{R_1 \cdot R_B}{R_1 - R_B} = \frac{169 \text{ k}\Omega \cdot 20 \text{ k}\Omega}{(169 - 20) \text{ k}\Omega} = 22,68 \text{ k}\Omega$$

Adoptamos como valores normalizados :

$$R_1 = 180 \text{ k}\Omega \quad \text{y} \quad R_2 = 22 \text{ k}\Omega$$

Verificación :

$$V_{BB} = V_{CC} \frac{R_2}{R_1 + R_2} = 15 \frac{22 \text{ k}\Omega}{202 \text{ k}\Omega} = 1,63 \text{ V}$$

$$R_B = R_1 \parallel R_2 = 180 \text{ k}\Omega \parallel 22 \text{ k}\Omega = 19,6 \text{ k}\Omega$$

$$I_{CQ} = \frac{V_{BB} - V_{BE}}{R_e + \frac{R_B}{h_{FE_T}}} = \frac{1,63 - 0,7}{1000 + \frac{19600}{270}} = 0,86 \text{ mA}$$

$$V_{CEQ} = V_{CC} - I_{CQ} (R_e + R_C) = 15 - 0,86 \cdot 11 = 5,54 \text{ V}$$

Podemos quedarnos con este punto Q.

$$R_i = h_{ie} + h_{fe} \cdot R_e$$

De la hoja de datos :

$$h_{fe} = 330 \quad \text{y} \quad h_{ie} = 7 \text{ K}\Omega$$

$$R_i = 7 \text{ K}\Omega + 330 \cdot 1 \text{ K}\Omega = 337 \text{ K}\Omega$$

$$R_{iA} = R_B \parallel R_i = 19,6 \text{ K}\Omega \parallel 337 \text{ K}\Omega = 18,5 \text{ K}\Omega$$

$$A_V = - h_{fe} \frac{R_d}{R_i}$$

Donde :

$$R_d = R_C \parallel R_L = 10 \text{ K}\Omega \parallel 50 \text{ K}\Omega = 8,33 \text{ K}\Omega$$

$$A_V = - \frac{330 \cdot 8,33}{337} \approx - 8$$

$$A_{VS} = A_V \frac{R_{iA}}{R_{iA} + R_S} = - 8 \frac{18,5 \text{ K}\Omega}{(18,5 + 15) \text{ K}\Omega} \approx - 4,42$$

$$A_I = h_{fe} \frac{R_C}{R_C + R_L} = 330 \frac{10}{10 + 50} = 55$$

$$A_{IS} = A_I \frac{R_B}{R_B + R_i} = 55 \frac{19,6}{19,6 + 337} = 3$$

$$A_{PS} = \left| A_{IS} \cdot A_{VS} \right| = 3 \cdot 4,42 = 13,32$$

#### 2.10.1. INVERSOR DE FASE :

Sea el circuito de la FIGURA 2.50. cuyo circuito de polarización ya ha sido analizado.

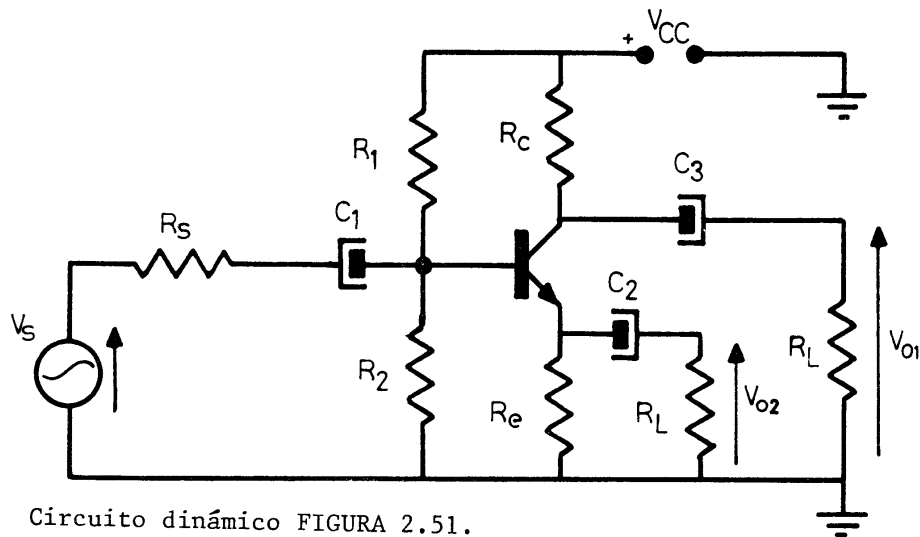


FIGURA 2.50.

Circuito dinámico FIGURA 2.51.

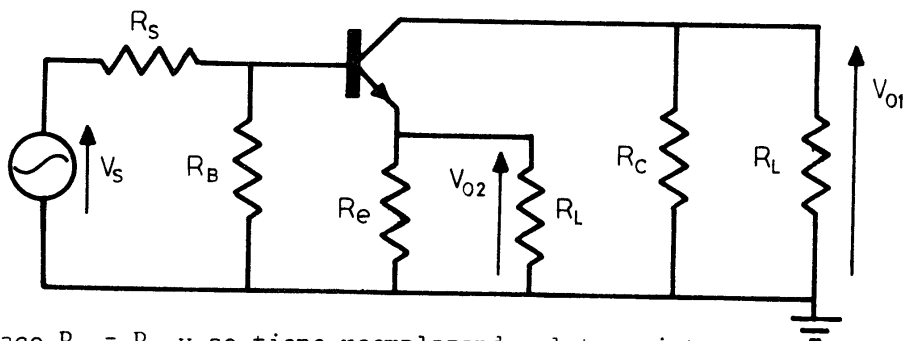


FIGURA 2.51.

Se hace  $R_e = R_c$  y se tiene reemplazando el transistor:

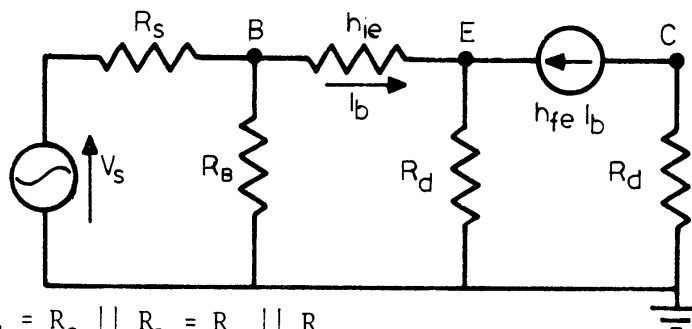


FIGURA 2.52. (a)

Donde  $R_d = R_c || R_L = R_e || R_L$

Ahora desdoblamos el generador. FIGURA 2.52.(b).

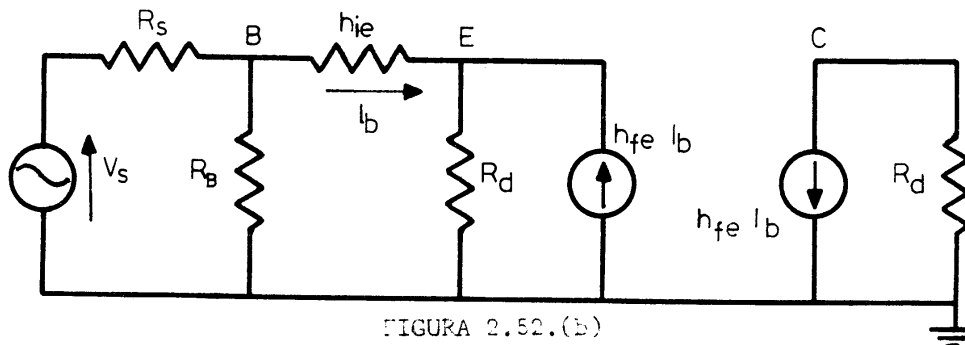
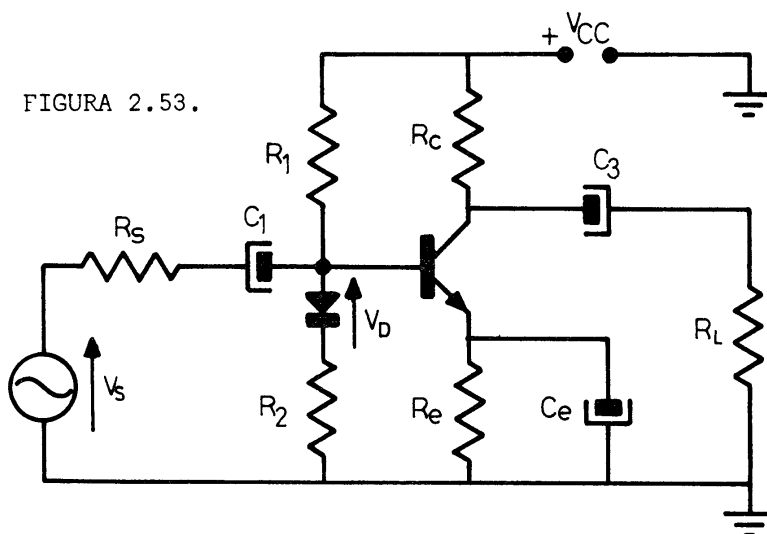


FIGURA 2.52.(b)



FIGURA 2.53.



Aplicando THEVENIN como en la FIGURA 2.54. se tiene :

$$I = \frac{V_{CC} - V_D}{R_1 + R_2} \quad \text{para } I_B = 0$$

$$V_{BB} = V_D + I \cdot R_2$$

$$V_{BB} = V_D + \frac{V_{CC} - V_D}{R_1 + R_2} R_2$$

$$V_{BB} = V_D + \frac{V_{CC} \cdot R_2}{R_1 + R_2} - \frac{V_D \cdot R_2}{R_1 + R_2} \quad \{2.54.\}$$

$$V_{BB} = \frac{V_{CC} \cdot R_2}{R_1 + R_2} + V_D \left( 1 - \frac{R_2}{R_1 + R_2} \right)$$

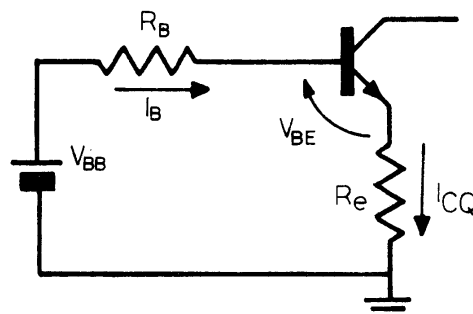
$$V_{BB} = \frac{V_{CC} \cdot R_2}{R_1 + R_2} + \frac{V_D \cdot R_1}{R_1 + R_2} \quad \{2.55.\}$$

$$R_B = R_1 \parallel (R_2 + R_D) \quad \{2.56.\}$$

Siendo  $R_D$  la resistencia estática del diodo.

De acuerdo con la FIGURA 2.55. se tiene :

$$I_{CQ} = \frac{V_{BB} - V_{BE}}{R_e + \frac{R_B}{h_{FE_T}}} = \frac{V_{BB} - V_{BE}}{D}$$

FIGURA  
2.55.



Reemplazando  $V_{BB}$  por la {2.55.} obtenemos :

$$I_{CQ} = \frac{\frac{V_{CC} \cdot R_2}{R_1 + R_2} + \frac{V_D \cdot R_1}{R_1 + R_2} - V_{BE}}{D} \quad \{2.57.\}$$

$$\frac{\Delta I_{CQ}}{\Delta T} = \frac{1}{D} \left( \frac{\Delta V_D}{\Delta T} \cdot \frac{R_1}{R_1 + R_2} - \frac{\Delta V_{BE}}{\Delta T} \right)$$

Suponiendo :

$$\frac{\Delta V_D}{\Delta T} \approx \frac{\Delta V_{BE}}{\Delta T} \quad \text{se tiene :}$$

$$\frac{\Delta I_{CQ}}{\Delta T} = \frac{1}{D} \left( \frac{\Delta V_{BE}}{\Delta T} \cdot \frac{R_1}{R_1 + R_2} - \frac{\Delta V_{BE}}{\Delta T} \right)$$

$$\frac{\Delta I_{CQ}}{\Delta T} = \frac{1}{D} \cdot \frac{-\Delta V_{BE}}{\Delta T} \cdot \left( 1 - \frac{R_2}{R_1 + R_2} \right)$$

$$\Delta I_{CQ} = - \frac{\Delta V_{BE}}{D} \cdot \frac{R_2}{R_1 + R_2}$$

$$S_V = \frac{\Delta I_{CQ}}{\Delta V_{BE}} = - \frac{1}{D} \cdot \frac{R_2}{R_1 + R_2} \quad \{2.58.\}$$

Sin el uso del diodo se tenía un factor de estabilización

$$S_V = - \frac{1}{D}$$

Con el uso del diodo disminuimos  $S_V$  debido al cociente

$$\frac{R_2}{R_1 + R_2}$$

Es evidente que conviene hacer  $R_1 \gg R_2$

Problema :

1°) Para el siguiente circuito calcular  $I_{CQ}$  a  $25^\circ \text{C}$ .

2°) Determinar  $\Delta I_{CQ}$  para una  $T_a = 95^\circ \text{C}$ .

3°) Calcular  $R_C$ .

4°) Verificar que no se tengan recortes.

DATOS :

BC 548 B

$R_1 = 10 \text{ k}\Omega$

$R_2 = 1 \text{ k}\Omega$

$R_e = 1 \text{ k}\Omega$

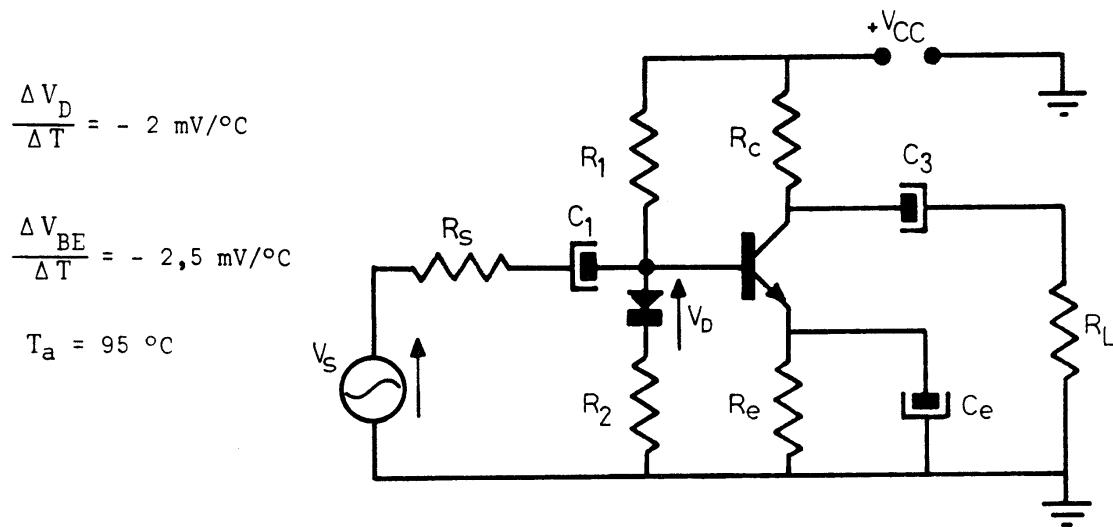
$R_L = 10 \text{ k}\Omega$

$R_S = 3 \text{ k}\Omega$

$V_{CC} = 12 \text{ V}$

$V_O = 3 \text{ V}$

$V_S = 100 \text{ mV}$



1°) Q a  $25^\circ\text{C}$  :

$$I = \frac{V_{CC} - V_D}{R_1 + R_2} = \frac{12 - 0,7}{11} \cdot 10^{-3} = 1,027 \text{ mA} \approx 1 \text{ mA}$$

Corriente suficiente como para mantener al diodo conduciendo adecuadamente :  
(  $V_D = 0,7 \text{ V}$  ).

La resistencia estática del diodo es :

$$R_D = \frac{V_D}{I} = \frac{0,7 \text{ V}}{1 \text{ mA}} = 700 \Omega$$

$$R_B = R_1 \parallel (R_2 + R_D) = 10 \text{ K}\Omega \parallel 1,7 \text{ K}\Omega = 1,45 \text{ K}\Omega$$

$$V_{BB} = V_D + I \cdot R_2 = 0,7 + 1,027 = 1,727 \text{ V}$$

$$I_{CQ} = \frac{V_{BB} - V_{BE}}{R_e + \frac{R_B}{h_{FE_T}}} = \frac{1,727 - 0,7}{1000 + \frac{1450}{270}} = \frac{1,727 - 0,7}{1005,37} = 1,0215 \text{ mA a } 25^\circ\text{C}$$

2°) Suponemos que  $h_{FE}$  se duplica con el  $\Delta T = 70^\circ\text{C}$

$$h_{FE} \Big|_{95^\circ\text{C}} = 540$$

$$D = R_e + \frac{R_B}{h_{FE} \Big|_{95^\circ\text{C}}} = 1000 + \frac{1450}{540} = 1002,685 \Omega$$

$$I_{CQ} = \frac{V_{BB} - V_{BE}}{D} = \frac{V_D + I \cdot R_2 - V_{BE2}}{D} = \frac{V_D + \frac{V_{CC} - V_D}{R_1 + R_2} \cdot R_2 - V_{BE}}{D}$$

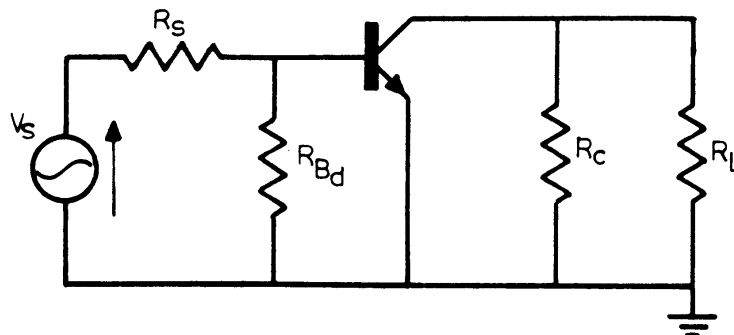
$$\frac{\Delta I_{CQ}}{\Delta T} = \frac{1}{D} \left( \frac{\Delta V_D}{\Delta T} - \frac{R_2}{R_1 + R_2} \cdot \frac{\Delta V_D}{\Delta T} - \frac{\Delta V_{BE}}{\Delta T} \right)$$

$$\frac{\Delta I_{CQ}}{\Delta T} = \frac{1}{1002,685} \left( -2 \frac{\text{mV}}{^{\circ}\text{C}} + \frac{1}{11} \cdot 2 \frac{\text{mV}}{^{\circ}\text{C}} + 2,5 \frac{\text{mV}}{^{\circ}\text{C}} \right)$$

$$\frac{\Delta I_{CQ}}{\Delta T} = \frac{1}{1002,685} \left( 0,5 \frac{\text{mV}}{^{\circ}\text{C}} + 0,18 \frac{\text{mV}}{^{\circ}\text{C}} \right) = \frac{0,68 \frac{\text{mV}}{^{\circ}\text{C}}}{1002,685}$$

$$I_{CQ} = \frac{0,68 \frac{\text{mV}}{^{\circ}\text{C}}}{1002,685} \cdot \Delta T = \frac{0,68 \frac{\text{mV}}{^{\circ}\text{C}}}{1002,685} \cdot 70 ^{\circ}\text{C} \approx 47,5 \mu\text{A}$$

veamos el circuito dinámico :



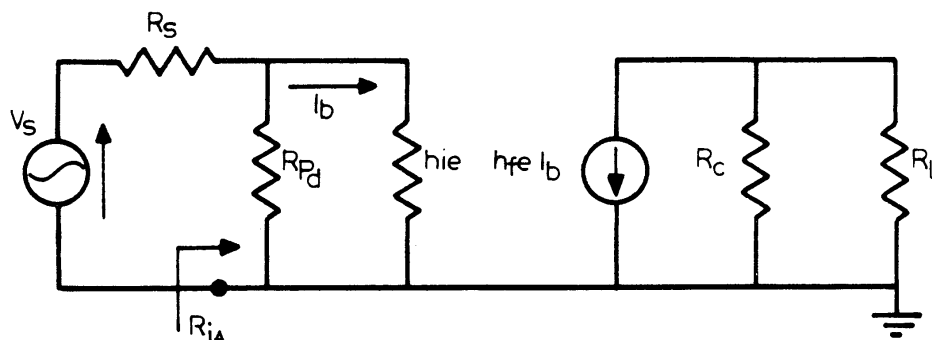
Como la  $r_d$  del diodo es pequeña se puede poner :

$$R_{Bd} = R_1 || R_2 = 1 \text{ K}\Omega || 10 \text{ K}\Omega \approx 910 \Omega$$

De los datos :

$$A_{VS} = \frac{V_O}{V_S} = \frac{3 \text{ V}}{0,1 \text{ V}} = 30$$

$h_{ie}$  (hoja de datos) =  $7500 \Omega$



$$R_{iA} = R_{Bd} \parallel h_{ie} = 910 \, \Omega \parallel 7500 \, \Omega = 811 \, \Omega$$

$$A_{VS} = A_V \frac{R_{iA}}{R_{iA} + R_S}$$

$$A_V = A_{VS} \frac{R_{iA} + R_S}{R_{iA}} = 30 \frac{811 + 3000}{811} = 141$$

$$\left| A_V \right| = \left| \frac{V_0}{V_1} \right| = \frac{h_{fe} \cdot I_B \cdot R_d}{I_B \cdot h_{ie}} \quad \therefore R_d = \left| A_V \right| \frac{h_{ie}}{h_{fe}}$$

$$R_d = 141 \frac{7500}{330} = 3204 \, \Omega$$

$$R_C = \frac{R_d \cdot R_L}{R_L - R_d} = \frac{3204 \cdot 10000}{10000 - 3204} = \frac{32040 \cdot 10^3}{6796} = 4,7 \, \text{k}\Omega$$

Es el mínimo valor de  $R_C$  que asegura la ganancia  $A_{VS} = 30$

Podríamos elegir una resistencia normalizada mayor; por ejemplo  $5,2 \, \text{k}\Omega$  ó  $5,6 \, \text{k}\Omega$

Cuanto mayor sea  $R_C$  tanto más está asegurado el valor de  $A_{VS}$ . Pero si aumenta mucho  $R_C$  disminuye  $V_{CEQ}$ .

$$V_{CEQ} = V_{SAT} + V_0 = 1 + 3 = 4 \, \text{V} \quad (\text{Este es el valor mínimo de } V_{CEQ} \text{ necesario})$$

Vemos que :

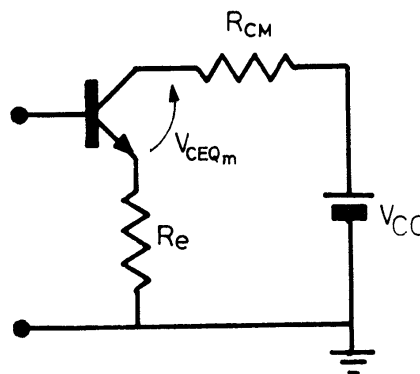
$$I_{CM} = \frac{V_0}{R_{dm}} = \frac{3}{3204} = 0,93 \, \text{mA}$$

$$V_{CC} = I_{CQ} (R_e + R_{CM}) + V_{CEQm}$$

$$I_{CQ} (R_e + R_{CM}) = V_{CC} - V_{CEQm}$$

$$R_e + R_{CM} = \frac{V_{CC} - V_{CEQm}}{I_{CQ}}$$

$$R_{CM} = \frac{V_{CC} - V_{CEQm}}{I_{CQ}} - R_e = \frac{12 - 4}{1 \cdot 10^{-3}} - 10^3 = 7 \, \text{k}\Omega$$



Podemos tomar un valor intermedio de  $R_C$  entre  $4,7 \, \text{k}\Omega$  y  $7 \, \text{k}\Omega$ . Por ejemplo elegir  $R_C = 5600 \, \Omega$

Recalculamos :

$$R_d = R_C \parallel R_L = 5,6 \, \text{k}\Omega \parallel 10 \, \text{k}\Omega = 3,59 \, \text{k}\Omega$$

$$|A_V| = h_{fe} \frac{R_d}{h_{ie}} = 330 \frac{3,59 \text{ K}\Omega}{7,5 \text{ K}\Omega} = 158$$

$$A_{VS} = A_V \frac{R_{iA}}{R_{iA} + R_S} = 158 \frac{811}{811 + 3000} = 33,6 > 30$$

$$I_c = \frac{V_O}{R_d} = \frac{3}{3,59 \text{ K}\Omega} = 0,83 \text{ mA} < I_{CQ}$$

$$V_{CEQ} = V_{CC} - I_{CQ} (R_e + R_C) = 12 - 10^{-3} (1000 + 5600)$$

$$V_{CEQ} = 12 - 6,6 = 5,4 \text{ V} > 4 \text{ V}$$

## CAPITULO 3

## TRANSISTOR DE EFECTO DE CAMPO

F. E. T.

3.1. Denominamos así a la siguiente familia de dispositivos unipolares :

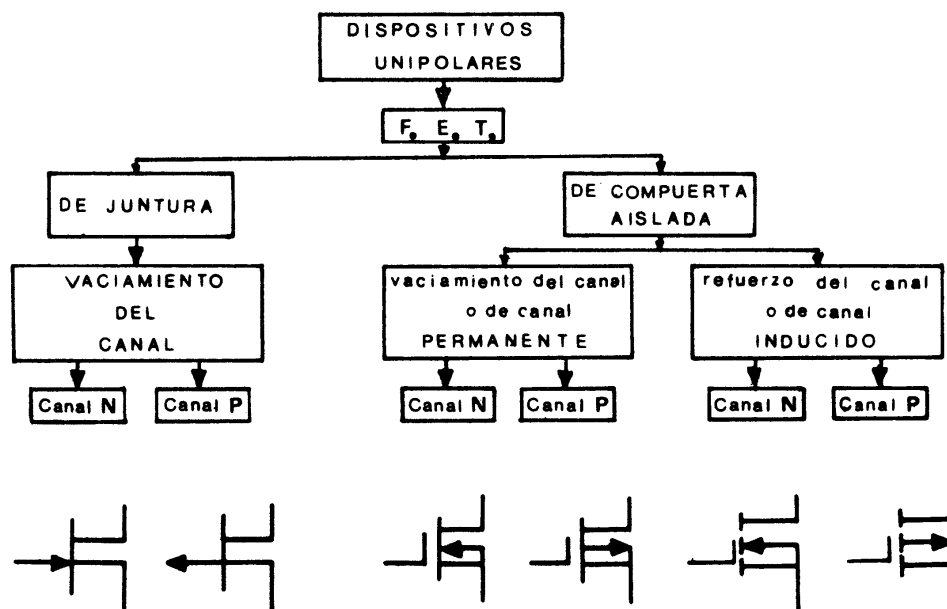


FIGURA 3.1.

Básicamente posee dos divisiones tecnológicas, los de juntura y de compuerta aislada.

En los transistores unipolares de juntura la flecha indica el material de compuerta.

Si la flecha entra en la compuerta el material de la misma es P (el canal es N).

Si la flecha sale de la compuerta el material de la misma es N (el canal es P).

En los transistores unipolares de compuerta aislada la flecha indica el material del sustrato.

Si la flecha es entrante el material del sustrato es P (el canal es N). Si la flecha es saliente el material es N (el canal es P).

Tomaremos como ejemplo en el análisis, por razones de simplicidad, los transistores de canal N, sabiendo que todas las tensiones y corrientes en los de canal P son opuestas.

### 3.1.1. CARACTERÍSTICAS DE TRANSFERENCIA Y SALIDA :

Las características de transferencia y salida son respectivamente las siguientes :

a) Transistor de juntura (J-FET) - Canal N.

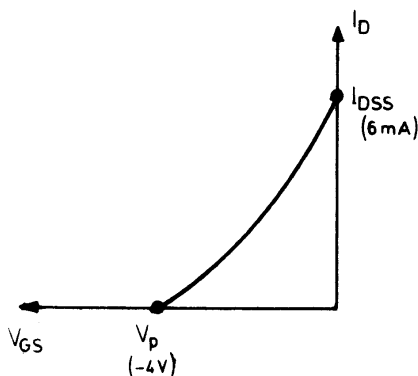


FIGURA 3.2.(a)

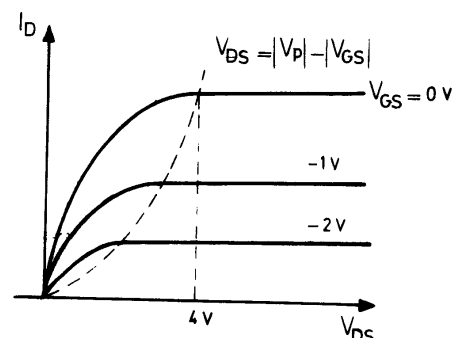


FIGURA 3.2.(b)

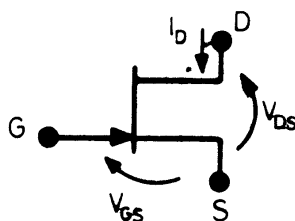


FIGURA 3.2.

b) Transistor de compuerta aislada de canal permanente (MOSFET) - Canal N.

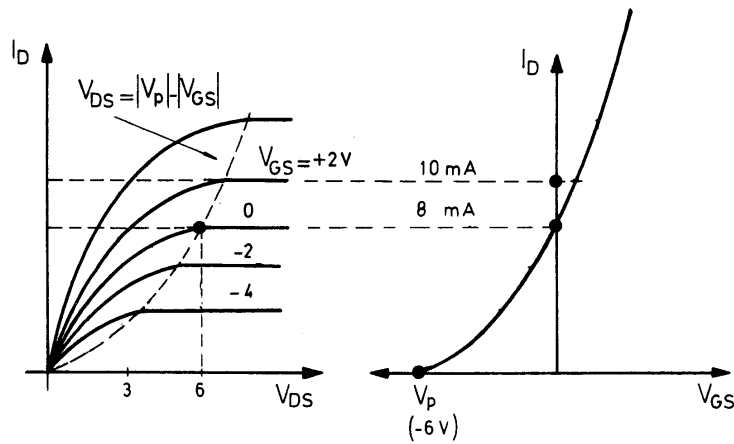


FIGURA 3.3.(b)

FIGURA 3.3.(a)

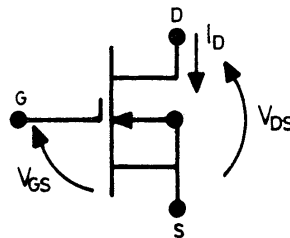


FIGURA 3.3.

En ambos dispositivos de la característica de transferencia surge que :

$$I_D = I_{DSS} \left( 1 - \frac{V_{GS}}{V_P} \right)^2 \quad \{3.1.\}$$

Válida para :

$$V_{DS} \geq \left| V_P \right| - \left| V_{GS} \right| \quad \{3.2.\}$$

c) Transistor de compuerta aislada de canal inducido (MOSFET) - Canal N.



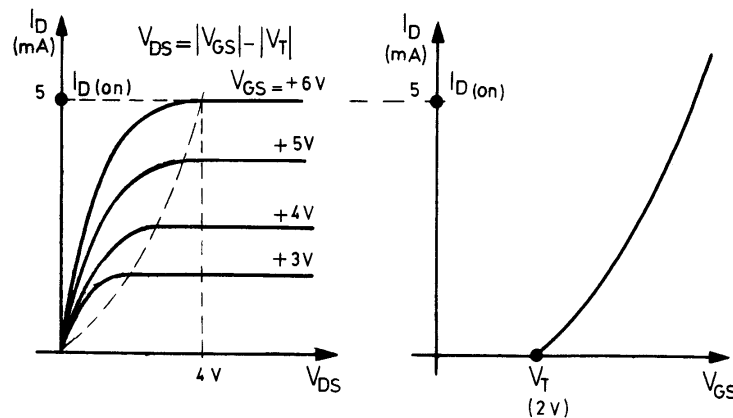


FIGURA 3.4.(a)

FIGURA 3.4.(b)

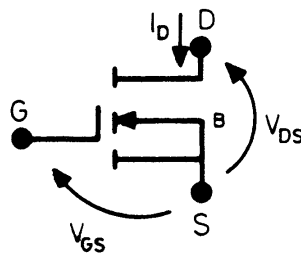


FIGURA 3.4.

Se obtiene la siguiente expresión :

$$I_D = K \cdot (V_{GS} - V_T)^2 \quad \{3.3.\}$$

válida para :

$$V_{DS} \geq |V_{GS}| - |V_T| \quad \{3.4.\}$$

En el J-FET, la máxima corriente estática de drenaje es  $I_{DSS}$ , puesto que para superar este valor  $V_{GS}$  debe ser positivo, comenzando así a conducir la juntura compuerta-fuente.

Si ello ocurre se deteriora permanentemente el transistor.

Al no existir una juntura propiamente dicha entre estos terminales en el transistor de canal permanente,  $V_{GS}$  puede ser positiva, estando su valor limitado por la rigidez dieléctrica de la capa aislante del óxido de silicio entre la compuerta y el canal.

Para ambos la tensión de bloqueo  $V_P$  es la que anula la corriente de drenaje  $I_D$ . En el transistor de canal inducido la mínima tensión compuerta-fuente que produce la formación del canal, permitiendo una corriente apreciable es la tensión de umbral  $V_T$ .

En todos los gráficos anteriores, las tensiones y corrientes numericamente indicadas representan valores típicos para transistores de baja señal. Ejemplo de éstos son el 2A 267 (J-FET) y el 3N128 (MOSFET).

La limitación para obtener un dispositivo unipolar que operara en regímenes de potencia se debe a la baja densidad de corriente en el canal construido con tecnología horizontal. Para lograr alta densidad de corriente, la pastilla semiconductor es de dimensiones excesivas; su costo comparativo con los bipolares equivalentes es alto.

En 1975 se desarrolló un MOSFET con tecnología vertical (V-MOS) de canal inducido con capacidad de manejo de grandes corrientes (10 A) y tensiones (80 V).

### 3.1.2. COMPARACION DE TRANSISTOR UNIPOLAR CON EL BIPOLAR :

Comparando el transistor unipolar con el bipolar se observa lo siguiente:

Transconductancia ( $g_m$ )

En el capítulo II se vio que para los transistores bipolares :

$$g_m = 40 \left( \frac{1}{V} \right) \cdot I_{CQ}$$

Se demostrará luego que para un J-FET ó MOSFET de canal permanente es :

$$g_m = - \frac{2 I_{DSS}}{V_P} \left( 1 - \frac{V_{GS}}{V_P} \right)$$

Extrayendo los parámetros de la FIGURA 3.3.:

Con  $I_{DQ} = 8 \text{ mA}$  , resulta :

$$g_m = - 2 \frac{8 \text{ mA}}{(-6V)} \left( 1 - \frac{0}{(-6V)} \right) = 2,66 \text{ mU}$$

Para el bipolar con igual corriente de reposo (8 mA) es :

$$g_m = 40 \left( \frac{1}{V} \right) \cdot 8 \text{ mA} = 320 \text{ mU}$$

La transconductancia en un FET es muy inferior a la de un transistor bipolar, con igual corriente de reposo.

La resistencia dinámica de compuerta respecto de fuente en el J-FET es numéricamente equivalente a la de una juntura P-N polarizada en inversa ( $10^8 \Omega$ ).

En el MOSFET dicha resistencia representa el equivalente de la capa de dióxido de silicio entre compuerta y el canal ( $10^{10} \Omega$ ), mucho mayor que la del J-FET.

Debido a la elevada resistencia dinámica de entrada del FET en la configuración de fuente común analizamos a éste como un dispositivo controlado por tensión.

Se define en el FET una pequeña corriente inversa de fuga  $I_{GSS}$  entre compuerta y fuente, según el siguiente esquema :

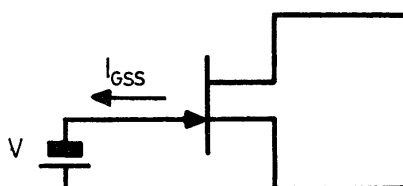


FIGURA 3.5.

$I_{GSS}$  tiene en el J-FET el mismo carácter que  $I_{CBO}$  en un transistor bipolar.  
 En el J-FET,  $I_{GSS}$  típicamente vale de 1 a 10 nA (25 °C).  
 En el MOSFET, vale de 10 pA a 1 nA (25 °C).  
 Para el V-MOS,  $I_{GSS} = 100$  nA (MAX) para  $T_a = 125$  °C.  
 En el transistor unipolar se tiene :

$$\frac{\Delta I_D}{\Delta T} \text{ negativo, frente al } \frac{\Delta I_C}{\Delta T} \text{ positivo del bipolar.}$$

Con lo cual al trabajar con elevados niveles de potencia presenta la ventaja de no embalsarse térmicamente.

O sea que al aumentar la temperatura de juntura, la corriente de drenaje tiende a valores menores.

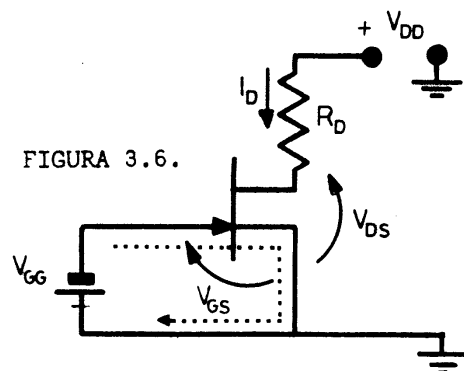
Sabemos que todos los transistores unipolares poseen solo un tipo de portadores controlados por un campo eléctrico, por lo cual no existe la recombinación de portadores minoritarios en la zona activa como en los bipolares.

Por esta razón los FET son dispositivos muy rápidos.

En un V-MOS para conmutar de 0 a 1 A, se obtienen tiempos del orden de los 4 nseg. Es aproximadamente de 10 a 200 veces más rápido que el bipolar en igual condición de trabajo.

### 3.1.3. DETERMINACION DEL PUNTO DE TRABAJO ESTATICO :

Los parámetros estáticos del transistor de la FIGURA 3.6. son :



$$I_{DSS} = 10 \text{ mA}$$

$$V_P = -4 \text{ V}$$

Del circuito :

$$V_{DD} = +12 \text{ V}$$

$$R_D = 2 \text{ K}\Omega$$

$$V_{GG} = 2 \text{ V}$$

Recorriendo la malla de compuerta en el sentido indicado obtenemos:

$$V_{GS} + V_{GG} = 0, \text{ donde } V_{GS} = -V_{GG} = -2 \text{ V}$$

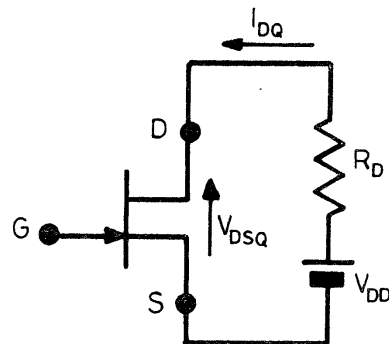
De la ecuación {3.1.} :

$$I_{DQ} = I_{DSS} \left( 1 - \frac{V_{GS}}{V_P} \right)^2 = 10 \text{ mA} \left( 1 - \frac{-2}{-4} \right)^2$$

Obtenemos :

$$I_{DQ} = 2,5 \text{ mA}$$

Recorriendo la malla de drenaje :



$$V_{DD} = V_{DSQ} + I_{DQ} \cdot R_D, \quad \text{donde :}$$

$$V_{DSQ} = V_{DD} - I_{DQ} \cdot R_D = 12 \text{ V} - 2,5 \text{ mA} \cdot 2 \text{ K} = 7 \text{ V}$$

Verificamos la condición de canal saturado (operación dentro de la característica de salida plana); aplicando la ecuación {3.2.}

$$V_{DS} \geq |V_P| - |V_{GS}| ; \quad 7 \text{ V} > 4 \text{ V} - 2 \text{ V}$$

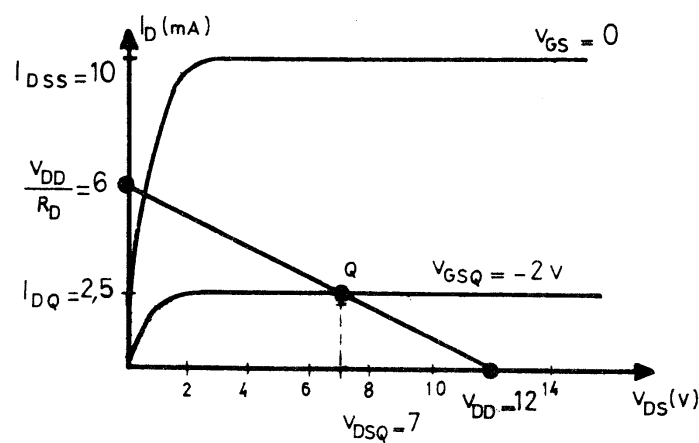
$$7 \text{ V} > 2 \text{ V} \quad (\text{correcto})$$

De la malla de salida tenemos :

$$I_D = \frac{V_{DD} - V_{DS}}{R_D} \quad \text{para el trazado de RCE se parte de :}$$

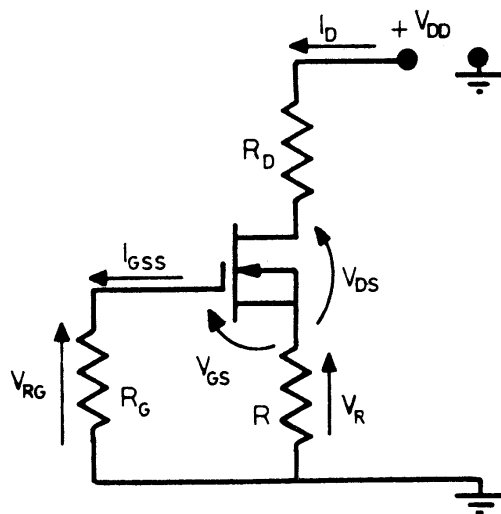
$$\frac{V_{DD}}{R_D} = 6 \text{ mA} \quad \text{y} \quad V_{DD} = 12 \text{ V}$$

Trazando la recta de carga estática sobre las características de salida, verificamos el punto Q :



#### 3.1.4. AUTOPOLARIZACION

Una forma de eliminar la fuente  $V_{GG}$  es generar una tensión debida a  $I_{DQ}$  que polarice negativamente la compuerta según el siguiente esquema :



$I_{GSS}$  chica  $\therefore$

$V_{RG} \approx 0$

FIGURA 3.7.

Circulando una corriente  $I_{DQ}$ , tenemos en la malla de compuerta :

$$V_{GSQ} + I_{DQ} \cdot R = 0 \quad \text{de donde :}$$

$$V_{GSQ} = - I_{DQ} \cdot R \quad \{3.5.\}$$

El transistor de la FIGURA 3.7. tiene los mismos parámetros estáticos que el de la FIGURA 3.6. y las dos fuentes  $V_{DD}$  son iguales :

$$R_D = 2 \text{ K}\Omega \quad V_P = -4 \text{ V}$$

$$I_{DSS} = 10 \text{ mA} \quad V_{DD} = 12 \text{ V}$$

El objetivo es ubicar el punto Q con  $I_{DQ} = 2,5 \text{ mA}$

Despejando  $V_{GSQ}$  de la {3.1.} se obtiene :

$$\left(1 - \frac{V_{GS}}{V_P}\right) = \sqrt{\frac{I_D}{I_{DSS}}} \quad V_{GS} = V_P \left(1 - \sqrt{\frac{I_D}{I_{DSS}}}\right)$$

$$V_{GS} = -4 \left(1 - \sqrt{\frac{2,5}{10}}\right) \quad \therefore \quad V_{GSQ} = -2 \text{ V}$$

De la ecuación {3.5.} calculamos R

$$R = \frac{-V_{GSQ}}{I_{DQ}} = \frac{-(-2 \text{ V})}{2,5 \text{ mA}} = 800 \Omega \approx 820 \Omega \text{ (Normalizado).}$$

Para calcular  $V_{DS}$  se recorre la malla de drenaje :

$$V_{DD} = V_{DSQ} + I_{DQ} \cdot R_D + I_{DQ} \cdot R \quad \text{de donde :}$$

$$V_{DSQ} = V_{DD} - I_{DQ} (R_D + R) = 12 - 2,5 \cdot 2,82 \approx 5 \text{ V}$$

Reemplazando :

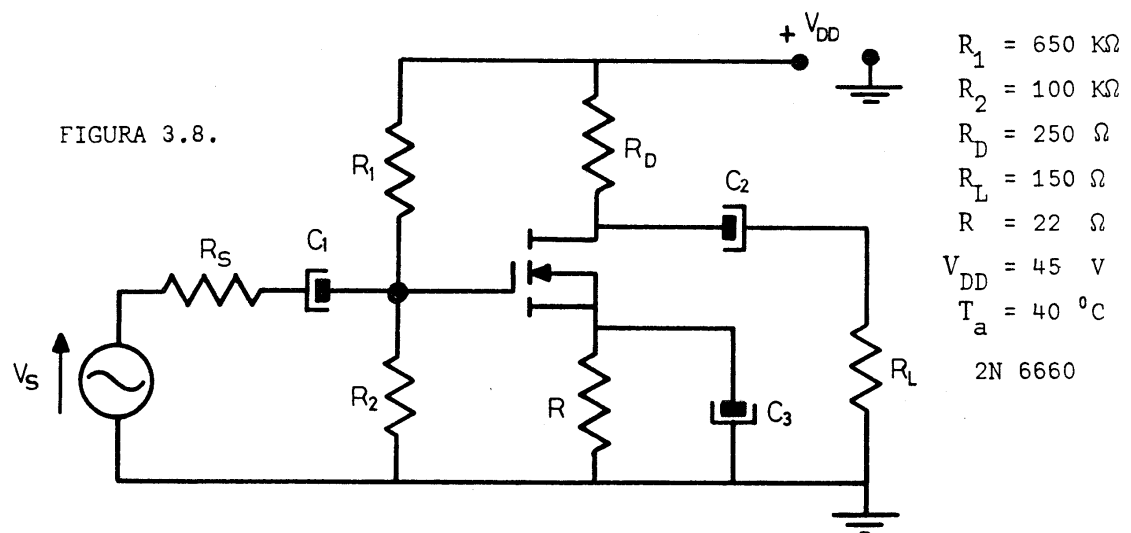
$$V_{DSQ} = 5 \text{ V}, \text{ verificamos la } \{3.2.\}$$

$$5 \text{ V} > 4 \text{ V} - 2 \text{ V}$$

$$5 \text{ V} > 2 \text{ V}$$

Notemos que  $V_{DSQ}$  se redujo de 7 V a 5 V, diferencia igual a la caída en R, puesto que se mantuvo invariable  $V_{DD}$ .

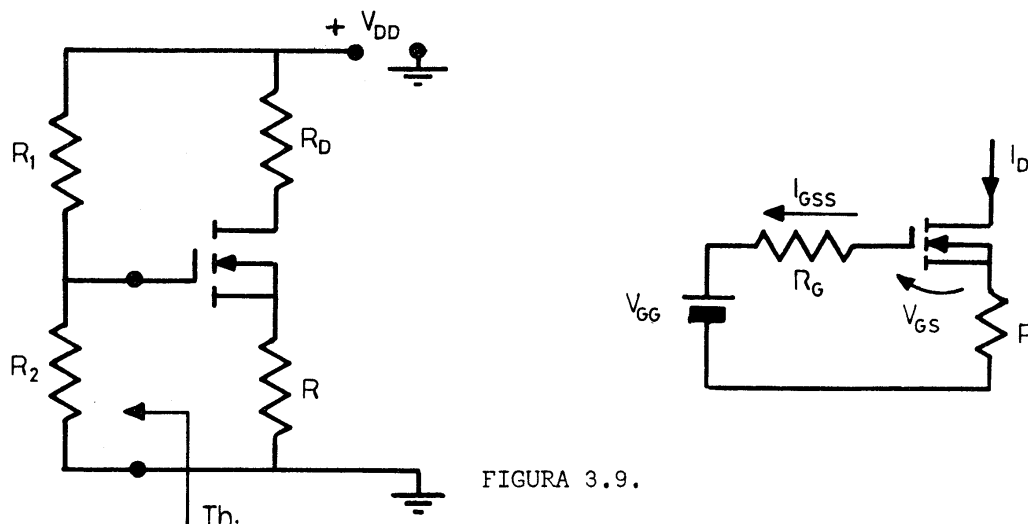
### 3.2. ANALISIS DE UNA ETAPA CON SEÑALES FUERTES USANDO V-MOS:



a)  $\frac{V_{DD}}{BV_{DSS_{\min}}} = \frac{45 \text{ V}}{60 \text{ V}} = 0,75$  coeficiente adecuado ya que se trabaja típicamente con 0,8 en los MOS verticales.

b) Cálculo de  $I_{DQ}$  :

El circuito de continúa queda así :



Aplicando THEVENIN en el sentido de la flecha tenemos :

$$V_{GG} = V_{DD} \frac{R_2}{R_1 + R_2} \quad R_G = R_1 || R_2 = 86,6 \text{ k}\Omega$$

Reemplazando :

$$V_{GG} = \frac{45 \text{ V} \cdot 100 \text{ k}\Omega}{750 \text{ k}\Omega} = 6 \text{ V}$$

Recorriendo la malla de entrada :

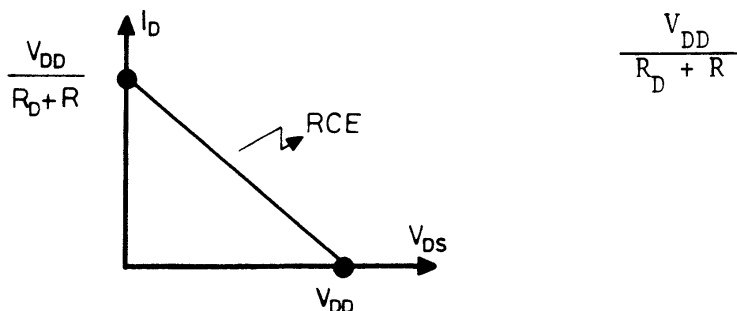
$$V_{GG} = V_{GS} + I_D \cdot R - I_{GSS} \cdot R_G, \quad \text{asumido que :}$$

$$I_{GSS} \cdot R_G \approx 0, \quad \text{que luego verificaremos, queda :}$$

$$V_{GS} = V_{GG} - I_D \cdot R \quad \{3.9.\}$$

Al no conocer  $I_D$  se aplica iterativamente la {3.9.} y la {3.3.}

El punto donde la RCE corta al eje  $I_D$  es :



$$\frac{V_{DD}}{R_D + R} = \frac{45 \text{ V}}{250 \Omega + 22 \Omega} = 165 \text{ mA} . \quad \text{Se debe comenzar a iterar con una } I_D < 165 \text{ mA}$$

Por un lado se tiene que :

$$V_{GS} = V_{GG} - I_D \cdot R \quad \{3.9.\}$$

por otra parte de la {3.3.} es :

$$V_{GS} = V_T + \sqrt{\frac{I_D}{K}}$$

donde K se obtiene del manual:  $I_D = I_{D(ON)} = 1 \text{ A (mín)}$  para  $V_{GS} = 10 \text{ V}$

$$V_T = 0,8 \text{ V (mín)}$$

Es :

$$I_D = K (V_{GS} - V_T)^2, \quad \text{de donde :}$$

$$K = \frac{I_D (\text{ON})}{(10 \text{ V} - V_T)^2} = \frac{1 \text{ A}}{(10 \text{ V} - 0,8 \text{ V})^2} = 12 \frac{\text{mA}}{\text{V}^2} \quad \text{Reemplazando :}$$

$$V_{GS} = 0,8 \text{ V} + \sqrt{\frac{I_D}{12}} \quad \text{y de la \{3.9.\}}$$

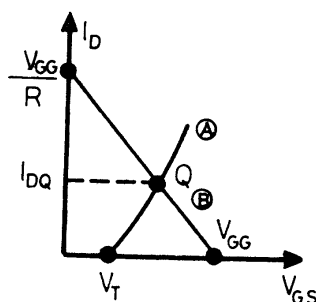
$$V_{GS} = 6 \text{ V} - I_D \cdot 22 \Omega$$

Asumimos por ejemplo  $I_D = 80 \text{ mA}$  , se obtiene :

$$V_{GS} = 0,8 \text{ V} + \sqrt{\frac{80}{12}} = 3,38 \text{ V} \quad \text{y :}$$

$$V_{GS} = 6 \text{ V} - 80 \text{ mA} \cdot 22 \Omega = 4,24 \text{ V}$$

Para analizar estos resultados graficamos la {3.3.} y la {3.9.} en el plano  $I_D$  ,  $V_{GS}$  .



Donde (A) es el gráfico de la {3.3.} y (B) de la {3.9.}

El cálculo anterior es equivalente a construir la figura anterior en escala y entrar por ordenadas con 80 mA; el resultado hubiera sido de (A) 3,38 V y de (B) 4,24 V. Si el resultado de (B) supera al de (A) es porque la corriente propuesta es inferior a  $I_{DQ}$ . Si (A) supera a (B) ocurre lo contrario.

Construiremos la siguiente tabla asignando valores a  $I_D$  en función de las conclusiones anteriores :

$I_D$	$V_{GS} _{(B)}$	$V_{GS} _{(A)}$
mA	V	V
80	4,24	3,38
120	3,36	3,96
90	4,02	3,53
100	3,8	3,68
110	3,58	3,82
105	3,69	3,75
102	3,75	3,71
---	----	-----
103	3,73	3,729
---	----	-----



Si bien  $I_{DQ} \approx 103 \text{ mA}$ , teniendo en cuenta la dispersión en los parámetros del transistor y tolerancias de las resistencias del circuito es aceptable un valor por ejemplo de  $100 \text{ mA}$  por simplicidad de los posteriores cálculos.

Concluimos con  $I_{DQ} \approx 100 \text{ mA}$  y  $V_{GSQ} = 3,75 \text{ V}$

En la ecuación {3.9.} hemos despreciado  $I_{GSS} \cdot R_G$

Del manual:

$$I_{GSS(\text{máx})} = 500 \text{ nA a } 125 \text{ }^\circ\text{C}$$

$$I_{GSS} \cdot R_G = 500 \text{ nA} \cdot 86,6 \text{ K}\Omega = 43,3 \text{ mV}$$

Si se hace el cociente :

$$\frac{V_{GSQ}}{I_{GSS} \cdot R_G} = \frac{3,75 \text{ V}}{43,3 \text{ mV}} = 86 \quad \text{Es un coeficiente extremadamente alto, más aún considerando que la temperatura de operación del amplificador es de } 40 \text{ }^\circ\text{C}.$$

c) Cálculo de  $V_{DSQ}$ , canal saturado.

Recorriendo la malla de drenaje en la FIGURA 3.10. obtenemos :

$$V_{DS} = V_{DD} - I_D (R_D + R) = 45 \text{ V} - 100 \text{ mA} (250 + 22) \Omega = 17,8 \text{ V}$$

Verificamos la condición de canal saturado, aplicando la ecuación {3.4.}

$$V_{DS} \geq |V_{GS}| - |V_T|$$

$$17,8 > 2,95 \text{ V}$$

d) Potencia disipada por el transistor  $P_{dT}$  :

Análogamente a la expresión utilizada para el transistor bipolar, se demuestra que :

$$P_{dT} = V_{DS} \cdot I_{DQ} = 17,8 \text{ V} \cdot 100 \text{ mA} = 1,78 \text{ W}$$

e) Cálculo del disipador :

Del manual,  $P_{dM} \approx 750 \text{ mW}$  a  $25 \text{ }^\circ\text{C}$

En el punto d) se obtuvo :

$$P_{dT} = 1,78 \text{ W}$$

Al ser :

$$P_{dT} > P_{dM} \quad \text{se necesita el uso de disipador.}$$

Del manual se extrae que :

$$T_{jM} = 150 \text{ }^\circ\text{C} \quad \text{y} \quad \theta_{jC} = 15 \text{ }^\circ\text{C/W}$$

Es :

$$P_{dT} = \frac{T_{jM} - T_a}{\theta_{jc} + \theta_{da} + \theta_{cd}}, \text{ de donde : } \theta_{da} + \theta_{cd} = \frac{T_{jM} - T_a}{P_{dT}} - \theta_{jc}$$

Reemplazando :

$$\theta_{da} + \theta_{cd} = \frac{150^\circ\text{C} - 40^\circ\text{C}}{1,78\text{ W}} - 15^\circ\text{C/W} \approx 47^\circ\text{C/W}$$

Estimando :

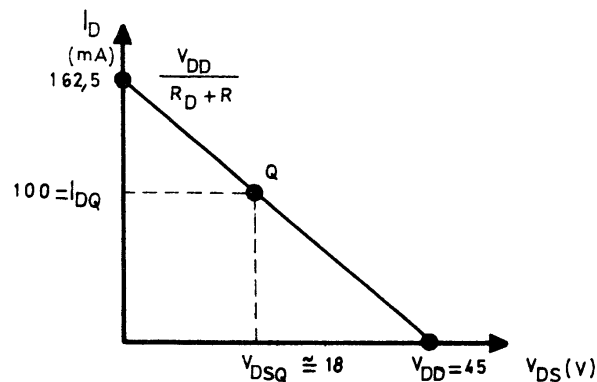
$$\theta_{cd} \approx 2^\circ\text{C/W}, \text{ resulta : } \theta_{da} = 45^\circ\text{C/W}$$

f) Trazado de RCE y RCD :

\ De la malla de salida se obtiene:

$$I_D = \frac{V_{DD} - V_{DS}}{R_D + R} \quad \text{De donde : } \frac{V_{DD}}{R_D + R} = 162,5\text{ mA y } V_{DD} = 45\text{ V}.$$

Graficando :



Para trazar la RCD partiendo del punto Q se calcula :

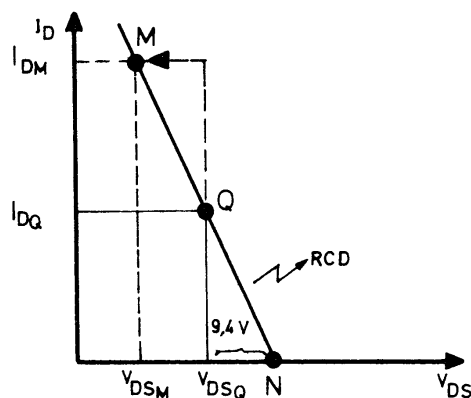
$$\Delta V = - I_{DQ} \cdot R_d, \text{ obteniendo el punto N.}$$

Donde :

$$R_d = R_D \parallel R_L = 250\ \Omega \parallel 150\ \Omega \approx 94\ \Omega \quad \text{y}$$

$$\Delta V = 100\text{ mA} \cdot 94\ \Omega = 9,4\text{ V}$$

Graficamente :



A partir del punto Q obtenemos de la misma forma el punto M, de excursión simétrica. En las características de salida la parábola dada por la {3.3.} para valores de

$$V_{DS} = |V_{GS}| - |V_T| \quad \text{separa la característica resistiva de la zona plana.}$$

Debe verificarse que el punto M esté a la derecha de la parábola para garantizar una excursión  $V_{ds} = 9,4 \text{ V}$ .

Por simetría :

$$I_{DM} = 2 I_{DQ} \quad I_{DM} = 200 \text{ mA}$$

De la ecuación {3.3.} calculamos  $V_{GS}$  en el punto M :

$$V_{GS_M} = V_T + \sqrt{\frac{I_{DM}}{K}} = 0,8 \text{ V} + \sqrt{\frac{200}{12}} = 4,88 \text{ V}$$

Correspondiendo a :

$$V_{DS} = |V_{GS}| - |V_T| \quad \therefore$$

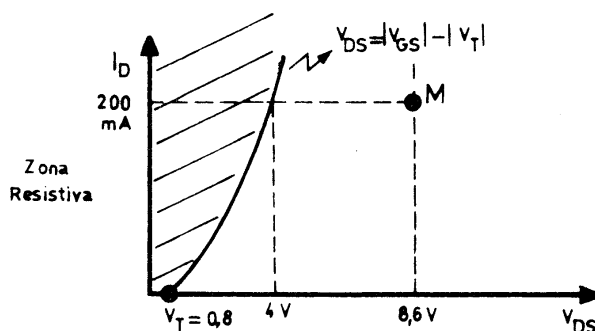
$$V_{DS} = 4,88 \text{ V} - 0,8 \text{ V} \approx 4 \text{ V}$$

Através de la RCD obtenemos que cuando  $I_D = I_{DM}$  es :

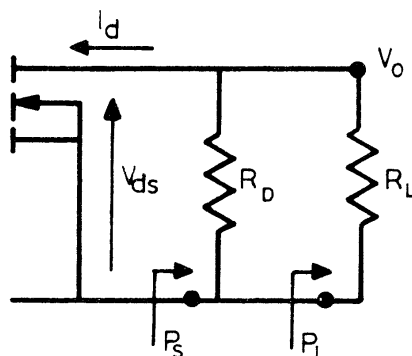
$$V_{DS} = V_{DS_M} = V_{DSQ} - 9,4 \text{ V} \approx 18 \text{ V} - 9,4 \text{ V} = 8,6 \text{ V}$$

Puesto que  $V_{DS_M} = 8,6 \text{ V}$  supera los 4 V el transistor no entra en la zona ohmica.

Gráficamente se tiene que el punto M está a la derecha de la parábola de separación; correcto.



g) Cálculo de  $P_S$  ;



$$P_S = \frac{V_{ds}}{\sqrt{2}} \cdot \frac{I_d}{\sqrt{2}} = \frac{V_{ds} \cdot I_d}{2}$$

Reemplazando :

$$I_d = 100 \text{ mA} \quad \text{y} \quad V_{ds} = 9,4 \text{ V} \quad \text{se tiene que :}$$

$$P_S = \frac{100 \text{ mA} \cdot 9,4 \text{ V}}{2} = 470 \text{ mW}$$

h) Rendimiento de conversión :

$$\eta_c = \frac{P_S}{P_{DD}} \quad , \quad P_{DD} = V_{DD} \cdot I_{DQ} \quad ; \quad \text{los resistores } R_1 \text{ y } R_2 \text{ son muy eleva-}$$

vados en el FET para evaluar su con-  
sumo.

Reemplazando :

$$P_{DD} = 45 \text{ V} \cdot 100 \text{ mA} = 4,5 \text{ W}$$

$$\eta_c \% = \frac{470 \text{ mW}}{4,5 \text{ W}} \cdot 100 = 10 \%$$

### 3.3. MODELO DE BAJA SEÑAL PARA EL TRANSISTOR UNIPOLAR :

Sabemos que el transistor unipolar es un dispositivo de comportamiento ali-  
neal; lo que es consecuencia directa del carácter cuadrático de su característi-  
ca de transferencia. Ver ecuaciones {3.1.} y {3.3.}.

Se demuestra que dicha alinealidad produce un efecto despreciable en el funciona-  
miento dinámico del amplificador cuando éste maneja señales débiles (en bajo ni-  
vel). Bajo estas condiciones de operación el FET puede tratarse como un disposi-  
tivo lineal.

Para obtener el modelo lineal se puede recurrir a la FIGURA 3.1., 3.2. ó 3.3.

Formalmente expresamos la corriente de drenaje  $i_D$   
como una función de la tensión de compuerta  $v_{GS}$ ,  
y de la tensión de drenaje  $v_{DS}$ . Es decir que

$$i_D = f(v_{GS}, v_{DS}) \quad . \quad \text{Si } v_{GS} \text{ y } v_{DS}$$

varían incrementalmente, la variación de  $i_D$   
está dada aproximadamente por los dos primeros  
términos de la serie de TAYLOR :

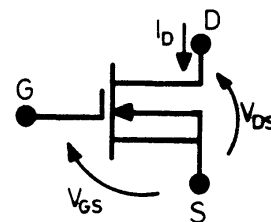


FIGURA 3.10.

$$\Delta i_D = \left. \frac{\partial i_D}{\partial v_{GS}} \right|_{\Delta v_{DS}=0} \cdot \Delta v_{GS} + \left. \frac{\partial i_D}{\partial v_{DS}} \right|_{\Delta v_{GS}=0} \cdot \Delta v_{DS} \quad \{3.10\}$$

Adoptamos la siguiente notación :

$$\Delta v_{GS} = v_{gs} \quad ; \quad \Delta v_{DS} = v_{ds} \quad ; \quad \Delta i_D = i_d$$

Definimos :

a) Transconductancia :

$$g_m = \left. \frac{\partial i_D}{\partial v_{GS}} \right|_{\Delta v_{DS} = 0} \quad \{3.11.\}$$

$$g_m \approx \frac{\Delta i_D}{\Delta v_{GS}} \bigg|_{\Delta v_{DS} = 0} = \frac{i_d}{v_{gs}} \bigg|_{\Delta v_{DS} = 0} = \frac{i_d}{v_{gs}} \bigg|_{v_{DS} = \text{cte}}$$

b) Resistencia de drenaje-fuente (de Salida) :

$$r_d = \left. \frac{\partial v_{GS}}{\partial i_D} \right|_{\Delta v_{GS} = 0} \quad \{3.12.\}$$

$$r_d \approx \frac{\Delta v_{DS}}{\Delta i_D} \bigg|_{\Delta v_{GS} = 0} = \frac{v_{ds}}{i_d} \bigg|_{\Delta v_{GS} = 0} = \frac{v_{ds}}{i_d} \bigg|_{v_{GS} = \text{cte}}$$

Reemplazando en la {3.10.} se obtiene :

$$i_d = g_m \cdot v_{gs} + \frac{1}{r_d} \cdot v_{ds} \quad \{3.13.\}$$

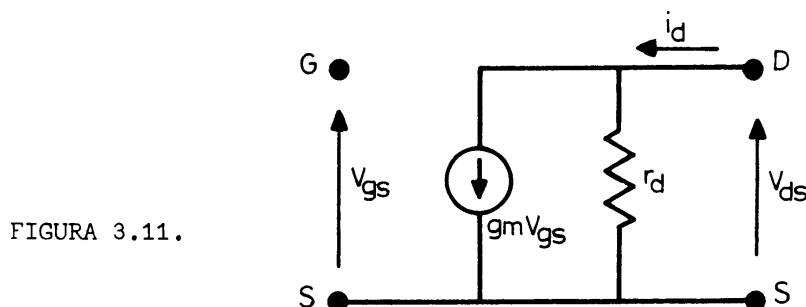
donde :

$$\frac{1}{r_d} = g_d$$

Usualmente en las hojas de datos se emplea otra nomenclatura, por ejemplo en fuente común :

$$g_m = |y_{fs}| = |y_{21s}| \quad \text{y} \quad \frac{1}{r_d} = \frac{1}{r_{ds}} = |y_d| = |y_{os}| = g_{os}$$

La ecuación {3.13.} permite construir el siguiente circuito equivalente :



La corriente entrante al nodo D es :

$$i_d = g_m \cdot v_{gs} + \frac{1}{r_d} \cdot v_{ds}$$

### 3.3.1. CALCULO DE LA TRANSCONDUCTANCIA :

a) Para el J-FET y MOS-FET de canal permanente, de la {3.1.} para valores totales se tiene :

$$i_D = I_{DSS} \left( 1 - \frac{V_{GS}}{V_P} \right)^2$$

Al ser :

$$v_{GS} = V_{GS} + v_{gs} \quad \text{se tiene que :}$$

$$i_D = I_{DSS} \left\{ \left( 1 - \frac{V_{GS}}{V_P} \right) - \frac{v_{gs}}{V_P} \right\}^2$$

$$i_D = I_{DSS} \left\{ \left( 1 - \frac{V_{GS}}{V_P} \right)^2 - 2 \left( 1 - \frac{V_{GS}}{V_P} \right) \frac{v_{gs}}{V_P} + \left( \frac{v_{gs}}{V_P} \right)^2 \right\}$$

Al operar en bajo nivel, eliminamos el término cuadrático dinámico. Queda por lo tanto :

$$i_D = I_{DSS} \left( 1 - \frac{V_{GS}}{V_P} \right)^2 - 2 I_{DSS} \left( 1 - \frac{V_{GS}}{V_P} \right) \frac{v_{gs}}{V_P} \quad \text{puesto que :}$$

$$i_D = I_D + i_d \quad \text{igualando :}$$

$$I_D \approx I_{DSS} \left( 1 - \frac{V_{GS}}{V_P} \right)^2 \quad \text{e} \quad i_d = - 2 I_{DSS} \left( 1 - \frac{V_{GS}}{V_P} \right) \cdot \frac{v_{gs}}{V_P}$$

Al ser :

$$g_m = \frac{i_d}{v_{gs}} \quad \text{resulta :}$$

$$g_m = - 2 \frac{I_{DSS}}{V_P} \left( 1 - \frac{V_{GS}}{V_P} \right) \quad \{3.14.\}$$

Cuando la polarización de compuerta es nula ( $V_{GS} = 0$ ) se obtiene :

$$g_{m0} = - 2 \frac{I_{DSS}}{V_P} \quad \{3.15.\} \quad \text{Reemplazando en la } \{3.14.\}$$

$$g_m = g_{m0} \left( 1 - \frac{V_{GS}}{V_P} \right) \quad \{3.16.\}$$

Valores típicos de  $g_{m0}$  están en el rango de 1 a 20 mV.

Al tener  $V_P$  e  $I_{DSS}$  signos opuestos es  $g_{m0}$  positivo.

Operando con la {3.1.} y la {3.16.} :

$$I_D = I_{DSS} \left(1 - \frac{V_{GS}}{V_P}\right)^2 \quad \therefore \quad \left(1 - \frac{V_{GS}}{V_P}\right)^2 = \frac{I_D}{I_{DSS}}$$

De donde :

$$g_m = g_{m0} \sqrt{\frac{I_D}{I_{DSS}}} \quad \{3.17.\}$$

La máxima  $g_m$  del J-FET es  $g_{m0}$  con  $V_{GS} = 0$ .

Para calcular el valor máximo de  $g_m$  en el MOSFET de canal permanente debe reemplazarse en la {3.17.}  $I_D$  por  $I_{D(ON)}$  del transistor.

b) Para el MOSFET de canal inducido, de la {3.3.}, se obtiene para valores totales :

$$i_D = K (v_{GS} - V_T)^2$$

$$I_D + i_d = K (V_{GS} + v_{gs} - V_T)^2 = K \{ (V_{GS} - V_T) + v_{gs} \}^2$$

$$I_D + i_d = K (V_{GS} - V_T)^2 + 2 K (V_{GS} - V_T) \cdot v_{gs} + \cancel{K \cdot v_{gs}^2}$$

De donde :

$$i_d = 2 K (V_{GS} - V_T) \cdot v_{gs} \quad g_m = 2 K (V_{GS} - V_T)$$

De la {3.3.}

$$V_{GS} - V_T = \sqrt{\frac{I_D}{K}} \quad \text{Reemplazando se llega a :}$$

$$g_m = 2 K \sqrt{\frac{I_D}{K}} = 2 \sqrt{K \cdot I_D}$$

Se especifica en los manuales el valor de transconductancia ( $g_{mA}$ ) para un valor particular de  $I_D = I_{DA}$ , resulta :

$$g_{mA} = 2 \sqrt{K \cdot I_{DA}} \quad \text{Es decir que :}$$

$$\sqrt{K} = \frac{g_{mA}}{2 \sqrt{I_{DA}}} \quad \text{Por lo tanto :}$$

$$g_m = 2 \sqrt{K} \cdot \sqrt{I_D} = 2 \sqrt{I_D} \cdot \frac{g_{mA}}{2 \sqrt{I_{DA}}} = g_{mA} \sqrt{\frac{I_D}{I_{DA}}}$$

Finalmente :

$$g_m = g_{mA} \sqrt{\frac{I_D}{I_{DA}}} \quad \{3.18.\}$$

Conociendo  $I_{DA}$  y  $g_{mA}$  se puede obtener  $g_m$  para cualquier otro valor de  $I_D$ .

Analizando hojas de datos de J-FETS y MOSFETS se observa que los valores de transconductancia  $g_m$  de unos y otros son ciertamente parecidos, de 0,1 a 20 mS.

En relación a la resistencia dinámica de salida  $r_d$  en los primeros es fuertemente más elevada que en los MOSFETS. Estos tienen valores de 1 a 50 K $\Omega$ , mientras que los J-FETS van desde 0,1 a 1 M $\Omega$ .

### 3.4. AMPLIFICADOR UNIPOLAR DE BAJO NIVEL :

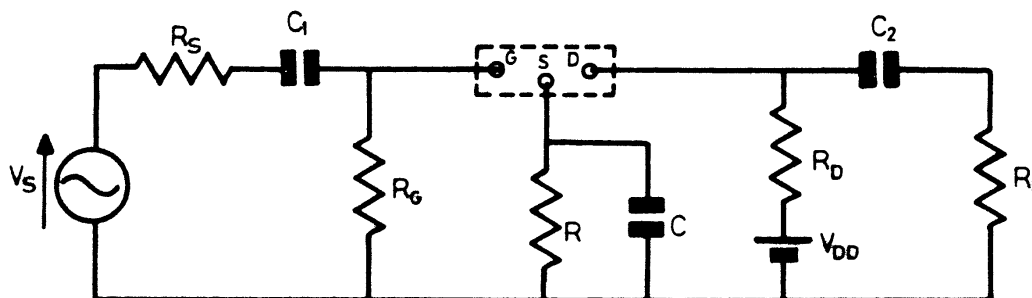
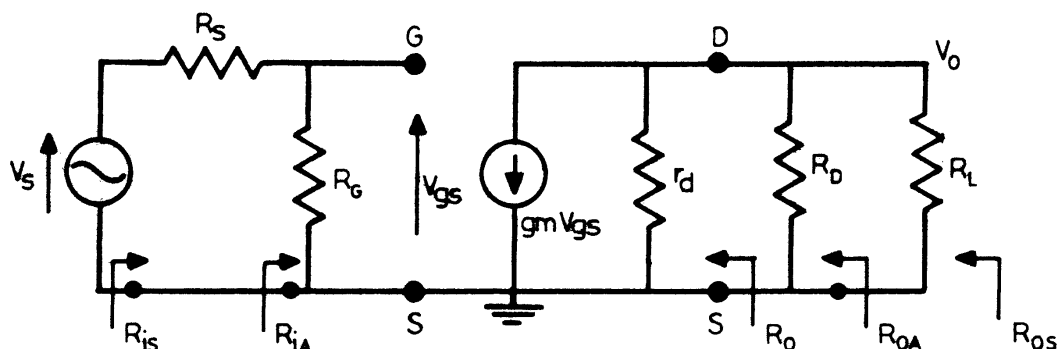


FIGURA 3.12.

Reemplazando al transistor por su circuito equivalente, en el rango de frecuencias medias, donde las capacidades de acople y de paso, conjuntamente con  $V_{DD}$  presentan impedancia nula, se obtiene :



Haciendo :

$$R_d = R_D \parallel R_L$$

$$V_O = -g_m \cdot V_{gs} \left( \frac{r_d \cdot R_d}{r_d + R_d} \right) \quad A_V = \frac{V_O}{V_{gs}} = -g_m \left( \frac{r_d \cdot R_d}{r_d + R_d} \right)$$

Suponiendo  $r_d \gg R_d$  resulta :

$$A_V \approx -g_m \cdot R_d \quad \{3.19.\}$$

Si en cambio  $r_d \approx 5 R_d$  se obtiene  $A_V \approx 0,83 g_m \cdot R_d$

Aplicando la {3.19.} generalmente no se introducen errores superiores del 10 al 20 %, resultando tolerable si se tiene en cuenta el peso que introduce la dispersión de  $g_m$ .

Amplificación de tensión referida al generador  $A_{VS}$  :

$$A_{VS} = \frac{V_O}{V_S} = \frac{V_O}{V_{gs}} \cdot \frac{V_{gs}}{V_S} = -g_m \cdot R_d \frac{R_G}{R_G + R_S}$$



Se obtiene por inspección :

$$R_{iA} = R_G \quad R_O = r_d \quad R_{iS} = R_S + R_G$$

$$R_{OA} = r_d \parallel R_D \quad R_{OS} = r_d \parallel R_D \parallel R_L$$

En el amplificador de la FIGURA 3.12. (unipolar) con J-FET, calcular  $R_D$  para obtener  $|A_V| \geq 10$ .

DATOS :	$I_{DSS} = 1,60 \text{ mA}$	$V_P = -2 \text{ V (Canal N)}$
	$I_{DQ} = 0,8 \text{ mA}$	$R_L = 100 \text{ K}\Omega$
	$R_G = 1 \text{ M}\Omega$	$V_{DD} = 24 \text{ V}$
	$R_S = 100 \text{ K}\Omega$	

a) Cálculo de  $g_m$  :

De la ecuación {3.16.}

$$g_m = g_{mO} \left( 1 - \frac{V_{GS}}{V_P} \right), \text{ siendo :}$$

$$g_{mO} = -2 \frac{I_{DSS}}{V_P} = \frac{2 \cdot 1,6 \text{ mA}}{2 \text{ V}} = 1,60 \text{ mS}$$

$$g_m = 1,60 \text{ mS} \left( 1 - \frac{V_{GS}}{V_P} \right) \quad \text{De la \{3.1.\} se obtiene :}$$

$$V_{GS} = V_P \left( 1 - \sqrt{\frac{I_{DQ}}{I_{DSS}}} \right) = -2 \text{ V} \cdot \left( 1 - \sqrt{0,5} \right) = -0,585 \text{ V}$$

$$g_m = 1,60 \text{ mS} \left( 1 - \frac{-0,585 \text{ V}}{-2 \text{ V}} \right) = 1,13 \text{ mS}$$

b) Cálculo de  $R_D$  :

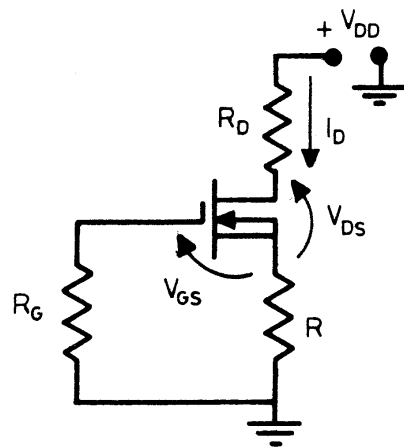
De la {3.19.}

$$R_d = \frac{|A_V|}{g_m} = \frac{10}{1,13 \text{ mS}} = 8,84 \text{ K}\Omega$$

Si adoptamos  $R_D = 10 \text{ K}\Omega$ ,  $R_d = 10 \text{ K}\Omega \parallel 100 \text{ K}\Omega \approx 9,1 \text{ K}\Omega > 8,84 \text{ K}\Omega$

c) Cálculo de  $V_{DS}$ , canal bloqueado :

En continua tenemos el siguiente esquema :



Recorriendo la malla de drenaje :

$$V_{DS} = V_{DD} - I_D (R_D + R) = 24 \text{ V} - 0,8 \text{ mA} (10 \text{ K}\Omega + R)$$

De la {3.5.} calculamos :

$$R = - \frac{V_{GS}}{I_D} = - \frac{- 0,585 \text{ V}}{0,8 \text{ mA}} = 731 \Omega$$

Se adopta  $R = 750 \Omega$  (valor normalizado) es :

$$V_{DS} = 24 \text{ V} - 0,8 \text{ mA} (10 \text{ K}\Omega + 750 \Omega) \approx 15 \text{ V}$$

$$|V_P| - |V_{GS}| = |- 2 \text{ V}| - |- 0,585 \text{ V}| = 1,41 \text{ V}$$

Como  $V_{DS} \approx 15 \text{ V}$  es :

$15 \text{ V} > 1,41 \text{ V}$  . Se verifica la condición de canal bloqueado.

### 3.5. DRENAJE COMUN (SEGUIDOR DE FUENTE) :

Sea la siguiente configuración :

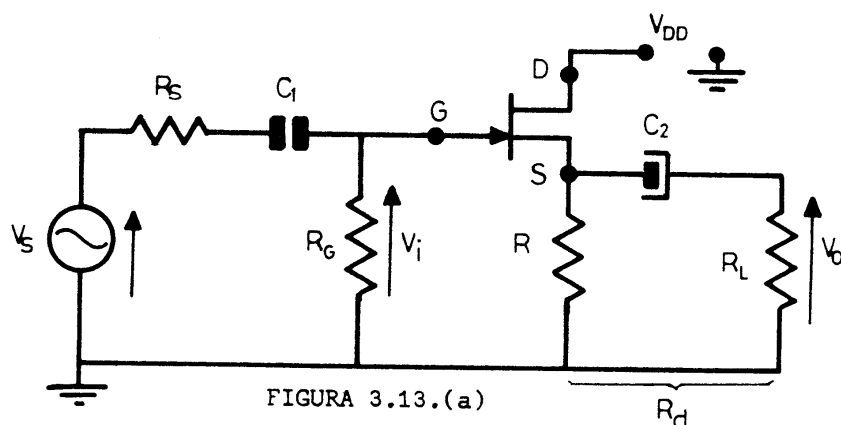
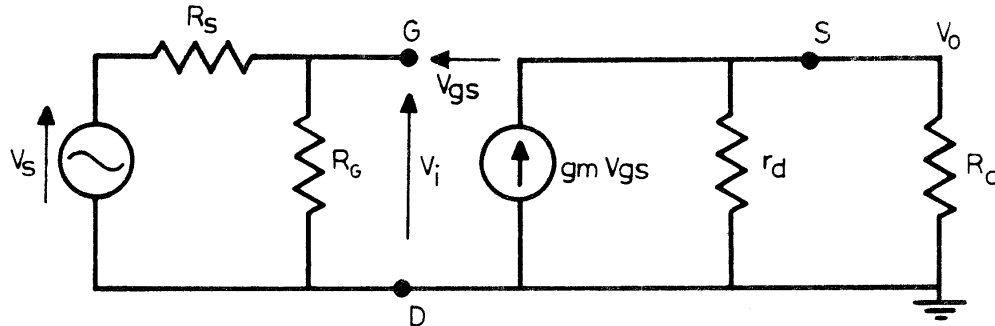


FIGURA 3.13.(a)

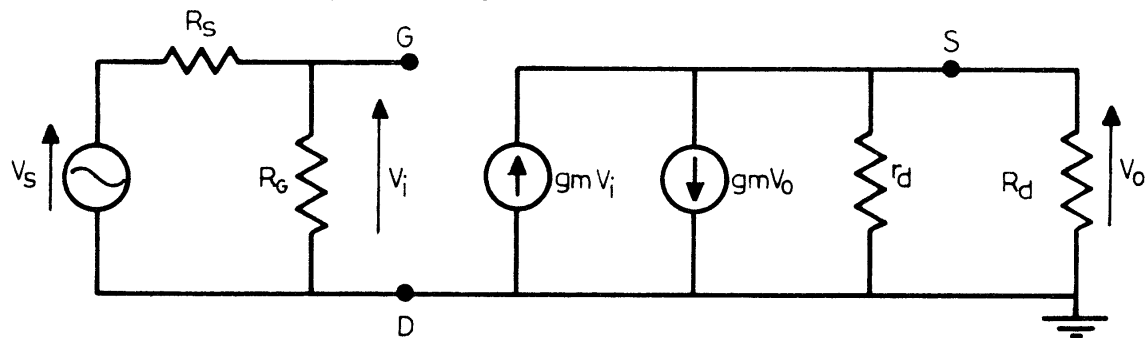
Es  $V_{GS} = -I_D \cdot R$  (Polarización negativa).

Análisis de baja señal :



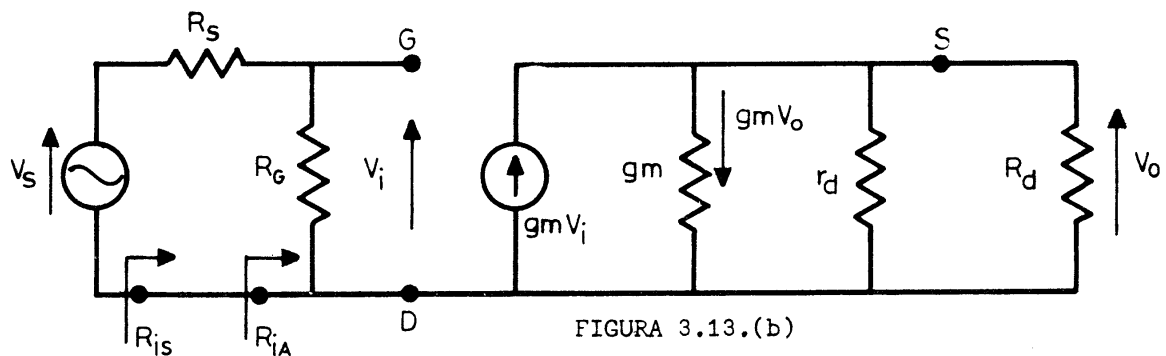
$$V_{gs} = V_i - V_o \quad \text{multiplicando ambos miembros por } g_m :$$

$g_m \cdot V_{gs} = g_m \cdot V_i - g_m \cdot V_o$  Circuitalmente el generador controlado  $g_m \cdot V_{gs}$  puede ser reemplazando por dos generadores según el siguiente esquema :



El generador  $g_m \cdot V_o$  está ubicado entre los extremos de  $V_o$ . Se puede obtener la misma corriente,  $g_m \cdot V_o$  colocando en lugar del generador una conductancia  $g_m$ . La corriente a través de la conductancia  $g_m$  es precisamente  $g_m \cdot V_o$

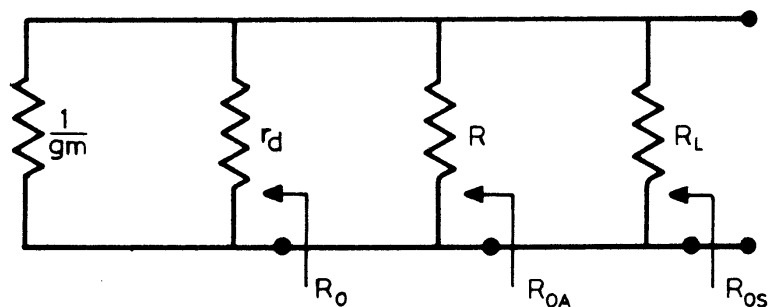
Obtenemos así :



De la FIGURA 3.13.(b), analizando por inspección se tiene que :

$$R_{iA} = R_G \quad R_{iS} = R_S + R_G$$

Resistencia de salida :



$$R_O = r_d \parallel \frac{1}{g_m}$$

Debido a que  $\frac{1}{g_m} \ll r_d$  resulta :  $R_O \approx \frac{1}{g_m}$

$$R_{OA} = R_O \parallel R \quad \{3.20.\} \quad R_{OS} = R_{OA} \parallel R_L$$

De la malla de salida de la FIGURA 3.13.(b), se tiene :

$$g_m \cdot V_i = g_m \cdot V_O + \frac{V_O}{r_d} + \frac{V_O}{R_d} \quad ; \quad g_m \cdot V_i = V_O \left( g_m + \frac{1}{r_d} + \frac{1}{R_d} \right)$$

$$A_V = \frac{V_O}{V_i} \approx \frac{g_m}{g_m + \frac{1}{r_d} + \frac{1}{R_d}} \quad \text{Usualmente en el FET, como :}$$

$$g_m \gg \frac{1}{r_d} \quad \text{queda :}$$

$$A_V = \frac{V_O}{V_i} \approx \frac{g_m}{g_m + \frac{1}{R_d}} \quad \text{Vemos que : } A_V < 1$$

$$A_V = \frac{g_m \cdot R_d}{1 + g_m \cdot R_d} \quad \{3.21.\}$$

En muchas aplicaciones es conveniente que el producto  $g_m \cdot R_d$  sea lo más grande posible de manera que la ganancia  $A_V$  tienda a la unidad.

Si se hace  $R$  grande aumenta  $V_{GSQ}$  acercándose a  $V_P$ .

Con lo cual baja  $I_{DQ}$ , disminuyendo  $g_m$ . Como se ve en la FIGURA 3.13.(c).

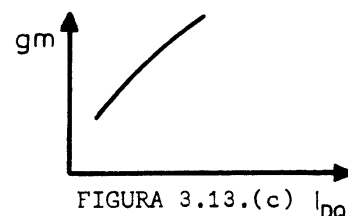
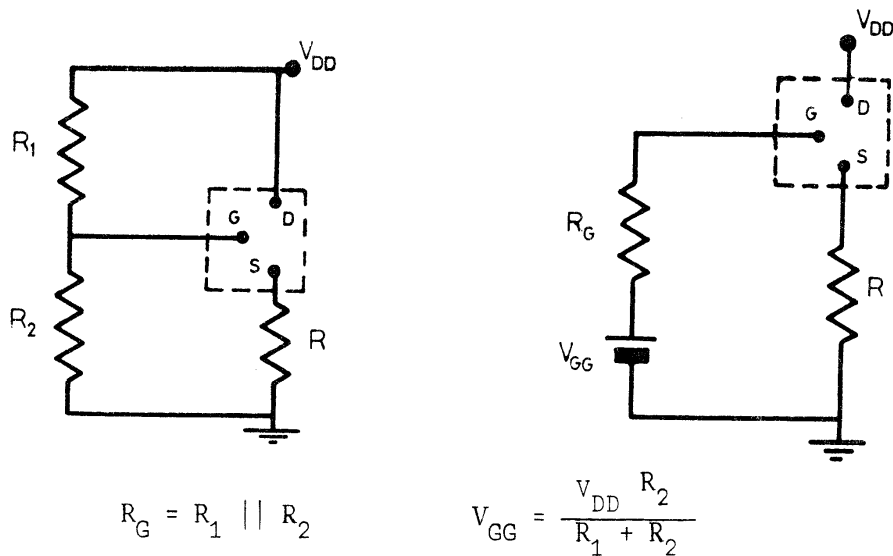
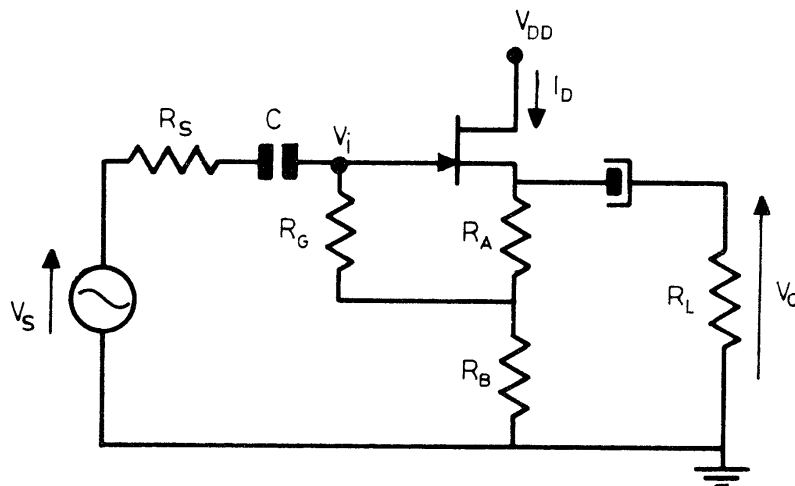


FIGURA 3.13.(c)  $I_{DQ}$

Se puede compensar la caída negativa sobre  $R$  aplicando una tensión positiva en serie con la malla de entrada que se puede obtener a través de un divisor de tensión como se ve en la FIGURA :



Sin embargo conviene usar un circuito que presente una derivación en R como se muestra en la FIGURA.



La corriente continua que circula por  $R_G$  es despreciable. La polarización entre compuerta y fuente se obtiene a través de la caída de tensión sobre  $R_A$ .

$$V_{GSQ} = - I_{DQ} \cdot R_A$$

$R_B$  se elige en función del valor de  $V_{DS}$  requerido, especificándose  $V_{DD}$ .

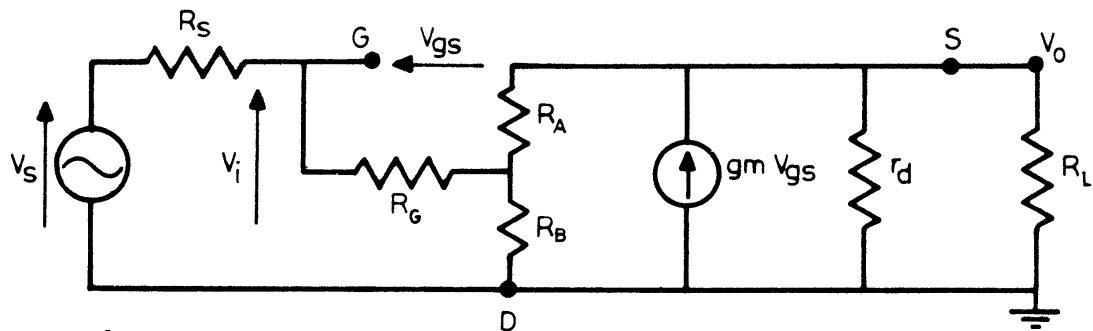
$$V_{DSQ} = V_{DD} - I_{DQ} (R_A + R_B)$$

Haciendo :

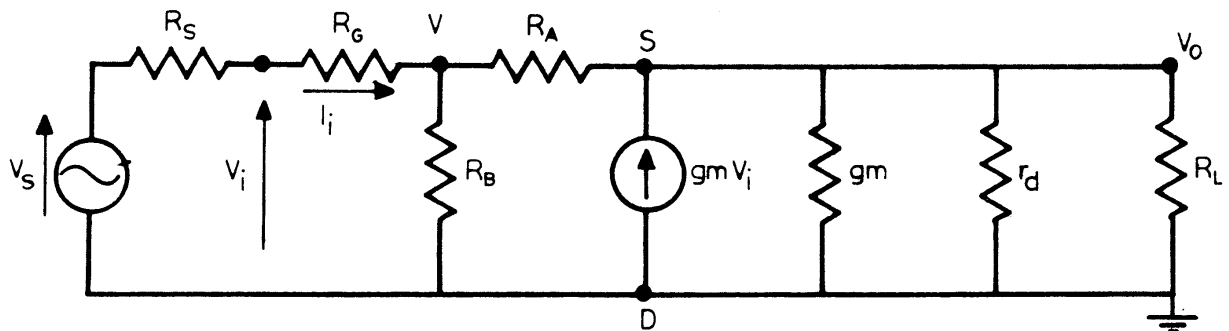
$$R_B \gg R_A \quad \text{es :}$$

$$V_{DSQ} \approx V_{DD} - I_{DQ} \cdot R_B$$

El circuito equivalente para la señal es el siguiente :



Se transforma en :



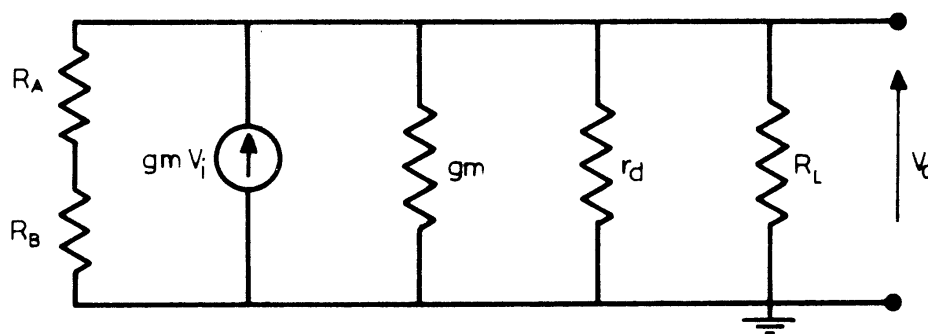
Se busca que :

$$A_V = \frac{V_o}{V_i} \rightarrow 1 \quad \text{Por lo tanto} \quad V_o \rightarrow V_i \quad \text{y también} \quad V \rightarrow V_i$$

Entonces :

$$I_i = \frac{V_i - V}{R_G} \rightarrow 0$$

Despreciando la pequeña corriente de señal  $I_i$  que circula por  $R_G$  queda :



$$g_m \cdot V_i = g_m \cdot V_o + \frac{V_o}{r_d} + \frac{V_o}{R_A + R_B} + \frac{V_o}{R_L} \quad \therefore$$

$$\frac{V_o}{V_i} = \frac{g_m}{g_m + \frac{1}{r_d} + \frac{1}{R_A + R_B} + \frac{1}{R_L}}$$

Y como :

$$g_m \gg \frac{1}{r_d} \quad \text{es :}$$

$$A_V = \frac{V_O}{V_i} = \frac{g_m}{g_m + \cancel{\frac{1}{r_d}} + \frac{1}{R_A + R_B} + \frac{1}{R_L}}$$

Haciendo :

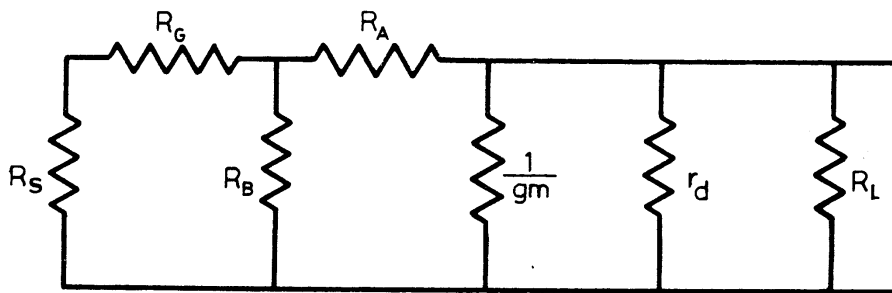
$$\frac{1}{R_A + R_B} = \frac{1}{R'} \quad R' || R_L = R_d \quad \text{queda :}$$

$$A_V = \frac{g_m \cdot R_d}{1 + g_m \cdot R_d} \quad \{3.22.\}$$

Cálculo de la resistencia de salida :

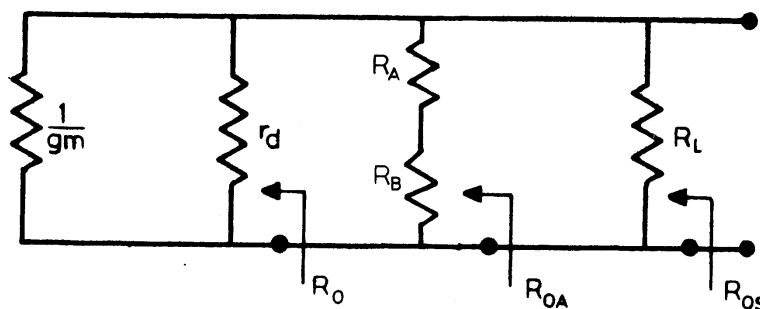
Si  $V_S = 0$  es  $V_i = 0$  y  $g_m \cdot V_i = 0$

El circuito queda :



Además normalmente :

$$R_S + R_G \gg R_B \quad \text{Queda :}$$

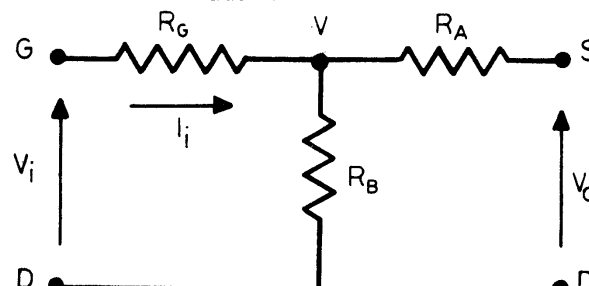


$$R_O \approx \frac{1}{g_m}$$

$$R_{OA} = R_O || (R_A + R_B)$$

$$R_{OS} = R_{OA} || R_L$$

Cálculo de la resistencia de entrada :



$$I_i = \frac{V_i - V}{R_G}$$

Como  $(R_G + R_S) \gg R_B$  resulta un divisor de tensión :

$$V = V_O \frac{R_B}{R_A + R_B} \quad \text{Reemplazando en } I_i :$$

$$I_i = \frac{V_i - V_O \frac{R_B}{R_A + R_B}}{R_G} \quad \text{Es : } V_O = A_V \cdot V_i, \text{ resulta :}$$

$$I_i = \frac{V_i - A_V \cdot V_i \frac{R_B}{R_A + R_B}}{R_G} = \frac{1}{R_G} V_i \left( 1 - A_V \frac{R_B}{R_A + R_B} \right)$$

Haciendo :

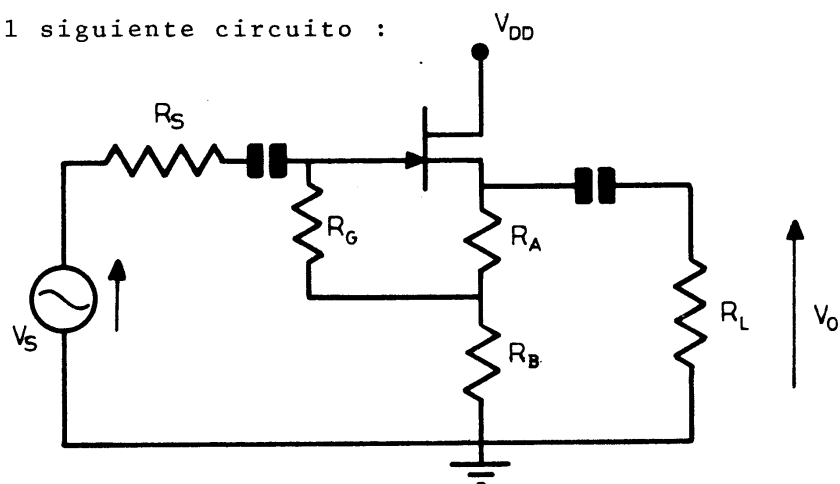
$$A_V \frac{R_B}{R_A + R_B} = K, \text{ resulta } I_i = \frac{1}{R_G} V_i (1 - K)$$

$$R_{iA} = \frac{V_i}{I_i} = \frac{R_G}{1 - K} \quad \{3.24.\}$$

$$R_{iS} = R_S + R_{iA}$$

Ejemplo ;

Sea el siguiente circuito :



DATOS :  $V_{DD} = 20 \text{ V}$        $I_{DSS} = 10 \text{ mA}$        $V_P = -4 \text{ V}$   
 $R_S = 1 \text{ M}\Omega$        $R_L \rightarrow \infty$        $R_G = 2,2 \text{ M}\Omega$   
 $Q \left| \begin{array}{l} V_{DS} = 10 \text{ V} \\ I_D = 7 \text{ mA} \end{array} \right.$



INCOGNITAS : Polarizar

$$A_V \quad R_i \quad R_{OS}$$

Recorriendo la malla de salida, en continua :

$$V_{DD} = V_{DS} + I_D (R_A + R_B)$$

$$R_A + R_B = \frac{V_{DD} - V_{DS}}{I_D} = \frac{20 \text{ V} - 10 \text{ V}}{7 \text{ mA}} = 1,42 \text{ K}\Omega$$

Se coloca en lugar de  $R_A$  y  $R_B$  un potenciómetro de ajuste  $R' = 1,5 \text{ K}\Omega$

Es:

$$V_{GS} = V_P \left( 1 - \sqrt{\frac{I_D}{I_{DSS}}} \right) = -4 \text{ V} \left( 1 - \sqrt{\frac{7}{10}} \right) = -0,64 \text{ V}$$

$$R_A = -\frac{V_{GS}}{I_D} = -\frac{-0,64 \text{ V}}{7 \text{ mA}} = 91 \text{ }\Omega$$

$$R_B = R' - R_A \quad R_B = 1,5 \text{ K}\Omega - 91 \text{ }\Omega = 1409 \text{ }\Omega$$

Análisis incremental :

$$g_{m0} = -\frac{2 I_{DSS}}{V_P} = \frac{-2 \cdot 10 \text{ mA}}{-4 \text{ V}} = 5 \text{ mS}$$

$$g_m = g_{m0} \left( 1 - \frac{V_{GS}}{V_P} \right) = 5 \text{ mS} \left( 1 - \frac{0,64}{4} \right) = 4,2 \text{ mS}$$

$$A_V = \frac{g_m \cdot R_d}{1 + g_m \cdot R_d} ; \quad R_d = R' = 1,5 \text{ K}\Omega \text{ pues } R_L \rightarrow \infty$$

$$A_V = \frac{4,2 \text{ mS} \cdot 1,5 \text{ K}\Omega}{1 + 4,2 \text{ mS} \cdot 1,5 \text{ K}\Omega} \approx 0,86$$

$$R_O \approx \frac{1}{g_m} \approx 240 \text{ }\Omega ; \quad R_{OA} = R_O \parallel R' = 240 \text{ }\Omega \parallel 1500 \text{ }\Omega = 207 \text{ }\Omega$$

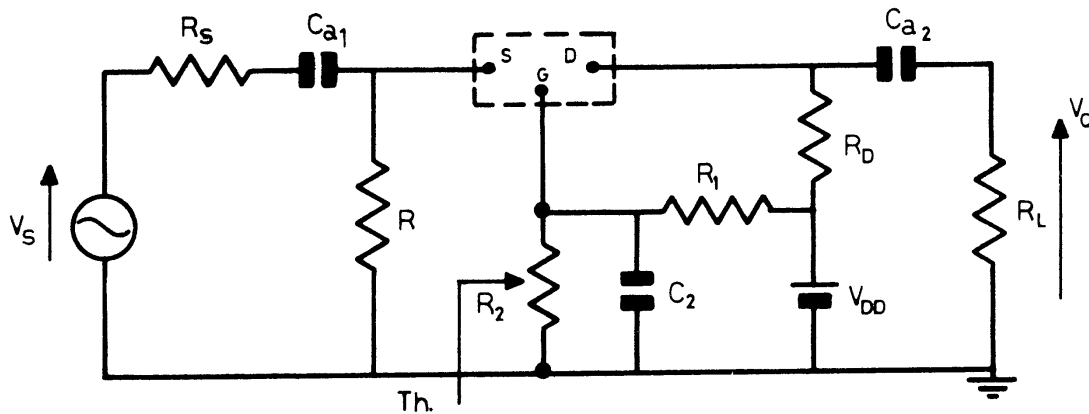
$$R_{iA} = \frac{R_G}{1 - K} ; \quad K = A_V \frac{R_B}{R_A + R_B} = 0,86 \frac{1409}{1500} = 0,81$$

$$R_{iA} = \frac{R_G}{1 - 0,81} = \frac{2,2 \text{ M}\Omega}{0,19} \approx 11,6 \text{ M}\Omega$$

$$A_{VS} = A_V \frac{R_{iA}}{R_{iA} + R_S} = 0,86 \frac{11,6 \text{ M}\Omega}{(11,6 + 1) \text{ M}\Omega} \approx 0,79$$

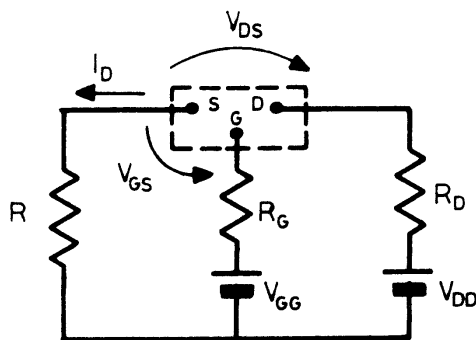
## 3.6. COMPUERTA COMUN :

Sea la siguiente configuración :



Circuito de continua :

Aplicando THEVENIN en el sentido de la flecha se tiene :



$$R_G = R_1 \parallel R_2$$

$$V_{GG} = V_{DD} \frac{R_2}{R_1 + R_2}$$

Es :  $V_{GS} = V_{GG} - I_D \cdot R$  , despreciando la caída en  $R_G$

Definimos el factor de amplificación de tensión  $\mu$  como :

$$\mu = - \left. \frac{\partial v_{DS}}{\partial v_{GS}} \right|_{\Delta i_D = 0} = - \left. \frac{v_{ds}}{v_{gs}} \right|_{I_{DQ} = \text{cte}} \quad \{3.25.\}$$

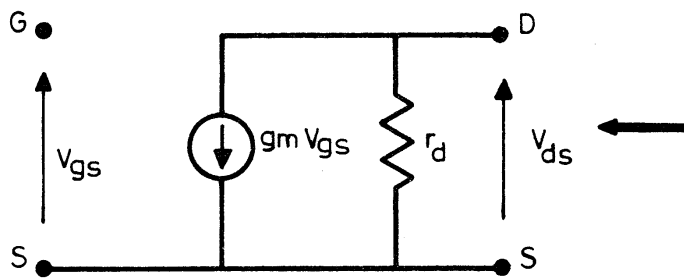
de la {3.13.}

$$\frac{v_{ds}}{v_{gs}} = - g_m \cdot r_d \quad \text{con la salida abierta para la señal. } (i_d = 0)$$

$$\mu = - \left. \frac{v_{ds}}{v_{gs}} \right|_{i_d = 0} = g_m \cdot r_d$$

$$\mu = g_m \cdot r_d \quad \{3.26.\}$$

Partiendo de la FIGURA 3.11.



Aplicando THEVENIN en el sentido de la flecha :

$$V_T = -g_m \cdot V_{gs} \cdot r_d = -\mu \cdot V_{gs}$$

$$r_T = r_d$$

Se puede hacer el siguiente circuito equivalente :

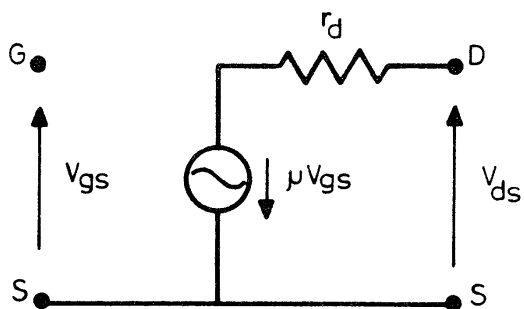


FIGURA 3.14.

Análisis de baja señal :

Empleando el modelo dinámico recientemente obtenido para la configuración de compuerta común :

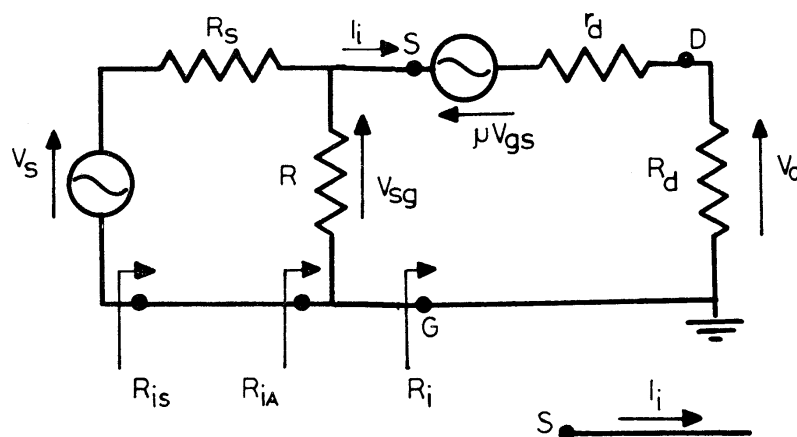
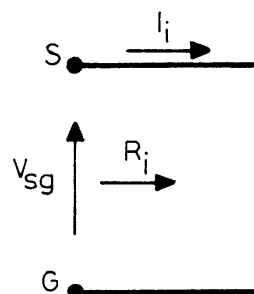


FIGURA 3.15.

Resistencia de entrada :

$$R_i = \frac{V_{sg}}{I_i}$$

Recorriendo la malla entre S y G :



$$V_{sg} = \mu \cdot V_{gs} + I_i (r_d + R_d) \quad \text{como } V_{gs} = -V_{sg} \text{ resulta :}$$

$$V_{sg} (\mu + 1) = I_i (r_d + R_d)$$

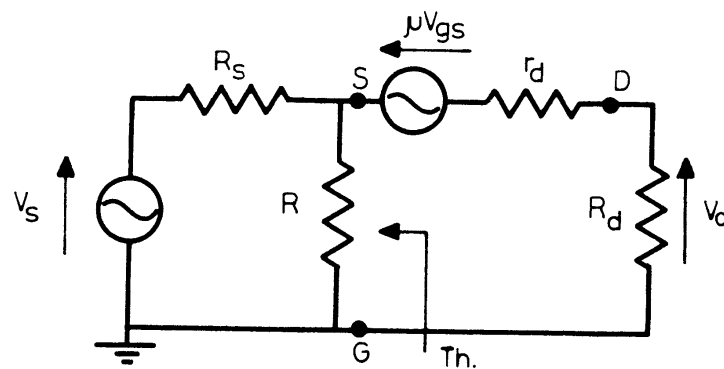
$$\frac{V_{sg}}{I_i} = \frac{r_d + R_d}{(\mu + 1)} \quad ; \quad \text{queda} \quad R_i = \frac{r_d + R_d}{(\mu + 1)} \quad \{3.27.\}$$

$$R_{iA} = R \parallel R_i \quad R_{iA} = R \parallel \left( \frac{r_d + R_d}{(\mu + 1)} \right)$$

$$R_{iS} = R_S + R_{iA} \quad R_{iS} = R_S + R \parallel \left( \frac{r_d + R_d}{(\mu + 1)} \right)$$

Resistencia de salida :

Sea el circuito siguiente :



Aplicando THEVENIN en el sentido de la flecha se tiene :

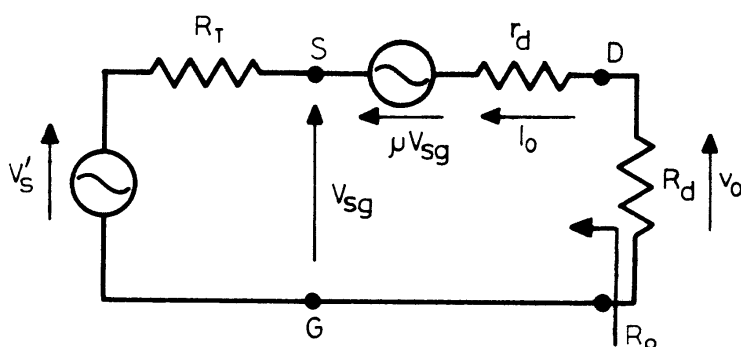


FIGURA 3.16.

Donde :

$$R_T = R_S \parallel R \quad \text{y} \quad V'_S = V_S \frac{R}{R + R_S}$$

De la FIGURA 3.16.

$$R_O = \frac{V_O}{I_O}$$

Recorriendo la malla de la FIGURA para  $V'_S = 0$  se tiene :

$$V_O = I_O \cdot r_d - \mu \cdot V_{gs} + V_{sg} = I_O \cdot r_d + \mu \cdot V_{sg} + V_{sg}$$

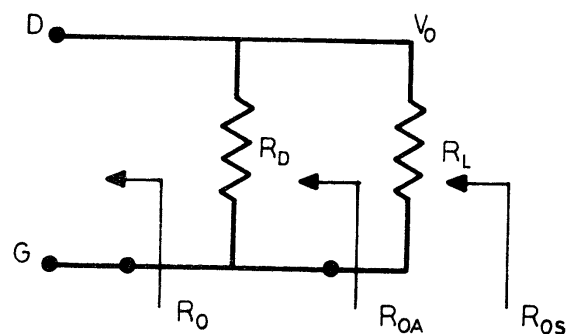
$$V_O = I_O \cdot r_d + (1 + \mu) V_{sg}$$

Como :

$$V_{sg} = I_O \cdot R_T \quad \text{se tiene :}$$

$$V_O = I_O \cdot r_d + (1 + \mu) I_O \cdot R_T = I_O (r_d + (1 + \mu) R_T)$$

$$R_O = \frac{V_O}{I_O} = r_d + (1 + \mu) R_T \quad \{3.28.\}$$



$$R_{OA} = R_O \parallel R_D$$

$$R_{Os} = R_{OA} \parallel R_L$$

Amplificación de tensión  $A_V$  :

$$A_V = \frac{V_O}{V_{sg}}$$

De la FIGURA 3.15. es :

$$V_O = I_i \cdot R_d$$

A su vez se tiene :

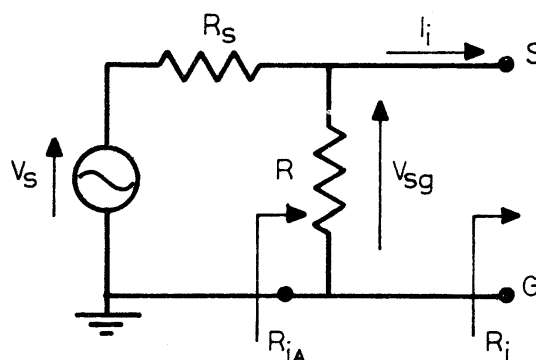


FIGURA 3.17.

Donde :

$$I_i = \frac{V_{sg}}{R_i}$$

Reemplazando :

$$V_O = \frac{V_{sg}}{R_i} R_d$$

$$A_V = \frac{R_d}{R_i}$$

Como :

$$R_i = \frac{r_d + R_d}{(\mu + 1)} \quad \{3.29.\}$$

Reemplazando :

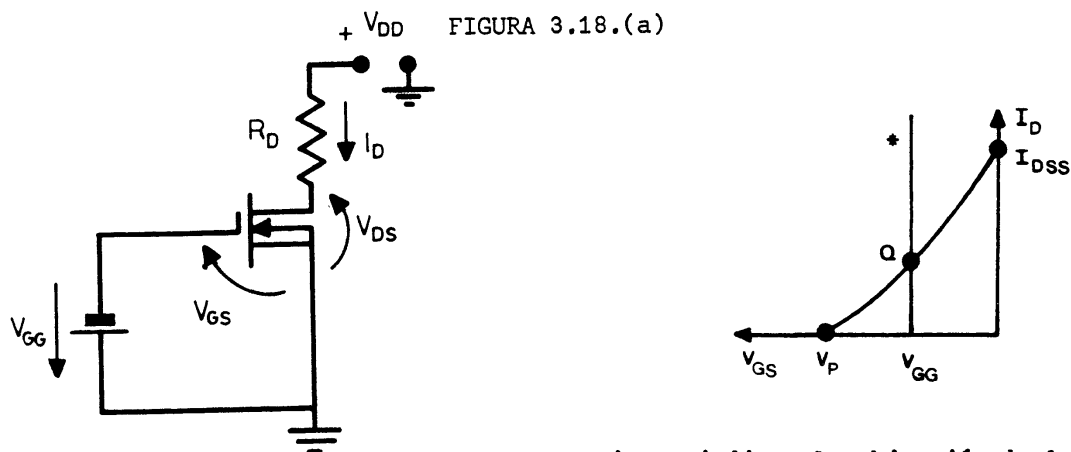
$$A_V = \frac{R_d (\mu + 1)}{r_d + R_d} \quad \{3.30.\}$$

$$A_{V_S} = \frac{V_O}{V_S} = \frac{V_O}{V_{sg}} \cdot \frac{V_{sg}}{V_S} = \frac{R_d}{R_i} \cdot \frac{R_{iA}}{R_S + R_{iA}}$$

$$A_{V_S} = \frac{R_d}{R_i} \cdot \frac{R_{iA}}{R_S + R_{iA}} \quad \{3.31.\}$$

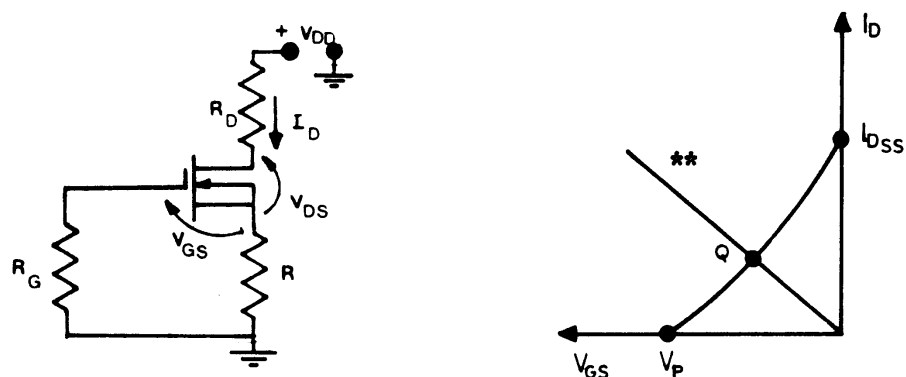
### 3.7. ANALISIS GRAFICO DE LA POLARIZACION DEL FET :

Básicamente los circuitos de polarización son :



\* Es  $V_{GS} = -V_{GG}$  , Los asteriscos indican la ubicación de la recta de polarización sobre la característica de transferencia.

FIGURA 3.18.(b)



\*\*  $V_{GS} = -I_D \cdot R$  ,

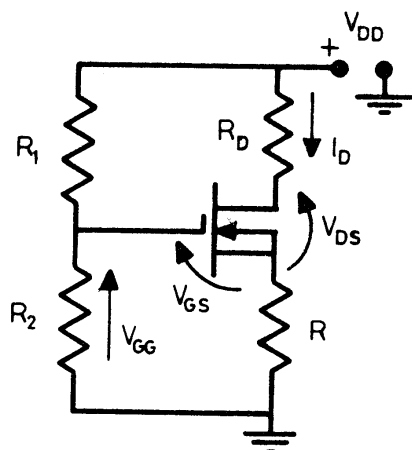
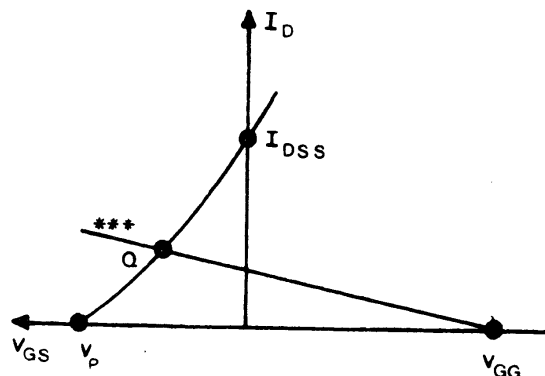


FIGURA 3.18.(c)



$$*** \quad V_{GS} = V_{GG} - I_D \cdot R$$

Sólo hemos polarizado transistores unipolares conociendo  $V_P$  e  $I_{DSS}$ .  
En la práctica se plantea el siguiente problema, por ejemplo :

2 A 243 (J-FET)	Máximo	Típico	Mínimo	Unidad	CANAL N
$I_{DSS}$	6,5		2	mA	
$V_P$	- 8		- 0,5	V	

Significa que sobre la característica de transferencia hay dispersión en  $V_P$  e  $I_{DSS}$ , según la FIGURA 3.19.

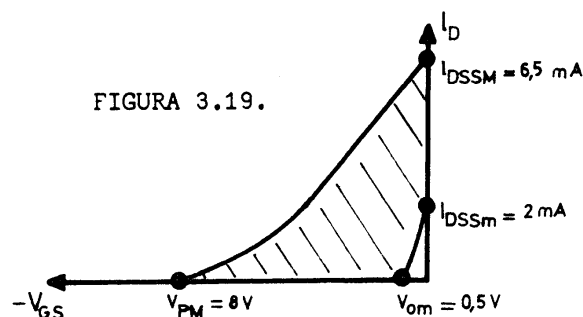


FIGURA 3.19.

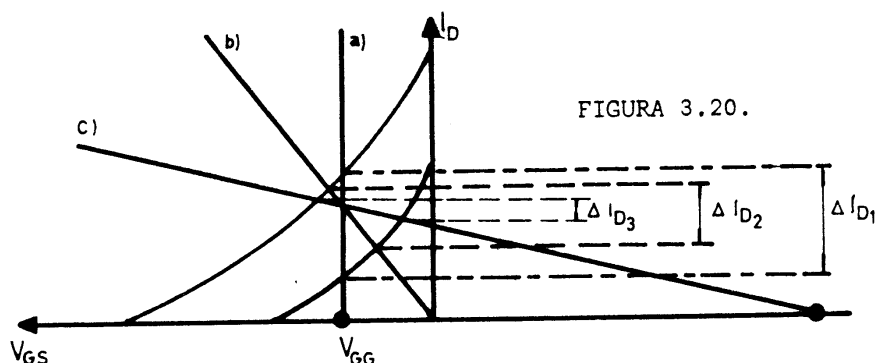
La zona rayada representa posibles parábolas de transistores en una partida grande.

O sea que un transistor 2 A 243 puede tener su característica de transferencia dentro de la zona rayada.

Veamos el comportamiento de los circuitos de polarización de la FIGURA 3.18. frente a las dispersiones .

La recta vertical corresponde al circuito (a), de polarización fija.  $\Delta I_D$ , representa la diferencia  $I_{DQ_M} - I_{DQ_m}$  que puede obtenerse si se utilizan dos transistores con características máximas y mínimas en dicha configuración.

La recta que pasa por el origen corresponde al circuito (b), con autopolarización. Observamos que  $\Delta I_{D2} < \Delta I_{D1}$ .



La recta desplazada del origen corresponde al circuito (c), con polarización flotante : divisor  $R_1$ ,  $R_2$  y  $R$ . observamos que  $\Delta I_{D3} < \Delta I_{D2}$ .

Concluimos diciendo que el circuito con divisor de tensión es el que más estabiliza el punto Q frente a dispersión en los parámetros estáticos del FET.

Para obtener menor  $\Delta I_{D2}$  puede aumentarse  $R$ . Esto trae aparejado una disminución de  $I_{DQ}$ .

Ejemplo :

Polarizar el 2A243 con  $I_{DQ} = 1 \text{ mA}$ ,  $\frac{\Delta I_D}{I_{DQ}} \leq 25 \%$

Se adopta el circuito (c).

Si se diseña la polarización de un J-FET debe ser :

$I_{DM} \leq I_{DSSm}$ , puesto que si hacemos inversa la desigualdad y se construye el circuito con un transistor que tenga características de corriente mínima éste se deteriora.

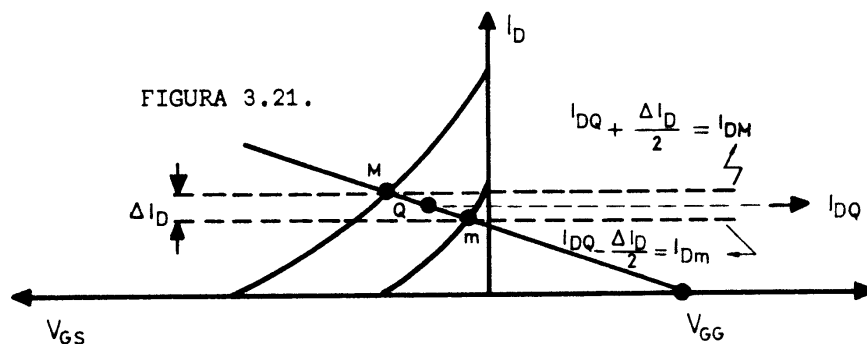
Es debido a que le corresponderá de acuerdo con el cálculo un valor de  $V_{GS} > 0$  (en canal N).

En el caso del MOSFET debe ser :  $I_{DM} \leq I_{D(ON)mín}$

Análisis de los datos :

$$\Delta I_D \approx 0,25 \cdot I_{DQ} = 0,25 \cdot 1 \text{ mA} = 0,25 \text{ mA}$$

Gráficamente :



$$I_{DM} = 1 \text{ mA} + \frac{0,25 \text{ mA}}{2} = 1,125 \text{ mA}$$



$$I_{D_m} = 1 \text{ mA} - \frac{0,25 \text{ mA}}{2} = 0,875 \text{ mA}$$

$I_{D_M}$  es la corriente de reposo que circulará por un transistor que tenga características máximas .

$I_{D_m}$  es la corriente de reposo del transistor de  $V_{P_{\min}}$  e  $I_{DSS_{\min}}$  .

Calculamos :

$$V_{GS_M} = V_{P_M} \left( 1 - \sqrt{\frac{I_{D_M}}{I_{DSS_M}}} \right) = -8 \text{ V} \left( 1 - \sqrt{\frac{1,125}{6,5}} \right) = -4,672 \text{ V}$$

$$V_{GS_m} = V_{P_m} \left( 1 - \sqrt{\frac{I_{D_m}}{I_{DSS_m}}} \right) = -0,5 \left( 1 - \sqrt{\frac{0,875}{2}} \right) = -0,169 \text{ V}$$

Básicamente el cálculo del circuito consiste en determinar  $V_{GG}$  y  $R$

De la recta (c), de interés :

$$V_{GG} = I_D \cdot R + V_{GS}$$

En el punto M :

$$V_{GG} = I_{D_M} \cdot R + V_{GS_M}$$

En el punto m :

$$V_{GG} = I_{D_m} \cdot R + V_{GS_m}$$

Restando miembro a miembro se obtiene :

$$R = \frac{V_{GS_m} - V_{GS_M}}{I_{D_M} - I_{D_m}} = \frac{4,672 \text{ V} - 0,169 \text{ V}}{1,125 \text{ mA} - 0,875 \text{ mA}} = \frac{4,5 \text{ V}}{0,25 \text{ mA}} = 18 \text{ K}\Omega$$

En el punto M por ejemplo :

$$V_{GG} = I_{D_M} \cdot R + V_{GS_M} = 1,125 \text{ mA} \cdot 18 \text{ K}\Omega + (-4,672 \text{ V}) \approx 15,58 \text{ V}$$

Cálculo de  $V_{DD}$  :

Recorriendo la malla de drenaje :

$$V_{DD} = V_{DS} + I_D (R_D + R)$$

Por ejemplo  $R_D = 1,5 \text{ K}\Omega$

Para evaluar  $V_{DS}$  calculamos :

$$|V_{P_M}| - |V_{GS_M}| = 8 \text{ V} - 4,672 \text{ V} = 3,33 \text{ V}$$

$$|V_{P_m}| - |V_{GS_m}| = 0,5 \text{ V} - 0,17 \text{ V} = 0,33 \text{ V}$$

$V_{DS}$  debe superar 3,33 V . Por ejemplo se toma  $V_{DS} = 4$  V

$$V_{DD} = 4 \text{ V} + 1 \text{ mA} (1,5 \text{ K}\Omega + 18 \text{ K}\Omega) = 23,5 \text{ V}$$

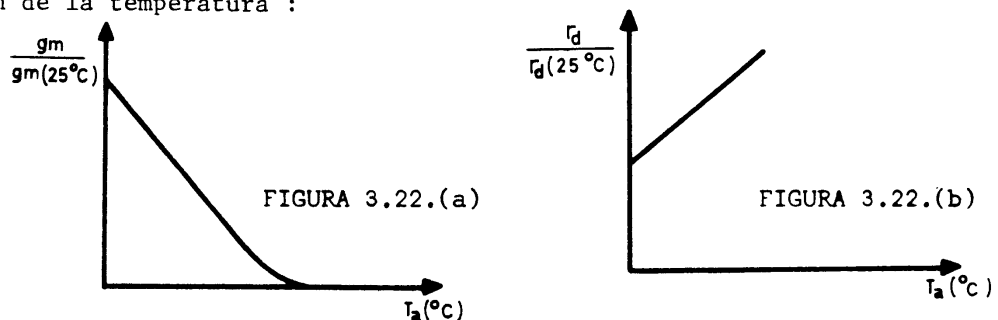
Se adopta 24 V.

Notemos la fuerte incidencia de  $I_D$  .  $R = 1 \text{ mA} \cdot 18 \text{ K}\Omega = 18 \text{ V}$  en el dimensionamiento de la fuente de alimentación  $V_{DD}$  .

Usualmente se admite mayor  $\Delta I_D / I_{DQ}$  pues el valor especificado es exigente para un amplificador de bajo nivel.

### 3.7.1. DEPENDENCIA CON LA TEMPERATURA :

En las FIGURAS 3.22.(a). y 3.22.(b)., se dan las variaciones de  $g_m$  y  $r_d$  en función de la temperatura :



Las magnitudes en estos gráficos pueden representarse en forma relativa o absoluta.

La corriente  $I_D$  varía en la misma forma que  $g_m$  .

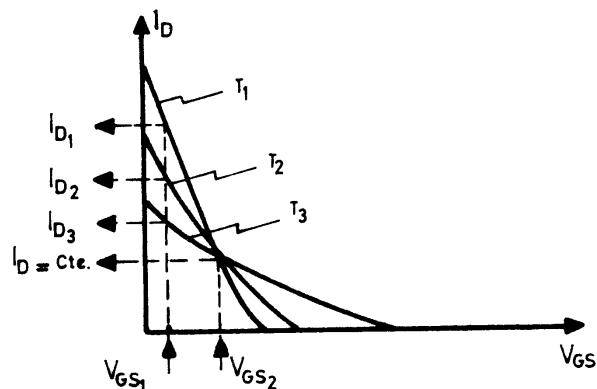
La razón principal por la cual  $I_D$  disminuye con el aumento de la temperatura es porque disminuye la movilidad de los portadores en el canal, con el aumento de ésta.

Como en el transistor unipolar la corriente de portadores mayoritarios disminuye con la temperatura, el fenómeno de Corrida Térmica no se presenta en éstos.

### 3.7.2. INFLUENCIA DE LA TEMPERATURA SOBRE $I_D$ (VACIAMIENTO):

La FIGURA 3.23. muestra la dependencia de las características de transferencia con la temperatura.

FIGURA 3.23.



Observamos que para  $V_{GS1}$  , cuando

$$\begin{array}{lcl} T = T_1 & \text{-----} & I_D = I_{D_1} \\ T = T_2 & \text{-----} & I_D = I_{D_2} \\ T = T_3 & \text{-----} & I_D = I_{D_3} \end{array}$$

En cambio cuando  $V_{GS} = V_{GS_2}$  para cualquiera de las tres temperaturas indicadas es

$$I_D = \text{cte}$$

O sea que se puede polarizar el transistor unipolar en el modo de vaciamiento, de manera que  $I_D$  no varíe con la temperatura.

Se ha comprobado que :

$$\frac{\Delta I_D}{\Delta T} \% = - 0,7 I_D \% \quad \{3.32.\}(a)$$

$$\frac{\Delta V_{GS}}{\Delta T} \% = - 2,2 \frac{\text{mV}}{^\circ\text{C}} \quad \{3.32.\}(b)$$

Dado que un  $\Delta V_{GS}$  provoca un  $\Delta I_D = g_m \cdot \Delta V_{GS}$  , y

$$\frac{\Delta I_D}{\Delta T} = g_m \frac{\Delta V_{GS}}{\Delta T} \quad \{3.33.\}$$

Reemplazando en la {3.33.} las {3.32.} (a) y (b)

$$0,007 |I_D| = 0,0022 \cdot g_m \quad \{3.34.\}$$

Operando :

$$\frac{|I_D|}{g_m} = 0,314$$

Sabemos que :

$$I_D = I_{DSS} \left(1 - \frac{V_{GS}}{V_P}\right)^2, \text{ y que :}$$

$$g_m = g_{m_0} \left(1 - \frac{V_{GS}}{V_P}\right), \text{ a su vez :}$$

$$g_{m_0} = -2 \frac{I_{DSS}}{V_P} \quad \text{sustituyendo en la } \{3.34.\}:$$

$$\begin{aligned} 0,007 \cdot \cancel{I_{DSS}} \left(1 - \frac{V_{GS}}{V_P}\right) &= (0,0022) (-2) \frac{\cancel{I_{DSS}}}{V_P} \left(1 - \frac{V_{GS}}{V_P}\right) \\ 0,007 \frac{V_P - V_{GS}}{V_P} &= -0,0044 \frac{1}{V_P} \end{aligned}$$

Resulta :

$$|V_P| - |V_{GS}| = \frac{0,0044}{0,007} \approx 0,63 \text{ V}$$

$$|V_P| - |V_{GS}| \approx 0,63 \text{ V} \quad \{3.35.\}$$

Expresión que nos permite calcular  $V_{GS}$  (suponiendo conocido  $V_P$ ) para el cual  $I_D = \text{cte.}$  Ver ecuación {3.35.}. La constancia será tanto mayor cuanto más se acerque la variación de  $I_D$  y  $V_{GS}$  en función de  $T$  en nuestro transistor respecto de los valores estadísticos con los cuales se partió {3.32.} y {3.33.}.

En forma simple podemos calcular  $I_D$  y  $g_m$  para estas condiciones :

$$I_D = I_{DSS} \left( \frac{0,63}{V_P} \right)^2 \quad \{3.36.\}$$

$$g_m = g_{m_0} \frac{0,63}{|V_P|} \quad \{3.37.\}$$

A partir de los cuales y con las especificaciones del proyecto podemos polarizar una etapa, obteniendo una desviación mínima en función de la temperatura. Los parámetros  $g_{m_0}$ ,  $V_P$  e  $I_{DSS}$  que se introducen anteriormente deber ser los correspondientes a 25 °C.

La autocompensación se materializa prácticamente si se conoce  $I_{DSS}$  y  $V_P$  del transistor a compensar, no usando los datos del manual.

Ejemplo ;

Se desea polarizar la etapa de la FIGURA 3.12. para  $I_D \approx \text{cte.}$  Suponer  $R_D = 10 \text{ K}\Omega$ ,  $R_L = 100 \text{ K}\Omega$

Determinar:

$$I_D, V_{GS}, R_S, A_V, R_G$$

Teníamos:

$$I_{DSS} \Big|_{25^\circ \text{C}} = 1,60 \text{ mA} \quad \therefore \quad I_D = 1,60 \left( \frac{0,63}{2} \right)^2 \approx 0,16 \text{ mA}$$

$$V_{GS} = V_P \left( 1 - \sqrt{\frac{I_D}{I_{DSS}}} \right) = -2 \left( 1 - \frac{0,16}{1,6} \right) = -1,37 \text{ V}$$

$$R = - \frac{V_{GS}}{I_D} = \frac{1,37}{0,165} = 8,3 \text{ K}\Omega \quad \text{Se pone un potenciómetro de ajuste de } 15 \text{ K}\Omega$$

$$g_m = g_{m_0} \frac{0,63}{|V_P|} = 1,60 \frac{0,63}{2} = 0,50 \text{ mV}$$

$$A_V = -g_m \cdot R_d = -0,50 \text{ mV} \cdot 9,1 \text{ K}\Omega = -4,55$$

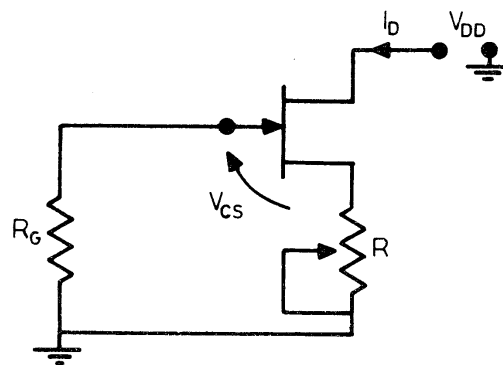
Componiendo resultados :

	$I_D = f(T)$	$I_D = \text{cte}$
$g_m$ (mV)	1,13	0,50
$A_V$	10	4,55

Observamos que  $g_m$  y  $A_V$  se redujeron en el orden de un 50 % a expensas de tener  $I_D = \text{cte}$ .

Pensemos en que lograr  $I_D = \text{cte}$  es un criterio de polarización en el proyecto de un amplificador unipolar.

Si el requisito de  $I_D = \text{cte}$  es muy riguroso, podemos lograrlo con un ajuste final en laboratorio, modificando exteriormente la temperatura del transistor y midiendo  $I_D$ , haciendo  $R$  variable hasta lograr la compensación.



## CAPITULO 4

## SUB CIRCUITOS

## 4.1. INTRODUCCION :

Uno de los subcircuitos más importantes es el constituido por el AD. Sea el gráfico de la FIGURA 4.1., en el cual se tiene una reproducción esquemática de un amplificador diferencial (AD).

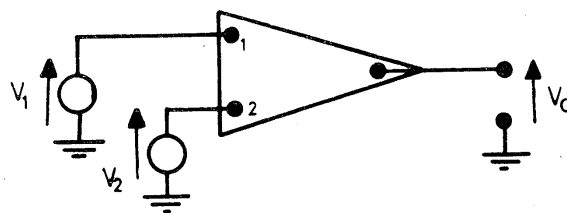


FIGURA 4.1.

Se define la tensión de entrada de modo diferencial del AD como :

$$V_d = V_2 - V_1 \quad \{4.1.\}$$

Se define la tensión de entrada de modo común del AD como :

$$V_C = \frac{V_1 + V_2}{2} \quad \{4.2.\}$$

El AD presenta dos ganancias distintas que están vinculadas con las señales {4.1.} ó {4.2.}.

Presenta una "ganancia de tensión diferencial"  $A_{V_d}$  cuando amplifica la tensión de entrada de modo diferencial  $V_d$  y presenta una "ganancia de tensión común"  $A_{V_C}$  cuando amplifica la tensión de entrada de modo común  $V_C$ .

La tensión de salida  $V_0$  se obtiene como la superposición de dos tensiones de salida, una diferencial  $V_{0d}$  y otra común  $V_{0C}$ .

Es decir :

$$V_0 = V_{0d} + V_{0C} \quad \{4.3.\}$$

Por otra parte :

$$V_{O_d} = A_{V_d} \cdot V_d \quad \{4.4.\}$$

$$V_{O_c} = A_{V_c} \cdot V_c \quad \{4.5.\}$$

Si  $V_2 > V_1$  se supone que  $V_O$  está en contrafase con  $V_d = V_2 - V_1$  y por lo tanto que  $A_{V_d}$  tiene un valor numérico negativo.

$$V_O = A_{V_d} \cdot V_d + A_{V_c} \cdot V_c \quad \{4.6.\}$$

Se busca que la señal de salida  $V_O$  sea proporcional a la señal diferencial  $V_d$ .

Por lo tanto se busca minimizar el término  $A_{V_d} \cdot V_c$ .

Para ello se hace  $A_{V_d} \gg A_{V_c}$ .

Se define a :

$$\rho = \frac{A_{V_d}}{A_{V_c}} \quad \{4.7.\} \quad \text{como la relación de rechazo de modo común (CMRR)}$$

Es decir que conviene que  $\rho$  sea grande para obtener  $A_{V_d} \gg A_{V_c}$

De {4.7.} se obtiene :

$$A_{V_c} = \frac{A_{V_d}}{\rho} \quad \{4.8.\}$$

Reemplazando en {4.6.} se tiene :

$$V_O = A_{V_d} \cdot V_d + A_{V_d} \frac{V_c}{\rho}$$

$$V_O = A_{V_d} \left( V_d + \frac{V_c}{\rho} \right) \quad \{4.9.\}$$

### Ejemplos;

a)  $V_2 = 80 \text{ mV} \quad V_1 = 20 \text{ mV} \quad A_{V_d} = -10 \quad \rho = 20 \text{ dB}$

$V_d = V_2 - V_1 = 80 - 20 = 60 \text{ mV} \quad \rho = 10 \text{ veces}$

$$V_c = \frac{V_1 + V_2}{2} = \frac{20 + 80}{2} = \frac{100}{2} = 50 \text{ mV}$$

$$V_O = -10 \left( 60 \text{ mV} + \frac{50 \text{ mV}}{10} \right) = -10 (65 \text{ mV}) = -650 \text{ mV}$$

Nuestro objetivo era obtener una  $V_O = V_{O_d} = -10 \cdot 60 \text{ mV} = -600 \text{ mV}$

Hay un error de 50 mV.

b) Subamos el valor de  $\rho$ . Hagamos  $\rho = 100 \text{ dB}$

Entonces  $\rho = 100.000 \text{ veces}$ .

$$V_O = -10 \left( 60 \text{ mV} + \frac{50 \text{ mV}}{100000} \right) = -10 (60,0005 \text{ mV}) = -600,005 \text{ mV}$$

Prácticamente no hay error.

c)  $V_2 = 80 \text{ mV}$        $V_1 = 0$        $A_{V_d} = -10$        $\rho = 40 \text{ dB}$

$$V_d = V_2 - V_1 = 80 \text{ mV} \quad \rho = 100 \text{ veces}$$

$$V_C = \frac{0 + 80}{2} = 40 \text{ mV}$$

$$V_O = -10 \left( 80 \text{ mV} + \frac{40 \text{ mV}}{100} \right) = -10 (80 \text{ mV} + 0,4 \text{ mV}) = -804 \text{ mV}$$

En lugar de  $-800 \text{ mV}$ .

d)  $V_2 = 0$        $V_1 = 80 \text{ mV}$        $A_{V_d} = -10$        $\rho = 60 \text{ dB}$

$$V_d = V_2 - V_1 = 0 - 80 \text{ mV} = -80 \text{ mV} \quad \rho = 1000 \text{ veces}$$

$$V_C = \frac{0 + 80}{2} = 40 \text{ mV}$$

$$V_O = -10 \left( -80 \text{ mV} + \frac{40 \text{ mV}}{1000} \right) = -10 (-80 \text{ mV} + 0,04 \text{ mV}) = 799,6 \text{ mV}$$

En lugar de  $800 \text{ mV}$ .

e)  $V_2 = 60 \text{ mV}$        $V_1 = -20 \text{ mV}$        $A_{V_d} = -10$        $\rho = 80 \text{ dB}$

$$V_d = V_2 - V_1 = (60 - (-20)) \text{ mV} = 80 \text{ mV} \quad \rho = 10000 \text{ veces}$$

$$V_C = \frac{V_1 + V_2}{2} = \frac{-20 + 60}{2} = 20 \text{ mV}$$

$$V_O = -10 \left( 80 \text{ mV} + \frac{20 \text{ mV}}{10000} \right) = -10 (80 + 0,002) = -800,02 \text{ mV}$$

f)  $V_2 = 50 \text{ mV}$        $V_1 = -50 \text{ mV}$        $A_{V_d} = -10$        $\rho = 80 \text{ dB}$



$$V_d = V_2 - V_1 = 100 \text{ mV} \quad V_C = \frac{50 - 50}{2} = 0$$

$$V_O = -A_{V_d} \cdot V_d = -1 \text{ V}$$

g)

$$V_2 = 50 \text{ mV} \quad V_1 = 50 \text{ mV} \quad A_{V_d} = -10 \quad \rho = 80 \text{ dB}$$

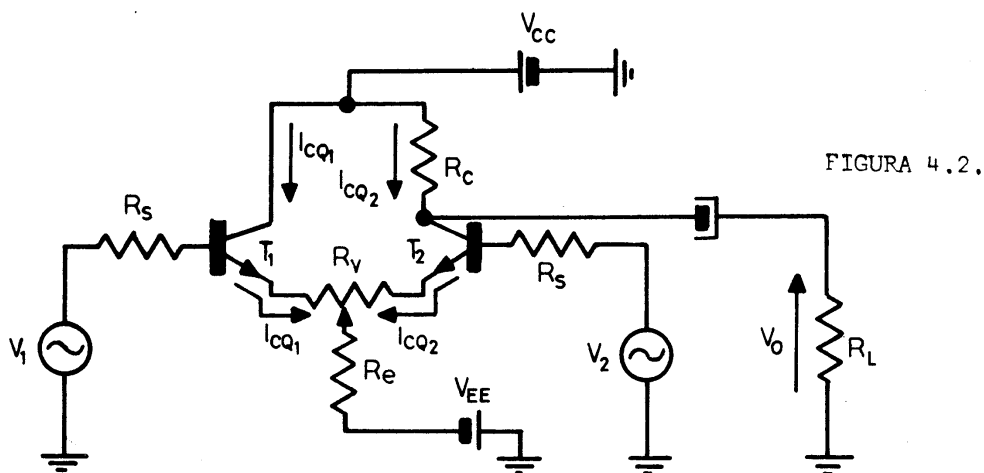
$$V_d = 0 \quad V_C = \frac{50 + 50}{2} = 50 \text{ mV} \quad \rho = 10000 \text{ veces}$$

$$V_O = -10 \left( 0 + \frac{50 \text{ mV}}{10000} \right) = -10 (0,005) = -0,05 \text{ mV}$$

Que es el error ya que  $V_O$  debería dar 0 V.

#### 4.1.1. EL AMPLIFICADOR DIFERENCIAL :

El circuito básico se observa en la FIGURA 4.2.



Como se ha visto se busca que la tensión de salida  $V_O$  sea proporcional a la diferencia entre las dos señales de entrada.

Si llamamos  $V_d = V_2 - V_1$  {4.1.}

Se busca que :

$$V_O = K \cdot V_d$$

En el caso de usar tecnología integrada  $T_1$  y  $T_2$  son cuasi iguales.

En el caso de usar tecnología discreta se usan  $T_1$  y  $T_2$  apareados.

Las corrientes de colector de continua de  $T_1$  y  $T_2$  dependen de la malla de entrada. Como ambas mallas de entrada son iguales en principio :

$$I_{CQ1} = I_{CQ2}$$

Cualquier diferencia entre los transistores  $T_1$  y  $T_2$  debido a distinto  $h_{FE}$  y distinto  $V_{BE}$  se compensa mediante el ajuste del control de balance  $R_V$ . El ajuste de  $R_V$  permite efectivamente hacer

$$I_{CQ1} = I_{CQ2} \quad \text{aunque los transistores } T_1 \text{ y } T_2 \text{ no sean exactamente iguales.}$$

#### 4.1.2. DETERMINACION DE $Q_1$ y $Q_2$ :

Se puede hacer la malla de polarización de la FIGURA 4.3.

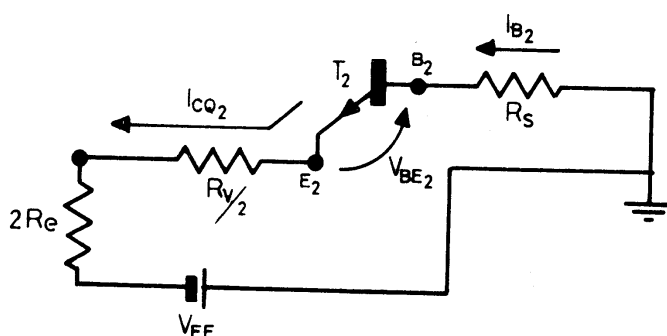


FIGURA 4.3.

$$V_{EE} = I_{B2} \cdot R_S + V_{BE2} + I_{CQ2} \left( 2 R_e + \frac{R_V}{2} \right)$$

$$I_{CQ2} = \frac{V_{EE} - V_{BE2}}{2 R_e + \frac{R_V}{2} + \frac{R_S}{h_{FE_T}}} \quad \{4.10\}$$

Se tomó una resistencia  $2 R_e$  en la FIGURA 4.3., ya que por  $R_e$  circula :

$(I_{CQ1} + I_{CQ2})$ . Como en la FIGURA 4.3., sólo se hace circular una corriente  $I_{CQ2}$  se duplicó la resistencia  $R_e$  para mantener constante la caída  $V_{Re}$ .

Para el transistor  $T_1$  se puede establecer una malla de entrada similar, lo que nos llevaría a una

$$I_{CQ1} = I_{CQ2} = I_{CQ}$$

Para determinar la  $V_{CEQ2}$  procedemos a hallar primero la  $V_{C2_T}$ , luego la  $V_{E2_T}$  y finalmente hacemos :

$$V_{CEQ2} = V_{C2_T} - V_{E2_T}$$

De la FIGURA 4.4., surge que :

$$V_{C2_T} = V_{CC} - I_{CQ} \cdot R_C \quad \{4.11.\}$$

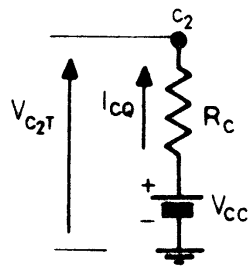


FIGURA 4.4.

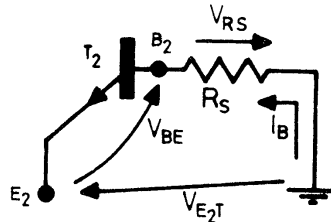


FIGURA 4.5.

De la FIGURA 4.5., surge :

$$V_{E2T} = -V_{BE} - I_B \cdot R_S \quad \{4.12.\}$$

$$V_{CEQ2} = V_{C2T} - V_{E2T} \quad \{4.13.\}$$

Para el transistor  $T_1$  :

$$V_{C1T} = V_{CC} \quad \{4.14.\}$$

$$V_{E1T} = -V_{BE} - I_B \cdot R_S \quad \{4.15.\}$$

$$V_{CEQ1} = V_{C1T} - V_{E1T} \quad \{4.16.\}$$

#### 4.1.3. ANALISIS CON SEÑALES DEBILES :

Hacemos el circuito dinámico correspondiente al circuito de la FIGURA 4.2. Se tiene la FIGURA 4.6.

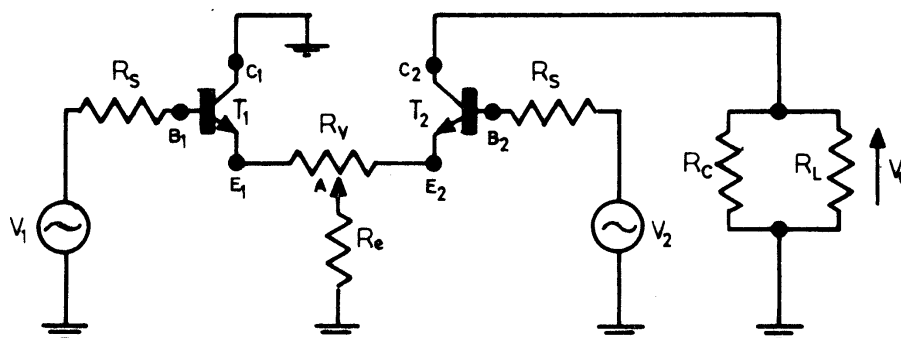


FIGURA 4.6.

Llamamos

$$R_d = R_C \parallel R_L$$

Hacemos un nuevo circuito reemplazando los transistores  $T_1$  y  $T_2$  por sus modelos equivalentes para baja señal, resultando la FIGURA 4.7.(a).

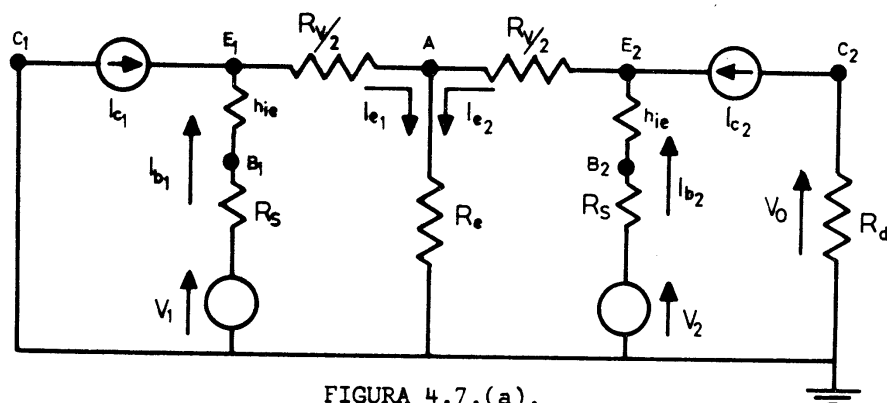


FIGURA 4.7.(a).

$$I_{c_1} = h_{fe} \cdot I_{b_1}$$

$$I_{c_2} = h_{fe} \cdot I_{b_2}$$

Se suponen transistores prácticamente iguales; que tienen el mismo  $h_{fe}$  y  $h_{ie}$ . Se subdivide el generador  $I_{C_2}$  en dos generadores. FIGURA 4.7.(b).

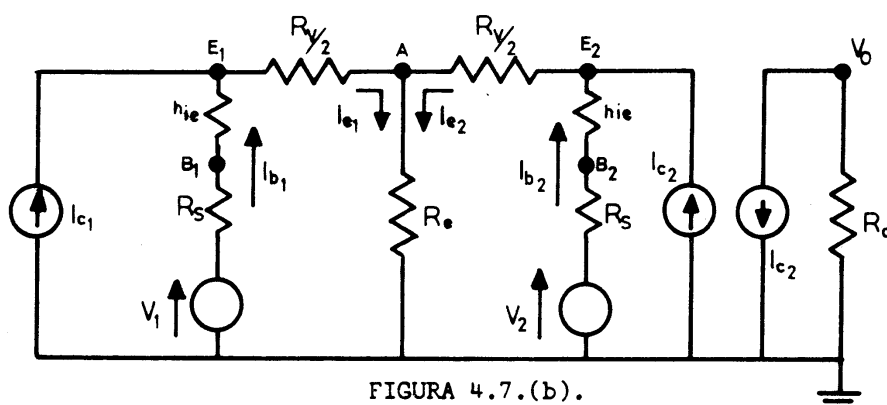


FIGURA 4.7.(b).

Se hace un nuevo circuito partiendo del anterior, en el cual todas las corrientes tengan el nivel de  $I_e$ . FIGURA 4.8.

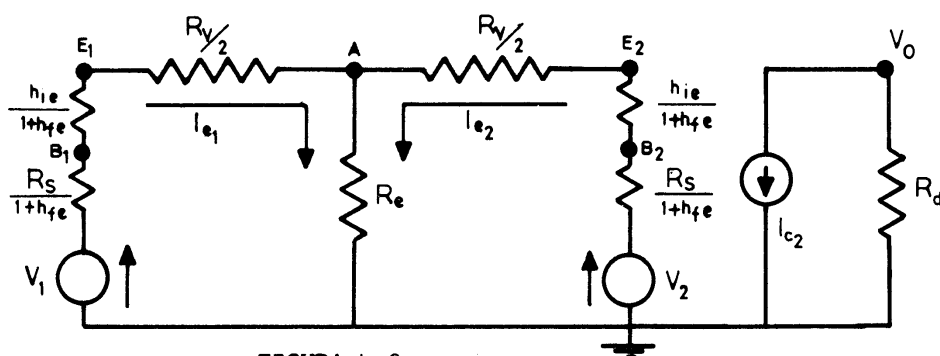


FIGURA 4.8.

Del circuito de la FIGURA 4.7.(b). se obtiene :

$$V_0 = -R_d \cdot I_{c2} \quad \{4.17.\}$$

Podemos expresar  $V_1$  y  $V_2$  en función de  $V_d$  y  $V_C$ . La FIGURA 4.9., sirve de ayuda :

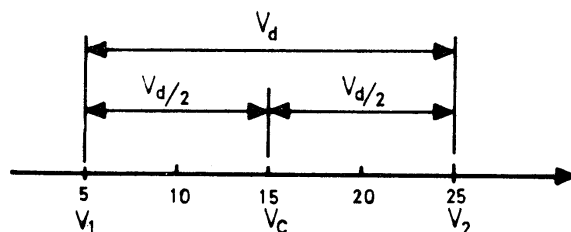


FIGURA 4.9.

Sea  $V_1 = 5 \text{ mV}$  y  $V_2 = 25 \text{ mV}$  Entonces :

$$V_d = V_2 - V_1 = 25 - 5 = 20 \text{ mV} \quad \text{y}$$

$$V_C = \frac{V_1 + V_2}{2} = \frac{5 + 25}{2} = 15 \text{ mV}$$

Las tensiones de entrada  $V_1$  y  $V_2$  se representan en función de  $V_d$  y  $V_C$ .

$$\left. \begin{aligned} V_2 &= V_C + \frac{V_d}{2} \\ V_1 &= V_C - \frac{V_d}{2} \end{aligned} \right\} \{4.18.\}$$

Entonces, el circuito equivalente de la FIGURA 4.8. se convierte en el de la FIGURA 4.10.

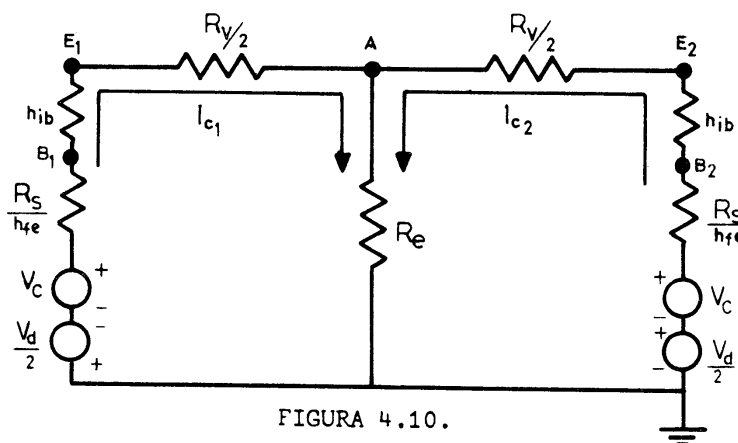


FIGURA 4.10.

Se ha hecho :

$$h_{ib} = \frac{h_{ie}}{1 + h_{fe}} \quad \text{y se ha introducido } I_c \text{ en lugar de } I_e$$

Se resuelve el circuito aplicando el principio de superposición.

Se calcula primero con las fuentes  $V_C$  ( $V_d = 0$ ) y luego con las fuentes  $\frac{V_d}{2}$  ( $V_C = 0$ ).

Luego se superponen los resultados.

En la FIGURA 4.11., se ha anulado la tensión de entrada de modo diferencial ( $V_d = 0$ )

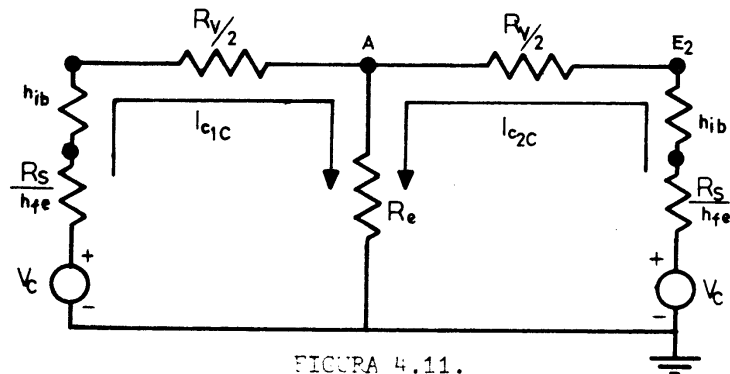


FIGURA 4.11.

Como :  $I_{c2C} = I_{c1C}$  se puede pasar al circuito de la FIGURA 4.12.

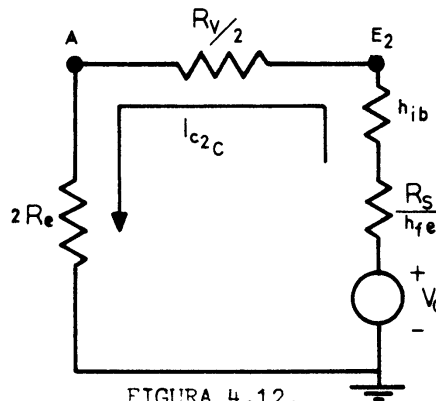


FIGURA 4.12.

En la FIGURA 4.11., la caída en  $R_e$  es :

$$V_e = R_e ( 2 I_{c2C} )$$

La misma caída se mantiene en el circuito de la FIGURA 4.12.

$$V_e = 2 R_e \cdot I_{c2C}$$

$$I_{c2C} = \frac{V_c}{2 R_e + \frac{R_V}{2} + h_{ib} + \frac{R_S}{h_{fe}}}$$

Los amplificadores diferenciales se proyectan haciendo

$$R_e \gg \left( \frac{R_V}{2} + h_{ib} + \frac{R_S}{h_{fe}} \right) . \quad \text{Luego se justificará .}$$

Por lo tanto :

$$I_{c2C} = \frac{V_C}{2 R_e} \quad \{4.19\}$$

En la FIGURA 4.13., se tiene el circuito que se obtiene a partir de la FIGURA 4.10. anulando la tensión de entrada de modo común ( $V_C = 0$ )

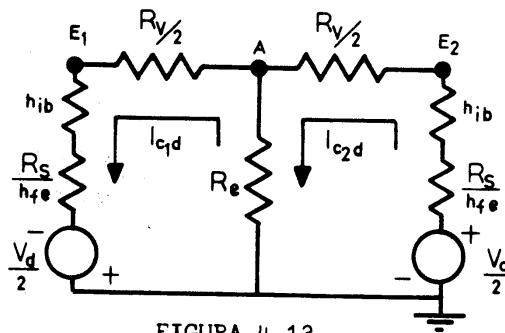


FIGURA 4.13.

Como  $I_{c1d} = I_{c2d}$  y ambas se oponen sobre  $R_e$  no se tiene caída de tensión sobre la resistencia  $R_e$ . Podemos hacer un circuito equivalente diferencial. FIGURA 4.14.

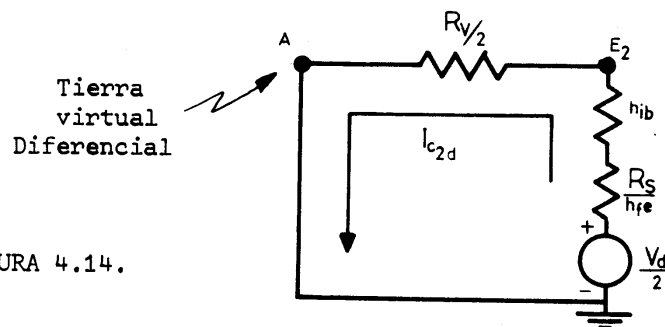


FIGURA 4.14.

El punto A en realidad no está conectado a tierra {entre A y tierra se tiene a  $R_e$ }. Pero el punto A está al potencial de tierra : se dice que se tiene una tierra virtual diferencial.

$$I_{c2d} = \frac{V_d}{2 \left( \frac{R_v}{2} + h_{ib} + \frac{R_s}{h_{fe}} \right)} \quad \{4.20.\}$$

Cálculo de la corriente total de colector.

$$I_{c2} = I_{c2d} + I_{c2C}$$

$$I_{c2} = \frac{V_d}{2 \left( \frac{R_v}{2} + h_{ib} + \frac{R_s}{h_{fe}} \right)} + \frac{V_C}{2 R_e} \quad \{4.21.\}$$

De la ecuación {4.17.} :

$$V_O = - I_{c2} \cdot R_d \quad \text{se obtiene :}$$

$$V_O = \frac{- R_d \cdot V_d}{2 \left( \frac{R_V}{2} + h_{ib} + \frac{R_S}{h_{fe}} \right)} + \frac{- R_d \cdot V_C}{2 R_e} \quad \{4.22.\}$$

El primer término del segundo miembro representa la tensión de salida diferencial, y el segundo término del segundo miembro representa la tensión de salida de modo común.

$$V_O = V_{Od} + V_{Oc} \quad \{4.23.\}$$

Por lo tanto :

$$V_{Od} = \frac{- R_d \cdot V_d}{2 \left( \frac{R_V}{2} + h_{ib} + \frac{R_S}{h_{fe}} \right)} \quad \text{y} \quad V_{Oc} = \frac{- R_d \cdot V_C}{2 R_e} \quad \{4.24.\}$$

De las fórmulas {4.24.} se pueden obtener las ganancias de modo común y de modo diferencial.

$$A_{Vd} = \frac{V_{Od}}{V_d} = \frac{- R_d}{2 \left( \frac{R_V}{2} + h_{ib} + \frac{R_S}{h_{fe}} \right)} \quad \{4.25.\}$$

$$A_{Vc} = \frac{V_{Oc}}{V_C} = \frac{- R_d}{2 R_e} \quad \{4.26.\}$$

Reemplazando en la ecuación {4.22.} se tiene :

$$V_O = A_{Vd} \cdot V_d + A_{Vc} \cdot V_C \quad \{4.27.\}$$

$$V_O = A_{Vd} \cdot V_d \left( 1 + \frac{A_{Vc} \cdot V_C}{A_{Vd} \cdot V_d} \right)$$

$$V_O = A_{Vd} \cdot V_d \left( 1 + \frac{V_C / V_d}{A_{Vd} / A_{Vc}} \right) \quad \{4.28.\}$$

Hacemos :

$$\rho = \frac{A_{Vd}}{A_{Vc}} \quad \{4.29.\} \quad \text{y reemplazando en } \{4.28.\}$$

$$V_O = A_{Vd} \cdot V_d \left( 1 + \frac{V_C / V_d}{\rho} \right) \quad \{4.30.\}$$



Si  $\rho$  es muy grande se observa que el amplificador real se aproxima al amplificador diferencial ideal.

Si  $\rho \rightarrow \infty$   $V_0 \approx A V_d \cdot V_d$  (Amplificador diferencial ideal).

$\rho$  es la relación de rechazo de modo común, ya mencionada.

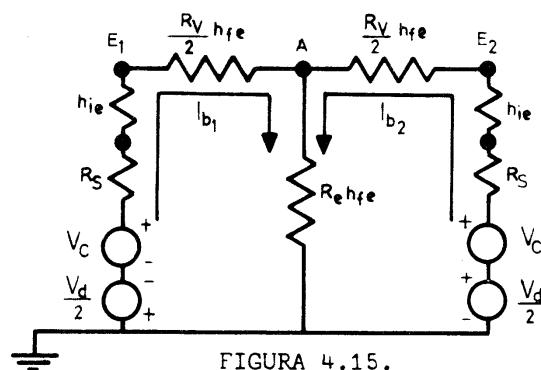
Reemplazando en la ecuación {4.29.} las ecuaciones {4.25.} y {4.26.} :

$$\rho = \frac{R_e}{\frac{R_V}{2} + h_{ib} + \frac{R_S}{h_{fe}}} \quad \{4.31.\}$$

En la FIGURA 4.10. teníamos el circuito diferencial con nivel de corriente  $I_c$ .  
Se hace ahora un circuito con el nivel de corriente  $I_c$ .

Se hace ahora un circuito con nivel de corriente  $I_b$ .

En la FIGURA 4.15. se tiene el circuito de entrada del amplificador diferencial.



Se va a analizar la resistencia de entrada diferencial y la resistencia de entrada de modo común.

Se aplica el principio de superposición.

Se hace  $V_c = 0$ . Se tiene la FIGURA 4.16.(a).

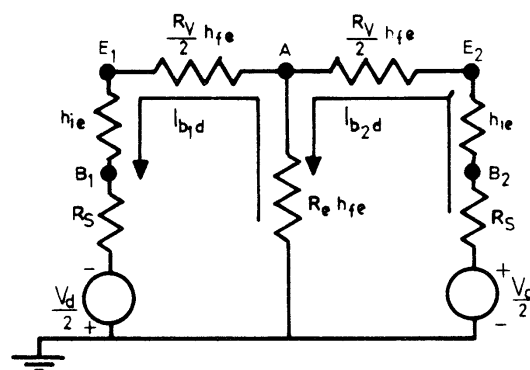


FIGURA 4.16.(a).

Se puede pasar a la FIGURA 4.16.(b). teniendo en cuenta que no hay caída por  $R_e$  y haciendo :

$$I_{b_1 d} = I_{b_2 d} = I_{b d}$$

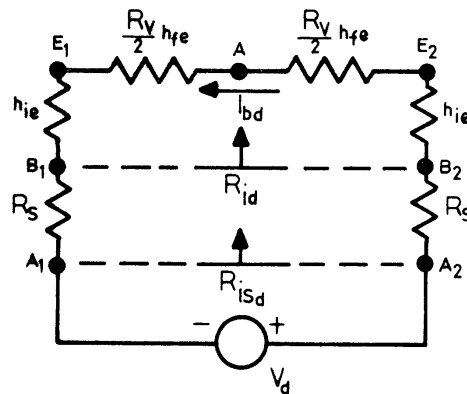


FIGURA 4.16.(b).

Desde las bases vemos la resistencia de entrada de modo diferencial  $R_{id}$ .

Desde los puntos  $A_1$   $A_2$  vemos la resistencia de entrada del sistema de modo diferencial  $R_{iSd}$ .

Si no existe control de balance ( $R_V = 0$ ) se tiene :

$$R_{id} = 2 h_{ie}$$

Si existe :

$$R_{id} = 2 h_{ie} + 2 h_{fe} \frac{R_V}{2} \quad \{4.32.\}$$

$$R_{iSd} = 2 R_S + R_{id} \quad \{4.33.\}$$

Desde el punto de vista diferencial los dos transistores se comportan como una configuración de EC ya que  $E_1$  y  $E_2$  constituyen tierras virtuales.

En la FIGURA 4.17.(a) se muestra para  $V_d = 0$  el circuito de entrada de modo común.

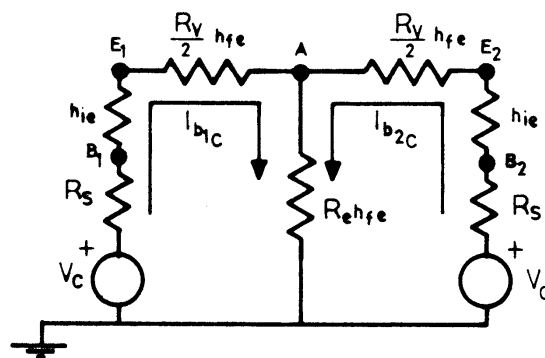


FIGURA 4.17.(a).

De la FIGURA 4.17.(a).:

$$V_C = I_{bC} \left( R_S + h_{ie} + h_{fe} \frac{R_V}{2} + 2 R_e \cdot h_{fe} \right) \quad \{4.34.\}$$

Como :  $2 R_e \cdot h_{fe} \gg \left( h_{ie} + h_{fe} \frac{R_V}{2} \right)$  resulta :

$$V_C = I_{bC} \left( R_S + 2 R_e \cdot h_{fe} \right) \quad \{4.35.\}$$

Circuitalmente, la aproximación hecha, nos lleva a la FIGURA 4.17.(b).

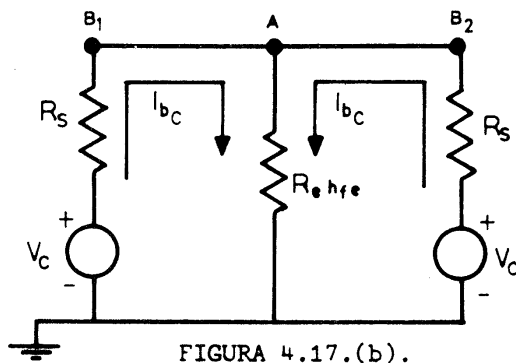


FIGURA 4.17.(b).

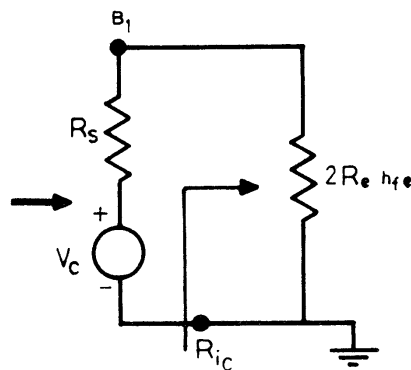


FIGURA 4.17.(c).

La resistencia de modo común es la que se tiene entre B<sub>1</sub> y tierra o entre B<sub>2</sub> y tierra.

$$R_{iC} = 2 R_e \cdot h_{fe} \quad \{4.36.\}$$

La del sistema es :

$$R_{iS_C} = R_S + 2 R_e \cdot h_{fe} \quad \{4.37.\}$$

El circuito de entrada total puede representarse por un circuito  $\pi$  FIGURA 4.18.

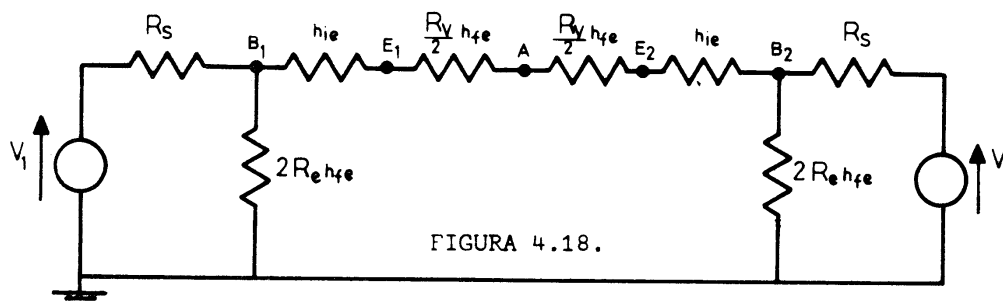


FIGURA 4.18.

Aplicando el principio de superposición para  $V_d = 0$  se tiene que en lugar de  $V_1$  y  $V_2$  se coloca  $V_c$  y se considera en corto a  $h_{ie}$  y  $h_{fe} \cdot R_V / 2$ . Queda :

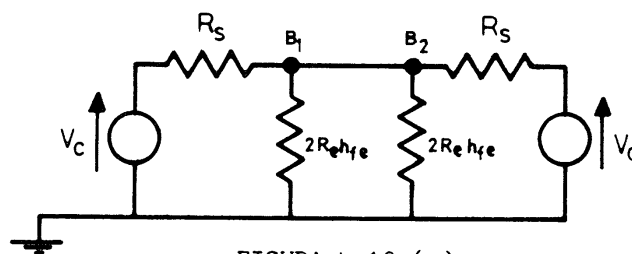


FIGURA 4.18.(a).

Se convierte en :

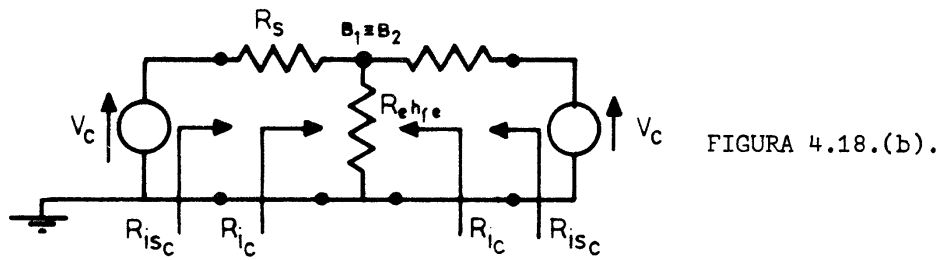


FIGURA 4.18.(b).

Para  $V_c = 0$  se tiene la FIGURA 4.18.(c).:

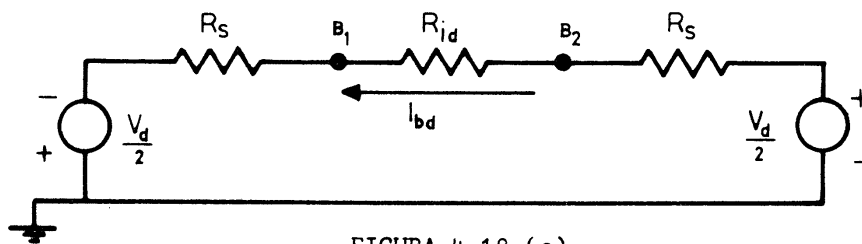


FIGURA 4.18.(c).

El circuito  $\pi$  se puede transformar en un T . FIGURA 4.18.(d).:

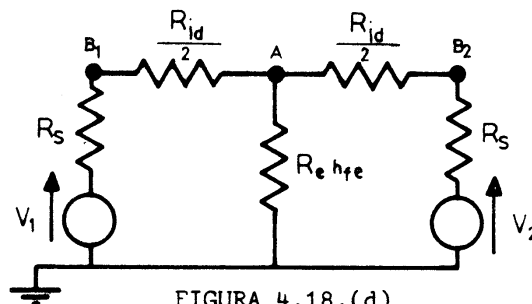


FIGURA 4.18.(d).

Para analizar la resistencia de modo común se desprecia  $\frac{R_{id}}{2}$  . Queda :

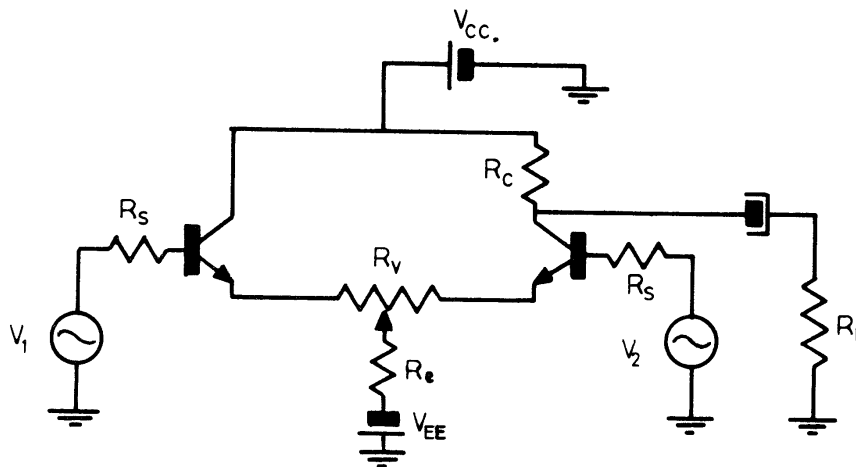
$$R_{ic} = 2 R_e \cdot h_{fe}$$

Para analizar el modo diferencial no hay caída sobre  $R_e \cdot h_{fe}$  . Por lo tanto:

$$R_{id} = \frac{R_{id}}{2} + \frac{R_{id}}{2} = R_{id} \quad (\text{Entre } B_1 \text{ y } B_2)$$

Ejemplo :

$$\begin{aligned} V_{CC} &= V_{EE} = 15 \text{ V} \\ R_C &= R_L = 12 \text{ k}\Omega \\ R_V &= R_S = 100 \text{ }\Omega \\ R_e &= 7,5 \text{ k}\Omega \end{aligned} \quad \text{BC 547 A}$$



De la ecuación {4.10.}

$$I_{CQ1} = I_{CQ2} = \frac{V_{EE} - V_{BE}}{2 R_e + \frac{R_v}{2} + \frac{R_s}{h_{FE_T}}} = \frac{15 - 0,7}{15000 + 50 + \frac{100}{180}} = 0,95 \text{ mA}$$

$$V_{C_{2T}} = V_{CC} - I_{CQ} \cdot R_C = 15 - 0,95 \cdot 10^{-3} \cdot 12 \cdot 10^3 = 3,6 \text{ V}$$

$$V_{E_{2T}} = -V_{BE} = -0,7 \text{ V} \quad V_{CEQ_2} = V_{C_{2T}} - V_{E_{2T}} = 4,3 \text{ V}$$

De la ecuación {4.31.}

$$\rho = \frac{R_e}{\frac{R_v}{2} + h_{ib} + \frac{R_s}{h_{fe}}} = \frac{7500}{22,7 + 50 + \frac{100}{220}} \approx 100$$

$$\rho \text{ {dB}} = 20 \log \rho = 20 \log 100 = 40 \text{ dB}$$

Con el punto Q del transistor dos se obtuvo :

$$h_{ie} = 5000 \, \Omega \quad \text{y} \quad h_{fe} = 220$$

$$h_{ib} = \frac{h_{ie}}{h_{fe}} = \frac{5000}{220} = 22,7 \, \Omega$$

De la ecuación {4.25.}

$$A_{V_d} = \frac{-R_d}{2 \left( h_{ib} + \frac{R_v}{2} + \frac{R_s}{h_{fe}} \right)} = \frac{-6000}{2 \cdot 73,15} = -41$$

De la ecuación {4.33.}

$$R_{i_{S_d}} = 2 \left( R_S + h_{ie} + \frac{R_V}{2} h_{fe} \right) = 2 (100 + 5000 + 50 \cdot 220) = 32200 \, \Omega$$

$$\therefore R_{i_d} = 32 \, k\Omega$$

De la ecuación {4.36.}

$$R_{i_C} = 2 R_e \cdot h_{fe} = 2 \cdot 7500 \cdot 220 = 3,3 \, M\Omega$$

#### 4.1.4. ANALISIS DE CASOS PARTICULARES :

Se supone  $R_V = 0$  con lo cual :

$$A_{V_d} = \frac{-R_d}{2 \left( h_{ib} + \frac{R_S}{h_{fe}} \right)} = \frac{V_0}{V_d} \quad \{4.38.\}$$

$$\rho = \frac{R_e}{h_{ib} + \frac{R_S}{h_{fe}}} = \frac{A_{V_d}}{A_{V_C}} \quad \{4.39.\}$$

a) Se supone  $V_1 = 0$  . Ver FIGURA 4.19.(a).

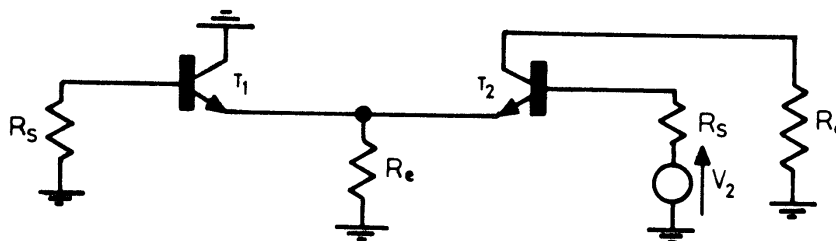


FIGURA 4.19.(a).

$$V_d = V_2 - V_1 = V_2 \quad \therefore \quad \frac{V_d}{2} = \frac{V_2}{2}$$

$$V_C = \frac{V_2 + V_1}{2} = \frac{V_2}{2}$$

Sea la FIGURA 4.19.(b)., en la cual se puso en corto los generadores de modo común.

De acuerdo con el principio de superposición se analiza la acción de la tensión de modo diferencial.

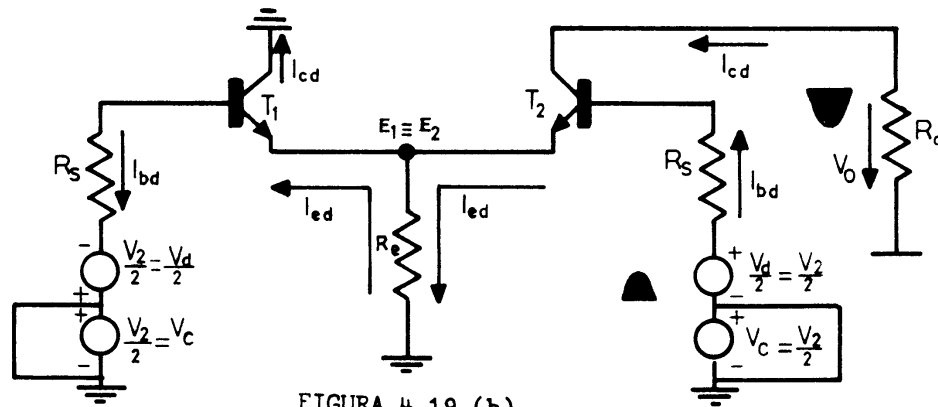


FIGURA 4.19.(b)

En la entrada se tiene  $I_{bd}$  entrante en  $T_2$  y saliente en  $T_1$ . Se obtiene así  $I_{cd}$  entrante en  $T_2$  y saliente en  $T_1$ . Luego se puede ver en la FIGURA 4.19.(b) como ambas corrientes  $I_{ed}$  circulan en forma opuesta sobre  $R_e$  convirtiendo a los emisores  $E_1$  y  $E_2$  en tierras virtuales desde el punto de vista diferencial.

Como se ve en la FIGURA se tiene que la tensión de salida  $V_0$  está defasada respecto de  $V_d / 2$  y por lo tanto también de  $V_2$ .

b) Se supone  $V_2 = 0$ . Ver FIGURA 4.20.(a).

$$V_d = V_2 - V_1 = -V_1 \quad \therefore$$

$$\frac{V_d}{2} = -\frac{V_1}{2}$$

$$V_c = \frac{V_2 + V_1}{2} = \frac{V_1}{2}$$

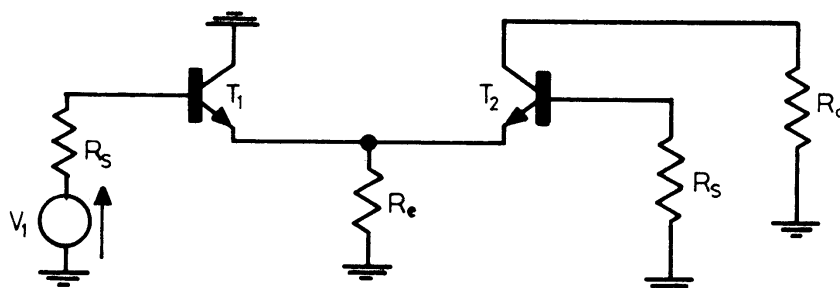


FIGURA 4.20.(a).

Sea la FIGURA 4.20.(b), en la cual se puso en corto los generadores de modo común.

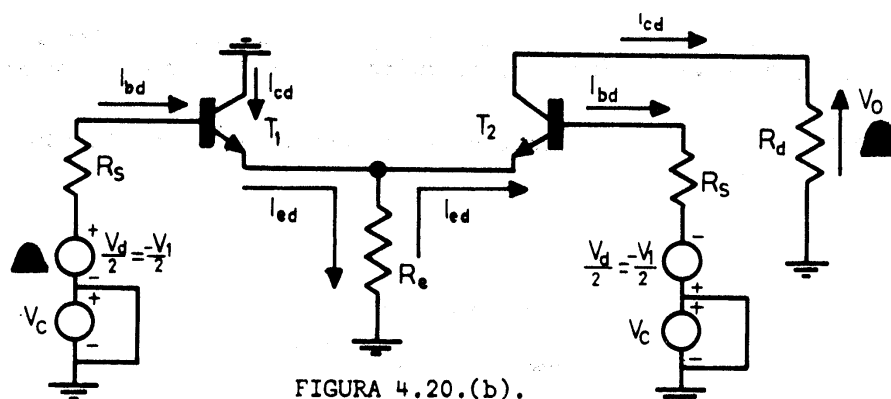


FIGURA 4.20.(b).

En la FIGURA 4.20.(b) se muestran cambiados los sentidos de los generadores de entrada de modo común respecto de los generadores similares de la FIGURA 4.19.(b) Ello ocurre al ser:

$$\frac{V_d}{2} = - \frac{V_1}{2}, \text{ lo cual indica un cambio de signo del generador diferencial.}$$

De la FIGURA 4.20.(b) se infiere, observando los sentidos de las diversas corrientes dinámicas, que  $V_0$  y la señal  $V_1$  están en fase.

Es decir que cuando se inyecta señal en la base de  $T_2$  estando  $R_d$  conectada a su colector se produce una inversión de la fase de salida respecto de la entrada (Entrada Inversora).

Por otra parte cuando se inyecta señal en la base de  $T_1$  con  $R_d$  conectada a  $T_2$  la señal de salida  $V_0$  está en fase con la de entrada  $V_1$  (Entrada No Inversora).

Resumiendo :

$$\begin{array}{lll} V_1 = 0 & V_2 \neq 0 & \rightarrow \text{se invierte la fase} \\ V_2 = 0 & V_1 \neq 0 & \rightarrow \text{no se invierte la fase} \end{array}$$

En forma más general se tiene para la FIGURA 4.20.:

$$V_{0d} = A_{Vd} \cdot V_d \quad \text{donde } A_{Vd} \text{ está dada por la ecuación \{4.38.\} y}$$

$$V_d = V_2 - V_1$$

Sea  $A_{Vd} = -41$  y sea  $V_1 > V_2$  tal que  $V_d = -20 \text{ mV}$

Entonces:

$$V_{0d} = A_{Vd} \cdot V_d = (-41) \cdot (-20 \cdot 10^{-3}) > 0$$

Por lo tanto  $V_{0d}$  coincide en fase con  $V_1$ .

Si  $V_2 > V_1$  es  $V_d$  positiva y  $V_{0d} < 0$

Por lo tanto  $V_{0d}$  tiene fase opuesta a  $V_2$ .

#### 4.2. USO DEL DIFERENCIAL CON FUENTE DE CORRIENTE CONSTANTE :

Para mejorar la relación de rechazo de modo común debe aumentarse el valor



de  $R_e$ . Pero todo aumento de  $R_e$  está limitado por la máxima tensión de la fuente de alimentación que puede aplicarse al circuito, la cual, como ya hemos visto es función de  $BV_{CEO}$ .

Para obviar este problema se usa una fuente de corriente constante como se observa en la FIGURA 4.21.

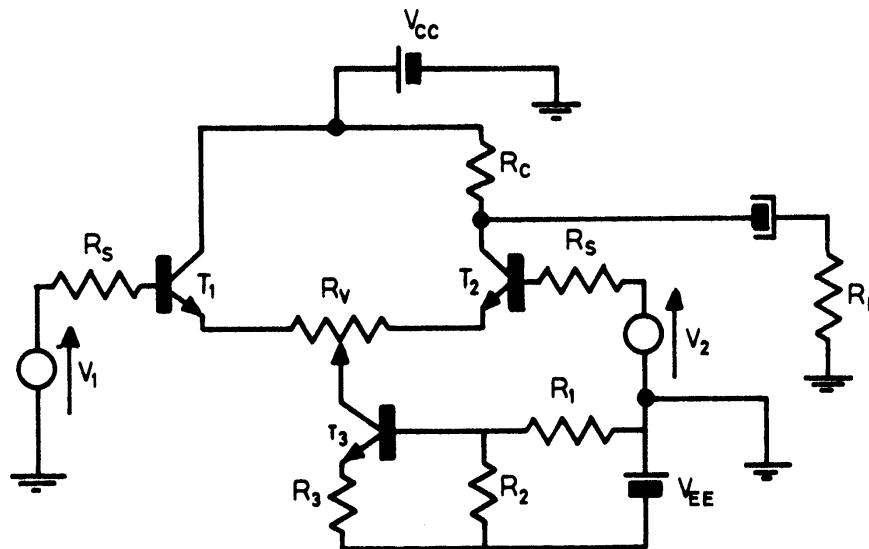


FIGURA 4.21.

#### 4.2.1. USO DEL TRANSISTOR $T_3$ COMO FUENTE DE CORRIENTE CONSTANTE :

Debemos analizar la resistencia de salida de  $T_3$  (entre colector  $C_3$  y tierra).

Sea la FIGURA 4.22.

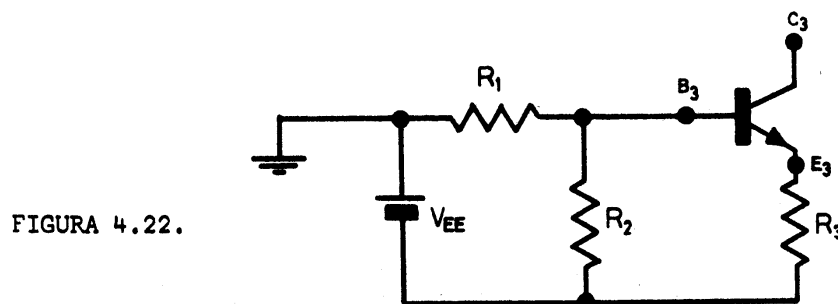


FIGURA 4.22.

El circuito dinámico se observa en la FIGURA 4.23.(a).

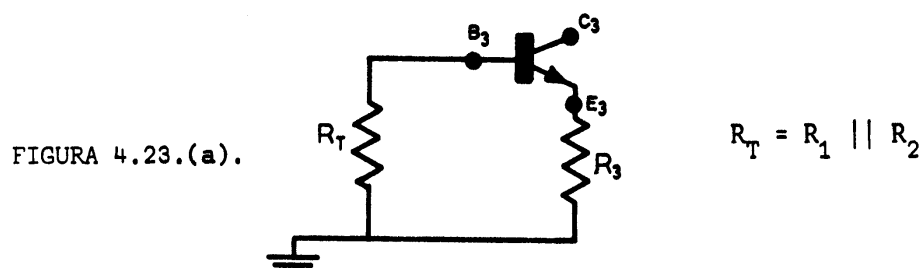
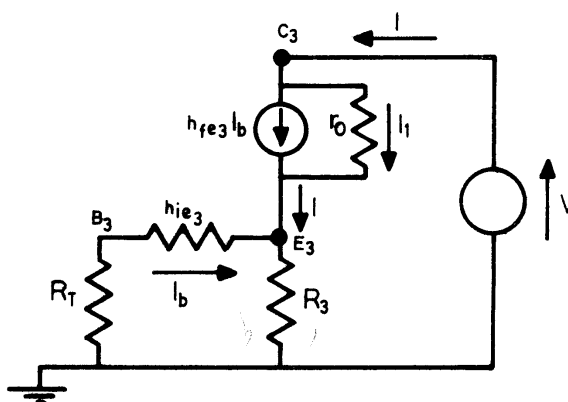


FIGURA 4.23.(a).

$$R_T = R_1 \parallel R_2$$

Reemplazando el transistor por su circuito equivalente se tiene la FIGURA 4.23.(b)

FIGURA 4.23.(b).



Entre  $C_3$  y tierra se inyecta una tensión  $V$  que produce una corriente  $I$ . En  $E_3$  entra la corriente  $I$  y en la rama que contiene  $h_{ie3}$  se debe tener la corriente de base  $I_b$ .

Se tiene un divisor de corriente que permite determinar la expresión de :

$$I_b = f(I)$$

$$I_b = -I \frac{R_3}{R_3 + h_{ie3} + R_T} \quad \{4.40.\}$$

$$I_1 = I - h_{fe3} \cdot I_b = I + I \frac{h_{fe3} \cdot R_3}{R_3 + h_{ie3} + R_T} \quad \{4.41.\}$$

Llamamos :

$$R = R_3 + h_{ie3} + R_T \quad \{4.42.\}$$

$$R_X = h_{ie3} + R_T \quad \{4.43.\}$$

$$I_1 = I \left( 1 + \frac{h_{fe3} \cdot R_3}{R} \right) \quad \{4.44.\}$$

$$V = I_1 \cdot r_0 + I (R_3 \parallel R_X) \quad \{4.45.\}$$

Introduciendo {4.44.} en {4.45.} se tiene :

$$R_{O3} = \frac{V}{I} = r_0 \left( 1 + \frac{h_{fe3} \cdot R_3}{R} \right) + (R_3 \parallel R_X) \quad \{4.46.\}$$

Siendo  $r_0$  y  $h_{fe}$  altas se puede despreciar el segundo término del segundo miembro.

$$R_{O3} = r_0 \left( 1 + \frac{h_{fe3} \cdot R_3}{R} \right) \quad \{4.47.\}$$

$r_o$  se puede aproximar en la ecuación {4.47.} a  $\frac{1}{h_{oe}}$  (calculando por defecto).

La expresión general de  $\rho$  era :

$$\rho = \frac{R_e}{\frac{R_V}{2} + h_{ib2} + \frac{R_S}{h_{fe2}}}$$

Esta expresión sigue siendo válida reemplazando  $R_e$  por  $R_{O3}$

$$\rho = \frac{R_{O3}}{\frac{R_V}{2} + h_{ib2} + \frac{S}{h_{fe2}}} \quad \{4.48.\}$$

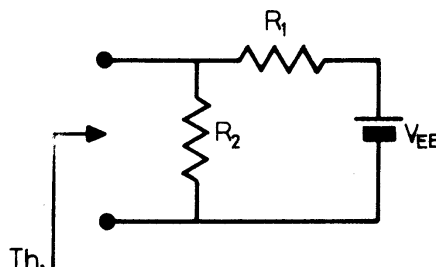
Como  $R_{O3} \gg R_e$  se mejora la relación de rechazo de modo común.

#### 4.2.2. DETERMINACION DE $I_{CQ3}$ :

En el circuito de la FIGURA 4.21. aplicamos THEVENIN sobre  $R_2$ .  
Se obtiene :

$$V_T = V_{EE} \frac{R_2}{R_1 + R_2}$$

$$R_T = R_1 || R_2$$



Reemplazando en la FIGURA 4.21. la fuente de THEVENIN se llega a la FIGURA 4.24.

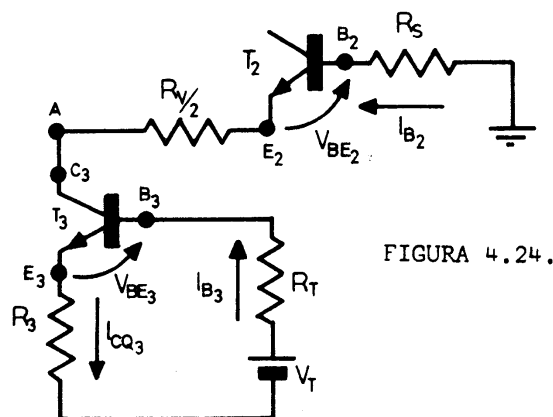


FIGURA 4.24.

De la FIGURA 4.24.:

$$V_T = R_T \cdot I_{B_3} + V_{BE_3} + I_{CQ_3} \cdot R_3$$

$$\therefore I_{CQ_3} = \frac{V_T - V_{BE_3}}{R_3 + \frac{R_T}{h_{FE_{T_3}}}} \quad \{4.49.\}$$

Se hace :

$$R_3 \gg \frac{R_T}{h_{FE_{T_3}}} \quad \text{para que} \quad I_{CQ_3} = \text{cte.}$$

La polarización de  $T_3$  debe ajustarse adecuadamente para que  $V_{CEQ_3}$  sea mayor que 0,5 V. De otra manera se incursionaría en la zona de saturación en donde el valor de  $1/h_{O_3}$  decaería muy rápidamente.

A su vez, el punto Q del transistor  $T_3$  debe ser muy estable a efectos de que  $I_{CQ_3}$  no varíe, evitando así la modulación de la señal en la carga.

$$V_{C3T} = - I_{CQ_2} \frac{R_V}{2} - V_{BE_2} - R_S \cdot I_{B_2} \quad \{4.50.\}$$

$$I_{CQ_2} = I_{CQ_1} = \frac{I_{CQ_3}}{2} \quad \{4.51.\}$$

$$V_{E3T} = R_3 \cdot I_{CQ_3} - V_{EE} \quad \{4.52.\} \quad \text{Ver FIGURA 4.21.}$$

$$V_{CEQ_3} = V_{C3T} - V_{E3T} \quad \{4.53.\}$$

Ejemplo :

En el circuito de la FIGURA 4.21., se dan los siguientes datos:

$$V_{CC} = V_{EE} = 6 \text{ V}$$

$$R_S = R_V = 100 \, \Omega$$

$$R_3 = 2,2 \text{ K}\Omega$$

$$R_C = R_L = 6,8 \text{ K}\Omega$$

$$R_1 = R_2 = 22 \text{ K}\Omega$$

$$\text{BC 548 A}$$

$$V_T = V_{EE} \frac{R_2}{R_1 + R_2} = 6 \frac{22 + 22}{22} = 3 \text{ V}$$

$$R_T = R_1 \parallel R_2 = 11 \text{ K}\Omega$$

$$I_{CQ_3} = \frac{V_T - V_{BE_3}}{R_3 + \frac{R_T}{h_{FE_T}}} = \frac{3 - 0,7}{2200 + \frac{11000}{180}} = 1 \text{ mA}$$

$I_{CQ1} = I_{CQ2} = 0,5 \text{ mA}$  , ya que ambas mallas de entrada de polarización de  $T_1$  y  $T_2$  son iguales.

$$V_{C3T} = - I_{CQ2} \frac{R_V}{2} - V_{BE2} - R_S \cdot I_{B2}$$

$$V_{C3T} = - 0,5 \cdot 10^{-3} \cdot 50 - 0,7 - 100 \frac{0,5 \cdot 10^{-3}}{180} \approx - 0,725 \text{ V}$$

$$V_{C2T} = V_{CC} - I_{CQ2} \cdot R_C = 6 - 0,5 \cdot 10^{-3} \cdot 6,8 \cdot 10^3 = 2,6 \text{ V}$$

$$V_{E2T} = - V_{BE2} - I_{B2} \cdot R_S = - 0,7 \text{ V}$$

$$V_{E3T} = R_3 \cdot I_{CQ3} - V_{EE} = 2,2 \cdot 10^3 \cdot 10^{-3} - 6 = - 3,8 \text{ V}$$

$$V_{CEQ2} = V_{C2T} - V_{E2T} = 2,6 - ( - 0,7 ) = 3,3 \text{ V}$$

$$V_{CEQ3} = V_{C3T} - V_{E3T} = - 0,725 - ( - 3,8 ) = 3,075 \text{ V}$$

$$V_{B3T} = V_{E3T} + V_{BE3} = - 3,8 + 0,7 = - 3,1 \text{ V}$$

Determinemos la máxima tensión positiva que puede inyectarse entre  $B_2$  y tierra. FIGURA 4.25. La llamamos  $V_M$ , es decir máxima tensión positiva de modo común. Evidentemente  $V_M$  no puede ser mayor que la tensión  $V_{C2T}$  si pretendemos que  $V_{CB2} > 0$  (Zona activa).

Si  $V_M > V_{C2T}$  se produce la inversión de polaridad de la juntura B-C. (saturación).

$$V_M < V_{C2T} \quad \therefore \quad V_M < 2,6 \text{ V}$$

Determinaremos el máximo pico negativo que puede inyectarse entre  $B_2$  y tierra. FIGURA 4.26.

Se desprecia  $R_V/2$  y su correspondiente caída.

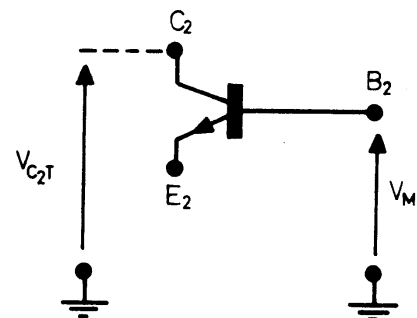
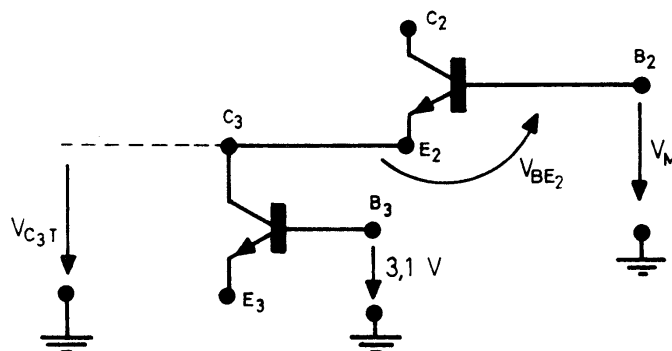


FIGURA 4.26.



Para evitar que sature el  $T_3$  debe cumplirse :

$$V_{C_{3T}} > V_{B_{3T}}$$

Partiendo de :

$$V_{C_{3T}} = V_{B_{3T}} \quad \text{se tiene :}$$

$$V_M + V_{BE_2} = V_{B_{3T}} \quad \therefore \quad V_M = V_{B_{3T}} - V_{BE_2}$$

$$V_M = -3,1 \text{ V} - (-0,7 \text{ V}) = -3,1 + 0,7 = -2,4 \text{ V}$$

Es decir que  $|V_M| < 2,4 \text{ V}$  y su polaridad es negativa respecto de tierra.  $V_M$  es la máxima tensión de modo común admisible.

Cálculo de  $\rho$  de acuerdo con la ecuación {4.48.}

Para  $I_{CQ_2} = 0,5 \text{ mA}$  leemos :

$$h_{ie_2} = 9 \text{ K}\Omega \quad h_{fe_2} = 200$$

Calculamos :

$$h_{ib_2} = \frac{h_{ie_2}}{h_{fe_2}} = \frac{9000}{200} = 45 \Omega$$

Para  $I_{CQ_3} = 1 \text{ mA}$  leemos :

$$h_{o_3} = 12 \cdot 10^{-6} \text{ u} \quad h_{ie_3} = 5 \text{ K}\Omega$$

$$r_o \approx \frac{1}{h_{o_3}} = 83 \text{ K}\Omega$$

Ya hallamos que  $R_T = 11 \text{ K}\Omega$ . Podemos calcular R.

$$R = R_3 + h_{ie_3} + R_T = 2,2 \text{ K}\Omega + 5 \text{ K}\Omega + 11 \text{ K}\Omega = 18,2 \text{ K}\Omega$$

Podemos calcular  $R_{O_3}$ . Ver FIGURA 4.27.

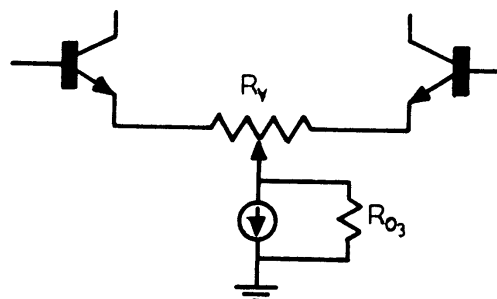


FIGURA 4.27.

$$R_{O_3} = r_o \left( 1 + \frac{h_{fe_3} \cdot R_3}{R} \right)$$

$$R_{O_3} = 83 \text{ K}\Omega \left( 1 + \frac{200 \cdot 2,2 \text{ K}\Omega}{18,2 \text{ K}\Omega} \right)$$

$R_{O3} \approx 2 \text{ M}\Omega$ ) (Aumenta en forma importante la resistencia dinámica entre emisores y tierra).

$$\rho = \frac{R_{O3}}{h_{ib2} + \frac{R_V}{2} + \frac{R_S}{h_{fe2}}} = \frac{2000 \text{ K}\Omega}{45 + 50 + \frac{100}{200}} \approx 20000 \quad \therefore \quad \rho = 86 \text{ dB}$$

$$A_{Vd} = \frac{-R_d}{2 \left( h_{ib2} + \frac{R_V}{2} + \frac{R_S}{h_{fe2}} \right)} = \frac{-3400}{2 \cdot 95,5} = -17,8$$

$$R_{isd} = 2 \left( R_S + h_{ie2} + \frac{R_V}{2} h_{fe2} \right) = 2 (100 + 9000 + 50 \cdot 200) = 38200 \Omega$$

$$R_{iC} = 2 R_{O3} \cdot h_{fe2} = 2 \cdot 2 \text{ M}\Omega \cdot 200 \approx 800 \text{ M}\Omega$$

#### 4.2.3. FUENTE DE CORRIENTE CONSTANTE COMPENSADA :

De la FIGURA 4.28. se tiene :

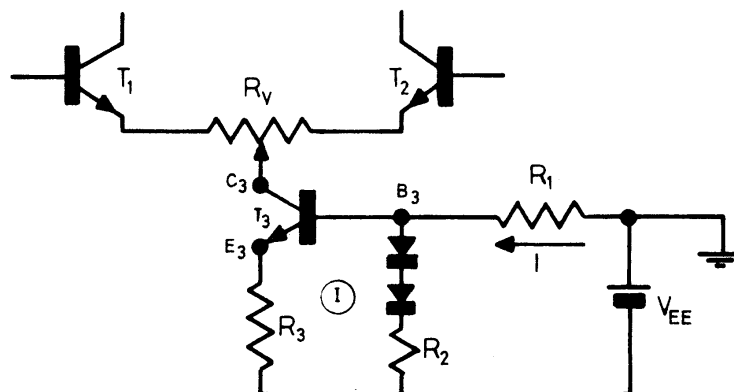


FIGURA 4.28.

$$I \gg I_{BQ3} \quad \therefore \quad I = \frac{V_{EE} - 2 V_D}{R_1 + R_2}$$

De la malla (I) :

$$V_{BEQ3} + I_{CQ3} \cdot R_3 = 2 V_D + I \cdot R_2$$

$$I_{CQ3} = \frac{2 V_D + I \cdot R_2 - V_{BEQ3}}{R_3} = \frac{2 V_D + \frac{V_{EE} - 2 V_D}{R_1 + R_2} R_2 - V_{BEQ3}}{R_3}$$

Como :

$$2 V_D - 2 V_D \frac{R_2}{R_1 + R_2} = 2 V_D \frac{R_1 + R_2}{R_1 + R_2} - 2 V_D \frac{R_2}{R_1 + R_2} = \frac{2 V_D \cdot R_1}{R_1 + R_2}$$

Reemplazando :

$$I_{CQ_3} = \frac{1}{R_3} \left( \frac{V_{EE} \cdot R_2}{R_1 + R_2} + \frac{2 V_D \cdot R_1}{R_1 + R_2} - V_{BEQ_3} \right) \quad \{4.54.\}$$

Si se elige :

$$\frac{2 V_D \cdot R_1}{R_1 + R_2} = V_{BEQ_3} \quad \text{se tiene :}$$

$$I_{CQ_3} = \frac{V_{EE} \cdot R_2}{R_3 (R_1 + R_2)} \quad \{4.55.\}$$

Este valor de  $I_{CQ_3}$  es independiente de la temperatura debido al uso de los dos diodos.

Ejemplo :

$$V_{EE} = 6 \text{ V}$$

$$R_2 = 1,5 \text{ k}\Omega$$

$$V_{D_1} = V_{D_2} = 0,7 \text{ V}$$

$$R_3 = 2,2 \text{ k}\Omega$$

$$R_1 = 3,2 \text{ k}\Omega$$

$$I_{CQ_3} = \frac{1}{R_3} \left( \frac{V_{EE} \cdot R_2}{R_1 + R_2} + \frac{2 V_D \cdot R_1}{R_1 + R_2} - V_{BEQ_3} \right)$$

$$I_{CQ_3} = \frac{1}{2,2 \cdot 10^3} \left( \frac{6 \cdot 1,5}{1,5 + 3,2} + \frac{1,4 \cdot 3,2}{1,5 + 3,2} - 0,7 \right) \approx 0,99 \text{ mA}$$

Como vimos, conviene que :

$$\frac{2 V_D \cdot R_1}{R_1 + R_2} = V_{BEQ} \quad , \text{ pero en este caso :}$$

$$\frac{2 V_D \cdot R_1}{R_1 + R_2} = 0,955 \quad \text{y} \quad V_{BE} = 0,7 \quad . \quad \text{Es decir que la compensación de } I_{CQ} \text{ con la temperatura no será perfecta.}$$

#### 4.2.4. AMPLIFICADOR DIFERENCIAL CON SALIDA DIFERENCIAL :

Tenemos el circuito de la FIGURA 4.29.



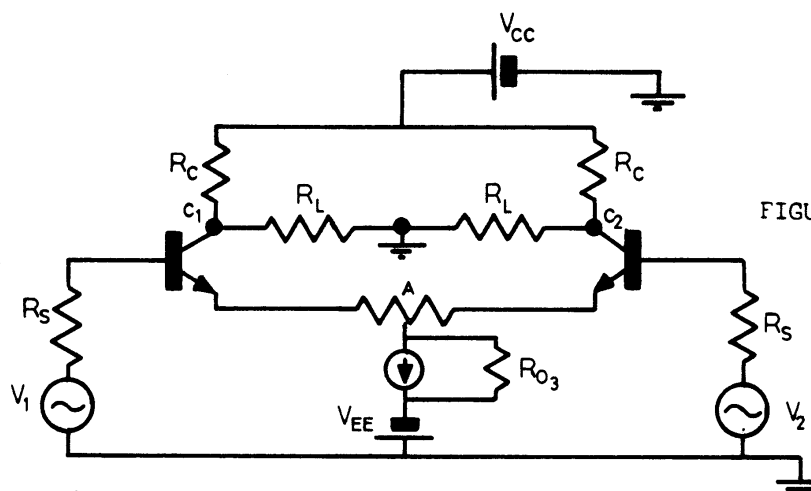


FIGURA 4.29.

El circuito equivalente se tiene en la FIGURA 4.30.  
Se tiene en dicha FIGURA solamente la parte diferencial.

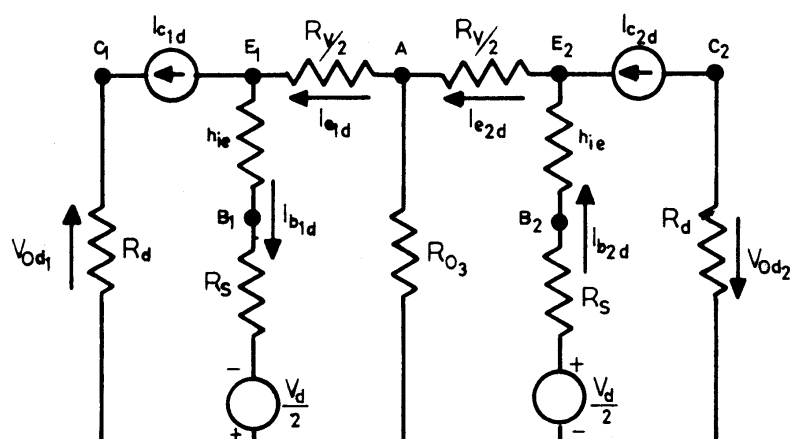


FIGURA 4.30.

$$I_{e2d} = \frac{V_d}{2 \left( \frac{R_S}{h_{fe}} + \frac{R_V}{2} + h_{ib} \right)} ; I_{e1d} = \frac{V_d}{2 \left( \frac{R_S}{h_{fe}} + \frac{R_V}{2} + h_{ib} \right)}$$

$$V_{Od2} = - I_{e2d} \cdot R_d$$

$$V_{Od1} = I_{e1d} \cdot R_d$$

$$V_{Od2} - V_{Od1} = - I_{e2d} \cdot R_d - I_{e1d} \cdot R_d$$

Como :  $I_{e2d} = I_{e1d}$  resulta :

$$V_{Od2} - V_{Od1} = - 2 I_{ed} \cdot R_d = - 2 I_{cd} \cdot R_d \quad \text{Reemplazando } I_{cd} :$$

$$V_{Od2} - V_{Od1} = - 2 R_d \frac{V_d}{2 \left( \frac{R_S}{h_{fe}} + \frac{R_V}{2} + h_{ib} \right)} \quad \{4.56.\}$$

Como :

$$A_{V_d} = \frac{-R_d}{2 \left( \frac{R_S}{h_{fe}} + \frac{R_V}{2} + h_{ib} \right)} \quad \text{Reemplazando en la } \{4.56.\}$$

$$V_{O_{d_2}} - V_{O_{d_1}} = 2 A_{V_d} \cdot V_d \quad \{4.57.\}$$

Haciendo :

$$V_{O_d} = V_{O_{d_2}} - V_{O_{d_1}} \quad \{4.58.\} \quad \text{se tiene :}$$

$$V_{O_d} = 2 A_{V_d} \cdot V_d = A'_{V_d} \cdot V_d$$

$$\therefore A'_{V_d} = \frac{V_{O_d}}{V_d} = 2 A_{V_d} \quad \{4.59.\}$$

De aquí surge que la ganancia es doble en este caso.

#### 4.2.5. AMPLIFICADORES DIFERENCIALES USANDO DISPOSITIVOS ACTIVOS INTEGRADOS (ARRAYS) :

Usando un CA 3086 , calcular un amplificador diferencial cuya ganancia es  $|A_{V_d}| \geq 50$  y su relación de rechazo de modo común es  $\rho \geq 60$  dB .

DATOS :  $R_S = 100 \, \Omega$   $R_L = 10 \, k\Omega$

Se usan del CA 3086 los dos transistores unidos por el emisor y dos de los tres transistores sueltos ( $T_1$  ,  $T_2$  ,  $T_3$  y  $T_4$ )

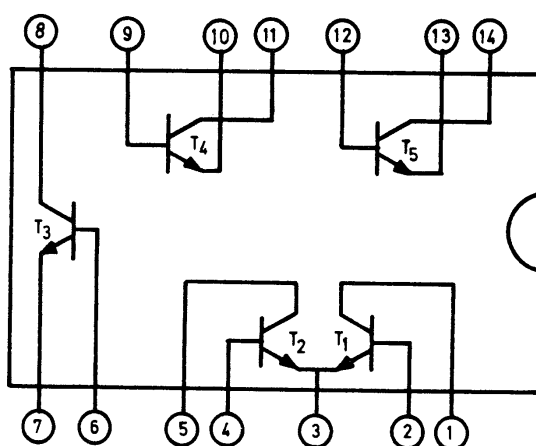


FIGURA 4.31.

Sea el circuito de la FIGURA 4.32.(a) :

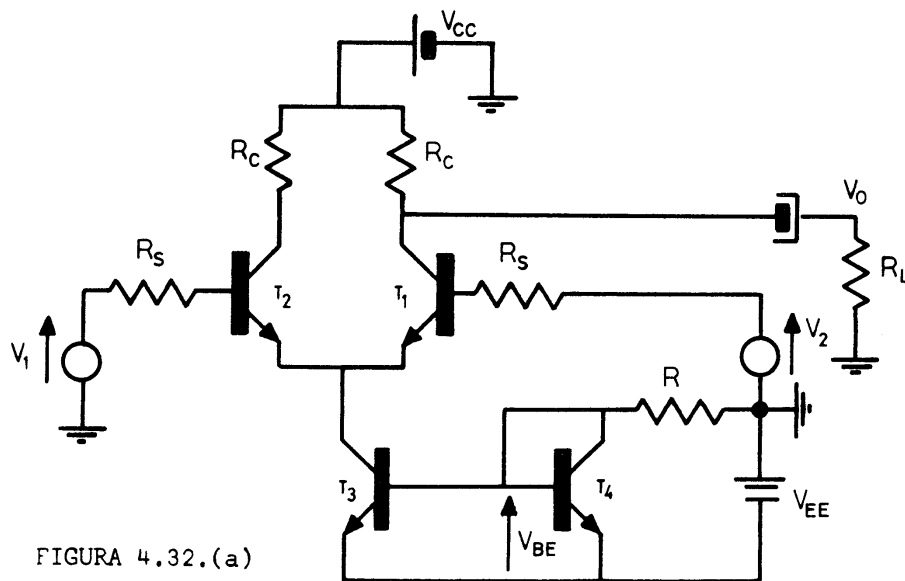


FIGURA 4.32.(a)

En la FIGURA 4.32.(b), se tiene indicada la fuente de corriente usada en el circuito de la FIGURA 4.32.(a). Dicha fuente de corriente se denomina tipo "espejo".

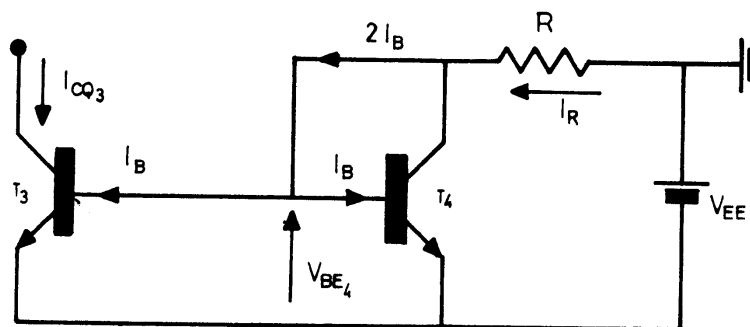


FIGURA 4.32.(b)

De la FIGURA 4.32.(b)., surge :

$$V_{EE} = R \cdot I_R + V_{BE_4} \quad \{4.60.\}$$

Despreciando  $2 I_B$  frente a la corriente de referencia  $I_R$  se tiene :

$$I_R \approx I_{CQ_4}$$

Como  $T_3$  y  $T_4$  tienen la misma  $V_{BE}$ , tienen por consiguiente la misma corriente de colector. Por lo tanto :

$$I_{CQ_3} = I_{CQ_4} \approx I_R \quad \{4.61.\}$$

El  $\rho$  estaba determinado por :

$$\rho = \frac{R_{O3}}{h_{ib1} + \frac{R_S}{h_{fe1}}} \quad \{4.62.\}$$

donde  $R_{O3}$  es la resistencia de salida de la fuente de corriente constante. En este caso particular  $R_{O3}$  coincide con  $r_{O3}$  siendo ésta la resistencia de salida del transistor  $T_3$ .

En el CAPITULO II vimos que :

$$r_O = \frac{V_A}{I_C} \quad \text{siendo } V_A \text{ la tensión de EARLY y siendo } I_C \approx I_{CQ}.$$

Como :

$$g_m = \frac{I_C}{m \cdot V_T} \quad \text{resulta :} \quad I_C = m \cdot V_T \cdot g_m$$

Reemplazando en la ecuación de  $r_O$  se tiene :

$$r_O = \frac{V_A}{I_C} = \frac{V_A}{m \cdot V_T \cdot g_m} = \frac{1}{\frac{m \cdot V_T}{V_A} g_m}$$

Se hace :

$$\eta = \frac{m \cdot V_T}{g_m} \quad \text{y por lo tanto :} \quad r_O = \frac{1}{\eta \cdot g_m} \quad \{4.63.\}$$

El CA 3086 tiene una tensión de ruptura típica del orden de los 20 V y en ese caso el  $\eta$  vale aproximadamente :

$$\eta \approx 2,8 \cdot 10^{-3}$$

Volviendo a la ecuación {4.62.} se tiene :

$$\rho = \frac{R_{O3}}{h_{ib1} + \frac{R_S}{h_{fe1}}} \approx \frac{r_{O3}}{h_{ib1}} \quad \{4.64.\}$$

Ya que normalmente :

$$h_{ib1} \gg \frac{R_S}{h_{fe1}}$$

Reemplazando  $r_{O3}$  y  $h_{ib1}$  en la ecuación {4.64.}, se tiene :

$$\rho = \frac{\frac{1}{\eta \cdot g_{m3}}}{\frac{1}{g_{m1}}} = \frac{g_{m1}}{\eta \cdot g_{m3}} = \frac{40 \cdot I_{CQ1}}{\eta \cdot 40 \cdot I_{CQ3}} = \frac{I_{CQ1}}{\eta \cdot I_{CQ3}}$$

Como  $\frac{I_{CQ1}}{I_{CQ3}} = 0,5$  en un diferencial, se tiene :  $\rho = \frac{0,5}{\eta} \quad \{4.65.\}$

$$\rho = \frac{0,5}{2,8 \cdot 10^{-4}} \approx 1786 \quad \rho_{dB} = 65 \text{ dB}$$

La fuente "espejo" de la FIGURA 4.32.(b)., introduce un  $\rho$  de 65 dB con independencia de como se polarizan los transistores. Esto surge de la ecuación {4.65.}

Por lo tanto esta fuente cumple con la especificación del problema respecto de obtener un  $\rho > 60$  dB.

Veamos la ganancia diferencial :

$$|A_{V_d}| = \frac{R_d}{2 \left( h_{ib1} + \frac{R_S}{h_{fe1}} \right)} \approx \frac{R_d}{2 h_{ib1}} \quad \{4.66.\}$$

$$|A_{V_d}| = \frac{g_{m1} \cdot R_d}{2} = \frac{40 \cdot I_{CQ1} \cdot R_d}{2} = 20 \cdot I_{CQ1} \cdot R_d \quad \{4.67.\}$$

Veamos el valor posible de  $R_C$  que se puede usar sin saturar por supuesto a  $T_1$ .

$$V_{C1T} = V_{CC} - I_{CQ1} \cdot R_C \quad V_{E1T} \approx -V_{BE1} = -0,7 \text{ V}$$

$$V_{CEQ1} = V_{C1T} - V_{E1T} = V_{CC} - I_{CQ1} \cdot R_C + 0,7 \text{ V} \quad \{4.68.\}$$

Los transistores integrados como los del CA3086 tienen una tensión de saturación muy baja ( $\approx 0,3$  V) y por lo tanto se podría tomar un  $V_{CEQ1} = 2,2$  V.

De la {4.68.}

$$I_{CQ1} \cdot R_C = V_{CC} + 0,7 - V_{CEQ1}$$

Adoptamos  $V_{CC} = V_{EE} = 9$  V que está bien por debajo de la tensión de ruptura mínima del CA3086 que es de 15 V.

Por lo tanto se obtiene :

$$I_{CQ1} \cdot R_C = 9 + 0,7 - 2,2 = 7,5 \text{ V} \quad \{4.69.\}$$

Se tienen dos incógnitas en esta ecuación, que son :  $I_{CQ1}$  y  $R_C$ .

Vamos a buscar otra ecuación para conseguir disminuir el número de incógnitas.

De la ecuación {4.67.} se tiene :

$$|A_{V_d}| = 20 \cdot I_{CQ1} \cdot R_d$$

Como se quiere  $|A_{V_d}| \geq 50$  se adopta, por ejemplo,  $|A_{V_d}| = 60$

Se obtiene :

$$60 = 20 \cdot I_{CQ1} \cdot R_d \quad \therefore \quad I_{CQ1} \cdot R_d = 3 \text{ V} \quad \{4.70.\}$$

Dividiendo la {4.70.} por la {4.69.} obtenemos :

$$\frac{R_d}{R_C} = \frac{3}{7,5} = 0,4 \quad \therefore \quad R_d = 0,4 \cdot R_C$$

$$\therefore \quad \frac{R_C \cdot R_L}{R_C + R_L} = 0,4 \cdot R_C \quad \therefore \quad \frac{R_L}{R_C + R_L} = 0,4$$

$$\therefore \quad R_L = 0,4 \cdot R_C + 0,4 \cdot R_L \quad \therefore \quad R_L (1 - 0,4) = 0,4 \cdot R_C$$

$$\therefore R_C = 1,5 R_L$$

Como  $R_L = 10 \text{ K}$  resulta  $R_C = 15 \text{ K}$

Volviendo a la ecuación {4.69.} se puede obtener  $I_{CQ1}$  :

$$I_{CQ1} = \frac{7,5 \text{ V}}{R_C} = \frac{7,5 \text{ V}}{15 \text{ K}\Omega} = 0,5 \text{ mA}$$

Por lo tanto, se hace :  $I_{CQ3} = 2 I_{CQ1} = 1 \text{ mA}$

De la ecuación {4.60.} calculamos  $R$  :

$$R = \frac{V_{EE} - V_{BE4}}{I_R} \approx \frac{V_{EE} - V_{BE4}}{I_{CQ3}} = \frac{9 - 0,7}{10^{-3}} = 8,3 \text{ K}\Omega$$

Se usa una resistencia normalizada de :  $R = 8,2 \text{ K}\Omega$

Verificación:

$$R_d = \frac{R_C \cdot R_L}{R_C + R_L} = \frac{15 \text{ K}\Omega \cdot 10 \text{ K}\Omega}{15 \text{ K}\Omega + 10 \text{ K}\Omega} = 6 \text{ K}\Omega$$

$$|A_{Vd}| = 20 \cdot I_{CQ1} \cdot R_d = 20 \cdot 0,5 \text{ mA} \cdot 6 \text{ K}\Omega = 60 > 50$$

Se puede calcular, solo con el objeto de tener una idea, cual es el valor de  $r_{O3}$  :

$$r_{O3} = \frac{1}{\eta \cdot g_{m3}} = \frac{1}{2,8 \cdot 10^{-4} \cdot 40 \cdot 10^{-3}} \approx 89 \text{ K}\Omega$$

Calculemos la resistencia de entrada diferencial :

$$R_{id} = 2 h_{ie1} = 2 \frac{h_{fe1}}{g_{m1}} = 2 \frac{100}{40 \cdot 0,5 \cdot 10^{-3}} = 10 \text{ K}\Omega$$

Complicuemos el problema exigiendo una ganancia diferencial  $|A_{Vd}| \geq 100$  y una  $R_{id} \geq 10 \text{ K}\Omega$ .

Veamos si con la estructura que presenta el circuito de la FIGURA 4.32.(a), es eso posible.

Como se desea mantener o aumentar el valor de la resistencia de entrada dinámica no se puede trabajar con una  $I_{CQ1}$  superior a  $0,5 \text{ mA}$ .

Como  $|A_{Vd}| = 20 \cdot I_{CQ1} \cdot R_d$ , resulta :

$$R_d = \frac{|A_{Vd}|}{20 \cdot I_{CQ1}}$$

y por lo tanto :

$$R_d \geq \frac{100}{20 \cdot 0,5 \cdot 10^{-3}} = 10 \text{ K}\Omega$$

Es decir que debe ser  $R_d \gg 10 \text{ K}\Omega$  para que  $R_{id} = 10 \text{ K}\Omega$  y  $|A_{Vd}| = 100$

Pero como  $R_d = R_C \parallel R_L$  y  $R_L = 10 \text{ K}\Omega$ , eso exige que  $R_C = \infty$  (imposible).

Por lo tanto vamos a cambiar la estructura del circuito de la FIGURA 4.32.(a), para poder cumplir con  $|A_{V_d}| \geq 100$  y  $R_{i_d} \geq 10 \text{ k}\Omega$ .

Conectamos una etapa de C.C. entre el diferencial y la carga  $R_L$ . (Ver FIGURA 4.33.).

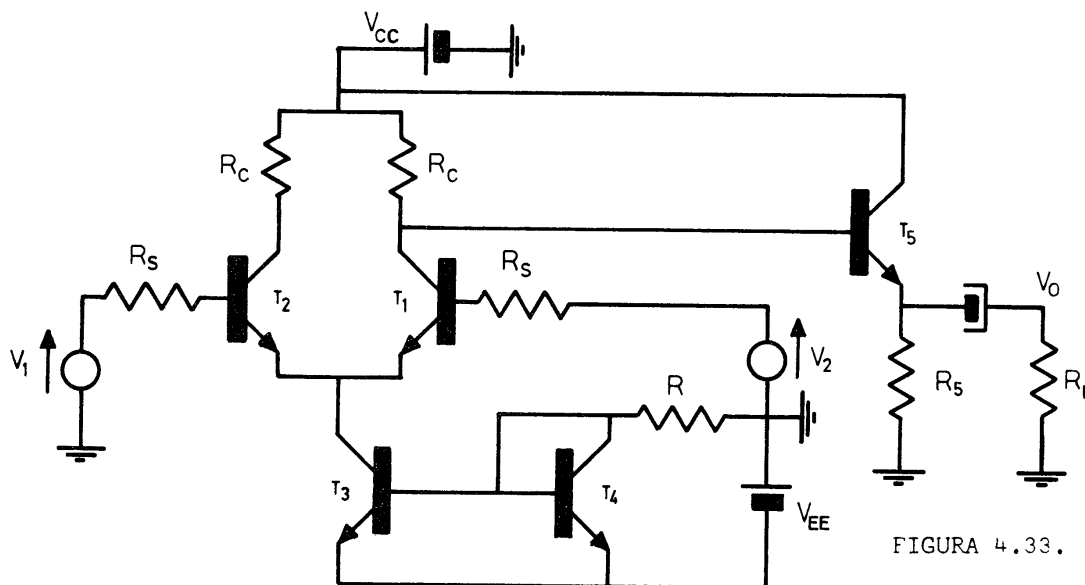


FIGURA 4.33.

En un primer intento mantenemos el valor de  $R_C = 15 \text{ k}\Omega$  y las corrientes  $I_{CQ1} = I_{CQ2} = 0,5 \text{ mA}$ .

Eso nos asegura que  $T_1$  y  $T_2$  no saturan.

De la ecuación {4.67.} que reproducimos, se puede despejar  $R_d$ :

$$|A_{V_d}| = 20 \cdot I_{CQ1} \cdot R_d \quad \therefore \quad R_d = \frac{|A_{V_d}|}{20 \cdot I_{CQ1}}$$

$$R_d \geq \frac{100}{20 \cdot 0,5 \cdot 10^{-3}} \quad ; \quad \text{es decir:} \quad R_d \geq 10 \text{ k}\Omega$$

$R_d$  es ahora el paralelo de  $R_C$  con  $R_{i5}$  siendo esta la resistencia de entrada del colector común.

$$\frac{1}{R_d} = \frac{1}{R_C} + \frac{1}{R_{i5}} \quad \therefore \quad \frac{1}{R_{i5}} = \frac{1}{R_d} - \frac{1}{R_C}$$

$$\frac{1}{R_{i5}} = \frac{1}{10 \text{ k}\Omega} - \frac{1}{15 \text{ k}\Omega} = 0,0333 \cdot 10^{-3} \quad \therefore \quad R_{i5} = \frac{10^3}{0,0333} = 30 \text{ k}\Omega$$

La resistencia de entrada del colector común debe ser superior a  $30 \text{ k}\Omega$ .

Adoptaremos una  $I_{CQ5} = 0,5 \text{ mA}$ .

Por otra parte  $V_{C1T} = V_{CC} - I_{CQ1} \cdot R_C = 9 - 0,5 \cdot 15 = 1,5 \text{ V}$

La tensión:

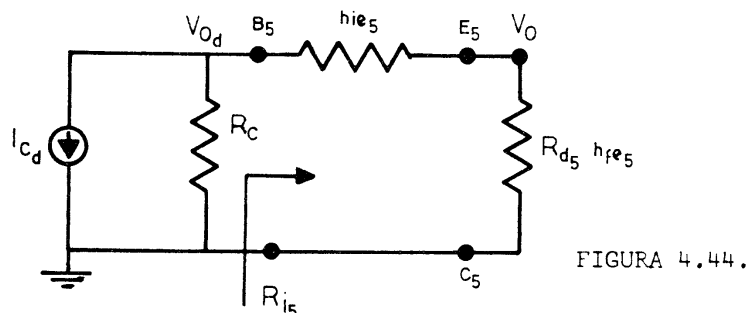
$$V_{E5T} = V_{C1T} - V_{BE5} = 1,5 - 0,7 = 0,8 \text{ V}$$

Es decir que sobre  $R_5$  se tiene una caída de 0,8 V.

$$R_5 = \frac{V_{R_5}}{I_{CQ_5}} = \frac{0,8 \text{ V}}{0,5 \text{ mA}} = 1,6 \text{ K}\Omega \quad \text{Se toma } R_5 = 1,5 \text{ K}\Omega$$

$$h_{ie_5} = \frac{h_{fe_5}}{g_{m_5}} = \frac{100}{40 \cdot 0,5 \cdot 10^{-3}} = 5 \text{ K}\Omega$$

En la FIGURA 4.44. se puede ver el circuito dinámico que corresponde a la FIGURA 4.33.



$$R_{d_5} = R_5 \parallel R_L = 1,5 \text{ K}\Omega \parallel 10 \text{ K}\Omega = 1,3 \text{ K}\Omega$$

$$R_{i_5} = h_{ie_5} + h_{fe_5} \cdot R_{d_5} = 5 \text{ K}\Omega + 100 \cdot 1,3 \text{ K}\Omega = 135 \text{ K}\Omega$$

Llamamos  $R_d$  al paralelo de  $R_C$  con  $R_{i_5}$ .

$$R_d = R_C \parallel R_{i_5} = 15 \text{ K}\Omega \parallel 135 \text{ K}\Omega = 13,5 \text{ K}\Omega$$

$R_d$  es la resistencia dinámica del diferencial. Calculamos ahora la ganancia diferencial.

$$|A_{V_d}| = 20 \cdot I_{CQ_1} \cdot R_d = 20 \cdot 0,5 \cdot 10^{-3} \cdot 13,5 \cdot 10^3 = 135 > 100 \quad (\text{Bien})$$

La ganancia total de la multietapa es :

$$A_V = \frac{V_O}{V_d} = \frac{V_O}{V_{O_d}} \cdot \frac{V_{O_d}}{V_d} = \frac{V_O}{V_{O_d}} A_{V_d}$$

$$|A_V| = \frac{R_{d_5} \cdot h_{fe_5}}{R_{i_5}} \quad |A_{V_d}| = \frac{130}{135} 135 = 130 > 100 \quad (\text{Bien}).$$

La resistencia de salida se puede analizar a través del circuito de la FIGURA 4.45.

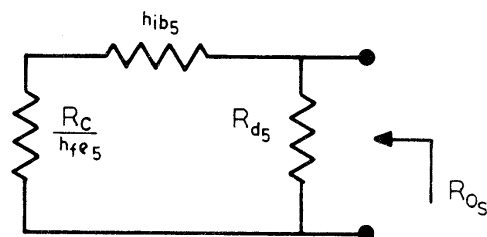


FIGURA 4.45.



$$R_{OS} = R_{d5} \parallel \left( h_{ib5} + \frac{R_C}{h_{fe5}} \right)$$

$$R_{OS} = 1,3 \text{ k}\Omega \parallel \left( \frac{1}{40 \cdot I_{CQ5}} + \frac{15000}{100} \right)$$

$$R_{OS} = 1,3 \text{ k}\Omega \parallel \left( \frac{1}{40 \cdot 0,5 \cdot 10^{-3}} + 150 \right)$$

$$R_{OS} = 1,3 \text{ k}\Omega \parallel (50 + 150) = 1300 \Omega \parallel 200 \Omega \approx 173 \Omega$$

Busquemos ahora aumentar  $R_{id}$ . Sea  $R_{id} \geq 60 \text{ k}\Omega$

$$R_{id} = 2 h_{ie1} \quad \therefore \quad h_{ie1} = \frac{60 \text{ k}\Omega}{2} = 30 \text{ k}\Omega$$

$$h_{ie1} = \frac{h_{fe1}}{g_{m1}} = \frac{h_{fe1}}{40 \cdot I_{CQ1}} \quad \therefore \quad I_{CQ1} = \frac{h_{fe1}}{40 \cdot h_{ie1}}$$

$$I_{CQ1} = \frac{100}{40 \cdot 30 \cdot 10^3} = 0,08 \text{ mA} \rightarrow I_{CQ1} \leq 0,08 \text{ mA}$$

Adoptemos, por seguridad, una  $I_{CQ1} = 0,05 \text{ mA}$

Con lo cual  $I_{CQ3} = 2 I_{CQ1} = 0,1 \text{ mA}$ .

Hagamos una fuente de corriente constante WIDLAR, con la cual manejamos pequeñas corrientes.

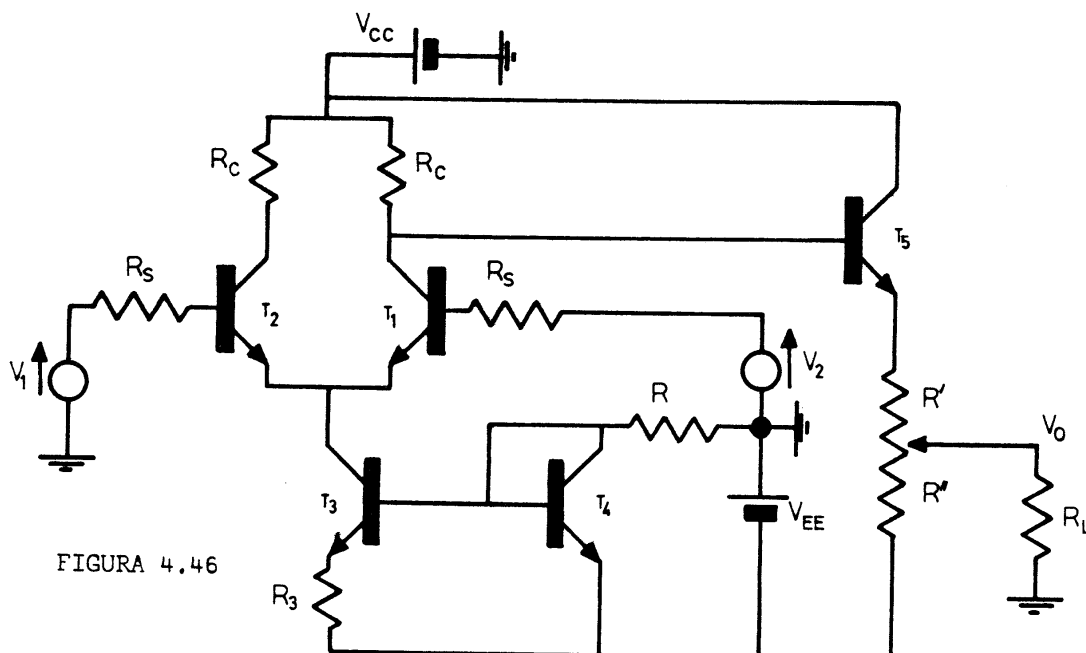


FIGURA 4.46

El circuito general es el de la FIGURA 4.46. y en la FIGURA 4.47. se tiene la fuente WIDLAR.

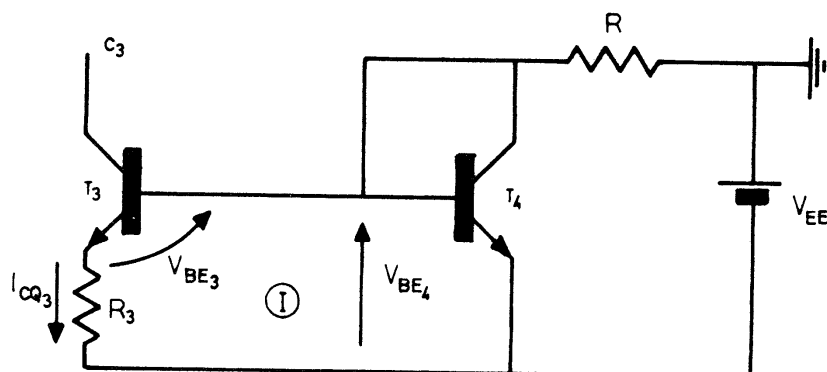


FIGURA 4.47.

$$R = 8,2 \text{ K}\Omega$$

$$V_{EE} = 9 \text{ V}$$

Por lo tanto :

$$I_R = \frac{V_{EE} - V_{BE4}}{R} \approx \frac{9 - 0,7}{8,2 \text{ K}\Omega} \approx 1 \text{ mA}$$

De la malla I se obtiene :

$$I_{CQ3} \cdot R_3 = V_{BE4} - V_{BE3} \quad \{4.71.\}$$

$$I_{CQ3} \cdot R_3 = V_T \cdot \ln \frac{I_{CQ4}}{I_S} - V_T \cdot \ln \frac{I_{CQ3}}{I_S} = V_T \cdot \ln \frac{I_{CQ4}}{I_{CQ3}}$$

$$\therefore R_3 = \frac{V_T}{I_{CQ3}} \ln \frac{I_{CQ4}}{I_{CQ3}} \quad \{4.72.\}$$

Por medio de la ecuación 4.72. hallamos el valor de  $R_3$  :

$$R_3 = \frac{25 \cdot 10^{-3}}{0,1 \cdot 10^{-3}} \ln 10 = 575 \Omega$$

Tomamos para  $R_3$  un valor normalizado :  $R_3 = 560 \Omega$

La existencia de  $R_3$  aumenta el valor de  $R_{O3}$ .

Recordemos que :

$$R_{O3} = r_{O3} \left( 1 + \frac{h_{fe3} \cdot R_3}{R_3 + h_{ie3} + R_T} \right)$$

Siendo  $R_T$  la resistencia dinámica entre  $B_3$  y tierra.

$$R_T = \frac{1}{g_{m4}} \parallel R \approx \frac{1}{g_{m4}} = \frac{1}{40 \cdot I_{CQ4}} = \frac{1}{40 \cdot 10^{-3}} = 25 \Omega$$

Podemos despreciar  $R_T$  frente a  $R_3 + h_{ie3}$  . Queda :

$$R_{O3} = r_{O3} \left( 1 + \frac{h_{fe3} \cdot R_3}{R_3 + h_{ie3}} \right) = r_{O3} \left( 1 + g_{m3} \frac{h_{ie3} \cdot R_3}{h_{ie3} + R_3} \right)$$

$$R_{O3} = r_{O3} \{ 1 + g_{m3} ( h_{ie3} \parallel R_3 ) \} \quad \{4.73.\}$$

$$h_{ie3} = \frac{h_{fe3}}{g_{m3}} = \frac{80}{40 \cdot 10^{-3}} = 20 \text{ K}\Omega. \quad \text{Donde } h_{fe3} \text{ se obtuvo del manual.}$$

Por lo tanto  $h_{ie3} \gg R_3$  y la {4.73.} se transforma en la {4.74.}

$$R_{O3} = r_{O3} ( 1 + g_{m3} \cdot R_3 ) \quad \{4.74.\}$$

De acuerdo con la {4.64.} es :

$$\rho = \frac{R_{O3}}{h_{ib1}} = \frac{r_{O3} ( 1 + g_{m3} \cdot R_3 )}{h_{ib1}} \quad \{4.75.\}$$

Como :

$$\frac{r_{O3}}{h_{ib1}} = \frac{0,5}{\eta} ; \text{ resulta sustituyendo en la } \{4.75.\}$$

$$\rho = \frac{0,5}{\eta} ( 1 + g_{m3} \cdot R_3 ) \quad \{4.76.\}$$

$$\rho = \frac{0,5}{28 \cdot 10^{-4}} ( 1 + 40 \cdot 0,1 \cdot 10^{-3} \cdot 560 ) \approx 5786$$

$$\rho_{dB} = 20 \log_{10} 5786 = 75 \text{ dB.}$$

Veamos la ganancia diferencial que se puede obtener.

El valor de  $R_C$  lo podemos fijar en  $160 \text{ K}\Omega$  :

$$\therefore V_{C1T} = V_{CC} - I_{CQ1} \cdot R_C = 9 - 0,05 \text{ mA} \cdot 160 \text{ K}\Omega = 1 \text{ V}$$

$$\therefore V_{E5T} = 1 \text{ V} - 0,7 \text{ V} = 0,3 \text{ V}$$

Adoptamos una  $I_{CQ5}$  chica para obtener  $R'$  y  $R''$  grandes y por lo tanto una resistencia de entrada grande del colector común.

Sea :

$$I_{CQ5} = 0,1 \text{ mA}$$

Por otra parte el potenciómetro (FIGURA 4.46.), se ajusta de manera que  $V_O$  de continua sea cero.

$$\therefore R' = \frac{0,3 \text{ V}}{I_{CQ5}} = \frac{0,3}{0,1 \text{ mA}} = 3 \text{ K}\Omega$$

$$R'' = \frac{V_{EE}}{I_{CQ5}} = \frac{9 \text{ V}}{0,1 \text{ mA}} = 90 \text{ K}\Omega$$

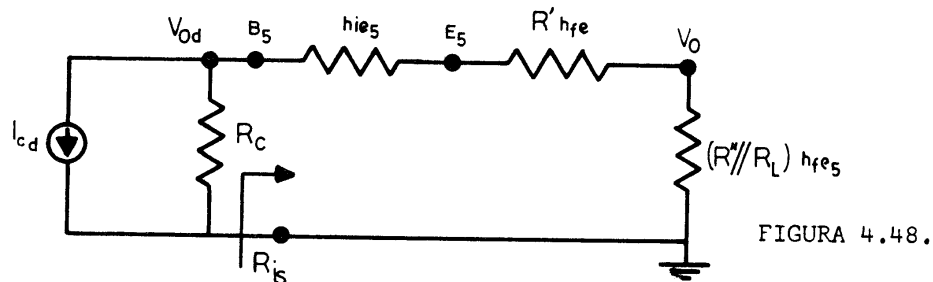
$$R'' \parallel R = 90 \text{ K}\Omega \parallel 10 \text{ K}\Omega = 9 \text{ K}\Omega$$

$$R_{d5} = R' + (R'' \parallel R_L) = 3 \text{ k}\Omega + 9 \text{ k}\Omega = 12 \text{ k}\Omega$$

$$h_{ie5} = \frac{h_{fe5}}{g_{m5}} = \frac{h_{fe5}}{40 \cdot I_{CQ5}} = \frac{80}{40 \cdot 0,1 \cdot 10^{-3}} = 20 \text{ k}\Omega$$

$$R_{i5} = h_{ie5} + h_{fe5} \cdot R_{d5} = 20 \text{ k}\Omega + 80 \cdot 12 \text{ k}\Omega = 980 \text{ k}\Omega$$

Con la FIGURA 4.48. se puede obtener la ganancia :



$$R_d = R_C \parallel R_{i5} = 160 \text{ k}\Omega \parallel 980 \text{ k}\Omega \approx 137 \text{ k}\Omega$$

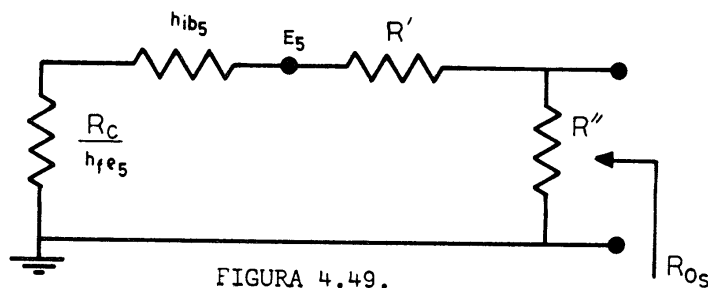
$$|A_{Vd}| = \left| \frac{V_{Od}}{V_d} \right| = 20 \cdot I_{CQ1} \cdot R_d = 20 \cdot 0,05 \cdot 137 = 137$$

$$|A_V| = \frac{V_O}{V_{Od}} \cdot \left| \frac{V_{Od}}{V_d} \right| = \frac{V_O}{V_{Od}} \cdot 137$$

$$\frac{V_O}{V_{Od}} = \frac{(R' \parallel R_L) h_{fe5}}{R_{i5}} = \frac{9 \cdot 10^3 \cdot 80}{980 \cdot 10^3} = \frac{720}{980} \approx 0,735$$

$$|A_V| = 0,735 \cdot 137 \approx 100$$

En la FIGURA 4.49. se tiene el circuito del cual se obtiene  $R_{OS}$  :



$$h_{ib5} = \frac{1}{g_{m5}} = \frac{1}{40 \cdot I_{CQ5}} = \frac{1}{40 \cdot 0,1 \cdot 10^{-3}} = 250 \text{ }\Omega$$

$$\frac{R_C}{h_{fe5}} = \frac{160000}{80} = 2000 \text{ }\Omega$$

$$R_{O5} = R'' \parallel \left( R' + h_{ib5} + \frac{R_C}{h_{fe5}} \right)$$

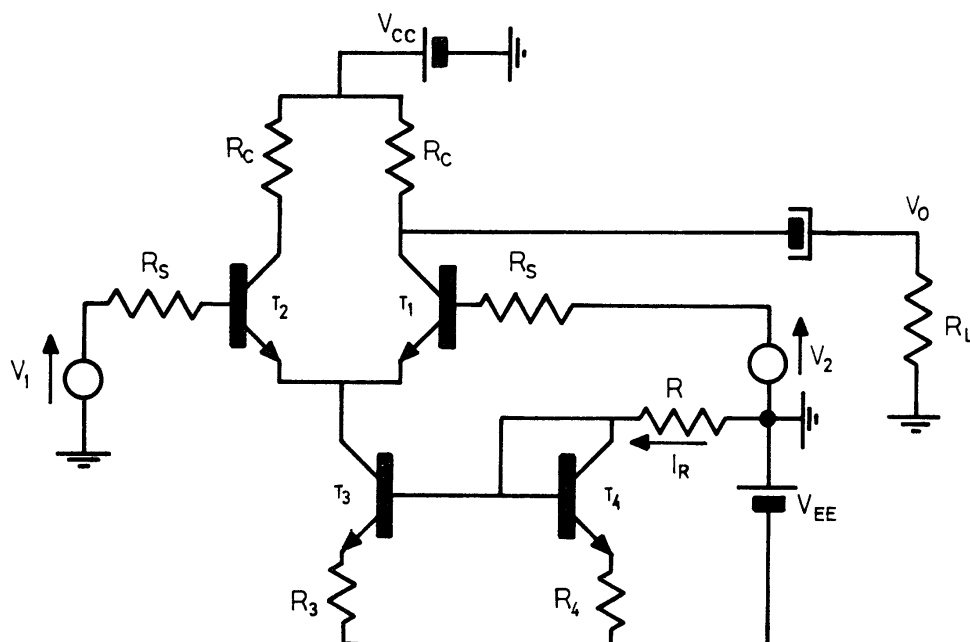
$$R_{O5} = 90 \text{ k}\Omega \parallel (3000 + 250 + 2000) = 90 \text{ k}\Omega \parallel 5,25 \text{ k}\Omega = 4,96 \text{ k}\Omega$$

La resistencia de salida relativamente es alta por serlo  $R_C/h_{fe5}$  y por estar agregada la resistencia  $R' = 3000 \Omega$ .

Volvemos a plantear el problema inicial, pero buscando un mayor  $\rho$ .

DATOS :

$$\begin{array}{lll} V_{CC} = V_{EE} = 9 \text{ V} & R_C = 15 \text{ k}\Omega & R_L = 10 \text{ k}\Omega \\ I_{CQ1} = I_{CQ2} = 0,5 \text{ mA} & R = 820 \Omega & R_3 = R_4 = 7,5 \text{ k}\Omega \end{array}$$



$$I_R = I_{CQ4} = \frac{V_{EE} - V_{BE}}{R + R_4} = \frac{9 - 0,7}{8,32 \cdot 10^3} \approx 1 \text{ mA}$$

Por simetría :

$$I_{CQ3} = I_{CQ4} = 1 \text{ mA}$$

$$R_{O3} = r_{O3} \left( 1 + \frac{h_{fe3} \cdot R_3}{R_3 + h_{ie3} + R_T} \right)$$

$$R_T = \left( \frac{1}{g_{m4}} + R_4 \right) \parallel R \approx R_4 \parallel R = 7,5 \text{ k}\Omega \parallel 0,82 \text{ k}\Omega = 739 \Omega$$

$$h_{ie3} = \frac{h_{fe3}}{g_{m3}} = \frac{h_{fe3}}{40 \cdot I_{CQ3}} = \frac{100}{40 \cdot 10^{-3}} = 2500 \Omega$$

$$\rho \approx \frac{R_{O3}}{h_{ib1}} = \frac{r_{O3}}{h_{ib1}} \left( 1 + \frac{h_{fe3} \cdot R_3}{R_3 + h_{ie3} + R_T} \right)$$

$$\rho = \frac{0,5}{\eta} \left( 1 + \frac{h_{fe3} \cdot R_3}{R_3 + h_{ie3} + R_T} \right)$$

$$\rho = \frac{0,5}{2,8 \cdot 10^{-4}} \left( 1 + \frac{100 \cdot 7,5 \text{ K}\Omega}{(7,5 + 2,5 + 0,739) \text{ K}\Omega} \right)$$

$$\rho \approx \frac{0,5}{2,8 \cdot 10^{-4}} (1 + 70) = \frac{71 \cdot 0,5}{2,8} \cdot 10^4 \approx 126000$$

$$\rho_{dB} = 20 \log_{10} 126000 = 102 \text{ dB}$$

#### 4.2.6. ANALISIS DE UN AMPLIFICADOR DIFERENCIAL CON TRANSISTORES UNIPOLARES :

Sea el siguiente circuito :

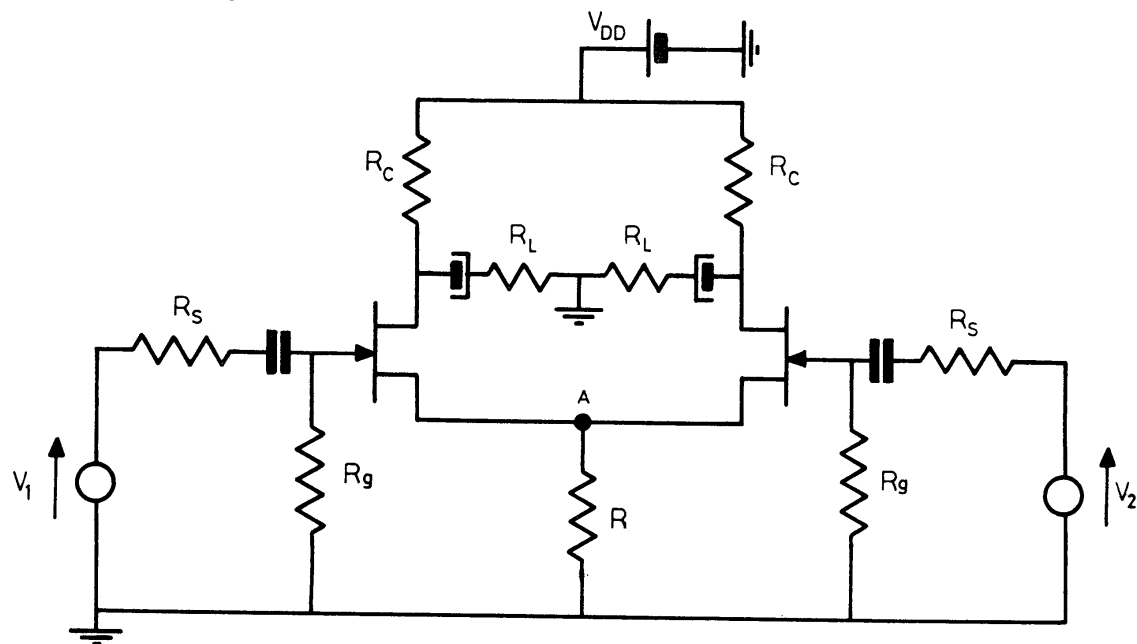


FIGURA 4.50.

Circuito de modo común :

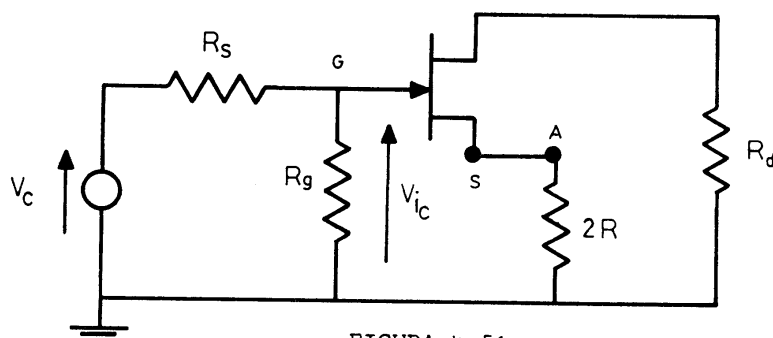


FIGURA 4.51.

$$V_{iC} = V_C \frac{R_G}{R_S + R_G}$$

Reemplazamos el transistor unipolar por su circuito incremental :

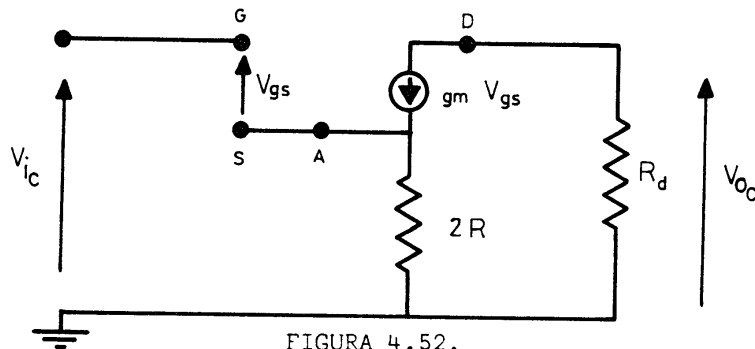


FIGURA 4.52.

$$V_{OC} = - g_m \cdot V_{gs} \cdot R_d$$

$$V_{iC} = V_{gs} + g_m \cdot V_{gs} \cdot 2 R$$

$$V_{iC} = V_{gs} ( 1 + 2 g_m \cdot R )$$

$$\frac{V_{OC}}{V_{iC}} = - \frac{g_m \cdot R_d}{( 1 + 2 g_m \cdot R )}$$

$$A_{VC} = \frac{V_{OC}}{V_C} = \frac{V_{OC}}{V_{iC}} \cdot \frac{V_{iC}}{V_C} = - \frac{g_m \cdot R_d}{( 1 + g_m \cdot 2 R )} \cdot \frac{R_G}{R_S + R_G} \quad \{4.77.\}$$

Como R se hace grande resulta :

$$g_m 2 R_d \gg 1 \quad y :$$

$$A_{VC} = - \frac{R_d}{2 R} \left( \frac{R_G}{R_S + R_G} \right) \quad \{4.78.\}$$

Circuito de modo diferencial :

El punto A es una tierra virtual.

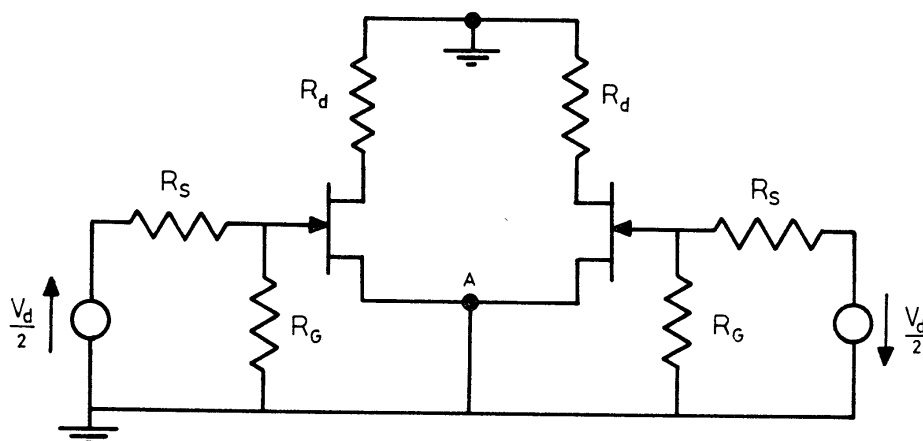


FIGURA 4.53.

Reemplazando el transistor unipolar por su circuito equivalente :

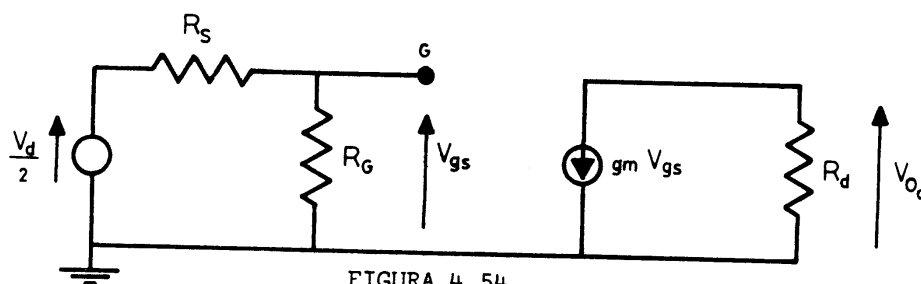


FIGURA 4.54.

$$V_{Od} = - g_m \cdot V_{gs} \cdot R_d$$

$$V_{gs} = \frac{R_G}{R_S + R_G} \cdot \frac{V_d}{2}$$

$$A_{Vd} = \frac{V_{Od}}{V_d} = - \frac{g_m \cdot R_d}{2} \left( \frac{R_G}{R_S + R_G} \right) \quad \{4.79.\}$$

Para la salida diferencial se tiene :

$$A'_{Vd} = 2 A_{Vd} = - g_m \cdot R_d \left( \frac{R_G}{R_S + R_G} \right) \quad \{4.80.\}$$

En lugar de la resistencia  $R$  conviene poner una fuente de corriente constante. Esta puede hacerse con un transistor bipolar, como ya vimos, o con un transistor unipolar.

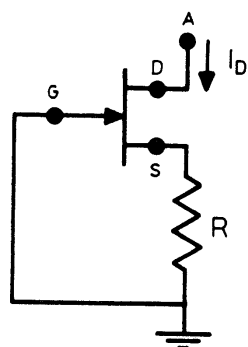


FIGURA 4.55.

$$V_{GS} = V_P \left( 1 - \sqrt{\frac{I_D}{I_{DSS}}} \right)$$

$$R = \frac{V_{GS}}{I_D}$$

El transistor unipolar debe trabajar en la región saturada, donde la conductancia de salida es muy baja.

La conductancia de salida se puede determinar del siguiente circuito.

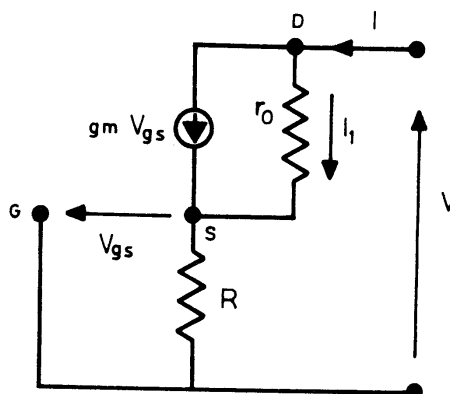


FIGURA 4.56.



$$V = I_1 \cdot r_0 + I \cdot R$$

$$V = (I - g_m \cdot V_{gs}) r_0 + I \cdot R$$

$$V_{gs} = -I \cdot R$$

$$V = (I + I \cdot R \cdot g_m) r_0 + I \cdot R$$

$$\frac{V}{I} = (1 + g_m \cdot R) r_0 + R$$

Como  $(1 + g_m \cdot R) r_0 \gg R$ , resulta:

$$R_0 = r_0 (1 + g_m \cdot R) \quad \{4.81.\} \quad \text{donde:} \quad r_0 = \frac{1}{g_0}$$

$g_0$  puede ser menor de  $1 \mu\text{V}$  y puede llegar a ser mayor que  $50 \mu\text{V}$  (Depende del FET).

$$r_0 = \frac{1}{g_0} = \frac{1}{10^{-6}} = 1 \text{ M}\Omega$$

$$r_0 = \frac{1}{g_0} = \frac{1}{50 \cdot 10^{-6}} = 20 \text{ K}\Omega$$

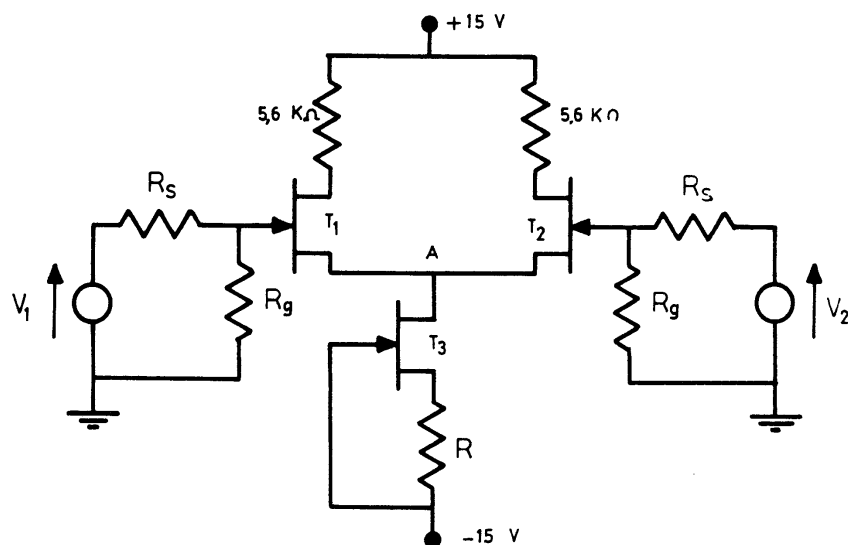
$g_0$  decrece mas o menos linealmente con  $I_D$ .

Además, cuando  $V_{GS} \rightarrow V_P$  se consigue que  $g_0$  decrezca.

Problema ;

$$I_{D3} = 2 \text{ mA}$$

$$\begin{array}{l|l} T_1 & I_{DSS} = 5 \text{ mA} \\ T_2 & V_P = -2 \text{ V} \\ T_3 & r_0 = 500 \text{ K}\Omega \end{array}$$



$$V_{GS3} = V_P \left( 1 - \sqrt{\frac{I_D}{I_{DSS}}} \right) = -2 \text{ V} \left( 1 - \sqrt{\frac{2}{5}} \right) = -0.74 \text{ V}$$

$$R = -\frac{V_{GS3}}{I_{D3}} = -\frac{(-0.74)}{2 \text{ mA}} = 370 \Omega$$

Se puede adoptar  $R = 360 \Omega$ .

$$g_{m0} = -2 \frac{I_{DSS}}{V_P} = -2 \frac{5 \text{ mA}}{-2 \text{ V}} = \frac{10}{2} \text{ mV} = 5 \text{ mV}$$

$$g_m = g_{m0} \left( 1 - \frac{V_{GS}}{V_P} \right) = 5 \cdot 10^{-3} \left( 1 - \frac{0,74}{2} \right) = 5 \cdot 0,63 \cdot 10^{-3} = 3,15 \cdot 10^{-3} \text{ u}$$

$$R_O = r_O ( 1 + g_m \cdot R ) = 0,5 \text{ M}\Omega ( 1 + 3,15 \cdot 10^{-3} \cdot 0,36 \cdot 10^3 )$$

$$R_O = 0,5 \text{ M}\Omega \cdot 2,134 \approx 1 \text{ M}\Omega$$

$$I_{D1} = I_{D2} = \frac{I_{D3}}{2} = 1 \text{ mA}$$

$$V_{GS1} = V_{GS2} = V_P \left( 1 - \sqrt{\frac{1}{5}} \right) = -1,12 \text{ V}$$

$$V_{S1T} \approx -V_{GS1} = 1,12 \text{ V}$$

$$V_{D1T} = V_{DD} - I_{D1} \cdot 5,6 \text{ K} = 15 - 5,6 \cdot 10^3 \cdot 10^{-3} = 9,4 \text{ V}$$

$$V_{DS1} = V_{DS2} = V_{D1T} - V_{S1T} = 9,4 \text{ V} - 1,12 \text{ V} \approx 8,3 \text{ V}$$

$$V_{AT} = 1,12 \text{ V}$$

$$V_{S3T} = I \cdot R - V_{EE} = 0,74 - 15 \text{ V} = -14,26 \text{ V}$$

$$V_{DS3} = V_{AT} - V_{S3T} = 1,12 \text{ V} - (-14,26) = 15,38 \text{ V}$$

Máximas elongaciones de modo común :

$$V_{iC} = \frac{R_G}{R_S + R_G} V_C$$

$$I_{D3} = \text{cte} = 2 \text{ mA}$$

$$V_{GS1} = -1,12 \text{ V} = \text{cte}$$

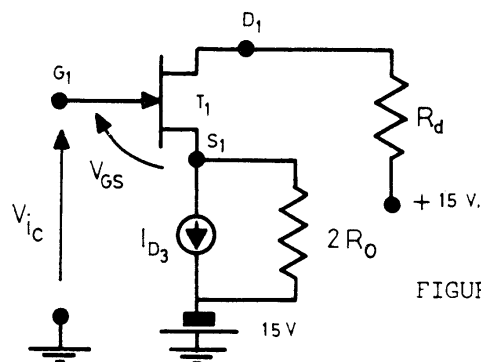


FIGURA 4.58.

De la FIGURA 4.58 :

$$V_{S1T} = -V_{GS1} + V_{iC}$$

Por otra parte :

$$|V_{DS1}| \geq |V_P| - |V_{GS1}|$$

$$\text{El } |V_{DS1}|_{\min} = 2 \text{ V} - 1,12 = 0,88 \text{ V}$$

$$V_{D1T} = V_{DD} - I_{D1} \cdot R_C = \text{cte} = 9,4 \text{ V}$$

$$V_{DS1} = V_{D1T} - V_{S1T} = V_{D1T} + V_{GS1} - V_{iC}$$

$$V_{iC} = V_{D1T} + V_{GS1} - V_{DS1}$$

$$V_{iC_{\text{máx}}} = V_{D1T} + V_{GS1} - V_{D1_{\text{mín}}}$$

$$V_{iC_{\text{máx}}} = 9,4 - 1,12 - 0,88 = 9,4 - 2 = 7,4 \text{ V}$$

$$V_{D3T} = V_A = V_{S1T} = -V_{GS1} - V_{iC} \quad \text{Para la elongación negativa de } V_{iC}$$

$$V_{DS3} = V_{D3T} - V_{S3T} \quad V_{DS3} = -V_{GS1} - V_{iC} - V_{S3T}$$

$$\therefore V_{iC} = -V_{GS1} - V_{DS3} - V_{S3T}$$

$$V_{iC_{\text{máx}}} \text{ se halla para } |V_{DS3}|_{\text{mín}} :$$

$$|V_{DS3}|_{\text{mín}} = |V_P| - |V_{GS3}| = 2 - 0,74 = 1,26 \text{ V}$$

$$\therefore V_{iC_{\text{máx}}} = 1,12 - 1,26 + 14,26 = 14,12 \text{ V}$$

$$V_{iC_{\text{máx}}} = -14,12 \text{ V}$$

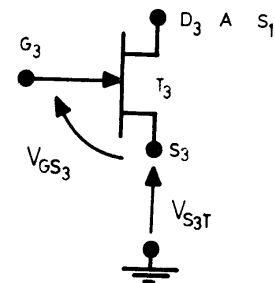


FIGURA 4.59.

#### 4.3. CARACTERISTICA DE TRANSFERENCIA ESTATICA :

Se estudia esta característica porque ella muestra hasta con que valor de tensión se puede excitar el AD.

Se verá que para trabajar dentro de la zona lineal de las características de transferencia sólo se puede excitar con señales diferenciales pequeñas.

##### 4.3.1. DETERMINACION DE LA CARACTERISTICA DE TRANSFERENCIA PARA TRANSISTORES BIPOLARES :

Sea la FIGURA 4.60.(a)

Se sabe que :

$$I_{E1} = I_S \cdot e^{\frac{V_{BE1}}{V_T}} \quad \text{y} \quad I_{E2} = I_S \cdot e^{\frac{V_{BE2}}{V_T}}$$

para corrientes de emisor por encima de 1 nA

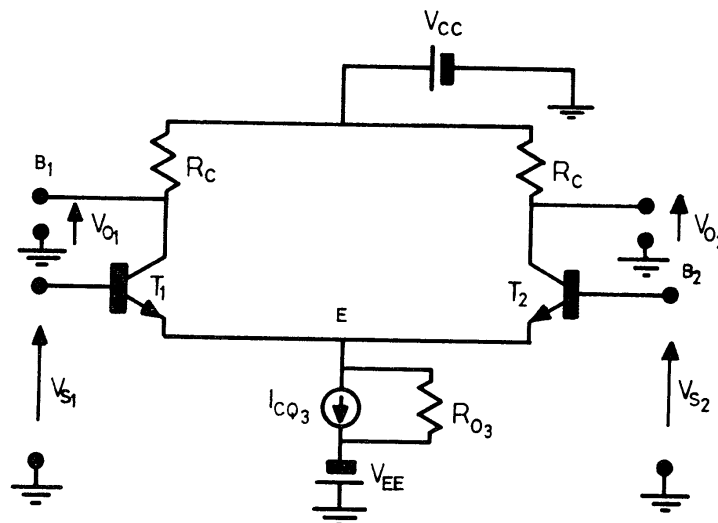


FIGURA 4.60.(a)

Como la corriente de la fuente de corriente constante es la suma de las corrientes de emisor, se tiene :

$$I_{CQ3} = I_{E1} + I_{E2} = I_S \cdot e^{\frac{V_{BE1}}{V_T}} + I_S \cdot e^{\frac{V_{BE2}}{V_T}}$$

Sacando factor común a  $I_S \cdot e^{\frac{V_{BE1}}{V_T}}$  se tiene :

$$I_{CQ3} = I_S \cdot e^{\frac{V_{BE1}}{V_T}} \left( 1 + e^{\frac{V_{BE2} - V_{BE1}}{V_T}} \right) \therefore$$

$$I_{CQ3} = I_{E1} \left( 1 + e^{\frac{V_{BE2} - V_{BE1}}{V_T}} \right) \quad \{4.82.\}$$

Sea la FIGURA 4.60.(b)

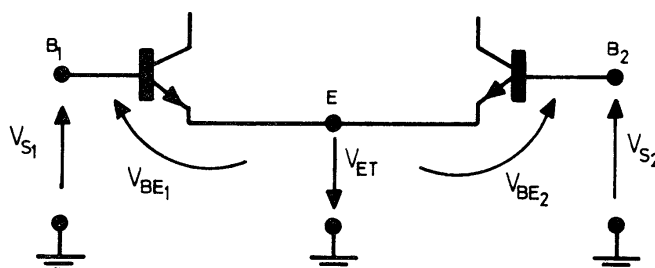


FIGURA 4.60.(b)

$$V_{S2} = V_{BE2} - V_{ET} \quad \{4.83.\} \quad V_{S1} = V_{BE1} - V_{ET} \quad \{4.84.\}$$

Restando la ecuación {4.84.} de la {4.83.}, se tiene :

$$V_{S2} - V_{S1} = V_{BE2} - V_{BE1}$$

Se hace :

$$V_{Sd} = V_{S2} - V_{S1} \quad \{4.85.\}$$

donde  $V_{Sd}$  es la diferencia de las señales de entrada sobre las bases de  $T_1$  y  $T_2$ .  
Reemplazando {4.85.} en la {4.82.}

$$I_{CQ3} = I_{E1} \left( 1 + e^{\frac{V_{Sd}}{V_T}} \right) \quad \{4.86.\}$$

Reiterando el procedimiento visto se obtiene :

$$I_{CQ3} = I_{E2} \left( 1 + e^{-\frac{V_{Sd}}{V_T}} \right) \quad \{4.87.\}$$

De las ecuaciones {4.86.} y {4.87.}, se obtiene :

$$\frac{I_{E1}}{I_{CQ3}} = \frac{I_{C1}}{I_{CQ3}} = \frac{1}{1 + e^{\frac{V_{Sd}}{V_T}}} \quad \{4.88.\}$$

$$\frac{I_{E2}}{I_{CQ3}} = \frac{I_{C2}}{I_{CQ3}} = \frac{1}{1 + e^{-\frac{V_{Sd}}{V_T}}} \quad \{4.89.\}$$

Representando las ecuaciones {4.88.} y {4.89.} se obtienen las características de transferencia normalizadas.

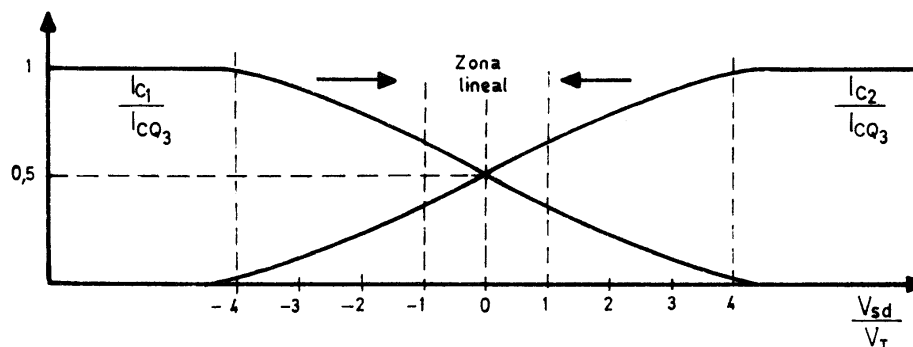


FIGURA 4.61

Las características de transferencia vinculan la corriente de colector con la tensión de entrada diferencial.

Se ve que hay una zona lineal alrededor de :  $\frac{V_{Sd}}{V_T} = 0$

Dicha zona está comprendida por:

$$\frac{V_{Sd}}{V_T} = \pm 1 \quad \therefore \quad V_{Sd} = \pm V_T = \pm 25 \text{ mV}$$

Es decir que la máxima tensión de entrada diferencial admitida es :

$$V_{Sd} = 25 \text{ mV}$$

La pendiente a las curvas características permite obtener la transconductancia diferencial efectiva :

$$g_{md} = \frac{d I_{C2}}{d V_{Sd}} \quad \{4.90.\}$$

Derivando la ecuación 4.89. se obtiene :

$$g_{md} = \frac{d I_{C2}}{d V_{Sd}} = \frac{- \left( - \frac{1}{V_T} \right) \cdot e^{-\frac{V_{Sd}}{V_T}} \cdot I_{CQ3}}{\left( 1 + e^{-\frac{V_{Sd}}{V_T}} \right)^2}$$

$$g_{md} = \frac{I_{CQ3}}{V_T} \cdot \frac{e^{-\frac{V_{Sd}}{V_T}}}{\left( 1 + e^{-\frac{V_{Sd}}{V_T}} \right)^2} \quad \{4.91.\}$$

El valor de la transconductancia es máximo en el punto de inflexión de la característica de transferencia, es decir para  $V_{Sd} = 0$ .

$$g_{mdM} = \frac{I_{CQ3}}{4 V_T} \quad \{4.92.\}$$

La transconductancia máxima  $g_{mdM}$  se puede controlar mediante la corriente  $I_{CQ3}$  del generador de corriente ( no se modifica la zona lineal ). Se puede, entonces, controlar la ganancia del amplificador diferencial mediante la variación de  $I_{CQ3}$ .

De las características de transferencia FIGURA 4.61. se observa que a partir de

$$\frac{V_{Sd}}{V_T} \geq 4 \quad ; \quad I_{CQ2} \text{ permanece constante.}$$

Por lo tanto, el amplificador diferencial es un limitador natural ya que para entradas mayores que:

$$V_{Sd} = \pm 4 V_T = \pm 100 \text{ mV} , \text{ no se obtienen aumentos adicionales}$$

les a la salida.

Como :  $d I_{C2} = g_{md} \cdot d(V_{Sd})$  y como  $g_{md} = \frac{1}{V_T} I_{CQ3}$  al variar  $g_{md}$  a través de  $I_{CQ3}$  se puede obtener un mezclador, modulador, detector de producto, etc.

Para ello basta aplicar una señal en base de  $T_3$  que provoque la variación de  $I_{CQ3}$ .

Dividiendo la ecuación {4.91.} por la ecuación {4.92.}, se tiene :

$$\frac{g_{md}}{g_{mdM}} = \frac{4 e^{-\frac{V_{Sd}}{V_T}}}{\left(1 + e^{-\frac{V_{Sd}}{V_T}}\right)^2} \quad \{4.93.\}$$

Se puede representar la ecuación anterior :

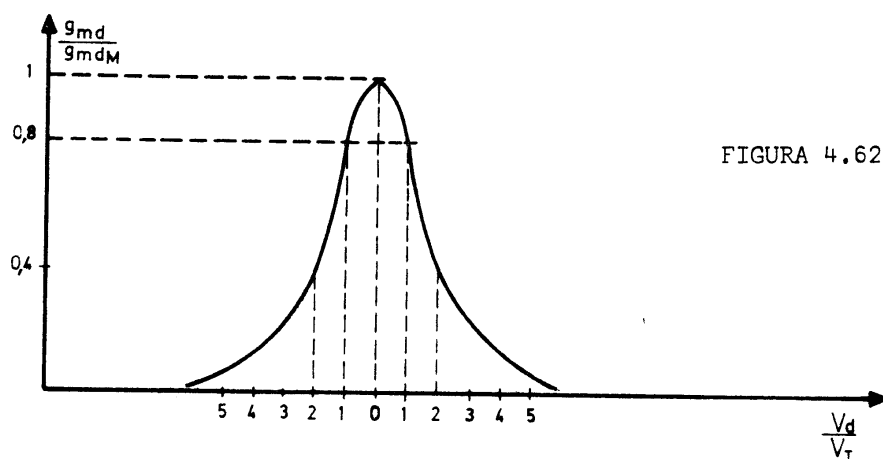


FIGURA 4.62

Dentro del margen de linealidad  $\left(\frac{V_{Sd}}{V_T} = \pm 1\right)$ , la transconductancia disminuye en un 20 % respecto de  $g_{mdM}$ .

Esta variación provocará una alinealidad en el comportamiento del amplificador, ya que la ganancia diferencial varía en función de la señal de entrada diferencial.

Conviene entonces aumentar el rango de linealidad mediante el uso de realimentación negativa en el emisor.

En la FIGURA 4.63. se han agregado dos resistores  $R_1$  y  $R_2$ .

Se hace :

$$R_1 = R_2$$

Se demuestra que la transconductancia máxima está dada por la ecuación {4.94.}

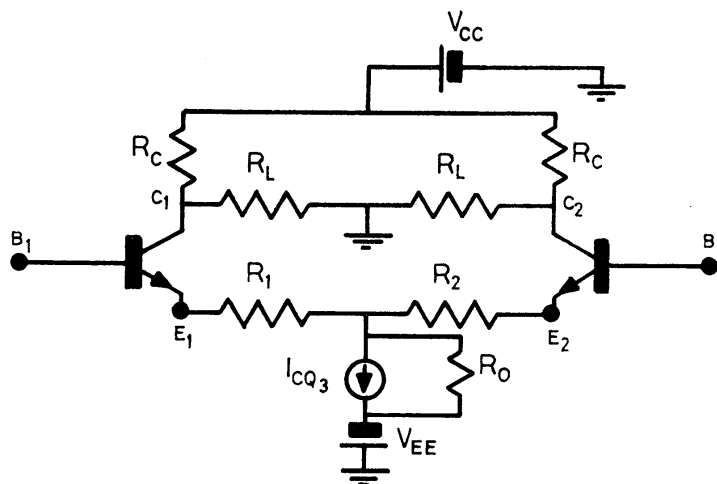


FIGURA 4.63.

$$g_{mdM} \bigg|_{R_1} = \frac{1}{\frac{4 V_T}{I_{CQ3}} + 2 R_1} \quad \{4.94.\}$$

La transconductancia máxima disminuye al aumentar  $R_1$ .  
Pero al mismo tiempo mejora la relación

$$\frac{g_{md}}{g_{mdM}} \bigg|_{R_1}$$

La disminución de  $g_{md}$  ahora  
es del 20% para :

$$\frac{V_{Sd}}{V_T} = \pm 4 \quad \therefore$$

$$V_{Sd} = \pm 4 V_T = \pm 100 \text{ mV}$$

Se puede usar  $V_{Sd} = 75 \text{ mV}$  con muy baja deformación.

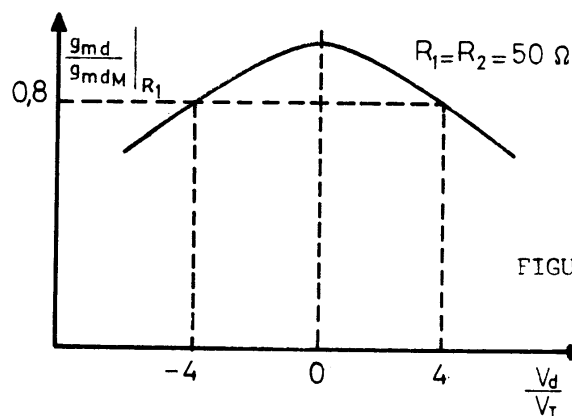


FIGURA 4.64.

#### 4.3.2. DETERMINACION DE LA CARACTERISTICA DE SALIDA :

La señal de salida diferencial está dada por :

$$V_{Od} = V_{Od2} - V_{Od1} \quad (\text{Ver punto 4.2.4.})$$

$$V_{Od2} = - I_{C2d} \cdot R_d$$

$$V_{Od1} = + I_{C1d} \cdot R_d$$

Reemplazando se tiene :



$$V_{Od} = - I_{C2d} \cdot R_d - I_{C1d} \cdot R_d \quad \{4.95\}$$

Reemplazando las ecuaciones {4.88.} y {4.89.} en la ecuación {4.95.} se tiene :

$$V_{Od} = - \frac{I_{CQ3} \cdot R_c}{1 + e^{-\frac{V_{Sd}}{V_T}}} - \frac{I_{CQ3} \cdot R_c}{1 + e^{\frac{V_{Sd}}{V_T}}} \quad \{4.96\}$$

El gráfico correspondiente a esta ecuación se tiene en la FIGURA 4.65 .

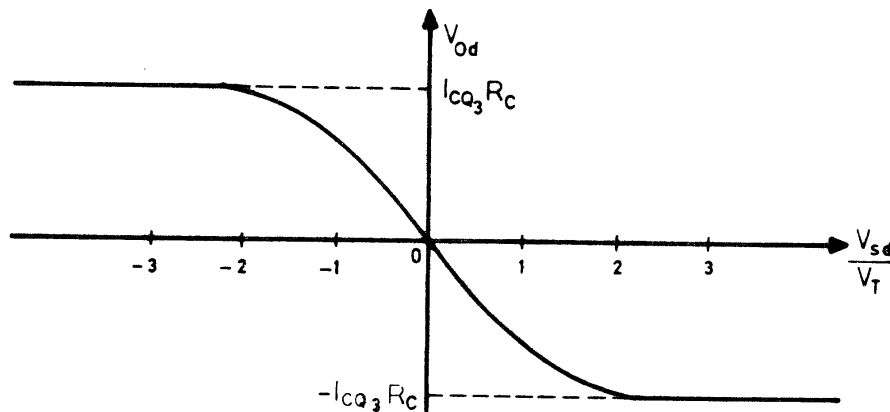


FIGURA 4.65.

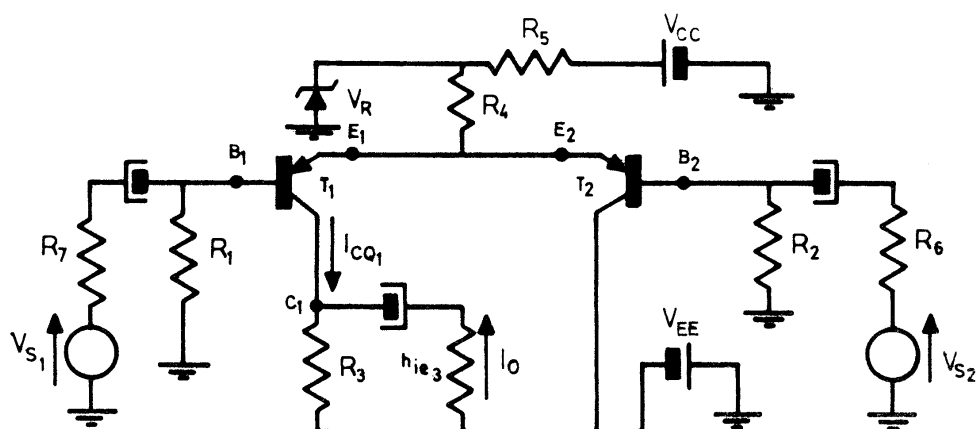
Surge del gráfico {4.65.} como de la ecuación {4.96.} que cuando

$$\frac{V_{Sd}}{V_T} = 0 \quad \text{resulta} \quad V_{Od} = 0$$

Entonces podemos acoplar directamente otra etapa diferencial sin introducir tensiones residuales. (OFFSET)

Problema :

Sea la FIGURA siguiente :



Datos:  $T_1$  y  $T_2$  ) BC 557

$V_{EE} = 31 \text{ V}$

$V_{C1T} = -30,25 \text{ V}$

$V_{S1} = 100 \text{ mV}$

$I_O = 0,1 \text{ mA}$

$V_R = 6,8 \text{ V}$

$$V_{R3} = V_{C1T} - ( - V_{EE} ) = - 30,25 + 31 = 0,75 \text{ V}$$

$$I_{CQ1} = \frac{V_{R3}}{R_3} = \frac{750 \text{ mV}}{680 \Omega} \approx 1,1 \text{ mA}$$

De la hoja de datos del BC 557 y para  $I_{CQ} = 1 \text{ mA}$  se obtiene :

$$h_{fe1} = 145$$

$$h_{ie1} = 4000 \Omega$$

$$h_{FE1} = 135$$

Por lo tanto :

$$I_{B1} = \frac{I_{CQ1}}{h_{FE1}} = \frac{1,1 \text{ mA}}{135} = 8,14 \mu\text{A}$$

$$V_{B1T} = R_1 \cdot I_{B1} = 3,3 \cdot 10^3 \cdot 8,14 \cdot 10^{-6} = 27 \text{ mV}$$

$$V_{E1T} = V_{EB1} + V_{B1T} = 700 \text{ mV} + 27 \text{ mV} = 727 \text{ mV}$$

$$I_{CR4} = 2 I_{CQ1} = 2,2 \text{ mA}$$

$$R_4 = \frac{V_R - V_{E1T}}{I_{CR4}} = \frac{6,8 - 0,727}{2,2 \text{ mA}} \approx 2,7 \text{ K}\Omega$$

2º) Calcular  $V_{S2}$  para que  $I_O = 0,1 \text{ mA}$  **DATO**

$$R_d = R_3 \parallel h_{ie3} = 680 \Omega \parallel 250 \Omega = 183 \Omega$$

Veamos el circuito de la malla de entrada. En ella aplicamos THEVENIN :

$$R_S = R_1 \parallel R_7 = 3,3 \text{ K}\Omega \parallel 680 \Omega = 563 \Omega$$

$$V_1 = V_{S1} \frac{R_1}{R_1 + R_7} = 100 \text{ mV} \frac{3300}{3980} = 83 \text{ mV}$$

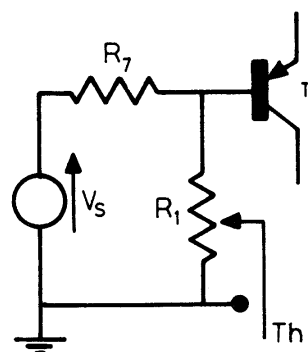
Se puede hacer el circuito de la FIGURA

De acuerdo al sentido de  $I_O$ ,  $V_O$  debe ser negativa respecto de tierra (Semiciclo rayado).

El sentido de  $I_O$  determina el de  $I_{C1}$  ( entrante ).

Por lo tanto  $I_{b1}$  debe ser también entrante.

Para ello el sentido de  $V_d / 2$  aplicado a  $T_1$  es el indicado en la FIGURA 4.66



(Semiciclo rayado).

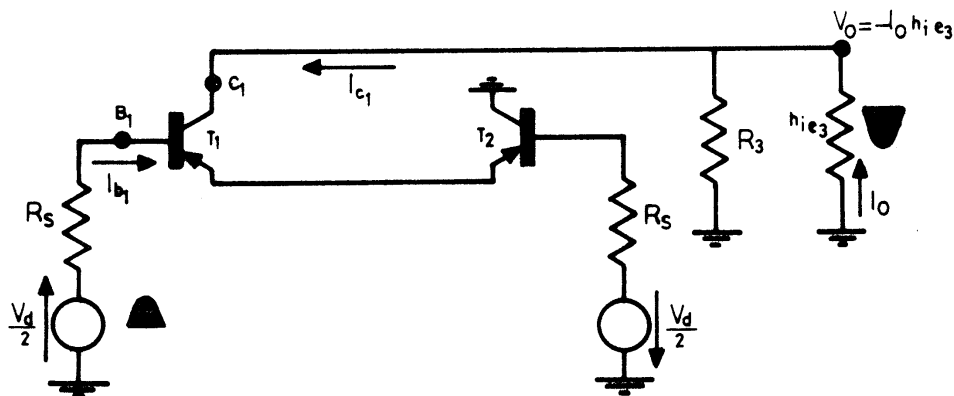


FIGURA 4.66.

Es decir que  $V_1 > V_2$  para que  $V_0$  sea negativa.

$$V_0 = -I_0 \cdot h_{ie3} = -100 \cdot 10^{-6} \cdot 250 = -25 \text{ mV}$$

$$V_d = V_1 - V_2 \quad \therefore \quad V_2 = V_1 - V_d$$

$$A_{Vd} = \frac{V_0}{V_d} = \frac{-R_d}{2 h_{ib1} + 2 \frac{R_s}{h_{fe1}}} \quad \text{donde :}$$

$$h_{ib1} = \frac{h_{ie1}}{h_{fe1}} = \frac{4000}{145} = 27,5 \, \Omega$$

$$A_{Vd} = - \frac{183}{55 + 7,76} = -2,9$$

Como :

$$V_d = \frac{V_0}{A_{Vd}} \quad \text{se tiene :}$$

$$V_d = \frac{-25 \text{ mV}}{-2,9} = 8,62 \text{ mV}$$

$$V_2 = V_1 - V_d = 83 \text{ mV} - 8,62 \text{ mV} = 74,38 \text{ mV}$$

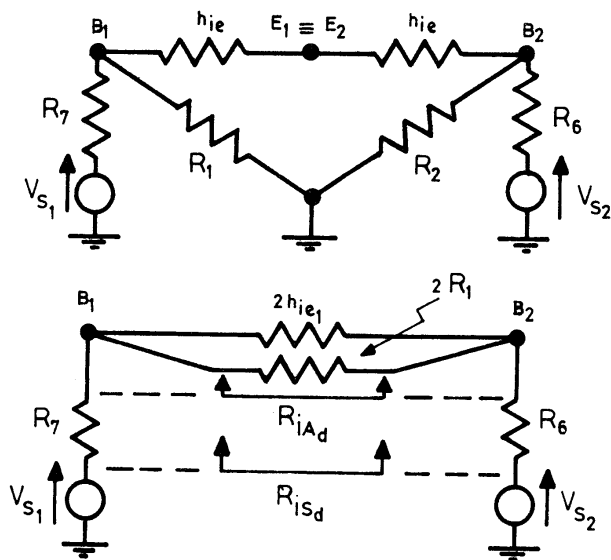
De acuerdo con la expresión de THEVENIN vista para  $T_1$  y que extendemos a  $T_2$  se tiene :

$$V_2 = V_{S2} \frac{R_2}{R_2 + R_6} \quad \therefore \quad V_{S2} = \frac{R_2 + R_6}{R_2} V_2$$

$$V_{S2} = 74,38 \text{ mV} \frac{3300 + 680}{3300} = 74,38 \frac{3980}{3300} = 89,7 \text{ mV}$$

3º) Calcular  $R_{iAd}$  y  $R_{iSd}$  :

Volviendo a la figura inicial se tiene :



$$R_{iAd} = 2 h_{ie1} \parallel 2 R_1 = 8000 \, \Omega \parallel 6600 \, \Omega \approx 3,6 \, \text{k}\Omega$$

$$R_{iSd} = 2 R_7 + R_{iAd} = 2 \cdot 680 \, \Omega + 3600 \, \Omega = 4,96 \, \text{k}\Omega$$

#### 4.3.3. DETERMINACION DE LA CARACTERISTICA DE TRANSFERENCIA PARA TRANSISTORES UNIPOLARES :

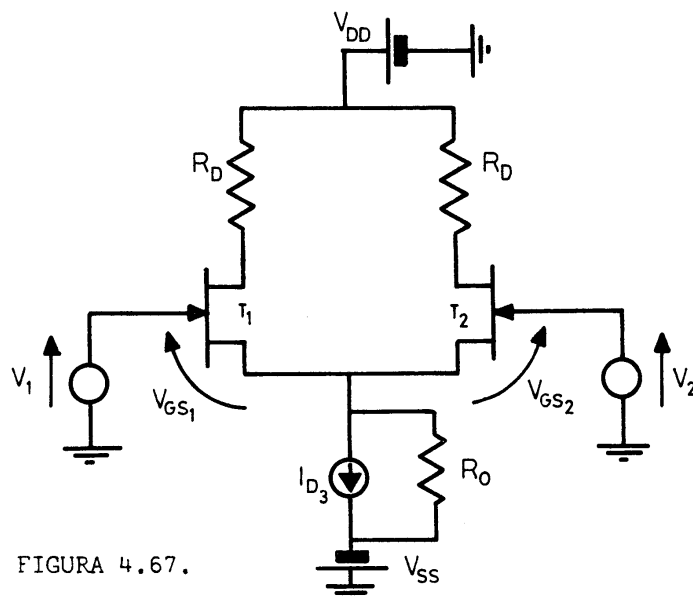


FIGURA 4.67.

En cada transistor se tiene :

$$I_D = I_{DSS} \left( 1 - \frac{V_{GS}}{V_P} \right)^2 \quad \therefore \quad V_{GS} = V_P \left( 1 - \sqrt{\frac{I_D}{I_{DSS}}} \right)$$

También :

$$I_{D3} = I_{D1} + I_{D2} \quad \{4.97.\}$$

En la malla de entrada :

$$V_1 - V_{GS1} + V_{GS2} - V_2 = 0 \quad \therefore \quad V_1 - V_2 = V_{GS1} - V_{GS2}$$

$$V_1 - V_2 = V_P \left( 1 - \sqrt{\frac{I_{D1}}{I_{DSS}}} \right) - V_P \left( 1 - \sqrt{\frac{I_{D2}}{I_{DSS}}} \right)$$

$$V_1 - V_2 = V_P \left( - \sqrt{\frac{I_{D1}}{I_{DSS}}} + \sqrt{\frac{I_{D2}}{I_{DSS}}} \right) = V_d \quad \{4.98.\}$$

De las ecuaciones {4.97.} y {4.98.} se obtiene :

$$v_1 = \frac{I_{D1}}{I_{D3}} = \frac{1}{2} \left\{ 1 + X \cdot \sqrt{2 \frac{I_{DSS}}{I_{D3}} - \left( \frac{I_{DSS}}{I_{D3}} \right)^2 \cdot X^2} \right\} \quad \{4.99.\}$$

$$v_2 = \frac{I_{D2}}{I_{D3}} = \frac{1}{2} \left\{ 1 - X \cdot \sqrt{2 \frac{I_{DSS}}{I_{D3}} - \left( \frac{I_{DSS}}{I_{D3}} \right)^2 \cdot X^2} \right\} \quad \{4.100.\}$$

donde :

$$X = \frac{V_d}{V_P}$$

Representamos  $v_1$  e  $v_2$  en función de  $X$  tomando a  $\frac{I_{DSS}}{I_{D3}}$  como parámetro.

Supongamos :  $\frac{I_{DSS}}{I_{D3}} = 1$  . Queda :

$$v_1 = \frac{1}{2} \left\{ 1 + X \sqrt{2 - X^2} \right\}$$

$$v_2 = \frac{1}{2} \left\{ 1 - X \sqrt{2 - X^2} \right\}$$

Si  $X = 1$  resulta  $X \cdot \sqrt{2 - X^2} = 1$  y por consiguiente  $v_2 = 0$  e  $v_1 = 1$  .

Las ecuaciones anteriores se hacen lineales cuando  $\sqrt{2 - X^2} \rightarrow \sqrt{2}$  . Queda :

$$\left. \begin{aligned} v_1 &= \frac{1}{2} \left\{ 1 + \sqrt{2} \cdot X \right\} \\ v_2 &= \frac{1}{2} \left\{ 1 - \sqrt{2} \cdot X \right\} \end{aligned} \right| \quad \text{Para } X \text{ entre } \pm 0,316$$

Consideramos la situación como lineal cuando :  $X^2 \leq \frac{2}{20} \quad \therefore \quad X^2 \leq 0,1$

$$\therefore \quad X = 0,316$$

Consideramos la transferencia lineal entre  $X = - 0,316$  y  $X = + 0,316$

Supongamos :

$$\frac{I_{DSS}}{I_{D3}} = 2 \quad . \quad \text{Queda :}$$

$$y_1 = \frac{1}{2} \{ 1 + X \cdot \sqrt{4 - 4X^2} \}$$

$$y_2 = \frac{1}{2} \{ 1 - X \cdot \sqrt{4 - 4X^2} \}$$

$$y_1 = \frac{1}{2} \{ 1 + 2X \sqrt{1 - X^2} \}$$

$$y_2 = \frac{1}{2} \{ 1 - 2X \sqrt{1 - X^2} \}$$

La transferencia es lineal cuando :

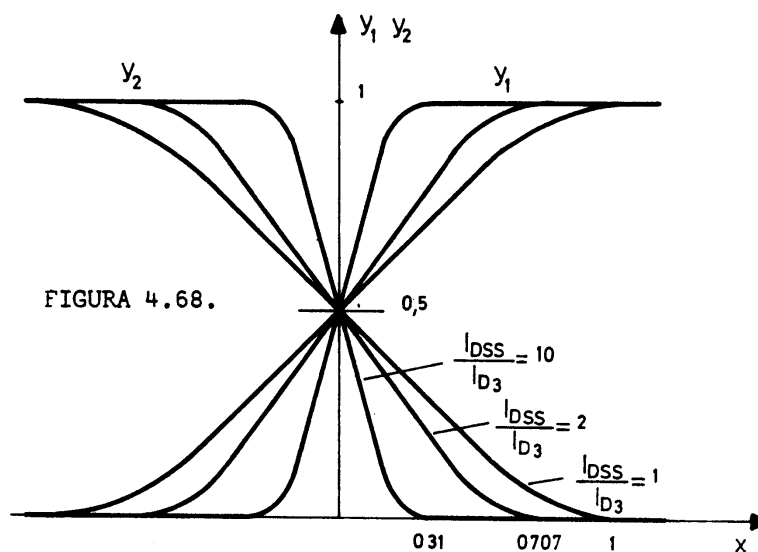
$$\sqrt{1 - X^2} \approx 1$$

$$X^2 \leq \frac{1}{20}$$

$$X^2 \leq 0,05$$

$$X = \sqrt{0,05} = 0,2236$$

La transferencia es lineal entre  $X = -0,2236$  y  $X = +0,2236$ .



$$y_2 = 0 \quad \text{cuando} \quad 2X \sqrt{1 - X^2} = 1$$

Lo cual se obtiene con  $X = 0,707$ .

$$2 \cdot 0,707 \sqrt{1 - 0,5} = 1,414 \sqrt{0,5} = 1,414 \cdot 0,707 \approx 1$$

En la zona lineal :

$$\left. \begin{aligned} v_1 &= \frac{1}{2} \{ 1 + 2 X \} \\ v_2 &= \frac{1}{2} \{ 1 - 2 X \} \end{aligned} \right| \text{ Para } X \text{ entre } \pm 0,2236$$

Para

$$\frac{I_{DSS}}{I_{D3}} = 10 \quad \text{se tiene :}$$

$$v_1 = \frac{1}{2} \{ 1 + X \sqrt{20 - 100 X^2} \}$$

$$v_2 = \frac{1}{2} \{ 1 - X \sqrt{20 - 100 X^2} \}$$

$$v_2 = 0 \quad \text{cuando :} \quad X \sqrt{20 - 100 X^2} = 1$$

Se obtiene para  $X = 0,31$

$$0,31 \sqrt{20 - 100 (0,31)^2} = 0,31 \sqrt{20 - 9,61} = 0,31 \sqrt{10,39} = 0,31 \cdot 3,22 \approx 1$$

Si  $X = 0,1$  resulta  $\sqrt{20 - 100 X^2} = \sqrt{20 - 1} = \sqrt{19}$ , y por lo tanto se puede considerar la transferencia lineal para valores de  $X$  entre  $\pm 0,1$ .

$$\left. \begin{aligned} v_1 &= \frac{1}{2} \{ 1 + \sqrt{20 X} \} \\ v_2 &= \frac{1}{2} \{ 1 - \sqrt{20 X} \} \end{aligned} \right| \text{ Para } X \text{ entre } \pm 0,1$$

El valor más pequeño de  $X$  que da transferencia lineal se obtiene para :

$$\frac{I_{DSS}}{I_{D3}} = 10$$

Ese valor es  $X = \pm 0,1$

Como :  $X = \frac{V_d}{V_P}$ , resulta :  $V_d = \pm 0,1 V_P$

Como  $V_P$  esta comprendida generalmente entre 2 y 5 V se obtienen tensiones de entrada del orden de :

$$V_d = \pm 200 \text{ mV} \quad \text{hasta} \quad V_d = \pm 500 \text{ mV}$$

El diferencial con FET admite una tensión de entrada mucho mayor que el diferencial bipolar dentro de la zona lineal.

En comparación con el diferencial bipolar (para la misma corriente continua de operación) el diferencial unipolar tiene menor ganancia por ser su transconductancia mucho menor.

Las ganancias de modo común son similares. Por lo tanto el  $\rho$  del unipolar es inferior al del bipolar.

## 4.4.1. ANALISIS DEL DIFERENCIAL INTEGRADO CA 3000 :

Sea la FIGURA 4.69. correspondiente al integrado CA 3000 :

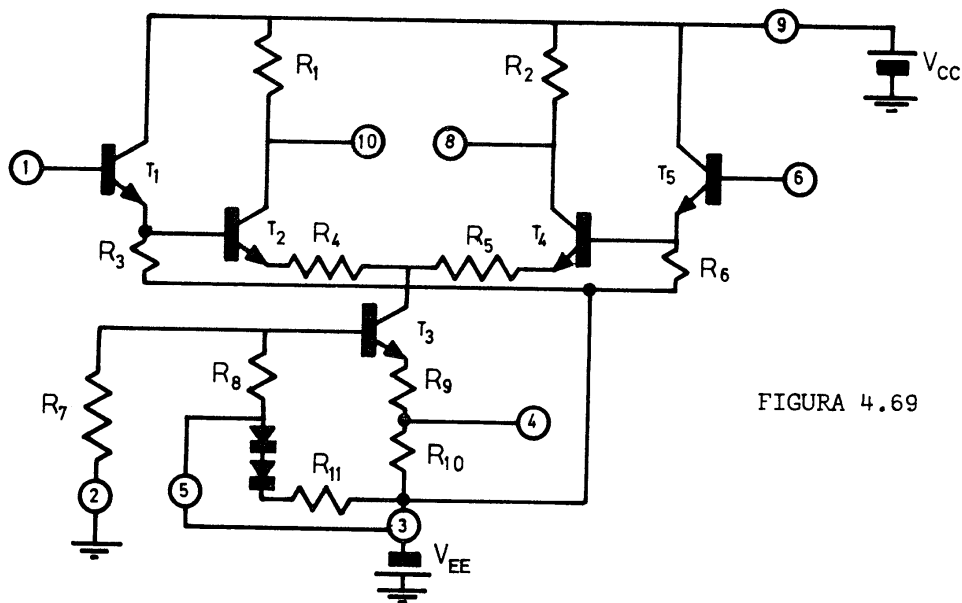


FIGURA 4.69

Existen distintas posibilidades de conectar la fuente de corriente constante ( $T_3$ ) En la FIGURA se ha unido el terminal 5 al terminal 3 poniendo en corto  $R_{11}$  y los diodos de compensación.

Se ha conectado el terminal 2 a tierra, el terminal 3 a la fuente negativa  $V_{EE}$  y el terminal 9 a la fuente positiva  $V_{CC}$ .

1 y 6 son los terminales de entrada y 8 y 10 los terminales de salida.

DATOS :

$$V_{CC} = V_{EE} = 6 \text{ V}$$

$$R_1 = R_2 = 8 \text{ K}\Omega$$

$$R_3 = R_6 = 4,8 \text{ K}\Omega$$

$$R_4 = R_5 = 50 \text{ }\Omega$$

$$R_7 = 5 \text{ K}\Omega$$

$$R_8 = 2,8 \text{ K}\Omega$$

$$R_9 = 1 \text{ K}\Omega$$

$$R_{10} = 2 \text{ K}\Omega$$

$$R_{11} = 2,2 \text{ K}\Omega$$

Se supone :

$$h_{fe} = h_{FE} \approx 40$$

$V_{CC}$  y  $V_{EE} < 10 \text{ V}$  que es la máxima tensión de fuente especificada.

Se estudiará primero la parte de continua

Redibujamos el circuito correspondiente al generador de corriente. FIGURA 4.70.

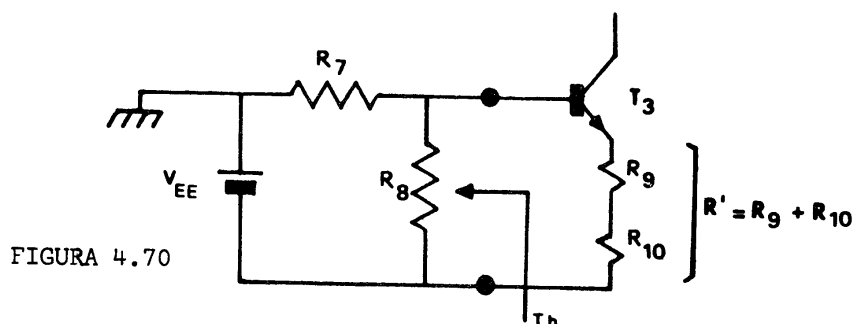


FIGURA 4.70



Aplicando THEVENIN se tiene :

$$V_T = V_{EE} \frac{R_8}{R_7 + R_8} = 6 \frac{2,8 \text{ K}\Omega}{2,8 \text{ K}\Omega + 5 \text{ K}\Omega} = 2,15 \text{ V}$$

$$R_T = R_7 || R_8 = 1,8 \text{ K}\Omega$$

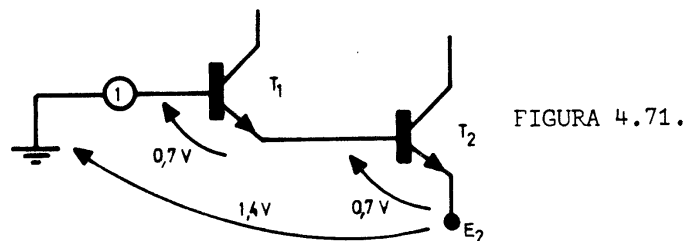
$$R' = R_9 + R_{10} = 1 \text{ K}\Omega + 2 \text{ K}\Omega = 3 \text{ K}\Omega$$

$$I_{CQ3} = \frac{V_T - V_{BE}}{R' + \frac{R_T}{h_{FE}}} = \frac{2,15 - 0,7}{3000 + \frac{1800}{40}} = \frac{1,45 \text{ V}}{3045 \Omega} = 0,476 \text{ mA}$$

$$I_{CQ2} = I_{CQ4} = \frac{I_{CQ3}}{2} = \frac{0,476}{2} = 0,238 \text{ mA}$$

$$V_{10T} = V_{CC} - I_{CQ2} \cdot R_1 = 6 - 0,238 \cdot 10^{-3} \cdot 8 \cdot 10^3 = 4,1 \text{ V}$$

En la hoja de datos del CA 3000 se especifica un valor de 4,3 V.  
Sea la FIGURA 4.71.



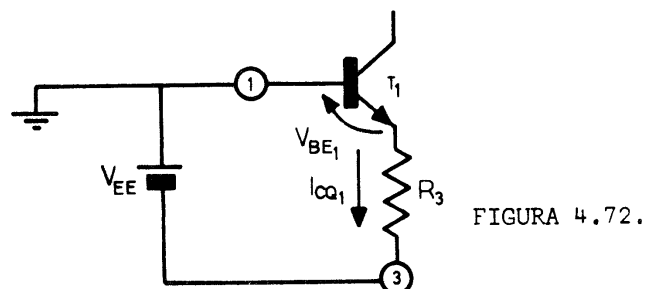
$$V_{E2T} = -2 V_{BE} = -1,4 \text{ V}$$

La base de  $T_1$  retorna a masa a través del generador de excitación.  
Suponemos pequeña la caída en su resistencia interna.

$$V_{CEQ2} = V_{CEQ4} = V_{10T} - V_{E2T} = 4,1 - (-1,4) = 5,5 \text{ V}$$

$$I_{B2} = I_{B4} = \frac{I_{CQ2}}{h_{FE}} = \frac{0,238 \text{ mA}}{40} \approx 6 \mu\text{A}$$

Sea la FIGURA 4.72.



De la FIGURA, se tiene :

$$V_{EE} = V_{BE1} + I_{CQ1} \cdot R_3 \quad \therefore$$

$$I_{CQ1} = I_{CQ5} = \frac{V_{EE} - V_{BE1}}{R_3} = \frac{6 - 0,7}{4800} = 1,1 \text{ mA}$$

$$V_{CEQ1} = V_{CEQ5} = V_{CC} - V_{E1T} = 6 - (-0,7) = 6,7 \text{ V}$$

Circuito dinámico:

Sea la FIGURA 4.73.

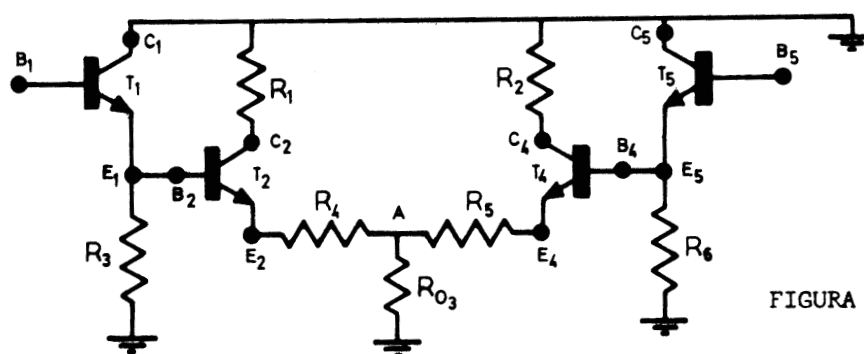


FIGURA 4.73.

El amplificador diferencial propiamente dicho es el constituido por los transistores  $T_2$  y  $T_4$ .

Desde el punto de vista "diferencial"  $R_{O3}$  se comporta como un corto y el punto A es una tierra virtual.

La resistencia de entrada diferencial es la que existe entre las bases  $B_1$  y  $B_5$ . El transistor  $T_1$  funciona en la configuración de colector común con el objeto de aumentar la resistencia de entrada diferencial.

$T_1$  está cargado con la resistencia  $R_3$  en paralelo con la resistencia de entrada del transistor  $T_2$ .

$T_2$  está cargado con  $R_4$  ya que A es una tierra virtual.

Sea la FIGURA 4.74.

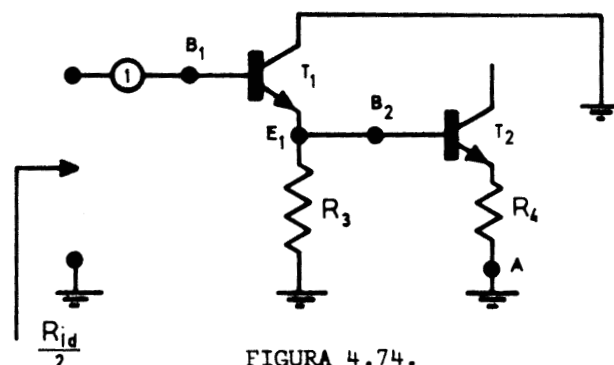


FIGURA 4.74.

Reemplazando  $T_2$  se tiene la FIGURA 4.75.

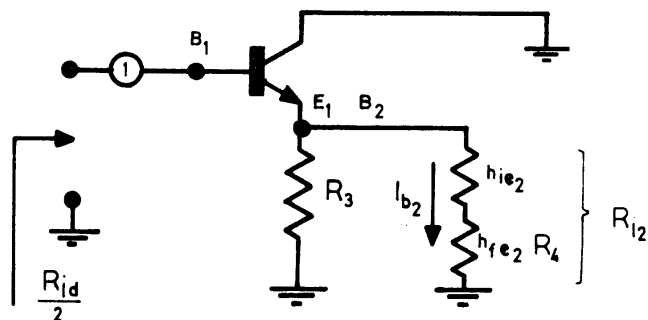


FIGURA 4.75.

Se hace :

$$R_{d1} = R_3 \parallel (h_{ie2} + h_{fe2} \cdot R_4) = R_3 \parallel R_{i2}$$

$$h_{ie2} = \frac{h_{fe2}}{g_{m2}} = \frac{40}{40 \cdot 0,238 \cdot 10^{-3}} = 4200 \, \Omega$$

$$R_{i2} = h_{ie2} + h_{fe2} \cdot R_4 = 4200 + 40 \cdot 50 = 6200 \, \Omega$$

$$R_{d1} = R_3 \parallel R_{i2} = 4,8 \, \text{k}\Omega \parallel 6,2 \, \text{k}\Omega = 2,7 \, \text{k}\Omega$$

$$h_{ie1} = \frac{h_{fe1}}{g_{m1}} = \frac{40}{40 \cdot 1,1 \cdot 10^{-3}} \approx 910 \, \Omega$$

$$\frac{R_{id}}{2} = h_{ie1} + h_{fe1} \cdot R_{d1} = 910 + 40 \cdot 2700 \approx 109 \, \text{k}\Omega$$

$$R_{id} = 2 \cdot 109 \, \text{k}\Omega = 218 \, \text{k}\Omega$$

La especificación contenida en la hoja de datos es de  $R_{id} = 200 \, \text{k}\Omega$

Veamos la ganancia diferencial :

En la FIGURA 4.76. se observa que  $h_{fe1} \cdot R_{d1} \gg h_{ie1}$

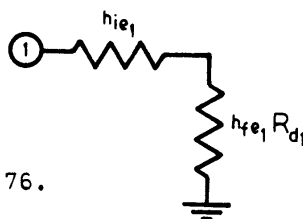


FIGURA 4.76.

Por lo tanto :

$$A_{V1} = \frac{h_{fe1} \cdot R_{d1}}{h_{ie1} + h_{fe1} \cdot R_{d1}} \approx 1$$

Por lo tanto, la etapa de entrada de CC no introduce ganancia de tensión y su objetivo es aumentar la resistencia de entrada diferencial sin modificar la ganancia diferencial dada por  $T_2$  y  $T_4$ .

Sea la FIGURA 4.77.

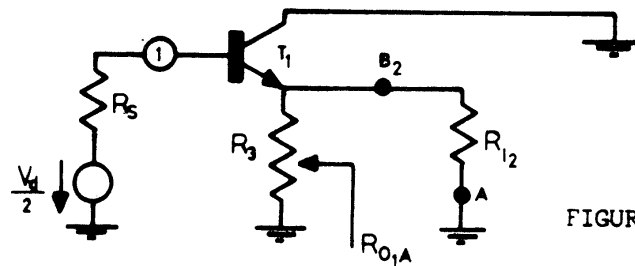


FIGURA 4.77.

$$R_{i2} = h_{ie2} + h_{fe2} \cdot R_4$$

Para hallar  $R_{O1A}$  ponemos  $T_1$  a nivel de  $I_{e1}$ .

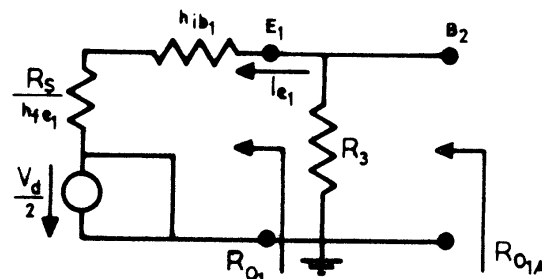


FIGURA 4.78.

$$R_{O1} = \frac{R_S}{h_{fe1}} + h_{ib1} = \frac{R_S}{h_{fe1}} + \frac{1}{g_{m1}} = \frac{R_S}{h_{fe1}} + \frac{1}{40 I_{CQ1}}$$

Suponemos  $R_S = 80 \, \Omega$ , se tiene :

$$R_{O1} = \frac{80 \, \Omega}{40} + \frac{1}{40 \cdot 1,1 \cdot 10^{-3}} \approx 25 \, \Omega$$

$$R_{O1A} = R_{O1} \parallel R_3 = 25 \, \Omega \parallel 4800 \, \Omega \approx 25 \, \Omega \approx R_{O1}$$

Entonces la  $B_2$  se excita con  $V_d / 2$  que posee una resistencia en serie igual a  $R_{O1}$ . Ver FIGURA 4.79.

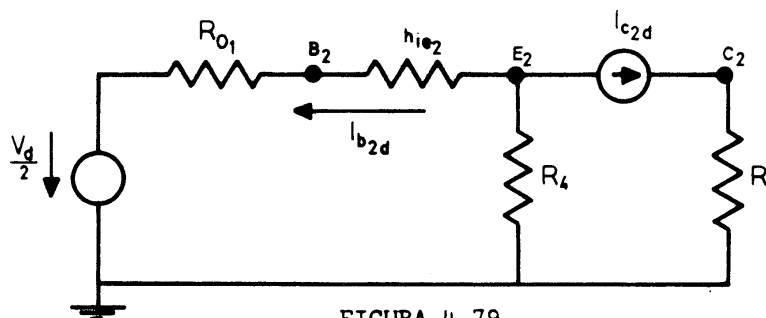


FIGURA 4.79.

Pasando la malla de entrada a nivel de  $I_{b2d}$ :

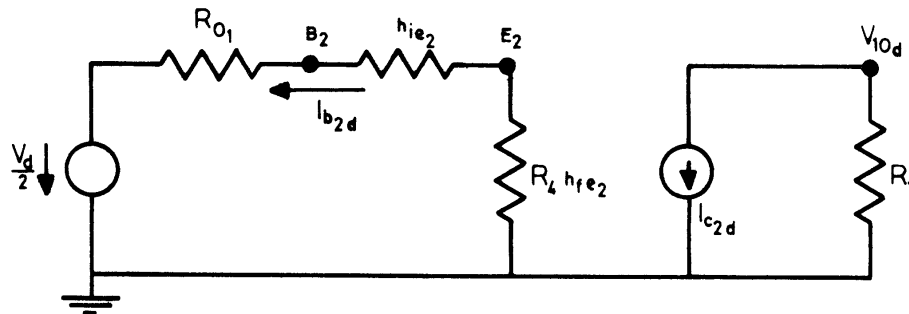


FIGURA 4.80.

De la FIGURA 4.80.

$$V_{10d} = - I_{c2d} \cdot R_1$$

Pasando la malla de entrada a nivel de  $I_{c2d}$ :

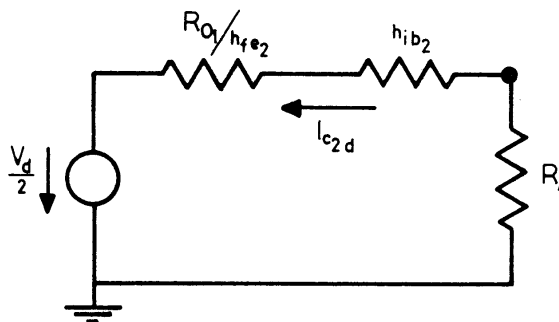


FIGURA 4.81.

De la FIGURA 4.81.

$$I_{c2d} = \frac{V_d}{2 \left( \frac{R_{01}}{h_{fe2}} + h_{ib2} + R_4 \right)}$$

∴

$$V_d = I_{c2d} \left( 2 \frac{R_{01}}{h_{fe2}} + h_{ib2} + R_4 \right)$$

Dividiendo  $V_{10d}$  por  $V_d$  se tiene :

$$A_{VS} = \frac{- R_1}{2 \left( \frac{R_{01}}{h_{fe2}} + h_{ib2} + R_4 \right)}$$

El signo menos surge de que  $V_{10d}$  y  $V_d$  tienen fases opuestas.

$$h_{ib2} = \frac{1}{g_{m2}} = \frac{1}{40 \cdot 0,238 \cdot 10^{-3}} = 105 \, \Omega$$

$$A_{Vd} = - \frac{8 \cdot 10^3}{2 \left( \frac{25}{40} + 105 + 50 \right)} = - \frac{4 \cdot 10^3}{155,6} = - 25,7$$

En dB se tiene :

$$20 \log_{10} 25,7 = 20 \cdot 1,4 = 28 \text{ dB (Hoja de datos 27,3 dB)}$$

#### 4.4.2. ANALISIS DE LA ETAPA DIFERENCIAL DEL AMPLIFICADOR OPERACIONAL 741 :

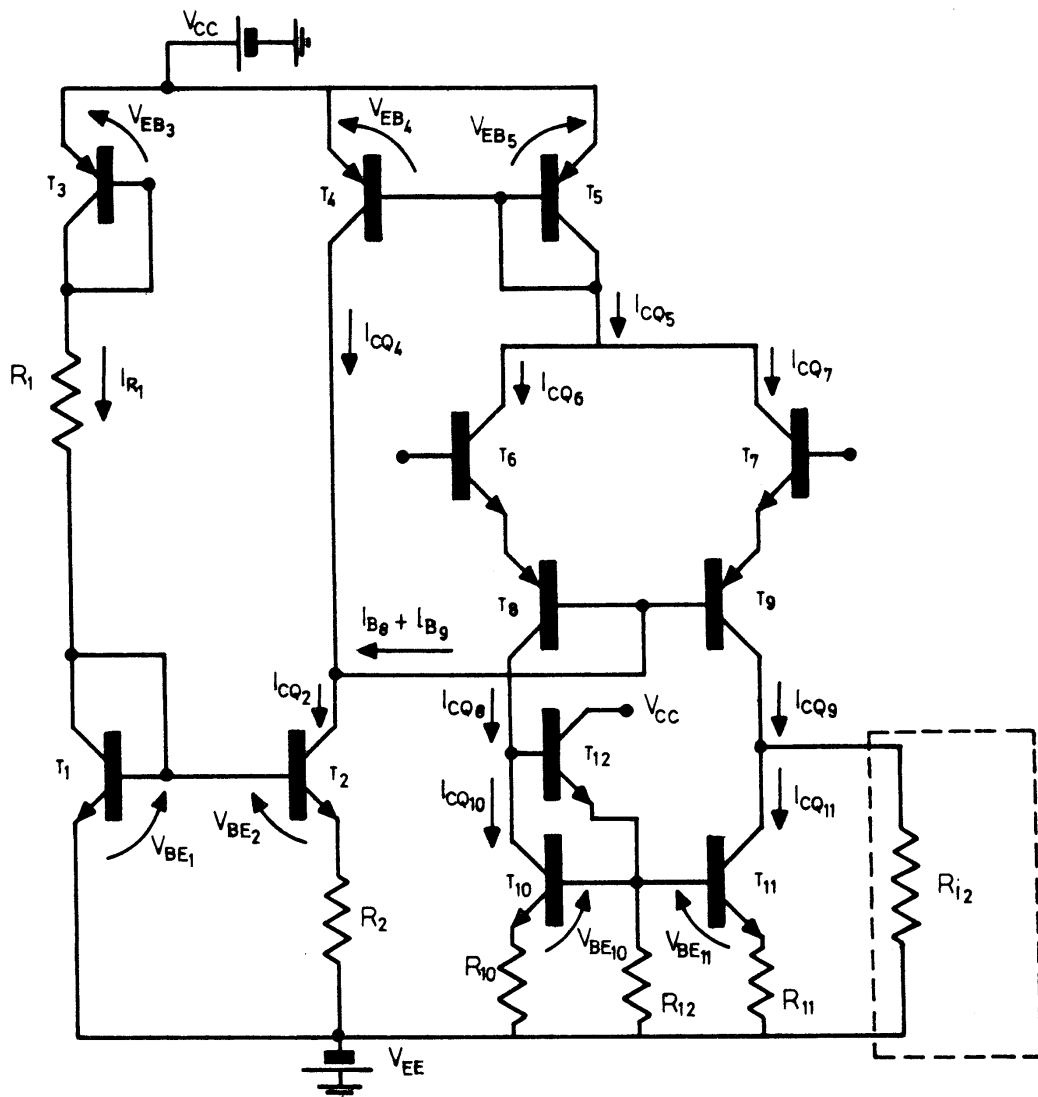


FIGURA 4.82.

$$\begin{aligned}
 V_{CC} = V_{EE} &= 15 \text{ V} & R_1 &= 39 \text{ K}\Omega & R_2 &= 5 \text{ K}\Omega & R_3 &= 50 \text{ K}\Omega \\
 R_{10} = R_{11} &= 1 \text{ K}\Omega & R_{i2} &= \text{resistencia de entrada de la etapa siguiente} \\
 & & &= 5,66 \text{ M}\Omega \\
 R_{12} &= 50 \text{ K}\Omega
 \end{aligned}$$

**Polarización :**

$$\begin{aligned}
 V_{CC} + V_{EE} &= V_{EB3} + I_{R1} \cdot R_1 + V_{BE1} \\
 \therefore I_{R1} &= \frac{V_{CC} + V_{EE} - V_{EB3} - V_{BE1}}{R_1} = \frac{30 - 1,2}{39 \cdot 10^3} \approx 0,74 \text{ mA}
 \end{aligned}$$

Los transistores  $T_1$  y  $T_3$  están conectados como diodos. Se toma :

$$V_{EB3} = V_{BE1} = 0,6 \text{ V}$$

$$I_{CQ1} \approx I_{R1} \text{ (despreciando } I_{B1} \text{)} \quad I_{CQ1} = 0,74 \text{ mA}$$

Como :

$$I_C = I_S \cdot e^{\frac{V_{BE}}{V_T}} \quad \text{resulta} \quad V_{BE} = V_T \ln \frac{I_C}{I_S}$$

Recorriendo la malla de entrada de  $T_1$  y  $T_2$  se tiene :

$$V_{BE1} = V_{BE2} + I_{CQ2} \cdot R_2$$

Una fuente de este tipo se denomina de WIDLAR.

En serie con  $V_{BE2}$  aparece  $R_2$  que se usa para obtener un valor pequeño de la corriente de trabajo  $I_{CQ2}$ .

$$V_T \ln \frac{I_{CQ1}}{I_S} = V_T \ln \frac{I_{CQ2}}{I_S} + I_{CQ2} \cdot R_2$$

$$V_T \left\{ \ln \frac{I_{CQ1}}{I_S} - \ln \frac{I_{CQ2}}{I_S} \right\} = I_{CQ2} \cdot R_2$$

$$V_T \ln \frac{I_{CQ1}}{I_{CQ2}} = I_{CQ2} \cdot R_2$$

$$25 \cdot 10^{-3} \cdot \ln \frac{0,74 \cdot 10^{-3}}{I_{CQ2}} = I_{CQ2} \cdot R_2$$

Damos valores a  $I_{CQ2}$  hasta que se Verifique la igualdad :

Si :

$$I_{CQ2} = 18 \text{ }\mu\text{A} \text{ se tiene :}$$

$$25 \cdot 10^{-3} \ell_n \frac{0,74 \cdot 10^{-3}}{0,018 \cdot 10^{-3}} = 25 \cdot 10^{-3} \ell_n 41 \approx 93 \text{ mV}$$

$$I_{CQ2} \cdot R_2 = 18 \cdot 10^{-6} \cdot 5 \cdot 10^3 = 90 \text{ mV}$$

Podemos aceptar  $I_{CQ2} = 18 \mu\text{A}$  como resultado válido.

$$I_{CQ2} = I_{CQ4} + I_{B8} + I_{B9} \approx I_{CQ4} = 18 \mu\text{A} -$$

Como  $V_{EB4} = V_{EB5}$  resulta  $I_{CQ5} = I_{CQ4} = 18 \mu\text{A}$

$T_6$  y  $T_7$  conducen la mitad de  $I_{CQ5}$ .

$$I_{CQ6} = I_{CQ7} = \frac{I_{CQ5}}{2} = 9 \mu\text{A}$$

$$I_{E6} = I_{B6} + I_{CQ6} \approx I_{CQ6}$$

$$I_{E8} \approx I_{CQ6} \quad \therefore \quad I_{CQ8} = I_{E8} \quad \text{despreciando } I_B$$

Por lo tanto :

$$I_{CQ8} = I_{CQ9} = 9 \mu\text{A}$$

$T_{10}$  y  $T_{11}$  actúan como cargas en lugar de las resistencias habituales. Son por lo tanto cargas activas.

Sus corrientes de colector estáticas son :

$$I_{CQ10} = I_{CQ8} - I_{B12} \approx I_{CQ8} = 9 \mu\text{A}$$

$I_{CQ11} = I_{CQ9} = 9 \mu\text{A}$ , ya que para la continua lo que se desprecia es la corriente de base de un colector común que da lugar a la resistencia dinámica  $R_{i2}$ .

$$V_{R12} = V_{BE10} + I_{CQ10} \cdot R_{10}$$

$$V_{R12} = 0,6 + 9 \cdot 10^{-6} \cdot 10^3 = 0,609 \text{ V}$$

$$I_{CQ12} = \frac{V_{R12}}{R_{12}} = \frac{0,609}{50 \cdot 10^3} \approx 12 \mu\text{A}$$

$T_{12}$  proporciona las corrientes de base  $I_{B10}$  e  $I_{B11}$  necesarias para que  $T_{10}$  y  $T_{11}$  tengan las  $I_{CQ10}$  e  $I_{CQ11}$ , ya vistas.

$I_{CQ12}$  depende prácticamente de la  $V_{BE10}$ . Es por lo tanto independiente de las variaciones de la fuente de alimentación.

*Análisis dinámico :*

Los transistores  $T_8$  y  $T_9$  tienen conectada la fuente de corriente constante ( $I_{CQ2}$ ) entre sus bases y la fuente de alimentación  $V_{EE}$ . FIGURA 4.83.



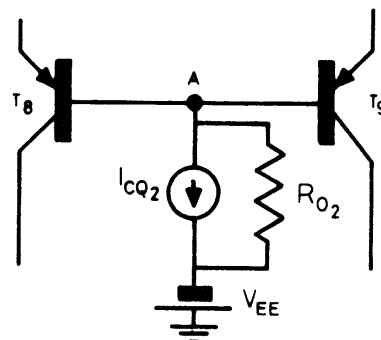


FIGURA 4.83.

Dinámicamente, el punto A será una tierra virtual cuando se analiza la entrada excitando con generadores diferenciales.

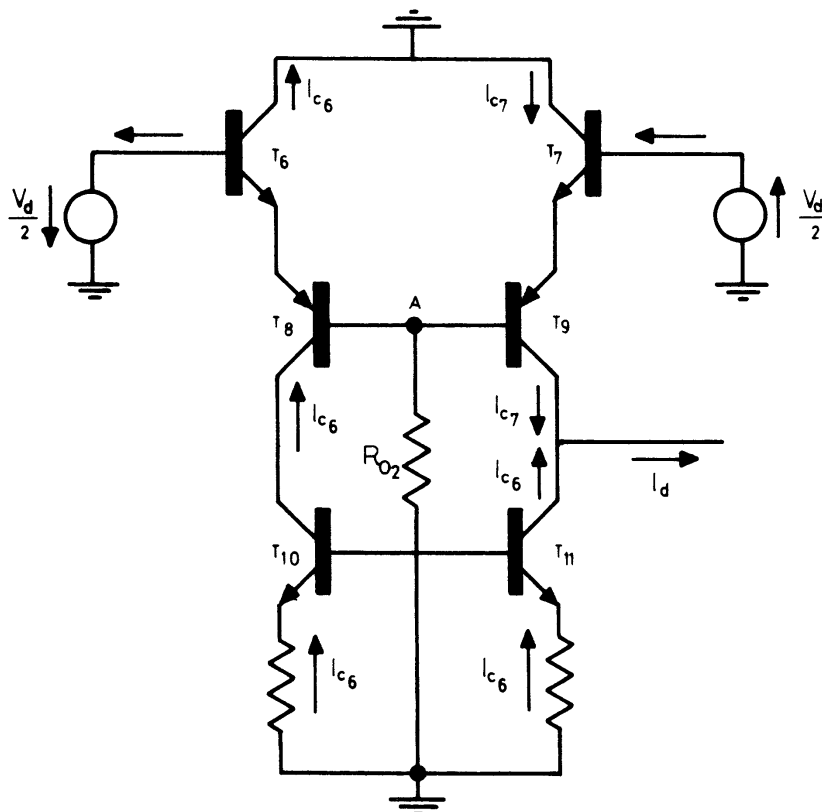


FIGURA 4.84.

$R_{02}$  es la resistencia de salida dinámica de  $T_2$ .

Los colectores de  $T_6$  y  $T_7$  están conectados a masa ya que se desprecia la resistencia dinámica del transistor que está conectado como diodo. ( $T_5$ )

La corriente  $I_d$  es la que va a la carga.

$$I_{c10} = I_{c6} \text{ si se desprecia la corriente de base.}$$

Como :

$$I_{c11} = I_{c10} \quad (T_{10} \text{ y } T_{11} \text{ son espejos}), \text{ resulta :}$$

$$I_{c11} = I_{c6}$$

Por lo tanto  $I_d = I_{c6} + I_{c7}$

Como el circuito analizado es el circuito con excitación diferencial se puede poner :

$$I_d = I_{c6d} + I_{c7d}$$

Podemos representar la etapa de la siguiente forma :

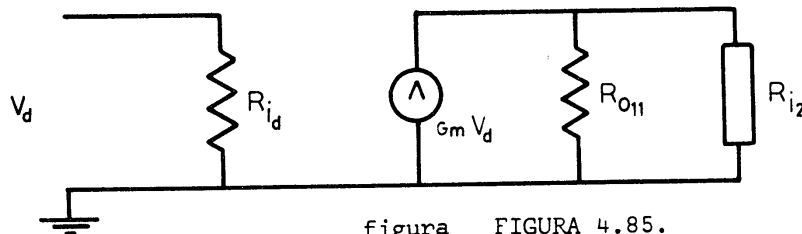


figura FIGURA 4.85.

Calculo de  $R_{id}$  :

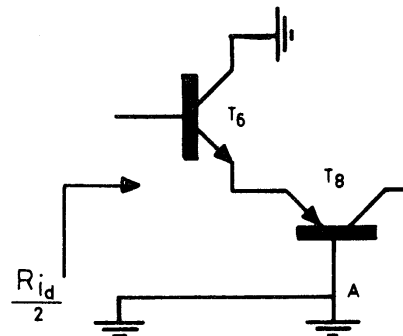
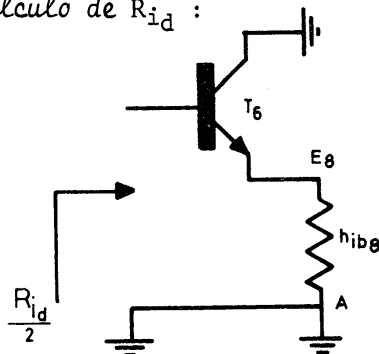


FIGURA 4.86.(a)

FIGURA 4.86.

$$\frac{R_{id}}{2} = h_{ie6} + h_{fe6} \cdot h_{ib8}$$

$$h_{ie6} \approx r_{be6} = \frac{h_{fe6}}{g_{m6}}$$

$$h_{ib8} = \frac{h_{ie8}}{h_{fe8}} \approx \frac{1}{g_{m8}}$$

$g_m = g_{m6} = g_{m8}$  por ser iguales las  $I_{CQ}$ .

$$\frac{R_{id}}{2} = \frac{h_{fe6}}{g_m} + h_{fe6} \frac{1}{g_m} = 2 h_{ie6}$$

$$R_{id} = 4 h_{ie6}$$

$$g_m = 40 \left( \frac{1}{V} \right) \cdot I_{CQ} = 40 \cdot 9 \mu A = 360 \mu V$$

Suponiendo  $h_{fe6} = 240$  se tiene :

$$h_{ie6} = \frac{h_{fe6}}{g_m} = \frac{240}{360} 10^6 \approx 0,67 M\Omega$$

$$R_{id} = 4 h_{ie6} = 4 \cdot 0,67 M\Omega = 2,67 M\Omega$$

Para obtener esta resistencia de entrada diferencial alta es necesario que  $h_{ie6}$  sea alta. Para ello debe ser  $g_m$  pequeña; y esto se logra haciendoo  $I_{CQ6}$  pequeño. Esta  $I_{CQ6}$  pequeña se obtiene por medio de la fuente de corriente constante WIDLAR.

Para calcular la  $G_m$  del circuito se debe poner en corto la salida ( $R_{i2} = 0$ )

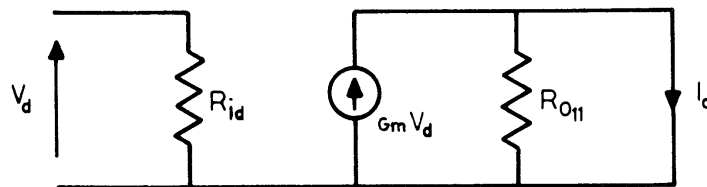


FIGURA 4.87.

$$I_d = G_m \cdot V_d \quad \therefore \quad G_m = \frac{I_d}{V_d} \quad \left| \text{SALIDA EN CORTO} \right.$$

Al estar la salida en corto, se tiene el  $C_8$  y el  $C_9$  a masa :

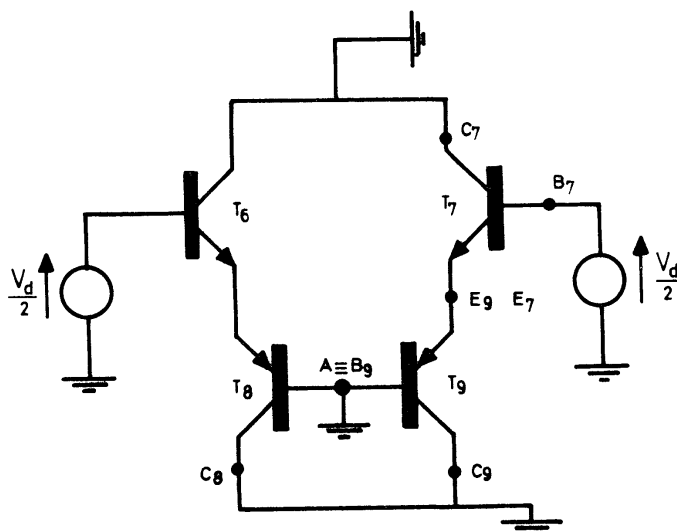


FIGURA 4.88.

Trabajando con medio circuito se tiene :

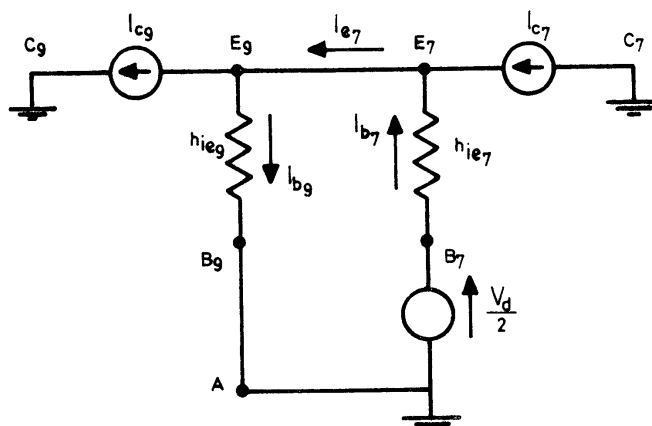


FIGURA 4.89.

Absorbiendo  $I_{c9}$  se tiene :

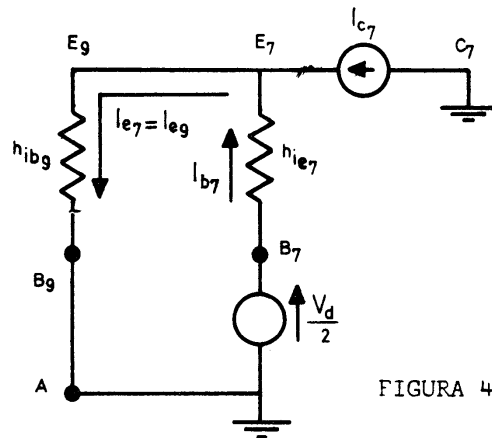


FIGURA 4.90.

Absorbiendo  $I_{c7}$  se tiene :

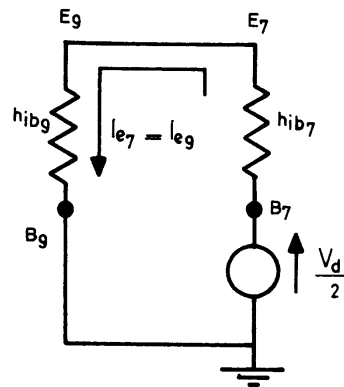


FIGURA 4.91.

Podemos aproximar :

$$I_{c7} = I_{e7}$$

$$I_{c7d} = \frac{\frac{V_d}{2}}{2 h_{ib7}} = \frac{V_d}{4 h_{ib7}}$$

$$I_{c6d} = I_{c7d} \text{ por simetría.}$$

$$I_{c6d} = \frac{V_d}{4 h_{ib7}}$$

Como

$$I_d = I_{c6d} + I_{c7d} \quad \text{resulta :}$$

$$I_d = \frac{V_d}{2 h_{ib7}}$$

$$\text{Como } h_{ib7} = \frac{1}{g_m} \quad \text{resulta} \quad I_d = \frac{g_m}{2} V_d$$

Por otra parte :

$$G_m = \frac{I_d}{V_d} = \frac{g_m}{2} \quad \therefore \quad G_m = \frac{360 \mu V}{2} = 180 \mu V$$

Calculo de la resistencia de salida  $R_{O11}$  :

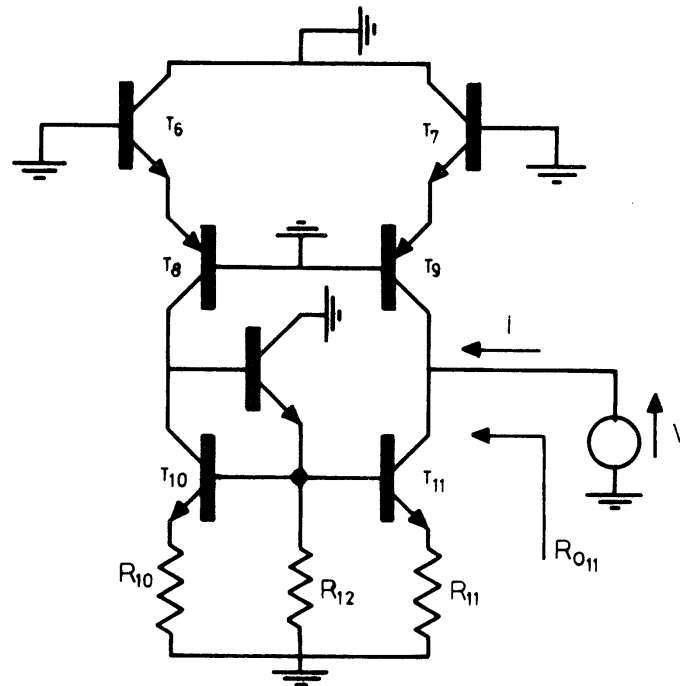


FIGURA 4.92.

Para calcular  $R_{O11}$  se hace  $V_d = 0$  ( $B_6$  y  $B_7$  a masa).

Se llega al circuito siguiente :

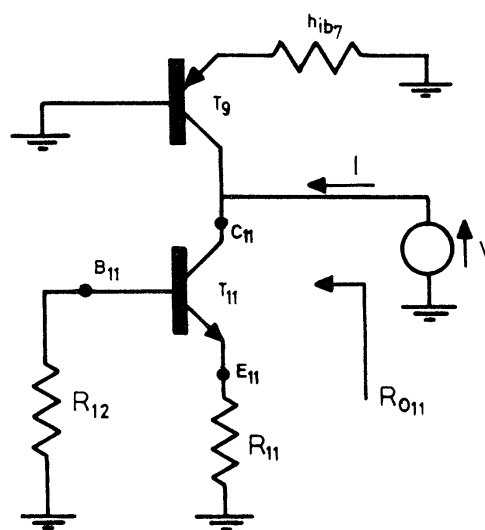


FIGURA 4.93.

Como máximo la resistencia entre  $B_{11}$  y tierra es  $R_{12}$ .

Resistencia de salida de  $T_{11}$  :

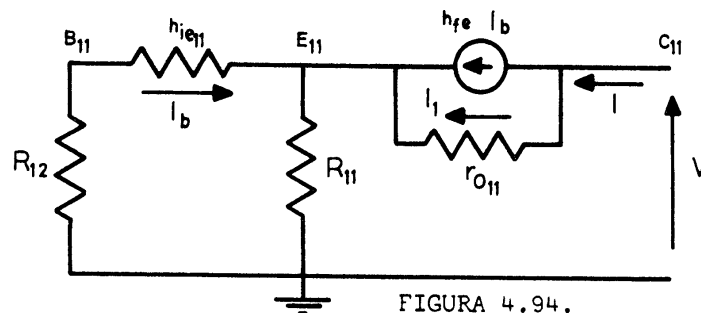


FIGURA 4.94.

$$V = I_1 \cdot r_{O11} + I \cdot \{ (h_{ie11} + R_{12}) \parallel R_{11} \}$$

$$h_{ie11} \approx r_{be11} = \frac{V_T}{I_{CQ}} h_{fe} = \frac{25 \cdot 10^{-3} \cdot 240}{9 \cdot 10^{-6}} \approx 670 \text{ K}\Omega$$

$R_{12} \ll h_{ie11}$  y puede despreciarse. Queda :

$$V = I_1 \cdot r_{O11} + I \{ h_{ie11} \parallel R_{11} \}$$

$$I_1 = I - h_{fe} \cdot I_b$$

$$V = I \cdot r_{O11} - h_{fe} \cdot I_b \cdot r_{O11} + I \cdot \{ h_{ie11} \parallel R_{11} \}$$

Como 
$$I_b = -I \frac{R_{11}}{R_{11} + h_{ie11}} \quad (\text{Despreciando } R_{12}) \quad \text{Resulta :}$$

$$V = I \cdot r_{O11} + h_{fe} \cdot I \cdot r_{O11} \frac{R_{11}}{R_{11} + h_{ie11}} + I \{ h_{ie11} \parallel R_{11} \}$$

$$\frac{V}{I} = r_{O11} \left\{ 1 + \frac{h_{fe} \cdot R_{11}}{R_{11} + h_{ie11}} \right\} + (h_{ie11} \parallel R_{11})$$

Como  $h_{ie11} \parallel R_{11} = 670 \text{ K}\Omega \parallel 1 \text{ K}\Omega \approx 1 \text{ K}\Omega$ , resulta este valor despreciable frente al sumando que contiene a  $r_{O11}$ .

$$R_{SAL11} = \frac{V}{I} = r_{O11} \left\{ 1 + \frac{h_{fe} \cdot R_{11}}{R_{11} + h_{ie11}} \right\}$$

Como  $h_{fe} = g_m \cdot r_{be} = g_m \cdot h_{ie11}$  resulta :

$$R_{SAL11} = r_{O11} \left\{ 1 + \frac{g_m \cdot h_{ie11} \cdot R_{11}}{R_{11} + h_{ie11}} \right\}$$

$$R_{SAL11} = r_{O11} \{ 1 + g_m ( h_{ie11} || R_{11} ) \}$$

$$h_{ie11} || R_{11} \approx R_{11} = 1 \text{ k}\Omega$$

$$R_{SAL11} \approx r_{O11} \{ 1 + g_m \cdot R_{11} \}$$

$$R_{SAL11} = r_{O11} \{ 1 + 360 \cdot 10^{-6} \cdot 10^3 \} = 1,36 r_{O11}$$

Siguiendo un procedimiento similar se demuestra que el transistor  $T_9$  tiene una resistencia de salida :

$$R_{SAL9} = r_{O9} \{ 1 + g_m \cdot h_{ib9} \}$$

Como  $h_{ib9} \approx \frac{1}{g_m}$  resulta  $R_{SAL9} = 2 r_{O9}$

Por lo tanto :

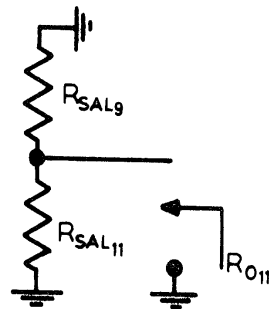


FIGURA 4.95.

$$R_{O11} = R_{SAL11} || R_{SAL9}$$

En los circuitos integrados :

$$r_O = \frac{1}{\eta \cdot g_m} \quad \text{donde} \quad \eta = \frac{K \cdot T}{q \cdot V_A} \quad \text{siendo } V_A \text{ la tensión de EARLY.}$$

El valor de  $\eta$  depende del tipo de transistor PNP ó NPN.  
Se puede adoptar como valores típicos :

$$\eta_{NPN} = 2 \cdot 10^{-4}$$

$$\eta_{PNP} = 5 \cdot 10^{-4}$$

lo que nos lleva a :

$$r_{O11} = \frac{1}{\eta_{NPN} \cdot g_m} = \frac{1}{2 \cdot 10^{-4} \cdot 360 \cdot 10^{-6}} = 13,88 \text{ M}\Omega$$

$$r_{O9} = \frac{1}{\eta_{PNP} \cdot g_m} = \frac{1}{5 \cdot 10^{-4} \cdot 360 \cdot 10^{-6}} = 5,55 \text{ M}\Omega$$

$$R_{SAL11} = 1,36 \cdot r_{O11} = 1,36 \cdot 13,88 \text{ M}\Omega = 18,88 \text{ M}\Omega$$

$$R_{SAL9} = 2 \cdot r_{O9} = 2 \cdot 5,55 \text{ M}\Omega = 11,1 \text{ M}\Omega$$

$$R_{O11} = R_{SAL11} || R_{SAL9} = (18,88 || 11,1) \text{ M}\Omega = 6,99 \text{ M}\Omega$$

Calculo de la ganancia de la etapa diferencial :

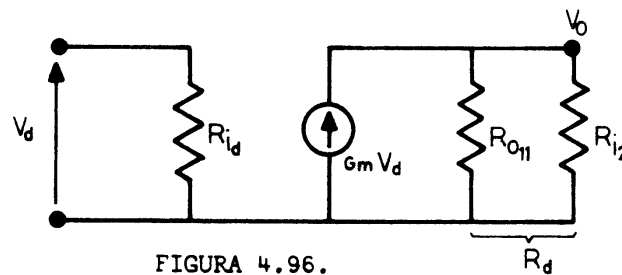


FIGURA 4.96.

$$R_d = R_{O11} \parallel R_{i2} = 6,99 \text{ M}\Omega \parallel 5,66 \text{ M}\Omega \approx 3,13 \text{ M}\Omega$$

$$V_o = G_m \cdot V_d \cdot R_d \quad \therefore \quad A = G_m \cdot R_d = \frac{g_m}{2} R_d$$

$$A = 180 \cdot 10^{-6} \cdot 3,13 \cdot 10^3 = 563$$

$$A \text{ (dB)} = 20 \log_{10} 563 = 55 \text{ dB}$$

#### 4.5. CIRCUITO D'ARLINGTON :

Un Subcircuito muy usado es el D'Arlington. Con él se obtiene una alta ganancia de corriente.

Sea la FIGURA 4.97.

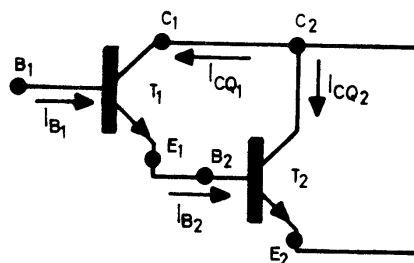


FIGURA 4.97.

Es:

$$I_{CQ2} = h_{FE2} \cdot I_{B2} \quad , \quad \text{suponiendo} \quad I_{E2} = I_{C2}$$

$$I_{B2} = I_{E1} \approx I_{CQ1}$$

$$\therefore \quad I_{CQ2} = h_{FE2} \cdot I_{CQ1} \quad \text{y reemplazando } I_{CQ1} \quad \text{se tiene :}$$

$$I_{CQ2} = \frac{h_{FE2} \cdot h_{FE1} \cdot I_{B1}}{h_{FE}}$$

El  $h_{FE}$  es el correspondiente a todo el dispositivo.



Esta estructura se vende encapsulada con :

$$h_{FE_T} = 5000 \quad \text{y} \quad h_{FE_m} = 1000$$

$$V_{BE} = 1,4 \text{ V}; (0,7 \text{ V} + 0,7 \text{ V}) \quad \text{ya que hay dos junturas B-E.}$$

#### 4.5.1. APLICACION :

Sea la FIGURA 4.98.

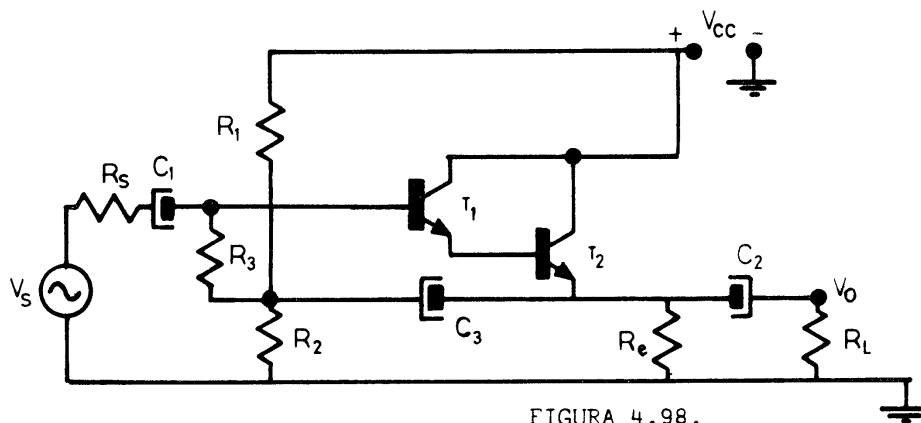


FIGURA 4.98.

a) Circuito de continua :

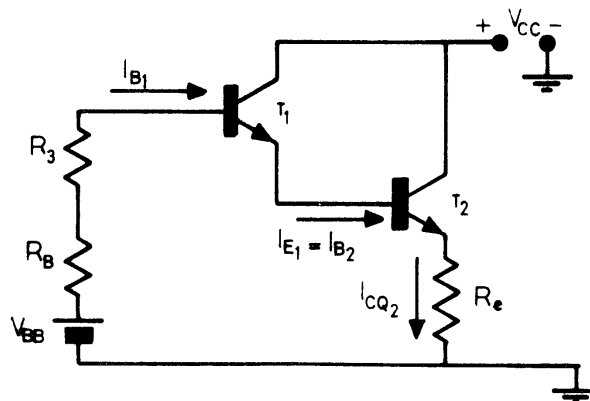


FIGURA 4.99.

$$V_{BB} = \frac{R_2}{R_1 + R_2} V_{CC}$$

$$R_B = R_1 || R_2$$

$$V_{BB} \approx I_{B1} (R_3 + R_B) + 2 V_{BE} + I_{CQ2} \cdot R_e \quad \{4.101\}$$

$$I_{CQ2} = h_{FE1} \cdot h_{FE2} \cdot I_{B1} \quad \{4.102\}$$

$$\therefore I_{B1} = \frac{I_{CQ2}}{h_{FE1} \cdot h_{FE2}} \quad \text{Reemplazando en la } \{4.101.\}$$

$$V_{BB} = \frac{I_{CQ2}}{h_{FE1} \cdot h_{FE2}} (R_3 + R_B) + 2 V_{BE} + I_{CQ2} \cdot R_e$$

$$\therefore I_{CQ2} = \frac{V_{BB} - 2 V_{BE}}{R_e + \frac{R_3 + R_B}{h_{FE1} \cdot h_{FE2}}}$$

Se hace :  $R_e \gg \frac{R_3 + R_B}{h_{FE1m} \cdot h_{FE2m}}$  Si :  $R_e = 10 \frac{R_3 + R_B}{h_{FE1m} \cdot h_{FE2m}}$

Resulta :  $R_3 + R_B = \frac{R_e \cdot h_{FE1m} \cdot h_{FE2m}}{10}$  y se pueden conseguir valores altos de  $R_3 + R_B$

$$V_{CEQ2} = V_{CC} - I_{CQ2} \cdot R_e$$

$$V_{CEQ1} = V_{CEQ2} - V_{BE2}$$

$$I_{B2} = \frac{I_{CQ2}}{h_{FE2}}$$

Pero como  $I_{B2} \approx I_{CQ1}$  resulta :

$$I_{CQ1} = \frac{I_{CQ2}}{h_{FE2}}$$

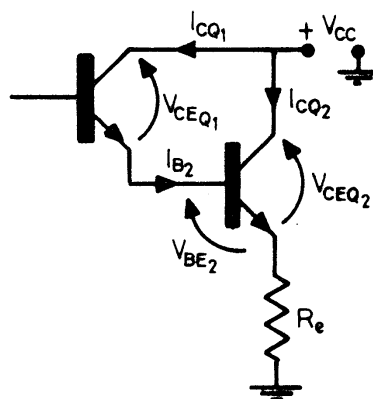


FIGURA 4.100.

De esta manera se tienen  $Q_1$  y  $Q_2$ .

b) Circuito dinámico :

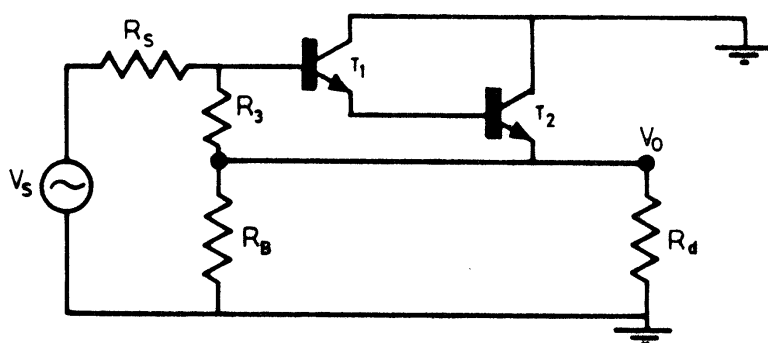


FIGURA 4.101.

Para simplificar el análisis se supone :

$$R_3 \gg (h_{ie1} + h_{ie2}) \quad \text{y} \quad R_B \gg R_d$$

Queda el circuito de la FIGURA 4.102.

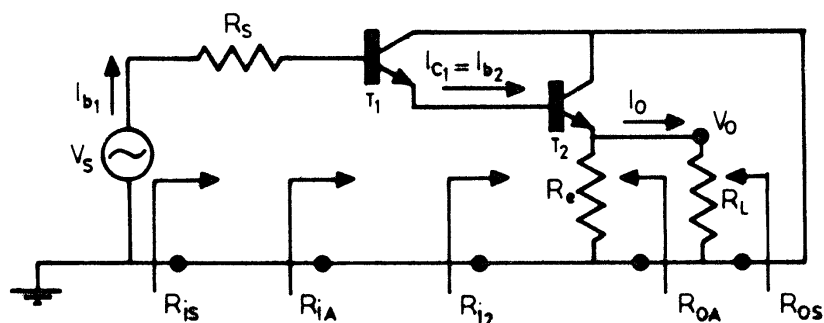


FIGURA 4.102.

$$I_0 = I_{e2} \frac{R_e}{R_e + R_L} \quad (\text{divisor de corriente}).$$

Haciendo  $I_{e2} \approx I_{c2}$  se tiene :

$$I_0 = I_{c2} \frac{R_e}{R_e + R_L} = h_{fe2} \cdot I_{b2} \frac{R_e}{R_e + R_L}$$

Como  $I_{b2} \approx I_{c1}$  se tiene :

$$I_0 = h_{fe2} \cdot I_{c1} \frac{R_e}{R_e + R_L} \quad \therefore \quad \frac{I_0}{I_{c1}} = h_{fe2} \frac{R_e}{R_e + R_L} \quad \{4.103.\}$$

Por otra parte como  $T_2$  es un CC se tiene que :

$$R_{i2} = h_{ie2} + h_{fe2} \cdot R_d$$

$R_{i2}$  puede tener un valor comparable o mayor que el  $r_{O1}$  del primer transistor  $T_1$ . Debe considerarse por lo tanto a  $r_{O1}$  en el análisis.

Sea la FIGURA 4.103.

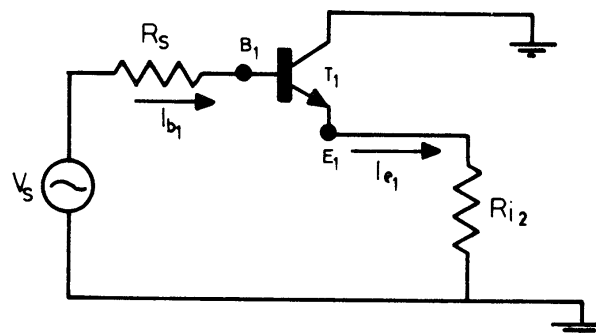


FIGURA 4.103.

Reemplazamos  $T_1$  por su circuito equivalente :

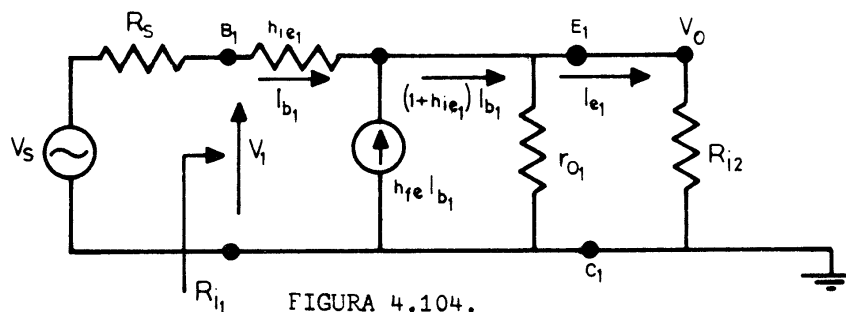


FIGURA 4.104.

De la FIGURA 4.104. se obtiene :

$$\frac{I_{e1}}{(1 + h_{fe1}) I_{b1}} = \frac{r_{O1}}{r_{O1} + R_{i2}}$$

$$\therefore \frac{I_{e1}}{I_{b1}} = (1 + h_{fe1}) \frac{r_{O1}}{r_{O1} + R_{i2}} \quad \{4.104.\}$$

La ganancia de corriente del sistema es :

$$A_{IS} = \frac{I_O}{I_{b1}} = \frac{I_O}{I_{e1}} \cdot \frac{I_{e1}}{I_{b1}} = h_{fe2} \frac{R_e}{R_e + R_L} (1 + h_{fe1}) \frac{r_{O1}}{r_{O1} + R_{i2}}$$

$$A_{IS} \approx h_{fe1} \cdot h_{fe2} \frac{r_{O1}}{r_{O1} + R_{i2}} \cdot \frac{R_e}{R_e + R_L} \quad \{4.105.\}$$

De la FIGURA 4.104. se obtiene :

$$V_1 = I_{b1} \cdot h_{ie1} + (1 + h_{fe1}) I_{b1} (r_{O1} || R_{i2})$$

$$\therefore R_{i1} = \frac{V_1}{I_{b1}} = h_{ie1} + h_{fe1} (r_{O1} || R_{i2}) \quad \{4.106.\}$$

En esta aplicación se obtiene un amplificador de alta resistencia de entrada (mayor que la de un colector común) como se ve en la ecuación {4.106.}

Además, presenta alta ganancia de corriente.

Si un CC tiene una  $R_d = 2 \text{ K}\Omega$  y tiene un  $h_{fe} = 100$ , su :

$$R_i \approx h_{fe} \cdot R_d = 2 \text{ K}\Omega \cdot 100 = 200 \text{ K}\Omega$$

Si usamos un D'Arlington con el mismo  $h_{fe}$  y  $R_d$  y con  $r_{O1} = 100 \text{ K}\Omega$  se obtiene:

$$R_{i2} \approx h_{fe2} \cdot R_d = 200 \text{ K}\Omega$$

$$r_{O1} || R_{i2} = 100 \text{ K}\Omega || 200 \text{ K}\Omega \approx 67 \text{ K}\Omega$$

$$R_{i1} \approx h_{fe1} (r_{O1} || R_{i2}) = 100 \cdot 67 \text{ K}\Omega = 6700 \text{ K}\Omega = 6,7 \text{ M}\Omega$$

En realidad no se obtiene un valor tan alto. (Ver FIGURA 4.105.)

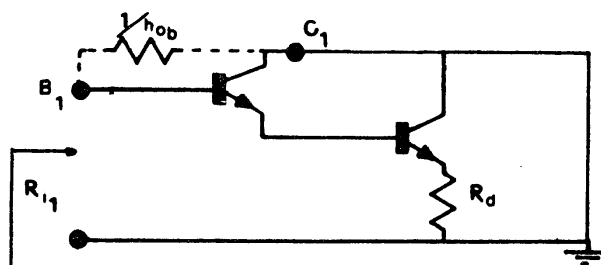


FIGURA 4.105.

Entre  $B_1$  y  $C_1$  se tiene una resistencia que es la inversa del  $h_{ob}$  y como el  $C_1$  está conectado a tierra todo ocurre como si  $1/h_{ob}$  estuviera en paralelo con la  $R_{i1}$  calculada con la ecuación {4.106.} Se limita así el valor de la resistencia de entrada.

Resistencia de salida :

Pasamos el circuito de la FIGURA 4.104. a nivel de  $I_{b1}$ .

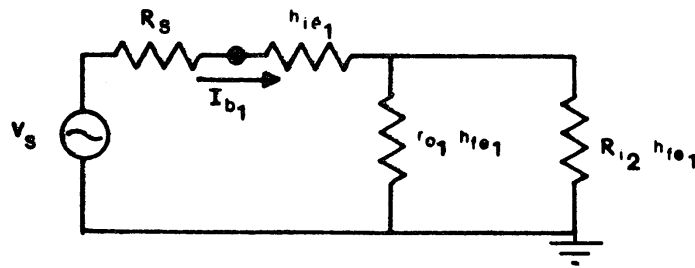


FIGURA 4.106.

Luego pasamos este circuito a nivel  $I_{e1}$  :

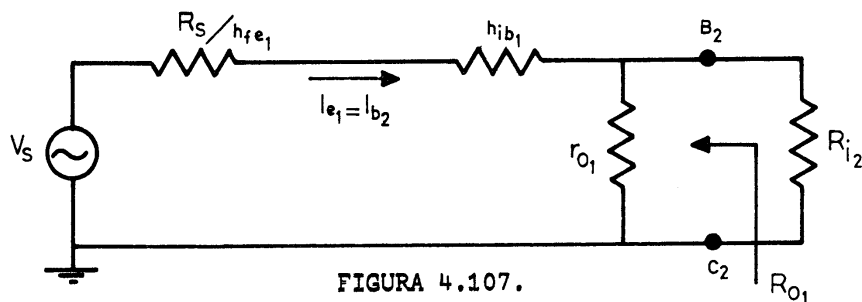


FIGURA 4.107.

$$R_{O1} = r_{o1} \parallel \left( \frac{R_s}{h_{fe1}} + h_{ib1} \right) \approx \left( \frac{R_s}{h_{fe1}} + h_{ib1} \right)$$

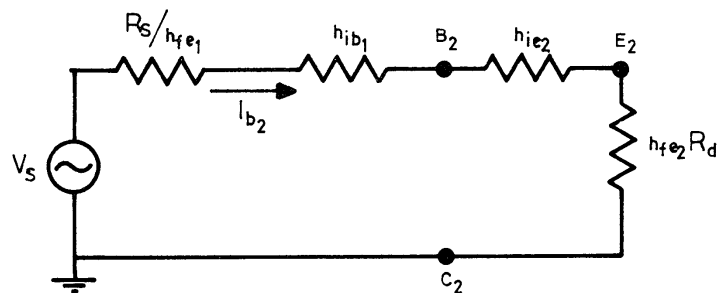


FIGURA 4.108.

Pasamos a nivel de  $I_{e2}$  :

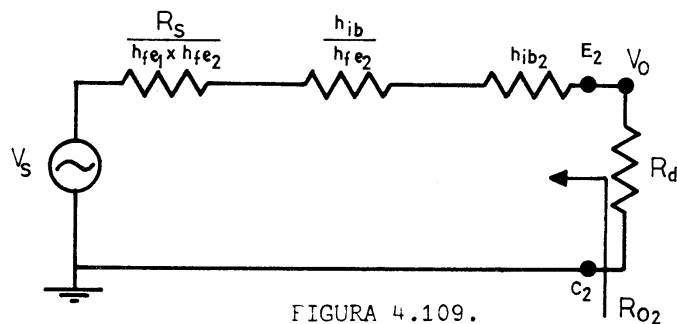


FIGURA 4.109.

$$R_{O2} = \frac{R_s}{h_{fe1} \cdot h_{fe2}} + \frac{h_{ib1}}{h_{fe2}} + h_{ib2} \quad \{4.107.\}$$

Con este circuito también podemos hallar la ganancia de tensión del sistema :

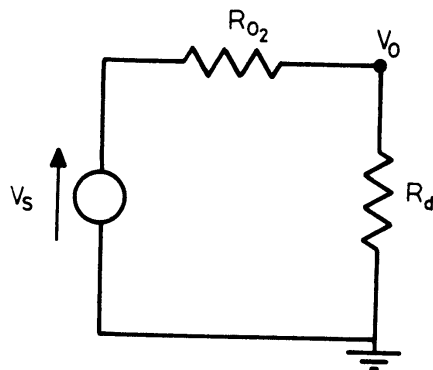


FIGURA 4.110.

$$V_o = V_s \frac{R_d}{R_{02} + R_d}$$

$$\therefore A_{Vs} = \frac{V_o}{V_s} = \frac{R_d}{R_{02} + R_d}$$

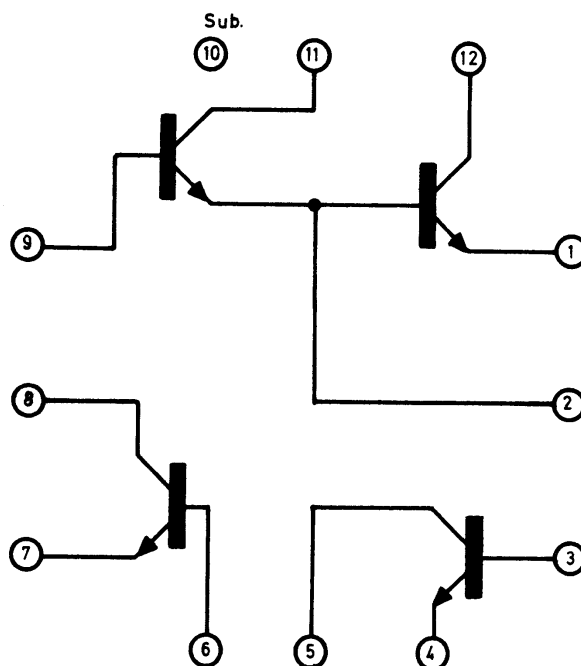
Como generalmente:

$$R_{02} \ll R_d$$

$$A_{Vs} \rightarrow 1$$

#### 4.5.2. PROBLEMA DE APLICACION USANDO UN CIRCUITO INTEGRADO QUE CONSISTE EN UN CONJUNTO DE TRANSISTORES (ARRAY) :

Se usa el conjunto CA 3018 de propósitos generales :



DATOS :

$$R_L = 10 \text{ k}\Omega$$

$$R_1 = R_2 = R_3 = 100 \text{ k}\Omega$$

$$R_e = 1 \text{ k}\Omega$$

$$V_{CC} = 10 \text{ V} \quad (\text{Tensión de ruptura igual a } 15 \text{ V})$$

Circuito :

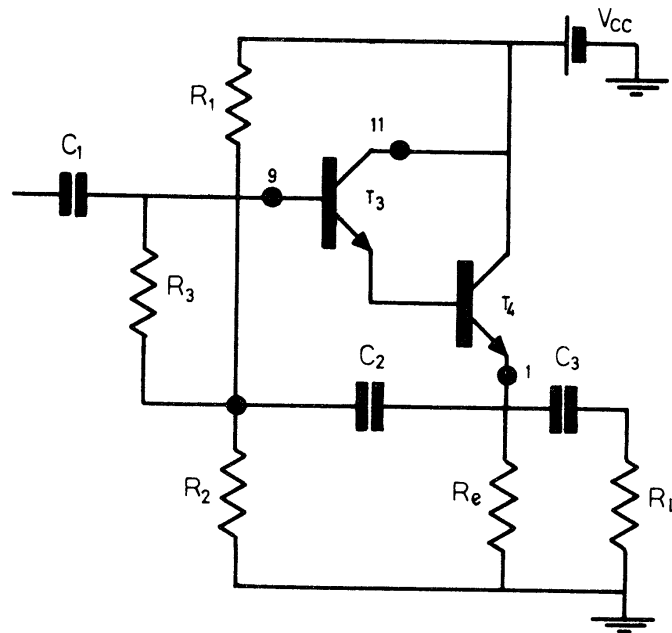


FIGURA 4.111.

Para la continua :

$$V_{BB} = \frac{R_2}{R_1 + R_2} V_{CC} = \frac{V_{CC}}{2} = 5 \text{ V}$$

$$R_B = R_1 || R_2 = 50 \text{ K}\Omega$$

$$I_{CQ4} = \frac{V_{BB} - 2 V_{BE}}{R_e + \frac{R_3 + R_B}{h_{FE3} \cdot h_{FE4}}}$$

Hacemos un Primer cálculo aproximado :

$$I_{CQ4} = \frac{V_{BB} - 2 V_{BE}}{R_e} = \frac{5 - 1,4}{1000} = 3,6 \text{ mA}$$

Para  $I_{CQ4} = 3,6 \text{ mA}$  se obtiene en la hoja de datos que :  $h_{FE3} \cdot h_{FE4} \approx 7000$

$$I_{CQ4} = \frac{V_{BB} - V_{BE}}{R_e + \frac{R_3 + R_B}{h_{FE3} \cdot h_{FE4}}} = \frac{3,6}{1000 + \frac{150000}{7000}} = \frac{3,6}{1021} = 3,5 \text{ mA}$$

$$V_{CEQ4} = V_{CC} - I_{CQ4} \cdot R_e = 10 - 3,5 = 6,5 \text{ V}$$

$$V_{CEQ3} = V_{CEQ4} - V_{BE4} = 6,5 - 0,7 = 5,8 \text{ V}$$

$$I_{B3} = \frac{I_{CQ4}}{h_{FE3} \cdot h_{FE4}} = \frac{3,5 \text{ mA}}{7000} = 0,5 \text{ }\mu\text{A}$$

$$I_{CQ3} = \frac{I_{CQ4}}{h_{FE4}} = \frac{3,5 \text{ mA}}{100} = 35 \text{ } \mu\text{A}$$

Cálculo de la resistencia de entrada :

$$R_d = R_e \parallel R_L = 1 \text{ K}\Omega \parallel 10 \text{ K}\Omega = 0,91 \text{ K}\Omega$$

De acuerdo con el gráfico correspondiente de la hoja de datos se obtiene :

Para 1 mA y 3 V :  $h_{fe} = 100$   $h_{ie} = 2,7 \text{ K}\Omega$   $h_{oe} = 15,6 \text{ } \mu\text{S}$

Para 3,5 mA se obtienen los siguientes factores de corrección :

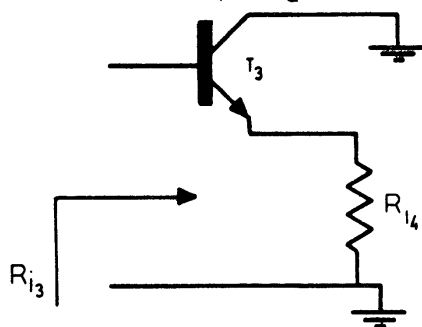
Para  $h_{fe}$  (3,5 mA) el factor de corrección es 0,9

Para  $h_{ie}$  (3,5 mA) el factor de corrección es 0,4

$$h_{ie4} (3,5 \text{ mA}) = 0,4 \cdot h_{ie} (1 \text{ mA}) = 0,4 \cdot 2,7 \text{ K}\Omega = 1,08 \text{ K}\Omega$$

$$h_{fe4} (3,5 \text{ mA}) = 0,9 \cdot h_{fe} (1 \text{ mA}) = 0,9 \cdot 100 = 90$$

$$R_{i4} = h_{ie4} + h_{fe4} \cdot R_d = 1,08 \text{ K}\Omega + 90 \cdot 0,91 \text{ K}\Omega = (1,08 + 81,9) \text{ K}\Omega \approx 83 \text{ K}\Omega$$



$$R_{i3} = h_{ie3} + h_{fe3} \{ r_{O3} \parallel R_{i4} \}$$

Para 35  $\mu\text{A}$  se tienen los siguientes factores de corrección :

Para  $h_{ie} \rightarrow 11$

Para  $h_{fe} \rightarrow 0,4$

$$\therefore h_{ie3} (35 \text{ } \mu\text{A}) = 11 \cdot 2,7 \text{ K}\Omega = 29,7 \text{ K}\Omega$$

$$h_{fe3} (35 \text{ } \mu\text{A}) = 0,4 \cdot 100 = 40$$

$$r_{O3} = \frac{1}{\eta \cdot g_{m3}} \quad \eta = 3 \cdot 10^{-4} \quad (\text{Transistor integrado de baja tensión de ruptura}).$$

$$r_{O3} = \frac{1}{3 \cdot 10^{-4} \cdot 40 \cdot 35 \cdot 10^{-6}} \approx 2,4 \text{ M}\Omega$$

$$r_{O3} \parallel R_{i4} = 2,4 \text{ M}\Omega \parallel 83 \text{ K}\Omega \approx 80 \text{ K}\Omega$$

$$R_{i3} = 29,7 \text{ K}\Omega + 40 \cdot 80 \text{ K}\Omega = 3,23 \text{ M}\Omega$$



Cálculo de  $A_{VS}$  :

$$A_{VS} \approx \frac{R_d}{R_{O4} + R_d}$$

Suponiendo una  $R_S$  de  $1 \text{ M}\Omega$  se tiene :

$$R_{O4} = \frac{R_S}{h_{fe3} \cdot h_{fe4}} + \frac{h_{ib3}}{h_{fe4}} + h_{ib4}$$

$$h_{fe3} \cdot h_{fe4} = 40 \cdot 90 = 3600$$

$$\frac{R_S}{3600} = \frac{10^6}{3600} \approx 278 \Omega$$

$$h_{ib4} \approx \frac{1}{g_{m4}} = \frac{1}{40 \cdot 3,5 \cdot 10^{-3}} = \frac{1000}{140} \approx 7 \Omega$$

$$h_{ib3} = \frac{1}{g_{m3}} = \frac{1}{40 \cdot 35 \cdot 10^{-6}} = \frac{10^6}{140} = 700 \Omega$$

$$\frac{h_{ib3}}{h_{fe4}} = \frac{700 \Omega}{90} \approx 8 \Omega$$

$$R_{O4} = 278 \Omega + 7 + 8 = 293 \Omega$$

$$A_{VS} = \frac{R_d}{R_{O4} + R_d} = \frac{910 \Omega}{(293 + 910) \Omega} = \frac{910}{1203} \approx 0,75$$

Uso de carga activa

El circuito es el siguiente :

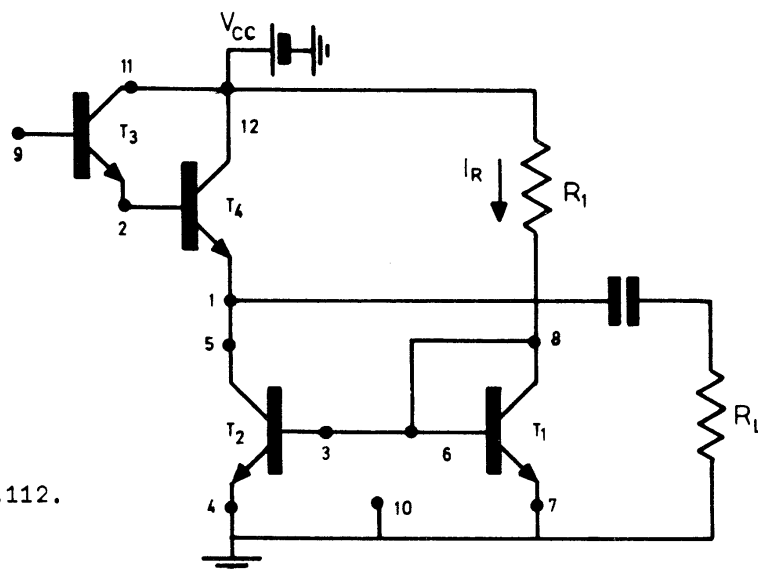


FIGURA 4.112.

$T_2$  del CA 3018 se usa como carga activa.

Supongamos que buscamos que  $I_{CQ2}$  sea de  $1 \text{ mA}$

$$I_R = I_{CQ1} + 2 I_B \approx I_{CQ1} \quad \therefore \quad I_{CQ1} = \frac{V_{CC} - V_{BE}}{R_1} = \frac{9 - 0,7}{R_1}$$

$$I_{CQ1} = \frac{8,3}{R_1} = 1 \text{ mA} \quad \therefore \quad R_1 = \frac{8,3 \text{ V}}{1 \text{ mA}} = 8,3 \text{ K}\Omega$$

Tomemos un  $R_1$  normalizada :

$$R_1 = 8,2 \text{ K}\Omega$$

$$\therefore I_{CQ1} = \frac{V_{CC} - V_{BE1}}{R_1} = \frac{9 - 0,715}{8200} = 1,01 \text{ mA} \approx 1 \text{ mA}$$

$$V_{BE1} = 0,715 \text{ V (del manual).}$$

Como  $T_2$  tiene la misma  $V_{BE}$  aplicada que  $T_1$ , debe ser :

$$I_{CQ2} = I_{CQ1} = 1 \text{ mA}$$

Se ha logrado disminuir el consumo de la fuente  $V_{CC}$ .  
La fuente consume ahora aproximadamente 2 mA.

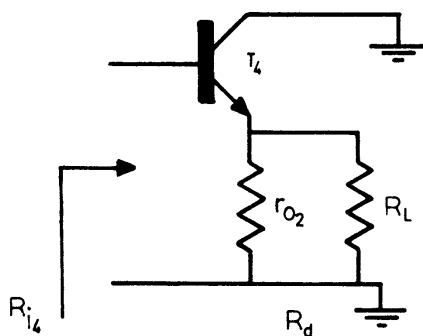
El transistor  $T_2$  presenta una resistencia de salida :

$$r_{O2} = \frac{1}{\eta_{NPN} \cdot g_m} = \frac{1}{2,8 \cdot 10^{-4} \cdot 40 \cdot 10^{-3}} = \frac{10000}{2,8 \cdot 40} \text{ K}\Omega = \frac{10000}{112} \text{ K}\Omega$$

$$r_{O2} = 89 \text{ K}\Omega$$

Para  $\eta_{NPN}$  se adoptó  $2,8 \cdot 10^{-4}$  por tratarse de transistores integrados de baja tensión de ruptura.

Modificación de la resistencia de entrada :



$$R_d = r_{O2} \parallel R_L = 89 \text{ K}\Omega \parallel 10 \text{ K}\Omega \approx 9 \text{ K}\Omega$$

$$R_{i4} = h_{ie4} + h_{fe4} \cdot R_d = 2,7 \text{ K}\Omega + 100 \cdot 9 \text{ K}\Omega \approx 900 \text{ K}\Omega$$

$$I_{CQ3} = \frac{I_{CQ4}}{100} = \frac{1 \text{ mA}}{100} = 10 \text{ }\mu\text{A}$$

$$h_{fe3} (10 \text{ }\mu\text{A}) = 0,1 \cdot 100 = 10 \quad h_{ie3} = 20 \cdot 2,7 \text{ K}\Omega = 54 \text{ K}\Omega$$

$$R_{i3} = h_{ie3} + h_{fe3} (r_{o3} \parallel R_{i4})$$

$$r_{o3} = \frac{1}{\eta \cdot g_{m3}} = \frac{1}{3 \cdot 10^{-4} \cdot 40 \cdot 10 \cdot 10^{-6}} \approx 8 \text{ M}\Omega$$

$$R_{i3} = 54 \text{ K}\Omega + 10 (8 \text{ M}\Omega \parallel 0,9 \text{ M}\Omega) = 54 \text{ K}\Omega + 10 \cdot 0,81 \text{ M}\Omega \approx 8,1 \text{ M}\Omega$$

Aumenta substancialmente la resistencia de entrada  $R_{i3}$ .

Se puede disminuir aún más el consumo de la fuente de alimentación  $V_{CC}$  usando una fuente de corriente logarítmica.

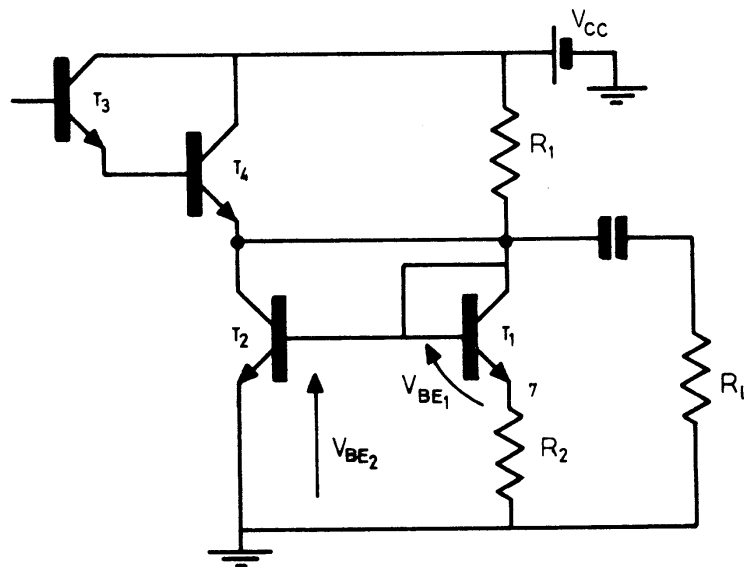


FIGURA 4.113.

$$V_{CC} = 9 \text{ V}$$

$$V_{BE2} = V_{BE1} + I_{CQ1} \cdot R_2$$

$$V_T \ln \frac{I_{CQ2}}{I_{CQ1}} = I_{CQ1} \cdot R_2$$

Si queremos que  $I_{CQ2} = 1 \text{ mA}$  e  $I_{CQ1} = 0,1 \text{ mA}$  se tiene :

$$V_T \ln \frac{I_{CQ2}}{I_{CQ1}} = 25 \cdot 10^{-3} \ln 10 = 57,56 \text{ mV}$$

$$R_2 = \frac{57,56 \text{ mV}}{0,1 \text{ mA}} = 575,6 \Omega$$

Se adopta una resistencia normalizada  $R_2 = 560 \Omega$

El consumo de la fuente  $V_{CC}$  es aproximadamente de  $1,1 \text{ mA}$ .

Como  $I_{CQ2}$  no cambia no se modifica  $R_{i3} \approx 8,1 \text{ M}\Omega$ .

$$R_{i3} = h_{ie3} + h_{fe3} (r_{O3} \parallel R_{i4})$$

$$r_{O3} = \frac{1}{\eta \cdot g_{m3}} = \frac{1}{3 \cdot 10^{-4} \cdot 40 \cdot 10^{-6}} = 8 \text{ M}\Omega$$

$$R_{i3} = 54 \text{ K}\Omega + 10 (8 \text{ M}\Omega \parallel 0,82 \text{ M}\Omega) = 54 \text{ K}\Omega + 10 \cdot 0,74 \text{ M}\Omega \approx 7,5 \text{ M}\Omega$$

Aumenta substancialmente la resistencia de entrada  $R_{i3}$ .

Se puede disminuir aún más el consumo de la fuente de alimentación  $V_{CC}$  usando una fuente de corriente logarítmica.

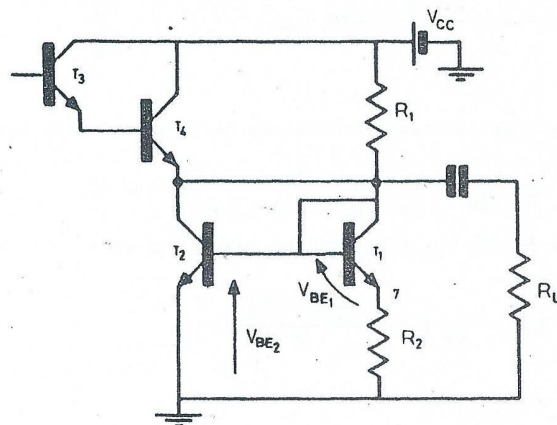


FIGURA 4.113.

$$V_{CC} = 9 \text{ V}$$

$$V_{BE2} = V_{BE1} + I_{CQ1} \cdot R_2$$

$$V_T \ln \frac{I_{CQ2}}{I_{CQ1}} = I_{CQ1} \cdot R_2$$

Si queremos que  $I_{CQ2} = 1 \text{ mA}$  e  $I_{CQ1} = 0,1 \text{ mA}$  se tiene :

$$V_T \ln \frac{I_{CQ2}}{I_{CQ1}} = 25 \cdot 10^{-3} \ln 10 = 57,56 \text{ mV}$$

$$R_2 = \frac{57,56 \text{ mV}}{0,1 \text{ mA}} = 575,6 \Omega$$

Se adopta una resistencia normalizada  $R_2 = 560 \Omega$

El consumo de la fuente  $V_{CC}$  es aproximadamente de  $1,1 \text{ mA}$ .

Como  $I_{CQ2}$  no cambia no se modifica  $R_{i3} \approx 7,5 \text{ M}\Omega$

### 5.1. DOS ETAPAS DIFERENCIALES ACOPLADAS USANDO DISPOSITIVOS ACTIVOS INTEGRADOS :

Se usa un CA 3086 (Ver FIGURA 5.1.).

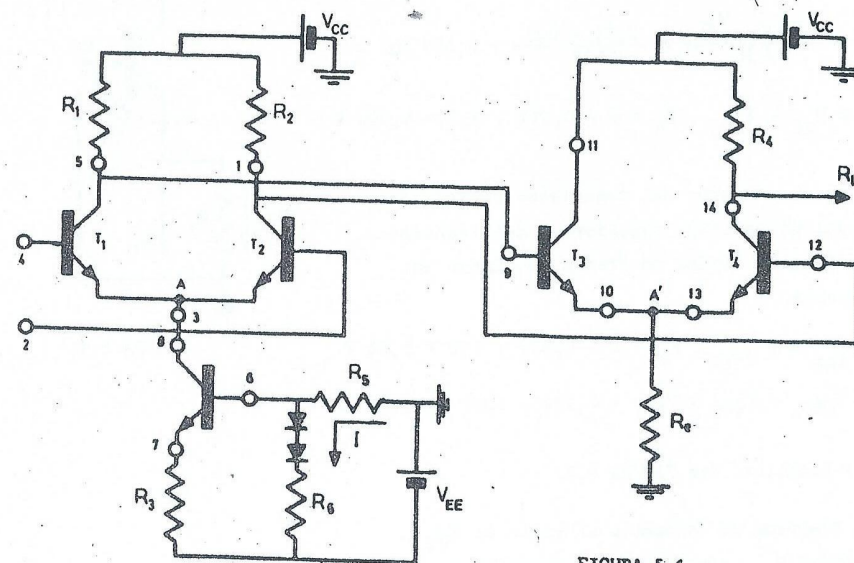


FIGURA 5.1.

DATOS :

$$V_{EE} = V_{CC} = 6 \text{ V}$$

$$R_1 = R_2 = 7,5 \text{ K}\Omega$$

$$R_4 = 3,3 \text{ K}\Omega$$

$$R_3 = 1,5 \text{ K}\Omega$$

$$h_{FE_T} = 100$$

$$R_6 = 1,5 \text{ K}\Omega$$

$$R_5 = 3,3 \text{ K}\Omega$$

$$R_3 = 2,2 \text{ K}\Omega$$

$$R_L = \infty$$

Despreciando la corriente  $I_{B5}$  se obtiene :

$$I = \frac{V_{EE} - V_D}{R_6 + R_5} = \frac{6 - 1,4}{4,8 \cdot 10^3} \approx 1 \text{ mA}$$

$$V_{BA} = 2 V_{BE} + I \cdot R_6 = 1,4 + 1,5 = 2,9 \text{ V}$$

$$V_{R3} = V_{BA} - V_{BE} = 2,9 - 0,7 = 2,2 \text{ V}$$

$$I_{CQ5} = \frac{V_{R3}}{R_3} = \frac{2,2}{2,2 \cdot 10^3} = 1 \text{ mA} \therefore I_{CQ1} = I_{CQ2} = 0,5 \text{ mA}$$

$$V_{C1T} = V_{CC} - I_{CQ1} \cdot R_1 = 6 - 0,5 \cdot 7,5 = 2,25 \text{ V} = V_{B3T}$$

Por simetría :

$$V_{B4T} = V_{B3T} = 2,25 \text{ V}$$

Este nivel de continua en  $C_1$  y  $C_2$  sirve para polarizar la segunda etapa diferencial.

$$V_{E1T} = V_{E2T} = -0,7 \text{ V (Considerando } B_1 \text{ y } B_2 \text{ a masa).}$$

$$V_{CEQ1} = V_{CEQ2} = V_{C1T} - V_{E1T} = 2,25 + 0,7 = 2,95 \text{ V}$$

En la FIGURA 5.2. se analiza al transistor  $T_4$  :

$$I_{CQ4} = \frac{V_{B4T} - V_{BE}}{2 R_e} = \frac{2,25 - 0,7}{3000} = 0,517 \text{ mA}$$

$$V_{C4T} = V_{CC} - I_{CQ4} \cdot R_4 = 6 - 0,517 \cdot 3,3 = 4,294 \text{ V}$$

Como se ve el colector del transistor cuatro tiene un nivel de continua superior al del transistor dos. Esto es típico de etapas acopladas en forma directa.

$$V_{E4T} = 2 I_{CQ4} \cdot R_e = 2 \cdot 0,517 \cdot 1,5 = 1,55 \text{ V}$$

$$V_{CEQ4} = V_{C4T} - V_{E4T} = 4,294 - 1,55 = 2,744 \text{ V}$$

Análisis dinámico. Ver FIGURA 5.3.

En este diagrama no conocemos el valor de  $R_{O5}$ .

En la FIGURA 5.1. consideramos despreciables las resistencias dinámicas de los diodos y llamamos :

$$R_T = R_6 \parallel R_5 = 1,5 \text{ k}\Omega \parallel 3,3 \text{ k}\Omega \approx 1 \text{ k}\Omega$$

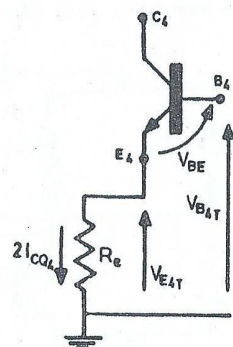


FIGURA 5.2.

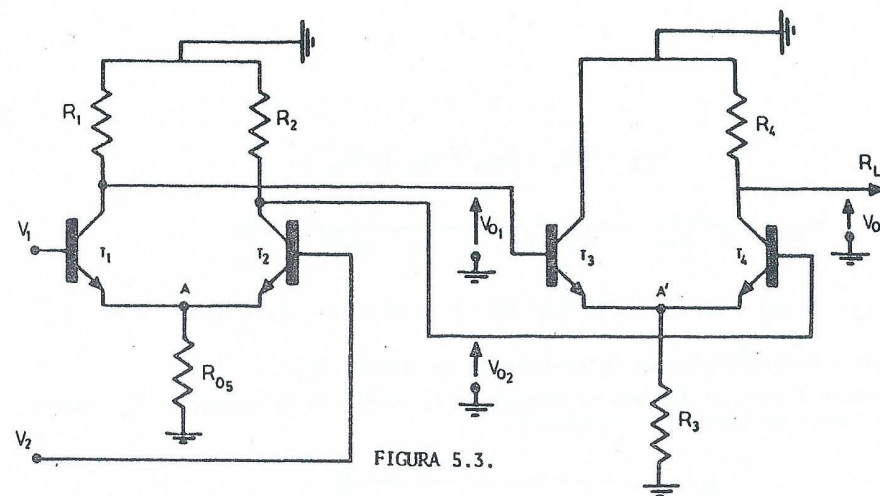


FIGURA 5.3.

La resistencia de salida del transistor cinco se puede calcular por :

$$r_{O5} = \frac{1}{\eta \cdot g_m} = \frac{1}{3 \cdot 10^{-4} \cdot 40 \cdot 10^{-3}} = 83 \text{ k}\Omega$$

Y la resistencia de salida  $R_{O5}$  (teniendo en cuenta  $R_3$ ) es :

$$R_{O5} = r_{O5} \left( 1 + \frac{h_{fe5} \cdot R_3}{R} \right)$$

donde :

$$R = R_3 + h_{ie5} + R_T$$

$$h_{ie5} = \frac{h_{fe5}}{g_{m5}} = \frac{100}{40 \cdot 10^{-3}} = 2,5 \text{ k}\Omega$$

$$\therefore R = 2,2 \text{ k}\Omega + 2,5 \text{ k}\Omega + 1 \text{ k}\Omega = 5,7 \text{ k}\Omega$$

$$R_{O5} = 83 \cdot 10^3 \left( 1 + \frac{100 \cdot 2,2 \cdot 10^3}{5,7 \cdot 10^3} \right) \approx 3,3 \text{ M}\Omega$$

Para el análisis de tensión diferencial el punto A de la FIGURA 5.3. es una tierra virtual.

Entonces, se obtiene el circuito de la FIGURA 5.4.

Se calcula la primera etapa como si fuera asimétrica y luego se duplica la ganancia.



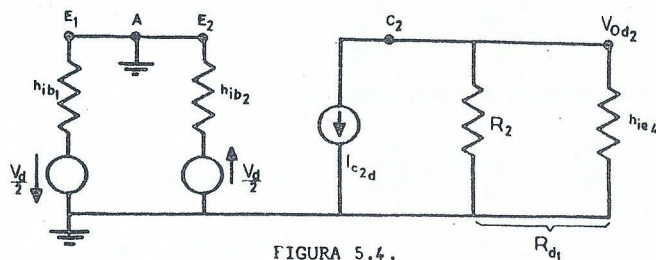


FIGURA 5.4.

$$h_{ie4} = \frac{h_{fe4}}{g_{m4}} = \frac{100}{40 \cdot 0,517 \cdot 10^{-3}} = 4,83 \text{ K}\Omega$$

$$R_{d1} = R_2 \parallel h_{ie4} = 7,5 \text{ K}\Omega \parallel 4,83 \text{ K}\Omega = 2,94 \text{ K}\Omega$$

$$g_{m2} = 40 \cdot I_{CQ2} = 40 \cdot 0,5 \cdot 10^{-3} = 20 \cdot 10^{-3} \text{ u}$$

De la FIGURA 5.4. se obtiene :

$$V_{Od2} = - I_{c2d} \cdot R_{d1}$$

De la FIGURA 5.5. se obtiene :

$$V_d = 2 I_{c2d} \cdot h_{ib2}$$

$$\therefore \frac{V_{Od2}}{V_d} = - \frac{R_{d1}}{2 h_{ib2}} = - \frac{g_{m2}}{2} R_{d1}$$

La ganancia diferencial de la primer etapa, como se dijo, es el doble de la ganancia que corresponde a salida asimétrica. Por lo tanto :

$$A_{d1} = - g_{m2} \cdot R_{d1} \quad \{5.1.\}$$

$$A_{d1} = - g_{m2} \cdot R_{d1} = - 20 \cdot 10^{-3} \cdot 2,94 \cdot 10^3 = - 58,8$$

La tensión de salida de modo común se obtiene del circuito de la FIGURA 5.6.

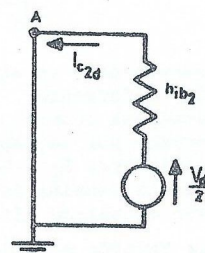


FIGURA 5.5.

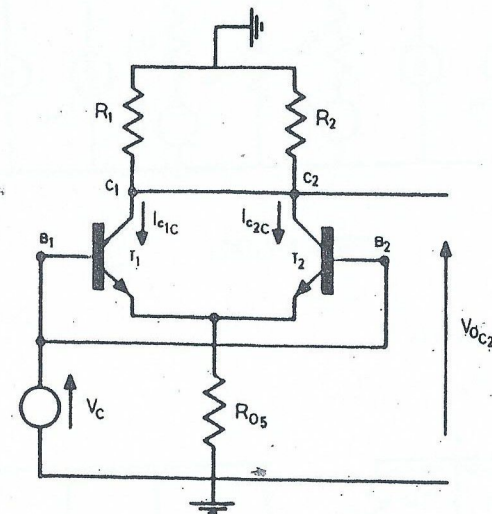


FIGURA 5.6.

Reemplazando los transistores y teniendo en cuenta que la carga que introduce el segundo diferencial es  $2 R_{h_{e fe}} \gg R_2$ , se obtiene la FIGURA 5.7.(a)

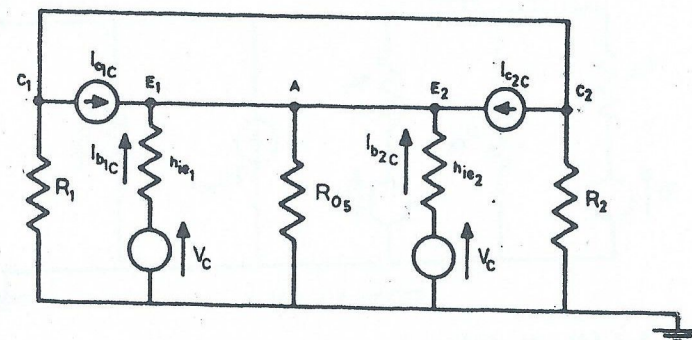


FIGURA 5.7.(a).

Desdoblando generadores :

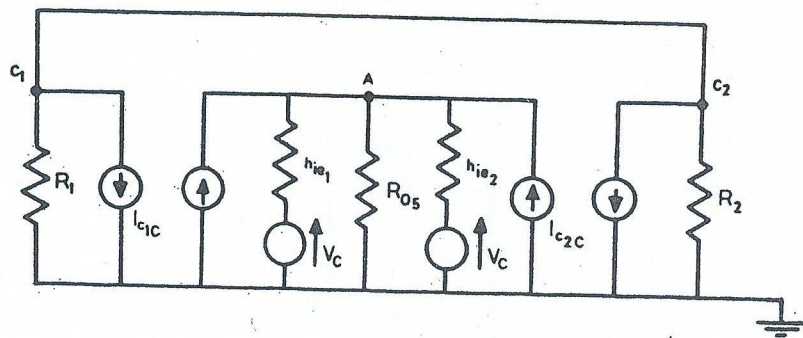


FIGURA 5.7.(b).

Pasamos a la FIGURA 5.7.(c).

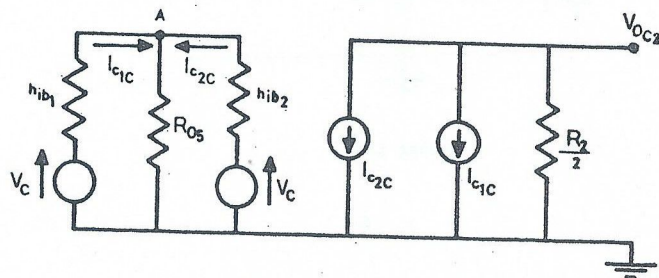


FIGURA 5.7.(c).

Suponiendo  $I_{c2C} = I_{c1C}$  se tiene la FIGURA 5.7.(d).

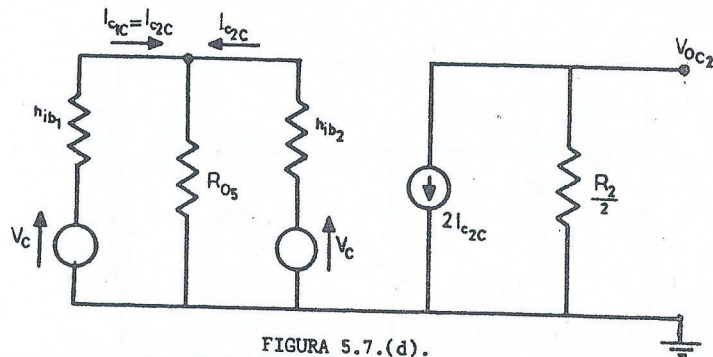


FIGURA 5.7.(d).

De la FIGURA 5.7.(d). se obtiene :

$$V_{OC2} = -I_{c2C} \cdot R_2$$

De la malla de entrada de la FIGURA 5.7.(d). se obtiene :

$$V_C = 2 I_{c2C} \cdot R_{05}$$

Por lo tanto la ganancia de modo común es :

$$A_{C1} = \frac{V_{OC2}}{V_C} = - \frac{R_2}{2 R_{05}} \quad \{5.2.\}$$

y la relación de rechazo de modo común es :

$$\rho_1 = \frac{A_{d1}}{A_{C1}} = \frac{g_{m2} \cdot R_{d1}}{R_2 / 2 R_{05}} = 2 g_m R_{05} \frac{R_{d1}}{R_2} \quad \{5.3.\}$$

$$\rho_1 = 2 \cdot 20 \cdot 10^{-3} \cdot 3,3 \cdot 10^6 \frac{2,94 \cdot 10}{7,5 \cdot 10} = 51744$$

$$\rho_1 = 94 \text{ dB}$$

Se tiene otro tipo de error de salida originado por una señal de entrada de modo común. Ver FIGURA 5.8.

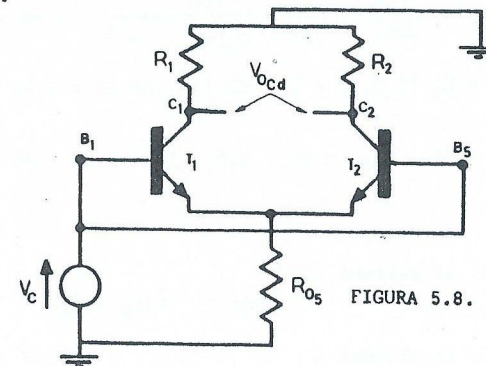


FIGURA 5.8.

Dicho error aparece como consecuencia de la desigual ganancia de los dos lados del amplificador diferencial.

Esa ganancia desigual ocurre por desbalance entre los transistores  $T_1$  y  $T_2$  (desbalance muy pequeño por pertenecer  $T_1$  y  $T_2$  al mismo integrado) y por desbalance entre los resistores  $R_1$  y  $R_2$ .

Por la acción de la tensión de modo común  $V_C$  y por el desbalance mencionado aparece una tensión de salida diferencial entre  $C_1$  y  $C_2$ , ( $V_{OCd}$ ).

Es decir que la tensión de modo común origina la tensión diferencial de salida  $V_{OCd}$ .

Esta tensión  $V_{OCd}$  se presenta entre los mismos colectores de donde se extrae la tensión de salida diferencial correcta. Por lo tanto la segunda etapa (que tiene una ganancia diferencial  $A_{d2}$ ), no puede discriminar entre la verdadera tensión de salida diferencial de la primera etapa y la tensión  $V_{OCd}$ . Las amplifica a ambas  $A_{d2}$  veces.



Por supuesto que en la salida de la segunda etapa existirá una tensión de error, debido a este efecto analizado, de valor:  $V_{OCd} \cdot A_{d2}$

Se puede definir la ganancia de modo común que da por resultado una señal diferencial como :

$$A_{C1d} = A_{d1} \quad (\% \text{ ganancia de desbalance}) (0,01) \quad \{5.4.\}$$

Se puede definir la relación de rechazo correspondiente como :

$$\rho_d = \frac{A_{d1}}{A_{C1d}} = \frac{A_{d1}}{A_{d1} (\% \text{ gan. de desb.}) (0,01)} = \frac{100}{\% \text{ gan. de desb.}} \quad \{5.5.\}$$

Si suponemos los transistores  $T_1$  y  $T_2$  perfectamente apareados y que  $R_1$  y  $R_2$  tengan una tolerancia de  $\pm 1\%$ , se obtiene en el peor de los casos una diferencia de ganancia del  $2\%$  entre ambos colectores.

Por lo tanto :

$$\rho_d = \frac{100}{2} = 50 \quad \therefore \quad \rho_d = 34 \text{ dB}$$

Es decir un  $\rho$  bastante bajo.

Si la ganancia de desbalance es del  $1\%$  se tiene :

$$\rho_d = \frac{100}{1} = 100 \quad \therefore \quad \rho_d = 40 \text{ dB}$$

con lo cual no mejora mucho.

En los circuitos totalmente integrados este  $\rho_d$  aumenta notablemente.

Veamos ahora la segunda etapa. Esta tiene una tierra virtual  $A'$  para las tensiones diferenciales :

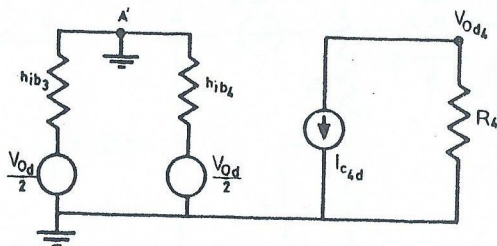


FIGURA 5.9.

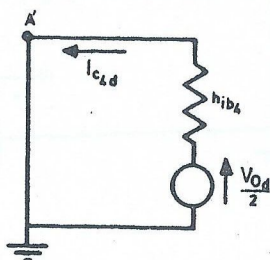
$V_{Od}$  es la tensión de salida diferencial de la 1ª etapa (entre colectores).

De la FIGURA 5.9. se obtiene :

$$V_{Od4} = -I_{C4d} \cdot R_4$$

De la FIGURA 5.10. se obtiene :

$$V_{Od} = 2 I_{C4d} \cdot h_{ib4}$$



$$\therefore A_{d2} = \frac{V_{Od4}}{V_{Od}} = - \frac{R_4}{2 h_{ib4}} \quad \therefore \quad A_{d2} = - \frac{g_{m4}}{2} R_4 \quad \{5.6.\}$$

$$g_{m4} = 40 I_{CQ4} = 40 \cdot 0,517 \cdot 10^{-3} = 20,68 \text{ mV}$$

$$A_{d2} = - \frac{20,68}{2} \cdot 3,3 = - 34,2$$

La ganancia diferencial de las dos etapas es :

$$A_d = A_{d1} \cdot A_{d2} \quad \{5.7.\}$$

$$A_d = A_{d1} \cdot A_{d2} = 58,8 \cdot 34,2 \approx 2010$$

$$\therefore A_d \approx 66 \text{ dB}$$

La ganancia de modo común de la 2ª etapa es :

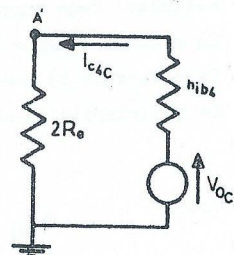
$$A_{C2} = \frac{V_{OC4}}{V_{OC2}} = \frac{-I_{C4C} \cdot R_4}{2 R_e \cdot I_{C4C}} = - \frac{R_4}{2 R_e} \quad \{5.8.\}$$

La relación de rechazo de modo común es :

$$\rho_2 = \frac{A_{d2}}{A_{C2}} = \frac{g_{m4} \cdot R_4 / 2}{R_4 / 2 R_e} = g_{m4} \cdot R_e \quad \{5.9.\}$$

$$\rho_2 = g_{m4} \cdot R_e = 20,68 \cdot 1,5 = 31$$

FIGURA 5.11.



$\therefore \rho_2 \approx 30 \text{ dB}$ . Como luego veremos este valor de  $\rho_2$  es un muy buen valor para una segunda etapa diferencial.

En la FIGURA 5.12. se analizan las dos etapas :

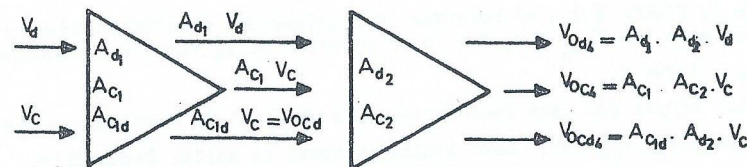


FIGURA 5.12.

Sabemos que  $A_d = A_{d1} \cdot A_{d2} \quad \{5.7.\}$

La tensión de salida de modo común es :

$$V_{OC4} + V_{OCd4} = V_C (A_{C1} \cdot A_{C2} + A_{C1d} \cdot A_{d2}) \quad \{5.10.\}$$



La ganancia de modo común de las 2 etapas es:

$$A_c = \frac{V_{OC4} + V_{OCd4}}{V_c} = A_{C1} \cdot A_{C2} + A_{C1d} \cdot A_{d2} \quad (5.11.)$$

Definimos la relación de rechazo de las dos etapas como :

$$\rho = \frac{A_d}{A_c} \quad (5.12.)$$

$$\therefore \rho = \frac{A_d}{A_c} = \frac{A_{d1} \cdot A_{d2}}{A_{C1} \cdot A_{C2} + A_{C1d} \cdot A_{d2}}$$

$$\therefore \rho = \frac{1}{\frac{A_{C1} \cdot A_{C2}}{A_{d1} \cdot A_{d2}} + \frac{A_{C1d}}{A_{d1}}} = \frac{1}{\frac{1}{\rho_1 \cdot \rho_2} + \frac{1}{\rho_d}} \quad (5.13.)$$

En nuestro ejemplo  $\rho_1 = 51744$  y  $\rho_2 = 31$  y  $\rho_d = 100$   $\therefore \rho_1 \cdot \rho_2 = 1,6 \cdot 10^6$   
Por lo tanto :

$$\rho = \frac{1}{\frac{1}{1,6 \cdot 10^6} + \frac{1}{100}} \approx 100 = \rho_d$$

Vemos que  $\rho_2 = 31$  es suficiente como para llevar el producto  $\rho_1 \cdot \rho_2$  a un valor altísimo. Como consecuencia el  $\rho$  de las dos etapas coincide con  $\rho_d$ .  
(En nuestro ejemplo  $\rho_d$  es bajo  $\rightarrow 40$  dB).

Esto muestra la necesidad de cuidar exhaustivamente los desbalances.

La resistencia de entrada diferencial esta dada por :

$$R_{id} = 2 h_{ie1}$$

Como:

$$h_{fe1} \approx g_{m1} \cdot h_{ie1} \quad \text{resulta :}$$

$$R_{id} = 2 \frac{h_{fe1}}{g_{m1}} = \frac{2 \cdot 100}{0,5 \cdot 10^{-3}} = 400 \text{ K}\Omega$$

## 5.2. ETAPAS DE DESPLAZAMIENTO DE NIVEL DE CONTINUA :

En la FIGURA 5.1., el colector de  $T_2$  tiene una tensión continua respecto de tierra dada por  $V_{C2T} = 2,25 \text{ V}$  y el colector de  $T_4$  tiene una tensión continua  $V_{C4T} = 4,294 \text{ V}$ .

Al acoplar etapas que usan transistores NPN el nivel de continua se acerca a la tensión positiva  $V_{CC}$  (6V). Esto limita la señal de salida disponible.

Se podría evitar el inconveniente mencionado usando etapas complementarias PNP-NPN. Pero existe el inconveniente de que los PNP integrados tienen menor ganancia y menor respuesta de frecuencia que los NPN integrados.

Lo que se hace entonces es disminuir el nivel de tensión continua por medio de etapas de desplazamiento de nivel de continua.

Dichas etapas proveen un determinado nivel de tensión continua introduciendo al mismo tiempo poca pérdida de señal. Además, estas etapas se usan habitualmente como etapas separadoras entre etapas sucesivas. Para lo cual conviene que tengan alta resistencia de entrada y baja resistencia de salida.

Veamos el comportamiento de la etapa de la FIGURA 5.13.

En dicha FIGURA  $V_X$  y  $V_Z$  son las tensiones continuas de entrada y de salida, mientras que  $V_i$  y  $V_o$  son las tensiones dinámicas de entrada y de salida.

$$V_Z = V_{ET} \frac{R_2}{R_1 + R_2} \quad (5.14.)$$

$$V_{ET} = V_X - V_{BE} \quad (5.15.)$$

Reemplazando {5.15.} en {5.14.} se tiene :

$$V_Z = (V_X - V_{BE}) \frac{R_2}{R_1 + R_2} \quad (5.16.)$$

Como se ve adecuando la relación  $\frac{R_2}{R_1}$  se disminuye  $V_Z$ .

Suponiendo para la señal que  $V_{be} \rightarrow 0$ , se tiene que :

$$A_v = \frac{V_o}{V_i} \approx \frac{R_2}{R_1 + R_2} < 1 \quad (5.17.)$$

Es decir que se tiene una atenuación de la señal de entrada  $V_i$ , lo cual hace que este tipo de etapa no sea la mas adecuada.  
Por otra parte, la etapa también tiene el inconveniente de su resistencia de salida alta, como se ve en la FIGURA 5.14. y FIGURA 5.15.

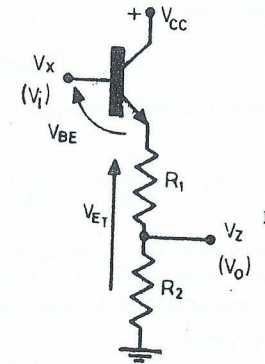


FIGURA 5.13

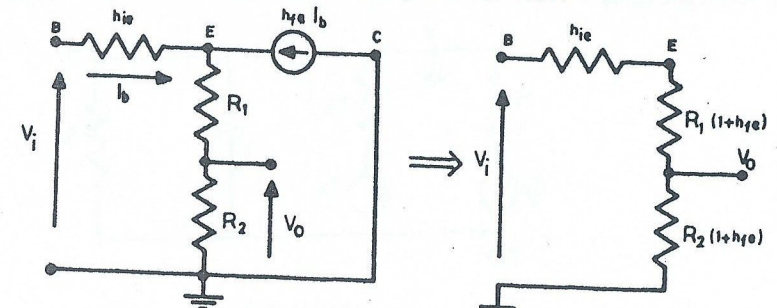


FIGURA 5.14.

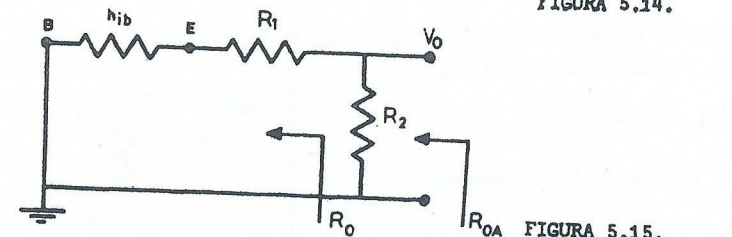


FIGURA 5.15.



Para hallar la resistencia de salida, en la FIGURA 5.15., cuyo nivel es  $I_e$ , hemos hecho  $V_i=0$ .

Vemos que :

$$R_O = h_{ib} + R_1 \approx R_1 \quad \{5.18.\}$$

y que :

$$R_{OA} = R_O \parallel R_2 \approx R_1 \parallel R_2 \quad \{5.19.\}$$

Analizamos la etapa de la FIGURA 5.16.

$$V_Z = V_X - V_{BE} - V_R \quad \{5.20.\}$$

donde  $V_R$  es la tensión de referencia del zenner.

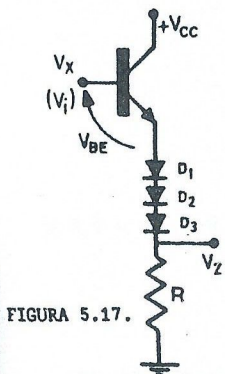
$V_R$  está en el orden de 6 a 9 V.

Como la resistencia dinámica del

zenner es pequeña no hay prácti-

camente atenuación de la señal. El principal inconveniente del circuito de la FIGURA 5.16. se ocasiona en lo ruidoso que es el zenner trabajando con bajos niveles de señal.

Analizamos la etapa de la FIGURA 5.17.



En la FIGURA 5.17. los diodos son transistores conectados como diodos :

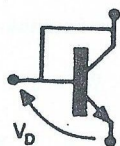


FIGURA 5.18.

donde :  $V_D = V_{BE} \quad \{5.21.\}$

La tensión continua de salida es :

$$V_Z = V_X - 4 V_{BE} \quad \{5.22.\}$$

Generalizando :

$$V_Z = V_X - (n + 1) \cdot V_{BE} \quad \{5.23.\}$$

La resistencia dinámica de cada diodo

integrado es  $\frac{1}{g_m} \approx h_{ib}$

En la FIGURA 5.19. se tiene el circuito que corresponde a la resistencia de salida :

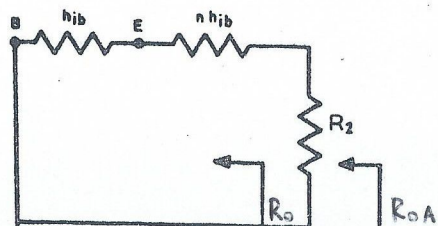


FIGURA 5.19.

$$R_O = (n + 1) \cdot h_{ib} = \frac{n + 1}{g_m} \quad \{5.24.\}$$

$$R_{OA} = R_O \parallel R_2$$

La resistencia de salida  $R_{OA}$  es baja por serlo  $R_O$ .

Analizamos la etapa de la FIGURA 5.20. :

$r_O$  es la resistencia de salida de la fuente de corriente constante (grande).

$$V_Z = V_X - I \cdot R_1 \quad \{5.25.\}$$

Veamos en la FIGURA 5.21. la resistencia de salida de la etapa.

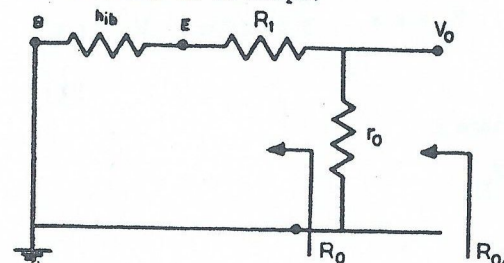


FIGURA 5.21.

$$R_O = h_{ib} + R_1 \approx R_1 \quad \{5.26.\}$$

$$R_{OA} = R_O \parallel r_O = R_1 \parallel r_O \approx R_1 \quad \{5.27.\}$$

Si el circuito se carga con una  $R_L$  relativamente baja se tendría : FIGURA 5.22.

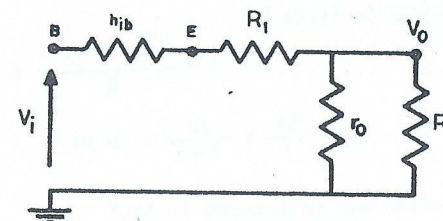


FIGURA 5.22.

$$A_V = \frac{V_O}{V_i} \approx \frac{R_L}{R_1 + R_L} \quad \{5.28.\} \quad \text{por ser :}$$

$$R_1 \gg h_{ib} \quad \text{y} \quad R_L \ll r_O$$

Por lo tanto se tendría atenuación de la señal. En este caso entre la etapa de desplazamiento de nivel y la carga de  $R_L$  se debería colocar una etapa separadora.

El circuito de la FIGURA 5.20. se puede implementar como se observa en la FIGURA 5.23. :



En la Fig. 23 se tiene:

$$I = \frac{V_{CC} - V_{BE}}{R} \quad \{5.29.\}$$

Como  $T_2$  y  $T_3$  tienen la misma  $V_{BE}$  resulta que por  $T_3$  y por  $T_4$  circula esa misma corriente  $I$ .

Por lo tanto:

$$V_Z = V_X - V_{BE} - I \cdot R_1 \quad \{5.30.\}$$

$$V_Z = V_X - V_{BE} - \frac{V_{CC} - V_{BE}}{R} R_1 \quad \{5.31.\}$$

Si se hace :

$$V_{CC} \gg V_{BE} \text{ queda :}$$

$$V_Z = V_X - V_{BE} - V_{CC} \frac{R_1}{R} \quad \{5.32.\}$$

Ejemplo :

Sea :  $V_{CC} = 10 \text{ V}$        $V_X = 8 \text{ V}$       y se quiere  $V_Z = 1 \text{ V}$

Adoptemos :

$$I = 1 \text{ mA}$$

Entonces de la ecuación {5.30.} se tiene :

$$V_Z = V_X - V_{BE} - I \cdot R_1$$

Despreciando  $V_{BE}$  se tiene :

$$V_Z = V_X - I \cdot R_1 \quad \therefore \quad I \cdot R_1 = V_X - V_Z$$

$$\therefore R_1 = \frac{V_X - V_Z}{I} = \frac{8 - 1}{1 \text{ mA}} = 7 \text{ K}\Omega \quad \text{Tomamos } 6,8 \text{ K}\Omega$$

De la ecuación {5.29.} :

$$I = \frac{V_{CC} - V_{BE}}{R} \approx \frac{V_{CC}}{R} = \frac{10}{R}$$

$$\therefore R = \frac{10}{I} = \frac{10}{1 \text{ mA}} = 10 \text{ K}\Omega$$

Verificación con la ecuación {5.31.}

$$V_Z = V_X - V_{BE} - \frac{V_{CC} - V_{BE}}{R} R_1 = 8 - 0,7 - \frac{10 - 0,7}{10 \cdot 10^3} 6,8 \cdot 10^3$$

$$V_Z \approx 1 \text{ V}$$

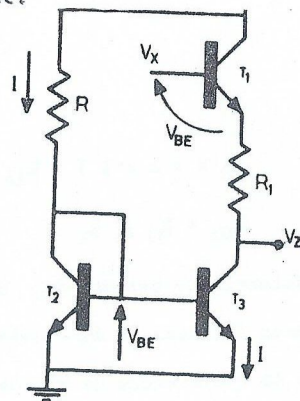


FIGURA 5.23.

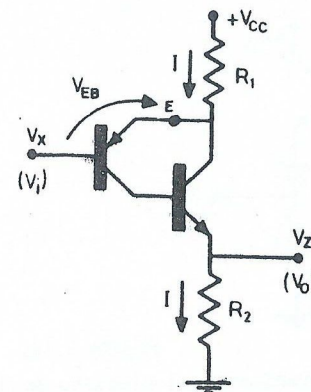
Si adoptamos  $I = 10 \text{ mA}$ , se obtiene  $R_1 = 680 \Omega$  y  $R = 1 \text{ K}\Omega$

Verificando:

$$V_Z = 8 - 0,7 - \frac{10 - 0,7}{1000} \cdot 680 \approx 1 \text{ V}$$

Adoptando  $I = 10 \text{ mA}$  se tiene como ventaja que  $R_0 \approx R_1$  es solo de  $680 \Omega$  en lugar de  $6,8 \text{ K}\Omega$ .

Analicemos la etapa de la FIGURA 5.24.



De la FIGURA 5.24.

$$V_{CC} = I \cdot R_1 + V_{EB} + V_X$$

$$\therefore I = \frac{V_{CC} - V_{EB} - V_X}{R_1} \quad \{5.33.\}$$

$$V_Z = I \cdot R_2 \quad \{5.34.\}$$

Reemplazando {5.33} en {5.34.} :

$$V_Z = \frac{V_{CC} - V_{EB} - V_X}{R_1} R_2 \quad \{5.35.\}$$

El transistor lateral integrado PNP y el NPN vertical se comportan como un único transistor compuesto PNP. Por lo tanto se tiene que :

$$A_v = \frac{V_O}{V_i} \approx - \frac{R_2}{R_1}$$

suponiendo que  $R_2 = 2 R_1$  se tiene  $A_v = 2$ .

Si además  $V_{CC} = 10 \text{ V}$  y  $V_X = 8 \text{ V}$  se tiene :

$$V_Z = \frac{V_{CC} - V_{EB} - V_X}{R_1} R_2 = (10 - 0,7 - 8) \cdot 2 = 2,6 \text{ V}$$

Se obtiene  $V_Z = 2,6 \text{ V}$  pero con ganancia de la etapa de 2.

### 5.3. CONTINUACION DEL ANALISIS DEL AMPLIFICADOR OPERACIONAL 741 :

Sea la FIGURA 5.25.

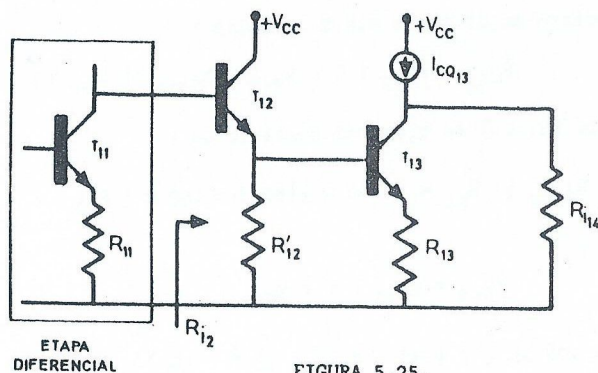
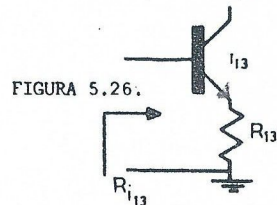


FIGURA 5.25.

$R_{i14}$  es la resistencia de entrada de la etapa excitadora y su valor es de  $8,75 \text{ M}\Omega$

$$R'_{12} = 50 \text{ K}\Omega \quad R_{13} = 100 \text{ }\Omega \quad I_{CQ3} = 550 \text{ }\mu\text{A} \quad h_{fe12} = h_{fe13} = 250$$

Calculamos primero  $R_{i2}$ . (Ver FIGURA 5.25. y 5.26.)



$$h_{ie13} = \frac{V_T \cdot h_{fe13}}{I_{CQ13}} \quad \{5.38.\}$$

$$h_{ie13} = \frac{25 \cdot 10^{-3} \cdot 250}{550 \cdot 10^{-6}} \approx 11 \text{ K}\Omega$$

$$R_{i13} = h_{ie13} + h_{fe13} \cdot R_{13} \approx 11 \text{ K}\Omega + 250 \cdot 100 = 36 \text{ K}\Omega$$

Pasamos a la FIGURA 5.27.

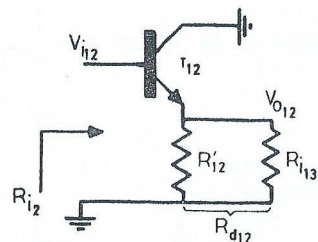


FIGURA 5.27.

$$R_{d12} = R'_{12} \parallel R_{i13} = 50 \text{ K}\Omega \parallel 36 \text{ K}\Omega \approx 21 \text{ K}\Omega$$

Determinemos  $I_{CQ12}$ .

$$V_{BT13} = V_{BE13} + I_{CQ13} \cdot R_{13} = 600 \text{ mV} + 0,55 \cdot 10^{-3} \cdot 100 = 655 \text{ mV}$$

$$I_{B13} = \frac{I_{CQ13}}{h_{FE13}} = \frac{550 \text{ }\mu\text{A}}{250} = 2,2 \text{ }\mu\text{A}$$

Llamamos  $I$  la corriente que circula por  $R'_{12}$ . (FIGURA 5.25.)

$$I = \frac{V_{BT13}}{R'_{12}} = \frac{655 \text{ mV}}{50 \text{ K}\Omega} = 13,1 \text{ }\mu\text{A}$$

$$I_{CQ12} = I + I_{B13} = (13,1 + 2,2) \text{ }\mu\text{A} \approx 15 \text{ }\mu\text{A}$$

Calculamos  $h_{ie12}$ .

$$h_{ie12} = \frac{V_T \cdot h_{fe12}}{I_{CQ12}} = \frac{25 \cdot 10^{-3} \cdot 250}{15 \cdot 10^{-6}} \approx 416 \text{ K}\Omega$$

$$R_{i2} = h_{ie12} + h_{fe12} \cdot R_{d12} = 416 \text{ K}\Omega + 250 \cdot 21 \text{ K}\Omega = 5,66 \text{ M}\Omega \quad \{5.36.\}$$

Cálculo de la ganancia de la etapa que contiene a  $T_{12}$  (Ver FIGURA 5.27. y 5.28.)

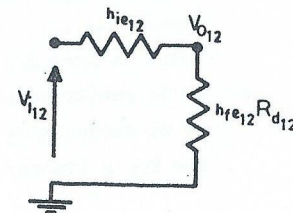


FIGURA 5.28.

$$h_{fe12} \cdot R_{d12} = 250 \cdot 21 \text{ K}\Omega = 5250 \text{ K}\Omega$$

$$A_{v12} = \frac{h_{fe12} \cdot R_{d12}}{h_{ie12} + h_{fe12} \cdot R_{d12}} = \frac{5250 \text{ K}\Omega}{5666 \text{ K}\Omega} = 0,926 \quad \{5.37.\}$$

Para analizar la parte dinámica del transistor  $T_{13}$  es imprescindible analizar cómo está polarizado. Ello se ve en la FIGURA 5.29.

El transistor  $T_3$  fue analizado en el punto 4.4.2. y se obtuvo la corriente de referencia  $I_{R1}$  de  $0,74 \text{ mA}$ .

Esa corriente  $I_{R1}$  coincide con la corriente de emisor de  $T_{14}$ , ya que  $T_3$  y  $T_{14}$  tienen la misma  $V_{BE}$ .



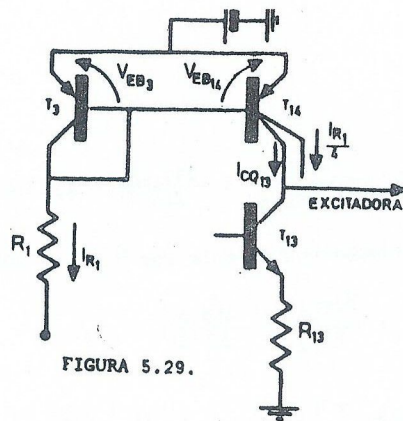


FIGURA 5.29.

El transistor  $T_{14}$  es un PNP lateral multicolector. Sus dos colectores tienen distintas áreas integradas.

$$I_{CQ13} = 0,75 \cdot I_{R1} = 0,75 \cdot 0,74 \text{ mA} \approx 550 \mu\text{A}$$

ya que del área total de colector tiene las 3/4 partes. La otra salida tiene una corriente de colector igual a:

$$\frac{I_{R1}}{4}$$

Desde el punto de vista dinámico se obtiene el circuito de la FIGURA 5.30.

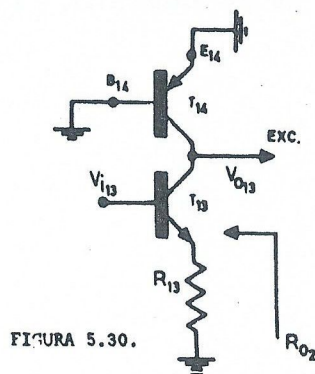


FIGURA 5.30.

El emisor  $E_{14}$  está a tierra a través de la fuente  $V_{CC}$ .

Entre la base  $B_{14}$  y tierra en realidad existe la resistencia dinámica que le corresponde al diodo de  $T_3$ . Como es pequeña suponemos  $B_{14}$  a tierra.

Cálculo de la resistencia de salida  $R_{O2}$

$$R_{O2} = R_{O13} \parallel r_{O14} \quad \{5.39.\}$$

$$r_{O13} = \frac{1}{\eta \cdot g_{m13}} = \frac{1}{2 \cdot 10^{-4} \cdot 40 \cdot I_{CQ13}} = \frac{1}{2 \cdot 10^{-4} \cdot 40 \cdot 0,55 \cdot 10^{-3}}$$

$$r_{O13} \approx 227 \text{ K}\Omega$$

$$r_{O14} = \frac{1}{\eta \cdot g_{m14}} = \frac{1}{5 \cdot 10^{-4} \cdot 40 \cdot 0,55 \cdot 10^{-3}} \approx 91 \text{ K}\Omega$$

El  $\eta$  de  $T_{13}$  corresponde a un NPN y el  $\eta$  del  $T_{14}$  a un PNP.

$$h_{ie13} = 11 \text{ K}\Omega \quad \text{según la ecuación } \{5.38.\}$$

Según se ha visto en el punto 4.4.2. resulta :

$$R_{O13} = r_{O13} \{ 1 + g_{m13} ( h_{ie13} \parallel R_{13} ) \} \quad \{5.40.\}$$

En la ecuación  $\{5.40.\}$  se tiene el paralelo de :

$$h_{ie13} \parallel R_{13} = 11000 \Omega \parallel 100 \Omega \approx 100 \Omega = R_{13}$$

Por lo tanto :

$$R_{O13} \approx r_{O13} ( 1 + g_{m13} \cdot R_{13} )$$

$$R_{O13} = 227 \text{ K}\Omega ( 1 + 40 \cdot 0,55 \cdot 10^{-3} \cdot 100 ) = 726 \text{ K}\Omega$$

$$R_{O2} = R_{O13} \parallel r_{O14} = 726 \text{ K}\Omega \parallel 91 \text{ K}\Omega \approx 81 \text{ K}\Omega$$

Recordar que  $R_{O2}$  está cargado con la entrada de la etapa excitadora  $R_{i4} = 8,75 \text{ K}\Omega$ .

Por lo tanto la resistencia dinámica  $R_d$  que ve el transistor  $T_{13}$  es :

$$R_d = R_{O2} \parallel R_{i4} \approx R_{O2} = 81 \text{ K}\Omega$$

El circuito queda así :

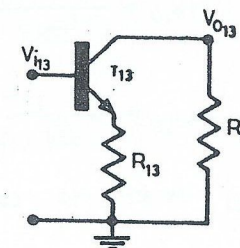


FIGURA 5.31.

El circuito equivalente de la FIGURA 5.31. reemplazando  $T_{13}$  es :

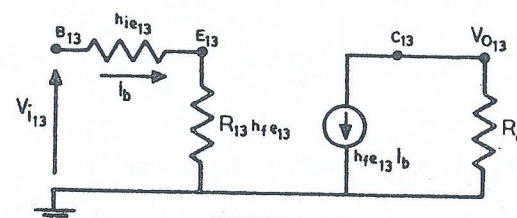
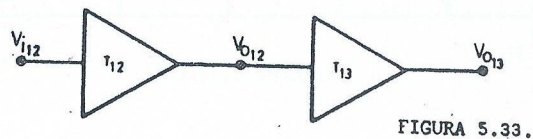


FIGURA 5.32.

Volviendo a la FIGURA 5.25. se puede establecer la ganancia de  $T_{12}$  y  $T_{13}$ . Se debe tener en cuenta que  $V_{O12} = V_{i13}$ . FIGURA 5.33.



Por lo tanto :

$$A_{V2} = \frac{V_{O13}}{V_{i12}} = \frac{V_{O13}}{V_{i13}} \cdot \frac{V_{i13}}{V_{i12}} = \frac{V_{O13}}{V_{i13}} \cdot \frac{V_{O12}}{V_{i12}} \quad \{5.41\}$$

La relación  $\frac{V_{O12}}{V_{i12}}$  ya fue calculada en la ecuación {5.37.}

Resultado :

$$A_{V12} = \frac{V_{O12}}{V_{i12}} = 0,926$$

Calcularemos ahora con la ayuda de la FIGURA 5.32. la ganancia  $A_{V13} = \frac{V_{O13}}{V_{i13}}$

$$V_{O13} = -h_{fe13} I_b R_d \quad V_{i13} = I_b \{h_{ie13} + h_{fe13} R_{i13}\}$$

$$\therefore V_{i13} = I_b \cdot R_{i13}$$

$$A_{V13} = \frac{V_{O13}}{V_{i13}} = - \frac{h_{fe13} \cdot I_b \cdot R_d}{I_b \cdot R_{i13}} = - \frac{h_{fe13} \cdot R_d}{R_{i13}} \quad \{5.42.\}$$

$$A_{V13} = - \frac{250 \cdot 81 \text{ K}\Omega}{36 \text{ K}\Omega} = - 562,5$$

$$A_{V2} = A_{V12} \cdot A_{V13} = - 0,926 \cdot 562,5 = - 520$$

$$A_{V2} = 20 \log 520 \approx 54 \text{ dB}$$

La ganancia total es el producto de  $A_{V1}$  (ganancia diferencial) = 563

y de  $A_{V2} \rightarrow A_V = A_{V1} \cdot A_{V2} = 563 \cdot 520 \approx 290000 \quad \therefore A_V \approx 110 \text{ dB}$

#### 5.4. ACOPLAMIENTO A C y R :

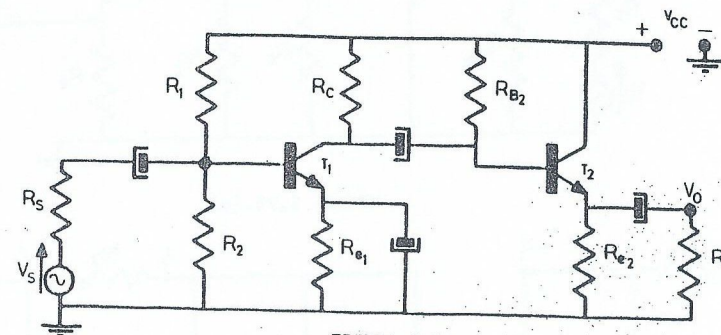


FIGURA 5.34.

DATOS :

$$\begin{aligned} R_S &= 1 \text{ K}\Omega & h_{fe} &= 100 & R_C &= 1 \text{ K}\Omega & R_L &= 1 \text{ K}\Omega \\ R_1 &= 100 \text{ K}\Omega & V_{CC} &= 20 \text{ V} & R_2 &= 10 \text{ K}\Omega & R_{B2} &= 100 \text{ K}\Omega \\ R_{e1} &= 1 \text{ K}\Omega & R_{e2} &= 2 \text{ K}\Omega \end{aligned}$$

Se calcula  $Q_1$  :

$$V_{BB} = V_{CC} \frac{R_2}{R_1 + R_2} = 20 \frac{10 \text{ K}\Omega}{110 \text{ K}\Omega} = 1,82 \text{ V}$$

$$R_B = R_1 \parallel R_2 = 100 \text{ K}\Omega \parallel 10 \text{ K}\Omega = 9,1 \text{ K}\Omega$$

$$I_{CQ1} = \frac{V_{BB} - V_{BE}}{R_{e1} + \frac{R_B}{h_{FET}}} = \frac{1,82 - 0,7}{1000 + \frac{9100}{100}} = 1 \text{ mA}$$

$$V_{CEQ1} = V_{CC} - I_{CQ1} (R_{e1} + R_C) = 20 - 1 \text{ mA} (1 \text{ K}\Omega + 1 \text{ K}\Omega) = 18 \text{ V}$$

Se calcula  $Q_2$  :

$$I_{CQ2} = \frac{V_{CC} - V_{BE}}{R_{e2} + \frac{R_{B2}}{h_{FET}}} = \frac{20 - 0,7}{2000 + \frac{100000}{100}} = 6,4 \text{ mA}$$

$$V_{CEQ2} = V_{CC} - I_{CQ2} \cdot R_{e2} = 20 - 6,4 \text{ mA} \cdot 2 \text{ K} = 7,2 \text{ V}$$

$$Q_1 \left| \begin{array}{l} 1 \text{ mA} \\ 18 \text{ V} \end{array} \right.$$

$$Q_2 \left| \begin{array}{l} 6,4 \text{ mA} \\ 7,2 \text{ V} \end{array} \right.$$

Circuito dinámico :

Se observa en la FIGURA 5.35.



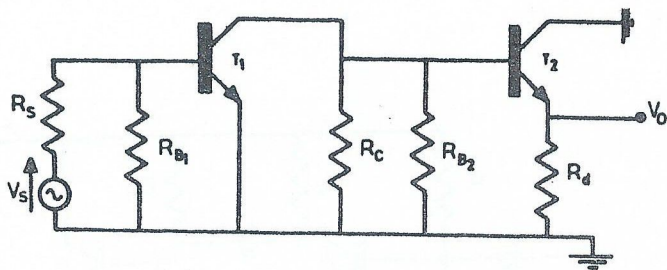


FIGURA 5.35.(a).

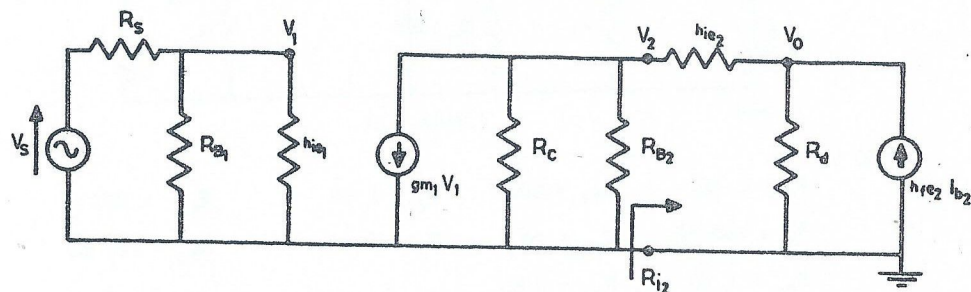


FIGURA 5.35.(b).

En la FIGURA 5.35.(a). es :  $R_d = R_{e2} \parallel R_L = 2 \text{ k}\Omega \parallel 1 \text{ k}\Omega \approx 667 \Omega$

$$g_{m1} = 40 I_{CQ1} = 40 \cdot 10^{-3} = 40 \text{ mS}$$

$$h_{ie1} \approx \frac{h_{fe1}}{g_{m1}} = \frac{100}{40 \text{ mS}} = 2,5 \text{ k}\Omega$$

$$g_{m2} = 40 I_{CQ2} = 40 \cdot 6,4 \cdot 10^{-3} = 256 \text{ mS}$$

$$h_{ie2} \approx \frac{h_{fe2}}{g_{m2}} = \frac{100}{256 \text{ mS}} = 390 \Omega$$

$$R_{i2} = h_{ie2} + h_{fe2} \cdot R_d = 390 + 100 \cdot 667 \approx 67,1 \text{ k}\Omega \quad \{5.43.\}$$

$$A_{V2} = \frac{V_O}{V_2} = \frac{R_d \cdot h_{fe2}}{R_{i2}} = \frac{66,7 \text{ k}\Omega}{67,1 \text{ k}\Omega} = 0,994 \quad \{5.44.\}$$

Pasemos a la FIGURA 5.35.(c).

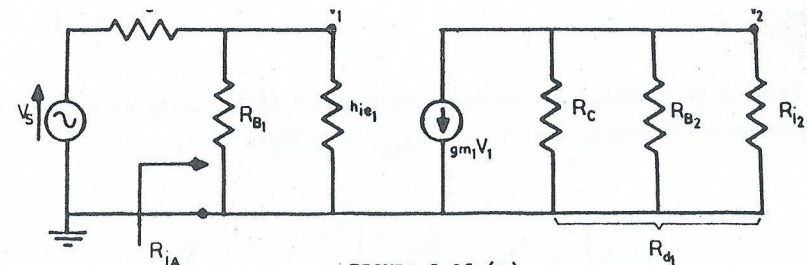


FIGURA 5.35.(c).

$$R_{d1} = R_C \parallel R_{B2} \parallel R_{i2} = 1 \text{ k}\Omega \parallel 100 \text{ k}\Omega \parallel 67,1 \text{ k}\Omega = 990 \Omega \parallel 67100 \Omega \approx 975 \Omega$$

$$\frac{V_2}{V_1} = -g_{m1} \cdot R_{d1} = -40 \cdot 10^{-3} \cdot 975 = -39 \quad \{5.45.\}$$

$$R_{iA} = R_{B1} \parallel h_{ie1} = 9,1 \text{ k}\Omega \parallel 2,5 \text{ k}\Omega = 1,96 \text{ k}\Omega$$

$$\frac{V_1}{V_S} = \frac{R_{iA}}{R_S + R_{iA}} = \frac{1,96 \text{ k}\Omega}{1,96 \text{ k}\Omega + 1 \text{ k}\Omega} = 0,662 \quad \{5.46.\}$$

$$A_{V1} = \frac{V_2}{V_S} = \frac{V_2}{V_1} \cdot \frac{V_1}{V_S} = -39 \cdot 0,662 = -25,8 \quad \{5.47.\}$$

$$A_{VS} = A_{V1} \cdot A_{V2} = -25,8 \cdot 0,994 = -25,6 \quad \{5.48.\}$$

Calculamos la máxima tensión de salida de la 1ª etapa :

$$V_{O2MAX} = I_{CQ1} \cdot R_{d1} = 10^{-3} \cdot 975 = 0,975 \text{ V}$$

Calculamos la máxima tensión de salida :

$$V_{OMAX} = A_{V2} \cdot V_{O2MAX} = 0,994 \cdot 0,975 \approx 0,97 \text{ V}$$

Calculamos la tensión de excitación  $V_S$  necesaria para obtener la  $V_{OMAX}$  :

$$V_S = \frac{V_{OMAX}}{A_{VS}} = \frac{0,97 \text{ V}}{25,6} = \frac{970 \text{ mV}}{25,6} \approx 38 \text{ mV}$$

## 5.5. ACOPLAMIENTO FET - TRANSISTOR BIPOLAR :

Veamos la FIGURA 5.36.

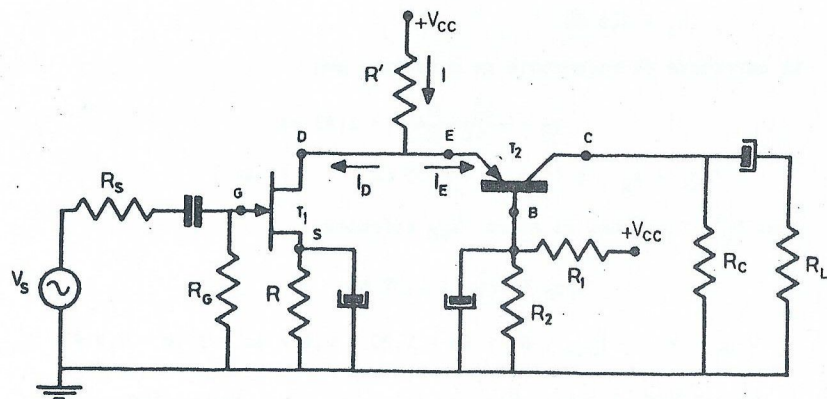


FIGURA 5.36.

$$\begin{aligned} V_{CC} &= 20 \text{ V} & R' &= 3,3 \text{ K}\Omega & R_g &= 2,2 \text{ M}\Omega & R &= 220 \Omega \\ R_1 &= R_2 = 2,2 \text{ K}\Omega & R_C &= 4,7 \text{ K}\Omega & R_L &= 5,6 \text{ K}\Omega & R_S &= 600 \Omega \\ & & & & & & \text{BC 557} \end{aligned}$$

Datos del FET :

$$I_{DSS} = 3,4 \text{ mA}$$

$$V_P = -2,2 \text{ V}$$

$$V_{GS} = -0,44 \text{ V}$$

$$g_{m1} = 2,4 \text{ mS}$$

Por medio de la FIGURA 5.37. calculamos  $I_D$  :

$$V_{GS} = -V_R = -I_D \cdot R$$

$$\therefore I_D = -\frac{V_{GS}}{R} = -\frac{(-0,44)}{220}$$

$$\therefore I_D = 2 \text{ mA}$$

Para el transistor  $T_2$  aplicando THEVENIN entre B y T se tiene :

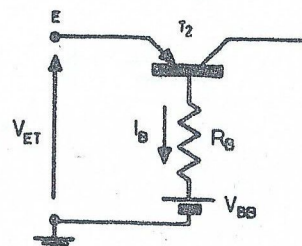
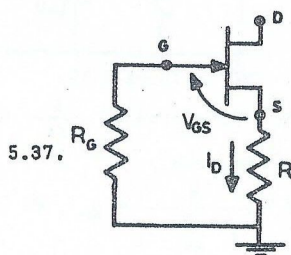
$$V_{BT} = \frac{V_{CC}}{2} = 10 \text{ V}$$

$$R_B = R_1 || R_2 = 1,1 \text{ K}\Omega$$

Despreciando la caída  $I_B \cdot R_B$  en la FIGURA 5.38. se tiene :

$$V_{BT} = V_{BB} = 10 \text{ V}$$

FIGURA 5.38.



$$V_{ET} = V_{EB} + V_{BT} = 0,7 + 10 = 10,7 \text{ V}$$

Por otra parte (FIGURA 5.36.) se tiene :

$$V_{CC} = R' \cdot I + V_{ET} \quad \therefore I = \frac{V_{CC} - V_{ET}}{R'}$$

$$I = \frac{20 - 10,7}{3,3 \cdot 10^3} \approx 2,81 \text{ mA}$$

$$\therefore I_E = I - I_D = 2,81 - 2 = 0,81 \text{ mA}$$

$$I_{CQ2} \approx I_E \text{ despreciando } I_B.$$

Por  $R_C$  circula  $I_{CQ2}$  :

$$V_{CT} = I_{CQ2} \cdot R_C = 0,81 \cdot 10^{-3} \cdot 4,7 \cdot 10^3 = 3,8 \text{ V}$$

En la FIGURA 5.39. se tiene el circuito dinámico :

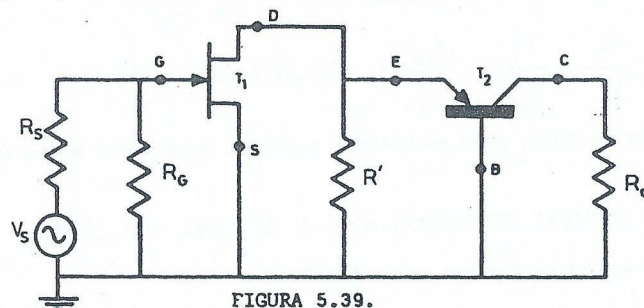


FIGURA 5.39.

Reemplazando  $T_1$  y  $T_2$  se obtiene la FIGURA 5.40.:

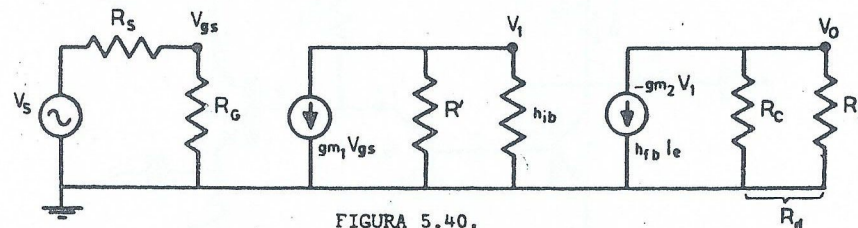


FIGURA 5.40.

$$A_{VS} = \frac{V_O}{V_S} = \frac{V_O}{V_1} \cdot \frac{V_1}{V_{gs}} \cdot \frac{V_{gs}}{V_S} \quad (5.49.)$$

$$V_O = g_{m2} \cdot V_1 \cdot R_d \quad \therefore \frac{V_O}{V_1} = g_{m2} \cdot R_d \quad (5.50)$$



$$V_1 = -g_{m1} \cdot V_{gs} \cdot (R' \parallel h_{fb}) = -g_{m1} \cdot V_{gs} \cdot h_{ib} \quad \{5.51.\}$$

$$\therefore \frac{V_1}{V_{gs}} = -g_{m1} \cdot h_{ib} \quad \{5.52.\}$$

$$\frac{V_{gs}}{V_s} = \frac{R_G}{R_G + R_S} \approx 1$$

Para el BC 557 se tiene :

$$h_{ie} = 5 \text{ K}\Omega \quad h_{fe} = 145 \quad h_{ib} = \frac{h_{ie}}{h_{fe}} = 34,5 \text{ }\Omega$$

$$R_d = R_C \parallel R_L = 4,7 \text{ K}\Omega \parallel 5,6 \text{ K}\Omega = 2,55 \text{ K}\Omega$$

$$g_{m2} = 40 I_{CQ2} = 40 \cdot 0,81 \cdot 10^{-3} = 32,4 \text{ mS}$$

$$\frac{V_0}{V_1} = g_{m2} \cdot R_d = 32,4 \cdot 10^{-3} \cdot 2,55 \cdot 10^3 = 82,62$$

$$\frac{V_1}{V_{gs}} = -g_{m1} \cdot h_{ib} = -2,4 \cdot 10^{-3} \cdot 34,5 = -82,8 \cdot 10^{-3}$$

$$A_{VS} = \frac{V_0}{V_1} \cdot \frac{V_1}{V_{gs}} \cdot \frac{V_{gs}}{V_s} = 82,62 (-82,8 \cdot 10^{-3}) = -6,84 \quad \{5.53.\}$$

La ganancia es baja, pero el sistema posee un apreciable ancho de banda.

## 5.6. DOS ESTAPAS ACOPLADAS A EC y CC con CA 3046 :

El esquema se observa en la FIGURA 5.41.:

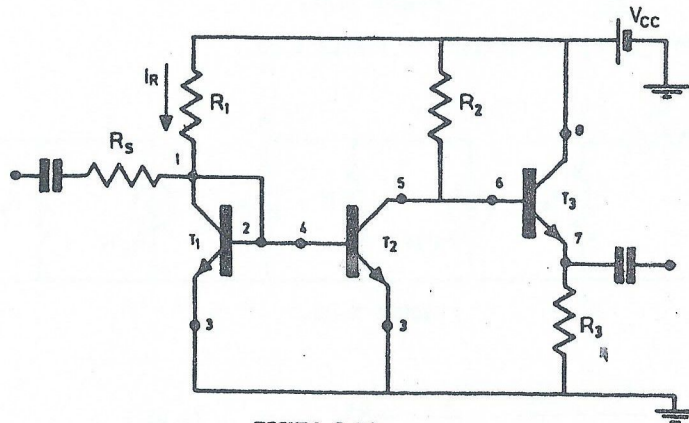


FIGURA 5.41.

DATOS :

$$V_{CC} = 20 \text{ V} \quad R_S = 1 \text{ K}\Omega \quad R_1 = 10 \text{ K}\Omega \quad R_2 = 5,6 \text{ K}\Omega \\ R_3 = 3,6 \text{ K}\Omega$$

La corriente de referencia se determina con :

$$I_R = \frac{20 - 0,7}{10 \text{ K}\Omega} = 1,93 \text{ mA}$$

$$I_{CQ1} = I_R - 2 I_B \approx I_R = 1,93 \text{ mA} \quad \{5.54.\}$$

Como  $T_1$  y  $T_2$  tienen la misma  $V_{BE}$  entonces :

$$I_{CQ1} = I_{CQ2} = 1,93 \text{ mA}$$

$$V_{C2T} = V_{CC} - I_{CQ2} \cdot R_2 = 20 - 1,93 \cdot 5,6 = 20 - 10,8 = 9,2 \text{ V} = V_{CEQ2}$$

$$V_{C2T} = V_{BE3} + I_{CQ3} \cdot R_3 \quad \therefore I_{CQ3} = \frac{V_{C2T} - V_{BE3}}{R_3} \quad \{5.55.\}$$

$$I_{CQ3} = \frac{9,2 - 0,7}{3,6 \text{ K}\Omega} = 2,36 \text{ mA}$$

$$V_{CEQ3} = V_{CC} - I_{CQ3} \cdot R_3 = 20 - 2,36 \cdot 3,6 = 11,5 \text{ V}$$

El transistor  $T_1$  actúa como diodo. Su circuito equivalente para señales débiles es el siguiente :

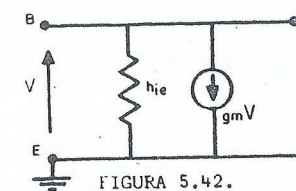


FIGURA 5.42.

Se puede reemplazar el generador  $g_m \cdot V$  por una resistencia  $\frac{1}{g_m}$

Por la resistencia  $\frac{1}{g_m}$  circula

la corriente :

$$I = \frac{V}{\left(\frac{1}{g_m}\right)} = g_m \cdot V$$

como se ve en la FIGURA 5.43.

Queda  $\frac{1}{g_m}$  en paralelo con  $h_{ie}$ .

Como :

$$\frac{1}{g_m} \ll h_{ie} \quad \text{entonces la resistencia dinámica del diodo } T_1 \text{ es :}$$

$$r_d = \frac{1}{g_{m1}} \quad \{5.56.\}$$

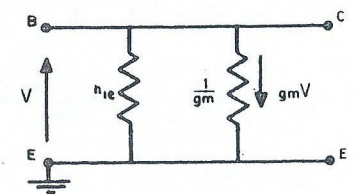


FIGURA 5.43.

$$r_d = \frac{1}{40 \cdot I_{CQ1}} = \frac{1}{40 \cdot 1,93 \cdot 10^{-3}} \approx 13 \Omega$$

En la FIGURA 5.44.(a) y (b), se observa el circuito dinámico :

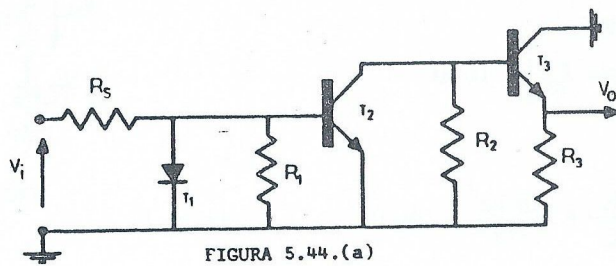


FIGURA 5.44.(a)

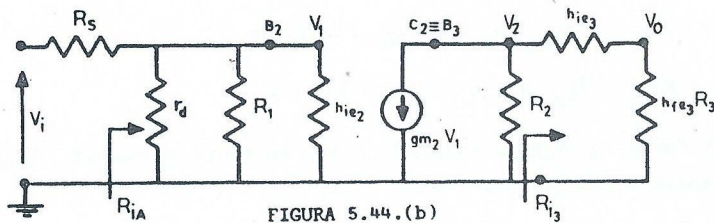


FIGURA 5.44.(b)

De la hoja de datos se saca que  $h_{fe3} = 100 = h_{fe2}$

$$R_3 \cdot h_{fe3} = 3,6 \text{ K}\Omega \cdot 100 = 360 \text{ K}\Omega$$

$$g_{m2} = g_{m1} = 40 I_{CQ2} = 40 \cdot 1,93 \cdot 10^{-3} = 77,2 \text{ mS}$$

$$g_{m3} = 40 I_{CQ3} = 40 \cdot 2,36 \cdot 10^{-3} = 94,4 \text{ mS}$$

$$h_{ie2} = \frac{h_{fe2}}{g_{m2}} = \frac{100}{77,2 \cdot 10^{-3}} \approx 1,3 \text{ K}\Omega$$

$$h_{ie3} = \frac{h_{fe3}}{g_{m3}} = \frac{100}{94,4 \cdot 10^{-3}} = 1,06 \text{ K}\Omega$$

$$R_{i3} = h_{ie3} + h_{fe3} \cdot R_3 = 1,06 \text{ K}\Omega + 360 \text{ K}\Omega \approx 361 \text{ K}\Omega$$

$$R_{iA} = r_d \parallel R_1 \parallel h_{ie2} = 13 \Omega \parallel 10 \text{ K}\Omega \parallel 1,3 \text{ K}\Omega \approx r_d = 13 \Omega$$

$$R_{iA} = r_d = \frac{1}{9 \text{ mS}}$$

Cálculo de la ganancia :

$$A_{VS} = \frac{V_0}{V_i} = \frac{V_0}{V_2} \cdot \frac{V_2}{V_1} \cdot \frac{V_1}{V_i} \quad \{5.57.\}$$

$$\frac{V_0}{V_2} = \frac{h_{fe3} \cdot R_3}{R_{i3}} \approx 1$$

$$\frac{V_2}{V_1} = -g_{m2} (R_2 \parallel R_{i3}) \quad \{5.58.a.\}$$

Como  $R_2 \ll R_{i3}$  resulta :

$$\frac{V_2}{V_1} = -g_{m2} R_2 \quad \{5.58.b.\}$$

$$\frac{V_1}{V_i} = \frac{R_{iA}}{R_{iA} + R_S} \quad \{5.59.a.\}$$

$$\therefore \frac{V_1}{V_i} = \frac{\frac{1}{g_{m1}}}{\frac{1}{g_{m1}} + R_S} = \frac{\frac{1}{g_{m1}}}{R_S} = \frac{1}{g_{m1} \cdot R_S} \quad \{5.59.b.\}$$

ya que  $\frac{1}{g_{m1}} \ll R_S$

$$A_{VS} = \frac{V_0}{V_i} = \frac{1}{g_{m1} \cdot R_S} (-g_{m2} \cdot R_2) \quad \{5.60.\}$$

Como :  $g_{m2} = g_{m1}$ , resulta :

$$A_{VS} = -\frac{R_2}{R_S} \quad \{5.61.\}$$

$$A_{VS} = -\frac{5,6 \text{ K}\Omega}{1 \text{ K}\Omega} = -5,6 \quad \therefore A_{VS} \approx 15 \text{ dB}$$

Como  $r_d \ll R_S$  la resistencia de entrada del circuito es prácticamente  $R_S$  ( 1 K $\Omega$  ).

La resistencia de salida es baja ya que  $T_3$  es una etapa de CC.

Por el tipo de configuración EC - CC, se tiene un amplificador con un importante ancho de banda.



Se pueden obtener 4 V de salida con una entrada de :

$$V_i = \frac{V_o}{|A_{VS}|} = \frac{4}{5,6} \approx 0,7 \text{ V}$$

### 5.7. ETAPA D'ARLINGTON CON CA 3018 ACOPLADA A ETAPA DIFERENCIAL CON CA 3086:

El circuito se observa en la FIGURA 5.45.

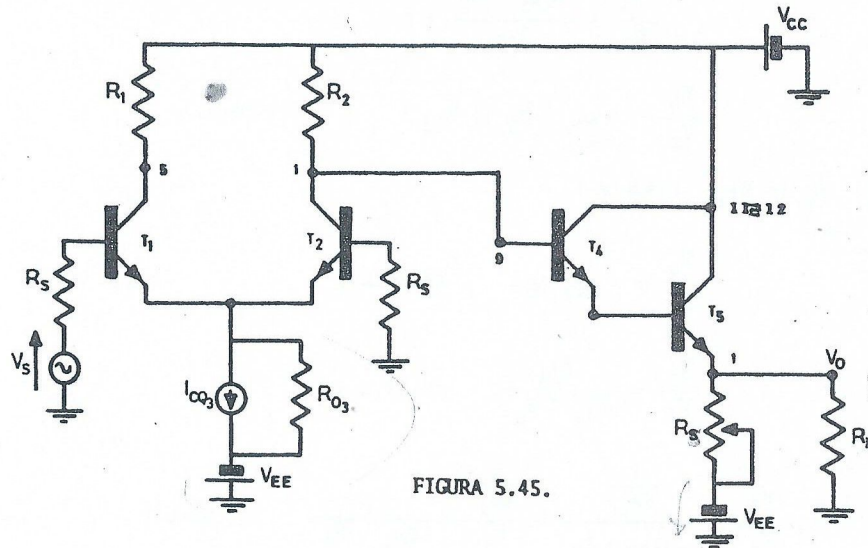


FIGURA 5.45.

$$\begin{aligned} V_{CC} = V_{EE} &= 12 \text{ V} & R_L &= 1,2 \text{ k}\Omega & R_S &= 1 \text{ k}\Omega \\ I_{CQ5} &= 10 \text{ mA} & I_{CQ3} &= 1 \text{ mA} \end{aligned}$$

El emisor  $E_5$  (terminal 1 del CA 3018) tiene que estar a un potencial de continua de 0 v. ( $V_{E5T} = 0 \text{ V}$ ) para que se pueda acoplar directamente a  $R_L$  como muestra la FIGURA.

Por lo tanto la :

$$V_{C2T} = V_{BE4} + V_{BE5} + V_{E5T} = 2 V_{BE} \approx 1,4 \text{ V}$$

Por otra parte la :

$$\begin{aligned} V_{C2T} &= V_{CC} - I_{CQ2} \cdot R_2 & \text{con} & & I_{CQ2} &= \frac{I_{CQ3}}{2} = 0,5 \text{ mA} \\ \therefore R_2 &= \frac{V_{CC} - V_{C2T}}{I_{CQ2}} = \frac{12 - 1,4}{0,5 \text{ mA}} = 21,2 \text{ k}\Omega & & & & \{5.62.\} \end{aligned}$$

Se adopta como valor normalizado  $R_2 = 22 \text{ k}\Omega$ .

Se hace  $R_1 = R_2$ .

De la FIGURA 5.46. se puede calcular  $R_5$  :

$$V_{EE} = I_{CQ5} \cdot R_5$$

$$\therefore R_5 = \frac{V_{EE}}{I_{CQ5}} = \frac{12 \text{ V}}{10 \text{ mA}} = 1,2 \text{ k}\Omega \quad \{5.63.\}$$

De la hoja de datos :

$$h_{FE5} = 100 \text{ para } I_{CQ5} = 10 \text{ mA}$$

Por lo tanto :

$$I_{B5} = \frac{I_{CQ5}}{h_{FE}} = \frac{10 \text{ mA}}{100} = 100 \mu\text{A} \quad \{5.64.\}$$

Por otra parte:

$$I_{CQ4} \approx I_{B5} = 100 \mu\text{A}$$

$$V_{E2T} = -V_{BE2} - I_{B2} \cdot R_3 \approx -V_{BE2} \approx -0,7 \text{ V}$$

$$V_{CEQ2} = V_{C2T} - V_{E2T} = 1,4 - (-0,7) = 2,1 \text{ V}$$

De la hoja de datos la  $V_{CESAT} = 0,23 \text{ V}$ . Por lo tanto la tensión  $V_{CEQ2}$  es correcta. (Trabaja en la zona activa).

$$V_{CEQ5} = V_{CC} = 12 \text{ V} = 0,8 \cdot V_{CEQ_{\min}} = 0,8 \cdot 15 = 12 \text{ V} \text{ (Correcto).}$$

Veamos el circuito dinámico :

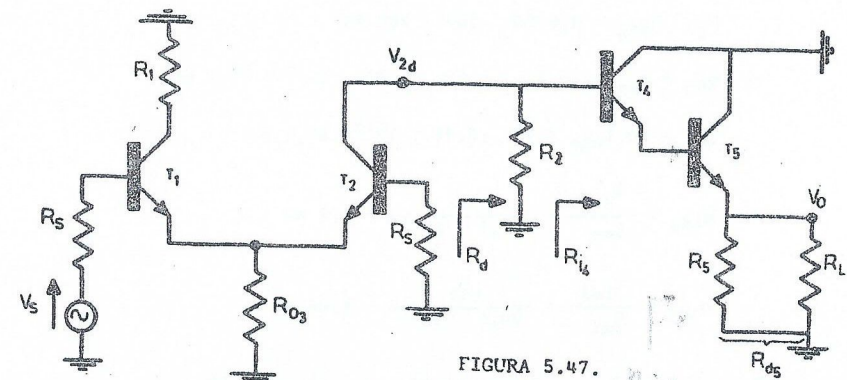


FIGURA 5.47.

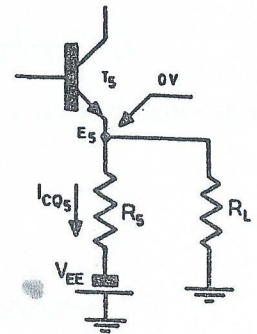
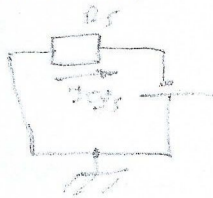


FIGURA 5.46.



$$R_{d5} = R_5 \parallel R_L = 1,2 \text{ K}\Omega \parallel 1,2 \text{ K}\Omega = 0,6 \text{ K}\Omega$$

En la FIGURA 5.48., se tiene

$$R_{i5} = h_{ie5} + h_{fe5} \cdot R_{d5} \quad \{5.65.\}$$

De la hoja de datos se tiene :

$$h_{fe5} (10 \text{ mA}) = 70$$

$$g_{m5} = 40 I_{CQ5} = 40 \cdot 10 \cdot 10^{-3} = 400 \text{ mV}$$

$$h_{ie5} = \frac{h_{fe5}}{g_{m5}} = \frac{70}{400 \cdot 10^{-3}} = 175 \Omega$$

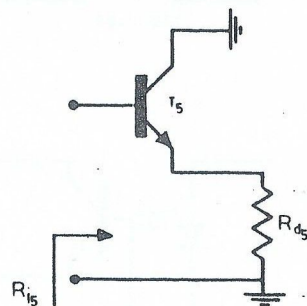


FIGURA 5.48.

$$R_{i5} = 0,175 \text{ K}\Omega + 70 \cdot 0,6 \text{ K}\Omega = 42,175 \text{ K}\Omega \approx 42 \text{ K}\Omega \quad (h_{ie5} \text{ despreciable})$$

De la FIGURA 5.49., se puede obtener  $R_{i4}$  :

$$R_{i4} = h_{ie4} + h_{fe4} (r_{O4} \parallel R_{i5}) \quad \{5.66.\}$$

$$g_{m4} = 40 I_{CQ4} = 40 \cdot 100 \cdot 10^{-6} = 4 \text{ mV}$$

De la hoja de datos se obtiene :

$$h_{fe4} (100 \mu\text{A}) = 80$$

$$h_{ie4} = \frac{h_{fe4}}{g_{m4}} = \frac{80}{4 \text{ mV}} = 20 \text{ K}\Omega$$

$$r_{O4} = \frac{1}{\eta \cdot g_{m4}} \quad \{5.67.\}$$

$$\eta = 3 \cdot 10^{-4} \quad (\text{Transistor integrado de baja tensión de ruptura}).$$

$$r_{O4} = \frac{1}{3 \cdot 10^{-4} \cdot 4 \cdot 10^{-3}} = \frac{10^7}{12} = 833 \text{ K}\Omega$$

Calculamos el siguiente paralelo, para poder usar, luego, la ecuación {5.66.} :

$$r_{O4} \parallel R_{i5} = 833 \text{ K}\Omega \parallel 42 \text{ K}\Omega \approx 40 \text{ K}\Omega$$

$$R_{i4} = 20 \text{ K}\Omega + 80 \cdot 40 \text{ K}\Omega = 20 \text{ K}\Omega + 3200 \text{ K}\Omega = 3220 \text{ K}\Omega = 3,22 \text{ M}\Omega$$

$R_d$  (de la FIGURA 5.47.) es igual a :

$$R_d = R_2 \parallel R_{i4} = 22 \text{ K}\Omega \parallel 3220 \text{ K}\Omega \approx R_2 = 22 \text{ K}\Omega \quad \{5.68.\}$$

Prácticamente el D'Arlington no carga al diferencial.

La etapa diferencial queda como en la FIGURA 5.50.

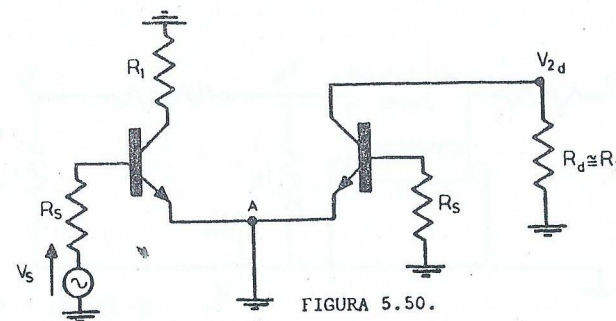


FIGURA 5.50.

El punto A es una tierra virtual desde el punto de vista diferencial :

$$A_{V_d} = \frac{V_{2d}}{V_d} = \frac{V_{2d}}{V_s} = \frac{-R_d}{2 \left( h_{ib2} + \frac{R_s}{h_{fe2}} \right)} \quad \{5.69.\}$$

$$h_{ib2} = \frac{1}{g_{m2}} = \frac{1}{40 \cdot 0,5 \cdot 10^{-3}} = 50 \Omega$$

$$A_{V_d} = - \frac{R_2}{2 \left( h_{ib2} + \frac{R_s}{h_{fe2}} \right)} = - \frac{22000}{2 \left( 50 + \frac{1000}{100} \right)}$$

$$A_{V_d} = - \frac{22000}{120} = -183$$

Para calcular la ganancia de tensión del conjunto nos referimos a las FIGURAS 5.51.(a). y 5.51.(b).

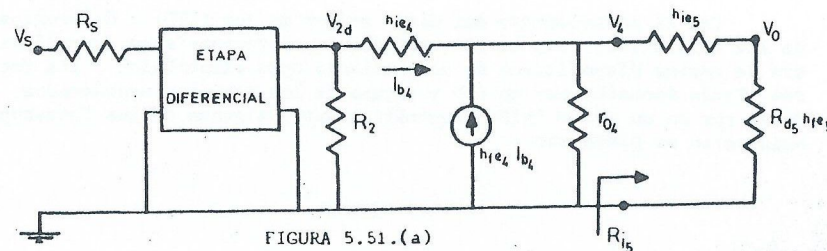


FIGURA 5.51.(a)



$$A_{VS} = \frac{V_0}{V_4} \cdot \frac{V_4}{V_{2d}} \cdot \frac{V_{2d}}{V_S} \quad (5.70.)$$

$$\frac{V_0}{V_4} = \frac{R_5 \cdot h_{fe5}}{R_{i5}} = \frac{42 \text{ K}\Omega}{42,175 \text{ K}\Omega} = 0,996$$

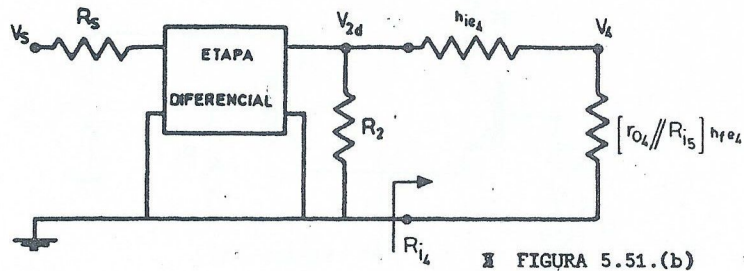


FIGURA 5.51.(b)

De esta FIGURA :

$$\frac{V_4}{V_{2d}} = \frac{(R_{O4} \parallel R_{i5}) h_{fe4}}{R_{i4}} = \frac{3200 \text{ K}\Omega}{3220 \text{ K}\Omega} = 0,994$$

Como  $\frac{V_{2d}}{V_S} = A_{Vd} = -183$  se tiene :

$$A_{VS} = 0,996 \cdot 0,994 \cdot (-183) = 0,99 \cdot (-183) = -180$$

$$A_{VS} \approx 45 \text{ dB}$$

La resistencia de salida se calcula en la forma habitual para un circuito D'Arlington.

## 5.8. FOTOACOPLADORES :

Con el advenimiento del diodo emisor de luz (LED) y diferentes sensores de luz existentes, como el LDR, fotodiodo y fototransistor, surgió la existencia de nuevos dispositivos de acoplamiento opto-electrónico : los fotoacopladores. Están formados por un LED y alguno de los sensores mencionados, encapsulados en un mismo CHIP. Esquemáticamente, algunos de los fotoacopladores existentes en plaza son :

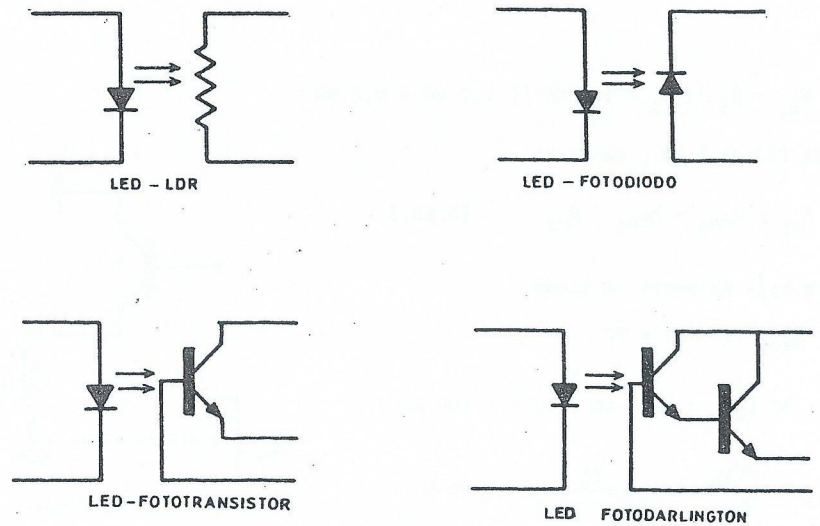


FIGURA 5.52.

### 5.8.1. DIODO EMISOR :

Es una parte del fotoacoplador. Consiste en un diodo de silicio que al polarizarse en directa emite una cierta radiación. Si la emisión es en el espectro visible, el dispositivo se denomina diodo emisor de luz (LED). Si la emisión es en la región del infrarrojo se denomina diodo emisor de infrarrojo (IRLED ó IRED). Se tiende a generalizar llamando LED a todos los diodos emisores, con independencia de su espectro de emisión. El pico de emisión en función de la longitud de onda depende del material dopante. Por ejemplo, si éste es  $AsGa$  el pico de emisión corresponde aproximadamente a 9000 Å, dentro de la región del infrarrojo.

Con  $PAsGa$  el pico de emisión está dentro del espectro visible. La cantidad de fósforo determina exactamente el color.

La característica estática en directa de los diodos emisores es similar a la de los diodos convencionales de Ge ó Si. Difiere con respecto a éstos en la tensión umbral. Esta varía de 1 V a 1,6 V aproximadamente dependiendo el valor del color emitido. Se puede observar en la FIGURA 5.53.

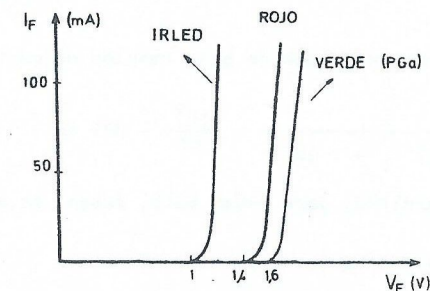


FIGURA 5.53.



Estos diodos emisores de luz poseen una tensión de ruptura inversa muy baja (del orden de 3 a 6 V, valores típicos). El LED genera luz (visible o infrarroja) como resultado de la recombinación entre electrones y lagunas.

### 5.8.2. FOTODIODO : 5.8.2.

Es otra parte de un fotoacoplador. Consiste en una juntura PN, fotosensible, polarizada en inversa. El resultado de la incidencia de luz (fuente de radiación electromagnética), en la juntura produce la generación de pares electrón laguna. Se entiende que éstos toman la energía cedida por los fotones incidentes. Circula así por la juntura una corriente de portadores minoritarios. Para la condición de oscuridad total (no incidencia de energía radiante) el fotodiodo se comporta como una juntura PN convencional. Es decir que circula una corriente muy débil de saturación inversa. Para minimizar dicha corriente de saturación los fotodiodos se hacen de silicio.

Se observa el fotodiodo en la FIGURA 5.54.

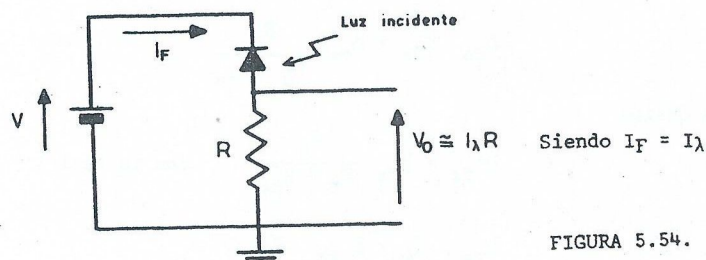


FIGURA 5.54.

Las curvas características de un fotodiodo son las de la FIGURA 5.55.

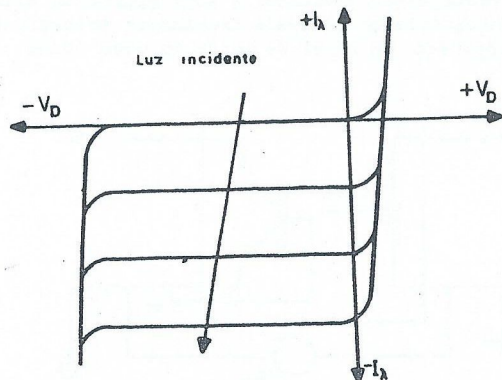


FIGURA 5.55.

En algunas aplicaciones se usa tensión de polarización nula.

### 5.8.3. FOTOTRANSISTOR :

Es otro elemento del fotoacoplador. Consiste en un transistor convencional

de silicio con un fotodiodo conectado entre base y colector. Esquemáticamente, se observa en la FIGURA 5.56.

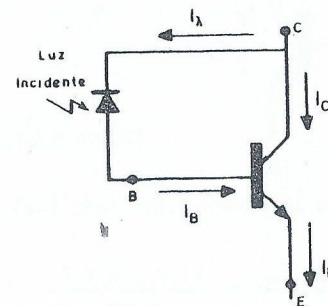


FIGURA 5.56.

Es:

$$I_E = I_C + I_B \quad \text{y como} \quad I_\lambda = I_B$$

resulta :

$$I_C = h_{FE} \cdot I_\lambda$$

Un fototransistor es un transistor de silicio con la juntura colector base fotosensible. El fototransistor tiene menor velocidad de conmutación que el fotodiodo.

El modelo dinámico del fototransistor es el siguiente :

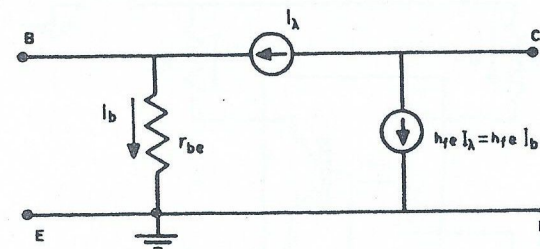


FIGURA 5.57.

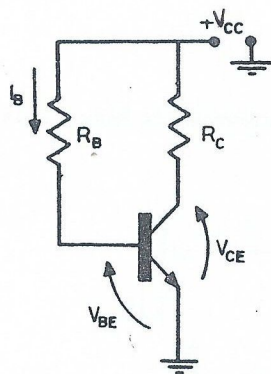
En algunas aplicaciones se prepolariza al transistor del fotoacoplador en ausencia de luz incidente (Ver FIGURA 5.58.).

El propósito de esa prepolarización, en aplicaciones lineales, consiste en evitar que al incidir un bajo nivel de iluminación al fototransistor, debido a la circulación de una corriente muy pequeña por el LED, el transistor no presente un  $h_{FE}$  muy bajo.

El cálculo de la prepolarización del circuito en continua es formalmente igual al de un transistor convencional de silicio, según se observa en el ejemplo.

Se supone un transistor cuyo  $h_{FE} = 150$  y que se prepolariza con una resistencia  $R_B = 1 \text{ M}\Omega$ . Se supone  $V_{CC} = 12 \text{ V}$  y  $R_C = 2 \text{ K}\Omega$ .

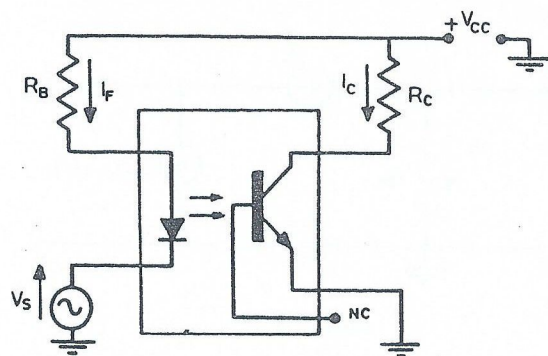
Para el cálculo de la continua se debe considerar que la luz incidente es nula.



Recorriendo la malla de entrada de la FIGURA 5.58. (sin luz), se obtiene :

$$I_{B(\sin luz)} = \frac{V_{CC} - V_{BE(\sin luz)}}{R_B} = \frac{12 \text{ V} - 0,7 \text{ V}}{1 \text{ M}\Omega} = 11,3 \text{ }\mu\text{A}$$

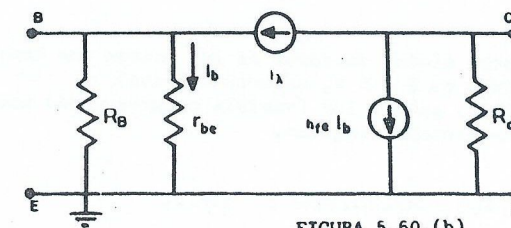
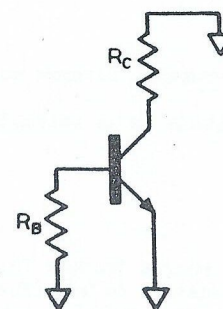
$$I_{C(\text{sin luz})} = h_{FE} \cdot I_{B(\text{sin luz})} = 150 \cdot 11,3 \mu A = 1,7 \text{ mA}$$



En dicha FIGURA NC significa base sin conexión externa. Con esta configuración se obtiene una corriente  $I_F$  en forma permanente. La luz que emite el LED incide en el fototransistor haciendo circular una corriente  $I_A$  (ver FIGURA 5.59.) que prepolariza al fototransistor.

Volviendo al circuito de la FIGURA 5.58, se analizará el efecto de  $R_B$  en el

comportamiento dinámico (Ver FIGURAS 5.60.(a) v 5.60.(b).)



Del divisor de corriente en la entrada se obtiene :

$$I_b = I_\lambda \frac{R_B}{R_B + r_{be}}$$

Multiplicando ambos miembros por  $h_{fe}$ , se tiene

$$h_{fe} \cdot I_b = h_{fe} \frac{R_B}{R_B + r_{be}} I_\lambda$$

Se define :

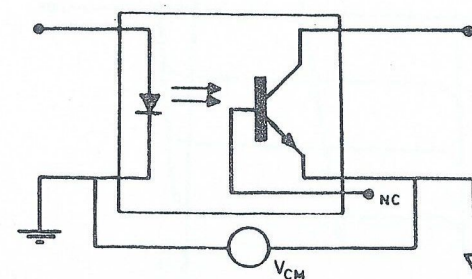
$$h'_{fe} = h_{fe} \frac{R_B}{R_B + r_{be}} \quad \text{con lo cual :}$$

$$h_{fe} \cdot I_b = h'_{fe} \cdot I_{\lambda}$$

Se observa que la ganancia de corriente con  $R_B$ , es decir  $h'_{fe}$  es menor que  $h_{fe}$ .

Por otra parte la transconductancia del fototransistor no cambia

Debido a la ventaja que presenta la alta aislación eléctrica entre entrada y salida en un fotoacoplador se puede transmitir información a pesar de que la señal tenga incorporado un nivel de ruido en modo común. (Ver FIGURA 5.61.)





$V_{CM}$  es la tensión de Modo Común entre ambas tierras. La aislación máxima de continua entre ambas tierras es del orden de  $\pm 2,5$  KV. El efecto de la elevada aislación eléctrica consiste en no cerrar el circuito de modo común. Al aplicar dicha propiedad es posible trabajar con diferentes referencias de tierra como se observa en la FIGURA 5.61.

#### 5.8.4. CURVAS CARACTERISTICAS DEL FOTOACOPLADOR :

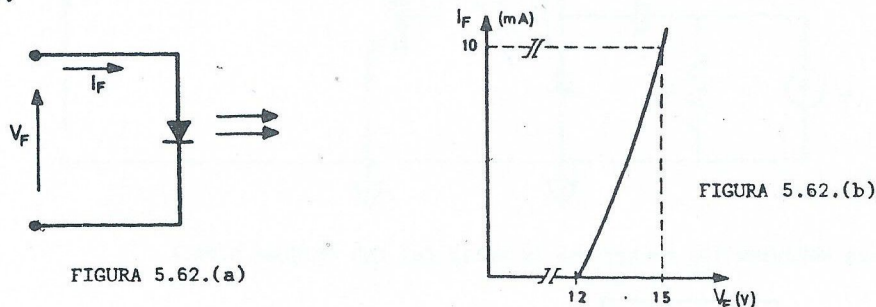
Se analiza el par LED-FOTOTRANSISTOR. Debido a que dicho conjunto está contenido en un mismo encapsulado, no resulta de utilidad conocer sus características electro-ópticas. Del fotoacoplador se especifican las características de entrada (LED), de salida (FOTOTRANSISTOR) y la relación de transferencia de corriente (C.T.R.) entre ambos.

CTR representa la relación entre la corriente de colector y la de entrada al LED.

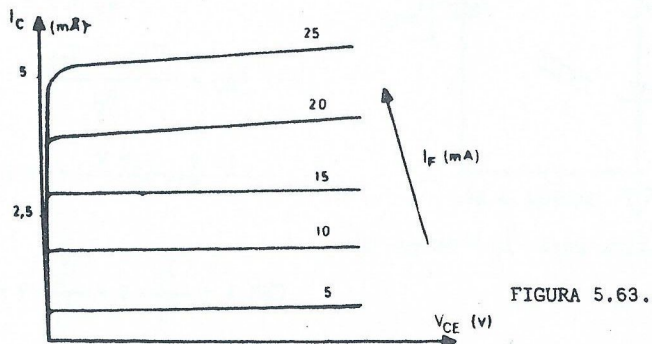
En símbolos :

$$CTR \% = \frac{I_C}{I_F} \cdot 100 \quad \{5.71.\}$$

La característica de entrada es la típica de un LED (Ver FIGURAS 5.62.(a). y 5.62.(b)).



La característica de salida es la de un fototransistor de bajo nivel donde el parámetro es  $I_F$  (corriente directa a través del LED). Ver FIGURA 5.63.



Algunos fabricantes publican la característica de transferencia :

$$I_C = f(I_F)$$

Observando la FIGURA 5.64. se nota una marcada alinealidad para  $I_F < 10$  mA

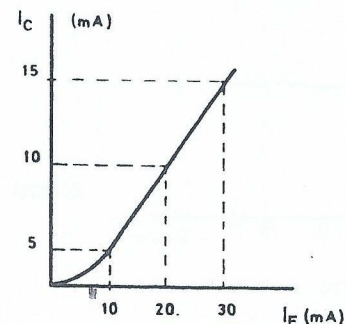


FIGURA 5.64.

Si el transistor está polarizado dentro de la región activa, resulta :

$$I_C = K \left( \frac{I_F}{I'_F} \right)^n$$

donde :

$I_C$  es la corriente de colector.

$I_F$  es la corriente de entrada al LED.

Para :

$I_F = I'_F$  resulta  $I_C = K$ . Por consiguiente :

$I'_F$  es la corriente de entrada al LED que nos permite medir  $K$ .

Se constata que  $n \approx 2$  para  $I_F < 5$  mA y  $n \approx 1$  para  $I_F > 10$  mA.

$n$  es una función de  $I_F$  que representa en coordenadas logarítmicas la pendiente de  $I_C$  en función de  $I_F$ . Dentro de un cierto  $\Delta I_F$  puede considerarse a  $n$  como una constante.

La relación de transferencia de corriente (CTR) en un fotoacoplador será lineal sólo si  $n = 1$ .

Usualmente el fotoacoplador se polariza con valores de  $I_F$  mayores de 5 mA, donde el cociente incremental

$$\frac{\delta I_C}{\delta I_F} \quad \text{se aproxima a una constante.}$$

En bajo nivel se define una relación de transferencia de corriente incremental:

$$\frac{\Delta I_C}{\Delta I_F}$$

En el gráfico de la FIGURA 5.65. se muestra la relación de transferencia para señales débiles

$$\frac{\Delta I_C}{\Delta I_F} \quad \text{en función de la corriente de reposo } I_F$$

Se puede establecer un paralelismo entre el  $h_{FE} = \frac{I_C}{I_B}$  de un transistor bipo-



lar convencional y el CTR de un fotoacoplador ( $\frac{I_C}{I_F}$ ). Se puede también establecer un paralelismo entre los valores dinámicos  $h_{fe}$  y el  $\frac{\Delta I_C}{\Delta I_F}$ .

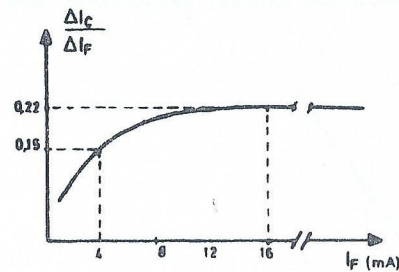


FIGURA 5.65.

#### 5.8.5. CIRCUITOS DE APLICACION :

Se tiene el amplificador de la FIGURA 5.66. que usa un integrado 6N135. Se desea calcular  $I_{FQ}$ ,  $I_{CQ}$ ,  $I_A$ ,  $V_{CEQ}$  y  $V_O/I_S$ .

DATOS :

$$R_S = 100 \text{ k}\Omega \quad R_D = 530 \text{ }\Omega \quad R_C = 3 \text{ k}\Omega$$

$$V_{CC1} = 10 \text{ V} \quad V_{CC2} = 12 \text{ V}$$

Del catálogo OPTOELECTRONICS DESIGNER'S CATALOG (Hewlett-Packard 1979- Pag 186) obtenemos el esquema interno del 6N135. FIGURA 5.67.

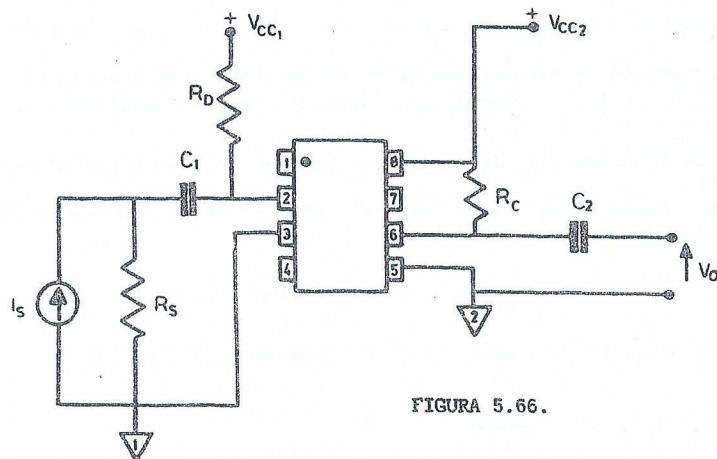


FIGURA 5.66.

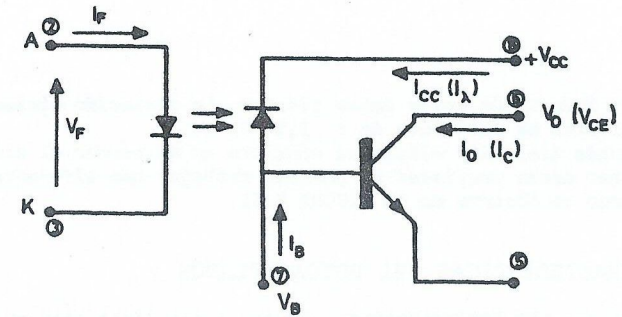


FIGURA 5.67.

Incorporando el esquema interno del fotoacoplador y usando la nomenclatura del fabricante, el circuito completo queda como en la FIGURA 5.68. Las masas 1 y 2 pueden estar unidas.

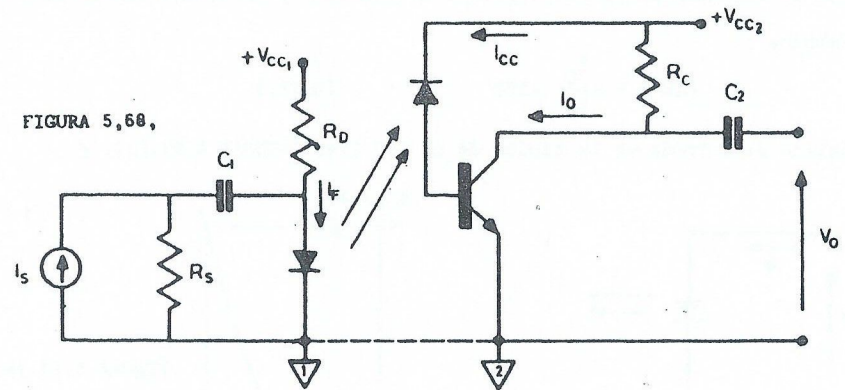


FIGURA 5.68.

Para calcular  $I_{FQ}$  recorremos la malla del LED (FIGURA 5.69.)

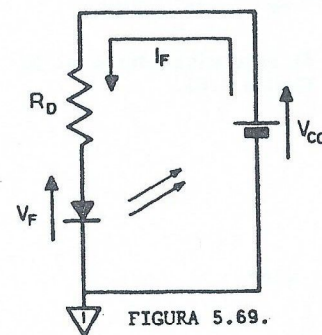


FIGURA 5.69.

$$V_{CC1} = I_{FQ} \cdot R_D + V_{FQ}$$

Del catálogo :  $V_F \approx 1,5 \text{ V}$

$$\therefore I_{FQ} = \frac{V_{CC1} - V_{FQ}}{R_D}$$

$$I_{FQ} = \frac{10 \text{ V} - 1,5 \text{ V}}{530 \text{ }\Omega} \approx 16 \text{ mA}$$

Del catálogo, para  $I_F = 16 \text{ mA}$  es :

$$\text{CTR} \% = \frac{I_O}{I_F} \% = \frac{I_C}{I_F} \% = 18 \%$$

De donde :

$$I_{CQ} = \frac{CTR \% \cdot I_F}{100} = \frac{18 \% \cdot 16 \text{ mA}}{100} = 3 \text{ mA}$$

Del catálogo,  $h_{FE} = 175$  para  $I_{CQ} = 3 \text{ mA}$

$$I_{\lambda} = \frac{I_C}{h_{FE}} = I_{CC} = \frac{3 \text{ mA}}{175} = 17 \mu\text{A}$$

De la malla de salida :

$$V_{CEQ} = V_{CC2} - I_C \cdot R_C = V_{CC2} - I_O \cdot R_C = 12 \text{ V} - 3 \text{ mA} \cdot 3 \text{ K}\Omega = 3 \text{ V}$$

Para calcular la transferencia  $R_{MS}$  hacemos el circuito dinámico de la FIGURA 5.70.

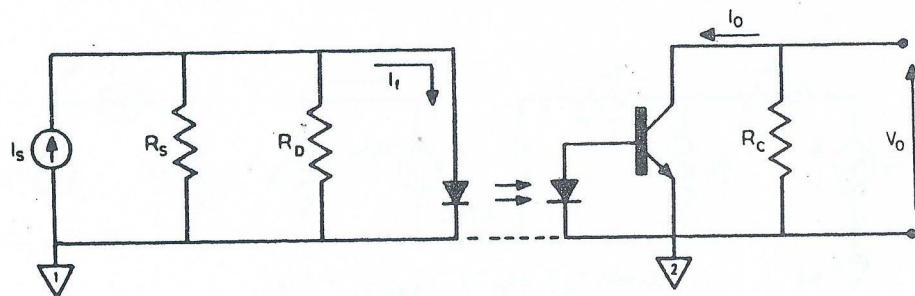


FIGURA 5.70.

Del mismo :

$$V_O = - I_O \cdot R_C$$

$$R_{MS} = \frac{V_O}{I_S} = - \frac{I_O}{I_S} R_C$$

Como :  $\frac{I_O}{I_S} = \frac{I_O}{I_f} \cdot \frac{I_f}{I_S}$  resulta :  $R_{MS} = - \frac{I_O}{I_f} \cdot \frac{I_f}{I_S} \cdot R_C$  {5.72.}

Como :  $\frac{I_O}{I_f} = \frac{\Delta I_O}{\Delta I_F}$  se obtiene del catálogo para  $I_F = 16 \text{ mA}$  un:

$$\frac{\Delta I_O}{\Delta I_F} = 0,22$$

Para obtener  $\frac{I_f}{I_S}$  analizamos la entrada de la FIGURA 5.70.

Para ello debemos calcular la resistencia dinámica del LED. Por medio de la FIGURA 5.71, hacemos un cálculo gráfico.

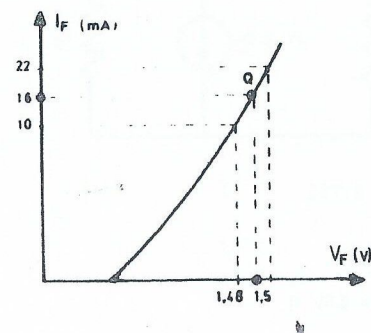


FIGURA 5.71.

resultados aceptables.

Como  $r_d \ll R_D$  y también  $r_d \ll R_S$  resulta  $I_f \approx I_S$

La ecuación {5.72.} queda :

$$R_{MS} = - \frac{I_O}{I_f} \cdot \frac{I_f}{I_S} \cdot R_C = - 0,22 \cdot 3 \text{ K}\Omega = - 660 \Omega$$

OTRO CIRCUITO DE APLICACION :

Se excita el LED del fotoacoplador anterior con un transistor  $T_1$  de acuerdo con el gráfico de la FIGURA 5.72. El circuito de salida del fototransistor es el de la FIGURA 5.68.

DATOS :

$$R_S = 100 \Omega$$

$$h_{FE1} = 100$$

$$R_B = R_1 \parallel R_2 = 50 \text{ K}\Omega$$

$$I_F = I_{C1} = 16 \text{ mA}$$

$$R_e = 100 \Omega$$

Calcular :

$$G_{MS} = \frac{I_f}{V_S}$$

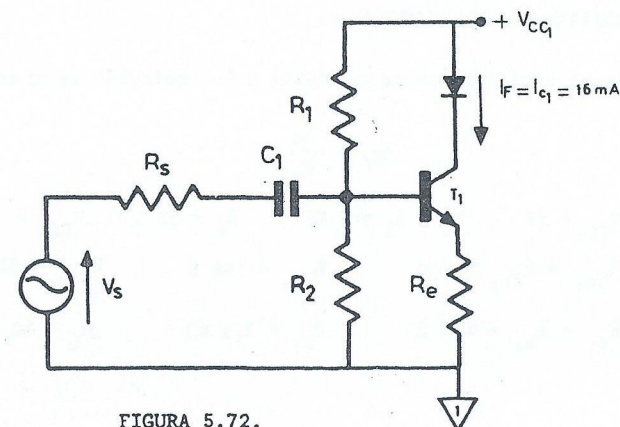


FIGURA 5.72.



Haciendo el circuito dinámico se llega a la FIGURA 5.73.

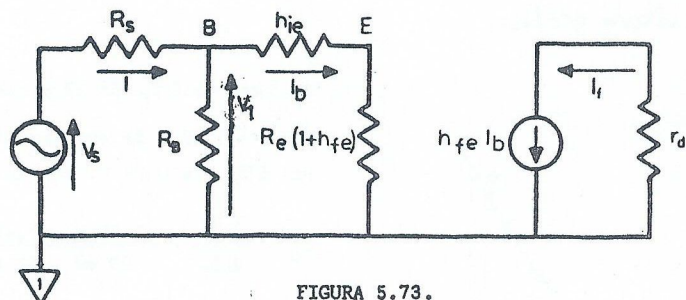


FIGURA 5.73.

$$R_e \cdot h_{fe} = 100 \, \Omega \cdot 100 = 10 \, \text{k}\Omega$$

$$h_{ie} = \frac{m \cdot V_T \cdot h_{FE}}{I_F} = \frac{25 \, \text{mV} \cdot 100}{16 \, \text{mA}} = 156 \, \Omega$$

Como  $R_S$  es muy pequeño se tiene  $V_S$  aplicada directamente a la entrada del transistor. Además como  $h_{ie}$  es muy pequeño se tiene:

$$V_S = I_b \cdot h_{fe} \cdot R_e \quad \therefore \quad \frac{I_b}{V_S} = \frac{1}{R_e \cdot h_{fe}} = \frac{1}{10 \, \text{k}\Omega} \quad \{5.73.\}$$

De la malla de salida de la FIGURA 5.73. se obtiene:

$$\frac{I_f}{I_b} = h_{fe} = 100 \quad \{5.74.\}$$

Por otra parte:

$$G_{MS} = \frac{I_f}{V_S} = \frac{I_f}{I_b} \cdot \frac{I_b}{V_S} \quad \{5.75.\}$$

Reemplazando {5.73.} y {5.74.} en la {5.75.} se obtiene:

$$G_{MS} = 100 \cdot \frac{1}{10 \, \text{k}\Omega} = 0,01 \, \frac{1}{\Omega}$$

OTRO CIRCUITO DE APLICACION:

Dado el amplificador de la FIGURA 5.74. calcular la transferencia:

$$A_{VS} = \frac{V_o}{V_S}$$

$$\text{DATOS: } V_{CC1} = 5V \quad R_1 = R_2 = 2 \, \text{k}\Omega \quad R_S = 50 \, \Omega \quad V_{CC2} = 11V \quad R_{C2} = 500 \, \Omega$$

$$h_{fe1} = h_{fe3} = 100 \quad h_{ie1} = 156 \, \Omega \quad h_{ie3} = 342 \, \Omega$$

$$R_{e1} = R_{e3} = 100 \, \Omega \quad R_{C1} = 3,3 \, \text{k}\Omega \quad R_L = 10 \, \text{k}\Omega \quad \frac{\Delta I_0}{\Delta I_F} = 0,22$$

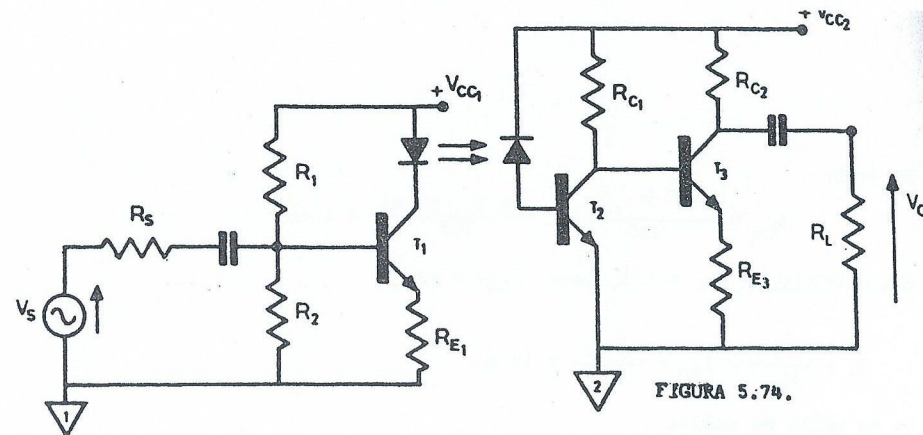


FIGURA 5.74.

Haciendo el circuito equivalente, con las tierras unificadas, se obtiene la FIGURA 5.75.

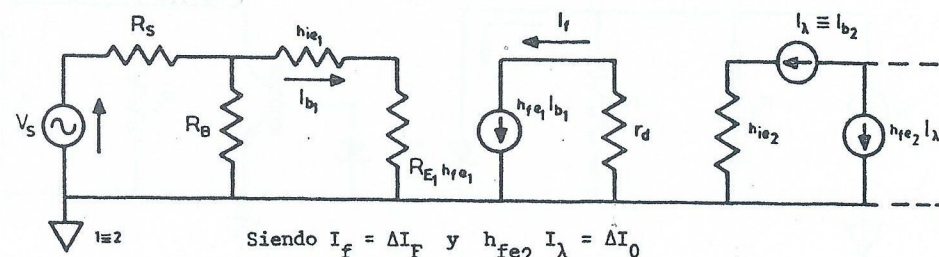


FIGURA 5.75.

De la FIGURA:

$$\frac{V_o}{V_S} = \frac{V_o}{I_{b3}} \cdot \frac{I_{b3}}{\Delta I_0} \cdot \frac{\Delta I_0}{\Delta I_F} \cdot \frac{\Delta I_F}{I_{b1}} \cdot \frac{I_{b1}}{V_S} \quad \{5.76.\}$$

Las transferencias parciales son

$$\frac{V_0}{I_{b_3}} = h_{fe3} R_d \quad (5.77) \quad \text{donde} \quad R_d = R_{C2} \parallel R_L$$

$$\frac{I_{b3}}{\Delta I_0} = \frac{R_{C1}}{R_{C1} + h_{ie3} + h_{fe3} \cdot R_{e3}} \quad \{5.78.\}$$

$$\frac{\Delta I_0}{\Delta I_F} \quad \{5.79.\}$$

$$\frac{\Delta I_F}{I_{b1}} = h_{fe1} \quad \{5.80.\}$$

$$\frac{I_{b1}}{V_S} = \frac{1}{h_{ie1} + R_{e1} \cdot h_{fe1}} \quad \{5.81.\} \quad \text{con } R_S \text{ pequeña.}$$

De la ecuación {5.77.}

$$\frac{V_0}{I_{b3}} = -100 \cdot 500 \, \Omega = -50 \, \text{k}\Omega$$

De la ecuación {5.78.}

$$\frac{I_{b3}}{\Delta I_0} = \frac{-500 \Omega}{500 \Omega + 156 \Omega + 100 \cdot 100 \Omega} = -0,047$$

De la ecuación {5.79.}

$$\frac{\Delta I_0}{\Delta I_F} = 0,22$$

De la ecuación {5.80.}

$$\frac{\Delta I_F}{I_{b1}} = 100$$

De la ecuación {5.81.}

$$\frac{I_{b1}}{V_S} = \frac{1}{10,156 \text{ K}\Omega}$$

Reemplazando en la ecuación {5.76.} se obtiene :

$$A_{V_S} = 50 \text{ K}\Omega \cdot 0,047 \cdot 0,22 \cdot 100 \frac{1}{10,156 \text{ K}\Omega} = 5,1$$

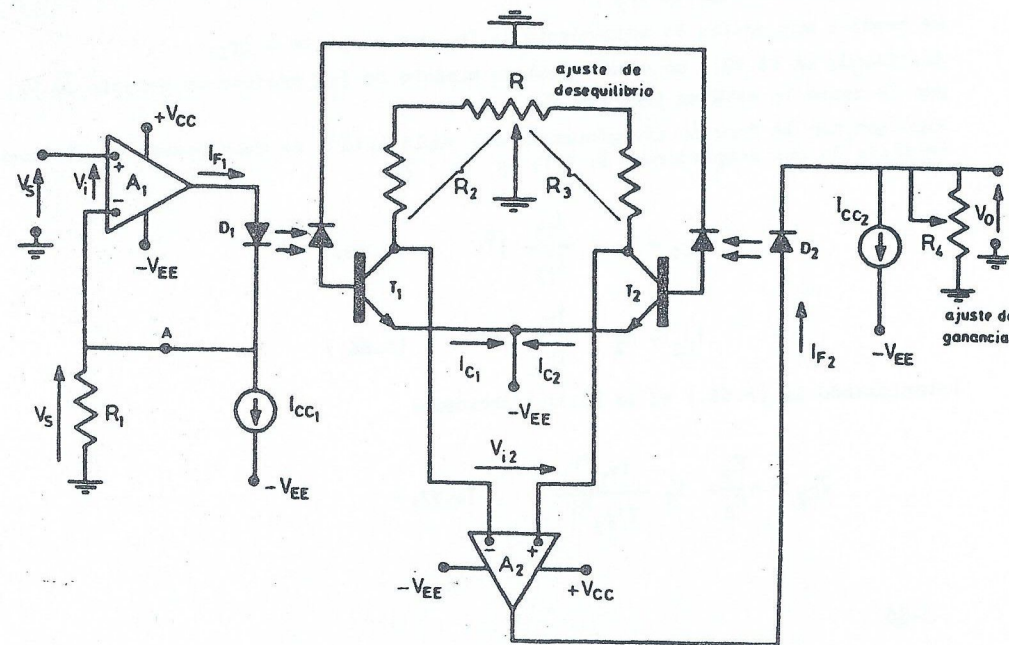
#### 5.8.6. AMPLIFICADORES DE CONTINUA CON FOTOACOPLOADORES :

En los amplificadores de continua con fotoacopladores se requiere mayor linealidad y estabilidad que en los amplificadores de alterna. En estos casos se utilizan dos técnicas para linealizar la transferencia. Una de ellas estriba en la servolinealización y la otra linealiza utilizando un método diferencial. Se usan no menos de dos fotoacopladores en cada amplifica-

METODO DE SERVO-LINEALIZACION ; (Referencia : Nota de aplicación N°951-2 de Hewlett - Packard )

El método de servo-linealización mediante su acción de servocontrol impone una misma corriente en ambos fotoacopladores. De esta forma si  $n_1 \approx n_2$ , dentro del rango de excursión de la señal, las no linealidades se cancelan y la función transferencia total será lineal. En la FIGURA 5.76., se presenta un circuito de servo-linealización.

FIGURA 5.76.



$A_1$  y  $A_2$  son amplificadores operacionales. Como veremos, estos amplificadores 5-49



tienen una entrada diferencial, poseen alta ganancia ( $10^5$ ), tienen nivel de confidencia cero en la salida y presentan una resistencia de entrada muy alta y una resistencia de salida muy baja.

$I_{CC1}$  e  $I_{CC2}$  son generadores de corriente constante.  $D_1$ ,  $T_1$  y  $D_2$ ,  $T_2$  constituyen un fotoacoplador doble (tipo 2530).

$I_{CC1}$  e  $I_{CC2}$  fijan la corriente de polarización de  $D_1$  y  $D_2$ .

Del nodo A surge:

$$I_{F1} = I_{CC1} + \frac{V_S}{R_1} \quad \{5.82.\}$$

Como la ganancia del operacional es muy grande su tensión de entrada  $V_i \rightarrow 0$  y por lo tanto  $V_S$  está aplicada sobre  $R_1$ .

Por otra parte en la salida se tiene que:

$$V_O = I_{F2} \cdot R_4 - I_{CC2} \cdot R_4 \quad \{5.83.\}$$

Como  $V_{i2}$  tiende a cero, resulta:

$$I_{C1} \cdot R_2 = I_{C2} \cdot R_3 \quad \{5.84.\}$$

El operacional  $A_2$  actúa como comparador de estas dos tensiones.  $R$  es una resistencia de balance que se ajusta para obtener  $V_O$  igual a cero cuando  $V_S = 0$ .

El funcionamiento es el siguiente:

Un aumento de la tensión de entrada  $V_S$  produce de acuerdo con la ecuación {5.82.} un aumento de  $I_{F1}$ . Por consiguiente aumenta el valor de  $I_{C1}$  del transistor  $T_1$ .

De acuerdo con la ecuación {5.84.} debe aumentar la corriente de colector  $I_{C2}$  del transistor  $T_2$  en la misma proporción. Como todo aumento de  $I_{C2}$  es ocasionado por un aumento de  $I_{F2}$  la conclusión es: que a un aumento inicial de  $I_{F1}$  le corresponde un aumento similar de  $I_{F2}$ .

Se produce una acción de seguimiento de  $I_{F2}$  con respecto a  $I_{F1}$ .

Analizando la {5.83.} se observa que un aumento de  $I_{F2}$  produce un aumento de  $V_O$ , por lo tanto  $V_O$  está en fase con  $V_S$ .

Para obtener la función transferencia del amplificador se debe operar con la transferencia de los acopladores  $D_1 - T_1$  y  $D_2 - T_2$

$$I_{C1} = K_1 \left( \frac{I_{F1}}{I'_{F1}} \right)^{n_1} \quad \{5.85.\}$$

$$I_{C2} = K_2 \left( \frac{I_{F2}}{I'_{F2}} \right)^{n_2} \quad \{5.86.\}$$

Reemplazando la {5.85.} en la {5.84.} obtenemos:

$$I_{C2} = \frac{R_2}{R_3} K_1 \frac{I_{F1}^{n_1}}{I'_{F1}^{n_1}} \quad \{5.87.\}$$

Reemplazando la {5.82.} en la ecuación {5.87.} se obtiene:

$$I_{C2} = \frac{R_2}{R_3} \cdot \frac{K_1}{I'_{F1}^{n_1}} \left( I_{CC1} + \frac{V_S}{R_1} \right)^{n_1} \quad \{5.88.\}$$

Tomando la {5.86.} se obtiene:

$$I_{F2} = \left( \frac{I_{C2}}{K_2} \right)^{1/n_2} \cdot I'_{F2} \quad \{5.89.\}$$

Reemplazando la {5.89.} en la {5.83.} se tiene:

$$V_O = I'_{F2} \left( \frac{I_{C2}}{K_2} \right)^{1/n_2} \cdot R_4 - I_{CC2} \cdot R_4 \quad \{5.90.\}$$

De la ecuación {5.88.}

$$I_{C2}^{1/n_2} = \left( \frac{R_2}{R_3} \right)^{1/n_2} \cdot K_1^{1/n_2} \left( \frac{I_{CC1}}{I'_{F1}} + \frac{V_S}{R_1 \cdot I'_{F1}} \right)^{n_1/n_2} \quad \{5.91.\}$$

Reemplazando en la {5.90.}

$$V_O = R_4 \left\{ I'_{F2} \left( \frac{K_1}{K_2} \right)^{1/n_2} \left( \frac{R_2}{R_3} \right)^{1/n_2} \left( \frac{I_{CC1}}{I'_{F1}} + \frac{V_S}{R_1 \cdot I'_{F1}} \right)^{n_1/n_2} - I_{CC2} \right\}$$

Agrupando:

$$V_O = R_4 \left\{ I'_{F2} \left( \frac{K_1 \cdot R_2}{K_2 \cdot R_3} \left( \frac{I_{CC1}}{I'_{F1}} \right)^{n_1} \right)^{1/n_2} \cdot \left( 1 + \frac{V_S}{R_1 \cdot I_{CC1}} \right)^{n_1/n_2} - I_{CC2} \right\} \quad \{5.92.\}$$

$V_O = 0$  se ajusta para  $V_S = 0$

Reemplazando dicho ajuste en la {5.92.} se obtiene:

$$0 = R_4 \left\{ I'_{F2} \left( \frac{K_1 \cdot R_2}{K_2 \cdot R_3} \left( \frac{I_{CC1}}{I'_{F1}} \right)^{n_1} \right)^{1/n_2} \cdot \left( 1 + \frac{0}{R_1 \cdot I_{CC1}} \right)^{n_1/n_2} - I_{CC2} \right\}$$

De donde:

$$I'_{F2} \left( \frac{K_1 \cdot R_2}{K_2 \cdot R_3} \left( \frac{I_{CC1}}{I'_{F1}} \right)^{n_1} \right)^{1/n_2} = I_{CC2} \quad \{5.93.\}$$

Reemplazando en la {5.92.}:



$$V_0 = R_4 \left\{ I_{CC2} \left( 1 + \frac{V_S}{R_1 \cdot I_{CC1}} \right)^{n_1/n_2} - I_{CC2} \right\}$$

Haciendo :

$$\frac{V_s}{R_1 \cdot I_{CC1}} = X \quad y \quad n = \frac{n_1}{n_2} \quad \text{se obtiene:}$$

$$V_0 = I_{CC2} \{ (1+X)^n - 1 \} R_4 \quad \{5.93.\}$$

Desarrollando el corchete y tomando el término lineal se obtiene  $nX$ .  
Calculando el error relativo por alinealidad, es :

$$\xi = \frac{\{ (1+x)^n - 1 \} - nx}{nx}$$

Por ejemplo, si :

$|X| < 0,35$  y  $n = 1,05$  resulta :

$$\frac{1}{2} < 1$$

### METODO DE LINEALIZACION DIFERENCIAL :

En el linealizador diferencial, al aumentar la señal de entrada  $V_d$ , aumenta la corriente  $I_{F1}$  de un fotoacoplador. En el segundo fotoacoplador disminuye  $I_{F2}$  en la misma medida en que  $I_{F1}$  aumentó. Si  $n_1 \approx n_2 \approx 2$ , el incremento alineal de la ganancia del primer fotoacoplador será balanceado por un decremento alineal de la ganancia del segundo fotoacoplador. SE obtiene así una función transferencia lineal.

En ambos métodos de linealización no es imprescindible un apareamiento entre  $K_1$  y  $K_2$  para obtener una transferencia total con comportamiento lineal. No obstante, en la medida que  $K$  está apareado se reducirá el rango dinámico de los potenciómetros de ajuste de 0 y de desequilibrio.

En la FIGURA 5.77. se representa un circuito de linealización diferencial :

$I_{F1}$  aumenta al aumentad  $V_d$ . Simultáneamente disminuye  $I_{F2}$  en la misma proporción.

Se debe a que :

$$I_{CC} = cte = I_{F1} + I_{F2} \quad \{5.94.\}$$

$A_1, A_2, A_3$ , y  $A_4$  son amplificadores operacionales.

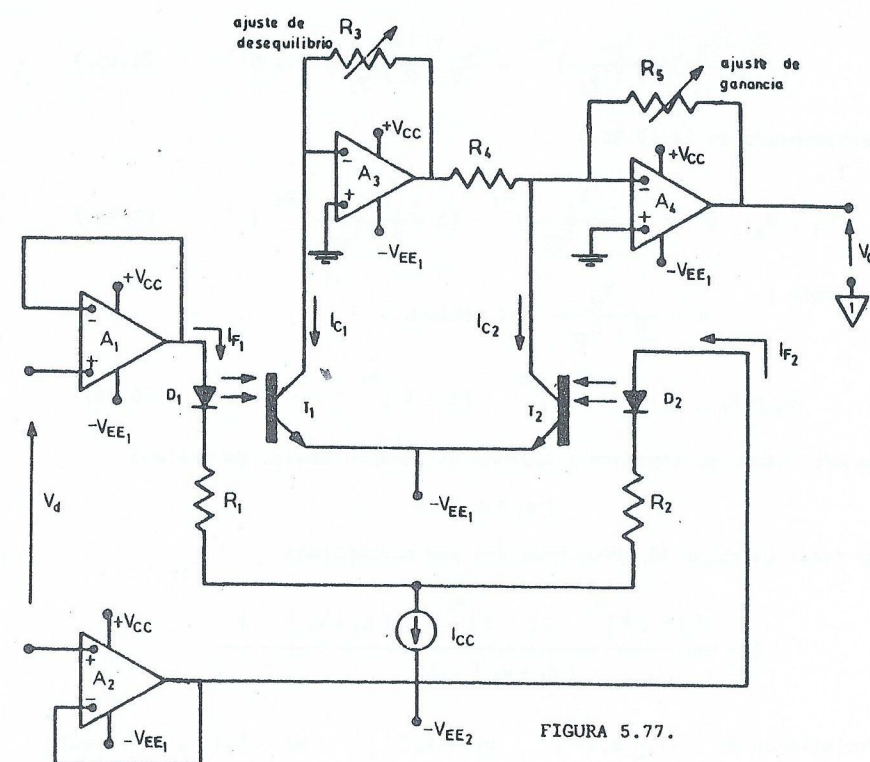


FIGURA 5.77.

Se demuestra que :

$$V_0 = \frac{R_5}{R_4} R_3 \cdot I_{C1} - R_5 \cdot I_{C2} \quad \{5.95.\}$$

Para expresar  $V_0$  en función de  $V_d$  se debe introducir las transferencias de los fotoacopladores dadas por las ecuaciones {5.85.}y{5.86.}

Considerando la acción de  $A_1$  y  $A_2$ , la transferencia total del amplificador es :

$$V_0 = R_5 \left\{ \left( \frac{K_1 \cdot R_3}{R_4} \right) \left( \frac{I_{CC}}{2 I_{F1}} \right)^{n_1} \left( 1 + \frac{V_d}{R \cdot I_{CC}} \right)^{n_1} - K_2 \left( \frac{I_{CC}}{2 I_{F1}} \right)^{n_2} \left( 1 - \frac{V_d}{R \cdot I_{CC}} \right)^{n_2} \right\} \quad \{5.96.\}$$

Siendo  $R_1 = R_2 = R$

El ajuste de  $V_0 = 0$  corresponde a  $V_S = 0$ .

Reemplazando dicho ajuste en la {5.96.} se obtiene :



$$0 = R_5 \left\{ \left( \frac{K_1 \cdot R_3}{R_4} \right) \left( \frac{I_{CC}}{2 I_{F1}} \right)^{n_1} \left( 1 + \frac{0}{R \cdot I_{CC}} \right)^{n_1} - K_2 \left( \frac{I_{CC}}{2 I_{F1}} \right)^{n_2} \left( 1 - \frac{0}{R \cdot I_{CC}} \right)^{n_2} \right\}$$

De donde :

$$\left( \frac{K_1 \cdot R_3}{R_4} \right) \left( \frac{I_{CC}}{2 I_{F1}} \right)^{n_1} = K_2 \left( \frac{I_{CC}}{2 I_{F1}} \right)^{n_2} = K' \quad \{5.97.\}$$

Reemplazando en la {5.96.}

$$V_0 = R_5 \cdot K' \left\{ \left( 1 + \frac{V_d}{R \cdot I_{CC}} \right)^{n_1} - \left( 1 - \frac{V_d}{R \cdot I_{CC}} \right)^{n_2} \right\} \quad \{5.98.\}$$

Haciendo :  $X = \frac{V_d}{R \cdot I_{CC}}$  se obtiene :

$$V_0 = R_5 \cdot K' \left\{ (1 + X)^{n_1} - (1 - X)^{n_2} \right\} \quad \{5.99.\}$$

Desarrollando el corchete y tomando el término lineal se obtiene

$$(n_1 + n_2) \cdot X$$

Se puede calcular el error relativo por alinealidad

$$\xi = \frac{\left\{ (1 + X)^{n_1} - (1 - X)^{n_2} \right\} - (n_1 + n_2) \cdot X}{(n_1 + n_2) \cdot X}$$

Por ejemplo si  $|X| \leq 0,35$  ;  $n_1 = 1,9$  ;  $n_2 = 1,8$  ; resulta :

$$\xi \% = 1,5 \%$$

En los amplificadores de corriente continua la estabilidad de la ganancia y la estabilidad del desequilibrio (OFFSET) en función de la temperatura es función de la estabilidad de los generadores de corriente, de los resistores y de los fotoacopladores.

En la técnica de servo las variaciones de K en función de la temperatura ambiente producen solo ligeros efectos sobre el valor de la ganancia y del desequilibrio, mientras se mantenga constante la relación :

$$\frac{K_1}{K_2}$$

En la técnica diferencial la variación de K por acción de la temperatura produce una variación en la ganancia del circuito. En la medida en que :

$$\frac{K_1}{K_2} \approx \text{cte}$$

el desequilibrio para la técnica diferencial se mantendrá estable.

En los amplificadores de corriente alterna, la ganancia varía en función de la temperatura. Ello ocurre porque :

$$\frac{\delta I_\lambda}{\delta I_F} \text{ varía con la temperatura.}$$

Tanto en los amplificadores diferenciales como en los de C.A. se utilizan termistores en la salida para estabilizar la variación de la ganancia por efecto térmico si las especificaciones de diseño son restrictivas en ese sentido.

#### 5.8.7. CONSIDERACIONES SOBRE VARIACIONES DE C.T.R. :

El CTR se degrada en función del tiempo. Por lo tanto:

$$\Delta \text{CTR} = \text{CTR}_{\text{final}} - \text{CTR}_{\text{inicial}} \quad \{5.100.\}$$

En la ecuación {5.100.} el valor final es menor que el inicial. Es importante tener en cuenta dicha degradación en equipos que usan fotoacopladores cuando debe garantizarse una vida útil muy prolongada de los mismos. Numerosos estudios han demostrado que el factor predominante en la degradación del CTR es la reducción a lo largo del tiempo del flujo de fotones emitidos por el LED, cuando circula por éste una corriente  $I_F = \text{cte}$ .

Se reduce en función del tiempo el rendimiento de la luz emitida por el LED dentro del fotoacoplador.

Para analizar la degradación, se introduce el rendimiento cuántico  $\eta$ . Se define al mismo como la relación entre la totalidad de fotones emitidos y la corriente  $I_F$  del LED.

El rendimiento cuántico depende de  $I_F$  y del tiempo. El valor de  $\eta$  disminuye a lo largo del tiempo. Esto origina la degradación de CTR.

La corriente  $I_F$  posee dos componentes : Una componente de difusión y otra de recombinación en la zona de carga espacial. Analíticamente :

$$I_F = A \cdot e^{\frac{V_F}{V_T}} + B \cdot e^{\frac{V_F}{2 V_T}} \quad \{5.101.\}$$

El primer término representa la corriente de difusión y el segundo la corriente de recombinación.

A y B no dependen de  $V_F$  ; y  $V_T$  es la tensión térmica.

La irradiación del LED depende de la corriente de difusión.

Manteniendo  $I_F$  constante, un aumento de B a lo largo del tiempo se traduce en una disminución de la componente que irradia luz (componente de difusión). Las razones específicas que originan un aumento de la corriente de recombinación no son totalmente conocidas.

La reducción de la luz emitida para un dado valor de  $I_F$  es función de la densidad de corriente en la juntura y de la temperatura de la juntura emisora  $T_j$ .

La temperatura de la juntura del LED está dada por la siguiente expresión:

$$T_j = T_a + \theta_{ja} (V_{FQ} \cdot I_{FQ}) + \theta_{de} (I_{CQ} \cdot V_{CEQ} + I_\lambda \cdot V_{CC}) \quad \{5.102.\}$$

Donde



$T_a$  = temperatura ambiente.

$\theta_{ja}$  = resistencia térmica entre la juntura del LED y el ambiente.

$\theta_{de}$  = resistencia térmica entre la juntura del detector (fototransistor) y el emisor.(LED).

$V_{FQ} \cdot I_{FQ}$  es la potencia disipada por el LED.( $P_E$ ).

$I_{CQ} \cdot V_{CEQ}$  es la potencia disipada por el transistor.

$I_\lambda \cdot V_{CC}$  es la potencia disipada por el fotodiodo equivalente.

El término  $(I_{CQ} \cdot V_{CEQ} + I_\lambda \cdot V_{CC})$  representa la totalidad de la potencia disipada en la etapa de salida. ( $P_{FT}$ ).

En símbolos :

$$P_E = V_{FQ} \cdot I_{FQ} \quad \{5.103.\}$$

$$P_{FT} = I_{CQ} \cdot V_{CEQ} + I_\lambda \cdot V_{CC} \quad \{5.104.\}$$

En los acopladores que poseen el fotodiodo con el cátodo conectado internamente al colector resulta:

$$P_{FT} = V_{CEQ} (I_{CQ} + I_\lambda) \quad \{5.105.\}$$

Reemplazando la {5.103.} y la {5.104.} en la {5.102.} se tiene :

$$T_j = T_a + \theta_{ja} \cdot P_E + \theta_{de} \cdot P_{FT} \quad \{5.106.\}$$

La temperatura en la juntura del detector (fototransistor) está dada por :

$$T_d = T_a + \theta_{ed} \cdot P_E + \theta_{da} \cdot P_{FT} \quad \{5.107.\}$$

Donde  $\theta_{ed}$  es la resistencia térmica entre el emisor y el detector. Es igual a  $\theta_{de}$ .

$\theta_{da}$  es la resistencia térmica entre la juntura del detector y el ambiente, es igual a  $\theta_{ja}$ .

En la expresión {5.106.} el término  $(\theta_{de} \cdot P_{FT})$  representa el aporte de sobre elevación térmica que transmite el detector al emisor.

En la expresión 5.107. el término  $(\theta_{ed} \cdot P_E)$  representa el aporte de sobre elevación térmica que transmite el emisor al detector.

En general es conveniente que  $T_j$  sea inferior o a lo sumo igual a 125 °C.

#### DIAGRAMA EN BLOCK DE UN FOTOACOPLADOR :

En la FIGURA 5.78. está representado un fotoacoplador básico.

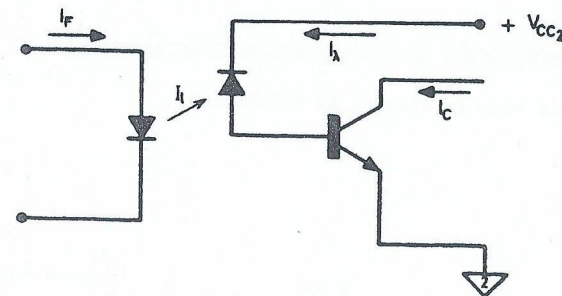


FIGURA 5.78.

De la FIGURA anterior se obtiene el diagrama en block de un fotoacoplador.(Ver FIGURA 5.79.).

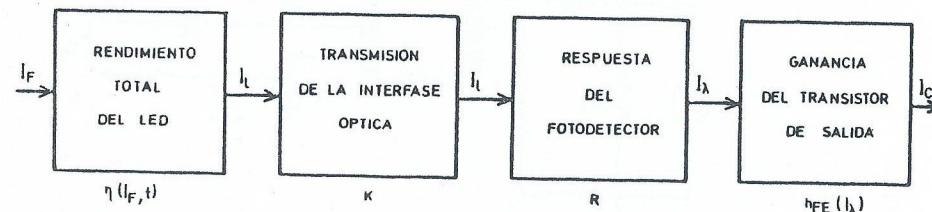


FIGURA 5.79.

De la FIGURA 5.79. se deduce la transferencia :

$$CTR \% = \frac{I_C}{I_F} \cdot 100 = K \cdot R \cdot \eta(I_F, t) \cdot h_{FE}(I_A, t) \quad \{5.108.\}$$

En la ecuación anterior K representa el factor de transmisión total del sistema óptico interno, y generalmente se lo considera una constante.

R representa la transferencia del fotodetector definida en términos de la fotocorriente  $I_A$  respecto de los fotones incidentes.

$\eta$  y  $h_{FE}$  son dependientes de la temperatura.

De la ecuación {5.108.} se puede obtener :

$$\frac{\Delta CTR}{CTR} = \left( \frac{\Delta \eta}{\eta} \right)_{I_F} + \left( \frac{\Delta \eta}{\eta} \right)_{I_F} \cdot \left( \frac{\partial \ln h_{FE}}{\partial \ln I_A} \right) \cdot \frac{1}{t} + \left( \frac{\Delta h_{FE}}{h_{FE}} \right)_{I_A} \quad \{5.109.\}$$

El primer término del segundo miembro de la ecuación {5.109.} representa el principal aporte que produce el  $\Delta CTR$ . Generalmente  $\Delta \eta$  es negativo a lo largo del tiempo. Como ya se ha visto  $\Delta \eta$  es fuertemente dependiente de  $I_F$ .

El segundo término del segundo miembro de la ecuación {5.109.} expresa una derivada de segundo orden, pudiendo su valor ser positivo o negativo.

El tercer término tiene normalmente un efecto despreciable. Expresa un aumento o disminución de la ganancia de corriente del transistor a lo largo del tiempo.



El cálculo analítico de la degradación de CTR es de interés primordial para quienes se especializan en confiabilidad y calidad del producto. Hewlett-Packard ha desarrollado el tema en la nota de aplicación AN 1002, que fue utilizada como referencia.

#### EJEMPLO DE DEGRADACION DE LOS VALORES MAXIMOS ABSOLUTOS :

Tomamos como referencia la FIGURA 5.80.

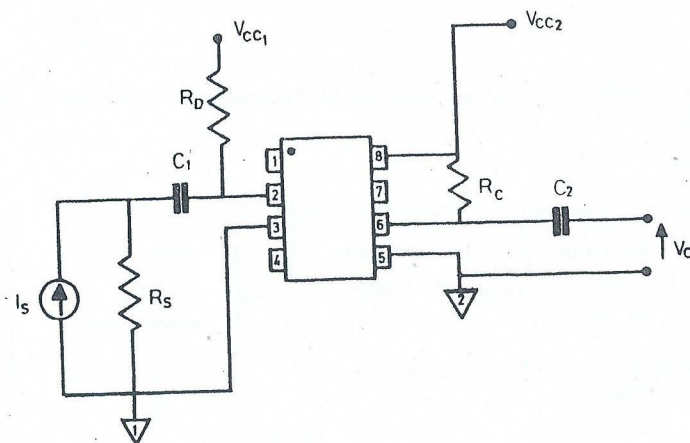


FIGURA 5.80.

#### DATOS :

$V_{CC1} = 10 \text{ V}$	$V_{CC2} = 12 \text{ V}$	$R_D = 860 \Omega$	$R_C = 3 \text{ K}\Omega$
$I_{FQ} = 10 \text{ mA}$	$V_{FQ} = 1,5 \text{ V}$	$\text{CTR} \% = 18\%$	$I_{CQ} = 1,8 \text{ mA}$
$h_{FE} = 175$	$V_{CEQ} = 6,6 \text{ V}$	$I_\lambda = 10 \mu\text{A}$	6N136

En los datos están incluidos los puntos de reposo correspondientes a  $T_a = 25^\circ\text{C}$  que han sido calculados de acuerdo con los lineamientos del apartado 5.8.5.

Se incrementa la temperatura ambiente hasta  $T_a = 75^\circ\text{C}$ .

Se busca en la hoja de datos el coeficiente térmico de  $V_F$ , este es :

$$\frac{\Delta V_F}{\Delta T} = -1,6 \text{ mV}/^\circ\text{C}$$

Resulta :

$$V_F \Big|_{75^\circ\text{C}} = 1,5 \text{ V} - 1,6 \text{ mV}/^\circ\text{C} \cdot 50^\circ\text{C} = 1,42 \text{ V}$$

$$I_{FQ} \Big|_{75^\circ\text{C}} = \frac{V_{CC1} - V_{FQ}}{R_D} = \frac{10 \text{ V} - 1,42 \text{ V}}{860 \Omega} \approx 10 \text{ mA}$$

De la hoja de datos se obtiene el CTR normalizado en función de la temperatura ambiente

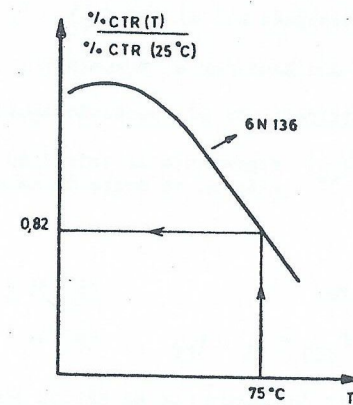


FIGURA 5.81.

Resulta :

$$\text{CTR} \% \Big|_{75^\circ\text{C}} = 0,82 \cdot \text{CTR} \% \Big|_{25^\circ\text{C}} = 0,82 \cdot 18 \% = 14,76 \%$$

$$I_{CQ} \Big|_{75^\circ\text{C}} = \frac{\text{CTR} \% \Big|_{75^\circ\text{C}}}{100} I_{FQ} \Big|_{75^\circ\text{C}} = 0,1476 \cdot 10 \text{ mA} \approx 1,5 \text{ mA}$$

$$V_{CEQ} \Big|_{75^\circ\text{C}} = V_{CC2} - R_C \cdot I_{CQ} \Big|_{75^\circ\text{C}} = 12 \text{ V} - 3 \text{ K}\Omega \cdot 1,5 \text{ mA} = 7,5 \text{ V}$$

De la hoja de datos se obtiene el siguiente valor máximo absoluto :

$$I_{FM} \Big|_{\text{continua}} = 25 \text{ mA} \quad \text{y la siguiente degradación :}$$

$$\frac{\Delta I_{FM}}{\Delta T} = -0,8 \text{ mA}/^\circ\text{C} \quad (\text{a partir de } T_a = 70^\circ\text{C}).$$

De donde :

$$I_{FM} \Big|_{75^\circ\text{C}} = 25 \text{ mA} - 0,8 \text{ mA}/^\circ\text{C} (75^\circ\text{C} - 70^\circ\text{C}) = 21 \text{ mA}$$

Se verifica que :

$I_{FQ}$  a  $75^{\circ}\text{C}$  es menor que  $I_{FM}$  a  $75^{\circ}\text{C}$ , ya que  $10\text{ mA} < 21\text{ mA}$

De la hoja de datos se obtiene el siguiente valor máximo absoluto:

$P_{EM} = 45\text{ mW}$  y la siguiente degradación:

$$\frac{\Delta P_E}{\Delta T} = -0,9\text{ mW}/^{\circ}\text{C} \quad (\text{a partir de } T_a = 70^{\circ}\text{C}).$$

De donde :

$$P_{EM}\bigg|_{75^{\circ}\text{C}} = 45\text{ mW} - 0,9\text{ mW}/^{\circ}\text{C} \cdot (75^{\circ}\text{C} - 70^{\circ}\text{C}) = 40,5\text{ mW}$$

$P_E$  a  $75^{\circ}\text{C}$  es menor que  $P_{EM}$  a  $75^{\circ}\text{C}$ , como veremos a continuación :

$$P_E\bigg|_{75^{\circ}\text{C}} = V_{FQ}\bigg|_{75^{\circ}\text{C}} \cdot I_{FQ}\bigg|_{75^{\circ}\text{C}} = 1,42\text{ V} \cdot 10\text{ mA} = 14,2\text{ mW} < 40,5\text{ mW}$$

De la hoja de datos se obtiene el siguiente valor máximo absoluto:

$P_{FTM} = 100\text{ mW}$  y la siguiente degradación :

$$\frac{\Delta P_{FT}}{\Delta T} = -2,0\text{ mW}/^{\circ}\text{C} \quad (\text{a partir de } T_a = 70^{\circ}\text{C})$$

$$P_{FTM}\bigg|_{75^{\circ}\text{C}} = 100\text{ mW} - 2\text{ mW}/^{\circ}\text{C} (75^{\circ}\text{C} - 70^{\circ}\text{C}) = 90\text{ mW}$$

De la ecuación {5.104.} :

$$P_{FT} = I_{CQ} \cdot V_{CEQ} + I_{\lambda} \cdot V_{CC2}$$

Donde :  $I_{CQ} \cdot V_{CEQ} = 1,5\text{ mA} \cdot 7,5\text{ V} = 11,25\text{ mW}$

Se averiguará el valor de  $h_{FE}$  a  $75^{\circ}\text{C}$  : Como  $\Delta T = 50^{\circ}\text{C}$ , resulta :

$$h_{FE}\bigg|_{75^{\circ}\text{C}} = h_{FE}\bigg|_{25^{\circ}\text{C}} \cdot 1,5 = 175 \cdot 1,5 = 262,5$$

Por otra parte :  $I_{\lambda}\bigg|_{75^{\circ}\text{C}} = \frac{I_{CQ}}{h_{FE}} = \frac{1,5\text{ mA}}{262,5} = 5,7\text{ }\mu\text{A}$

Además :

$$I_{\lambda}\bigg|_{75^{\circ}\text{C}} \cdot V_{CC2} = 5,7\text{ }\mu\text{A} \cdot 12\text{ V} = 0,68\text{ mW}$$

Reemplazando en la ecuación {5.104.} resulta :

$$P_{FT}\bigg|_{75^{\circ}\text{C}} = 11,25\text{ mW} + 0,68\text{ mW} = 12\text{ mW} < 90\text{ mW}$$

Se calculará la temperatura en la juntura del LED ( $T_j$ ) y en la juntura del fototransistor ( $T_d$ ).

Del catálogo

$$\theta_{ja} = \theta_{da} = 370^{\circ}\text{C}/\text{W}$$

$$\theta_{de} = \theta_{ed} = 170^{\circ}\text{C}/\text{W}$$

De la ecuación {5.106.}:

$$T_j = T_a + \theta_{ja} \cdot P_E + \theta_{de} \cdot P_{FT}$$

Reemplazando :

$$T_j = 75^{\circ}\text{C} + 0,37^{\circ}\text{C}/\text{mW} \cdot 14,2\text{ mW} + 0,17^{\circ}\text{C}/\text{mW} \cdot 12\text{ mW} \approx 82^{\circ}\text{C}$$

Se observa que el término preponderante es el del propio calentamiento siendo superior al transmitido por el detector.

De la ecuación {5.107.} se tiene :

$$T_d = T_a + \theta_{ed} \cdot P_E + \theta_{da} \cdot P_{FT}$$

Reemplazando :

$$T_d = 75^{\circ}\text{C} + 0,17^{\circ}\text{C}/\text{mW} \cdot 14,2\text{ mW} + 0,37^{\circ}\text{C}/\text{mW} \cdot 12\text{ mW} \approx 82^{\circ}\text{C}$$

Análogamente a la conclusión anterior, en este caso, el término dominante es el propio del detector.



6.1 INTRODUCCION

Hasta ahora se han analizado amplificadores multietapas en los cuales la salida está totalmente desvinculada de la entrada. En este capítulo se estudian amplificadores en donde cierta porción de la señal de salida se reinyecta en la entrada. Estos amplificadores se llaman realimentados. Se tiene realimentación positiva cuando la fracción de la señal de salida que se reinyecta a la entrada se suma positivamente a la señal de excitación exterior. Se tiene realimentación negativa cuando la fracción de la señal de salida que se reinyecta a la entrada se resta a la señal de excitación exterior. La realimentación negativa introduce una serie de ventajas que se analizan a lo largo del capítulo. Se analizan los amplificadores realimentados en este capítulo a frecuencias medias, es decir, sin considerar su respuesta en frecuencia. Se analizan los amplificadores realimentados en este capítulo a frecuencias medias, es decir, sin considerar su respuesta en frecuencia.

6.1.1. DIAGRAMA GENERALIZADO DEL AMPLIFICADOR REALIMENTADO

En la figura 6.1 se tiene simbolizado dicho diagrama:

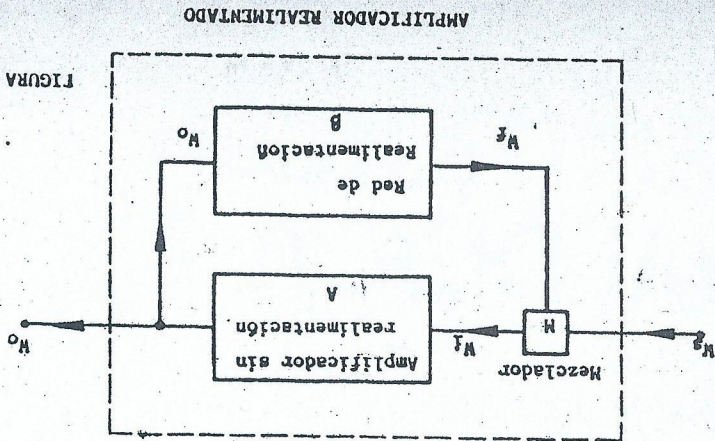


FIGURA 6.1.

6.1 INTRODUCCION

Hasta ahora se han analizado amplificadores multietapas en los cuales la salida está totalmente desvinculada de la entrada. En este capítulo se estudian amplificadores en donde cierta porción de la señal de salida se reinyecta en la entrada. Estos amplificadores se llaman realimentados. Se tiene realimentación positiva cuando la fracción de la señal de salida que se reinyecta a la entrada se suma positivamente a la señal de excitación exterior. Se tiene realimentación negativa cuando la fracción de la señal de salida que se reinyecta a la entrada se resta a la señal de excitación exterior. La realimentación negativa introduce una serie de ventajas que se analizan a lo largo del capítulo. Se analizan los amplificadores realimentados en este capítulo a frecuencias medias, es decir, sin considerar su respuesta en frecuencia.

6.1.1. DIAGRAMA GENERALIZADO DEL AMPLIFICADOR REALIMENTADO

En la figura 6.1 se tiene simbolizado dicho diagrama:

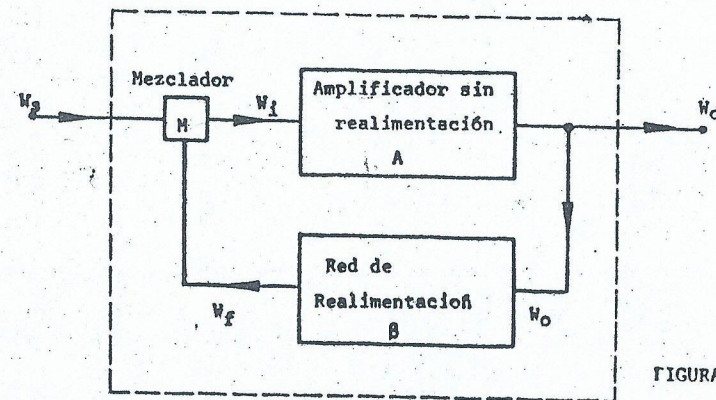


FIGURA 6.1.



$W_e$  es la señal de entrada del amplificador sin realimentar.  
 $W_s$  es la señal de entrada del amplificador realimentado.  
 $W_o$  es la señal de salida del amplificador sin realimentar o del realimentado.  
 $W_f$  es la señal de realimentación que se reinyecta en la entrada.

Con  $W_o$  se indica una tensión de salida  $V_o$  o bien una corriente de salida  $I_o$ .  
 Con  $W_i$  se indica una tensión de entrada  $V_i$  o bien una corriente de entrada  $I_i$ . (Del amplificador sin realimentar).  
 Con  $W_s$  se indica una tensión de entrada  $V_s$  o bien una corriente de entrada  $I_s$ . (Del amplificador realimentado).  
 Con  $W_f$  se indica una tensión de realimentación  $V_f$  o una corriente de realimentación  $I_f$ .

La red de realimentación es usualmente un cuadripolo pasivo. Muchas veces es una simple configuración resistiva.

Se toma una muestra de la señal  $W_o$  de salida que se atenúa generalmente a través de la red de realimentación. La salida de dicha red es la señal de realimentación  $W_f$ .

En la entrada, la señal realimentada  $W_f$  se mezcla con la señal de excitación  $W_s$  y la resultante de la mezcla  $W_i$  se inyecta al amplificador A. A puede representar una transferencia de tensión, corriente, transconductancia o transresistencia.

## 1.2. TRANSFERENCIA CON REALIMENTACION

Si la realimentación es negativa  $W_f$  se opone a  $W_s$  y queda:

$$W_i = W_s - W_f \quad (6.1.)$$

Si la realimentación es positiva se tiene:

$$W_i = W_s + W_f$$

## DEFINICIONES DE A, $\beta$ y $A_f$

$$A \equiv \frac{W_o}{W_i} \quad (6.2.)$$

$$\beta \equiv \frac{W_f}{W_o} \quad (6.3.)$$

$$A_f \equiv \frac{W_o}{W_s} \quad (6.4.)$$

$A_f$  es la transferencia del amplificador realimentado.

De la ecuación (6.2.) se tiene:

$$W_o = A \cdot W_i \quad (6.5.)$$

Reemplazando en (6.5.) la ecuación (6.1.) se tiene:

$$W_o = A \cdot (W_s - W_f) \quad (6.6.)$$

De la ecuación (6.3.) se obtiene:

$$W_f = \beta \cdot W_o \quad (6.7.)$$

Reemplazando (6.7.) en (6.6.) se tiene:

$$W_o = A (W_s - \beta W_o) = A W_s - \beta A W_o \quad \therefore$$

$$W_o + \beta A W_o = A W_s \quad \therefore \quad W_o (1 + \beta A) = A W_s \quad (6.8.)$$

Teniendo en cuenta la ecuación (6.4.) se obtiene a partir de la ecuación (6.8.) lo siguiente:

$$A_f = \frac{W_o}{W_s} = \frac{A}{1 + \beta A} \quad (6.9.)$$

A es la ganancia del amplificador sin realimentar.

$A_f$  es la ganancia del amplificador realimentado.

Como se verá posteriormente para calcular A debe incluirse la resistencia del excitador  $R_s$  como perteneciente al amplificador sin realimentar y también la resistencia de carga  $R_L$  y la carga que introduce la red de realimentación  $\beta$  a la entrada y salida del cuadripolo A.

Si  $|A_f| < |A|$  la realimentación es negativa.

Si  $|A_f| > |A|$  la realimentación es positiva.

La expresión  $1 + \beta A$  se denomina diferencia de retorno y se la indica con D:

$$D = 1 + \beta A \quad (6.10.)$$

Reemplazando la ecuación (6.10) en la ecuación (6.9.) se tiene:

$$A_f = \frac{A}{D} \quad (6.11.)$$

## 6.1.3. RELACION ENTRE $W_s$ Y $W_i$

Veamos la figura 6.2:



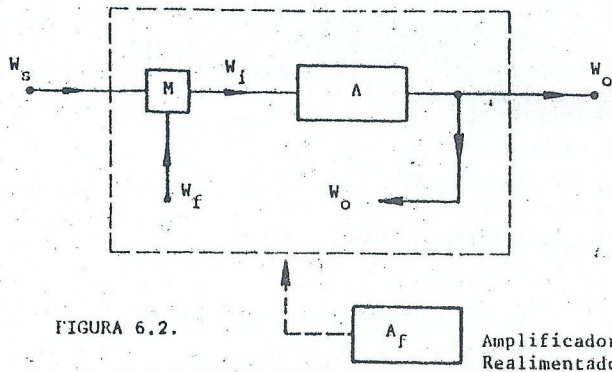


FIGURA 6.2.

Amplificador  
Realimentado

$W_o$  debe ser constante con o sin realimentación ya que la salida del amplificador cumple una función determinada. Por ejemplo: en un amplificador de audio  $W_o = V_o$ , siendo  $V_o$  la tensión de salida con la que se obtiene la potencia de salida nominal del amplificador. Si la señal de salida excita un relé, entonces  $W_o = I_c$ , siendo  $I_c$  la corriente nominal que determina la apertura o el cierre de los contactos del relé.

De la figura 6.2 se obtiene:

$$W_o = A \cdot W_i \quad (6.12.)$$

$$W_o = A_f \cdot W_s \quad (6.13.)$$

Iguando los segundos miembros de las ecuaciones (6.12.) y (6.13.) se obtiene:

$$A W_i = A_f \cdot W_s \quad \therefore \quad A W_i = \frac{A}{D} W_s \quad \therefore$$

$$W_s = D W_i \quad (6.14.)$$

Entonces, como al tener realimentación negativa es  $D > 1$ , resulta que al realimentar hay que aumentar la excitación  $D$  veces según muestra la ecuación (6.14.). En esa forma se mantiene  $W_o$  sin variar al agregar la realimentación. Es decir que  $W_s > W_i$ , para  $W_o = \text{cte.}$

Como al realimentar negativamente es  $A_f = \frac{A}{D}$ , se tiene que la excitación  $W_s$  debe aumentarse en la misma cantidad en que disminuye  $A_f$  respecto de  $A$ .

La cantidad de realimentación introducida puede expresarse en decibeles, como:

$$20 \log \left| \frac{A_f}{A} \right| = 20 \log \left| \frac{1}{D} \right|$$

Si  $D = 100$  resultan - 40 db.

Por la forma de deducir la ecuación (6.11.) se ha supuesto:

1. Que la señal de realimentación muestreada se transmite desde la salida hacia la entrada sólo a través de  $\beta$ . Es decir que no hay transmisión a través de  $A$  desde la salida a la entrada. Equivale a suponer  $h_{re} = 0$ .
2. Que  $\beta$  es independiente de  $R_o$  y  $R_L$ .
3. Que la señal de entrada se transmite hacia la salida sólo a través del amplificador  $A$ . Lo anterior significa que  $\beta$  es unilateral, lo cual no es cierto. Pero, en la práctica se aproxima a ello.

#### 6.1.4. FACTOR DE DESENSIBILIZACION

Si se fabrican amplificadores no realimentados en serie, la ganancia  $A$  de los mismos no es la misma para cada amplificador fabricado. Es así ya que  $A$  depende de los parámetros dinámicos de los dispositivos activos que constituyen el amplificador y estos parámetros tienen una dispersión muy amplia. Es decir que un amplificador "no realimentado" es muy sensible a la dispersión de los parámetros dinámicos mencionados. Al realimentar desensibilizamos al amplificador respecto de dichas dispersiones. El análisis cuantitativo de la dispersión se realiza a continuación:

Se había visto que:

$$A_f = \frac{A}{1 + \beta A}$$

Derivando la anterior respecto de  $A$  se tiene:

$$\frac{d A_f}{d A} = \frac{(1 + \beta A) - \beta A}{(1 + \beta A)^2} = \frac{1}{(1 + \beta A)^2}$$

$$d A_f = \frac{1}{(1 + \beta A)^2} \cdot d A = \frac{1}{D^2} \cdot d A$$

Dividiendo por  $A_f$ :

$$\frac{d A_f}{A_f} = \frac{1}{D^2} \cdot \frac{d A}{A_f} = \frac{1}{D^2} \cdot \frac{d A}{A} \cdot D$$

$$\therefore \frac{d A_f}{A_f} = \frac{1}{D} \cdot \frac{d A}{A} \quad (6.15.)$$



Se define el factor de desensibilización así:

$$F = \frac{\left| \frac{d A_f}{A_f} \right|}{\left| \frac{d A}{A} \right|} = \frac{1}{D} \quad (6.16.)$$

Ej: Supongamos que  $\left| \frac{d A}{A} \right|$  sea del 20 %, para amplificadores sin realimentar. Se quiere conseguir que  $\left| \frac{d A_f}{A_f} \right| \leq 0,5 \%$

Entonces:

$$F = \frac{0,5 \%}{20 \%} = 0,025$$

De la ecuación (6.16.) se tiene que:

$$D = \frac{1}{F} = \frac{1}{0,025} = 40$$

Como

$D = 1 + \beta A$  resulta:

$$\beta = \frac{D - 1}{A} = \frac{40 - 1}{A} = \frac{39}{A}$$

Conociendo el valor de A se puede calcular  $\beta$ .  
otra parte:

$$A_f = \frac{A}{D} = \frac{A}{40}$$

Tenemos una ganancia 40 veces menor al realimentar. Al desensibilizar en 40 veces el amplificador se pierde la misma cantidad de ganancia. La dependencia de la ganancia del amplificador realimentado respecto de los parámetros dinámicos de los dispositivos activos se ha disminuido en 40 veces.

A fuera igual a 1000 se tendría:

$$\beta = \frac{39}{1000} = 0,039$$

$$\text{y } A_f = \frac{A}{40} = \frac{1000}{40} = 25$$

Si partimos nuevamente de:

$$A_f = \frac{A}{1 + \beta A}$$

vemos que para  $\beta A \gg 1$  se tiene:

$$A_f \approx \frac{1}{\beta} \quad (6.17.)$$

La ganancia realimentada  $A_f$  depende sólo de  $\beta$  y es independiente de los dispositivos activos con que se fabrica A.

$$A_f = \frac{1}{\beta} = \frac{1}{0,039} = 25,64$$

que coincide bastante bien con la ganancia correcta que es

$$A_f = 25$$

#### 6.1.5. REDUCCION DE LAS PERTURBACIONES

Sea un amplificador que amplifica  $A = A_1 \cdot A_2$  (ver figura 6.3)

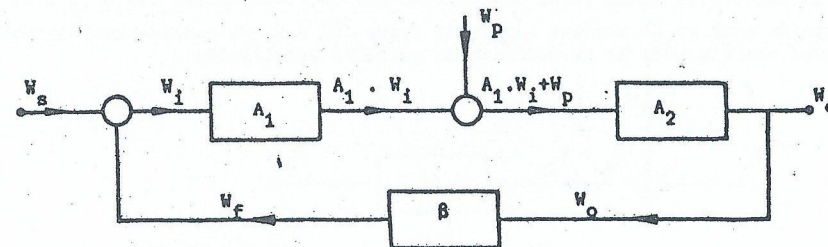


FIGURA 6.3.(a)

Entre el sector que amplifica  $A_1$  y el que amplifica  $A_2$  se introduce una perturbación  $W_p$ . Entonces:

$$W_o = A_2 [A_1 W_i + W_p] = A_1 A_2 W_i + A_2 W_p$$

$$W_o = A W_i + A_2 W_p = A (W_s - W_f) + A_2 W_p$$

$$W_o = A (W_s - \beta W_o) + A_2 W_p$$

$$W_o + \beta A W_o = A W_s + A_2 W_p$$

$$W_o (1 + \beta A) = A W_s + A_2 W_p$$



$$W_0 = \frac{A}{1 + \beta A} W_S + \frac{A_2}{1 + \beta A} W_P$$

$$W_0 = \frac{A}{D} \cdot D W_1 + \frac{A_2}{D} W_P$$

$$W_0 = A W_1 + A_2 \frac{W_P}{D} \quad (6.18.)$$

La ecuación (6.18.) muestra la señal de salida del amplificador realimentado. Si el amplificador no está realimentado, se obtiene:

$$W_0 = A_2 [A_1 W_1 + W_P] = A_1 A_2 W_1 + A_2 W_{P_{t...}}$$

$$\therefore W_0 = A W_1 + A_2 W_P \quad (6.19.)$$

La ecuación (6.19.) muestra la señal de salida del amplificador sin realimentar.

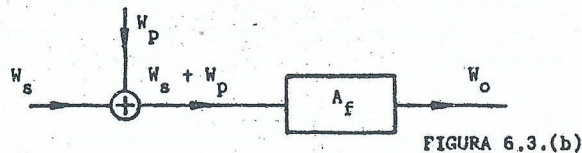
Comparando (6.19.) con (6.18.) se deduce que la perturbación (distorsión, zumbido, etc.) presente dentro del lazo realimentado disminuye en el factor D.

Ejemplo: El sector que amplifica  $A_2$  (sin realimentar) posee una distorsión del 10 %  $\therefore W_P = 10\%$ . Se desea disminuir la distorsión (realimentando) a 0,5 %.

$$W_{0PF} = A_2 \cdot \frac{W_P}{D} = 0,5\% \quad W_{0P} = A_2 W_P = 10\%$$

$$\therefore W_{0PF} = \frac{A_2 W_P}{D} = \frac{10\%}{D} = 0,5\% \quad D = \frac{10\%}{0,5\%} = 20$$

Para reducir la distorsión en la forma establecida hay que realimentar con un  $D \geq 20$ . Si la perturbación está en la entrada (es decir fuera del lazo de realimentación) no se logra ninguna ventaja pues no se modifica la relación señal-ruido:



$$W_0 = A_f \cdot (W_s + W_P)$$

Este es el caso del ruido en la entrada de un amplificador realimentado. Un caso distinto es el ripple de una fuente de alimentación. Este se presenta dentro del lazo de realimentación y por lo tanto disminuye D veces.

#### 6.1.6. RESISTENCIA DE ENTRADA

Como se verá más adelante, si se reinyecta una tensión en serie en la malla de entrada del amplificador, la resistencia de entrada del mismo aumenta. Si se reinyecta una corriente en paralelo en la malla de entrada del amplificador, la resistencia de entrada del mismo disminuye. Es decir que la realimentación es un medio eficaz para gobernar la resistencia de entrada del amplificador.

#### 6.1.7. RESISTENCIA DE SALIDA

Si para realimentar un amplificador se muestrea la tensión de salida, su resistencia de salida disminuye.

Si para realimentar un amplificador se muestrea la corriente de salida, su resistencia de salida aumenta.

La realimentación proporciona un medio eficaz para gobernar la resistencia de salida del amplificador.

#### 6.2 CLASIFICACION DE LOS AMPLIFICADORES

Se clasificarán los amplificadores poniendo en evidencia aquella transferencia que no dependa de las magnitudes de la resistencia del excitador y de la resistencia de carga.

Los primeros ejemplos se verán para los amplificadores no realimentados.

##### 6.2.1. AMPLIFICADOR DE CORRIENTE:

Veamos como ejemplo un amplificador de dos etapas conectadas como EC. (figura 6.4)

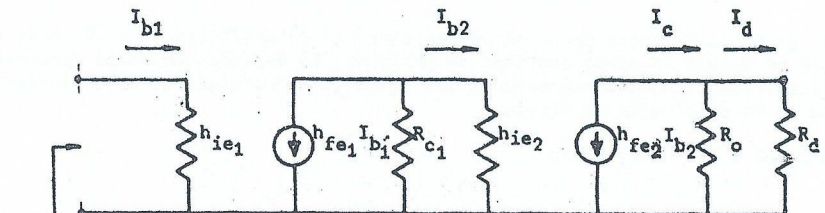
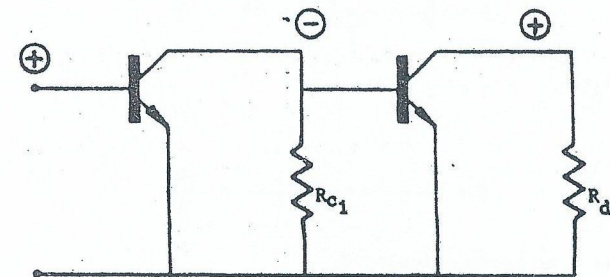


FIGURA 6.4.

$$I_d = -h_{fe2} I_{b2} \frac{R_0}{R_0 + R_d}$$

$$\therefore \frac{I_d}{I_{b2}} = -h_{fe2} \frac{R_0}{R_0 + R_d}$$

$$\frac{I_{b2}}{I_{b1}} = -h_{fe1} \frac{R_{C1}}{R_{C1} + h_{ie2}}$$

Definiendo:

$$A_I = \frac{I_d}{I_{b1}} = \frac{I_d}{I_{b2}} \cdot \frac{I_{b2}}{I_{b1}}$$

Resultado:

$$A_I = h_{fe1} h_{fe2} \cdot \frac{R_{C1}}{R_{C1} + h_{ie2}} \cdot \frac{R_0}{R_0 + R_d}$$

$$\therefore A_I = h_{fe1} h_{fe2} \cdot \frac{R_{C1}}{R_{C1} + h_{ie2}} \cdot \frac{1}{1 + \frac{R_d}{R_0}}$$

Si llamamos  $A_i$  la ganancia de corriente para salida en corto ( $R_d = 0$ ) ( $I_d = I_c$ ), resulta:

$$A_i = A_I \Big|_{R_d = 0} = h_{fe1} h_{fe2} \frac{R_{C1}}{R_{C1} + h_{ie2}}$$

$$A_I = A_i \frac{1}{1 + \frac{R_d}{R_0}} = \frac{I_d}{I_{b1}}$$

$$\therefore I_d = A_i I_{b1} \frac{1}{1 + \frac{R_d}{R_0}} \quad \{6.20.\}$$

La ecuación {6.20.} se puede representar por el circuito de la figura 6.5

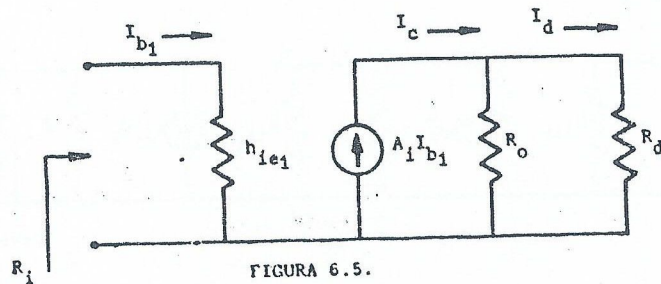


FIGURA 6.5.

Podemos generalizar el circuito introduciendo  $R_i$  e  $I_i$ , como se ve en la figura 6.6

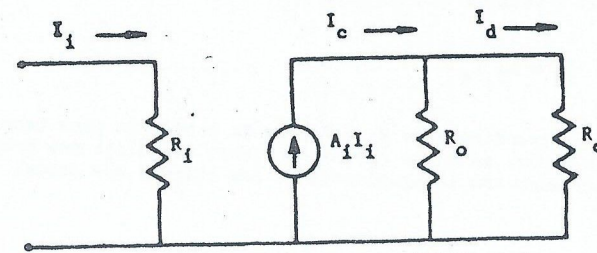


FIGURA 6.6.

Agregamos el generador de excitación en la figura 6.7

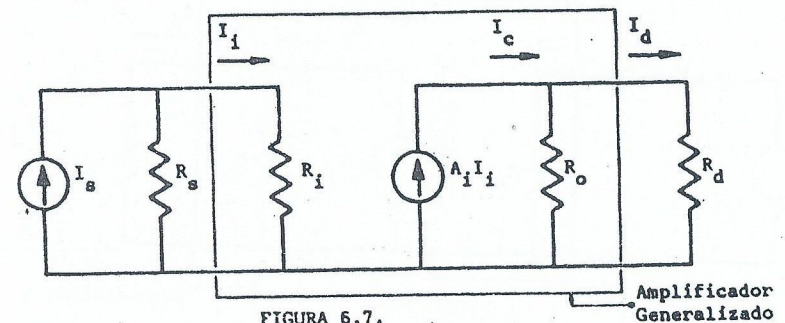


FIGURA 6.7.

De la figura 6.7 surge:

$$I_i = I_s \frac{R_s}{R_i + R_s} = I_s \frac{1}{1 + \frac{R_i}{R_s}}$$

$$I_d = A_i I_i \frac{1}{1 + \frac{R_d}{R_0}} = A_i \frac{1}{1 + \frac{R_i}{R_s}} \cdot \frac{1}{1 + \frac{R_d}{R_0}} I_s \quad \{6.21.\}$$

Si queremos que  $I_d$  sea proporcional a  $I_s$  e independiente de  $R_s$  y  $R_d$ , debe ser (ver ecuación {6.21.}):

$$R_i \ll R_s \quad \{6.22.\}$$

$$R_0 \gg R_d$$



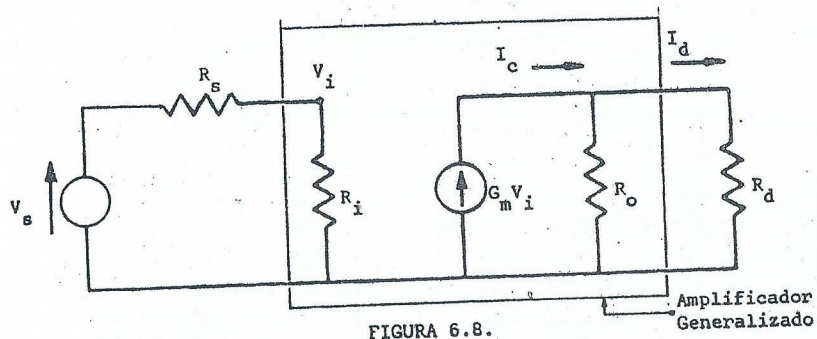
Si se cumple la ecuación (6.22.) resulta que la (6.21.) se transforma en:

$$I_d \approx A_i I_s$$

La corriente por la carga es independiente de  $R_s$  y  $R_d$ . Es la condición para tener un amplificador de corriente. Es decir, se busca que la corriente de salida sea proporcional a la corriente del excitador con independencia de los valores que puedan tomar  $R_s$  y  $R_d$ .

### 6.2.2. AMPLIFICADOR DE TRANSCONDUCTANCIA

De una manera similar a la analizada en el punto 6.2.1. se puede llegar a la siguiente representación de un amplificador:



Se busca que  $I_d = K V_s$  independientemente de los valores de  $R_s$  y  $R_d$ . En ese caso se tiene un amplificador de transconductancia. De la figura 6.8 surge que:

$$V_i = V_s \frac{R_i}{R_i + R_s} = \frac{1}{1 + \frac{R_s}{R_i}} \cdot V_s$$

$$I_d = G_m V_i \frac{R_o}{R_o + R_d} = G_m V_i \frac{1}{1 + \frac{R_d}{R_o}}$$

$G_m$  es la ganancia de transconductancia para  $R_d = 0$  (salida en corto).

Reemplazando  $V_i$  en la última ecuación se tiene:

$$I_d = G_m \frac{1}{1 + \frac{R_d}{R_o}} \cdot \frac{1}{1 + \frac{R_s}{R_i}} \cdot V_s \quad (6.23.)$$

Para que  $I_d$  sea proporcional a  $V_s$  con independencia de los valores de  $R_s$  y  $R_d$  debe cumplirse en la ecuación (6.23.) que:

$$R_i \gg R_s$$

$$R_o \gg R_d$$

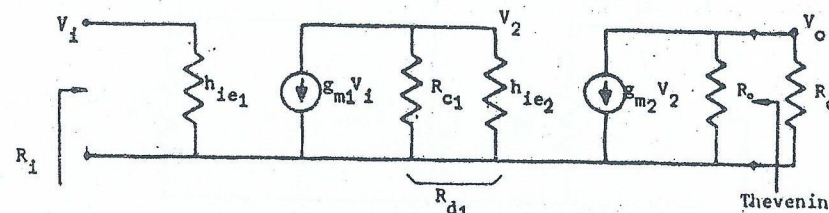
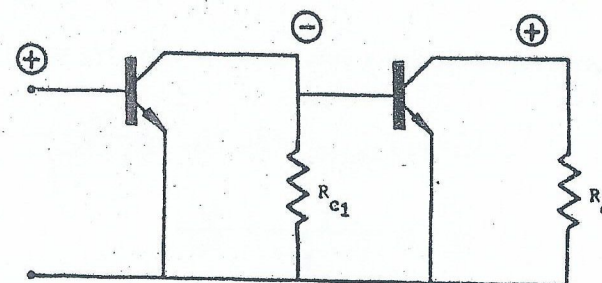
(6.24)

Entonces,  $I_d = G_m \cdot V_s$  e  $I_d$  sólo depende de  $V_s$ . La transferencia de este amplificador es:

$$G_m = \frac{I_d}{V_s}$$

### 6.2.3. AMPLIFICADOR DE TENSION

Como en el punto 6.2.1. representamos al amplificador, por simplicidad, por dos etapas de EC.



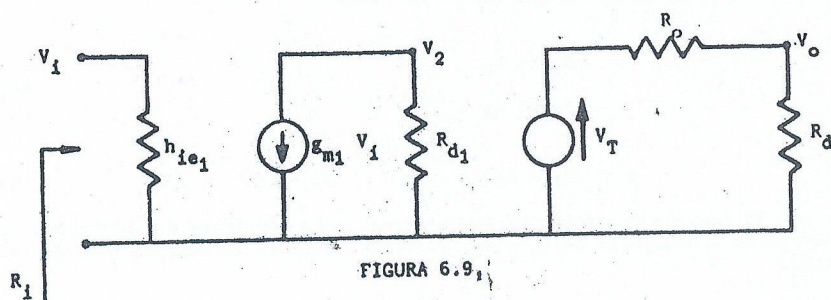


FIGURA 6.9.

$$\begin{aligned} V_T &= -g_{m2} V_2 R_o \\ V_2 &= -g_{m1} V_i R_{d1} \\ V_T &= g_{m1} g_{m2} R_o R_{d1} V_i \end{aligned} \quad (6.25.)$$

$$V_o = \frac{R_d}{R_o + R_d} V_T$$

$$V_o = \frac{1}{1 + \frac{R_o}{R_d}} V_T$$

$$V_o = g_{m1} g_{m2} R_o R_{d1} \frac{1}{1 + \frac{R_o}{R_d}} V_i$$

$$\therefore A_V = \frac{V_o}{V_i} = g_{m1} g_{m2} R_o R_{d1} \frac{1}{1 + \frac{R_o}{R_d}}$$

$$A_V = A_V \Big|_{R_d = \infty} = g_{m1} g_{m2} R_o R_{d1} \quad (6.26.)$$

Reemplazando {6.26.} en {6.25.} resulta:

$$V_T = A_V \cdot V_i \quad (6.27.)$$

$$A_V = A_V \frac{1}{1 + \frac{R_o}{R_d}} \quad (6.28.)$$

Teniendo en cuenta la {6.27.} y la {6.28.} se puede representar el amplificador de tensión en forma generalizada como se ve en la figura 6.10.

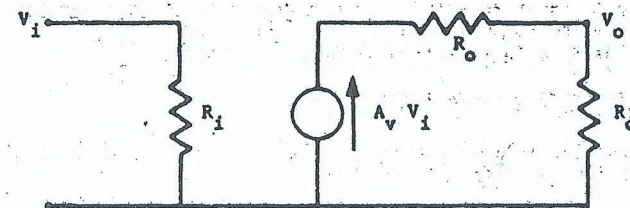


FIGURA 6.10.

Agregando el excitador se tiene (figura 6.11):

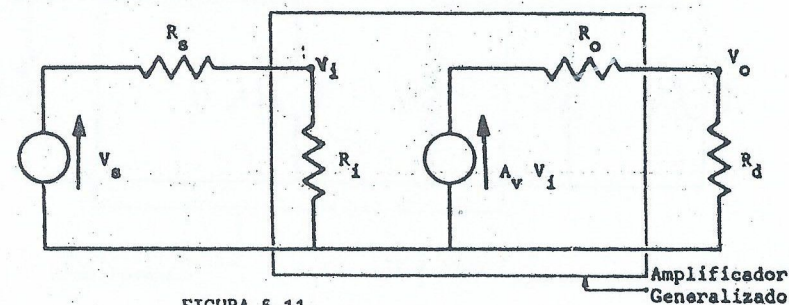


FIGURA 6.11.

De la figura 6.11 surge que:

$$V_i = \frac{R_i}{R_i + R_s} V_s = \frac{1}{1 + \frac{R_s}{R_i}} V_s$$

$$V_o = A_V V_i \frac{R_d}{R_o + R_d} = A_V V_i \frac{1}{1 + \frac{R_o}{R_d}}$$

$$\therefore V_o = A_V \frac{1}{1 + \frac{R_o}{R_d}} \frac{1}{1 + \frac{R_s}{R_i}} V_s \quad (6.29.)$$

Veamos cuáles son las condiciones necesarias de niveles de resistencias para que  $V_o = K V_s$ .

De la ecuación {6.29} surgen como:

$$\begin{aligned} R_i &\gg R_s \\ R_o &\ll R_d \end{aligned} \quad (6.30.)$$



Si en el amplificador en estudio se cumple con los niveles de resistencias estipulados en la ecuación (6.30.) resulta que  $V_o$  es proporcional a  $V_s$ , con independencia de los valores de  $R_s$  y  $R_d$  (mientras se cumpla la (6.30.)).

#### 6.2.4. AMPLIFICADOR DE TRANSRESISTENCIA

De una manera similar a la analizada en el punto 6.2.3. se puede llegar a la siguiente representación de este amplificador:

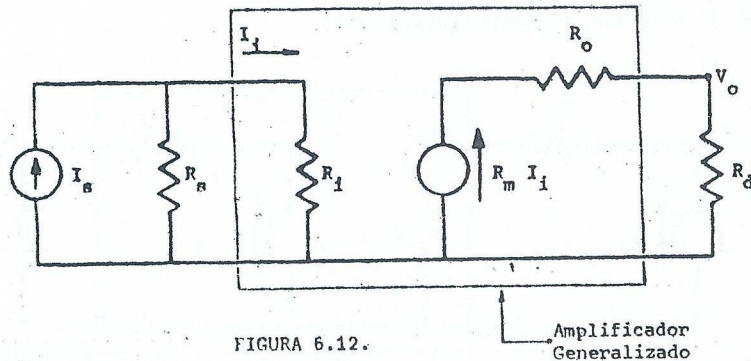


FIGURA 6.12.

Se busca que  $V_o = K I_s$ , con independencia de los valores de  $R_s$  y  $R_d$ . En ese caso se tiene un amplificador de transresistencia. De la figura 6.12 surge que:

$$I_i = I_s \frac{R_s}{R_s + R_i} = \frac{1}{1 + \frac{R_i}{R_s}} I_s$$

$$V_o = R_m I_i \frac{R_d}{R_o + R_d} = R_m I_i \frac{1}{1 + \frac{R_o}{R_d}} \quad (6.31.)$$

$$\therefore V_o = R_m \frac{1}{1 + \frac{R_o}{R_d}} \frac{1}{1 + \frac{R_i}{R_s}} I_s \quad (6.32.)$$

De la (6.31.) se tiene:

$$R_M = \frac{V_o}{I_i} = R_m \frac{1}{1 + \frac{R_o}{R_d}}$$

Vemos que si  $R_d \rightarrow \infty$  (circuito abierto) resulta  $R_m = R_M \mid R_d = \infty$ .

Es decir que  $R_m$  es la ganancia de transresistencia para circuito abierto.

De la ecuación (6.32.) se tiene que cuando se cumple:

$$R_i \ll R_s \quad (6.33.)$$

$$R_o \ll R_d$$

$$V_o = R_m I_s \quad (6.34.)$$

Es decir que la tensión de salida es proporcional a la corriente de excitación con independencia de los valores de  $R_s$  y  $R_d$ . Se tiene entonces un amplificador de transresistencia.

#### 6.2.5. RESUMEN

	UNIDADES DE LA TRANSFERENCIA	NIVELES DE RESISTENCIA
Amplificador de tensión	ADIMENSIONAL	$R_i \gg R_s$ $R_o \ll R_d$
Amplificador de corriente	ADIMENSIONAL	$R_i \ll R_s$ $R_o \gg R_d$
Amplificador de transconductancia	MHO	$R_i \gg R_s$ $R_o \gg R_d$
Amplificador de transresistencia	OHM	$R_i \ll R_s$ $R_o \ll R_d$

#### 6.3. DISTINTAS TOPOLOGIAS DE REALIMENTACION

Se puede muestrear tensión o corriente de la etapa de salida. Se puede reinyectar en la entrada una señal realimentada en serie o bien en paralelo. Se pueden realizar en consecuencia cuatro combinaciones, a saber:

- Muestreando tensión y reinyectando en serie.  $V \rightarrow T$
- Muestreando tensión y reinyectando en paralelo.  $I \rightarrow T-C$
- Muestreando corriente y reinyectando en serie.  $V \rightarrow C-T$
- Muestreando corriente y reinyectando en paralelo.  $I \rightarrow C-C$

##### 6.3.1. REALIMENTACION TENSION - SERIE

Corresponde al caso a) del punto anterior.



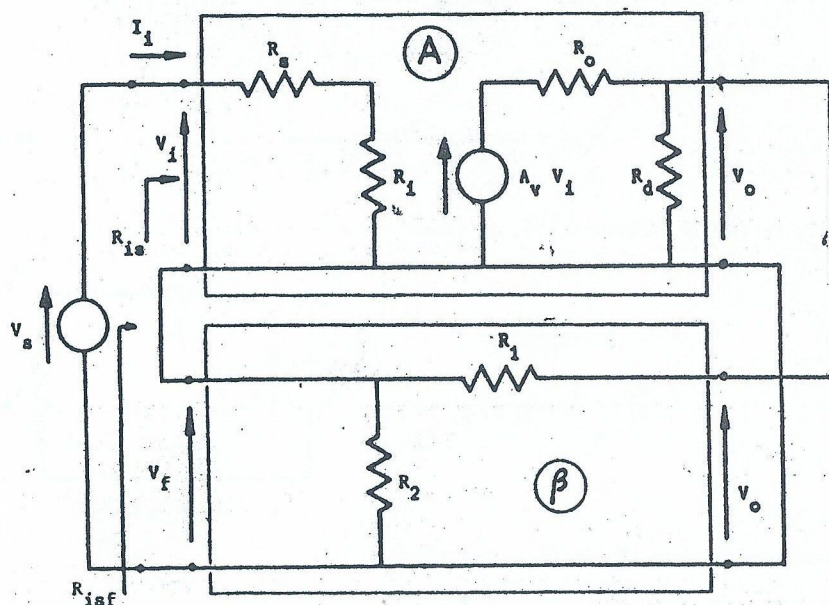


FIGURA 6.13.

El circuito real se separa (ver figura 6.13.) en dos partes:

- 1) El amplificador básico A.
- 2) La red de realimentación  $\beta$ .

El amplificador básico incluye la resistencia  $R_s$  y la resistencia  $R_d$ . Ello permite llegar a expresiones más simples de los niveles de impedancias.

De la malla de entrada, se tiene:

$$R_{is} = \frac{V_i}{I_i} \quad (6.34.)$$

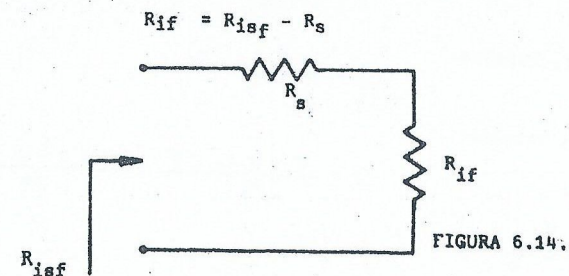
$$\text{y} \quad R_{isf} = \frac{V_s}{I_i} \quad (6.35.)$$

Pero para conservar  $V_o = \text{constante}$ , es  $V_s = D V_i$ , resulta:

$$\dot{R}_{isf} = \frac{V_s}{I_i} = \frac{D V_i}{I_i}$$

$$\therefore R_{isf} = D R_{is} \quad (6.36.)$$

La reinyección en serie tiene como virtud aumentar D veces la resistencia de entrada del sistema, como lo muestra la ecuación {6.36.}. Conclusión: el amplificador realimentado en serie aumenta su resistencia de Entrada. ( $R_{if}$ ) (Ver figura 6.14)



La atenuación  $\beta$  está dada por:

$$\beta = \frac{V_f}{V_o} = \frac{R_2}{R_1 + R_2} \quad (6.37)$$

La malla de  $\beta$  mostrada en la figura 6.13 es una de las más usadas en la realimentación T - S.

Para hallar la resistencia de salida del amplificador realimentado  $R_{of}$  debemos reactivar la señal externa  $V_s$  ( $V_s = 0$ ) hacer  $R_d = \infty$  e inyectar una tensión V a través de las terminales de salida (ver figura 6.15).

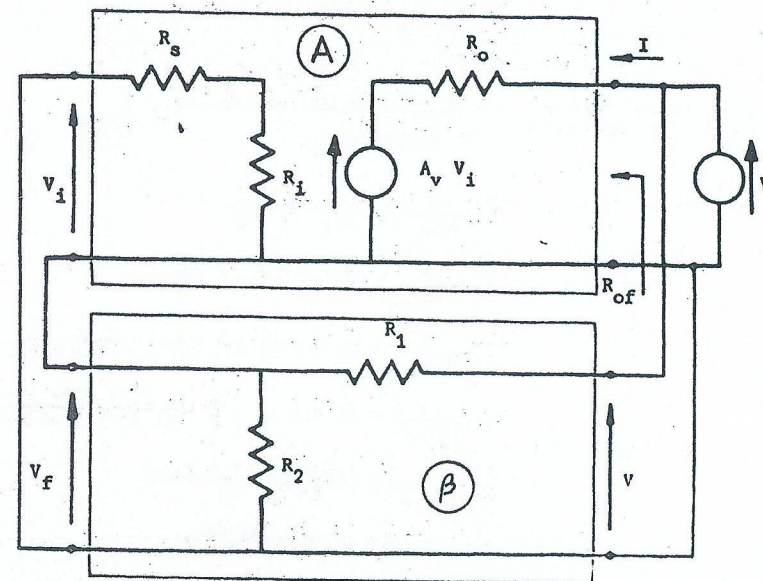


FIGURA 6.15.



$$I = \frac{V - A_v \cdot V_i}{R_o}$$

Como  $V_i = -V_f$ , resulta:

$$I = \frac{V + A_v \cdot V_f}{R_o}$$

Como  $V_f = \beta V_o$ , resulta:

$$I = \frac{V + \beta A_v \cdot V}{R_o} = \frac{V(1 + \beta A_v)}{R_o} \quad (6.38.)$$

Definimos  $R_{of} \equiv \frac{V}{I}$

Por lo tanto, de la ecuación (6.38.), se tiene:

$$R_{of} = \frac{R_o}{1 + \beta A_v} \quad (6.39.)$$

Donde  $A_v$  es la ganancia de tensión a circuito abierto ( $R_d = \infty$ ).

Vemos la resistencia de salida del sistema realimentado (figura 6.16)

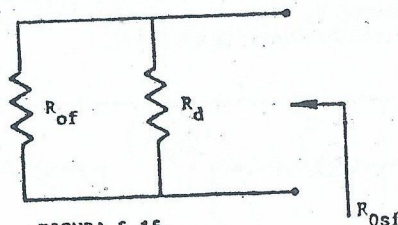


FIGURA 6.16.

$$\frac{1}{R_{0sf}} = \frac{1}{R_{of}} + \frac{1}{R_d}$$

$$\frac{1}{R_{0sf}} = \frac{1 + \beta A_v}{R_o} + \frac{1}{R_d}$$

$$\frac{1}{R_{0sf}} = (1 + \beta A_v) \left[ \frac{1}{R_o} + \frac{1}{R_d(1 + \beta A_v)} \right]$$

$$\frac{1}{R_{0sf}} = (1 + \beta A_v) \left[ \frac{R_d(1 + \beta A_v) + R_o}{R_o R_d(1 + \beta A_v)} \right]$$

$$\frac{1}{R_{0sf}} = \frac{R_o + R_d(1 + \beta A_v)}{R_o R_d}$$

$$R_{0sf} = \frac{R_o R_d}{R_o + R_d(1 + \beta A_v)}$$

$$R_{0sf} = \frac{R_o R_d}{R_o + R_d + \beta A_v R_d}$$

$$R_{0sf} = \frac{R_o R_d}{R_o + R_d} \cdot \frac{1}{1 + \beta A_v \frac{R_d}{R_o + R_d}}$$

Como  $R_{os} = \frac{R_o R_d}{R_o + R_d}$  resulta:

$$R_{0sf} = \frac{R_{os}}{1 + \beta A_v \frac{R_d}{R_o + R_d}} \quad (6.40.)$$

De la malla de salida (figura 6.17), se tiene:

$$V_o = A_v V_i \frac{R_d}{R_o + R_d}$$

$$\therefore A_v = \frac{V_o}{V_i} = A_v \frac{R_d}{R_o + R_d}$$

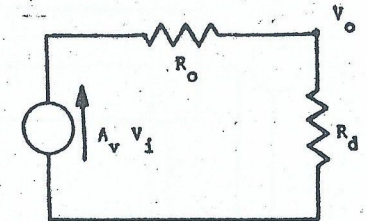


FIGURA 6.17.

Reemplazando en la ecuación (6.40.), se tiene:

$$R_{0sf} = \frac{R_{os}}{1 + \beta A_v}$$

Siendo  $A_v$  la ganancia de tensión con la carga conectada, del amplificador sin realimentar. Por lo tanto:  $D = 1 + \beta A_v$ , y

$$R_{0sf} = \frac{R_{os}}{D} \quad (6.41.)$$

En la figura 6.13 se observa que si el amplificador no está realimentado ( $V_f = 0$ ), queda  $V_s = V_i$  y por lo tanto  $A_v = A_{vs}$ .

Se puede poner entonces:  $D = 1 + \beta A_{vs}$

Se tiene así que la resistencia de salida del sistema del amplificador realimentado es D veces más chica que la resistencia de salida del amplificador sin realimentar.

Conclusión: al realimentar muestreando la tensión de salida, disminuye D veces la resistencia de salida del sistema.

En la figura 6.13 para analizar la realimentación T-S se usó en el amplificador básico A un modelo que corresponde a un amplificador de tensión.

Como se ha visto más arriba se obtuvo que la resistencia de entrada  $R_{if}$  es grande y la de salida  $R_{of}$  es pequeña. Por lo tanto se trata realmente de un amplificador de tensión. (ver 6.2.5.)

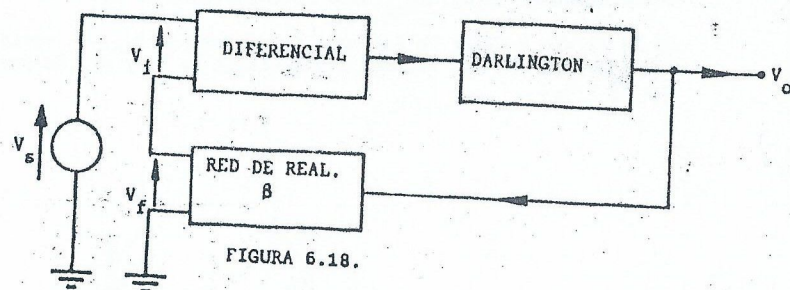
Un amplificador sin realimentar se puede convertir en un amplificador de tensión realimentándolo con la topología T-S.

En este caso la transferencia de tensión es independiente de las variaciones de  $R_s$  y  $R_d$ .

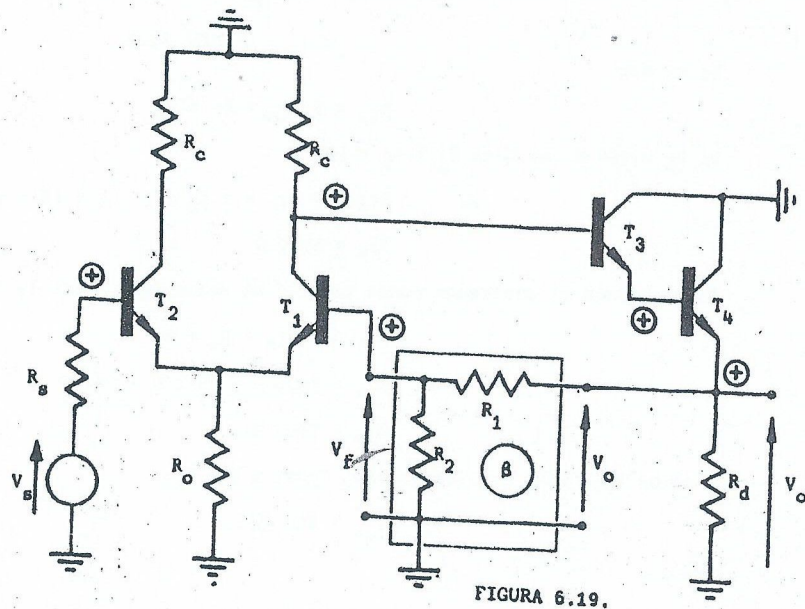


### 6.3.2. EJEMPLO DE REALIMENTACION T-S

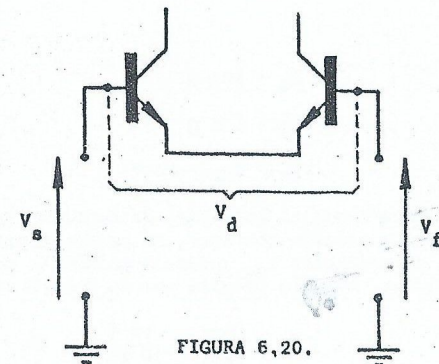
Usamos en el ejemplo un subcircuito diferencial acoplado a un subcircuito Darlington de acuerdo con el diagrama en block de la figura 6.18.



En el amplificador diferencial se inyecta en una entrada la señal y en la otra la realimentación. Se usa para construir el diferencial y su fuente de corriente constante un array CA3086 y para construir el Darlington un array CA 3018. Un circuito dinámico que permite determinar si la realimentación es positiva o negativa es el de la figura 6.19.

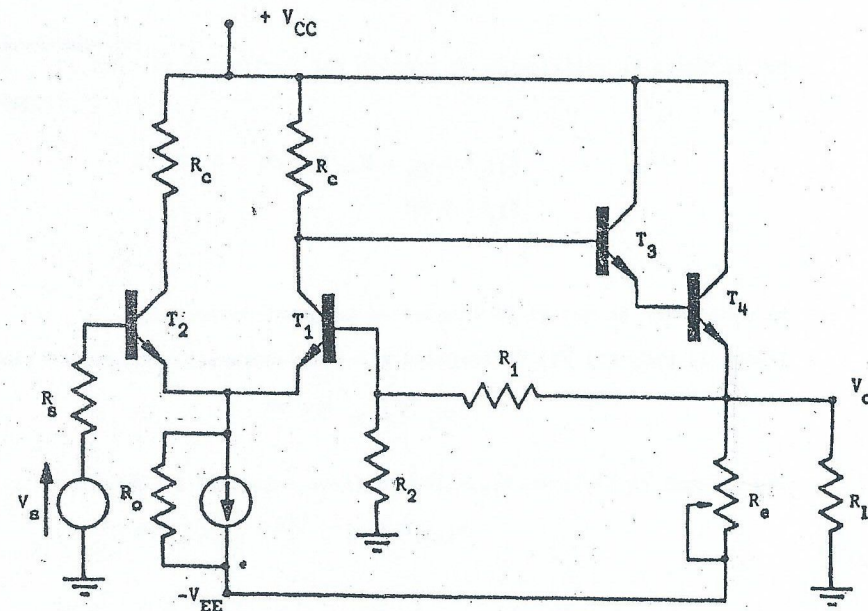


Esquemáticamente, en la figura 6.20, se muestra la entrada del amplificador. Se han despreciado las caídas de tensión en los resistores de entrada.



Se deduce que  $V_d = V_s - V_f$  y como  $V_f$  se opone a  $V_s$ , la realimentación es negativa.

Agregando al circuito de la figura 6.19 la polarización se llega al circuito de la figura 6.21.





Datos:

$$R_g = 100 \Omega$$

$$R_L = 5 \text{ K} \Omega$$

$$V_{CC} = V_{EE} = 10 \text{ V}$$

Se ajusta  $R_e$  de manera que el potencial de continua  $V_{E,T} = 0 \text{ V}$ . Entonces como no hay que bloquear una tensión continua, se puede acoplar  $R_L$  en forma directa. La corriente de polarización  $I_{CQ4}$  circula solamente por  $R_e$ . Si adoptamos una  $I_{CQ4} = 10 \text{ mA}$  resulta que  $R_e$  deberá ajustarse al valor:

$$R_e = \frac{V_{EE}}{I_{CQ4}} = \frac{10 \text{ V}}{10 \text{ mA}} = 1 \text{ K} \Omega$$

Se puede seleccionar un preset de 2K2. La resistencia dinámica de  $T_4$  es:

$$R_{d4} = R_e // R_L = 1 \text{ K} \Omega // 5 \text{ K} \Omega = 833 \Omega$$

De la hoja de datos del CA 3018 resulta que:

$$h_{FE_D} = 7500$$

Por lo tanto la resistencia de entrada del Darlington es:

$$R_{i3} \approx h_{FE_D} \cdot R_{d4} = 7500 \cdot 0,833 \text{ K} \Omega$$

$$R_{i3} \approx 6 \text{ M} \Omega$$

La conclusión es que el Darlington no carga al diferencial.

Veamos la ganancia del diferencial sin realimentarlo. Previamente adoptamos:

$$I_{CQ1} = I_{CQ2} = 1 \text{ mA}$$

con lo cual se tiene un  $h_{fe} = 100$  (hoja de datos del CA 3086). Por lo tanto:

$$h_{ie1} = h_{ie2} = \frac{h_{fe}}{\beta_n} = \frac{100}{40 \text{ mV}} = 2,5 \text{ K} \Omega$$

$$A_{yd} = \frac{R_C}{2 \left( \frac{h_{ie}}{h_{fe}} + \frac{R_S}{h_{fe}} \right)} = \frac{R_C}{2 \left( \frac{2500}{100} + \frac{100}{100} \right)}$$

Si  $R_S = 100$  no afecta a la ganancia el término que lo contiene. Si  $R_S = 2500$  la ganancia  $A_{yd}$  se hace la mitad del caso anterior. Al realimentar en serie, la ganancia realimentada no dependerá, dentro de límites bastante amplios, de  $R_S$ .  $A_{Vsf}$  será independiente de  $R_S$ .

En la figura 6.22 se ve la forma de determinar  $R_{is}$ . La resistencia que "ve" la base de  $T_1$  depende de los valores particulares de  $R_2$  y  $R_1$ . Se puede proyectar de manera que  $R'_S \approx R_S$ .

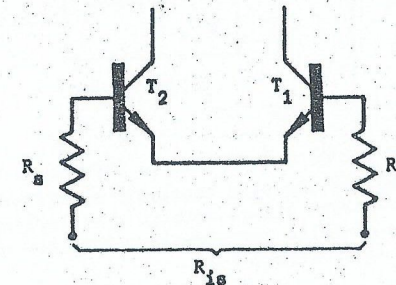


FIGURA 6.22.

Se ve que:

$$R_{is} = 2 h_{ie} + R_S + R'_S$$

Si  $R_S = 100 \Omega$ , se hace  $R'_S \approx R_S = 100 \Omega$

$$\therefore R_{is} = 2 h_{ie} + 2 R_S = 2 \cdot 2,5 \text{ K} \Omega + 2 \cdot 200 \Omega$$

$$R_{is} = 5200 \Omega$$

Si cambiamos el excitador puede cambiar el valor de  $R_S$ . Sea  $R_S = 2 \text{ K} \Omega$ . Se tiene:

$$R_{is} = 2 h_{ie} + R_S + R'_S$$

$$R_{is} = 5000 \Omega + 2500 \Omega + 100 \Omega$$

$$R_{is} = 7600 \Omega$$

Hagamos  $R_{isf}$  (con realimentación) igual a 250 K $\Omega$ .

$$R_{isf} = 250 \text{ K} \Omega$$

Como:

$$R_{isf} = D R_{is}$$

Resulta:

$$D = \frac{R_{isf}}{R_{is}} = \frac{250 \text{ K} \Omega}{7,6 \text{ K} \Omega} = 33$$



Se hace  $D = 33$  para que influya poco la variación de  $R_S$  sobre la ganancia de tensión ( $A_{VSF}$ ). De la hoja de datos del CA 3018 se obtiene la  $V_{BE}$  del Darlington para  $I_{CQ1}$  igual a 10 mA.

$$V_{BE\text{DARLINGTON}} = 1,45 \text{ V}$$

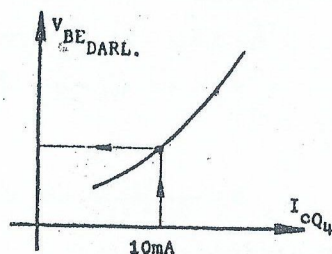


FIGURA 6.22.(a)

Por lo tanto:

$$V_{C1T} = V_{BE\text{DARLINGTON}} = 1,45 \text{ V}$$

La caída de tensión en  $R_C$  es:

$$V_{RC} = V_{CC} - V_{C1T} = 10 - 1,45 = 8,55 \text{ V}$$

y

$$R_C = \frac{V_{RC}}{I_{CQ1}} = \frac{8,55 \text{ V}}{1 \text{ mA}} = 8,55 \text{ K}\Omega \rightarrow 8,2 \text{ K}\Omega \text{ (normalizado)}$$

$$A_{vd} = \frac{R_C}{2 \left( \frac{h_{ie}}{h_{fe}} + \frac{R_S}{h_{fe}} \right)} = \frac{8200 \Omega}{52 \Omega} \approx 157$$

Como la ganancia del Darlington es prácticamente uno, la ganancia del amplificador sin realimentar es igual a  $A_{vd}$ .

La ganancia realimentada es:

$$A_{vdf} = \frac{A_{vd}}{D} = \frac{157}{33} \approx 4,8$$

Para determinar la ganancia del amplificador sin realimentar hay que tener en cuenta la carga que la malla de realimentación introduce en el amplificador básico. Veamos cómo construir el amplificador sin realimentar. Como se está muestreando tensión, para analizar la influencia de  $\beta$  sobre la entrada, se anula la muestra de tensión. Se hace  $V_0 = 0$ . (Ver figura 6.19). Como se ve lo que se hace es eliminar la influencia de la realimentación y al mismo tiempo poner en evidencia la carga que introduce  $\beta$ .

En la figura 6.24 se ve cómo queda el circuito de entrada.

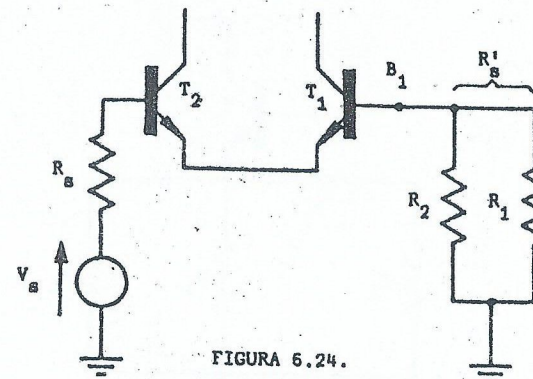


FIGURA 6.24.

En la base  $B_1$  actúa así el paralelo de  $R_2$  y  $R_1$ .

Para analizar la influencia de  $\beta$  en la etapa de salida se abre el circuito en la base  $B_1$  (de manera que no se tenga la tensión de realimentación  $V_f$ ). Ver figura 6.24(a)

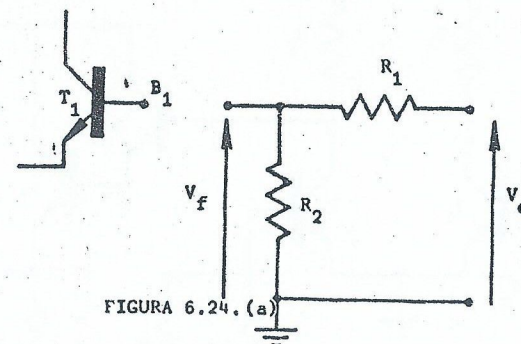


FIGURA 6.24.(a)

OBSERVESE QUE SE MANTIENE EN LA FIGURA 6.24(a) SIN MODIFICAR LA ESTRUCTURA DE  $\beta$ .

Se puede ver cómo queda la etapa de salida en la figura 6.24(b)

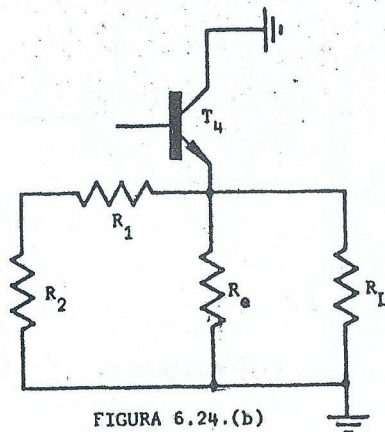


FIGURA 6.24.(b)

El circuito completo es el de la figura 6.25.

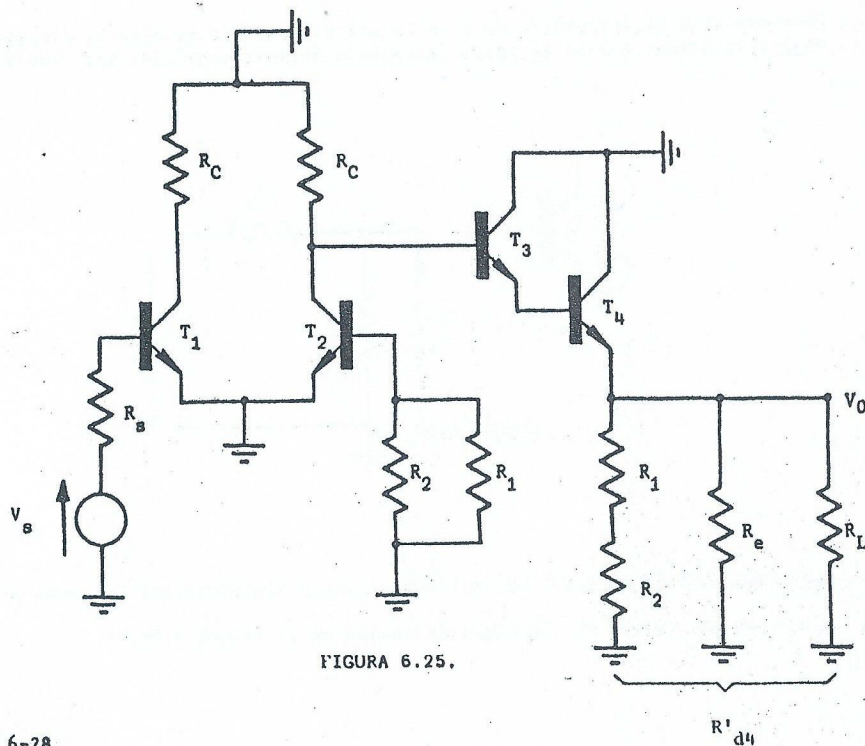


FIGURA 6.25.

Recordemos los datos y los valores hallados a lo largo del proyecto:

$R_S = 100 \Omega$ ;  $R_L = 5 \text{ K}\Omega$ ;  $V_{CC} = V_{EE} = 10 \text{ V}$ ;  $I_{CQ1} = I_{CQ2} = 1 \text{ mA}$ ;  $R_C = 8,2 \text{ K}\Omega$ ;  $R_E = 1 \text{ K}\Omega$ ;

$h_{FE\text{DARL}} = 7500$ ;  $h_{fe1} = h_{fe2} = h_{fe} = 100$

Se había supuesto que la ganancia del DARLINGTON era igual a 1. Bajamos esa ganancia para más seguridad a 0,95. Entonces:

$$A_{VS} = A_{Vd} \cdot A_{V\text{DARL}} = 157 \cdot 0,95 = 149$$

$$D = 1 + \beta \cdot A_{VS} + \beta = \frac{D-1}{A_{VS}} = \frac{33-1}{149} = 0,21$$

De

$$\beta = \frac{R_2}{R_1 + R_2} + R_1 = R_2 \left( \frac{1}{\beta} - 1 \right)$$

Como  $R'_S = R_1 // R_2 \approx 100 \Omega$ , adoptamos  $R_2 = 120 \Omega$ .

$$\therefore R_1 = R_2 \left( \frac{1}{\beta} - 1 \right) = 120 \left( \frac{1}{0,21} - 1 \right) = 451 \Omega$$

Tomamos una  $R_1$  normalizada de  $470 \Omega$ .

$$\therefore R'_S = R_1 // R_2 = 120 \Omega // 470 \Omega = 95,6 \Omega$$

similar al valor propuesto de  $100 \Omega$ .

Como  $R_{d4} = R_E // R_L = 833 \Omega$ , resulta:

$$R'_{d4} = (R_1 + R_2) // R_{d4} = (120 + 470) // 833 = 345 \Omega$$

$$R_{i3} = h_{FE\text{DARL}} \cdot R'_{d4} = 7500 \cdot 345 \Omega = 2,59 \text{ M}\Omega$$

Se sigue cumpliendo que  $R_{i3} \gg R_C$  ( $8 \text{ K}\Omega$ )

El Darlington no carga al diferencial.

VERIFICACION

$$\beta = \frac{R_2}{R_1 + R_2} = \frac{120}{120 + 470} = 0,2$$

$$D = 1 + 0,2 \cdot 149 \approx 31$$

$$A_{VSf} = \frac{A_{VS}}{D} = \frac{149}{31} = 4,8$$

(6.42)

Calculemos la ganancia de tensión para  $R_S = 2,5 \text{ K}\Omega$



$$A_{vd} = \frac{R_C}{2 h_{fe} + R_S + R'_S}$$

$$A_{vd} = \frac{8200 \cdot 100}{5000 + 2500 + 95,6} = 107,95$$

$$A_{VS} = 107,95 \cdot 0,95 = 102,55$$

$$D = 1 + \beta A_{VS} = 1 + 0,2 \cdot 102,55 = 21,51$$

$$A_{VSf} = \frac{A_{VS}}{D} = \frac{102,55}{21,55} = 4,76 \quad \{6.43\}$$

Comparando las ecuaciones [6.42] y [6.43] se demuestra que  $A_{VSf}$  se mantiene prácticamente constante para variaciones de  $R_S$  comprendidas entre:

$$100 \Omega < R_S < 2500 \Omega$$

Esto ocurre porque al aumentar  $R_S$  disminuyen simultáneamente  $A_{VS}$  y  $D$ . (Comparar nuevamente las ecuaciones [6.43] y [6.42]).

Se puede probar si lo anterior se mantiene para menores valores de  $D$ . Esto tiene la ventaja de hacer al amplificador realimentado más estable.

Sea  $D = 15$

Para  $R_S = 100 \Omega$  es  $A_{VS} = 149$

Adoptando  $R_2 = 100 \Omega$ , resulta:

$$R_1 = R_2 \left( \frac{1}{\beta} - 1 \right) = R_2 \left( \frac{A_{VS}}{D-1} - 1 \right)$$

$$R_1 = 120 \Omega \left( \frac{149}{14} - 1 \right) = 1157 \Omega \rightarrow R_1 = 1200 \Omega$$

$$\beta = \frac{R_2}{R_1 + R_2} = \frac{120}{120 + 1200} = 0,091$$

$$D = 1 + \beta A_{VS} = 1 + 0,091 \cdot 149 = 14,56$$

$$A_{VSf} = \frac{149}{14,56} = 10,23 \quad \{6.44\}$$

Para  $R_S = 2500 \Omega$  resulta  $A_{VS} = 102,55$

$$D = 1 + \beta A_{VS} = 1 + 0,091 \cdot 102,55 = 10,33$$

$$A_{VSf} = \frac{102,55}{10,33} = 9,93 \quad \{6.45\}$$

Comparando las ecuaciones 6.44 y 6.45 se ve que  $A_{VSf}$  se mantiene prácticamente constante aún para un  $D = 14,56$ . Al realimentar menos se obtuvo una ganancia superior al doble de la obtenida con  $D = 31$ .

En el gráfico de la figura 6.26 se calcula la resistencia de entrada del amplificador sin realimentar.

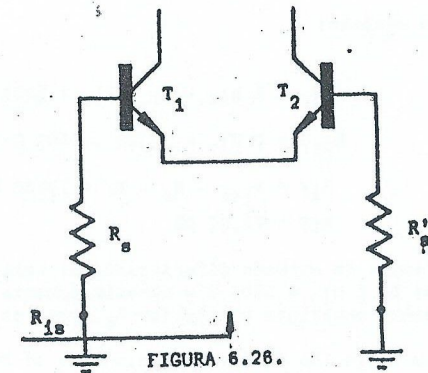


FIGURA 6.26.

$$R_{is} = 2 h_{ie} + R_S + R'_S$$

$$R'_S = R_1 \parallel R_2 = 120 \parallel 1200 = 109 \Omega$$

$$R_{is} = 5000 + 100 + 109 = 5209 \Omega$$

$$R_{isf} = D R_{is} = 14,56 \cdot 5209 = 75,79 \text{ K}\Omega$$

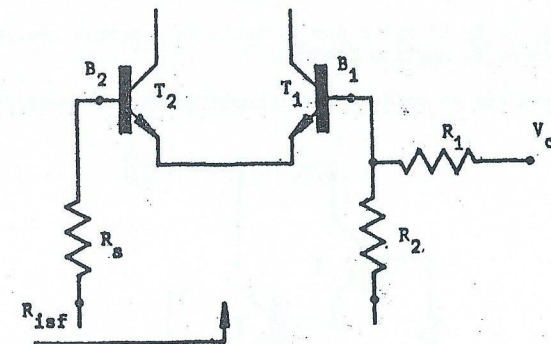


FIGURA 6.27.

Entre las dos bases, se tiene:

$$R_{if} = R_{isf} - R_S - R_2$$

$$R_{if} = 75,79 \text{ K}\Omega - 100 \Omega - 120 \Omega = 75,57 \text{ K}\Omega \quad \{6.46\}$$

Para  $R_B = 2500 \Omega$ , se obtiene:

$$\begin{aligned} R_{iB} &= 2 h_{ie} + R_B + R'_B = 5000 + 2500 + 109 = 7609 \Omega \\ R_{iBf} &= D R_{iB} = 10,33 \cdot 7609 \Omega = 78,6 \text{ K}\Omega \\ R_{if} &= R_{iBf} - R_B - R_2 = 78600 \Omega - 2500 \Omega - 120 \Omega \\ R_{if} &= 75,98 \text{ K}\Omega \end{aligned} \quad (6.47)$$

Como vemos, la resistencia de entrada diferencial, al realimentar en serie, aumenta substancialmente. Pasa de  $2 h_{ie} = 5000 \Omega$  a aproximadamente  $R_{if} \approx 75 \text{ K}\Omega$ . Además,  $R_{if}$  se mantiene prácticamente constante al cambiar  $R_B$ , como se observa al comparar las (6.46) y (6.47);

Veamos qué pasa con la variación de  $R_L$ . Evidentemente si  $R_L$  aumenta respecto del valor nominal de  $5 \text{ K}\Omega$ , también aumenta  $R_{iB}$ .

Por lo tanto  $R_{iB} \gg R_C$  y la ganancia del amplificador sin realimentar no se modifica.  $A_{vs}$  no se modifica. Tampoco el D. Tampoco  $A_{vsf}$ . Debemos analizar qué es lo que pasa si  $R_L$  disminuye. Si  $R_L = 500 \Omega$  en lugar de  $R_L = 5000 \Omega$ , se tiene:

$$\begin{aligned} R'_{d4} &= R_L \parallel R_B \parallel (R_1 + R_2) = 500 \Omega \parallel 1000 \Omega \parallel 1320 \Omega \\ R'_{d4} &= 266 \Omega \\ R_{i3} &= h_{FE\text{DARL}} \cdot R'_{d4} = 7500 \cdot 266 \Omega \approx 2 \text{ M}\Omega \end{aligned}$$

Sigue siendo  $R_{i3} \gg R_C$  ( $8 \text{ K}\Omega$ ) y por lo tanto la ganancia realimentada  $A_{vsf}$  no cambia al variar  $R_L$  dentro de amplios límites.

Veamos la resistencia de salida  $R_o$  del amplificador sin realimentar (fig. 6.28).

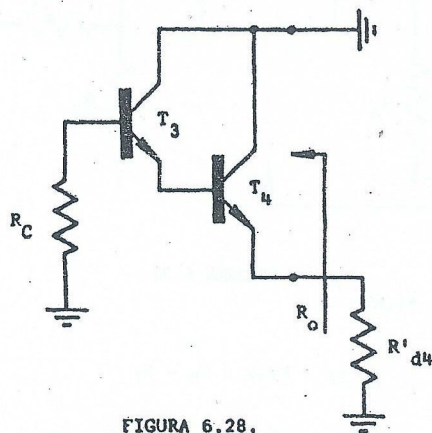


FIGURA 6.28.

El circuito equivalente con nivel de corriente  $I_{e4}$  es el siguiente:

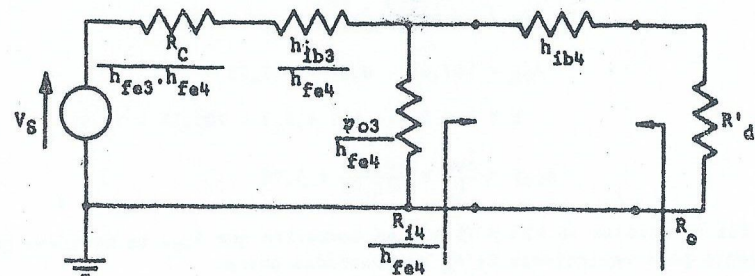


FIGURA 6.29.

El mayor valor de  $R'_{d4}$  corresponde a  $R_L = \infty$ .

Entonces  $R'_{d4} = (R_1 + R_2) \parallel R_C$

$$R'_{d4} = 1320 \Omega \parallel 1000 \Omega = 569 \Omega$$

Estimando  $h_{fe4} = 100$  se tiene:

$$R_{i4} \approx h_{fe4} \cdot R'_{d4} = 100 \cdot 569 \Omega = 56,9 \text{ K}\Omega$$

$$\frac{R_{i4}}{h_{fe4}} = \frac{56900 \Omega}{100} = 569 \Omega$$

$$I_{CQ3} = \frac{I_{CQ4}}{h_{fe4}} = \frac{10 \text{ mA}}{100} = 0,1 \text{ mA}$$

$$r_{o3} = \frac{1}{\eta \cdot g_{m3}} = \frac{1}{3 \cdot 10^{-4} \cdot 40 \cdot 0,1 \cdot 10^{-3}} = 833 \text{ K}\Omega$$

$$\frac{r_{o3}}{h_{fe4}} = \frac{833000 \Omega}{100 \Omega} = 8330 \Omega$$

Entonces:

$$\frac{r_{o3}}{h_{fe4}} \gg \frac{R_{i4}}{h_{fe4}}$$

Por lo tanto se puede simplificar el circuito:



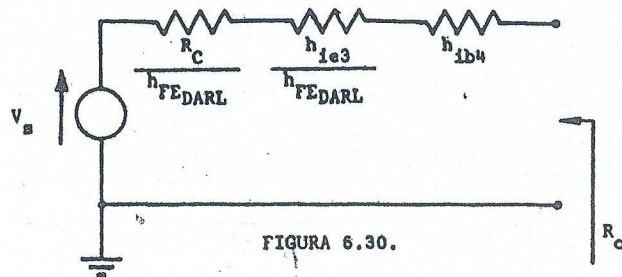


FIGURA 6.30.

$$\frac{R_C}{h_{FE DARL}} = \frac{8200 \Omega}{7500} = 1,1 \Omega$$

$$h_{ie3} = \frac{h_{fe3}}{g_{m3}} = \frac{h_{fe3}}{40 I_{CQ3}} \therefore \frac{h_{ie3}}{h_{FE DARL}} = \frac{h_{fe3}}{40 I_{CQ3} h_{fe3} h_{FE4}}$$

$$\frac{h_{ie3}}{h_{FE DARL}} = \frac{1}{40 I_{CQ3} h_{fe4}} = \frac{1}{40 \cdot 0,1 \cdot 10^{-3} \cdot 100} = 2,5 \Omega$$

$$h_{ib4} = \frac{1}{g_{m4}} = \frac{1}{40 I_{CQ4}} = \frac{1}{40 \cdot 10 \cdot 10^{-3}} = 2,5 \Omega$$

$$R_o = h_{ib4} + \frac{h_{ie3}}{h_{FE DARL}} + \frac{R_C}{h_{FE DARL}} = 2,5 \Omega + 2,5 \Omega + 1,1 \Omega = 6,1 \Omega$$

$$R_{os} = R_o \parallel R'_{d4} = 6,1 \Omega \parallel R'_{d4} = 6,1 \Omega$$

Ya que  $R_o \ll R'_{d4}$ ,

La resistencia de salida realimentada, del sistema, es:

$$R_{osf} = \frac{R_{os}}{D} = \frac{6,1 \Omega}{14,56} = 0,42 \Omega$$

En la figura 6.31 se observa  $R_{of}$ :

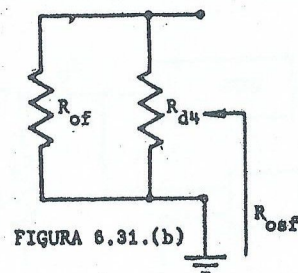


FIGURA 6.31.(b)

$$R_{osf} = R_{of} \parallel R_{d4}$$

$$\frac{1}{R_{osf}} = \frac{1}{R_{of}} + \frac{1}{R_{d4}}$$

$$\frac{1}{R_{of}} = \frac{1}{R_{osf}} - \frac{1}{R_{d4}}$$

Como  $R_{d4} \gg R_{osf}$  resulta:

$$R_{of} \approx R_{osf} = 0,4 \Omega$$

VERIFICACION DE LA GANANCIA DEL DARLINGTON SIN REALIMENTAR

Para  $R_L = 500 \Omega$  es  $R'_{d4} = 266 \Omega$

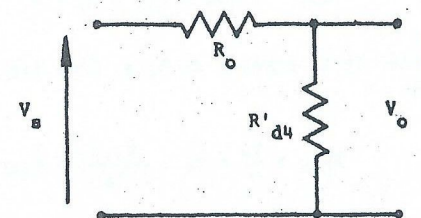
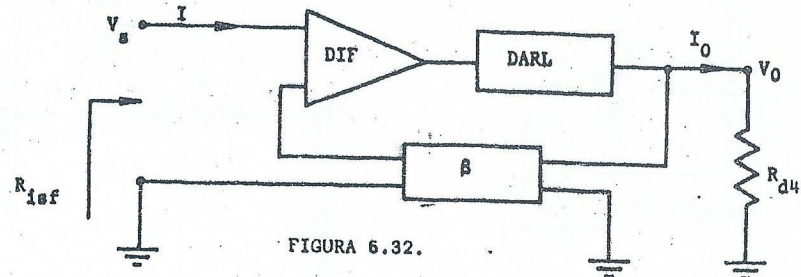


FIGURA 6.31.(c)

$$A_{V_{DARL}} = \frac{R'_d}{R_0 + R'_d} = \frac{266}{6,1 + 266} = 0,977 > 0,95$$

Veamos las otras transferencias del amplificador realimentado (figura 6.32):



$$R_{d4} = R_e || R_L$$

La transferencia de tensión  $A_{Vsf} = \frac{V_o}{V_s}$  es la que no cambia al variar  $R_E$  y  $R_L$ .

$$G_{Msf} = \frac{I_0}{V_s} = \frac{V_0}{R_{d4}} \cdot \frac{1}{V_s} = \frac{A_{vsf}}{R_{d4}}$$

La transferencia de transconductancias depende de  $R_d$ , y por lo tanto de  $R_L$ .

$$A_{Isf} = \frac{I_0}{I} = \frac{V_0}{R_{d_b}} \cdot \frac{R_{isf}}{V_s}$$

ya que  $I = \frac{V_s}{R_{isf}}$

$$A_{Isf} = A_{Vsf} \cdot \frac{R_{Isf}}{R_{d4}}$$

$$R_{isf} = D R_{is} = R_{if} + R_s + R'$$

Por lo tanto  $A_{isf}$  depende de  $R_s$  através de  $R_{isf}$ . Como  $R_{if} \gg R_s$  la dependencia prácticamente es muy pequeña.

$$R_{Msf} = \frac{V_0}{I} = V_0 \cdot \frac{R_{isf}}{V_s} = A_{vsf} \cdot R_{isf}$$

### 6.3.3. REALIMENTACION TENSION-PARALELO

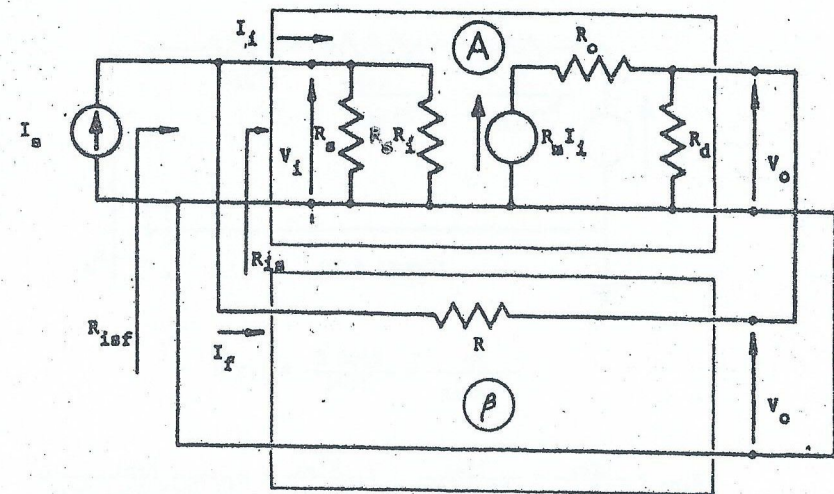


FIGURA 6.33.

Al estar muestreando la tensión de salida es  $R_{0sf} = \frac{R_{0R}}{D}$  como ya se demostró.

Analicemos la resistencia de entrada:

$$R_{is} = \frac{V_i}{I_i}$$

$$R_{isf} = \frac{V_i}{I_s} = \frac{V_i}{D I_f}$$

$$\therefore R_{isf} = \frac{R_{is}}{D} \quad (6.48)$$

La realimentación en paralelo proporciona el método adecuado para disminuir la resistencia de entrada de un amplificador.

De la malla de entrada:

$$I_s = I_f + I_i \quad \therefore I_i = I_s - I_f \quad (6.49)$$

La ecuación (6.49) establece que la realimentación es negativa, ya que  $I_f$  se opone a  $I_g$ . Debe observarse detenidamente el sentido de la corriente  $I_f$ . Se ve por el sentido de  $I_f$  que se extrae señal de la entrada. En el caso que  $I_f$  tenga sentido opuesto al indicado en la figura 6.33, la realimentación es positiva.

En la malla  $\beta$  se muestra un caso típico de malla de realimentación constituido por una simple resistencia  $R$ .



$$I_f = \frac{V_i - V_o}{R}$$

Como  $|V_o| \gg |V_i|$  resulta:

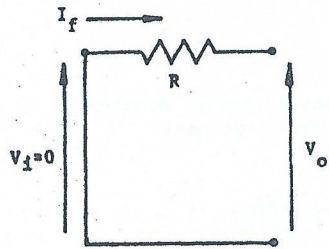


FIGURA 6.34.

$$I_f = -\frac{V_o}{R} \quad (6.50)$$

$$\beta = \frac{I_f}{V_o} = -\frac{1}{R} \quad (6.51)$$

#### 6.3.4 EJEMPLO DE REALIMENTACION T-P

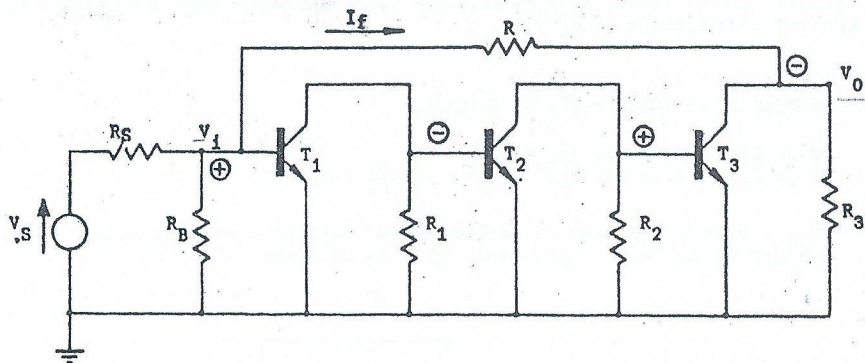


FIGURA 6.35

Usamos en el ejemplo, como se ve en la figura 6.35, tres etapas acopladas en la configuración de EC.

El sentido de  $I_f$  nos dice que la realimentación es negativa.

Estando la malla de realimentación formada solamente por el resistor R resulta  $I_f$  de terminada por la ecuación (6.50) y  $\beta$  por la ecuación (6.51). Los datos son:

$$R_S = 50 \, \Omega \quad R_B = 50 \, \text{k}\Omega \quad R = 7,5 \, \text{k}\Omega \quad R_1 = R_2 = 1 \, \text{k}\Omega$$

$$R_3 = 100 \, \Omega \quad I_{CQ1} = I_{CQ2} = 1 \, \text{mA} \quad h_{fe} = 200 \quad I_{CQ3} = 2 \, \text{mA}$$

$$\text{Por lo tanto: } g_{m1} = g_{m2} = 40 \, I_{CQ1} = 40 \, \text{mS}$$

$$g_{m3} = 40 \, I_{CQ3} = 80 \, \text{mS}$$

$$h_{ie1} = h_{ie2} = \frac{h_{fe}}{g_{m1}} = \frac{200}{40 \, \text{mS}} = 5 \, \text{k}\Omega$$

$$h_{ie3} = \frac{h_{fe}}{g_{m2}} = \frac{200}{80 \, \text{mS}} = 2,5 \, \text{k}\Omega$$

Tenemos que analizar si la fuente con que se excita el circuito es la que corresponde. Es decir, tenemos que evaluar si la expresión de la resistencia de entrada  $R_{is}$  anteriormente deducida (ecuación (6.48)) es cierta o no cuando el excitador es un generador de Thevenin. Vemos que  $R_{is}$  fue deducida a partir de un generador de Norton. Entonces transformamos el generador de Thevenin en un generador de Norton, y lo reemplazamos en la figura 6.35. Pasamos así, a la figura 6.36, donde  $I_N = \frac{V_S}{R_S}$ .

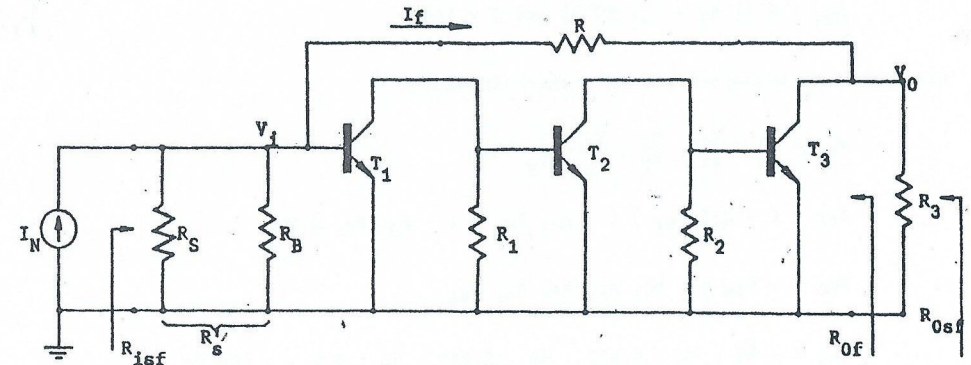


FIGURA 6.36

Determinación del circuito del amplificador sin realimentar: para ver cómo carga la malla de realimentación al circuito de entrada, se anula la muestra que se está muestreando. En este caso se anula  $V_o$  con lo cual R queda conectada entre base uno ( $B_1$ ) y tierra. En la entrada tenemos:  $R \parallel R_{is}$ .

Para ver cómo carga la malla de realimentación a la etapa de salida se debe anular el efecto de la realimentación en la entrada pero sin alterar la señal realimentada ( $I_f$ ).

Esto se consigue haciendo  $V_i = 0$  (no se altera  $I_f$ ). En este caso R queda en paralelo con  $R_3$ .

El circuito del amplificador sin realimentar es el de la figura 6.37.



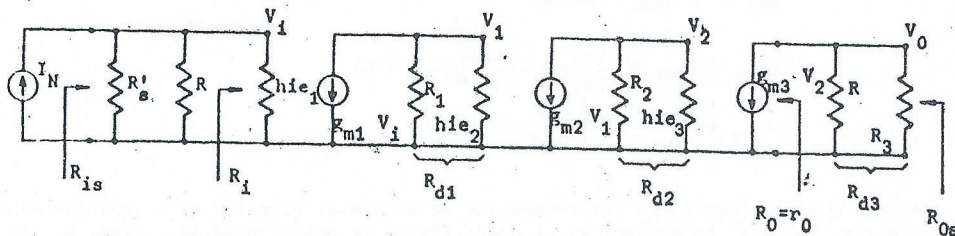


FIGURA 6.37

$$R_{is} = R'_s \parallel R \parallel h_{ie1} \approx R_s = 50 \, \Omega$$

$$R_{d1} = R_1 \parallel h_{ie2} = 1 \, \text{K}\Omega \parallel 5 \, \text{K}\Omega = 833 \, \Omega$$

$$R_{d2} = R_2 \parallel h_{ie3} = 1 \, \text{K}\Omega \parallel 2,5 \, \text{K}\Omega = 714 \, \Omega$$

$$R_{d3} = R \parallel R_3 = 7,5 \, \text{K}\Omega \parallel 100 \, \Omega \approx 100 \, \Omega$$

Hallaremos la transferencia de transresistencia:

$$R_{MS} = \frac{V_0}{I_N} = \frac{V_0}{V_2} \cdot \frac{V_2}{V_1} \cdot \frac{V_1}{V_i} \cdot \frac{V_i}{I_N}$$

$$R_{MS} = (-g_{m3} R_{d3}) (-g_{m2} R_{d2}) (-g_{m1} R_{d1}) R_{is}$$

$$R_{MS} = -R_{is} g_{m1} R_{d1} g_{m2} R_{d2} g_{m3} R_{d3}$$

$$R_{MS} = -50 \cdot 40 \cdot 0,833 \cdot 40 \cdot 0,714 \cdot 80 \cdot 0,1 = -380 \, \text{K}\Omega$$

$$R_{MS} = -380 \, \text{K}\Omega$$

$$\beta = -\frac{1}{K} = -\frac{1}{7,5 \, \text{K}\Omega}$$

$$D = 1 + \beta R_{MS} = 1 + \frac{380 \, \text{K}\Omega}{7,5 \, \text{K}\Omega} = 51,66$$

$$D = 51,66$$

Cálculo de la ganancia realimentada:

$$R_{Msf} = \frac{R_{MS}}{D} = \frac{-380 \, \text{K}\Omega}{51,66} = 7355 \, \Omega$$

$$R_{Msf} = 7355 \, \Omega$$

Analicemos lo que pasa al modificar  $R_s$ .

Duplicuemos  $R_s + R_s = 100 \, \Omega$

Resultado:  $R_{is} \approx 100 \, \Omega$  y  $R_{MS} = -760 \, \text{K}\Omega$

$\therefore D = 102,3$  y  $R_{Msf} = -7429 \, \Omega$

Vemos que la ganancia cambia muy poco. Se observa que al aumentar  $R_s$  la ganancia realimentada  $R_{Msf}$  tiende a  $R$  ( $7500 \, \Omega$ ). Esto es lógico ya que:

$$R_{Msf} = \frac{R_{MS}}{D} = \frac{R_{MS}}{1 + \beta R_{MS}}$$

y para  $\beta R_{MS} \gg 1$  resulta:

$$R_{Msf} \approx \frac{1}{\beta} = -R$$

La ganancia realimentada tiende a  $R$  y por lo tanto se independiza de los parámetros dinámicos de los transistores.

Si se duplica la carga  $R_3$  se produce una situación exactamente igual a la narrada arriba. Por lo tanto,  $R_{Msf}$  se mantiene aproximadamente constante dentro de ciertos límites de variación de  $R_s$  y  $R_3$ .

#### CALCULO DE LA RESISTENCIA DE ENTRADA

De la figura 6.37 es:  $R_{is} \approx 50 \, \Omega$

De la figura 6.36 es:  $R_{isf} = \frac{R_{is}}{D} = \frac{50 \, \Omega}{51,66} = 0,96 \, \Omega$

$R_{isf} = 0,96 \, \Omega$  (Resistencia de entrada del amplificador realimentado vista por el generador de Norton). Despreciando  $R_B \gg R_s$  se tiene:

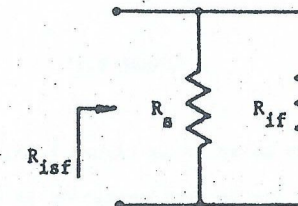


FIGURA 6.38.

$$R_{isf} = R_s \parallel R_{if} \quad \therefore R_{if} = \frac{R_{isf} \cdot R_s}{R_s - R_{isf}}$$

$$R_{if} = \frac{50 \cdot 0,96}{50 - 0,96} = 0,98 \Omega$$

Notemos que  $R_{if} \neq \frac{R_i}{D}$  ya que  $\frac{R_i}{D} = \frac{h_{ie1}}{D} = \frac{5000 \Omega}{51,66} = 97 \Omega$

De acuerdo con la ecuación {6.52} la realimentación en paralelo tiende a establecer un corto en el transistor de entrada.

CALCULO DE RESISTENCIA DE SALIDA

$$R_{osf} = \frac{R_{os}}{D}$$

Para  $R_3 = 100 \Omega$  es  $R_{os} \approx R_3 = 100 \Omega$

Como  $D = 51,66$ , resulta:

$$R_{osf} = \frac{R_{os}}{D} = 1,93 \Omega$$

$$R_{osf} = 1,93 \Omega$$

De la figura 6.39 se puede hallar  $R_{of}$ :

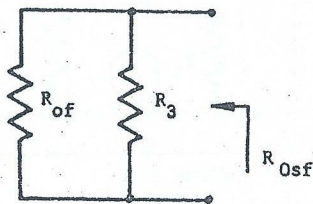


FIGURA 6.39.

$$\therefore R_{of} = \frac{R_{osf} \cdot R_3}{R_3 - R_{osf}} \quad (6.53)$$

$$R_{of} = \frac{100 \cdot 1,93}{100 - 1,93} = 1,96 \Omega$$

Como se ve al muestrear tensión disminuye apreciablemente la resistencia de salida. Debe tenerse en cuenta que sin realimentar  $R_o = r_o$ , que normalmente está comprendida entre 50 y 100 kΩ. Al realimentar en paralelo disminuye apreciablemente la resistencia de entrada ( $R_{if} = 0,98 \Omega$ ). La resistencia de entrada sin realimentar es  $R_i = h_{ie1} = 5000 \Omega$ .

El circuito de la figura 6.35 se representa esquemáticamente en la figura 6.40.

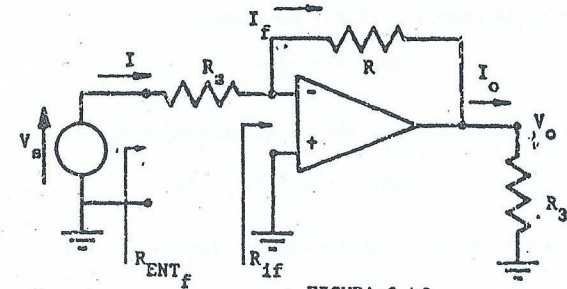


FIGURA 6.40.

No se incluye  $R_B$ , ya que  $R_{if} \ll R_B$ .

De la figura 6.40 se obtiene la ganancia de tensión del amplificador realimentado.

$$A_{vsf} = \frac{V_o}{V_s} = \frac{V_o}{I_N \cdot R_s} \quad (6.54)$$

Considerando  $R_{if} = 0 \Omega$ , se tiene que la corriente que circula por  $R_s$  es:

$$I = I_N = \frac{V_s}{R_s} \quad (\text{figura 6.41})$$

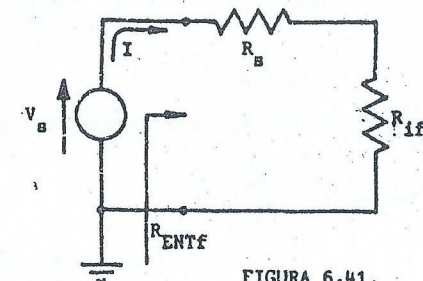


FIGURA 6.41.

$$I = \frac{V_s}{R_s + R_{if}} \approx \frac{V_s}{R_s} = I_N$$

De la ecuación {6.54} se obtiene:

$$A_{vsf} = \frac{V_o}{I_N \cdot R_s} = \frac{R_{Msf}}{R_s} \quad (6.55)$$

Cuando el amplificador está muy realimentado, se tiene:

$$R_{Msf} \approx \frac{1}{\beta} = -R$$



y reemplazando en la ecuación (6.55) se tiene:

$$A_{Vsf} = - \frac{R}{R_S} \quad (6.56)$$

La resistencia de entrada  $R_{ENTf}$  que ve el generador  $V_S$  es:

$$R_{ENTf} = R_S + R_{if} \approx R_S \quad (6.57)$$

Para los dos valores de  $R_S$  ya analizados se obtiene:

$R_S$	$R_{Msf}$	$A_{Vsf}$	$R_{ENTf}$
50 $\Omega$	- 7355 $\Omega$	- 147,1	50 $\Omega$
100 $\Omega$	- 7429 $\Omega$	- 74,29	100 $\Omega$

$R_{Msf}$  es la única transferencia que no cambia al variar  $R_S$  y  $R_i$ .

$A_{Vsf}$  cambia con la variación de  $R_S$ .

Si  $V_0 = 5$  V, se puede obtener  $V_S$  así:

$$A_{Vsf} = \frac{V_0}{V_S} \therefore V_S = \frac{V_0}{|A_{Vsf}|} = \frac{5 \text{ V}}{147,1} = 34 \text{ mV}$$

$$V_S = 34 \text{ mV}$$

De la figura 6.42 se puede obtener  $V_i$  en la entrada del amplificador:

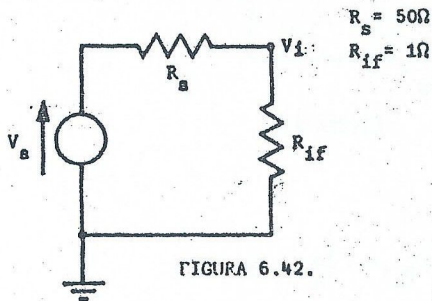


FIGURA 6.42.

La ganancia de corriente (figura 6.40) y (figura 6.41) es:

$$A_{Isf} = \frac{I_0}{I_N} = \frac{V_0}{R_S} \cdot \frac{1}{I_N} = \frac{R_{Msf}}{R_S} \quad (6.58)$$

$$A_{Isf} \approx - \frac{R}{R_S} \quad (6.59)$$

Depende de  $R_S$ .

La ganancia de transconductancia es:

$$G_{Msf} = \frac{I_0}{V_S} = \frac{V_0}{R_S} \cdot \frac{1}{I_N \cdot R_S} \quad (6.59)$$

$$G_{Msf} \approx - \frac{R}{R_S \cdot R_S} \quad \text{Depende de } R_S \text{ y } R_S \quad (6.60)$$

### 6.3.5 REALIMENTACION CORRIENTE-SERIE (C-S)

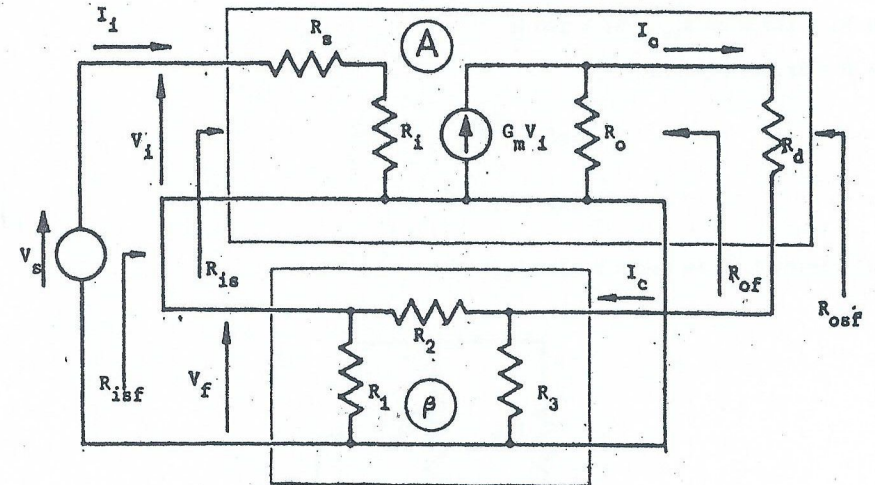


FIGURA 6.43.

De la figura 6.43 se obtiene:

$$V_f = \beta I_c \therefore \beta = \frac{V_f}{I_c} [\Omega] \quad (6.61)$$

Se busca la siguiente transferencia:

$$G_{Msf} = \frac{I_c}{V_S} [U] \quad (6.62)$$

Por realimentarse en serie:

$$R_{isf} = D R_{is} \quad (6.63)$$

Por medio de la figura 6.44 obtenemos la resistencia de salida.

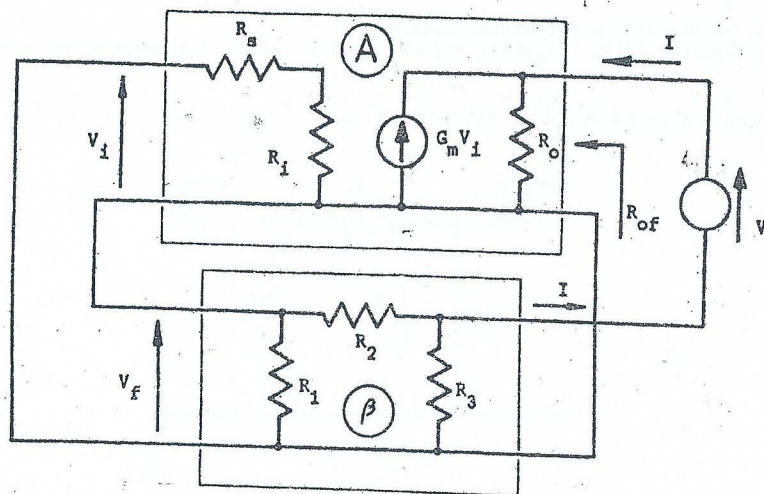


FIGURA 6.44.

$$V_s = V_i + V_f = 0 \quad \therefore \quad V_i = -V_f$$

$$V_f = -\beta I \quad (I \text{ tiene sentido opuesto a } I_c \therefore \text{ surge el signo menos})$$

$$V_i = -V_f = -(-\beta I) = \beta I$$

Como  $R_0 \gg$  que la resistencia de entrada de  $\beta$  queda:

$$I = \frac{V}{R_0} - G_m \cdot V_i = \frac{V}{R_0} - G_m \cdot \beta I$$

$$I (1 + \beta G_m) = \frac{V}{R_0}$$

$$R_{of} = \frac{V}{I} = R_0 (1 + \beta G_m) \quad (6.64)$$

Generalmente se muestrea corriente por medio de un  $R_e$  sin puentear (figura 6.45):

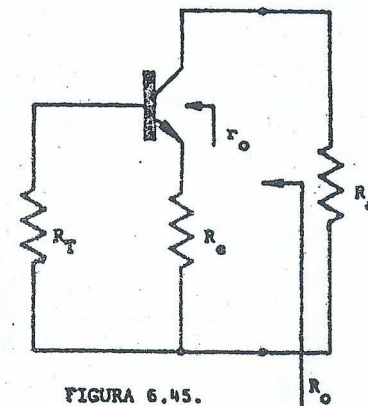


FIGURA 6.45.

$$R_0 = r_o \left( 1 + \frac{h_{fe} R_e}{R_e + h_{ie} + R_T} \right) \quad (6.65)$$

Se puede hacer el siguiente circuito equivalente:

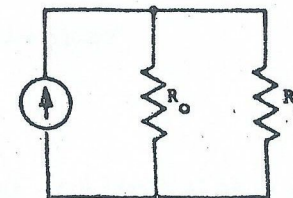


FIGURA 6.46.

De acuerdo con la ecuación {6.65} es generalmente  $R_0 > 1 \text{ M}\Omega$ . Por lo tanto, habitualmente  $R_0 \gg R_d$ .

Como:  $G_m = G_M |_{R_d = 0}$  resulta al ser  $R_0 \gg R_d$  que:  $G_m = G_M$ .

Por lo tanto:  $R_{of} = R_0 (1 + \beta G_m) \approx R_0 (1 + \beta G_M)$

Como  $D = 1 + \beta G_M$  resulta:

$$R_{of} \approx R_0 \cdot D \quad (6.66)$$

En la figura 6.43 se observa que si el amplificador no está realimentado queda  $V_s = V_i$  y por lo tanto  $G_M = G_{Ms}$ .

Se puede entonces poner:  $D = 1 + G_{Ms}$



### 6.3.6 EJEMPLO DE REALIMENTACION C-5

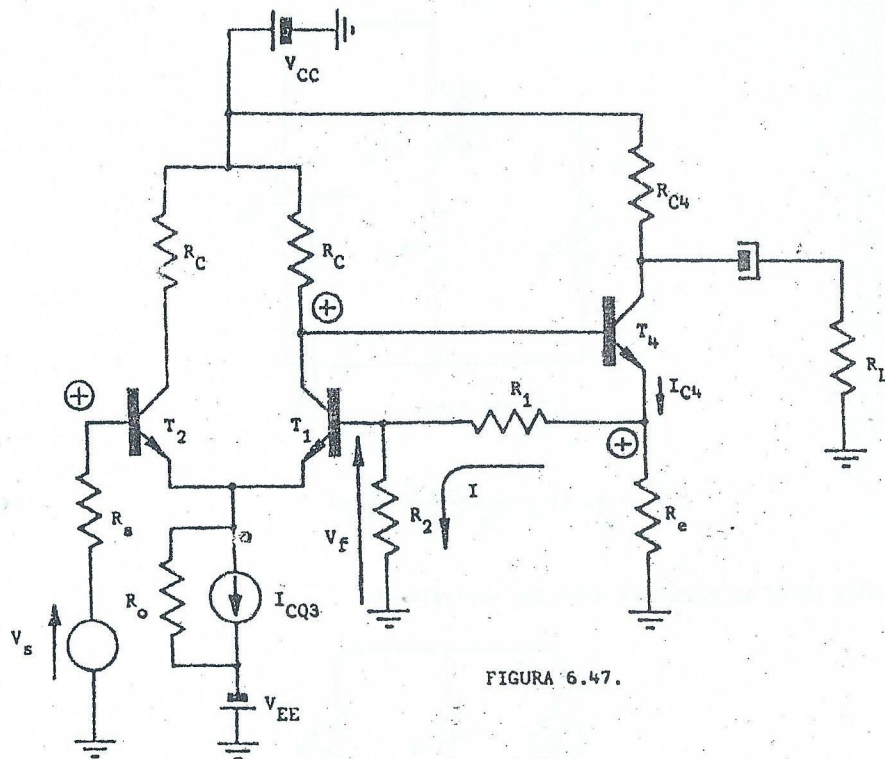


FIGURA 6.47.

Usamos en el ejemplo, como se ve en la figura 6.47, una etapa diferencial seguida por una etapa  $R_e$  sin puentear.

Los datos son: CA 3086  $V_{CC} = V_{EE} = 10 \text{ V}$   $I_{CQ3} = 2 \text{ mA}$   
 $R_S = 1 \text{ K}\Omega$   $R_L = 50 \text{ K}\Omega$   $R_C = 8,2 \text{ K}\Omega$   $R_{C4} = 6,8 \text{ K}\Omega$   
 $R_E = 1,2 \text{ K}\Omega$   $R_2 = 1,2 \text{ K}\Omega$   $R_1 = 12 \text{ K}\Omega$

$$I_{CQ1} = I_{CQ2} = \frac{I_{CQ3}}{2} = \frac{2 \text{ mA}}{2} = 1 \text{ mA}$$

$$V_{C1T} = V_{CC} - I_{CQ1} R_C = 10 - 1 \text{ mA} \cdot 8,2 \text{ K}\Omega = 1,8 \text{ V}$$

$$V_{CEQ1} = V_{C1T} + 0,7 = 1,8 + 0,7 = 2,5 \text{ V}$$

$$V_{E4T} = V_{C1T} - V_{BE4} = 1,8 - 0,7 = 1,1 \text{ V}$$

$$I_{CQ4} = \frac{V_{E4T}}{R_E} = \frac{1,1 \text{ V}}{1,2 \text{ K}\Omega} = 0,92 \text{ mA}$$

$$V_{C4T} = V_{CC} - I_{CQ4} R_{C4} = 10 \text{ V} - 0,92 \text{ mA} \cdot 6,8 \text{ K}\Omega = 3,74 \text{ V}$$

$$V_{CEQ4} = V_{C4T} - V_{E4T} = 3,74 \text{ V} - 1,1 \text{ V} = 2,64 \text{ V}$$

Se ve que ningún transistor satura.

El sentido de  $V_f$  (figura 6.47) nos indica que la realimentación es negativa.

#### ANÁLISIS DE LA MALLA DE REALIMENTACION $\beta$

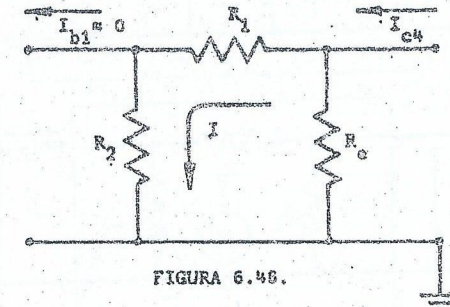


FIGURA 6.48.

$$I = I_{C4} \frac{R_E}{R_E + R_1 + R_2}$$

$$V_f = I \cdot R_2 = I_{C4} \frac{R_2 R_E}{R_E + R_1 + R_2}$$

$$\beta = \frac{V_f}{I_{C4}} = \frac{R_2 R_E}{R_E + R_1 + R_2}$$

[6.67]

$$\beta = \frac{1,2 \text{ K}\Omega \cdot 1,2 \text{ K}\Omega}{1,2 \text{ K}\Omega + 12 \text{ K}\Omega + 1,2 \text{ K}\Omega} = 100 \Omega$$

#### ANÁLISIS DEL AMPLIFICADOR SIN REALIMENTAR

Para ver cómo carga el lazo de realimentación a la entrada, anulamos la señal muestreada:  $I_{C4} = 0$ . Por lo tanto, abrimos el circuito en el emisor de  $T_1$ . Al hacerlo, queda  $(R_1 + R_E)$  en paralelo con  $R_2$ . Podemos llamar  $R'_B$  a ese paralelo:

$$R'_B = R_2 \parallel (R_1 + R_E)$$

$$R'_B = 1,2 \text{ K}\Omega \parallel (1,2 \text{ K}\Omega + 12 \text{ K}\Omega) = 1,1 \text{ K}\Omega$$

$$\text{Hacemos: } R_D = R_{C4} \parallel R_L = 6,8 \text{ K}\Omega \parallel 50 \text{ K}\Omega = 6 \text{ K}\Omega$$



Para ver cómo carga el lazo de realimentación a la salida del amplificador hacemos que no actúe la realimentación en la base  $B_1$  del diferencial, pero sin alterar el lazo de realimentación. Para ello hacemos  $I_{B1} = 0$ . Observando la figura 6.48 se ve que no se alteró el lazo de realimentación. Por lo tanto abrimos el circuito en la base de  $T_1$ . Al hacerlo queda  $(R_1 + R_2)$  en paralelo con  $R_E$ . Llamando  $R_{e4}$  a ese paralelo:

$$R_{e4} = R_E \parallel (R_1 + R_2)$$

$$R_{e4} = 1,2 \text{ K}\Omega \parallel (12 \text{ K}\Omega + 1,2 \text{ K}\Omega) = 1,1 \text{ K}\Omega$$

En forma esquemática el amplificador sin realimentar se observa en la figura 6.49.

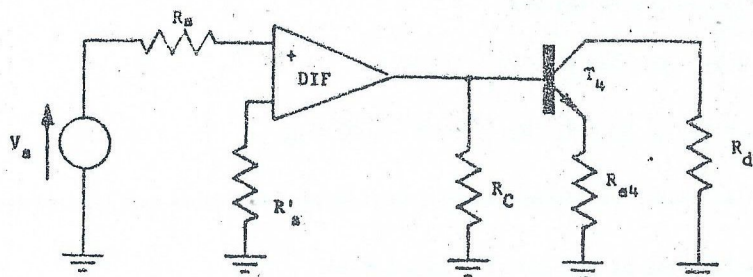


FIGURA 6.49

Reemplazamos el transistor  $T_4$  por su circuito equivalente:

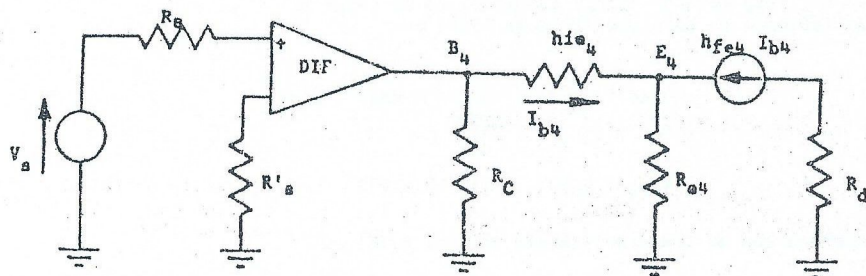


FIGURA 6.50

Desdoblado el generador controlado se llega a la figura 6.51

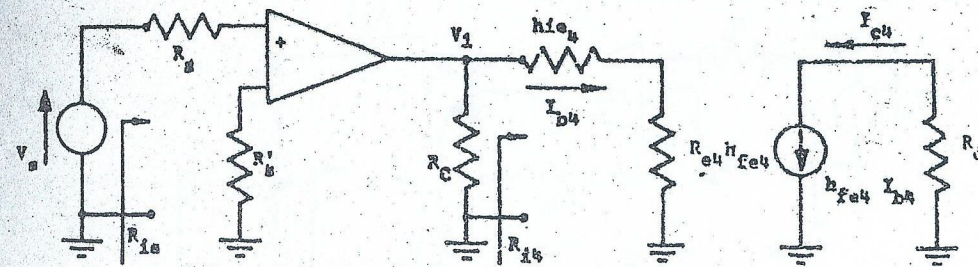


FIGURA 6.51

Para  $I_{CQ4} = 0,92 \text{ mA}$  y también para  $I_{CQ1} = I_{CQ2} = 1 \text{ mA}$  el  $h_{fe} = 100$  (Hoja de datos)

$$h_{ie4} = \frac{h_{fe4}}{\beta_{ac4}} = \frac{h_{fe4}}{40 \cdot I_{CQ4}} = \frac{100}{40 \cdot 0,92 \text{ mA}} = 2,7 \text{ K}\Omega$$

$$h_{ie1} = 2,5 \text{ K}\Omega$$

$$R_{i4} = h_{ie4} + h_{fe4} R_{e4} = 2,7 \text{ K}\Omega + 100 \cdot 1,1 \text{ K}\Omega = 112,7 \text{ K}\Omega$$

$$R_{d1} = R_C \parallel R_{i4} = 8,2 \text{ K}\Omega \parallel 112,7 \text{ K}\Omega = 7644 \Omega$$

$$A_{vd} = \frac{V_1}{V_s} = \frac{R_{d1}}{\frac{2 h_{ie1}}{h_{fe1}} + R_s + R'_s}$$

$$A_{vd} = \frac{7644 \Omega}{\frac{5000 \Omega}{100} + \frac{2100 \Omega}{100}} = \frac{7644}{50 + 21} = 107,6$$

$$G_{MS} = \frac{I_{C4}}{V_s} = \frac{I_{C4}}{I_{B4}} \cdot \frac{I_{B4}}{V_1} \cdot \frac{V_1}{V_s}$$

$$G_{MS} = h_{fe4} \cdot \frac{1}{R_{i4}} \cdot A_{vd}$$

$$G_{MS} = \frac{100 \cdot 107,6}{112,7 \text{ K}\Omega} = 0,095 \text{ U}$$

CALCULO DE LA GANANCIA REALIMENTADA

$$D = 1 + \beta G_{MS} = 1 + 100 \cdot 0,095 = 10,5$$

$$G_{MSf} = \frac{G_{MS}}{D} = \frac{95 \text{ mU}}{10,5} = 9 \text{ mU}$$



# CALCULO DE LA RESISTENCIA DE ENTRADA (figura 6.52)

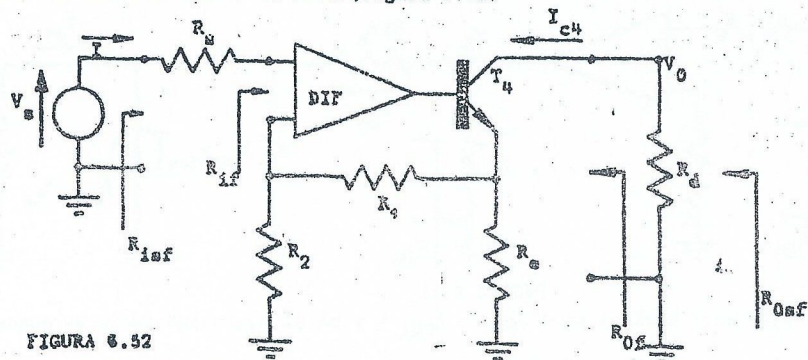


FIGURA 6.52

De la figura 6.51 (circuito sin realimentar), se obtiene:

$$R_{is} = R_s + 2 h_{ie} + R'_s$$

$$R_{is} = 1 \text{ K}\Omega + 5 \text{ K}\Omega + 1,1 \text{ K}\Omega = 7,1 \text{ K}\Omega$$

De la figura 6.52 (circuito realimentado), se obtiene:

$$R_{isf} = D R_{is} = 10,5 \cdot 7,1 \text{ K}\Omega = 74,55 \text{ K}\Omega$$

$$R_{if} = R_{isf} - R_2 - R_s = 74,55 \text{ K}\Omega - 2,2 \text{ K}\Omega = 72,35 \text{ K}\Omega$$

La resistencia de entrada del diferencial sin realimentar es  $2 h_{ie} = 5000 \Omega$ . Al realimentar dicha resistencia aumenta y pasa a valer aproximadamente  $72 \text{ K}\Omega$ .

## CALCULO DE LA RESISTENCIA DE SALIDA

En la figura 6.53 reproducimos la última etapa del amplificador sin realimentar.

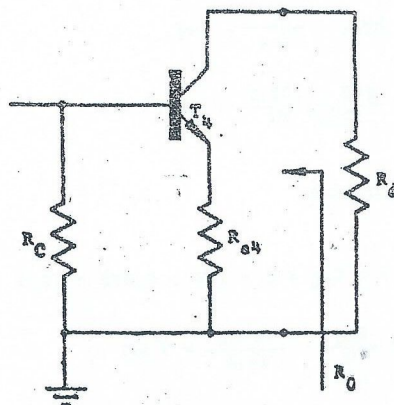


FIGURA 6.53

La resistencia de salida propia de  $T_4$  es  $r_{o4}$ :

$$r_{o4} = \frac{1}{\beta g_m} = \frac{1}{3 \cdot 10^{-4} \cdot 40 \cdot 0,92 \cdot 10^{-3}} = 90,6 \text{ K}\Omega$$

La resistencia de salida de la última etapa es:

$$R_o \approx r_{o4} \left[ 1 + \frac{h_{fe} R_{ef}}{R_{e4} + h_{ie4} + R_c} \right]$$

$$R_o = 90,6 \text{ K}\Omega \left[ 1 + \frac{100 \cdot 1,1 \text{ K}\Omega}{1,1 \text{ K}\Omega + 2,7 \text{ K}\Omega + 8,2 \text{ K}\Omega} \right] = 920 \text{ K}\Omega$$

De la Figura 6.52 se obtiene:

$$R_{of} = R_o \cdot D = 920 \text{ K}\Omega \cdot 10 = 9,2 \text{ M}\Omega$$

$$R_{osf} = R_{of} \parallel R_d = 9,2 \text{ M}\Omega \parallel 6 \text{ K}\Omega = 6 \text{ K}\Omega = R_d$$

$G_{msf}$  es la única transferencia que prácticamente no cambia con variaciones de  $R_d$  y  $R_L$ .

La transferencia de tensión (figura 6.52) es:

$$A_{vsf} = \frac{V_o}{V_s} = \frac{-I_{c4} \cdot R_d}{V_s} = -G_{msf} \cdot R_d$$

$$A_{vsf} = -9 \text{ mV} \cdot 6 \text{ K}\Omega = -54$$

Como se ve,  $A_{vsf}$  depende de  $R_d$ , es decir, de la carga  $R_L$ . La transferencia de corriente (Figura 6.52) es:

$$A_{isf} = \frac{I_{c4}}{I} = \frac{I_{c4}}{\frac{V_s}{R_{isf}}} = G_{msf} \cdot R_{isf}$$

$$A_{isf} = 9 \text{ mV} \cdot 74,55 \text{ K}\Omega = 671$$

La transferencia de transresistencia (Figura 6.52) es:

$$R_{msf} = \frac{V_o}{I} = \frac{-I_{c4} R_d}{\left( \frac{V_s}{R_{isf}} \right)} = -G_{msf} \cdot R_{isf} \cdot R_d$$



Como se ve  $R_{MSf}$  depende de  $R_g$  y  $R_L$ .

$$R_{Msf} = - 9 \text{ mV} \cdot 74,55 \text{ k}\Omega \cdot 5 \text{ k}\Omega \approx 4 \text{ M}\Omega$$

### 6.3.7. REALIMENTACION CORRIENTE-PARALELO (C-P)

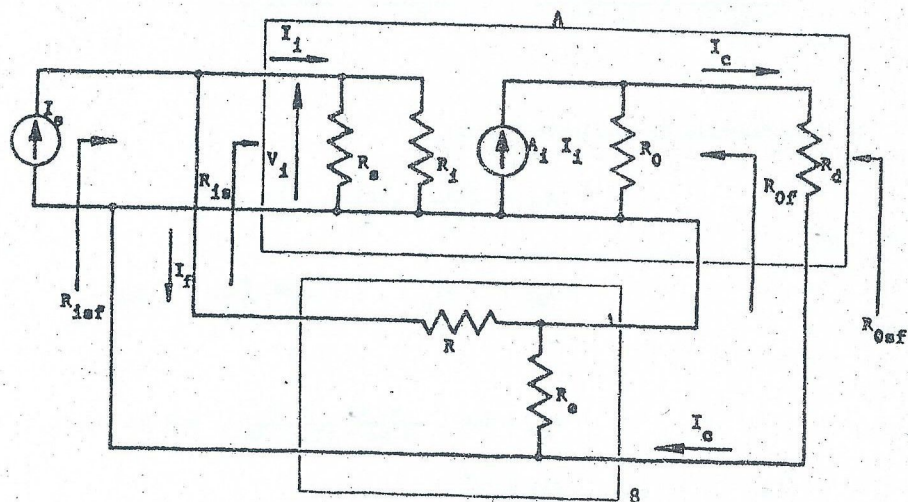


FIGURA 6.54

Por lo visto anteriormente, al muestrear corriente, se obtiene:

$$R_{of} \approx D \cdot R_0$$

Al reinyectar señal realimentada en paralelo, se obtiene:

$$R_{isf} = \frac{R_{is}}{D}$$

donde

$$D = 1 + \beta A_{IS}$$

Siendo  $A_{IS}$  la ganancia de corriente del amplificador sin realimentar.

$$\Lambda_{IS} = \frac{I_C}{I_S}$$

De la figura 6.54 se obtiene:

$$I_f = \beta I_c \quad \therefore \quad \beta = \frac{I_f}{I_c}$$

### 6.3.8 EJEMPLO DE REALIMENTACION C-P

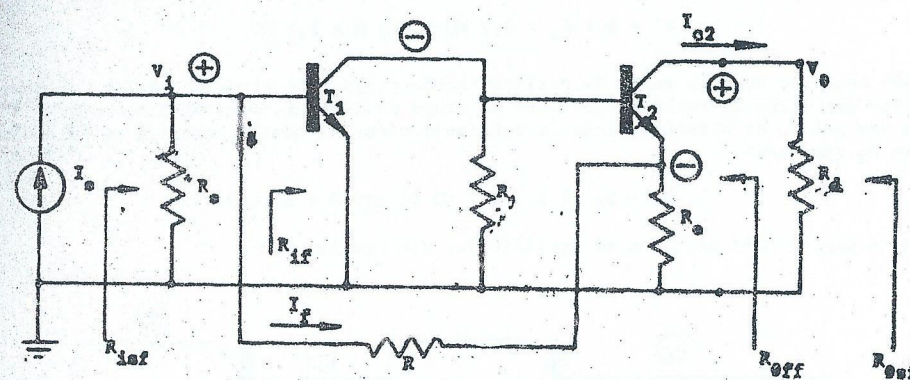


FIGURA 6.55

Del análisis de la propagación de las fases del amplificador surge que el sentido de la corriente  $I_f$  es el indicado en la figura 6.55. Por lo tanto la realimentación es negativa.

Datos:  $R_1 = 3 \text{ K}\Omega$   $R_2 = 100 \text{ }\Omega$   $R = 2,2 \text{ K}\Omega$

$$R_S = 1,2 \text{ K}\Omega \quad R_d = 1 \text{ K}\Omega \quad I_{CQ} = 2,3 \text{ mA} \quad h_{fe} = 100$$

$$h_{ie1} = h_{ie2} = \frac{h_{fe}}{40 I_{CQ}} = \frac{100}{40 \cdot 2,3 \text{ mA}} \approx 1,1 \text{ k}\Omega$$

Para analizar la malla de realimentación poremos la entrada en corto ( $V_1 = 0$ ). Se justifica ello ya que la tensión a la entrada de  $T_1$  es muy pequeña.

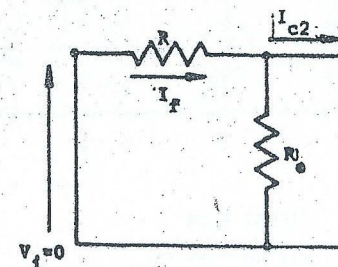


FIGURA 6.56

$$\beta = \frac{I_f}{I_{c2}} = \frac{R_8}{R_8 + R} = \frac{100}{100 + 2200} = 0,043$$



## AMPLIFICADOR SIN REALIMENTAR

Para analizar cómo la malla de realimentación carga a la etapa de entrada, se debe anular lo muestreado:  $I_{C2} = 0$ . Al hacerlo queda  $(R + R_e)$  en paralelo con  $R_s$ . Se hace:

$$R' = R + R_e = 2,2 \text{ K}\Omega + 100 \text{ }\Omega = 2,3 \text{ K}\Omega$$

Para analizar cómo la malla de realimentación carga a la etapa de salida, se debe evitar que actúe la realimentación en la etapa de entrada. Para ello se hace  $V_1 = 0$  ya que así no se altera el lazo de realimentación. Al hacerlo queda  $R$  en paralelo con  $R_s$ . Se hace:

$$R_2 = R_s \parallel R = 2,2 \text{ K}\Omega \parallel 100 \text{ }\Omega = 95,6 \text{ }\Omega$$

En la figura 6.57 se tiene el amplificador sin realimentar:

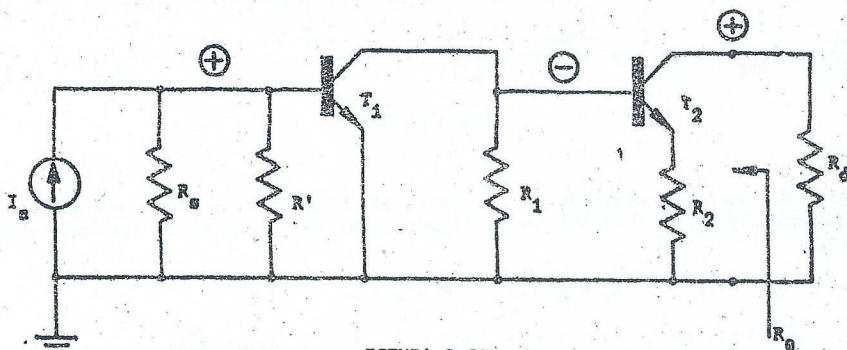


FIGURA 6.57

Se reemplazan los transistores por su circuito equivalente:

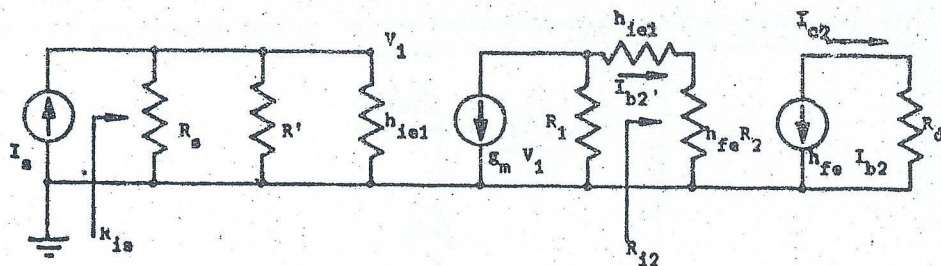


FIGURA 6.58

$$g_m = 40 \text{ } I_{CQ} = 40 \cdot 2,3 \text{ mA} = 92 \text{ mS}$$

$$R_{is} = R_s \parallel R' \parallel h_{ie1} = 1,2 \text{ K}\Omega \parallel 2,3 \text{ K}\Omega \parallel 1,1 \text{ K}\Omega = 455 \text{ }\Omega$$

De la figura 6.58, se tiene:

$$R_{i2} = h_{ie2} + h_{fe} R_2 = 1,1 \text{ K} + 100 \cdot 95,6 \text{ }\Omega$$

$$R_{i2} = 10,66 \text{ K}\Omega$$

$$\frac{I_{b2}}{-g_m V_1} = \frac{R_1}{R_1 + R_{i2}} \quad \therefore \quad \frac{I_{b2}}{V_1} = - \frac{g_m \cdot R_1}{R_1 + R_{i2}}$$

La transferencia de corriente  $A_{IS}$  es:

$$A_{IS} = \frac{I_{c2}}{I_s} = \frac{I_{c2}}{I_{b2}} \cdot \frac{I_{b2}}{V_1} \cdot \frac{V_1}{I_s}$$

$$A_{IS} = (-h_{fe}) \cdot \left( - \frac{g_m R_1}{R_1 + R_{i2}} \right) \cdot R_{is}$$

$$A_{IS} = 100 \cdot \frac{92 \text{ mS} \cdot 3 \text{ K}\Omega}{3 \text{ K}\Omega + 10,66 \text{ K}\Omega} \cdot 455 \text{ }\Omega = 920$$

$$A_{IS} = 920$$

$$D = 1 + \beta A_{IS} = 1 + 0,043 \cdot 920 = 40,56$$

$$A_{Isf} = \frac{A_{IS}}{D} = \frac{920}{40,56} = 22,68$$

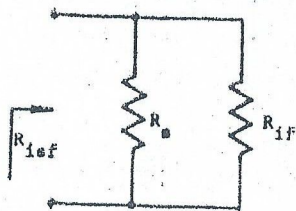
$$R_{Isf} = \frac{R_{is}}{D} = \frac{455}{40,56} = 11,2 \text{ }\Omega$$

$$R_{if} = \frac{R_{Isf} \cdot R_s}{R_s - R_{Isf}}$$

$$R_{if} = \frac{1200 \text{ }\Omega \cdot 11,2 \text{ }\Omega}{1200 \text{ }\Omega - 11,2 \text{ }\Omega}$$

$$R_{if} = 11,3 \text{ }\Omega$$





$$r_{o2} = \frac{1}{\eta g_m} = \frac{1}{3 \cdot 10^{-4} \cdot 92 \cdot 10^{-3}} = 36,2 \text{ K}\Omega$$

$R_0$  se obtiene de la figura 6.57

$$R_0 = r_{o2} \left( 1 + \frac{h_{fe} R_2}{R_2 + h_{ie} + R_1} \right)$$

$$R_0 = 36,2 \text{ K}\Omega \left( 1 + \frac{100 \cdot 95,6 \text{ }\Omega}{95,6 \text{ }\Omega + 1100 \text{ }\Omega + 3000 \text{ }\Omega} \right) = 118 \text{ K}\Omega$$

$$R_{0F} = R_0 \cdot D = 118 \text{ K}\Omega \cdot 40,56 = 4,8 \text{ M}\Omega$$

$$R_{0sf} = R_{0F} \parallel R_d \approx R_d = 1 \text{ K}\Omega$$

La transferencia de corriente  $A_{Isf}$  es la que no cambia al variar  $R_B$  y  $R_L$  dentro de ciertos límites.

CALCULO DE LA TRANSFERENCIA DE TRANSRESISTENCIA (Figura 6.55)

$$R_{Msf} = \frac{V_o}{I_s} = \frac{I_{c2} \cdot R_d}{I_s} = A_{Isf} \cdot R_d$$

$$R_{Msf} = A_{Isf} \cdot R_d = 22,68 \cdot 1 \text{ K}\Omega = 22,68 \text{ K}\Omega$$

CALCULO DE LA TRANSFERENCIA DE TENSION (Figura 6.55)

$$A_{Vsf} = \frac{V_o}{V_i} = \frac{I_{c2} \cdot R_d}{I_s \cdot R_{Isf}} = A_{Isf} \cdot \frac{R_d}{R_{Isf}}$$

$$A_{Vsf} = 22,68 \cdot \frac{1 \text{ K}\Omega}{11,2 \text{ }\Omega} = 2025$$

$$A_{Vsf} = 2025$$

CALCULO DE LA GANANCIA DE TRANSCONDUCTANCIA (Figura 6.55)

$$G_{Msf} = \frac{I_{c2}}{V_i} = \frac{I_{c2}}{I_s R_{Isf}} = \frac{A_{Isf}}{R_{Isf}}$$

$$G_{Msf} = \frac{22,68}{11,2 \text{ }\Omega} \approx 2 \text{ U}$$

$$G_{Msf} = 2 \text{ U}$$

La transferencia de transresistencia depende de  $R_L$  ( $R_d$ )

La transferencia de transconductancia depende de  $R_B$  ( $R_{Isf}$ )

La transferencia de tensión depende de  $R_B$  y  $R_L$ .



## 7.1 INTRODUCCION

Se analizan en este capítulo las especificaciones de los amplificadores operacionales, las propiedades del amplificador no inversor e inversor y la importancia de considerar los errores estáticos en el comportamiento adecuado del amplificador. Se analizan los amplificadores operacionales en este capítulo a frecuencias medias, sin considerar su respuesta en frecuencia, incorporando un número importante de aplicaciones.

### 7.1.1 ESPECIFICACIONES DEL OPERACIONAL 741

En cualquier manual se encuentra que la resistencia de entrada (diferencial) del 741 tiene:

Valor típico de la resistencia de entrada:  $R_{id} = 2\text{ M}\Omega$

Valor mínimo de la resistencia de entrada:  $R_{id} = 300\text{ K}\Omega$

En cuanto a la resistencia de salida se tiene:

Valor típico de la resistencia de salida:  $R_o = 75\ \Omega$

La resistencia de entrada  $R_{id}$  aparece entre los terminales inversor y no inversor del operacional (FIG. 7.1)

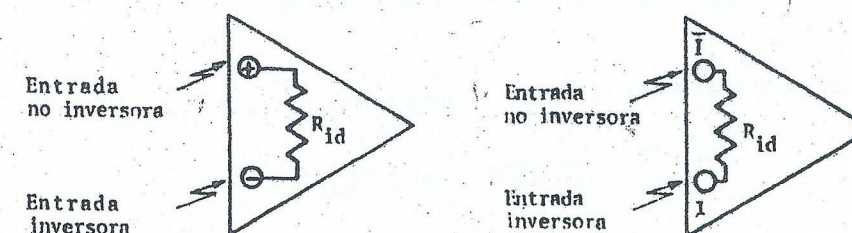


FIGURA 7.1



La resistencia  $R_o$  puede presentarse como una resistencia en serie con un generador de Thevenin (FIG. 7.2)

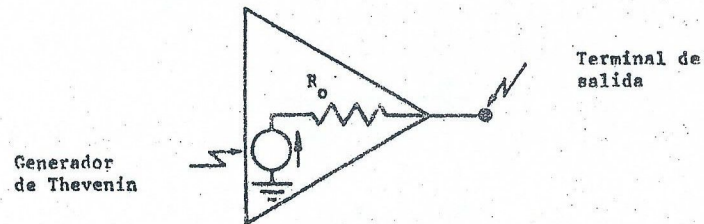


FIGURA 7.2.

Otra especificación muy importante es la ganancia a lazo abierto  $A$ . (FIG. 7.3)

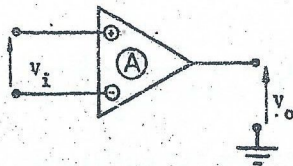


FIGURA 7.3.

$$V_o = A \cdot V_i \quad (7.1)$$

$$A = \frac{V_o}{V_i} \quad (7.2)$$

La ganancia de lazo abierto depende fuertemente de la frecuencia con que se excita el operacional. (FIG. 7.4)

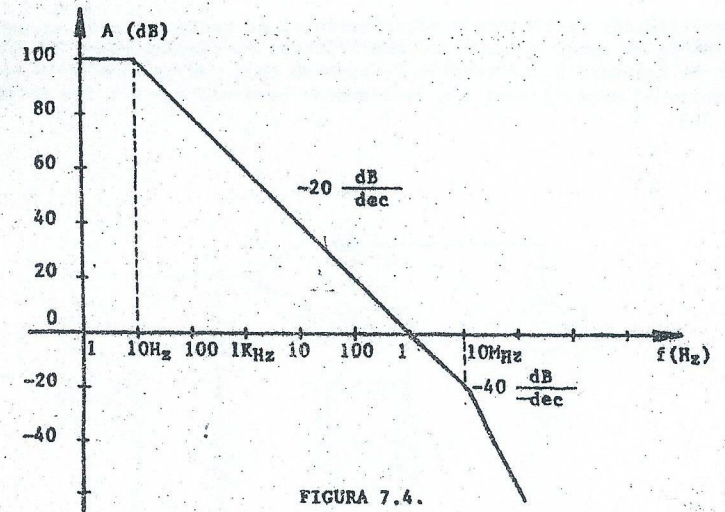


FIGURA 7.4.

Para bajas frecuencias la ganancia  $A \approx 100$  dB

La ganancia de lazo abierto presenta un polo aproximadamente en 10 Hz y otro en 10 MHz. Otras especificaciones se verán más adelante.

### 7.1.2. OPERACIONAL NO INVERSOR

El esquema de este amplificador se observa en la figura 7.5

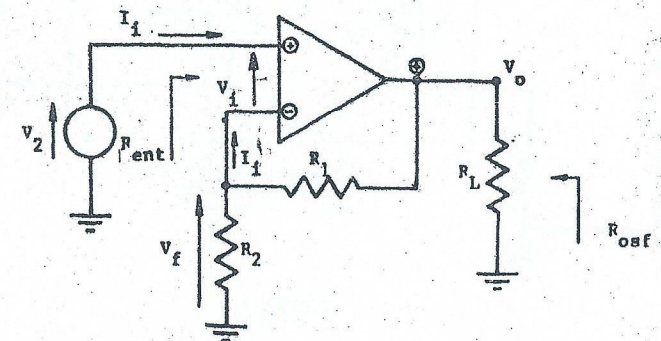


FIGURA 7.5.



Es un amplificador realimentado negativamente. La realimentación es tensión - serie. Como se ve  $V_f$  se opone a  $V_2$ . Es un amplificador de tensión según la clasificación vista en el capítulo 6. La tensión  $V_0$  está en fase con la tensión de entrada  $V_2$ . Se puede obtener el amplificador sin realimentar haciendo  $V_0 = 0$  e  $I_1 = 0$  (ver capítulo 6) Ver FIG. 7.6.

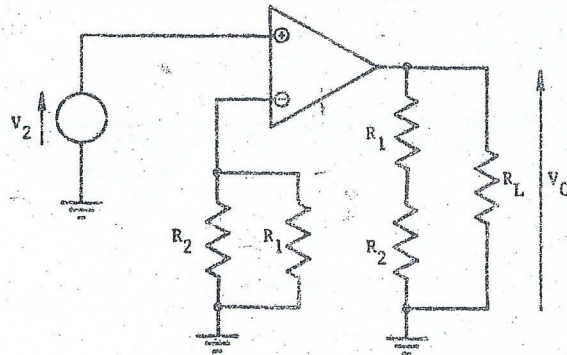
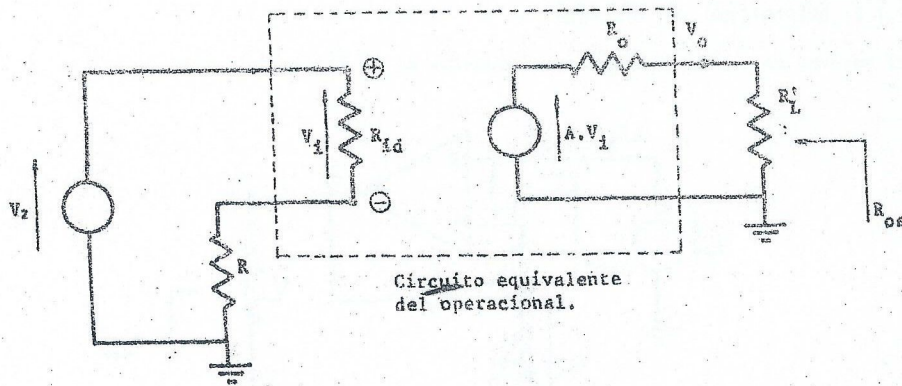


FIGURA 7.6.

Hacemos:  $R = R_2 \parallel R_1$  y  $R'_L = R_L \parallel (R_1 + R_2)$

Reemplazamos el operacional por su circuito equivalente (FIG. 7.7):



Circuito equivalente del operacional.

FIGURA 7.7

De la figura 7.7 se obtiene:

$$\frac{V_0}{A \cdot V_1} = \frac{R'_L}{R_0 + R'_L} = \frac{1}{1 + \frac{R_0}{R'_L}}$$

$$\frac{V_0}{-V_1} = \frac{A}{1 + \frac{R_0}{R'_L}} \quad (7.3)$$

$$\frac{V_1}{V_2} = \frac{R_{id}}{R_{id} + R} = \frac{1}{1 + \frac{R}{R_{id}}} \quad (7.4)$$

$$A_{vs} = \frac{V_0}{V_2} = \frac{V_0}{V_1} \cdot \frac{V_1}{V_2} \quad (7.5)$$

Reemplazando (7.3) y (7.4) en (7.5) se tiene:

$$A_{vs} = \frac{A}{\left(1 + \frac{R_0}{R'_L}\right) \left(1 + \frac{R}{R_{id}}\right)} \quad (7.6)$$

Esta ecuación da la ganancia de tensión del amplificador sin realimentar.

La ganancia de tensión del amplificador realimentado está dada por:

$$A_{vsf} = \frac{A_{vs}}{D} = \frac{A_{vs}}{1 + \beta \cdot A_{vs}} = \frac{1}{\frac{1}{A_{vs}} + \beta} \quad (7.7)$$

En la ecuación (7.7) vemos que:

$$\beta = \frac{V_f}{V_0} = \frac{R_2}{R_1 + R_2} \quad (7.8)$$



En la ecuación (7.7) llamamos:

$$\epsilon = \frac{1}{\beta \cdot A_{vs}} \quad (7.9)$$

Reemplazando (7.9) en (7.7) queda:

$$A_{vsf} = \frac{1/\beta}{1 + \epsilon} \quad (7.10)$$

Como veremos  $\epsilon$  depende de los parámetros dinámicos del operacional.

Reemplazando (7.6) en (7.9) queda:

$$\epsilon = \frac{(1 + \frac{R_0}{R_L})(1 + \frac{R}{R_{id}})}{\beta \cdot A} \quad (7.11)$$

Si queremos tener un amplificador que no esté sensibilizado respecto de los parámetros dinámicos del operacional ( $R_0, R_{id}, A$ ) se debe buscar que  $\epsilon \rightarrow 0$ .

En este caso:  $A_{vsf} = \frac{1}{\beta}$  (7.12)

Por lo tanto su ganancia de tensión depende solo de  $R_1$  y  $R_2$ .

Volviendo a la ecuación (7.11) se busca que  $R_0$  y  $R_{id}$  no afecten el valor de  $\epsilon$ .

Para ello es suficiente que:

$$\frac{R_0}{R_L} \ll 1 \quad R_0 \text{ debe ser chica.}$$

$$\frac{R}{R_{id}} \ll 1 \quad R_{id} \text{ debe ser grande.}$$

Los operacionales se fabrican teniendo en cuenta lo anterior y por lo tanto queda:

$$\epsilon = \frac{1}{\beta \cdot A}$$

Por otra parte si el operacional trabaja con un valor de  $A$  grande, se tiene  $\epsilon \rightarrow 0$ , y se cumple la ecuación (7.12).

El amplificador "ideal" (desensibilizado) tiene una ganancia "ideal" dada por la ecuación (7.12):

$$A_{vsf} = \frac{1}{\beta}$$

El amplificador "real" (no desensibilizado) tiene una ganancia "real" dada por la ecuación (7.10):

$$A_{vsf} = \frac{1/\beta}{1 + \epsilon}$$

$\epsilon$  representa, por lo tanto, un "error".

Ese "error" si tiene una magnitud tal que no se lo pueda despreciar impide que dan la ganancia "ideal" y la "real".

Por consiguiente los amplificadores operacionales deben proyectarse buscando que

En general  $\epsilon \leq 1\%$ .

Veamos como expresar la diferencia de retorno  $D$ .

$$D = 1 + \beta \cdot A_{vs} \quad (7.13)$$

Pero en la ecuación (7.9) se tenía:  $\epsilon = \frac{1}{\beta \cdot A_{vs}}$

y por lo tanto:  $\beta \cdot A_{vs} = \frac{1}{\epsilon}$  (7.14)

Reemplazando la (7.14) en la (7.13) se obtiene:

$$D = 1 + \frac{1}{\epsilon} \quad (7.15) \text{ y usando para } \epsilon \text{ el valor de (7.11 bis) se tiene:}$$

$$D = 1 + \beta \cdot A \quad (7.16)$$

Sea un operacional trabajando a frecuencias bajas con:

$A = 100 \text{ db} = 10^5 \text{ veces}$ , un  $\beta = 0,01$  ( $A_{vsf} = 100$ ); resulta:

$$D = 1 + \beta \cdot A = 1 + 0,01 \times 10^5 \approx 1000$$

Aunque  $D$  es muy grande, como el operacional 741 está autocompensado no va a oscilar.

Veamos la resistencia de salida del amplificador realimentado. Sin realimentar (FIG. 7. 7):



$$R_{os} = R_o \parallel R_L = R_o \quad [7.17]$$

no vemos para hallar  $R_{os}$  se pone en corto el generador controlado, pues  $V_1=0$  y  $V_2=0$ .

$$R_{os} = R_o = 75 \Omega$$

$$R_{osf} = \frac{R_{os}}{D} = \frac{75 \Omega}{1000} = 0,075 \Omega$$

Al realimentar la resistencia de salida del operacional tiende a cero (se muestra en la siguiente figura).

Vamos a analizar la resistencia de entrada del operacional en esta configuración no inversora.

Usamos el circuito de entrada tipo V que hemos visto al estudiar circuitos diferenciales en el amplificador sin realimentar queda (FIG. 7.8):

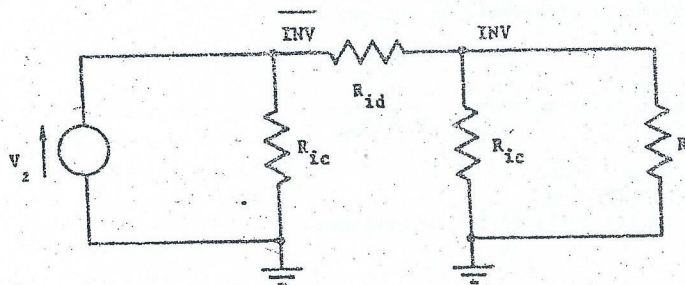


FIGURA 7.8.

En general  $R_{ic} \geq 100 \text{ M}\Omega$  para cualquier operacional con  $\rho \geq 100 \text{ db}$ .

$R_{ic}$  es la resistencia de entrada de modo común.

Se puede pasar a la FIG. 7.9 poniendo en evidencia los generadores de modo diferencial y de modo común.

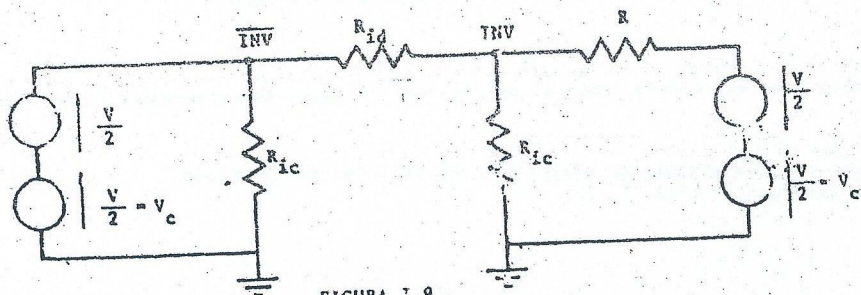


FIGURA 7.9

Definiendo la tensión de entrada diferencial como:

$V_d = V_2 - V_1 = V_2$  ya que  $V_1 = 0$ . resulta que los generadores diferenciales tienen los valores:

$$\frac{V_d}{2} = \frac{V_d}{2} \quad \text{Y} \quad \frac{V_d}{2} = \frac{V_d}{2}$$

que se observan en la (FIG. 7.9).

Aplicando superposición se puede analizar el caso diferencial (FIG. 7.10):

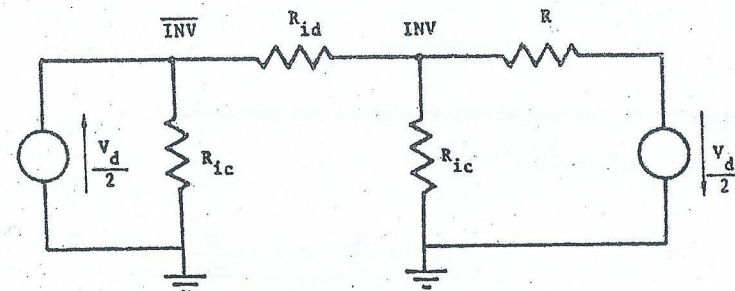


FIGURA 7.10

Se simplifica como se observa en la FIG. 7.11

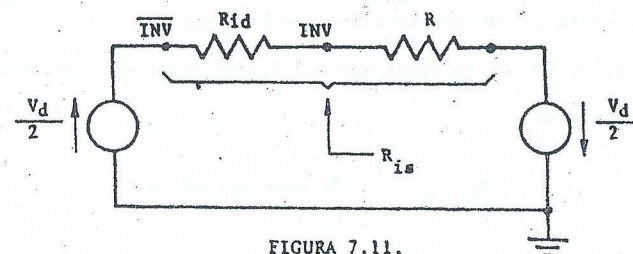


FIGURA 7.11.

El generador  $V_d$  (suma de ambos  $\frac{V_d}{2}$ ) ve una resistencia de entrada del sistema:

$$R_{is} = R_{id} + R$$

Como  $R_{id} \gg R$  resulta  $R_{is} \approx R_{id}$



Al realimentar  $R_{isf} = D R_{is} = D R_{id}$

El circuito de entrada realimentado se puede ver en la FIG. 7.12:

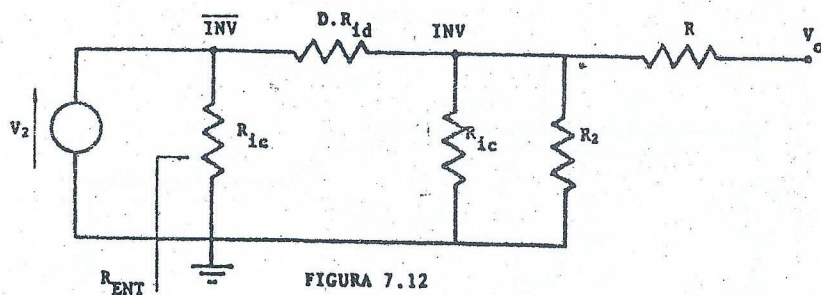


FIGURA 7.12

Como  $R_{ic} \gg R_2$  Y  $D R_{id} \gg R_2$  se tiene (FIG. 7.13)

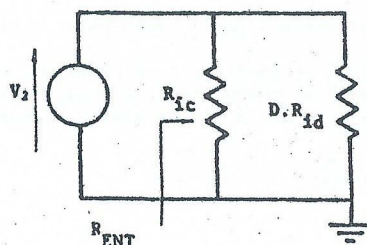


FIGURA 7.13

Si  $R_{id} = 2M\Omega$  y  $D = 1000$  resulta  $D R_{id} = 2000 M\Omega$

$$R_{ENT} = R_{ic} // D R_{id}$$

(7.18)

Si ocurre que  $D R_{id} \gg R_{ic}$ , entonces:

$$R_{ENT} \approx R_{ic}$$

(7.19)

El mayor valor de resistencia de entrada realimentada a la que se puede llegar en esta configuración es la resistencia de entrada de modo común.

Veamos otro aspecto (ver FIG. 7.3):

$$V_1 = \frac{V_0}{A}$$

(7.20)

Con un  $A = 10^5$  y una  $V_0 = 10V$  se tiene:

$$V_1 = \frac{V_0}{10^5} = \frac{10}{10^5} = 0,1 \text{ mV}$$

Para los fines prácticos se puede considerar que:

$$V_1 \rightarrow 0$$

(7.21)

Y como de la figura 7.5 resulta que :

$$V_1 = V_2 - V_f$$

(7.22)

al ser  $V_1 \approx 0$  surge que:

$$V_f \approx V_2$$

(7.23)

Por otra parte como  $R_{id}$  es muy grande, las corrientes de señal se consideran nulas:

$$I_1 = 0$$

(7.24)

Veamos, ahora, el calculo aproximado de un amplificador operacional no inversor. (ver FIG. 7.14)

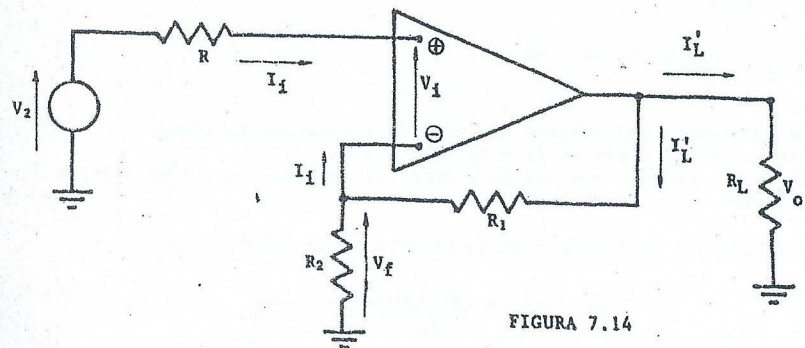


FIGURA 7.14

Se excita con un generador senoidal de 100 Hz y se tiene:  $R = 10 K\Omega$ ,  $R_2 = 1 K\Omega$ ,  $R_1 = 91 K\Omega$ ,  $V_0 = 10 V$  y  $R_L = 2 K\Omega$

Haciendo  $I_1 = 0$  no hay caída en la resistencia R.

Entonces  $V_2 = V_1 + V_f$ . Pero considerando  $V_1 = 0$  resulta  $V_2 = V_f$ .

por divisor de tensión:

$$A_{vsf} = \frac{V_0}{V_2} = \frac{R_2 + R_1}{R_2} \quad (7.25)$$

$$A_{vsf} = \frac{1\text{ K} + 91\text{ K}}{1\text{ K}} = 92$$

La ganancia exacta será:

$$A_{vsf} = \frac{\frac{R_2 + R_1}{R_2}}{1 + \epsilon} = \frac{1/\beta}{1 + \epsilon} \quad (7.26)$$

$$A_{vsf} = \frac{92}{1 + \epsilon}$$

$$\epsilon = \frac{1}{\beta \cdot A} = \frac{92}{A} = \frac{92}{10^4} = 92 \cdot 10^{-4}$$

El valor de A se obtuvo del gráfico 7.4

$$\epsilon\% = 92 \cdot 10^{-4} \cdot 100 = 92 \cdot 10^{-2} = 0,92\% < 1\%$$

El error en la ganancia  $A_{vsf}$  al no considerar el  $\epsilon$  es pequeño en este caso, inferior al 1%.

$$I_L = \frac{V_0}{R_L} = \frac{10\text{V}}{2\text{K}\Omega} = 5\text{mA}$$

$$I_L^i = \frac{V_0}{R_1 + R_2} = \frac{10\text{V}}{92\text{K}\Omega} = 108,7 \mu\text{A}$$

La malla de realimentación consume muy poco (aproximadamente 100 $\mu\text{A}$ )

La corriente de salida total es  $I_0 = I_L + I_L^i \approx 5\text{ mA}$ .

Esta corriente no conviene que sea alta para que la etapa de salida trabaje dentro de su zona lineal.

Otra forma de dibujar la FIGURA 7.14 se observa en la FIGURA 7.15.

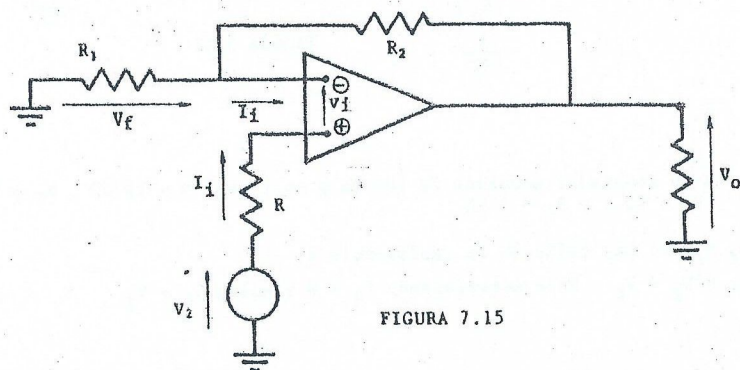


FIGURA 7.15

### 7.1.3 OPERACIONAL INVERSOR

El esquema de este amplificador se observa en la FIG.7.16.

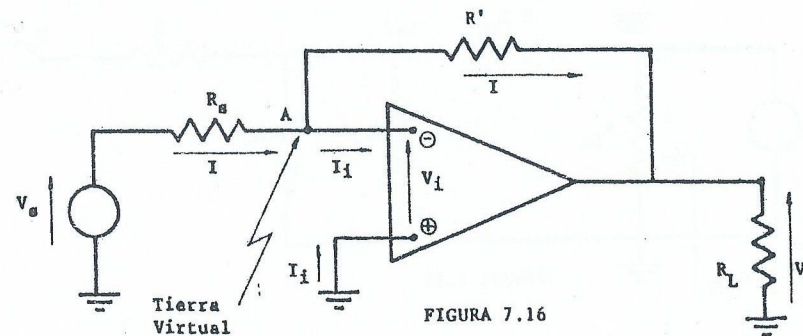


FIGURA 7.16

Se va a deducir la ganancia de tensión de éste amplificador en forma aproximada. Para ello se hace:

$$V_i = 0 \text{ e } I_i = 0.$$

Como  $I_i = 0$  la corriente I que circula por  $R_s$  debe pasar totalmente por el resistor  $R'$ .

Por otra parte, como el terminal no inversor está conectado a tierra y  $V_i = 0$ , el punto A (terminal inversor) está al potencial de tierra sin estar conectado directamente a tierra. Por lo tanto el punto A es una tierra virtual.

$$\text{Entonces: } I = \frac{V_s - V_A}{R_s} = \frac{V_s}{R_s}$$

$$\text{Ya que } V_A = 0 \text{ (tiene virtual).}$$

$$\text{También: } I = \frac{V_A - V_0}{R'} = -\frac{V_0}{R'}$$

Igualando las ecuaciones anteriores se obtiene:

$$\frac{V_s}{R_s} = -\frac{V_0}{R'} \quad (7.27)$$

$$\frac{V_0}{V_s} = -\frac{R'}{R_s} \quad (7.28)$$

$$A_{vsf} = -\frac{R'}{R_s} \quad (7.29)$$



Se ve (por el signo menos) que la salida  $V_o$  invierte su polaridad respecto de la excitación  $V_g$ . El módulo de la ganancia depende solo de la red externa:

$$|A_{vsf}| = \frac{R'}{R_g} \quad (7.30)$$

Se efectuara a continuación el análisis exacto de la ganancia de tensión del amplificador. Se tendrá en cuenta que se está realimentando muestreando tensión y reinyectando en paralelo en la malla de entrada. Es decir se tiene realimentación (T-P). Por lo tanto lo primero que se hace es cambiar el excitador (NORTON). Se ve en la FIGURA 7.17.

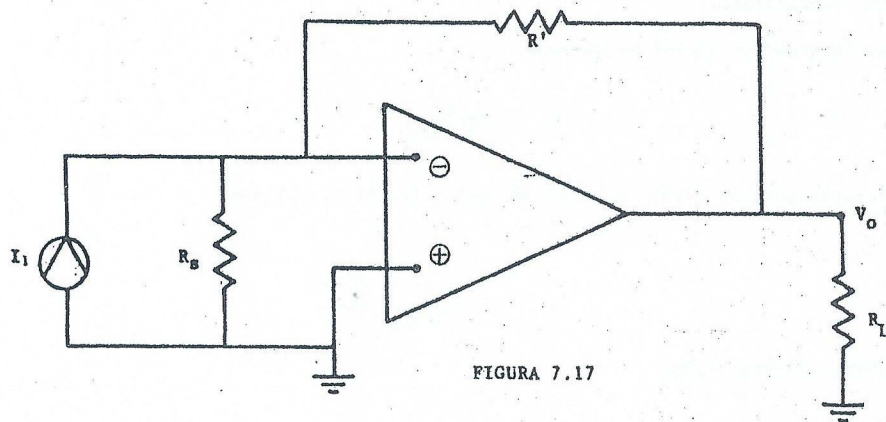


FIGURA 7.17

$$I_1 = \frac{V_g}{R_g} \quad (7.31)$$

La transferencia que no depende de las variaciones de  $R_g$  y  $R_L$  es la de transresistencia

$$R_{Msf} = \frac{V_o}{I_1} \quad (7.32)$$

Para obtener el circuito sin realimentar se hace:

$$V_o = 0 \text{ y } V_i = 0$$

Se obtiene la FIG. 7.18.

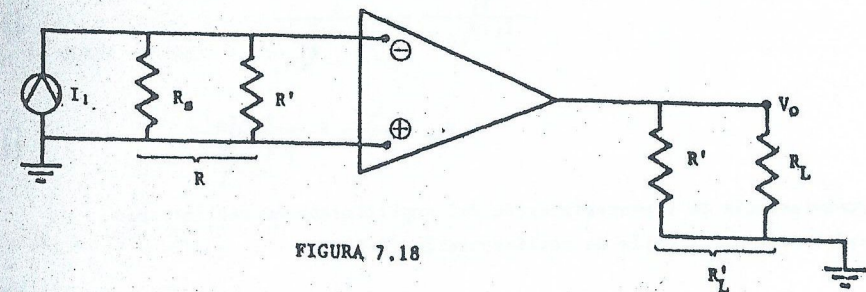


FIGURA 7.18

Reemplazando el operacional por su circuito equivalente se obtiene la FIG. 7.19:

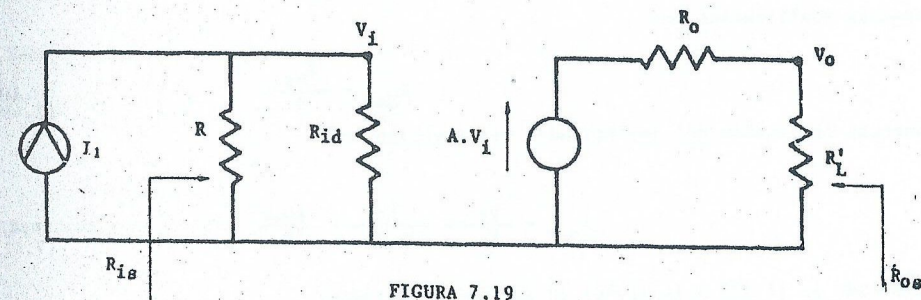


FIGURA 7.19

Como  $V_o$  es opuesto a  $V_i$  se puede considerar el dato A del fabricante como de valor negativo en el caso del amplificador inversor.

De la figura 7.19 se obtiene:

$$R_{is} = R \parallel R_{id} \quad (7.33)$$

Ademas:

$$\frac{V_o}{V_i} = \frac{A}{1 + \frac{R_o}{R_L}} \quad (7.34)$$

$$V_i = I_1 \cdot R_{is} \quad (7.35)$$



Reemplazando (7.35) en (7.34) se tiene:

$$\frac{V_0}{I_1 \cdot R_{is}} = \frac{A}{1 + \frac{R_0}{R'_L}} \quad (7.36)$$

$$R_{MS} = \frac{V_0}{I_1} = \frac{A \cdot R_{is}}{1 + \frac{R_0}{R'_L}} \quad (7.37)$$

Es la transferencia de transresistencia del amplificador no realimentado.  
La transferencia de la malla de realimentación (T-P) es:

$$\beta' = -\frac{1}{R'} \quad (7.38)$$

La diferencia de retorno es:

$$D = 1 + \beta' \cdot R_{MS} \quad (7.39)$$

La ganancia realimentada es:

$$R_{Msf} = \frac{R_{MS}}{D} \quad (7.40)$$

La ganancia de tensión del amplificador realimentado es:

$$A_{vsf} = \frac{V_0}{V_S} = \frac{V_0}{I_1 \cdot R_S} = \frac{R_{Msf}}{R_S} \quad (7.41)$$

Reemplazando la (7.39) y la (7.40) en la (7.41) se tiene:

$$A_{vsf} = \frac{1}{R_S} \cdot \frac{R_{MS}}{1 + \beta' \cdot R_{MS}} = \frac{1}{R_S} \cdot \frac{1}{\frac{1}{R_{MS}} + \beta'} \quad (7.42)$$

$$A_{vsf} = \frac{1}{\beta' \cdot R_S} \cdot \frac{1}{1 + \frac{1}{\beta' \cdot R_{MS}}} \quad (7.43)$$

Como  $R' = -1/\beta'$ , reemplazando se tiene:

$$A_{vsf} = -\frac{R'}{R_S} \cdot \frac{1}{1 + \frac{1}{\beta' \cdot R_{MS}}} \quad (7.44)$$

$A_{vsf}$  se puede expresar en la siguiente forma:

$$A_{vsf} = \frac{-\frac{R'}{R_S}}{1 + \epsilon} \quad (7.45)$$

$-R'/R_S$  es la ganancia aproximada obtenida con  $\epsilon = 0$ , y que fue hallada haciendo  $I_1 = 0$  y  $V_1 = 0$ .  
 $\epsilon$  modifica la ganancia aproximada y vincula la ganancia con los parámetros dinámicos del operacional.

De la ecuación (7.45) se obtiene:

$$\epsilon = \frac{1}{\beta' \cdot R_{MS}} \quad (7.46)$$

Reemplazando la (7.37) y la (7.38) en la (7.46) se obtiene:

$$\epsilon = \frac{-R' \left(1 + \frac{R_0}{R'_L}\right)}{A \cdot R_{is}} \quad (7.47)$$

Desarrollemos  $R'/R_{is}$

$$\frac{R'}{R_{is}} = R' \left( \frac{1}{R} + \frac{1}{R_{id}} \right)$$

$$\frac{R'}{R_{is}} = R' \cdot \frac{R_{id} + R}{R_{id} \cdot R}$$

$$\frac{R'}{R_{is}} = \frac{R'}{R} \left( 1 + \frac{R}{R_{id}} \right) \quad (7.48)$$

Reemplazando (7.48) en (7.47) se obtiene la (7.49):

$$\epsilon = -\frac{R'}{R} \cdot \frac{\left(1 + \frac{R_0}{R'_L}\right) \left(1 + \frac{R}{R_{id}}\right)}{A} \quad (7.49)$$

Desarrollemos  $R'/R$ :

$$\begin{aligned}\frac{R'}{R} &= R' \left( \frac{1}{R_S} + \frac{1}{R'} \right) \\ \frac{R'}{R} &= R' \frac{R_S + R'}{R_S \cdot R'} \\ \frac{R'}{R} &= \frac{R_S + R'}{R_S}\end{aligned}\quad (7.50)$$

Por tener la forma que corresponde a un divisor de tensión llamaremos a:

$$\frac{R_S}{R_S + R'} = \beta \quad (7.51)$$

Reemplazando (7.51) en (7.50) obtenemos:

$$\frac{R'}{R} = \frac{1}{\beta} \quad (7.52)$$

Reemplazando (7.52) en (7.49) se obtiene:

$$\epsilon = - \frac{\left(1 + \frac{R_0}{R'_L}\right) \left(1 + \frac{R}{R_{id}}\right)}{\beta \cdot A} \quad (7.53)$$

El valor de  $\epsilon$  es positivo por ser el valor de  $A$  negativo para esta configuración.

Si se hace  $R_0 \ll R'_L$  y  $R_{id} \gg R$  se obtiene:

$$\epsilon = - \frac{1}{\beta \cdot A} \quad (7.54)$$

Este valor coincide con el obtenido en la configuración no inversora.

De la ecuación (7.46) se obtiene:

$$\beta' R_{Ms} = \frac{1}{\epsilon} \quad (7.55)$$

Por lo tanto la diferencia de retorno se expresa así:

$$D = 1 + \beta' R_{Ms} = 1 + \frac{1}{\epsilon} \quad (7.56)$$

De acuerdo con la (7.54) se tiene:

$$D = 1 - \beta \cdot A \quad (7.57)$$

$D$  es positivo ya que  $A$  se toma como valor negativo.

De la FIG. 7.19 se obtiene:

$$R_{Os} = R_O \parallel R'_L = R_O \quad R_{0sf} = \frac{R_0 R_S}{D} = \frac{R_0}{D} \quad (7.58)$$

Como vimos:

$$\begin{aligned}R_{is} &= R \parallel R_{id} \\ \therefore R_{isf} &= \frac{R_{is}}{D}\end{aligned} \quad (7.59)$$

Ejemplo:

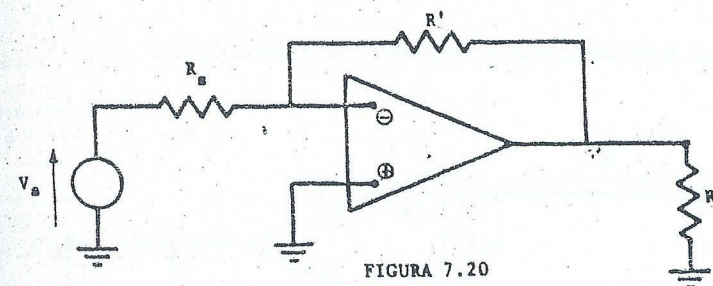


FIGURA 7.20

$$\begin{aligned}\text{Sea: } R_S &= 1\text{K}\Omega, R' = 10\text{K}\Omega, A = -10^5 \\ R &= R_S \parallel R' = 1\text{K}\Omega \parallel 10\text{K}\Omega = 910\Omega \\ R_{is} &= R \parallel R_{id} = 910\Omega \parallel 2\text{M}\Omega = 910\Omega \\ \beta' &= \frac{R_S}{R_S + R'} = \frac{1\text{K}\Omega}{11\text{K}\Omega} = 0,09\end{aligned}$$



$$D = 1 - \beta A = 1 - 0.09 (-10^5) = 9000$$

$$R_{isf} = \frac{R_{is}}{D} = \frac{910\Omega}{9000} = 0,1\Omega$$

$$R_{os} = R_o = 75\Omega$$

$$R_{osf} = \frac{R_{os}}{D} = \frac{75\Omega}{9000} = 8.10^{-3}\Omega$$

La resistencia que vé al generador  $V_g$ , siendo la entrada practicamente un corto, es  $R_g$ .

$$A_{vsf} = - \frac{R'}{R_g} = - \frac{10k\Omega}{1k\Omega} = -10 \quad \epsilon \rightarrow 0$$

#### 7.1.4 SEGUIDOR DE TENSION

El esquema de éste amplificador se observa en la FIG. 7.21:

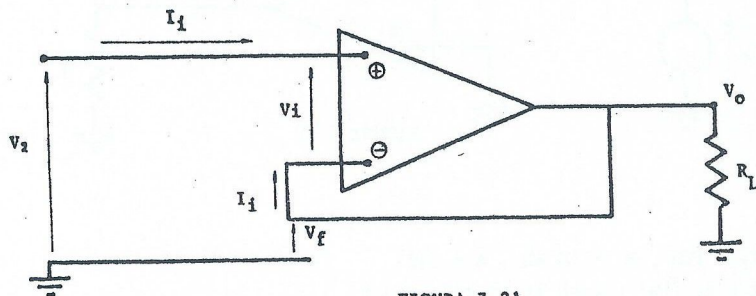


FIGURA 7.21

De la malla de entrada:

$$V_2 - V_i - V_f = 0 \quad (7.60)$$

Hacemos la siguiente aproximación:

$$I_i = 0 \text{ y } V_i = 0$$

De la (7.60) se obtiene:

$$V_f = V_2 \quad (7.61)$$

Se reinyecta toda la tensión de salida en la malla de entrada (realimentación - 100%)

$$V_f = V_0 \quad (7.62)$$

$$\beta = \frac{V_f}{V_0} = 1 \quad (7.63)$$

De la (7.61) y de la (7.62) se obtiene:

$$V_0 = V_2 \quad (7.64)$$

$$A_{vsf} = \frac{V_0}{V_2} = 1 \quad (7.65)$$

La tensión de salida  $V_0$  sigue a la tensión de entrada  $V_2$ .

El seguidor de tensión es un caso particular del amplificador operacional no inversor. Por la tanto la impedancia de entrada que vé el generador  $V_2$  está dada por:

$$R_{ENT} = R_{ic} \parallel D R_{id}$$

Es decir que  $V_2$  ve una impedancia de entrada muy alta.

Ejemplo: Supongamos que excitamos con una señal de frecuencia de 10 Hz. Por lo tanto:

$$\omega = 10^5$$

Por ser un seguidor de tensión

$$\beta = 1$$

$$D = 1 + \beta.A = 1 + A = 1 + 10^5 \approx 10^5$$

$$\epsilon = \frac{1}{\beta.A} = \frac{1}{10^5} = 10^{-5}$$

$$A_{vsf} = \frac{1/\beta}{1 + \epsilon} = \frac{1}{1 + 10^{-5}} \approx 1$$

$$R_{ENT} = R_{ic} \parallel D R_{id} = 100 \text{ M}\Omega \parallel 10^5 \times 2 \text{ m}$$

$$R_{ENT} = R_{ic} \parallel D R_{id} = 100 \text{ M}\Omega \parallel 10^5 \times 2 \text{ M}\Omega = 100 \text{ M}\Omega$$

Si la excitamos con una señal senoidal de 10 KHz se obtendría un  $A = 100$  (FIG. 7.4)

$$D = 1 + A = 1 + 100 \approx 100$$

$$\epsilon = \frac{1}{\beta.A} = \frac{1}{100} = 0,01$$

$$A_{vsf} = \frac{1/\beta}{1 + \epsilon} = \frac{1}{1,01} = 0,99$$

$$R_{ENT} = R_{ic} \parallel D R_{id} = 100 \text{ M}\Omega \parallel 200 \text{ M}\Omega \approx 67 \text{ M}\Omega$$

Siempre  $V_2$  vé una impedancia de entrada muy alta.

$$R_{osf} = \frac{R_{os}}{D} = \frac{R_o}{D} = \frac{75\Omega}{100} = 0,75 \Omega$$

Siempre la impedancia de salida es muy baja. El seguidor de tensión es un excelente separador que tiene una impedancia de entrada muy alta y una impedancia de salida muy baja.

#### 7.1.5 SUMADOR CON GANANCIA

El esquema de conexión es el de la FIGURA 7.22:

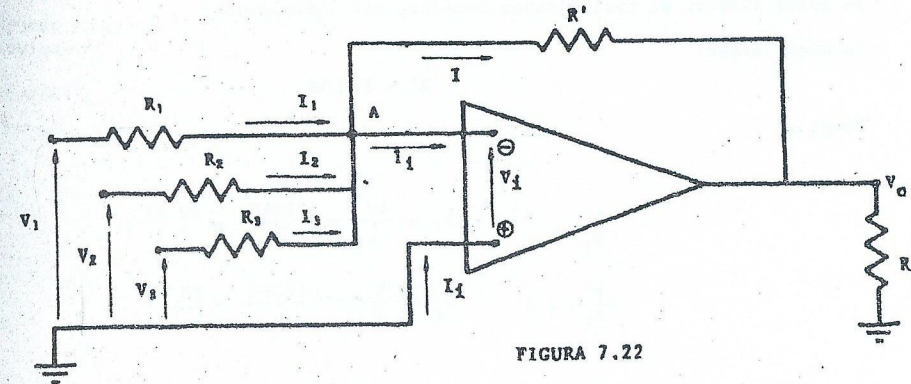


FIGURA 7.22

Como se toma  $I_1 = 0$ , resulta:

$$I = I_1 + I_2 + I_3 \quad (7.66)$$

Como  $V_1 = 0$ , el punto A es una tierra virtual. Por lo tanto:

$$I_1 = \frac{V_1}{R_1}, I_2 = \frac{V_2}{R_2}, I_3 = \frac{V_3}{R_3} \quad (7.67)$$

$$I = -\frac{V_0}{R'} \quad (7.68)$$

Reemplazando (7.67) y (7.68) en la (7.66) se tiene:

$$-\frac{V_0}{R'} = \frac{V_1}{R_1} + \frac{V_2}{R_2} + \frac{V_3}{R_3} \quad (7.69)$$

$$V_0 = -\left(\frac{R'}{R_1} V_1 + \frac{R'}{R_2} V_2 + \frac{R'}{R_3} V_3\right) \quad (7.70)$$

$V_0$  es la suma de  $V_1$ ,  $V_2$ ,  $V_3$ , cada una de estas tensiones con su correspondiente ganancia, verbigracia:

$$\frac{R'}{R_1}, \frac{R'}{R_2}, \frac{R'}{R_3}$$

Ejemplo: Si se quiere obtener

$$V_0 = -(2 V_1 + 3 V_2 + V_3)$$



Se pueda diseñar el amplificador sumador, por ejemplo, así:

Se pueda hacer:

$$R' = 100 \text{ k}\Omega$$

Como:

$$\frac{R'}{R_1} = 2 \quad R_1 = \frac{R'}{2} = \frac{100 \text{ k}\Omega}{2} = 50 \text{ k}\Omega$$

$$\frac{R'}{R_2} = 3 \quad R_2 = \frac{R'}{3} = \frac{100 \text{ k}\Omega}{3} = 33 \text{ k}\Omega$$

$$\frac{R'}{R_3} = 1 \quad R_3 = 100 \text{ k}\Omega$$

Si simplemente se quieren sumar  $V_1$ ,  $V_2$ ,  $V_3$ , se tendrá

$$V_0 = -(V_1 + V_2 + V_3) \quad (7.71)$$

Para lo cual debería hacerse

$$R_1 = R_2 = R_3 = R'$$

#### 7.1.6 AMPLIFICADOR OPERACIONAL DIFERENCIAL

El esquema de este amplificador se observa en la FIG. 7.23.

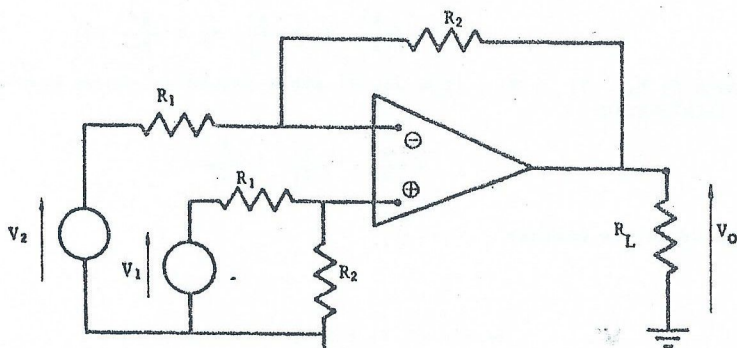


FIGURA 7.23

Se puede analizar el amplificador aplicando el principio de superposición. Sucesivamente haremos  $V_1 = 0$  y luego  $V_2 = 0$ .

Haciendo  $V_1 = 0$  se obtiene la FIG. 7.24:

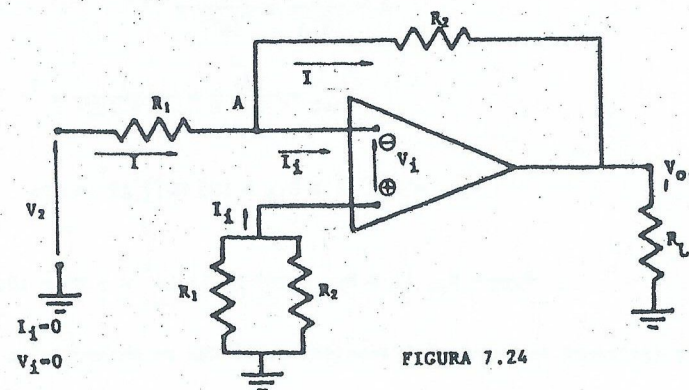


FIGURA 7.24

La corriente  $I$  circula por  $R_1$  y por  $R_2$ .

El punto A es una tierra virtual.

$$I = \frac{V_2}{R_1} = -\frac{V_{02}}{R_2} \quad (7.72)$$

$$\text{Por lo tanto } V_{02} = -\frac{R_2}{R_1} \cdot V_2 \quad (7.73)$$

Esta es la tensión de salida que se obtendrá si el generador  $V_1$  estuviera en corto.

Haciendo  $V_2 = 0$  se obtiene la FIG. 7.25:

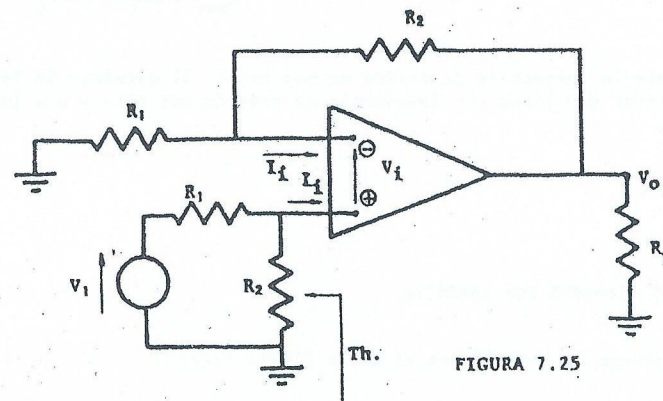


FIGURA 7.25



Se aplica Thavenin para convertir el circuito en un amplificador no inversor del tipo analizado en la FIG. 7.5

$$V_t = V_1 \frac{R_2}{R_2 + R_1} \quad (7.74)$$

$$R_t = R_1 \parallel R_2 \quad (7.75)$$

Se llegara así a la FIGURA 7.26.

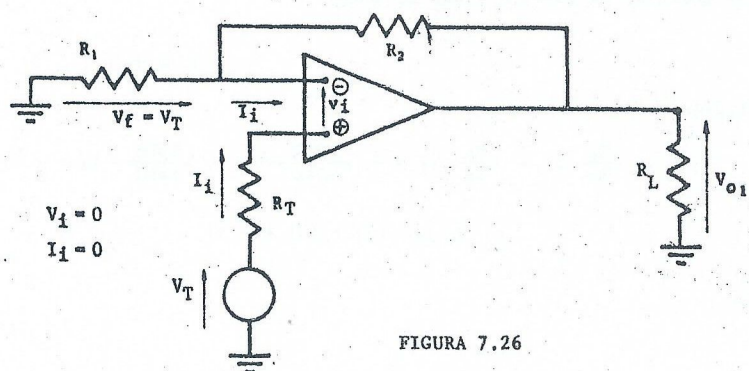


FIGURA 7.26

Por ser un amplificador no inversor:

$$A_{vsf} = \frac{V_{01}}{V_t} \approx \frac{1}{\beta} = \frac{R_2 + R_1}{R_1} \quad (7.76)$$

$$V_{01} = V_t \cdot \frac{R_2 + R_1}{R_1} \quad (7.77)$$

Reemplazando la (7.74) en la (7.77) se tiene:

$$V_{01} = V_1 \frac{R_2}{R_2 + R_1} \frac{R_2 + R_1}{R_1} = \frac{R_2}{R_1} V_1 \quad (7.78)$$

La tension de salida

$$V_0 = V_{01} + V_{02} \quad (7.79)$$

Reemplazando la (7.78) y la (7.73) en la (7.79) se tiene:

$$V_0 = \frac{R_2}{R_1} (V_1 - V_2) \quad (7.80)$$

Las dos resistencias  $R_2$  usadas en el amplificador deben ser lo mas iguales posibles entre si. Lo mismo debe ocurrir con las dos resistencias  $R_1$ . Si se hace  $R_2 = 22 \text{ k}\Omega$  y  $R_1 = 2,2 \text{ k}\Omega$  se tiene un amplificador diferencial de ganancia 10.

#### 7.1.6. ALGUNOS EJEMPLOS

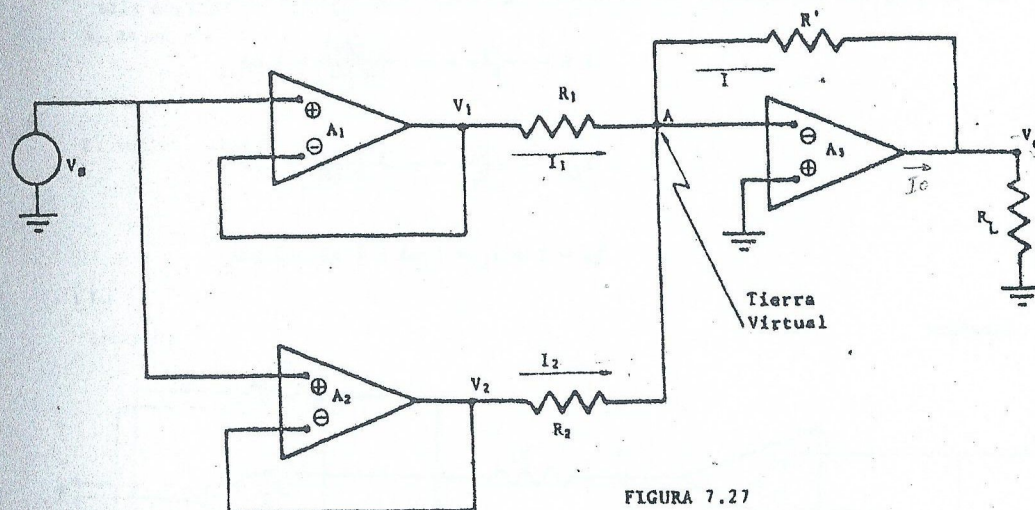


FIGURA 7.27

Datos:

$$V_g = 0,5 \text{ V}$$

$$R_1 = R_2 = 1 \text{ k}\Omega$$

$$R' = 10 \text{ k}\Omega$$

$$R_L = 5 \text{ k}\Omega$$

$A_1$  y  $A_2$  son dos separadores. Sus ganancias segun lo visto es unitaria. Es decir que

$$V_1 = V_g \text{ y } V_2 = V_g$$

$A_2$  es un amplificador sumador en el cual

$$I = I_1 + I_2 \quad \therefore -\frac{V_0}{R_1} = \frac{V_1}{R_1} + \frac{V_2}{R_2}$$

$$\therefore V_0 = -\frac{R_1}{R_1} V_1 - \frac{R_1}{R_2} V_2$$

$$V_0 = -\frac{10k\Omega}{1k\Omega} V_1 - \frac{10k\Omega}{1k\Omega} V_2$$

$$V_0 = -10 V_1 - 10 V_2 = -10 V_g - 10 V_g = -10 (V_g + V_g)$$

$$V_0 = -10 (0,5 V + 0,5 V) = -10 V$$

Como  $A_1$  y  $A_2$  son separadores el generador  $V_g$  vé una impedancia de entrada alta

$$I = -\frac{V_0}{R_1} = -\frac{(-10V)}{10 k\Omega} = 1 \text{ mA}$$

$$I_L = -\frac{V_0}{R_L} = -\frac{(-10V)}{5 k\Omega} = 2 \text{ mA}$$

$$I_0 = I + I_L = 1 \text{ mA} + 2 \text{ mA} = 3 \text{ mA}$$

Ejemplo:

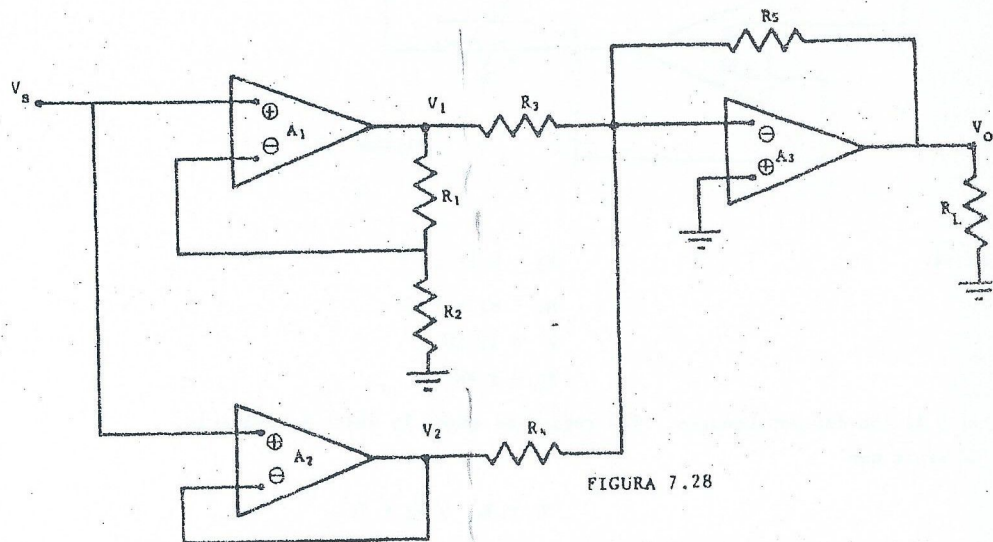


FIGURA 7.28

Datos:

$$V_g = 1 \text{ V}, R_1 = R_2 = 4 k\Omega, R_3 = R_4 = R_5 = 10 k\Omega$$

El amplificador  $A_1$  es un amplificador no inversor

Por lo tanto

$$V_1 = V_g \frac{R_1 + R_2}{R_2} = 1 \text{ V} \frac{(4k\Omega + 4k\Omega)}{4k\Omega} = 2 \text{ V}$$

$A_2$  es un seguidor de tensión y por lo tanto

$$V_2 = V_g = 1 \text{ V}$$

El amplificador  $A_3$  es un sumador:

$$V_0 = -\frac{R_5}{R_3} V_1 - \frac{R_5}{R_4} V_2 = -\frac{10k\Omega}{10k\Omega} V_1 - \frac{10k\Omega}{10k\Omega} V_2 = -(V_1 + V_2)$$

$$V_0 = -(2V + 1V) = -3V$$

Ejemplo:

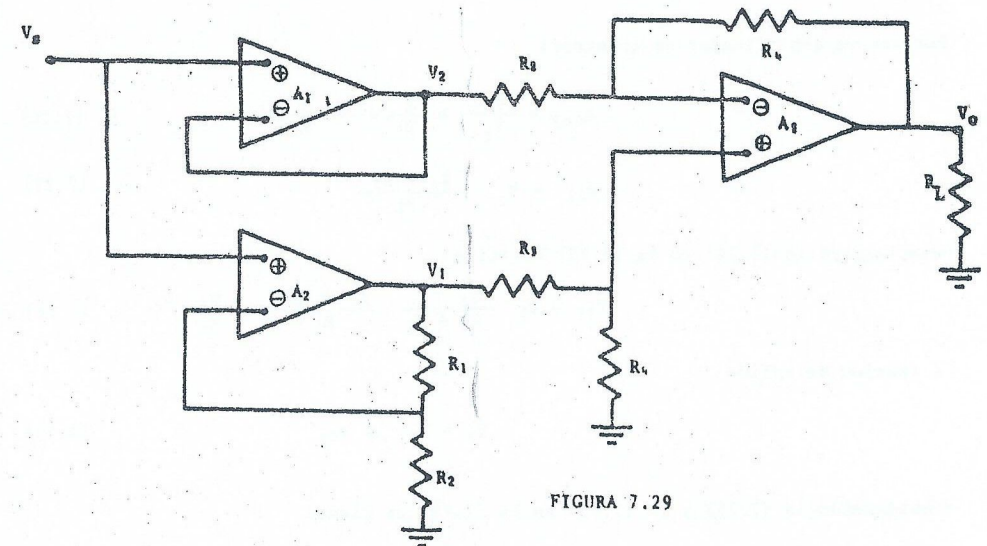


FIGURA 7.29



Datos:

$$V_s = 0,5V, R_1 = R_2 = 4k\Omega, R_3 = 1k\Omega, R_4 = 10k\Omega.$$

A<sub>1</sub> es un seguidor de tensión. Por lo tanto

$$V_2 = V_R = 0,5V$$

A<sub>2</sub> es un amplificador no inversor. Por lo tanto:

$$V_1 = V_s \frac{R_1 + R_2}{R_2} = 2V_s = 1V$$

A<sub>3</sub> es un amplificador diferencial. Por lo tanto:

$$V_0 = \frac{R_4}{R_3} (V_1 - V_2) = \frac{10k\Omega}{1k\Omega} (V_1 - V_2) = 10 (V_1 - V_2)$$

$$V_0 = 10 (1V - 0,5V) = 5V$$

### 7.1.7 ERRORES ESTÁTICOS

Los amplificadores operacionales se usan para amplificar señales continuas, señales alternas o una combinación de ambas señales.

En los amplificadores de señales continuas debido a los llamadas errores estáticos pueden originarse grandes errores en el valor de tensión de salida.

Un amplificador ideal de señales continuas tiene una cierta tensión de salida (por ejemplo  $V_0$ ). A esta salida  $V_0$ , como el amplificador es real, se le deben sumar las tensiones de salida de continua originadas por los factores siguientes:

- 1.- Tensión residual de entrada (input Offset voltage).
- 2.- Corriente de prolongación de entrada (input bias currents).
- 3.- Corriente residual de entrada (input offset current).
- 4.- Derivas térmicas (drift).

Cuando el amplificador operacional se usa con señales alternas los capacitores de acoplamiento eliminan el error estático presente.

### 7.1.8 TENSION RESIDUAL DE ENTRADA

Todos los amplificadores operacionales presentan una ligera desadaptación de la  $V_{BE}$  correspondiente a los dos transistores de entrada.

En las hojas de datos se puede obtener el valor de esta desadaptación en la entrada del operacional. Se especifica como tensión residual de entrada  $V_{io}$  (input offset-voltage). Este problema origina una tensión residual en la salida del operacional. Esta tensión de salida depende de la ganancia que posee el circuito en el que está el operacional.

En cambio  $V_{io}$  es independiente respecto del circuito. Por definición,  $V_{io}$  es la tensión que debería colocarse entre los terminales de entrada para anular la salida.  $V_{io}$  puede estar comprendida entre una fracción de un milivolt hasta varios milivolt. Se puede estudiar el efecto de  $V_{io}$  sobre la salida, colocando en serie con la entrada una fuente de continua de valor que coincida precisamente con  $V_{io}$ . Esto se ve en la FIG. 7.30.

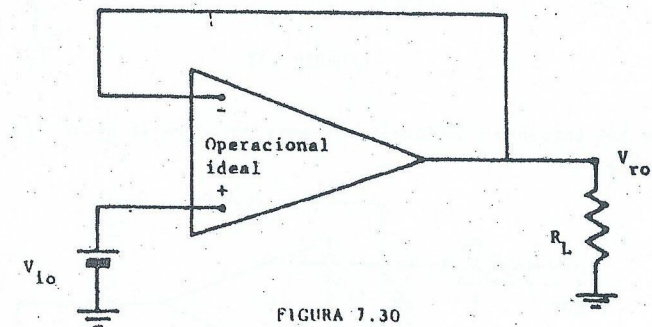


FIGURA 7.30

En este circuito el terminal  $\overline{INV}$  está conectado directamente a tierra. Podemos suponer la existencia del generador  $V_{io}$  (tal como se ve en la figura) si convertimos al operacional en ideal. Como se trata de un seguidor de tensión la tensión de salida  $V_{ro} = V_{io}$ .

Por ejemplo, si  $V_{io} = 2mV$  se tiene en la salida  $V_{ro} = 2mV$ .

En la FIGURA 7.31 se analiza el efecto de  $V_{io}$  en un amplificador operacional que trabaja a lazo abierto.

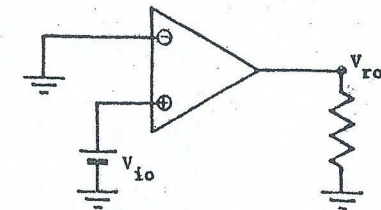


FIGURA 7.31

$$V_{ro} = A \cdot V_{io}$$

Como A es muy grande  $V_{ro}$  coincide con la tensión de salida de saturación. Como la magnitud y la polaridad de  $V_{io}$  varía según el amplificador operacional que usemos, la saturación de la salida puede corresponder a una tensión positiva o negativa.

Veamos el caso de un amplificador inversor en la FIGURA 7.32.

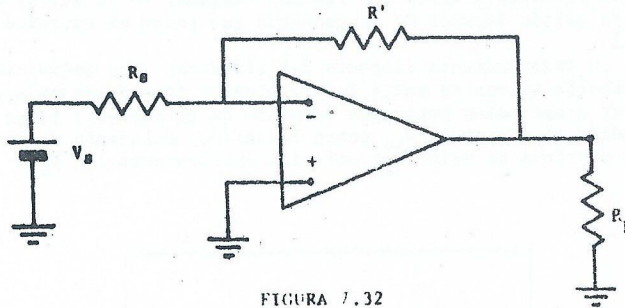


FIGURA 7.32

Para analizar las tensiones residuales ponemos en corto la señal  $V_s$  e incorporamos el generador  $V_{io}$ .

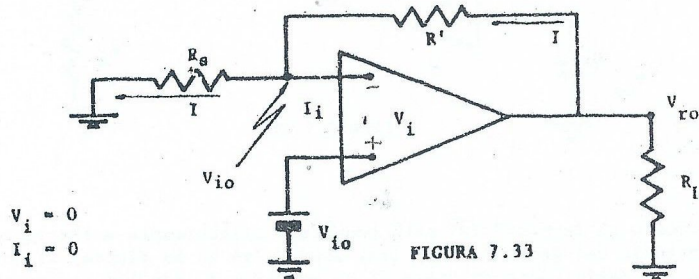


FIGURA 7.33

Se tiene que:

$$I = \frac{V_{ro} - V_{io}}{R'} = -\frac{V_{io}}{R_s} \quad (7.81)$$

$$\therefore \frac{V_{ro}}{R'} = -\frac{V_{io}}{R'} + \frac{V_{io}}{R_s}$$

$$\frac{V_{ro}}{R'} = V_{io} \left( \frac{1}{R'} + \frac{1}{R_s} \right) \quad (7.82)$$

$$V_{ro} = V_{io} \left( \frac{R'}{R'} + \frac{R'}{R_s} \right)$$

$$V_{ro} = V_{io} \left( 1 + \frac{R'}{R_s} \right) \quad (7.83)$$

$$V_{ro} = V_{io} \left( \frac{R_s + R'}{R_s} \right)$$

$$V_{ro} = \frac{V_{io}}{\beta} \quad (7.84)$$

Si  $R' = 10.000\Omega$  y  $R_s = 100\Omega$ , siendo  $V_{io} = 2mV$ , resulta:

$$V_{ro} = 2mV \left( \frac{10.100\Omega}{100\Omega} \right) = 202 mV$$

Veamos el caso de un amplificador no inversor (FIG. 7.34 y FIG. 7.35)

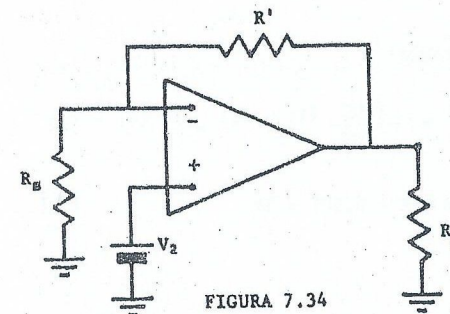


FIGURA 7.34

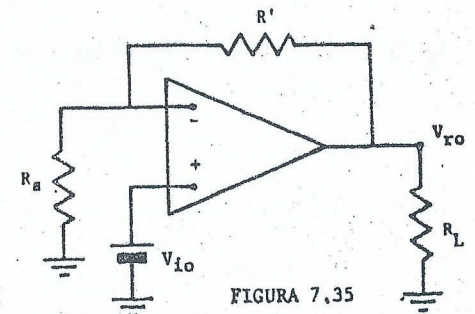


FIGURA 7.35

Se pasa de la FIG. 7.34 a la FIG. 7.35 poniendo en corto el generador de señal  $V_2$  e incorporando el generador de error  $V_{io}$ . La FIG. 7.35 coincide con la FIG. 7.33.

Por lo tanto la fórmula para  $V_{ro}$  es la ecuación (7.84). Tanto el operacional INV como el INV poseen la misma tensión residual de salida para la misma  $V_{io}$ . En lugar de colocar  $V_{io}$  en la entrada INV como en la FIG. 7.35 se puede colocar en la entrada INV (FIG. 7.36).

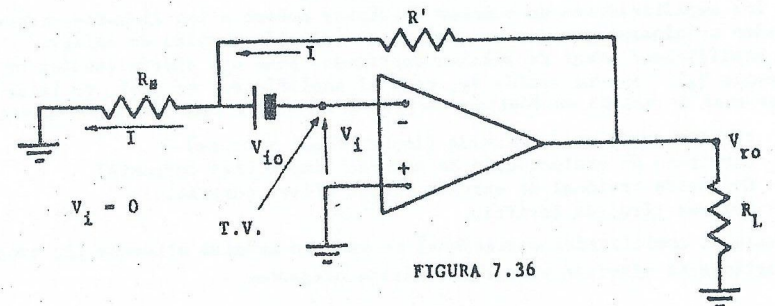


FIGURA 7.36



$$I = \frac{V_{ro} - V_{io}}{R'} = \frac{V_{io}}{R_a} \quad (7.81)$$

$$\therefore V_{ro} = V_{io} \cdot \left( \frac{R_a + R'}{R_a} \right) = \frac{V_{io}}{\beta} \quad (7.84)$$

No existe diferencia entre colocar  $V_{io}$  en la entrada INV ó INV.

#### 7.1.9 CORRIENTE DE POLARIZACION DE ENTRADA

Los transistores del operacional deben polarizarse correctamente antes de aplicarles - excitación.

Los transistores de entrada del diferencial deben estar polarizados en forma directa.

Esto requiere una pequeña corriente de polarización en cada una de sus bases.

Los fabricantes especifican una corriente de polarización  $I_B$  que es promedio de las corrientes de polarizaciones de cada entrada ( $I_{B1}$  e  $I_{B2}$ )

$$I_B = \frac{I_{B1} + I_{B2}}{2} \quad (7.85)$$

$I_B$  pueda variar desde 10 nanoamperes o más para transistores bipolares hasta 1pA o menos para transistores de efecto de campo en la entrada.

$I_B$  es un parámetro estático y generalmente no afecta a los amplificadores de señales - alternas.

Si el circuito debe amplificar continua y alterna debe considerarse la acción de  $I_B$ .

En el caso de un amplificador de señales de alterna se debe determinar si la tensión continua de salida más la señal alterna de salida superpuesta nos aproxima a la saturación.

Si se llega a la saturación la señal alterna es recortada.

Veamos el efecto de la corriente de polarización sobre la tensión de salida. Veamos el efecto de la corriente de polarización en un amplificador inversor (FIG. 7.37)

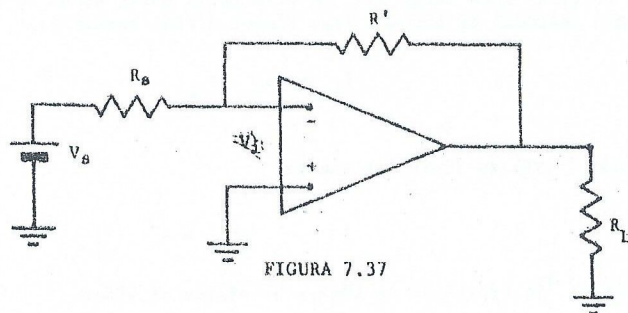


FIGURA 7.37

Aplicamos superposición (suponemos  $V_{io} = 0$ ).  
Ponemos en corto el generador de excitación  $V_i$ . (FIG. 7.38)

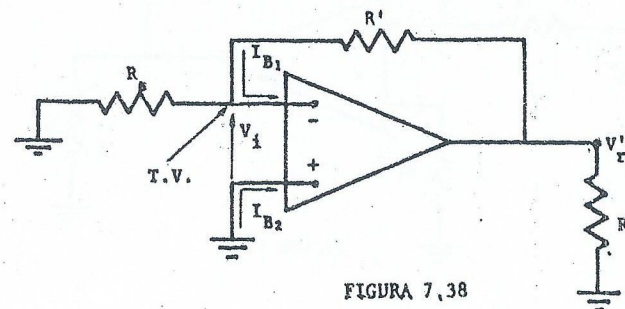


FIGURA 7.38

Solo circulan las corrientes de polarización  $I_{B1} = I_{B2}$ .  
Por  $R_a$  no circula corriente.

$$V_{ro}' = I_{B1} \cdot R' \quad (7.86)$$

$I_{B1}$  se toma como  $I_B$  (manual) para los cálculos.

$V_{ro}'$  aumenta con el aumento del valor de la resistencia  $R'$  (no conviene alta)

Para el 741 el  $I_B$  típico es de 80nA y el máximo de 500nA (25°C).

Si

$$R' = 1M\Omega$$

Resulta

$$V_{ro}' = I_B \cdot R' = 500 \times 10^{-9} \times 10^6 = 0,5V$$

Como se vé el valor de  $V_{ro}'$  es apreciable.

#### 7.1.10 CORRIENTE RESIDUAL DE ENTRADA

El error causado por la corriente de polarización ( $V_{ro}'$ ) puede ser parcialmente cancelado agregando una resistencia  $R_2$  al circuito de la FIG. 7.37. (ver FIG. 7.39).



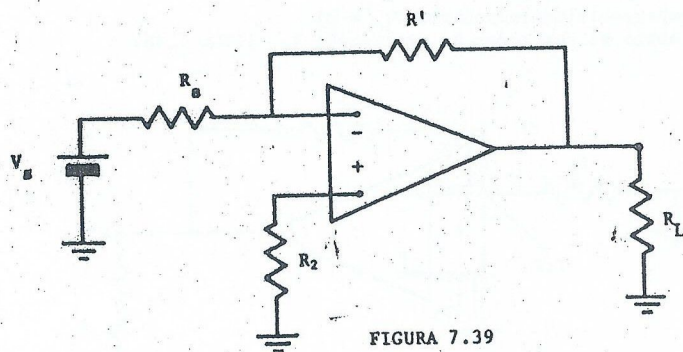


FIGURA 7.39

Anulando el generador de excitación  $V_s$  se llega a la (FIG.7.40) .

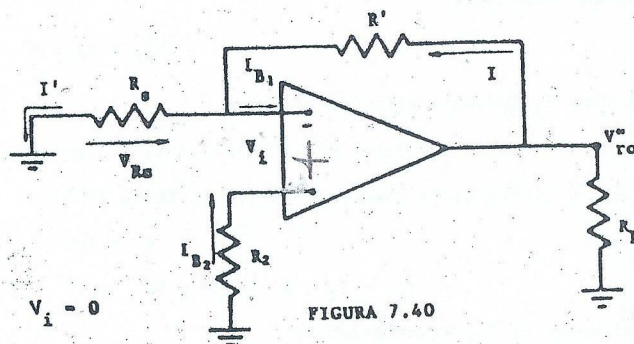


FIGURA 7.40

Como:  $V_i = 0$

Resulta:

$$I_{B1} = I - I' \quad (7.87)$$

$$I_{B1} = \frac{V_{ro}' - V_{Rs}}{R'} - \frac{V_{Rs}}{R_s} \quad (7.88)$$

$$V_{Rs} = V_{INV} = -I_{B2} R_2 \quad (7.89)$$

Reemplazando (7.89) en (7.88) se tiene:

$$I_{B1} = \frac{V_{ro}'}{R'} + \frac{I_{B2} R_2}{R'} + \frac{I_{B2} R_2}{R_s} \quad (7.90)$$

$$I_{B1} = \frac{V_{ro}'}{R'} + I_{B2} R_2 \left( \frac{1}{R'} + \frac{1}{R_s} \right)$$

Se hace

$$\frac{1}{R} = \frac{1}{R'} + \frac{1}{R_s} \quad (7.92)$$

Reemplazando (7.92) en (7.91) se tiene:

$$I_{B1} = \frac{V_{ro}'}{R'} + I_{B2} \frac{R_2}{R} \quad (7.93)$$

$$\frac{V_{ro}'}{R'} = I_{B1} - I_{B2} \frac{R_2}{R} \quad (7.94)$$

$$V_{ro}' = I_{B1} R' - \frac{R' R_2}{R} I_{B2} \quad (7.95)$$

Se hace:

$$R_2 = R = R_s || R' \quad (7.96)$$

Reemplazando (7.96) en (7.95) se tiene:

$$V_{ro}' = R' (I_{B1} - I_{B2}) \quad (7.97)$$

$I_{B1}$  e  $I_{B2}$  difieren poco entre sí. La diferencia entre ambas corrientes se define como la corriente residual de entrada  $I_{io}$ . (input offset current).

$$I_{io} = I_{B1} - I_{B2} \quad (7.98)$$

Reemplazando (7.98) en (7.97) se tiene:

$$V_{ro}' = R' \cdot I_{io} \quad (7.99)$$

Para el 741 el  $I_{io}$  típico es de 20nA y el máximo de 200nA.

Comparando la (7.99) con la (7.86) se comprueba que  $V'_{ro}$  es menor que  $V'_{ro}$ . Este beneficio se obtiene con solo agregar un resistor  $R_2$  que sea igual al paralelo de  $R'$  con  $R_g$ . Para compensar la corriente de polarización de un amplificador no inversor habría que buscar que la resistencia  $R_2$  que está en serie con el generador de excitación  $V_2$  fuese aproximadamente igual al paralelo de  $R_g$  y  $R'$ . (FIGURA 7.41).

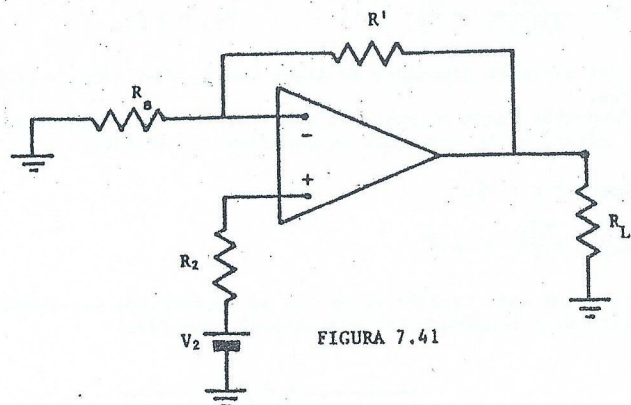


FIGURA 7.41

Al poner en corto  $V_2$  queda el circuito de la FIG. 7.40 ya analizado. Un seguidor de tensión se puede compensar colocando en la malla de realimentación una resistencia  $R'$  igual a  $R_2$  (FIG. 7.42).

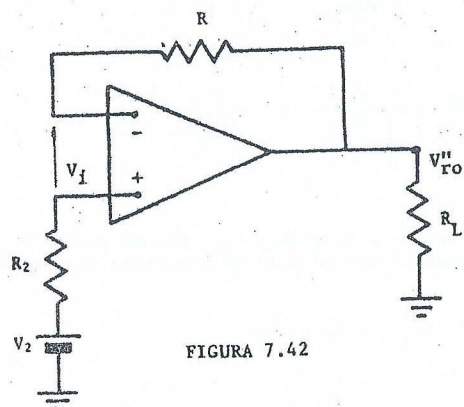


FIGURA 7.42

Poniendo en corto  $V_2$  se tiene la FIG. 7.43:

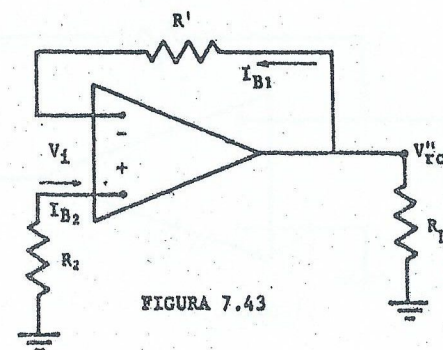


FIGURA 7.43

De la figura:

$$V'_{ro} = I_{B1} R' + V_1 - I_{B2} R_2 \quad \{7.100\}$$

Haciendo:

$$V_1 = 0 \text{ Y } R' = R_2$$

Se tiene:

$$V'_{ro} = I_{B1} R' - I_{B2} R' = R' (I_{B1} - I_{B2}) = R' I_{io} \quad \{7.101\}$$

Un amplificador inversor o no inversor presentará una tensión residual de salida cuyo valor se deba a los efectos superpuestos de  $V_{io}$  e  $I_B$ .

$$V_{roT} = V_{ro} + V'_{ro} \quad \{7.102\}$$

Si en el amplificador se usa una resistencia  $R_2$  de compensación se tendrá:

$$V_{roT} = V_{ro} + V'_{ro} \quad \{7.103\}$$

#### 7.1.11 TENSION RESIDUAL DE SALIDA REFERIDA A LA ENTRADA

Se analizará el caso de un sumador (FIGURA 7.44)



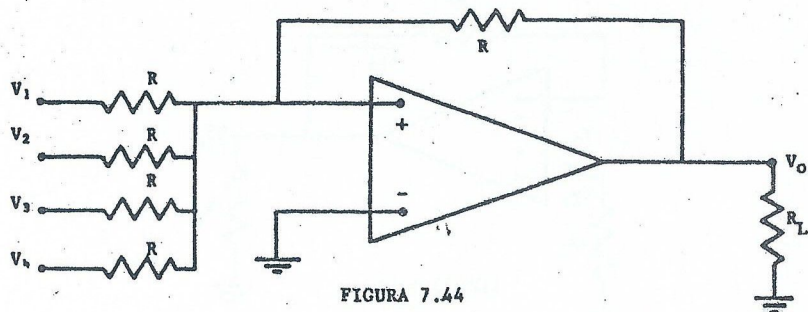


FIGURA 7.44

Para la señal:

$$V_O = -(V_1 + V_2 + V_3 + V_4)$$

Las fuentes  $V_1, V_2, V_3, V_4$ , son generadores de señal continua.

Para analizar la tensión de offset colocamos todas las entradas a masa. Ver la FIGURA 7.45.

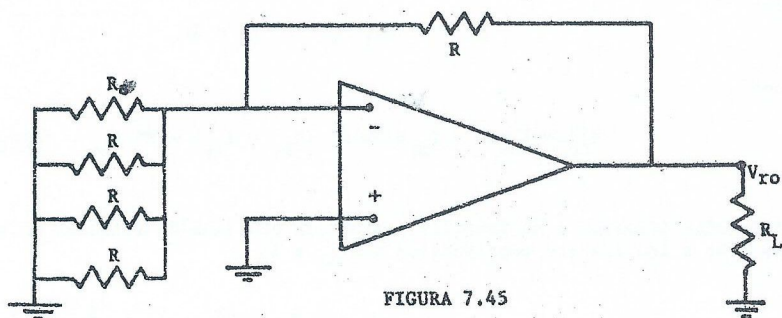


FIGURA 7.45

En este caso:

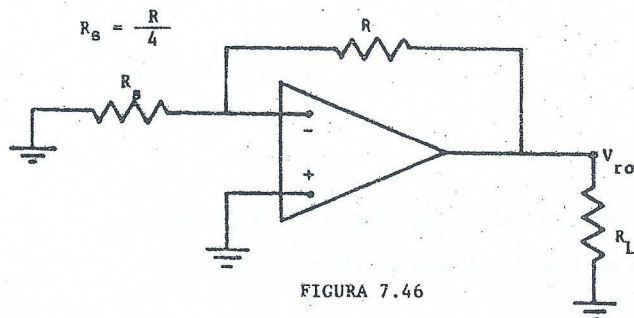


FIGURA 7.46

$$R_B = \frac{R}{4} \quad (7.104)$$

Para  $V_{io}$  el circuito se comporta como un amplificador no inversor (FIGURA 7.46). Por lo tanto:

$$V_{ro} = \frac{V_{io}}{\beta} \quad \text{y} \quad \beta = \frac{R_B}{R_B + R}$$

$$\beta = \frac{R/4}{R/4 + R} = \frac{1}{5} \quad \text{y} \quad V_{ro} = 5 V_{io}$$

Al conectar varias entradas (sumador) se tiene que  $R_B$  disminuye, lo mismo  $\beta$  y por lo tanto aumenta  $V_{ro}$ .

Es un caso desfavorable desde el punto de vista de la tensión residual de salida.

Si se agrega el efecto de la corriente de polarización se tiene:

$$V_{RoT} = V_{ro} + V_{ro}' \quad (7.102)$$

$$V_{RoT} = \frac{V_{ro}'}{\beta} + I_B \cdot R' \quad (7.104)$$

Podemos considerar que esta tensión de salida es causada por una tensión  $V_{RiT}$  aplicada a la entrada y considerar al operacional como ideal.

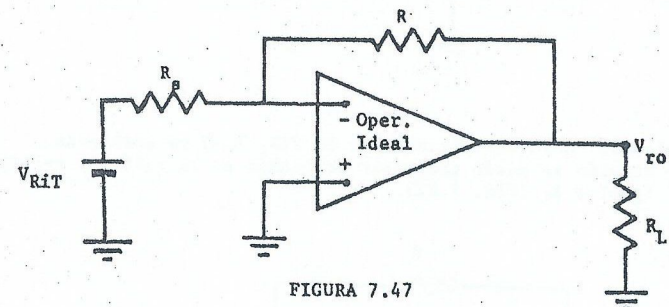


FIGURA 7.47

$$V_{RiT} = \frac{V_{RoT}}{\left| \frac{R'}{R_B} \right|} = \frac{V_{ro}}{\left| \frac{R}{R_B} \right|} + \frac{V_{ro}'}{\left| \frac{R}{R_B} \right|} \quad (7.105)$$

Para hallar  $V_{RiT}$ , como vemos, dividimos  $V_{RoT}$  por el modulo de la ganancia del amplificador. Solo interesa el modulo pues la polaridad es aleatoria.

$$V_{RiT} = \frac{V_{io}}{\beta} \cdot \frac{R_B}{R} + I_B \cdot R \cdot \frac{R_B}{R} \quad (7.106)$$

Reemplazando  $\beta$  se obtiene:

$$V_{RiT} = V_{io} \left( 1 + \frac{R_B}{R} \right) + I_B \cdot R_B \quad (7.107)$$

Si en la FIGURA 7.47 se agrega una resistencia  $R_2$  entre el terminal  $\overline{\text{INV}}$  y masa tal que  $R_2 = R_B \parallel R$  se obtiene la siguiente ecuación para  $V_{RiT}$ :

Muchos de los amplificadores operacionales tienen terminales especiales que permiten anular la tensión residual de salida  $V_{ROT}$ . El 741 tiene la posibilidad de anular su  $V_{ROT}$ , siempre que su  $V_{RIT}$  permanezca dentro de ciertos límites. Esos límites están determinados por la especificación de rango de ajuste de la tensión residual (offset voltage adjustment range). Esta especificación para el 741 es de  $\pm 15$  mV.

Por lo tanto, deberá cumplirse que:

$$-15 \text{ mV} < V_{RIT} < 15 \text{ mV}$$

En la Fig. 7.48 se observa el circuito de ajuste del offset para el 741.

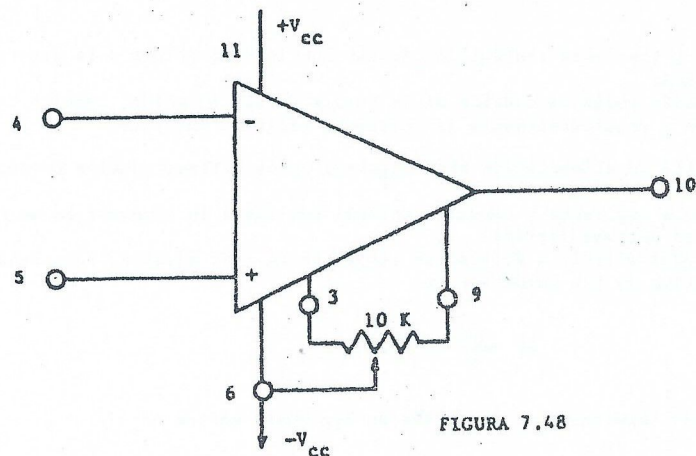


FIGURA 7.48

Entre los terminales 3 y 9 se conecta un potenciómetro de 10 kΩ cuyo cursor se conecta al terminal negativo de la fuente de alimentación.

Ejemplo:

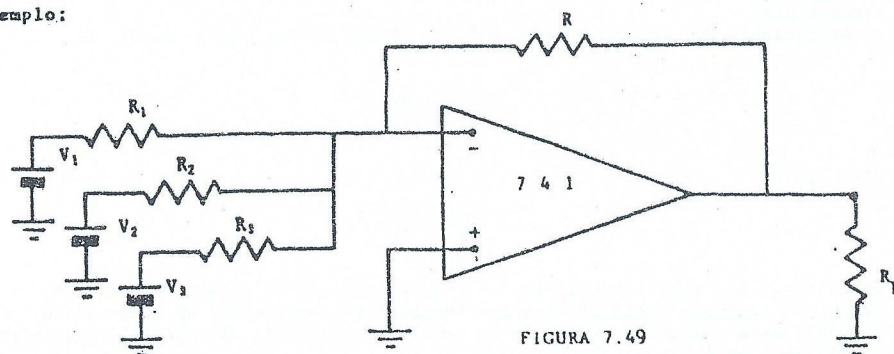


FIGURA 7.49

En la Fig. 7.49 se supone  $V_1 = V_2 = V_3 = 5$  mV y  $R_1 = R_2 = R_3 = R = 10$  kΩ. Para la señal:  $V_0 = -(V_1 + V_2 + V_3) = -(5 + 5 + 5) \text{ mV} = -15$  mV

$$V_{RIT} = V_{IO} \left(1 + \frac{R_S}{R}\right) + I_{IO} \cdot R_S$$

$$R_S = R_1 // R_2 // R_3 = \frac{R_1}{3} = \frac{10 \text{ k}\Omega}{3} = 3,33 \text{ k}\Omega$$

$$\beta = \frac{R_S}{R_S + R} = \frac{3,33 \text{ k}\Omega}{3,33 \text{ k}\Omega + 10 \text{ k}\Omega} = 0,25$$

$$V_{IO \text{ MAX}} = 6 \text{ mV}$$

$$I_B \text{ MAX} = 500 \text{ nA}$$

$$V_{ROT} = \frac{V_{IO}}{\beta} + I_B R = \frac{6 \text{ mV}}{0,25} + 500 \text{ nA} \times 10 \text{ k}\Omega$$

$$V_{ROT} = 24 \text{ mV} + 5 \text{ mV} = 29 \text{ mV}$$

Como vemos,  $V_{ROT}$  es mayor, quizá, que la propia señal  $V_0 = -15$  mV

Para verificar si se puede balancear el error estático  $V_{RO}$  calculamos  $V_{RIT}$

$$V_{RIT} = V_{IO} \left(1 + \frac{R_S}{R}\right) + I_B R_S = 6 \text{ mV} \left(1 + \frac{3,33 \text{ k}\Omega}{10 \text{ k}\Omega}\right) + 500 \text{ nA} \times 3,33 \text{ k}\Omega$$

$$V_{RIT} = 8 \text{ mV} + 1,67 \text{ mV} = 9,67 \text{ mV}$$

$$V_{RIT} < 15 \text{ mV} \text{ (se puede balancear)}$$

Como el factor más importante del error estático consiste en los 24 mV originados por  $V_{IO}$ , en este caso particular es intrascendente el agregar la resistencia  $R_2 = R/R_S$ .

#### 7.1.12 RELACION DE RECHAZO DE LA FUENTE DE ALIMENTACION

En inglés esta especificación está indicada como POWER SUPPLY REJECTION RATIO (PSRR). Este parámetro se define como la relación entre un cambio en la tensión residual de entrada (offset) respecto de un cambio en la tensión de la fuente de alimentación. El PSRR para el operacional 741 es de  $150 \frac{\mu\text{V}}{\text{V}}$ .

Es decir que un cambio de un volt en la fuente de alimentación origina un cambio en  $V_{IO}$  de 150  $\mu\text{V}$ .

$V_{IO}^+ = \text{PSRR} \Delta V_{CC}$ , en donde  $V_{IO}^+$  indica el cambio producido en  $V_{IO}$  debido al cambio de tensión  $V_{CC}$  de la fuente positiva del operacional.

$V_{IO}^- = \text{PSRR} \Delta V_{EE}$ , en donde  $V_{IO}^-$  indica el cambio de  $V_{IO}$  debido al cambio de tensión  $V_{EE}$  de la fuente negativa del operacional.



$$V_{io}^+ = PSRR \Delta V_{CC} \quad \{7.109\}$$

$$V_{io}^- = PSRR \Delta V_{EE} \quad \{7.110\}$$

y el cambio total de  $V_{io}$  es:

$$V_{io} = V_{io}^+ + V_{io}^- \quad \{7.111\}$$

Si el cambio de  $V_{CC}$  y de  $V_{EE}$  es de 0,5 V, resulta:

$$V_{io}^+ = 150 \frac{\mu V}{V} \cdot 0,5 V = 75 \mu V$$

$$V_{io}^- = 150 \frac{\mu V}{V} \cdot 0,5 V = 75 \mu V$$

$$V_{io} = 75 \mu V + 75 \mu V = 150 \mu V$$

El fabricante del operacional generalmente mide el mismo a una determinada frecuencia, pero rara vez la misma aparece en la hoja de datos. Se puede analizar el efecto del ripple de la fuente de alimentación por medio del parámetro PSRR. Conocida la  $V_{ripple}$  de la fuente, se obtiene:

$$V_{io_{ef}} = V_{ripple} \cdot PSRR \quad \{7.112\}$$

Y la acción a la salida está dada por  $V_{ro} = \frac{V_{io}}{\beta}$  {7.113}

Si la fuente tiene una  $V_{ripple} = 0,1 V_{ef}$  y el  $PSRR = 20 \frac{\mu V}{V}$ , y el operacional es un amplificador inversor de ganancia 1000, se tiene:

$$V_{io_{ef}} = 0,1 V_{ef} \cdot 20 \frac{\mu V}{V} = 2 \mu V_{ef}$$

$$\beta = \frac{R_1 + R_2}{R_2} = 1 + \frac{R_1}{R_2} = 1 + 1000 = 1001$$

$$\therefore V_{oef} = \frac{V_{io_{ef}}}{\beta} = 1001 \cdot 2 \mu V_{ef} = 2002 \mu V_{ef} = 2 mV_{ef}$$

El que este ripple en la salida del operacional pueda causar problemas depende de la magnitud de la señal de salida. Los efectos del PSRR se pueden disminuir de la siguiente forma: eligiendo amplificadores operacionales que tengan una especificación pequeña del PSRR, aumentando la señal de entrada, disminuyendo la ganancia del circuito, usando fuentes de alimentación mejor reguladas y con menor ripple.

### 7.1.13 DERIVAS (DRIFT)

Las corrientes y tensiones residuales cambian con la temperatura a la que está sometido el operacional.

Además, si también varía la tensión de la fuente de alimentación, cambian la corriente de polarización y consecuentemente la corriente residual (offset).

Usando una fuente de alimentación bien regulada estos últimos cambios pueden ser eliminados.

Los cambios en la corriente y tensión residual debidos a la temperatura se conocen con el nombre de derivas (drift).

Las derivas pueden diferir a diferentes temperaturas. Por ejemplo, para bajas temperaturas, la deriva de  $V_{io}$  puede ser de

$$30 \frac{\mu V}{^\circ C} \quad (\text{aumento})$$

y para las altas temperaturas, la deriva de  $V_{io}$  puede ser de

$$- 8 \frac{\mu V}{^\circ C} \quad (\text{disminución})$$

Por eso generalmente se especifica una deriva promedio o máxima entre dos límites de temperatura.

El operacional 301 presenta entre 25 y 75 °C una deriva máxima de  $I_{io}$  de

$$0,3 \frac{nA}{^\circ C}$$

y de  $V_{io}$  de

$$30 \frac{\mu V}{^\circ C}$$

Consultando las especificaciones, se tiene: coeficiente térmico promedio de la corriente de entrada residual (average temperature coefficient of input offset current) y coeficiente térmico promedio de la tensión residual de entrada (average temperature coefficient of input offset voltage).

Para el 301 se tiene:



$$\left(-\frac{\Delta I_{io}}{\Delta T}\right) = 0,01 \frac{\text{nA}}{^{\circ}\text{C}} \text{ (típico)}$$

$$\left(-\frac{\Delta I_{io}}{\Delta T}\right) = 0,3 \frac{\text{nA}}{^{\circ}\text{C}} \text{ (máximo)}$$

$$\left(-\frac{\Delta V_{io}}{\Delta T}\right) = 6 \frac{\mu\text{V}}{^{\circ}\text{C}} \text{ (típico)}$$

$$\left(-\frac{\Delta V_{io}}{\Delta T}\right) = 30 \frac{\mu\text{V}}{^{\circ}\text{C}} \text{ (máximo)}$$

Las tensiones residuales de salida, como ya hemos visto, se pueden minimizar usando un resistor de compensación en serie con la entrada INV y ajustando  $V_{roT}$  con el correspondiente potenciómetro, siguiendo las indicaciones de la hoja de datos del fabricante del operacional. Este procedimiento por el cual se minimiza el error estático  $V_{roT}$  se realiza a una determinada temperatura. Por lo tanto, la tensión residual de salida será otra para otra temperatura que adquiera el operacional.

Por ejemplo, si el procedimiento de ajuste se realizó a 25 °C y luego la temperatura aumenta hasta 75 °C, aparecerá una  $\Delta V_{roT}$  debido a la deriva. Analicemos la situación para el operacional 301.

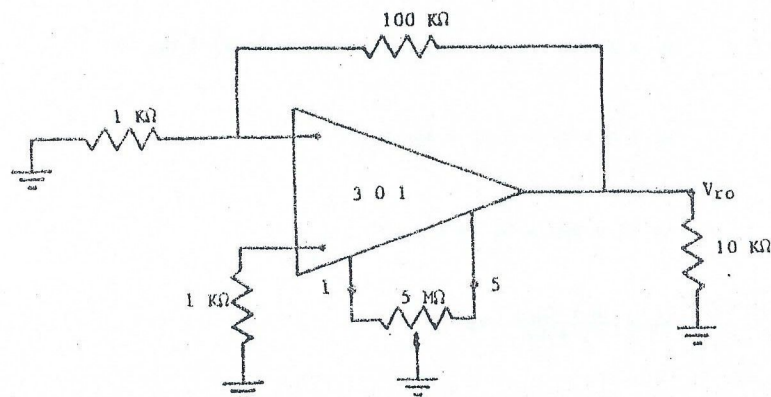


FIGURA 7.50

Para 25 °C se ajusta el potenciómetro de 5 MΩ hasta lograr que  $V_{ro} = 0$ . Para 75 °C se tiene:

$$\Delta V_{io} = \left(-\frac{\Delta V_{io}}{\Delta T}\right) \cdot \Delta T \quad \{7.114\}$$

$$\Delta V_{io} = \pm 30 \frac{\mu\text{V}}{^{\circ}\text{C}} \cdot (75^{\circ}\text{C} - 25^{\circ}\text{C}) = \pm 1,5 \text{ mV}$$

$$\Delta V_{ro} = \Delta V_{io} \left(1 + \frac{R'}{R_s}\right) \quad \{7.115\}$$

$$\Delta V_{ro} = \pm 1,5 \text{ mV} (1 + 100) = \pm 150 \text{ mV}$$

Por otra parte:

$$\Delta I_{io} = \left(-\frac{\Delta I_{io}}{\Delta T}\right) \cdot \Delta T \quad \{7.116\}$$

$$\Delta I_{io} = \pm \frac{0,3 \text{ nA}}{^{\circ}\text{C}} \cdot 50^{\circ}\text{C} = \pm 15 \text{ nA}$$

$$\Delta V_{ro}'' = R' \Delta I_{io} \quad \{7.117\}$$

$$\Delta V_{ro}'' = \pm 100 \text{ k}\Omega \cdot 15 \text{ nA} = \pm 1,5 \text{ mV}$$

$$\Delta V_{roT} = \Delta V_{ro} + \Delta V_{ro}'' \quad \{7.118\}$$

$$\Delta V_{roT} = \pm 150 \text{ mV} \pm 1,5 \text{ mV}$$

Los peores cambios ocurren para:

$$\Delta V_{roT} = \pm 151,5 \text{ mV}$$

Para el 741 se tienen las siguientes especificaciones:

$$\left(-\frac{\Delta V_{io}}{\Delta T}\right) = 15 \frac{\mu V}{^{\circ}C} \quad y \quad \left(-\frac{\Delta I_{io}}{\Delta T}\right) = 0,5 \frac{nA}{^{\circ}C}$$

Para disminuir los efectos de la deriva se pueden elegir operacionales de baja deriva o proyectar para pequeñas variaciones de temperatura sobre el operacional.

7.1.14 RELACION DE RECHAZO DE MODO COMUN

Cuando el operacional trabaja como amplificador inversor la tensión de modo común de entrada es nula y en este caso no interesa el valor de CMRR del operacional. En la Figura 7.51 se observa este caso:

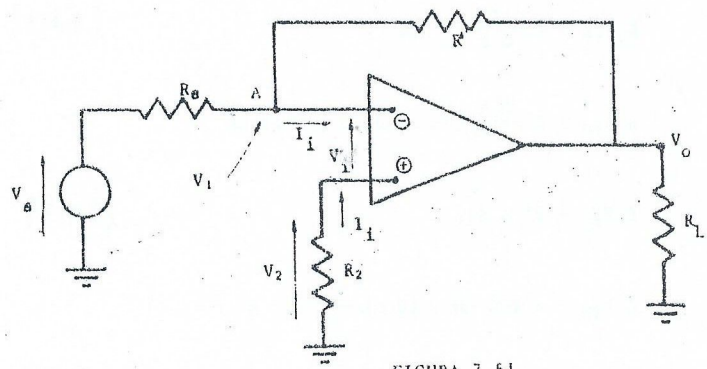


FIGURA 7.51

Siendo  $I_i \approx 0$  y  $V_i \approx 0$  resulta A una tierra virtual. Por lo tanto la caída  $V_1 = 0$  y lo mismo la caída  $V_2 = 0$  sobre  $R_2$ . Por lo tanto:

$$V_c = \frac{V_1 + V_2}{2} = \frac{0 + 0}{2} = 0 \quad (7.119)$$

Siendo  $V_c$  la tensión de entrada de modo común.

Cuando el operacional trabaja como amplificador no inversor, la tensión de modo común es la excitación (ver Fig. 7.52)

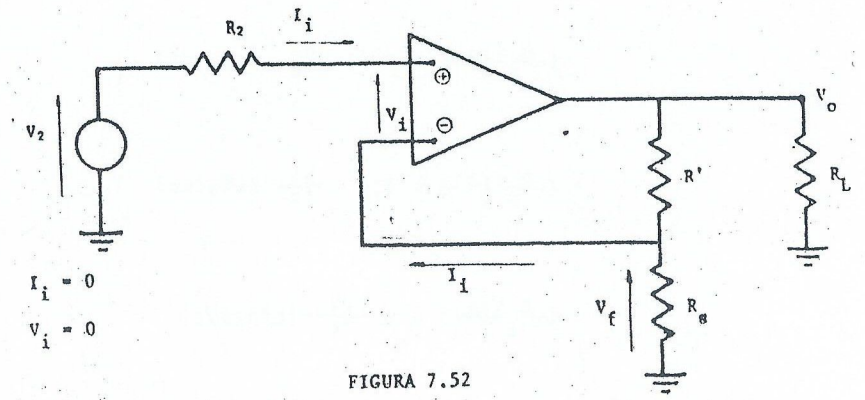


FIGURA 7.52

Como no se tiene caída sobre  $R_2$  la tensión de excitación  $V_2$  está aplicada en la entrada INV.

Como  $V_i \approx 0$ , resulta  $V_f = V_2$ .  $V_f$  es la tensión aplicada en la entrada inversora. Por lo tanto, la tensión de entrada de modo común  $V_c$  es:

$$V_c = \frac{V_2 + V_f}{2} = \frac{V_2 + V_2}{2} = V_2 \quad (7.120)$$

En el circuito de la Fig. 7.52, se tiene:

$$V_o = A V_i + A_{vc} V_c = A_{vc} V_2 + A V_i \quad (7.121)$$

$$V_o = A (V_2 - V_f) + A_{vc} V_2 = A (V_2 - \beta V_o) + A_{vc} V_2 \quad (7.122)$$

$$V_o + \beta A V_o = A V_2 + A_{vc} V_2 \quad (7.123)$$

$$V_o (1 + \beta A) = V_2 (A + A_{vc}) \quad (7.124)$$

$$V_o = \frac{A + A_{vc}}{1 + \beta A} V_2 \quad (7.125)$$



$$V_0 = \frac{A + A_{VC}}{\beta A \left(1 + \frac{1}{\beta A}\right)} V_2 \quad (7.126)$$

$$V_0 = \frac{A + A_{VC}}{\beta A (1 + \epsilon)} V_2 \quad (7.127)$$

Para  $\epsilon \rightarrow 0$  se tiene:

$$V_0 = \frac{A + A_{VC}}{\beta A} V_2 = \frac{1}{\beta} \left(1 + \frac{A_{VC}}{A}\right) \cdot V_2 \quad (7.128)$$

La relación de rechazo de modo común se define como la relación entre la ganancia diferencial  $A$  y la ganancia de modo común  $A_{VC}$ :

$$CMRR = \frac{A}{A_{VC}} \quad (7.129)$$

$$V_0 = \frac{R_B + R'}{R_B} \cdot \left(1 + \frac{1}{CMRR}\right) \cdot V_2 \quad (7.130)$$

$$V_0 = \frac{R_B + R'}{R_B} \cdot \left(V_2 + \frac{V_2}{CMRR}\right) \quad (7.131)$$

La ecuación {7.131} nos lleva al siguiente circuito:

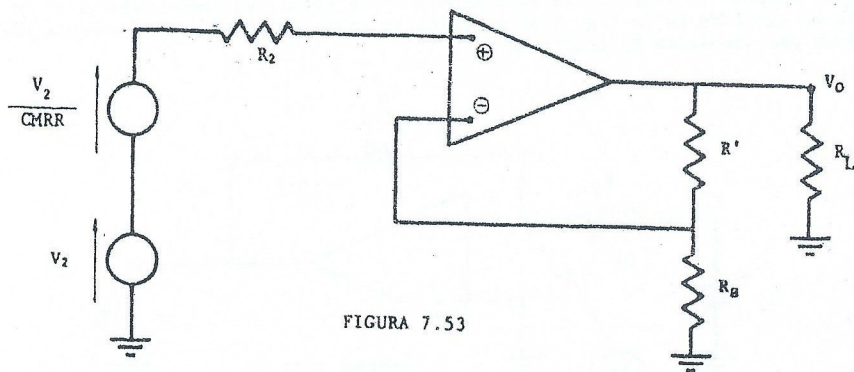
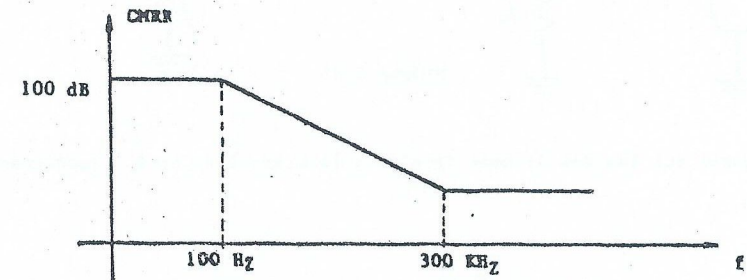


FIGURA 7.53

En este circuito se considera que el operacional tiene un  $CMRR = \infty$  (ideal). El efecto de la relación de rechazo de modo común se tiene en cuenta por medio del generador de error:

$$\frac{V_2}{CMRR}$$

Las hojas de datos especifican generalmente el valor de CMRR con uno o dos números que representan el valor típico y mínimo de CMRR para la continua. Algunas hojas de datos proporcionan curvas de CMRR en función de la frecuencia. Se muestra en la Fig. 7.54 para el 301:



El valor de CMRR puede mejorarse eligiendo un operacional que posea un mayor CMRR para la continua o bien eligiendo un operacional que posea un alto valor de CMRR en el rango de frecuencias que se usa en el circuito.

**Ejemplo:** En la Fig. 7.53 se supone que se excita con  $V_2$  senoidal y de frecuencia 10 Hz. El operacional es un 301 y  $R' = 10 \text{ K}\Omega$  y  $R_B = 1 \text{ K}\Omega$ . La amplitud de  $V_2 = 1 \text{ Volt}$ . El CMRR (gráfico 7.54) es  $100 \text{ dB} \rightarrow 10^5$ .

De acuerdo con la ecuación {7.131} se tiene:

$$V_0 = \frac{R_B + R'}{R_B} \left(V_2 + \frac{V_2}{CMRR}\right) = 11 \cdot \left(1 + \frac{1}{10^5}\right) = 11,00011 \text{ V}$$

Si el  $CMRR = \infty$  resulta  $V_0 = 11 \text{ Volt}$

Conservando el mismo ejemplo pero analizando para una frecuencia de excitación de 10 KHz, se obtiene un  $CMRR = 60 \text{ dB} \rightarrow 10^3$ .

$$V_0 = 11 \left(1 + \frac{1}{10^3}\right) = 11,011 \text{ V}$$

Se ve cómo la salida está más afectada que antes por la tensión de entrada de modo común.

Se puede medir el CMRR por medio de un amplificador operacional diferencial.

Se ve en el circuito de la Fig. 7.55:

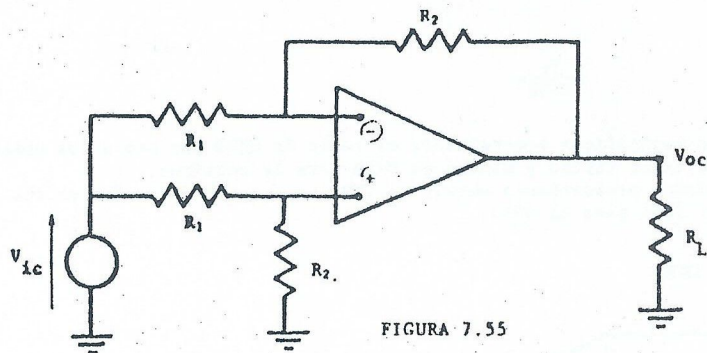


FIGURA 7.55

Se debe asegurar que las dos  $R_2$  sean iguales y lo mismo las dos  $R_1$  (midiéndolas).

En este caso:

$$A_{vd} = \frac{R_2}{R_1} \quad \{7.132\}$$

Se calcula  $A_{vd}$ .

Se puede hacer  $R_1 = 100 \Omega$  y  $R_2 = 100 \text{ K}\Omega$ .

$$A_{vd} = 1000$$

Por otra parte el circuito de la Fig. 7.55 tiene  $V_d = 0$  y la salida es toda de modo común ( $V_{oc}$ ):

$$A_{vc} = \frac{V_{oc} \text{ (medido)}}{V_{ic} \text{ (medido)}} \quad \{7.133\}$$

Supongamos que de la medición resulta  $A_{vc} = 0,1$ .

Luego se hace:

$$CMRR = \frac{A_{vd}}{A_{vc}} = \frac{1000}{0,1} = 10.000$$

$$CMRR = 80 \text{ dB}$$

## 7.1.15 APLICACIONES

### 7.1.16 CONVERTIDORES TENSION-CORRIENTE (CARGA FLOTANTE)

Se puede observar el circuito básico en la Fig. 7.56

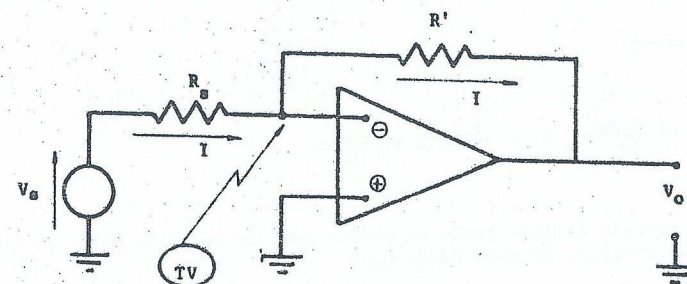


FIGURA 7.56

$$I = \frac{V_s}{R_s} \quad \{7.134\}$$

La corriente  $I$  que circula por  $R'$  (carga flotante) no depende del valor de  $R'$ . De acuerdo con la ecuación {7.134} depende de los valores de  $V_s$  y  $R_s$ . Se puede expresar que:

$$I = K V_s \quad \{7.135\}$$

siendo la constante de proporcionalidad

$$K = \frac{1}{R_s} \quad \{7.136\}$$

Se puede colocar en lugar de la resistencia  $R'$  un diodo. Se puede determinar mediante el circuito de la Fig. 7.57 la caída  $V_D$  sobre el diodo cuando circula por el mismo una corriente  $I_D$  prefijada.

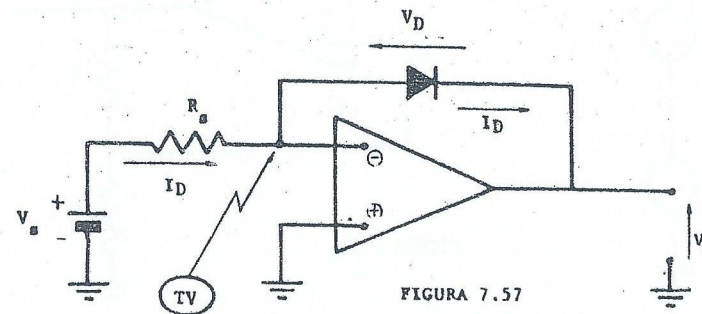


FIGURA 7.57



Sea  $V_s = 1,5 \text{ V}$  y  $R_s = 1,5 \text{ K}\Omega$

Por lo tanto:  $I_D = \frac{V_s}{R_s} = \frac{1,5 \text{ V}}{1,5 \text{ K}\Omega} = 1 \text{ mA}$  (corriente prefijada)

Se quiere conocer el valor de  $V_D$  para la corriente  $I_D = 1 \text{ mA}$

Aplicando la ecuación de una malla se tiene:

$$V_D + V_0 = 0 \quad \therefore \quad V_D = -V_0 \quad (7.137)$$

Se mide  $V_0$  con un instrumento de continua. Se obtiene, por ejemplo,  $V_0 = -620 \text{ mV}$  (El amplificador es inversor, por lo tanto la tensión  $V_0$  es opuesta a  $V_s$ ).

Entonces:  $V_D = -V_0 = -(-620 \text{ mV}) = 620 \text{ mV}$

Por medio del circuito de la Fig. 7.58 se puede medir la tensión de referencia de un diodo zener.

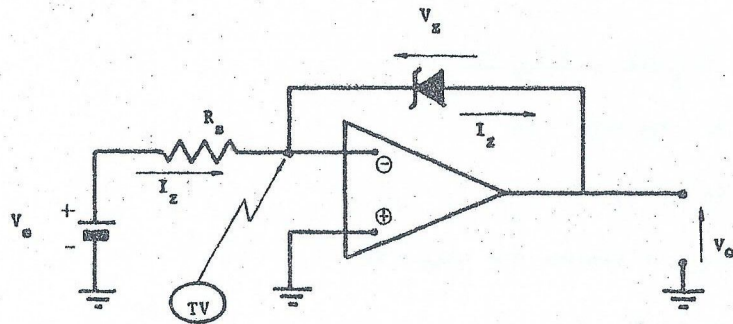


FIGURA 7.58

Se puede hacer  $I_Z = \frac{V_s}{R_s} = 5 \text{ mA}$

Como  $V_Z + V_0 = 0$  resulta  $V_Z = -V_0$

Si se mide  $V_0 = -5,3 \text{ V}$  resulta:

$$V_Z = 5,3 \text{ V (tensión de referencia)}$$

También se puede usar como convertidor tensión-corriente el circuito básico de la Fig. 7.59 (amplificador no inversor).

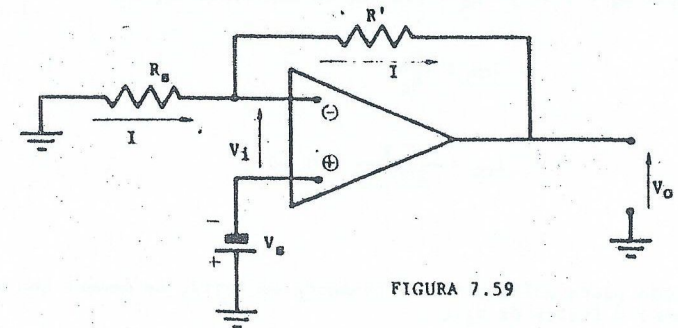


FIGURA 7.59

Como  $V_i = 0$  la tensión  $V_s$  está aplicada solo a  $R_s$ . Por lo tanto:

$$I = \frac{V_s}{R_s} \quad (7.134)$$

Por lo tanto  $I$  es independiente del valor de  $R'$  (carga flotante). Aunque cambiemos el valor de  $R'$  no cambia el valor de  $I$  que circula por  $R'$ . Se hace notar que el generador  $V_s$  "ve" una resistencia de entrada muy alta; ya que  $V_s$  está conectada a la entrada no inversora.

En la Fig. 7.60 se ve una aplicación del circuito anterior. Se obtiene un voltímetro de continua de alta resistencia de entrada.

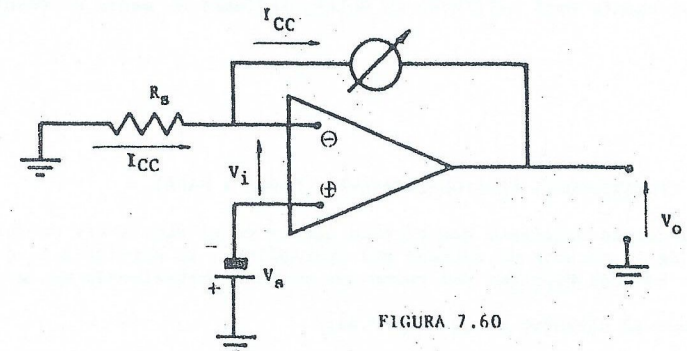


FIGURA 7.60



En lugar del resistor  $R'$  se coloca un miliamperímetro o un microamperímetro.

Si por ejemplo  $V_S = 7 \text{ V}$  y  $R_S = 100 \text{ K}\Omega$ , la corriente  $I_{CC}$  es:

$$I_{CC} = \frac{V_S}{R_S} \quad (7.134)$$

$$I_{CC} = \frac{7 \text{ V}}{100 \text{ K}} = 70 \text{ }\mu\text{A}$$

El instrumento puede calibrarse directamente en Volts, de manera que a  $70 \text{ }\mu\text{A}$  le correspondan  $7 \text{ V}$  (valor de  $V_S$ ). Si por ejemplo circulan  $50 \text{ }\mu\text{A}$  le corresponderán  $5 \text{ V}$  (que es el valor de  $V_S$  que provoca una  $I_{CC}$  de  $50 \text{ }\mu\text{A}$ ).

El microamperímetro que se está usando tiene un alcance de  $100 \text{ }\mu\text{A}$ . Se desea que pueda medir con ese alcance tensiones continuas ( $V_S$ ) de hasta  $10 \text{ V}$ . Se puede determinar el valor de  $R_S$  que permite que ocurra lo anterior.

Debe ser:

$$R_S = \frac{V_S}{I_{CC}} \quad (7.138)$$

$$R_S = \frac{10 \text{ V}}{100 \text{ }\mu\text{A}} = 100 \text{ K}\Omega$$

Se debe colocar un resistor  $R_S$  de  $100 \text{ K}\Omega$  para conseguir que con un microamperímetro de alcance de  $100 \text{ }\mu\text{A}$  se puede medir a fondo de la escala  $10 \text{ V}$  de continua.

Si el instrumento está calibrado en Volts, indicará al medir, el valor de  $V_S$ .

#### 7.1.17 CONVERTIDORES TENSION-CORRIENTE (CARGA A MASA)

Se busca que la corriente que circula por la carga (que tiene un terminal a masa) dependa de la tensión de entrada del operacional. La corriente  $I_L$  que circula por la carga no debe depender del valor que posea la resistencia de carga  $R_L$ .

Analicemos el circuito de la Fig. 7.61:

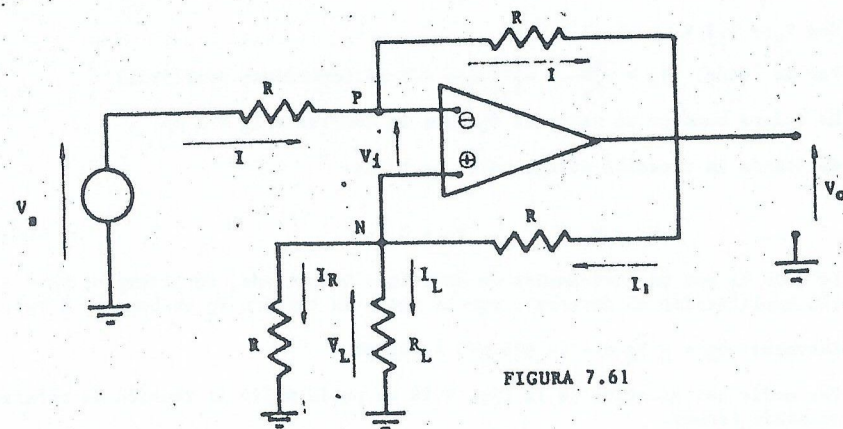


FIGURA 7.61

$$I = \frac{V_S - V_{PT}}{R} = \frac{V_{PT} - V_O}{R} \quad (7.139)$$

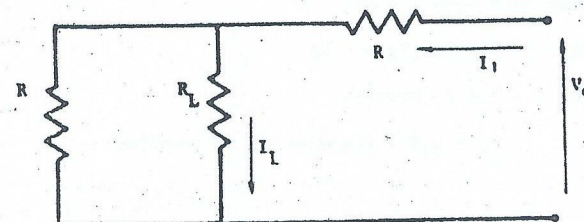
$$\therefore V_S - V_{PT} = V_{PT} - V_O \quad (7.140)$$

$$\therefore V_O = 2 V_{PT} - V_S \quad (7.141)$$

$$\text{Como } V_i = 0 \text{ resulta } V_{PT} = V_{NT} = V_L \quad (7.142)$$

$$\therefore V_O = 2 V_L - V_S \quad (7.143)$$

Se analiza el siguiente divisor de corriente (Fig. 7.62):



$$I_L = \frac{R}{R + R_L} I_1 \quad \{7.144\}$$

$$I_1 = \frac{V_0}{R + \frac{R R_L}{R + R_L}} \quad \{7.145\}$$

Reemplaza {7.145} en la {7.144} :

$$I_L = \frac{R}{R + R_L} \cdot \frac{V_0}{R + \frac{R R_L}{R + R_L}} \quad \{7.146\}$$

$$I_L = \frac{R}{R + R_L} \cdot \frac{R + R_L}{R (R + R_L) + R R_L} \cdot V_0 \quad \{7.147\}$$

$$\therefore I_L = \frac{V_0}{R + 2 R_L} \quad \{7.148\}$$

$$\therefore V_0 = I_L (R + 2 R_L) \quad \{7.149\}$$

Reemplazando en la ecuación {7.149}  $V_0$  por la ecuación {7.143}:

$$2 V_L - V_S = I_L (R + 2 R_L) \quad \{7.150\}$$

$$V_L = I_L R_L \quad \{7.151\}$$

Reemplazamos ésta en la ecuación {7.150}:

$$2 I_L R_L - V_S = I_L R + 2 I_L R_L \quad \{7.152\}$$

$$\therefore -V_S = I_L R \quad \{7.153\}$$

$$\therefore I_L = -\frac{V_S}{R} \quad \{7.154\}$$

De esta ecuación se obtiene que  $I_L$  depende de  $V_S$  y no depende de  $R_L$ . El sentido de  $I_L$  es opuesto al indicado en la Fig. 7.61 (Signo menos de la {7.154}).

Ejemplo: sea  $V_S = 1 \text{ V}$ ,  $R$  y  $R_L = 1 \text{ K}\Omega$

De la ecuación {7.154} se obtiene:

$$I_L = -\frac{V_S}{R} = -\frac{1 \text{ V}}{1 \text{ K}\Omega} = -1 \text{ mA}$$

El sentido de  $I_L$  es opuesto al indicado en la figura 7.61 y 7.62.

De la ecuación {7.151} se obtiene:

$$V_L = I_L R_L = -1 \text{ mA} \cdot 1 \text{ K}\Omega = -1 \text{ V}$$

El sentido de  $V_L$  es opuesto al indicado en la Fig. 7.61.

De la ecuación {7.139} se obtiene:

$$I = \frac{V_S - V_{PT}}{R} = \frac{V_S - V_L}{R} = \frac{1 \text{ V} + 1 \text{ V}}{1 \text{ K}\Omega} = 2 \text{ mA}$$

El sentido de  $I$  coincide con el indicado en la Fig. 7.61.

$$I_R = \frac{V_L}{R} = \frac{-1 \text{ V}}{1 \text{ K}\Omega} = -1 \text{ mA}$$

El sentido de  $I_R$  es opuesto al indicado en la Fig. 7.61.

$$I_1 = I_R + I_L = -1 \text{ mA} + (-1 \text{ mA}) = -2 \text{ mA}$$

El sentido de  $I_1$  es opuesto al indicado en la Fig. 7.61.

De la ecuación {7.143} se obtiene:

$$V_0 = 2 V_L - V_S = 2 (-1 \text{ V}) - 1 \text{ V} = -3 \text{ V}$$

El sentido de  $V_0$  es opuesto al indicado en la Fig. 7.61.

El circuito de la Fig. 7.61 (entrada inversora) establece una corriente  $I_L$  sobre la carga que circula desde masa hacia arriba (Fig. 7.63)

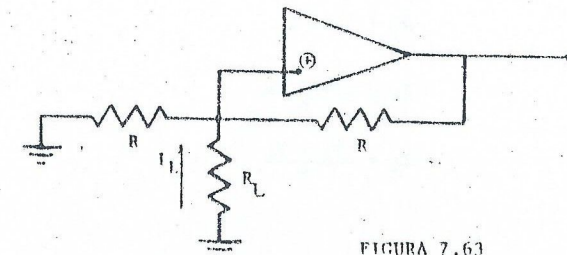


FIGURA 7.63



El siguiente circuito establece una corriente  $I_L$  sobre la carga que circula desde el punto N hacia abajo.

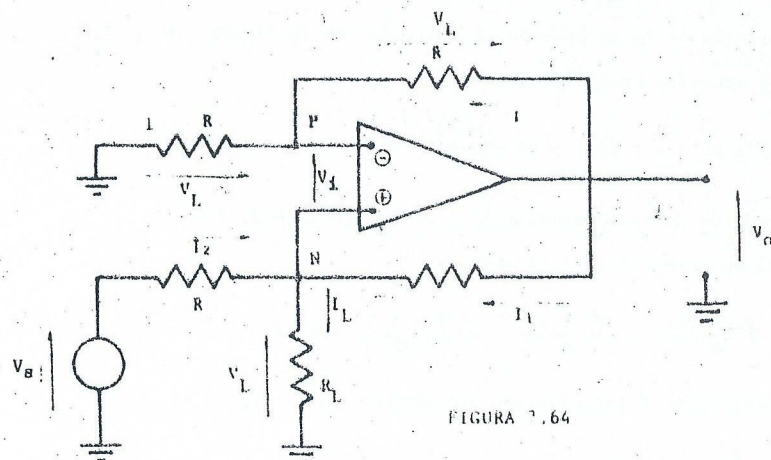


FIGURA 7.64

Como  $V_i = 0$ , la tensión  $V_L$  está aplicada sobre R, entre masa y el punto P.

$$I = \frac{V_L}{R} \quad (7.155)$$

Sobre la resistencia R ubicada entre P y la salida, también circula la misma corriente  $I$  ( $I_i = 0$ ). Por lo tanto, sobre esta resistencia la caída de tensión también es  $V_L$ . De la ecuación de la malla que contiene a las dos resistencias R y a la salida  $V_0$ , se obtiene:

$$2 V_L - V_0 = 0 \quad (7.156)$$

$$\therefore V_0 = 2 V_L \quad (7.157)$$

Analizando el nodo N se obtiene:

$$I_L = I_1 + I_2 \quad (7.158)$$

$$I_1 = \frac{V_0 - V_L}{R} \quad (7.159)$$

$$I_2 = \frac{V_S - V_L}{R} \quad (7.160)$$

Reemplazando la {7.159} y la {7.160} en la {7.158} se obtiene:

$$I_L = \frac{V_0 - V_L}{R} + \frac{V_S - V_L}{R} \quad (7.161)$$

$$I_L = \frac{V_0 + V_S - 2 V_L}{R} \quad (7.162)$$

Reemplazando la {7.157} en la {7.162} se tiene:

$$I_L = \frac{2 V_L + V_S - 2 V_L}{R} \quad (7.163)$$

$$\therefore I_L = \frac{V_S}{R}$$

El sentido de la corriente  $I_L$  coincide con el indicado en la Fig. 7.64.

Ejemplo: Sea  $V_S = 3 \text{ V}$ ,  $R = 1 \text{ K}\Omega$  y  $R_L = 0,5 \text{ K}\Omega$

$$I_L = \frac{V_S}{R} = \frac{3 \text{ V}}{1 \text{ K}\Omega} = 3 \text{ mA}$$

$$V_L = I_L R_L = 3 \text{ mA} \cdot 0,5 \text{ K}\Omega = 1,5 \text{ V}$$

$$V_0 = 2 V_L = 3 \text{ V}$$

$$I = \frac{V_L}{R} = \frac{1,5 \text{ V}}{1 \text{ K}\Omega} = 1,5 \text{ mA}$$

$$I_1 = \frac{V_0 - V_L}{R} = \frac{3 \text{ V} - 1,5 \text{ V}}{1 \text{ K}\Omega} = 1,5 \text{ mA}$$

$$I_2 = \frac{V_S - V_L}{R} = \frac{3 \text{ V} - 1,5 \text{ V}}{1 \text{ K}\Omega} = 1,5 \text{ mA}$$

#### 7.1.17 CONVERTIDORES CORRIENTE-TENSION

Se puede analizar el circuito de la Fig. 7.65

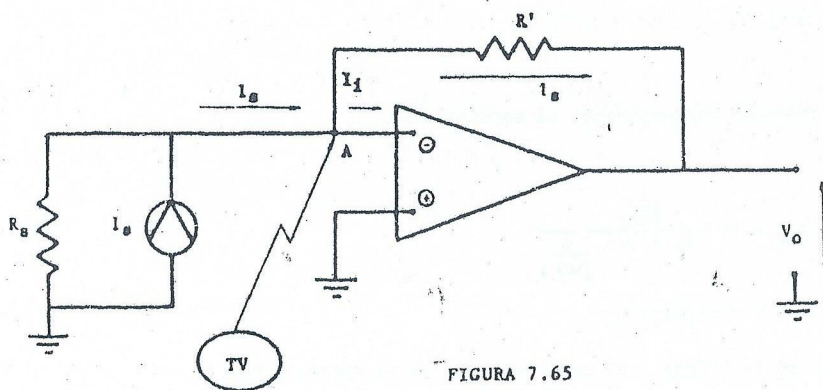


FIGURA 7.65

La corriente  $I_s$  circula hacia el punto A (tierra virtual) y no hacia  $R_s$ . Al ser  $I_i = 0$  la corriente  $I_s$  circula por  $R'$ . Por lo tanto:

$$V_o = -I_s R' \quad \{7.165\}$$

$$V_o = K I_s \quad \text{donde } K = -R'$$

La ecuación {7.165} muestra cómo se convierte la corriente del generador  $I_s$  en una tensión en la salida.

Este circuito se emplea para medir la corriente de cortocircuito de transductores de alta impedancia (Fig. 7.66).

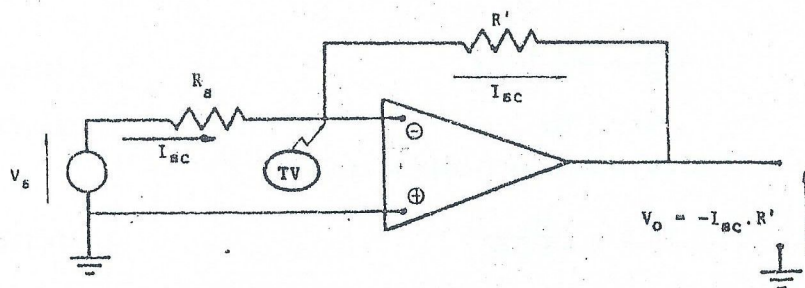


FIGURA 7.66

$$I_{sc} = \frac{V_s}{R_s} \quad \{7.166\}$$

El norton equivalente es:

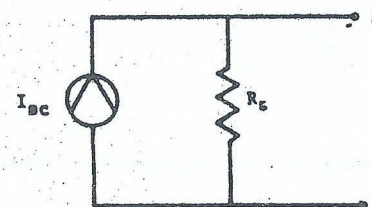


FIGURA 7.67

Esto nos lleva al circuito de la FIGURA 7.65

$$\text{y } V_o = -I_s R'$$

$$V_o = -I_{sc} R'$$

Se mide  $V_o$  y luego se obtiene:

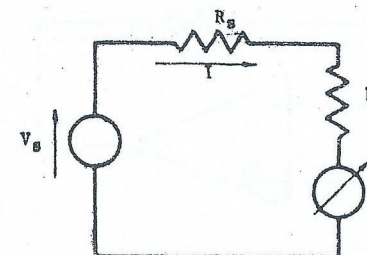
$$I_{sc} = -\frac{V_o}{R'} \quad \{7.167\}$$

Ejemplo:  $V_o$  (medido) = -0,5 V y  $R' = 10 \text{ K}$

$$\text{Se tiene que: } I_{sc} = \frac{-V_o}{R'}$$

$$I_{sc} = \frac{0,5 \text{ V}}{10 \text{ K}\Omega} = 50 \mu\text{A}$$

Si se pretende medir la corriente de cortocircuito del transductor con un microamperímetro, se alteraría el resultado (50  $\mu\text{A}$ ) por la resistencia que incluye el instrumento en el circuito. FIGURA 7.68.



(Resistencia del instrumento)

FIGURA 7.68



De la FIGURA 7.68:

$$I = \frac{V_B}{R_B + R_{inst.}} \quad (7.168)$$

mientras que:

$$I_{sc} = \frac{V_B}{R_B} \quad (7.169)$$

### 7.1.18 DEFASADOR

Si  $V_O$  es la tensión de salida y  $V_I$  es la tensión de entrada se busca que:

$$V_O = V_I \cdot e^{j\phi} \quad (7.170)$$

Para ello se puede utilizar el circuito de la FIGURA 7.68.

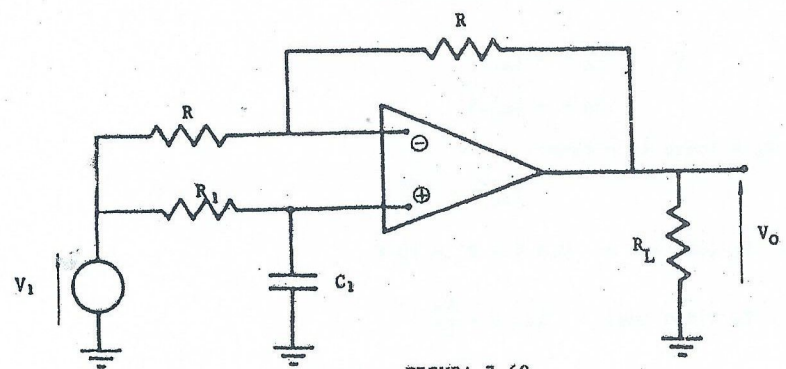


FIGURA 7.68

Lo resolvemos por superposición.  
Suponemos  $V_1$  aplicada a través de  $R_1, C_1$  al terminal positivo. (FIGURA 7.69).

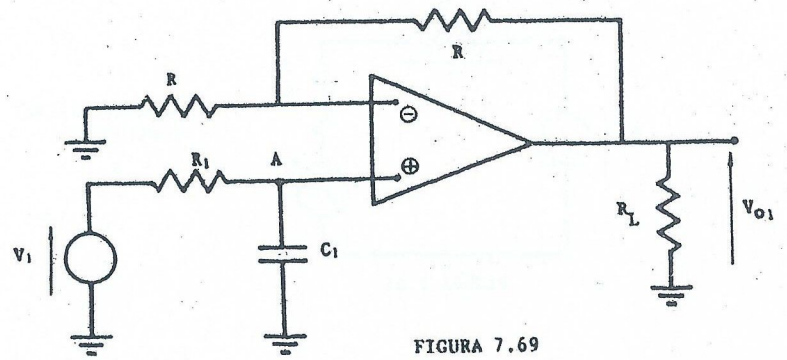


FIGURA 7.69

Aplicamos Thevenin desconectando el terminal INV.  
Queda:

$$V_{AT} = V_1 \frac{\frac{1}{j\omega C_1}}{R_1 + \frac{1}{j\omega C_1}}$$

$$V_{AT} = \frac{V_1}{1 + j\omega C_1 R_1} \quad (7.171)$$

El circuito de la FIGURA 7.69 se transforma en la FIGURA 7.70.

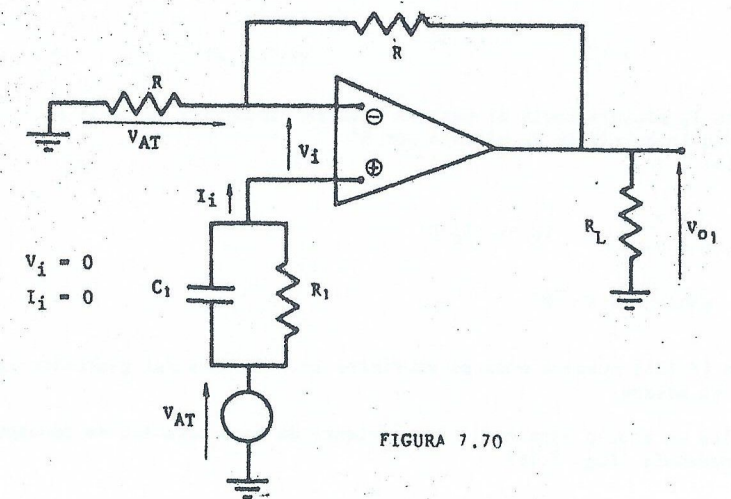


FIGURA 7.70

Es un amplificador no inversor. Su ganancia es:

$$\frac{V_{O1}}{V_{AT}} = \frac{R + R}{R} = 2 \quad (7.172)$$

$$V_{O1} = 2 V_{AT} \quad (7.173)$$

Reemplazando en la última ecuación la (7.171) se tiene:

$$V_{O1} = \frac{2V_1}{1 + j\omega C_1 R_1} \quad (7.174)$$

Suponemos, ahora, que  $V_1$  esta aplicada a traves de R al terminal INV. FIGURA 7.71.



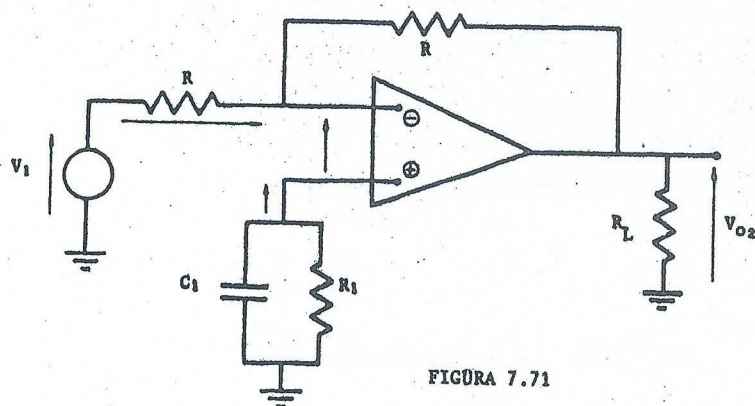


FIGURA 7.71

Se tiene en la FIGURA 7.71 un amplificador inversor de ganancia unitaria. Por lo tanto:

$$V_{O2} = -V_1 \quad (7.175)$$

Superponiendo efectos:

$$V_O = V_{O1} + V_{O2} \quad (7.176)$$

Reemplazando en (7.176) las ecuaciones (7.174) y (7.175) se tiene:

$$V_O = \left( \frac{2V_1}{1 + j\omega c_1 R_1} - V_1 \right) \quad (7.177)$$

$$V_O = V_1 \left( \frac{2}{1 + j\omega c_1 R_1} - 1 \right) \quad (7.178)$$

$$V_O = V_1 \frac{2 - 1 - j\omega c_1 R_1}{1 + j\omega c_1 R_1} \quad (7.179)$$

$$V_O = V_1 \frac{1 - j\omega c_1 R_1}{1 + j\omega c_1 R_1} \quad (7.180)$$

$$V_O = V_1 \frac{\sqrt{1 + \omega^2 c_1^2 R_1^2} \cdot e^{j\phi_1}}{\sqrt{1 + \omega^2 c_1^2 R_1^2} \cdot e^{j\phi_2}} \quad (7.181)$$

$$V_O = V_1 \frac{e^{j\phi_1}}{e^{j\phi_2}} \quad (7.182)$$

$$\phi_1 = -\arctan(\omega c_1 R_1) \quad (7.183)$$

Donde:

$$\phi_2 = \arctan(\omega c_1 R_1) \quad (7.184)$$

De la ecuación (7.182) surge

$$V_O = V_1 e^{j\phi_1} \cdot e^{-j\phi_2} \quad (7.185)$$

$$V_O = V_1 e^{j(\phi_1 - \phi_2)} \quad (7.186)$$

$$\theta = \phi_1 - \phi_2 \quad (7.187)$$

Reemplazando en la última ecuación, las ecuaciones (7.183) y (7.184) se obtiene:

$$\theta = -\arctan(\omega c_1 R_1) - \arctan(\omega c_1 R_1) \quad (7.188)$$

$$\theta = -2 \arctan(\omega c_1 R_1) \quad (7.189)$$

Y finalmente:

$$V_O = V_1 e^{-j\theta} \quad (7.190)$$

$$V_O = V_1 e^{-j 2 \arctan(\omega c_1 R_1)} \quad (7.191)$$

Si:

$$c_1 = 0,01 \mu F, \quad R_1 = 10 \text{ K}\Omega, \quad V_1 = 1 \text{ V y } f = 1 \text{ KHz}$$

$$\theta = -2 \arctan(2\pi \cdot 10^3 \cdot 0,01 \cdot 10^{-6} \cdot 10^4) = -64,28^\circ$$

$V_O$  atrasa respecto de  $V_1$  el ángulo  $\theta = -64,28^\circ$

Si quisieramos que  $V_O$  atrasa respecto de  $V_1$   $90^\circ$ , entonces:

$$\theta = -2 \arctan(\omega c_1 R_1) = -90^\circ$$

$$\therefore \arctan(\omega c_1 R_1) = \frac{90^\circ}{2} = 45^\circ$$

$$\text{Por lo tanto: } \omega c_1 R_1 = 1$$

$$\text{y } R_1 = \frac{1}{2\pi f c_1}$$

$$R_1 = \frac{1}{6,28 \cdot 10^3 \cdot 0,01 \cdot 10^{-6}} = 16 \text{ K}\Omega$$

Para conseguir un atraso de  $90^\circ$  debe hacerse  $R_1 = 16 \text{ K}\Omega$

### 7.1.19 SUMADOR NO INVERSOR

El circuito correspondiente es el de la FIGURA 7.72

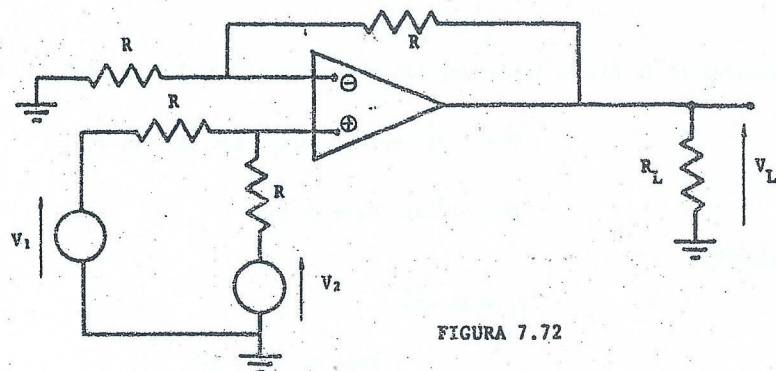


FIGURA 7.72

Aplicamos superposición para obtener la expresión de  $V_L$ .

Anulamos primero a  $V_2$ . ( $V_2 = 0$ )

Con lo cual aplicando Thevenin entre el terminal no inversor y tierra se obtiene el circuito de la FIGURA 7.73.

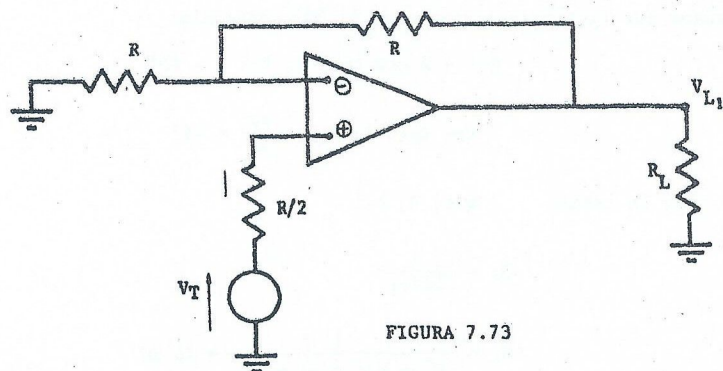


FIGURA 7.73

$$V_T = V_1 \frac{R}{R + R}$$

$$V_T = \frac{V_1}{2}$$

La ganancia del amplificador es:

$$A = 1 + \frac{R}{R} = 2$$

(7.190)

(7.191)

Por lo tanto:

$$V_{L1} = A \cdot V_T, \quad V_{L1} = 2 \frac{V_1}{2}$$

$$V_{L1} = V_1$$

(7.192)

Anulamos, luego, a  $V_1$ . ( $V_1 = 0$ ).

Se obtiene, también, el circuito de la FIGURA 7.73, pero ahora la expresión de  $V_T$  es la siguiente:

$$V_T = V_2 \frac{R}{R + R}, \quad V_T = \frac{V_2}{2} \quad (7.193)$$

$$\text{Por lo tanto: } V_{L2} = A \cdot V_T = 2 \frac{V_2}{2}, \quad V_{L2} = V_2 \quad (7.194)$$

La salida  $V_{L2}$  es la que se obtiene cuando se pone en corto a  $V_1$ .

Por lo tanto:

$$V_L = V_{L1} + V_{L2} = V_1 + V_2 \quad (7.195)$$

Se tiene así un circuito que suma las tensiones  $V_1$  y  $V_2$  sin invertirlas.



### 7.1.20 FUENTE DE CORRIENTE CONSTANTE BILATERAL

El circuito es el de la FIGURA 7.74.

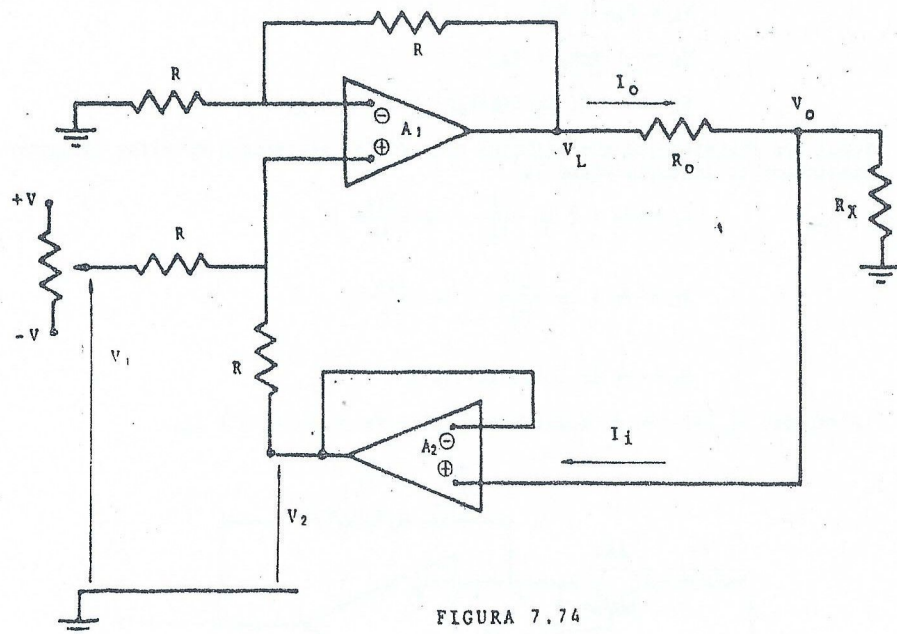


FIGURA 7.74

La tensión  $V_L$  (ver punto 7.1.19.) es igual a:

$$V_L = V_1 + V_2 \quad (7.195)$$

Por ser el amplificador  $A_2$  un seguidor de tensión resulta:

$$V_2 = V_O \quad (7.196)$$

Por lo tanto:  $V_L = V_1 + V_O$

$$(7.197)$$

La corriente  $I_O$  se determina así:

$$I_O = \frac{V_L - V_O}{R_O}$$

$$I_O = \frac{V_1 + V_O - V_O}{R_O}$$

$$I_O = \frac{V_1}{R_O}$$

Se tiene una fuente de corriente constante, bilateral y regulable. Si  $V_1$  es positiva respecto de masa,  $I_O$  tiene el sentido indicado en la figura 7.74. Si  $V_1$  es negativa respecto de masa,  $I_O$  tiene el sentido opuesto al indicado en la figura 7.74.

Si:  $R_O = 2 \text{ K}\Omega$  y se hace  $V_{1\text{max.}} = \pm 2 \text{ V}$  se tiene  $I_{O\text{max.}}$  igual a:

$$I_O = \frac{V_1}{R_O} = \frac{\pm 2 \text{ V}}{2 \text{ K}\Omega}$$

$$I_{O\text{max}} = \pm 1 \text{ mA}$$

El mínimo valor de  $I_O$  depende de la corriente de entrada que toma el amplificador  $A_2$ . Se usa un operacional con entrada MOS FET, para obtener un bajo valor de la corriente de entrada  $I_i$ .

Para el CA 3240 se tiene:

$$I_i = 10 \text{ pA para } \pm 15 \text{ V valor típico}$$

$$I_i = 50 \text{ pA para } \pm 15 \text{ V valor máximo}$$

$I_O$  mínimo se puede especificar como 100 veces mayor que  $I_{i\text{max}}$ , por lo tanto:

$$I_{O\text{min}} = 100 \cdot 50 \text{ pA} = 5 \text{ nA}$$

Se tendría una fuente desde  $\pm 5 \text{ nA}$  hasta  $\pm 1 \text{ mA}$ .

### 7.1.21 AMPLIFICADOR LOGARITMICO

El circuito es el de la figura 7.75.

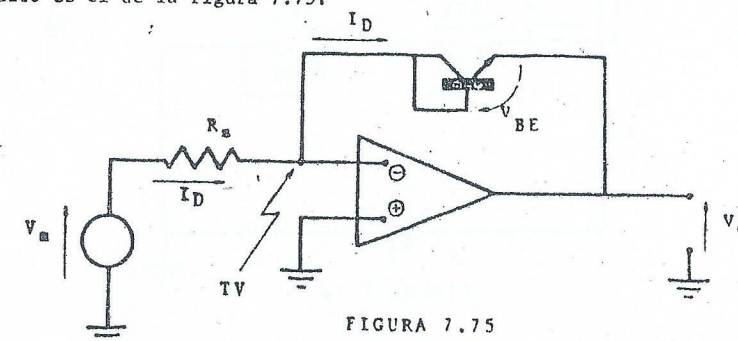


FIGURA 7.75

La corriente por el transistor es:

$$I_D = I_S e^{(V_{BE}/V_T)} \quad (7.200)$$

$$\therefore V_{BE} = V_T \ln(I_D/I_S) \quad (7.201)$$

Por otra parte:

$$I_D = \frac{V_S}{R_S} \quad (7.202)$$

Reemplazando (7.202) en (7.201) se tiene:

$$V_{BE} = V_T \ln(V_S/R_S \cdot I_S) \quad (7.203)$$

Por otra parte:

$$V_{BE} + V_O = 0 \quad (7.204)$$

$$\therefore V_O = -V_{BE} \quad , \quad V_O = -V_T \ln(V_S/I_S \cdot R_S) \quad (7.205)$$

La tensión de salida depende del logaritmo natural de  $V_S$ . El inconveniente de este circuito elemental consiste en que  $I_S$  y  $V_T$  varían con la temperatura. Se tienen circuitos mas elaborados que evitan el problema mencionado.

#### 7.1.22 INVERSOR ALGEBRAICO

El circuito es el de la figura 7.76 (primera parte) y continua en la figura 7.77 (segunda parte).

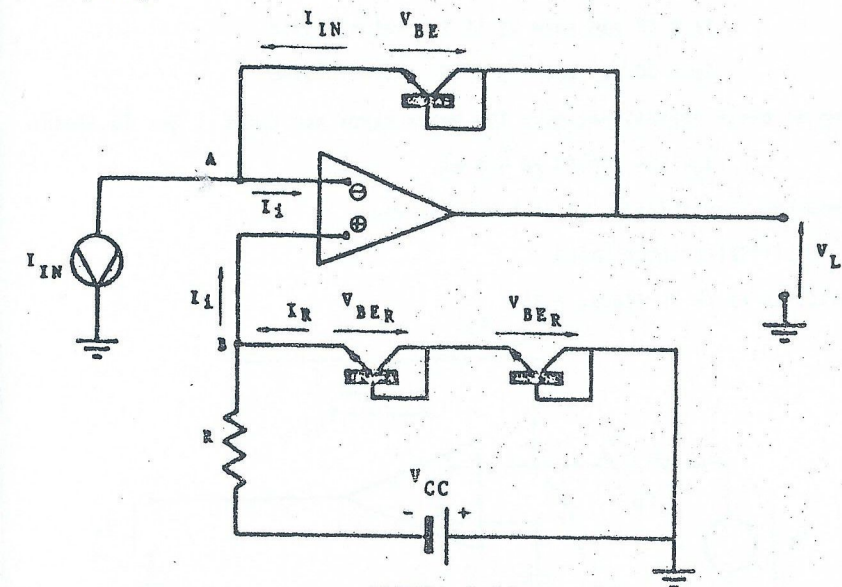


FIGURA 7.76

La tensión entre el punto B y masa es:

$$V_{BT} = -2 V_{BER} \quad (7.206)$$

$$V_{AT} = V_{BT} = -2 V_{BER} \quad (7.207)$$

Por otra parte:

$$V_L = V_{AT} + V_{BE} \quad (7.208)$$

$$V_L = -2 V_{BER} + V_{BE} \quad (7.209)$$

$$V_L = -2 V_T \ln(I_R/I_S) + V_T \ln(I_{IN}/I_S) \quad (7.210)$$

Todos los transistores que trabajan como diodos pertenecen al mismo integrado. Tienen, por lo tanto, la misma  $I_S$ .

$$V_L = -V_T \left( 2 \ln \frac{I_R}{I_S} - \ln \frac{I_{IN}}{I_S} \right) \quad (7.211)$$

$$V_L = -V_T \left( \ln \frac{I_R^2}{I_S^2} - \ln \frac{I_{IN}}{I_S} \right) \quad (7.212)$$

$$V_L = -V_T \ln(I_R^2/I_S \cdot I_{IN}) \quad (7.213)$$

La tensión  $V_L$  depende en forma logarítmica de la corriente  $I_{IN}$ .

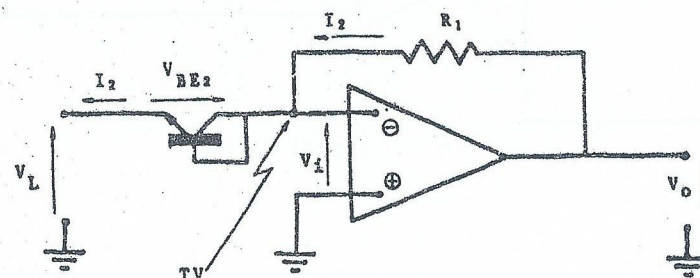


FIGURA 7.77

$$V_L + V_{BE2} = V_i = 0 \quad (7.214)$$

$$\therefore V_L = -V_{BE2} \quad (7.215)$$

Reemplazando la ecuación (7.213) en la ecuación (7.215) se tiene:

$$-V_T \ln(I_R^2/I_S \cdot I_{IN}) = -V_T \ln(I_2/I_S) \quad (7.216)$$



$$\therefore \frac{I_R^2}{I_s \cdot I_{in}} = \frac{I_2}{I_s} \quad (7.217)$$

$$\therefore I_2 = \frac{I_R^2}{I_{in}} \quad (7.218)$$

Por otra parte:

$$V_o = I_2 R_1 \quad (7.219)$$

$$\therefore I_2 = \frac{V_o}{R_1} \quad (7.220)$$

Igualando la (7.218) y la (7.20) se tiene:

$$\frac{V_o}{R_1} = \frac{I_R^2}{I_{in}} \quad \therefore V_o = \frac{R_1 \cdot I_R^2}{I_{in}} \quad (7.221)$$

Haciendo  $K = R_1 \cdot I_R^2$  se obtiene:

$$V_o = \frac{K}{I_{in}} \quad (7.222)$$

$V_o$  es la inversión algebraica de  $I_{in}$ .

Ejemplo:

$$V_{cc} = 9 \text{ V} , R = 39 \text{ K}\Omega , R_1 \text{ ajustable}$$

Calculamos:

$$I_R = \frac{V_{cc} - 2V_{BE}}{R} \quad (7.223)$$

$$I_R = \frac{(9 - 1,4) \text{ V}}{39 \text{ K}\Omega} = 0,195 \text{ mA}$$

Hacemos  $K = R_1 \cdot I_R^2 = 1 \text{ V.A}$

$$\therefore R_1 = \frac{K}{I_R^2}$$

$$R_1 = \frac{1 \text{ V.A}}{(0,195 \cdot 10^{-3})^2}$$

$$R_1 = \frac{1 \text{ V.A}}{0,038 \cdot 10^{-6} \text{ A}^2}$$

$$R_1 = \frac{10^6}{0,038} \Omega = 26.316 \text{ K}\Omega$$

Demasiado grande; elegimos  $R_1 = 26,316 \text{ K}\Omega$

$$\therefore K = R_1 \cdot I_R^2 = 26,316 \cdot 10^3 \cdot 0,038 \cdot 10^{-6}$$

$$K = 1 \text{ mA.V}$$

$$\therefore V_o = \frac{K}{I_{in}}$$

$$V_o = \frac{1 \text{ mA.V}}{I_{in}}$$

Si  $I_{in} = 0,5 \text{ mA}$  resulta  $V_o = 2 \text{ V}$



## I N D I C E

Prólogo .....	1-1
Capítulo 1 - AMPLIFICADORES MONDETAPAS CON TRANSISTORES BIPOLARES	
SEÑALES GRANDES .....	1-1
1.1 Introducción .....	1-1
1.2 Diodo de juntura .....	1-2
1.2.1 Punto de operación estático .....	1-2
1.2.2 Resistencia estática .....	1-3
1.2.3 Resistencia dinámica .....	1-4
1.2.4 Circuito dinámico .....	1-4
1.2.5 Corriente total .....	1-4
1.3 Transistores bipolares .....	1-4
1.3.1 Transistor PNP .....	1-6
1.3.2 Transistor NPN .....	1-6
1.3.3 Dependencia de $h_{FE}$ con $I_C$ .....	1-6
1.3.4 Características de emisor común .....	1-8
1.4 Determinación del punto de operación estático Q .....	1-10
1.4.1 Inyección de señal .....	1-13
1.4.2 Desplazamiento del punto Q por dispersión de $h_{FE}$ .....	1-14
1.4.3 Circuito básico para $I_{CQ}$ constante .....	1-14
1.4.4 Circuito de polarización con una sola fuente .....	1-18
1.4.5 Dado Q determinar $R_1$ y $R_2$ .....	1-20
1.4.6 Ubicación de Q sobre RCD para máxima excursión de señal .....	1-21
1.5 Potencia .....	1-22
1.5.1 Potencia entregada por la fuente .....	1-23
1.5.2 Potencia disipada en la carga .....	1-23
1.5.3 Potencia disipada en colector .....	1-23



1.5.4	Rendimiento de conversión .....	1-23
1.5.5	Etapas acopladas a R-C .....	1-23
1.6	Características del transistor .....	1-24
1.6.1	Régimen de tensiones .....	1-24
1.6.2	Relación entre la tensión de alimentación y la tensión de ruptura .....	1-25
1.6.3	Regímenes de corriente .....	1-25
1.6.4	Regímenes de temperatura .....	1-26
1.6.5	Regímenes de disipación .....	1-27
1.6.6	Relación entre $V_{CEQ}$ y $V_{CC}$ .....	1-30
1.6.7	Análisis de una etapa con señales fuertes .....	1-30
1.6.8	Cálculo de un disipador .....	1-32
1.7	Factores de estabilización .....	1-34
1.7.1	Polarización por divisor y $R_e$ .....	1-35
1.7.2	Análisis de variaciones de $I_{CQ}$ por temperatura .....	1-36
1.7.3	Análisis de la variación de $I_{CQ}$ por incorrecta regulación de la fuente de alimentación .....	1-36
1.7.4	Análisis de variaciones de $Q$ debido a la tole- rancia de $R_e$ .....	1-36
1.7.5	Determinación sobre la recta de carga estática de los puntos extremos $Q_1$ y $Q_2$ .....	1-37
1.7.6	Determinación de la ubicación extrema de $Q_1$ y $Q_2$ para obtener una $P_L$ dada .....	1-38
1.7.7	Factores de estabilidad correspondientes a pola- rización $I_B$ constante .....	1-38
1.7.8	Factores de estabilización para circuitos pola- rizados con resistencia entre C y B .....	1-39
1.7.9	Determinación de $S_{V_{CC}}$ y $S_{R_B}$ en el circuito de polarización fija .....	1-40
1.7.10	Determinación de $S_{V_{CC}}$ y $S_{R_C}$ para polarización con resistencia entre C y B .....	1-41
1.8	Corrida térmica .....	1-46

## Capítulo 2 - AMPLIFICADORES MONOETAPAS CON TRANSISTORES BIPOLARES

	SEÑALES DÉBILES .....	2-1
2.1	Introducción .....	2-1
2.2	Modelo del transistor bipolar para señales débiles .....	2-1
2.3	Amplificador monoetapa de emisor común para señales débiles con excitación de tensión .....	2-3

2.3.1	Ganancia de corriente del transistor cargado con $R_L$ .....	
2.3.2	Ganancia de corriente del sistema .....	
2.3.3	Ganancia de tensión del transistor .....	
2.3.4	Ganancia de tensión del sistema .....	
2.3.5	Cálculo de otras transferencias conociendo $A_{V_S}$ .....	
2.3.6	Cálculo de la transconductancia .....	
2.3.7	Cálculo de la transresistencia .....	
2.3.8	Cálculo de la ganancia de corriente .....	
2.3.9	Amplificador ideal de tensión .....	
2.3.10	Ganancia de potencia del transistor .....	
2.3.11	Ganancia de potencia del sistema .....	
2.4	Emisor común con excitación de corriente .....	
2.4.1	Ganancia de corriente del sistema .....	
2.4.2	Ganancia de tensión del sistema .....	
2.4.3	Cálculo de otras transferencias conociendo $A_{V_S}$ .....	
2.4.4	Cálculo de la transconductancia .....	
2.4.5	Cálculo de la ganancia de tensión .....	
2.4.6	Amplificador ideal de corriente .....	
2.4.7	Ganancia de potencia del sistema .....	
2.5	Base común con excitación de tensión .....	
2.6	Base común con excitación de corriente .....	
2.7	Colector común con excitación de tensión .....	
2.7.1	Circuito dinámico .....	
2.7.2	Resistencia de salida de CC .....	
2.8	Colector común con excitación de corriente .....	
2.9	Modificación de la red de entrada circuito autoelevador (Bootstrap) .....	
2.10	Circuito con $R_e$ sin puentear .....	
2.10.1	Inversor de fase .....	
2.11	Compensación .....	

## Capítulo 3 - TRANSISTOR DE EFECTO DE CAMPO - FET

3.1	Introducción .....	
3.1.1	Características de transferencia y salida .....	
3.1.2	Comparación de transistor unipolar con el bipolar .....	
3.1.3	Determinación del punto de trabajo estático .....	
3.1.4	Autopolarización .....	
3.2	Análisis de una etapa con señales fuertes usando V-MOS ...	



3.3	Modelo de baja señal para el transistor unipolar .....	3-15
3.3.1	Cálculo de la transconductancia .....	3-16
3.4	Amplificador unipolar de bajo nivel .....	3-19
3.5	Drenaje común (Seguidor de fuente) .....	3-21
3.6	Compuerta común .....	3-29
3.7	Análisis gráfico de la polarización del FET .....	3-33
3.7.1	Dependencia con la temperatura .....	3-37
3.7.2	Influencia de la temperatura sobre $I_D$ (Vaciamiento) ....	3-37

JV

Capítulo 4 - SUB CIRCUITOS .....	4-1
4.1 Introducción .....	4-1
4.1.1 El amplificador diferencial .....	4-4
4.1.2 Determinación de $Q_1$ y $Q_2$ .....	4-5
4.1.3 Análisis con señales débiles .....	4-6
4.1.4 Análisis de casos particulares .....	4-17
4.2 Uso del diferencial con fuente de corriente constante .....	4-19
4.2.1 Uso del transistor $T_3$ como fuente de corriente constante .....	4-20
4.2.2 Determinación de $I_{CQ3}$ .....	4-22
4.2.3 Fuente de corriente constante compensada .....	4-26
4.2.4 Amplificador diferencial con salida diferencial .....	4-27
4.2.5 Amplificadores diferenciales usando dispositivos activos integrados (Arrays) .....	4-29
4.2.6 Análisis de un amplificador diferencial con transistores unipolares .....	4-41
4.3 Característica de transferencia estática .....	4-46
4.3.1 Determinación de la característica de transferencia para transistores bipolares .....	4-46
4.3.2 Determinación de la característica de salida .....	4-51
4.3.3 Determinación de la característica de transferencia para transistores unipolares .....	4-55
4.4 Diferenciales integrados .....	4-59
4.4.1 Análisis del diferencial integrado CA 3000 .....	4-59
4.4.2 El uso de fuentes de corriente como cargas activas.....	4-65
4.4.3 Etapa de emisor común con carga activa.....	4-65
4.4.4 Etapa diferencial con carga activa.....	4-68
4.4.5 Análisis de la etapa diferencial del amplificador operacional 741.....	4-71

4.5	Circuito D'Arlington .....
4.5.1	Aplicación .....
4.5.2	Problema de aplicación usando un circuito integrado que contiene un conjunto de transistores (Array)....

Capítulo 5 - AMPLIFICADORES MULTITAPA .....
5.1 Dos etapas diferenciales acopladas usando dispositivos activos integrados .....
5.2 Etapas de desplazamiento de nivel de continua .....
5.3 continuación del análisis del amplificador operacional 741 .....
5.4 Acoplamiento a C y R .....
5.5 Acoplamiento FET - Transistor bipolar .....
5.6 Dos etapas acopladas a EC y CC con CA 3046 .....
5.7 Etapa D'Arlington acoplada a etapa diferencial usando CA 3086 .....
5.8 Fotoacopladores .....
5.8.1 Diodo emisor .....
5.8.2 Fotodiodo .....
5.8.3 Fototransistor .....
5.8.4 Curvas características del fotoacoplador .....
5.8.5 Circuitos de aplicación .....
5.8.6 Amplificadores de continua con fotoacopladores ....
Método de servo-linealización .....
Método de linealización diferencial .....
5.8.7 Consideraciones sobre variaciones de C.T.R .....
Diagrama en block de un fotoacoplador .....
Ejemplo de degradación de los valores máximos absolutos .....



Capítulo 6 - AMPLIFICADORES REALIMENTADOS .....	6-
6.1 Introducción .....	6-1
6.1.1 Diagrama generalizado del amplificador realimentado ....	6-1
6.1.2 Transferencia con realimentación .....	6-2
6.1.3 Relación entre $W_s$ y $W_i$ .....	6-3
6.1.4 Factor de desensibilización .....	6-5
6.1.5 Reducción de las perturbaciones .....	6-7
6.1.6 Resistencia de entrada .....	6-8
6.1.7 Resistencia de salida .....	6-9
6.2 Clasificación de los amplificadores .....	6-9
6.2.1 Amplificador de corriente .....	6-9
6.2.2 Amplificador de transconductancia .....	6-12
6.2.3 Amplificador de tensión .....	6-13
6.2.4 Amplificador de transresistencia .....	6-16
6.2.5 Resumen	
6.3 Distintas topologías de realimentación .....	6-17
6.3.1 Realimentación tensión-serie .....	6-17
6.3.2 Ejemplo de realimentación T-S .....	6-22
6.3.3 Realimentación tensión - paralelo .....	6-36
6.3.4 Ejemplo de realimentación T-P .....	6-38
6.3.5 Realimentación corriente-serie .....	6-45
6.3.6 Ejemplo de realimentación C-S .....	6-48
6.3.7 Realimentación corriente-paralelo .....	6-54
6.3.8 Ejemplo de realimentación C-P .....	6-55

Capítulo 7 - AMPLIFICADORES OPERACIONALES .....	7-1
7.1 Introducción .....	7-1
7.1.1 Especificaciones del operacional 741 .....	7-1
7.1.2 Operacional no inversor .....	7-3
7.1.3 Operacional inversor .....	7-13
7.1.4 Seguidor de tensión .....	7-20
7.1.5 Sumador con ganancia .....	7-22
7.1.6 Amplificador operacional diferencial .....	7-24
7.1.7 Errores estáticos .....	7-30
7.1.8 Tensión residual de entrada .....	7-31
7.1.9 Corriente de polarización de entrada .....	7-34
7.1.10 Corriente residual de entrada .....	7-35
7.1.11 Tensión residual de salida referida a la entrada .....	7-39
7.1.12 Relación de rechazo de la fuente de alimentación .....	7-43
7.1.13 Derivas (DRIFT) .....	7-45
7.1.14 Relación de rechazo de modo común .....	7-48
7.1.15 Aplicaciones .....	7-53
7.1.16 Convertidores tensión-corriente (carga flotante) .....	7-53
7.1.17 Convertidores tensión-corriente (carga amasa) .....	7-56
7.1.17 Convertidores corriente-tensión .....	7-61
7.1.18 Defasador .....	7-64
7.1.19 Sumador no inversor .....	7-68
7.1.20 Fuente de corriente constante bilateral .....	7-70
7.1.22 Inversor algebraico .....	7-72



## BIBLIOGRAFIA

- ANALYSIS AND DESIGN OF ANALOG INTEGRATED CIRCUITS de GRAY y MEYER, WILEY, 1977.
- ANALOG INTEGRATED CIRCUIT DESIGN de GREBENE, KRIEGER, 1978.
- ELECTRONICA DEL ESTADO SOLIDO de TREMOSA, MARYMAR, 1980.
- ELECTRONICS: BJTS, FETS AND MICROCIRCUITS de ANGELO, MC GRAW HILL, 1969.
- ELECTRONIC CIRCUITS: DISCRETE AND INTEGRATED de SCHILLING y BELOVE, MC GRAW HILL, 1968.
- INTEGRATED ELECTRONICS de MILLMAN y HALKIAS, MC GRAW HILL, 1972.
- IC ARRAY COOKBOOK de JUNG, HAYDEN, 1980.
- MICROELECTRONICS de MILLMAN, MC GRAW HILL, 1979.
- PRINCIPIOS DE ELECTRONICA de GRAY y SEARLE, REVERTE, 1973.
- SOLID STATE DEVICES AND APPLICATIONS de DRISCOLL y COUGHLIN, PRENTICE HALL, 197.
- VMOS POWER FETS: CATALOGO de DISEÑO, SILICONIX, 1978.
- SCR MANUAL, GENERAL ELECTRIC.
- OPTOELECTRONICS, CATALOGO GENERAL ELECTRIC, 1977.
- LINEAR APPLICATIONS HANDBOOK, NATIONAL, 1980.
- FIELD EFFECT TRANSISTORS, PHILIPS, 1972.
- THE FET CONSTANT CURRENT SOURCE, DESIGN IDEA DI 71-1, SILICONIX, 1976.
- DESIGNING JUNCTION FET INPUT OP AMPS, APPLICATION NOTE AN 74-3, SILICONIX, 1974.
- CONSIDERATION OF CTR VARIATIONS IN OPTICALLY COUPLED ISOLATOR CIRCUIT DESIGNS, APPLICATION NOTE 1002, HEWLETT PACKARD, 1979.
- NEAR APPLICATIONS OF OPTOCOUPPLERS, APPLICATION NOTE 951-2, HEWLETT PACKARD, 1974.
- THE MONOLITHIC OPERATIONAL AMPLIFIER: A TUTORIAL STUDY. IEEE JOURNAL OF SOLID STATE CIRCUITS, VOL SC9, N° 6, SOLOMON, 1974.
- AN INTRODUCTION TO FETS, APPLICATION NOTE, SILICONIX, 1973.
- BIASING THE FIELD EFFECT TRANSISTOR, BULLETIN CA-90 A, TEXAS.
- FET BIASING, TECHNICAL ARTICLE TA70-2, SILICONIX, 1970.
- APPLICATION OF THE RCA CA-3000 INTEGRATED CIRCUIT DC AMPLIFIER, ICAN 5030.